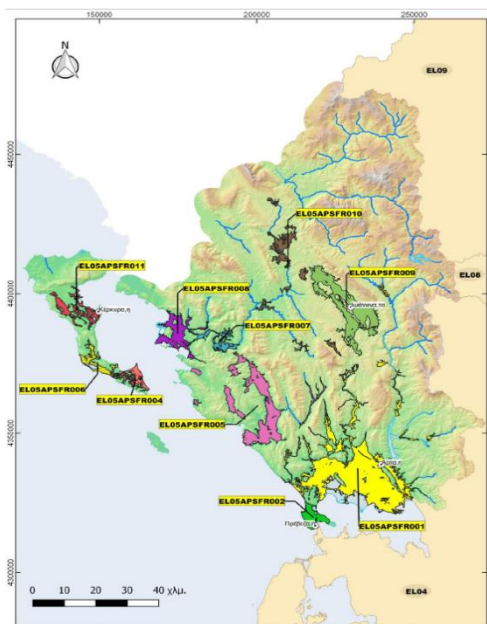




ΕΛΛΗΝΙΚΗ ΔΗΜΟΚΡΑΤΙΑ



ΓΕΝΙΚΗ ΓΡΑΜΜΑΤΕΙΑ ΦΥΣΙΚΟΥ ΠΕΡΙΒΑΛΛΟΝΤΟΣ ΚΑΙ ΥΔΑΤΩΝ ΓΕΝΙΚΗ ΔΙΕΥΘΥΝΣΗ ΥΔΑΤΩΝ



1^η ΑΝΑΘΕΩΡΗΣΗ ΣΧΕΔΙΟΥ ΔΙΑΧΕΙΡΙΣΗΣ ΚΙΝΔΥΝΩΝ ΠΛΗΜΜΥΡΑΣ των Λεκανών Απορροής Ποταμών του Υδατικού Διαμερίσματος Ηπείρου (EL05)

Στάδιο 1 – Παραδοτέο 4

ΠΛΗΜΜΥΡΙΚΑ ΥΔΡΟΓΡΑΦΗΜΑΤΑ

Παράρτημα Π5.2:

Υδρολογική Ανάλυση λεκάνης οροπεδίου Ιωαννίνων(Παμβώτιδα)



Ευρωπαϊκή Ένωση
Ταμείο Συνохής



Με τη συγχρηματοδότηση της Ελλάδας και της Ευρωπαϊκής Ένωσης

Περιεχόμενα

<u>1 ΜΟΝΤΕΛΟ ΥΔΡΟΛΟΓΙΚΗΣ ΠΡΟΣΟΜΟΙΩΣΗΣ ΔΕΚΑΝΗΣ ΑΠΟΡΡΟΗΣ</u>	<u>4</u>
<u>2 ΔΕΔΟΜΕΝΑ ΕΙΣΟΔΟΥ ΚΑΙ ΑΠΟΤΕΛΕΣΜΑΤΑ ΥΔΡΟΛΟΓΙΚΟΥ ΣΕΝΑΡΙΟΥ T=50</u>	<u>8</u>
2.1 Αποτελέσματα, υετογραφήματα και υδρογραφήματα σχεδιασμού υπολεκανών	9
2.2 Δεδομένα και υδρογραφήματα σχεδιασμού Κλάδων υδρογραφικού δικτύου	25
2.3 Δεδομένα και υδρογραφήματα σχεδιασμού Κόμβων υδρογραφικού δικτύου	36
<u>3 ΔΕΔΟΜΕΝΑ ΕΙΣΟΔΟΥ ΚΑΙ ΑΠΟΤΕΛΕΣΜΑΤΑ ΥΔΡΟΛΟΓΙΚΟΥ ΣΕΝΑΡΙΟΥ T=50 L</u>	<u>49</u>
3.1 Αποτελέσματα, υετογραφήματα και υδρογραφήματα σχεδιασμού υπολεκανών	50
3.2 Δεδομένα και υδρογραφήματα σχεδιασμού Κλάδων υδρογραφικού δικτύου	66
3.3 Δεδομένα και υδρογραφήματα σχεδιασμού Κόμβων υδρογραφικού δικτύου	77
<u>4 ΔΕΔΟΜΕΝΑ ΕΙΣΟΔΟΥ ΚΑΙ ΑΠΟΤΕΛΕΣΜΑΤΑ ΥΔΡΟΛΟΓΙΚΟΥ ΣΕΝΑΡΙΟΥ T=50 U</u>	<u>90</u>
4.1 Αποτελέσματα, υετογραφήματα και υδρογραφήματα σχεδιασμού υπολεκανών	91
4.2 Δεδομένα και υδρογραφήματα σχεδιασμού Κλάδων υδρογραφικού δικτύου	107
4.3 Δεδομένα και υδρογραφήματα σχεδιασμού Κόμβων υδρογραφικού δικτύου	118
<u>5 ΔΕΔΟΜΕΝΑ ΕΙΣΟΔΟΥ ΚΑΙ ΑΠΟΤΕΛΕΣΜΑΤΑ ΥΔΡΟΛΟΓΙΚΟΥ ΣΕΝΑΡΙΟΥ T=100</u>	<u>131</u>
5.1 Αποτελέσματα, υετογραφήματα και υδρογραφήματα σχεδιασμού υπολεκανών	132
5.2 Δεδομένα και υδρογραφήματα σχεδιασμού Κλάδων υδρογραφικού δικτύου	148
5.3 Δεδομένα και υδρογραφήματα σχεδιασμού Κόμβων υδρογραφικού δικτύου	159
<u>6 ΔΕΔΟΜΕΝΑ ΕΙΣΟΔΟΥ ΚΑΙ ΑΠΟΤΕΛΕΣΜΑΤΑ ΥΔΡΟΛΟΓΙΚΟΥ ΣΕΝΑΡΙΟΥ T=100 L</u>	<u>172</u>
6.1 Αποτελέσματα, υετογραφήματα και υδρογραφήματα σχεδιασμού υπολεκανών	173
6.2 Δεδομένα και υδρογραφήματα σχεδιασμού Κλάδων υδρογραφικού δικτύου	189
6.3 Δεδομένα και υδρογραφήματα σχεδιασμού Κόμβων υδρογραφικού δικτύου	200
<u>7 ΔΕΔΟΜΕΝΑ ΕΙΣΟΔΟΥ ΚΑΙ ΑΠΟΤΕΛΕΣΜΑΤΑ ΥΔΡΟΛΟΓΙΚΟΥ ΣΕΝΑΡΙΟΥ T=100 U</u>	<u>213</u>
7.1 Αποτελέσματα, υετογραφήματα και υδρογραφήματα σχεδιασμού υπολεκανών	214
7.2 Δεδομένα και υδρογραφήματα σχεδιασμού Κλάδων υδρογραφικού δικτύου	230
7.3 Δεδομένα και υδρογραφήματα σχεδιασμού Κόμβων υδρογραφικού δικτύου	241
<u>8 ΔΕΔΟΜΕΝΑ ΕΙΣΟΔΟΥ ΚΑΙ ΑΠΟΤΕΛΕΣΜΑΤΑ ΥΔΡΟΛΟΓΙΚΟΥ ΣΕΝΑΡΙΟΥ T=1000</u>	<u>254</u>
8.1 Αποτελέσματα, υετογραφήματα και υδρογραφήματα σχεδιασμού υπολεκανών	255
8.2 Δεδομένα και υδρογραφήματα σχεδιασμού Κλάδων υδρογραφικού δικτύου	271
8.3 Δεδομένα και υδρογραφήματα σχεδιασμού Κόμβων υδρογραφικού δικτύου	282

9 ΔΕΔΟΜΕΝΑ ΕΙΣΟΔΟΥ ΚΑΙ ΑΠΟΤΕΛΕΣΜΑΤΑ ΥΔΡΟΛΟΓΙΚΟΥ ΣΕΝΑΡΙΟΥ T=1000L295

9.1	Αποτελέσματα, υετογραφήματα και υδρογραφήματα σχεδιασμού υπολεκανών	296
9.2	Δεδομένα και υδρογραφήματα σχεδιασμού Κλάδων υδρογραφικού δικτύου	312
9.3	Δεδομένα και υδρογραφήματα σχεδιασμού Κόμβων υδρογραφικού δικτύου	323

10 ΔΕΔΟΜΕΝΑ ΕΙΣΟΔΟΥ ΚΑΙ ΑΠΟΤΕΛΕΣΜΑΤΑ ΥΔΡΟΛΟΓΙΚΟΥ ΣΕΝΑΡΙΟΥ T=1000U336

10.1	Αποτελέσματα, υετογραφήματα και υδρογραφήματα σχεδιασμού υπολεκανών	337
10.2	Δεδομένα και υδρογραφήματα σχεδιασμού Κλάδων υδρογραφικού δικτύου	353
10.3	Δεδομένα και υδρογραφήματα σχεδιασμού Κόμβων υδρογραφικού δικτύου	364

1 Μοντέλο Υδρολογικής Προσομοίωσης Λεκάνης Απορροής

Το οροπέδιο Ιωαννίνων είναι μια κλειστή λεκάνη, μέρος της απορροής της οποίας τροφοδοτεί τη λίμνη Παμβώτιδα, ενώ το υπόλοιπο μέρος εκτρέπεται, μέσω της τάφρου Λάψιστας, στη λεκάνη του Καλαμά. Το μοντέλο υδρολογικής προσομοίωσης περιλαμβάνει 15 υπολεκάνες, 13 κόμβους και 11 κλάδους του υδρογραφικού δικτύου. Στο μοντέλο, το οροπέδιο Ιωαννίνων χωρίζεται σε δύο διακριτά υποσυστήματα, που θεωρούνται (χωρίς να είναι στην πραγματικότητα) υδραυλικά ανεξάρτητα. Το ανάντη υποσύστημα αποτελείται από 10 υπολεκάνες που απορρέουν στη λίμνη Παμβώτιδα. Η λίμνη έχει πέντε κόμβους εισόδου (J5, J6, J7, J8, J11) και προσομοιώνεται ως ξεχωριστή υπολεκάνη (EL0514FL2009), η απορροή της οποίας συγκεντρώνεται στον εννοιολογικό κόμβο J40. Εφόσον η στάθμη της λίμνης υξηθεί πάνω από κάποιο όριο, ένα μέρος του αποθηκευμένου όγκου υπερχειλίζει προς το κατάντη υποσύστημα, το οποίο ξεκινά από κόμβο J4 (ταυτίζεται με τον J40, αλλά στο μοντέλο δεν συνδέεται) και καταλήγει στον κόμβο J1, από όπου εκτρέπεται προς τη λεκάνη του Καλαμά. Το κατάντη υποσύστημα έχει διαχωριστεί σε τέσσερις υπολεκάνες.

Η σχηματοποίηση των δύο υδρολογικών συστημάτων απεικονίζεται στον χάρτη της Εικόνας Error! No text of specified style in document.-1.

Τα χαρακτηριστικά μεγέθη της λεκάνης είναι:

- Έκταση $A = 340.8 \text{ km}^2$
- Μέσο υψόμετρο $z_m = 683.9 \text{ m}$
- Υψόμετρο κόμβου εξόδου $z_k = 467.4 \text{ m}$
- Μέγιστο μήκος ροής $L_{\max} = 43.3 \text{ km}$
- Χρόνος συγκέντρωσης $t_c = 18.1 \text{ h}$

Για την υδρολογική προσομοίωση επιλέγεται διάρκεια βροχής $D = 48 \text{ h}$ και χρονικό βήμα $\Delta t = 15 \text{ min}$.

Για την παραπάνω έκταση και διάρκεια προκύπτει συντελεστής επιφανειακής αναγωγής $\varphi = 0.928$.

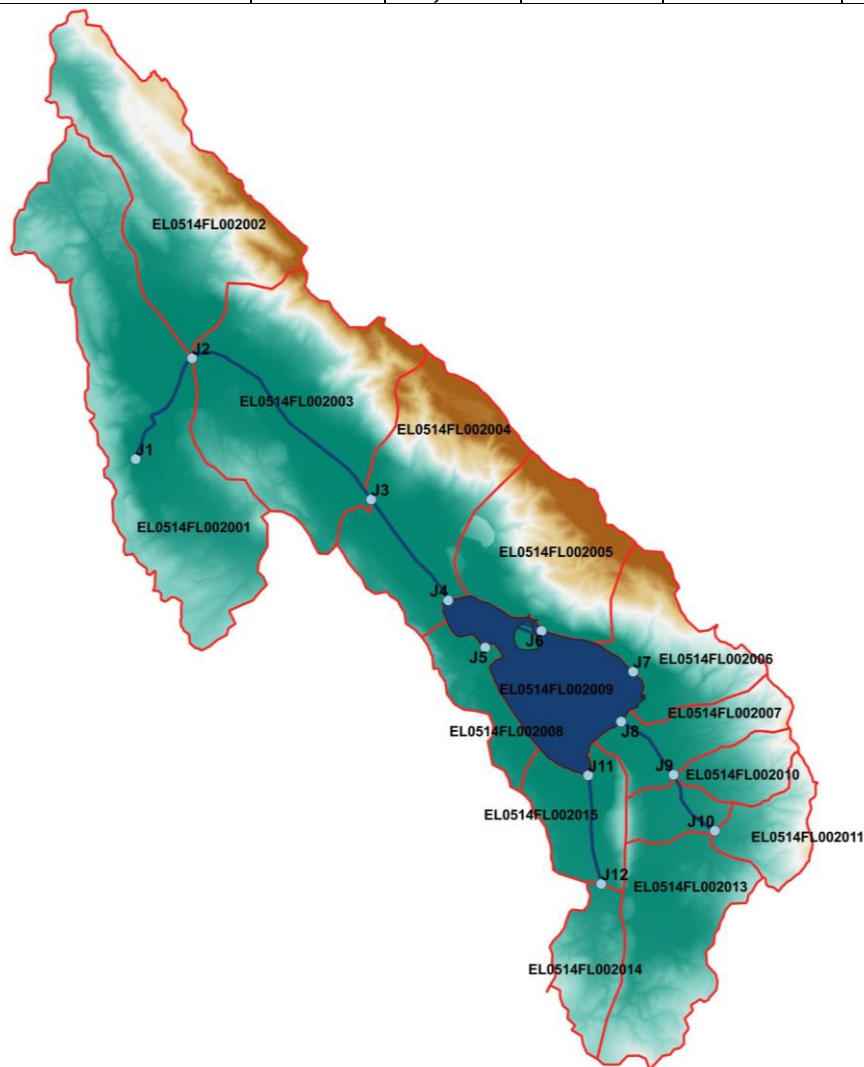
Τα χαρακτηριστικά γεωμετρικά μεγέθη των κλάδων και υπολεκανών του υδρογραφικού δικτύου δίνονται στους Πίνακες 5.5 και 5.6, αντίστοιχα, ενώ τα συγκεντρωτικά αποτελέσματα της συνολικής λεκάνης απορροής δίνονται στον Πίνακα 5-7. Σημειώνεται ότι οι παροχές αιχμής των υδρογραφημάτων αναφέρονται στον κόμβο J1, που είναι έξοδος του κατάντη υποσυστήματος, ενώ οι όγκοι αναφέρονται στο σύνολο των δύο υποσυστημάτων. Στο Παράρτημα Π2 δίνονται τα πλήρη δεδομένα εισόδου και εξόδου του μοντέλου προσομοίωσης για όλες τις συνιστώσες του δικτύου (υπολεκάνες, κόμβοι, κλάδοι), και τα αντίστοιχα γραφήματα.

Πίνακας Error! No text of specified style in document.-1 Χαρακτηριστικά μεγέθη κλάδων υδρογραφικού δικτύου (υδατορεύματα)

Κωδικός	Ονομασία	Ανάντη	Κατάντη	Μήκος (km)	Μέση κλίση
R21	Τάφρος Λάψιστα	J2	J1	4.316	0.0010
R32	Τάφρος Λάψιστα	J3	J2	8.455	0.0005
R43		J4	J3	4.453	0.0001
R540		J5	J40	1.000	0.0000
R640		J6	J40	1.000	0.0000
R740		J7	J40	1.000	0.0000
R840		J8	J40	1.000	0.0044
R1140		J11	J40	1.000	0.0000
R98		J9	J8	2.663	0.0043
R109		J10	J9	2.549	0.0093
R1211		J12	J11	3.863	0.0080

Πίνακας Error! No text of specified style in document.-2 Χαρακτηριστικά μεγέθη υπολεκανών

Κωδικός	Λεκάνη απορροής	Κλάδος	Κόμβος εξόδου	Έκταση (km ²)	Μέσο υψόμετρο (m)	Υψόμετρο εξόδου (m)	Μέγιστο μήκος ροής (km)
EL0514FL002001	EL0514FL00002	R21	J1	61.129	577.6	457.5	14.1
EL0514FL002002	EL0514FL00002		J2	42.328	822.4	459.9	13.3
EL0514FL002003	EL0514FL00002	R32	J2	48.231	663.2	459.1	8.4
EL0514FL002004	EL0514FL00002	R43	J3	33.762	806.6	463.3	11.2
EL0514FL002005	EL0514FL00002		J6	26.266	971.5	466.4	11.3
EL0514FL002006	EL0514FL00002		J7	17.484	836.5	467.5	6.1
EL0514FL002007	EL0514FL00002	R98	J8	12.128	599.5	467.8	8.6
EL0514FL002008	EL0514FL00002		J5	8.451	489.8	467.5	5.0
EL0514FL002009	EL0514FL00002		J40	19.862	497.3	467.4	1.0
EL0514FL002010	EL0514FL00002		J9	7.223	660.6	483.9	6.1
EL0514FL002011	EL0514FL00002		J10	8.802	749.5	507.3	5.7
EL0514FL002012	EL0514FL00002	R109	J9	5.800	512.6	478.9	4.7
EL0514FL002013	EL0514FL00002		J10	26.259	597.2	480.6	10.9
EL0514FL002014	EL0514FL00002		J12	10.148	630.2	487.3	8.5
EL0514FL002015	EL0514FL00002	R1211	J11	12.915	500.8	464.8	7.5

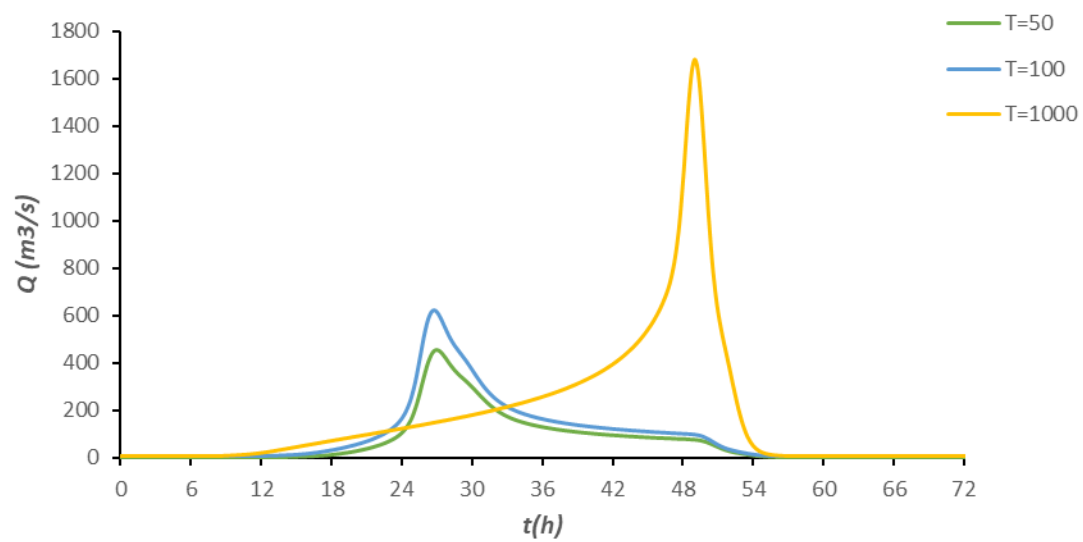


Εικόνα Error! No text of specified style in document.-1 Χάρτης περιοχής μελέτης, όπου απεικονίζεται η σχηματοποίηση των κόμβων και κλάδων του υδρογραφικού δικτύου και των υπολεκανών

Πίνακας Error! No text of specified style in document.-3 Συγκεντρωτικά αποτελέσματα υδρολογικής προσομοίωσης περιοχής μελέτης

Χαρακτηριστικά μεγέθη λεκάνης απορροής οροπεδίου Ιωαννίνων			
Έκταση (km ²)	340.78	Υψόμετρο εξόδου (m)	467.4
Αδιαπέρατη επιφάνεια (%)	5.54	Χρόνος συγκέντρωσης (h)	18.12
Μέγιστο μήκος ροής (km)	43.31	Διάρκεια βροχόπτωσης σχεδιασμού (h)	48.00
Μέσο υψόμετρο (m)	683.9	Χρονικό βήμα (h)	0.25
Συγκεντρωτικά αποτελέσματα υδρολογικής προσομοίωσης λεκάνης			
	Ευμενείς συνθήκες	Μέσες συνθήκες	Δυσμενείς συνθήκες
	Ολικό ύψος επιφανειακής βροχής (mm)		
T = 50	195.4	195.4	195.4
T = 100	228.7	228.7	228.7
T = 1000	374.2	374.2	374.2
	Ολικό ύψος πλημμυρικής απορροής (mm)		
T = 50	51.4	101.8	143.3
T = 100	70.3	129.4	174.8
T = 1000	170.6	259.3	316.0
	Συντελεστής απορροής		
T = 50	0.263	0.521	0.733
T = 100	0.308	0.566	0.764
T = 1000	0.456	0.693	0.844
	Πλημμυρική παροχή αιχμής (m³/s)		
T = 50	135	450.4	687.7
T = 100	227.1	609.9	868.1
T = 1000	1245.8	1661.2	1815
	Πλημμυρικός όγκος (hm³)		
T = 50	17.514	34.691	48.828
T = 100	23.974	44.110	59.577
T = 1000	58.146	88.358	107.686
	Συνολική παροχή αιχμής (m³/s)		
T = 50	141.8	457.2	694.5
T = 100	237.3	620.1	878.3
T = 1000	1262.8	1678.3	1832.0
	Συνολικός όγκος υδρογραφήματος (hm³)		
T = 50	26.359	43.548	57.695
T = 100	37.241	57.390	72.868
T = 1000	80.269	110.502	129.844

Υδρογραφήματα σχεδιασμού στον κόμβο εξόδου(μέσες συνθήκες)



2 Δεδομένα εισόδου και αποτελέσματα υδρολογικού σεναρίου T=50

2.1 Αποτελέσματα, υετογραφήματα και υδρογραφήματα σχεδιασμού υπολεκανών

Υπολεκάνη: EL0514FL002001

Έκταση (KM2) : 61.13

Κατάνη : J1

Μέθοδος Απωλειών: SCS

Ποσοστό αδιαπέρατης επιφάνειας	0
Αριθμός Καμπύλης Απορροής-CN	61.9
Αρχικές Απώλειες	31.27

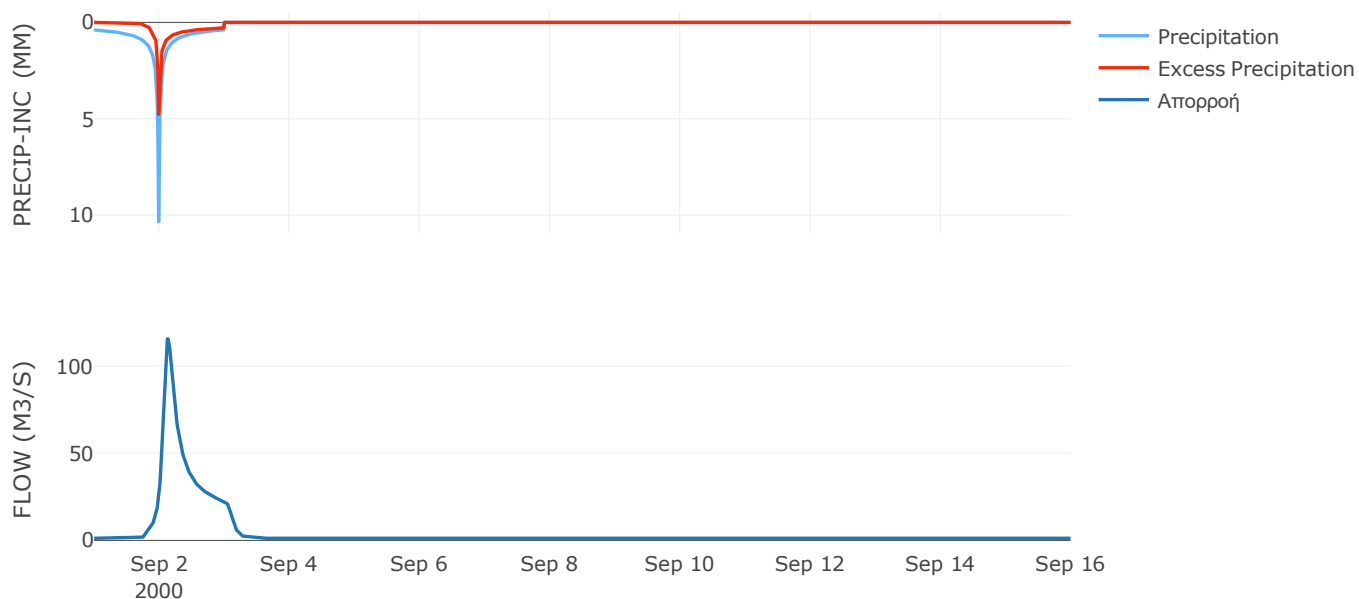
Μέθοδος
Μετασχηματισμού: SCS

Χρόνος Υστέρησης	161.91
------------------	--------

Αποτελέσματα:
EL0514FL002001

Παροχή αιχμής (M3/S)	115.59
Χρονική στιγμή αιχμής	02Sep2000, 03:15
Όγκος (MM)	99.07
Όγκος βροχόπτωσης (M3)	1.11E7
Όγκος απωλειών (M3)	6.58E6
Ενεργός Όγκος (M3)	4.47E6
Όγκος άμεσης απορροής (M3)	4.47E6
Όγκος βασικής απορροής (M3)	1.58E6

Βροχόπτωση και Απορροή



Υπολεκάνη: EL0514FL002002

Έκταση (KM2) : 42.33

Κατάντη : J2

Μέθοδος Απωλειών: SCS

Ποσοστό αδιαπέρατης επιφάνειας	0
Αριθμός Καμπύλης Απορροής-CN	56.64
Αρχικές Απώλειες	38.88

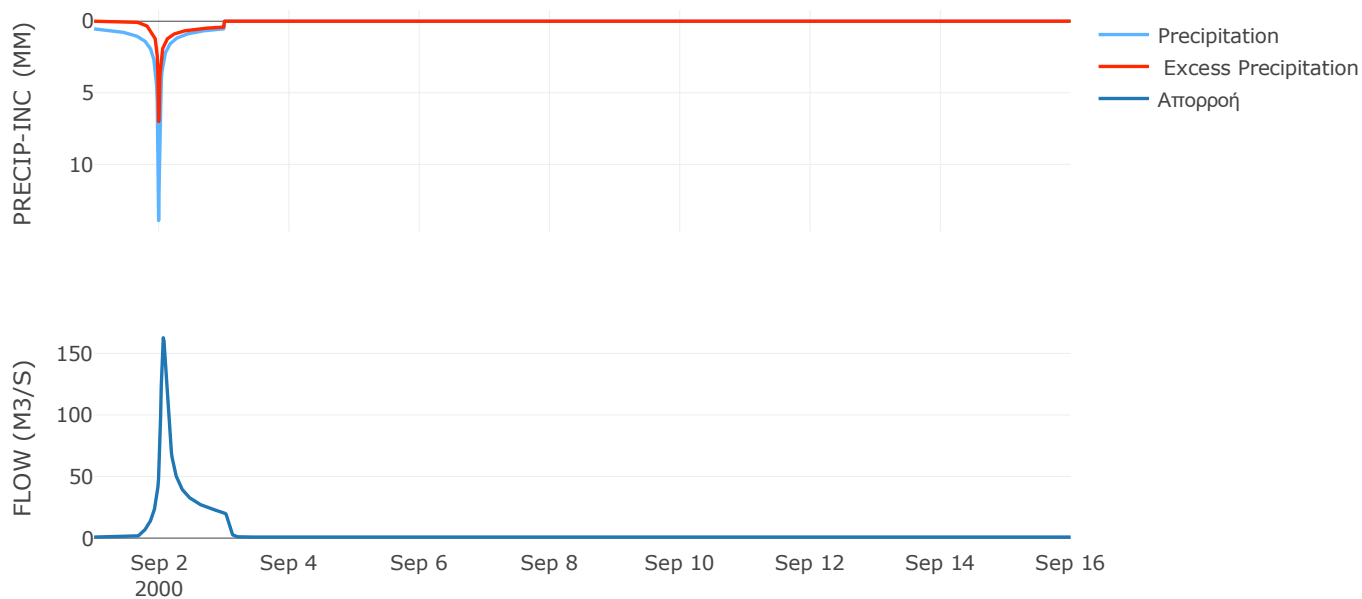
Μέθοδος
Μετασχηματισμού: SCS

Χρόνος Υστέρησης	81.75
------------------	-------

Αποτελέσματα:
EL0514FL002002

Παροχή αιχμής (M3/S)	162.71
Χρονική στιγμή αιχμής	02Sep2000, 01:30
Όγκος (MM)	133.92
Όγκος βροχόπτωσης (M3)	1.05E7
Όγκος απωλειών (M3)	5.91E6
Ενεργός Όγκος (M3)	4.57E6
Όγκος άμεσης απορροής (M3)	4.57E6
Όγκος βασικής απορροής (M3)	1.1E6

Βροχόπτωση και Απορροή



Υπολεκάνη: EL0514FL002003

Έκταση (KM2) : 48.23

Κατάντη : J2

Μέθοδος Απωλειών: SCS

Ποσοστό αδιαπέρατης επιφάνειας	0
Αριθμός Καμπύλης Απορροής-CN	70.25
Αρχικές Απώλειες	21.52

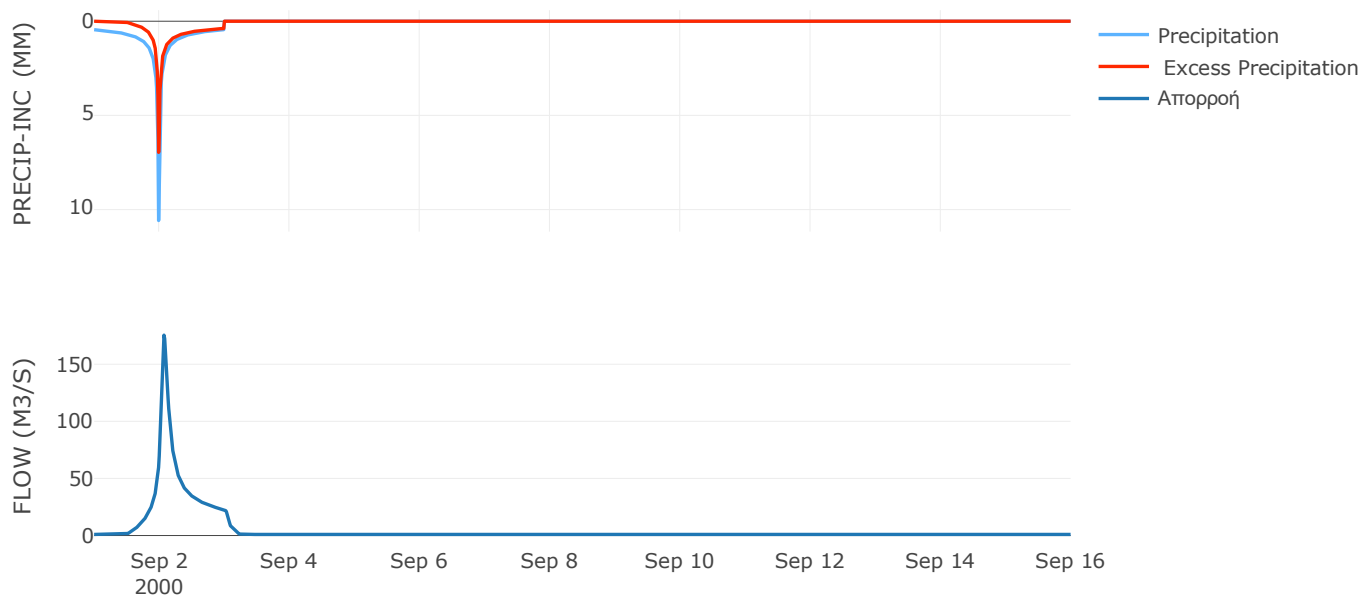
Μέθοδος
Μετασχηματισμού: SCS

Χρόνος Υστέρησης	95.86
------------------	-------

Αποτελέσματα:
EL0514FL002003

Παροχή αιχμής (M3/S)	175.49
Χρονική στιγμή αιχμής	02Sep2000, 01:45
Όγκος (MM)	138.06
Όγκος βροχόπτωσης (M3)	9.69E6
Όγκος απωλειών (M3)	4.28E6
Ενεργός Όγκος (M3)	5.41E6
Όγκος άμεσης απορροής (M3)	5.41E6
Όγκος βασικής απορροής (M3)	1.25E6

Βροχόπτωση και Απορροή



Υπολεκάνη: EL0514FL002004

Έκταση (KM2) : 33.76

Κατάντη : J3

Μέθοδος Απωλειών: SCS

Ποσοστό αδιαπέρατης επιφάνειας	0
Αριθμός Καμπύλης Απορροής-CN	68.26
Αρχικές Απώλειες	23.62

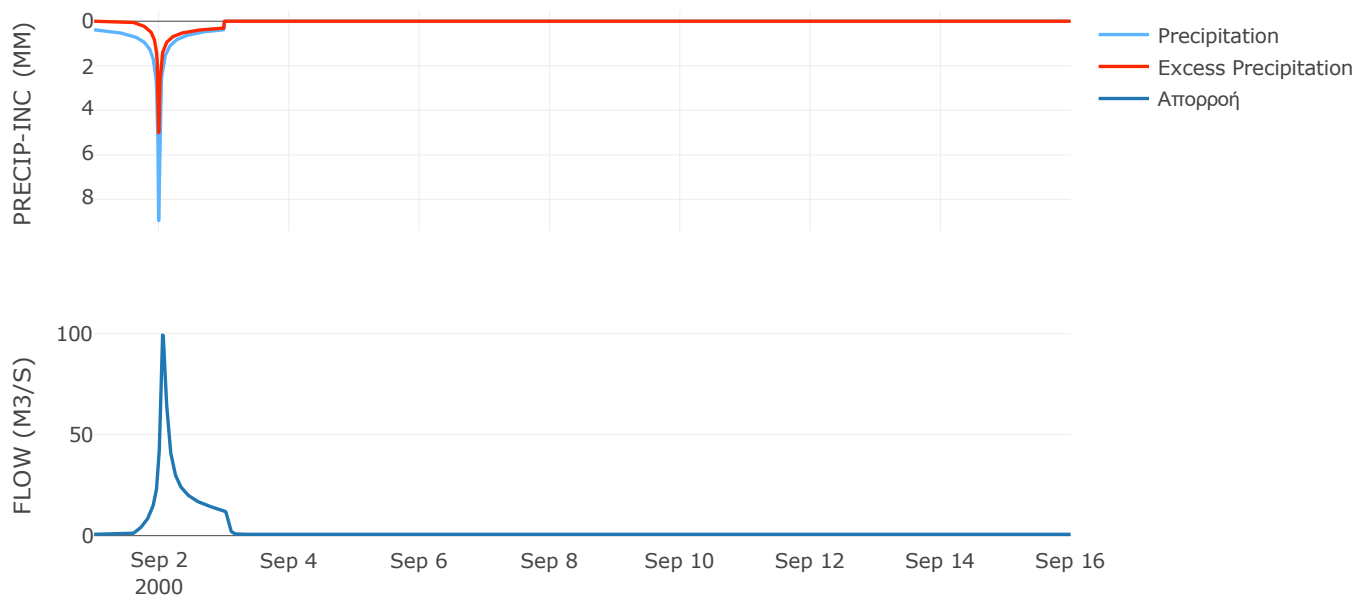
Μέθοδος
Μετασχηματισμού: SCS

Χρόνος Υστέρησης	73.04
------------------	-------

Αποτελέσματα:
EL0514FL002004

Παροχή αιχμής (M3/S)	99.34
Χρονική στιγμή αιχμής	02Sep2000, 01:15
Όγκος (MM)	107.96
Όγκος βροχόπτωσης (M3)	5.78E6
Όγκος απωλειών (M3)	3.01E6
Ενεργός Όγκος (M3)	2.77E6
Όγκος άμεσης απορροής (M3)	2.77E6
Όγκος βασικής απορροής (M3)	8.75E5

Βροχόπτωση και Απορροή



Υπολεκάνη: EL0514FL002005

Έκταση (KM2) : 26.27

Κατάντη : J6

Μέθοδος Απωλειών: SCS

Ποσοστό αδιαπέρατης επιφάνειας	0
Αριθμός Καμπύλης Απορροής-CN	54.88
Αρχικές Απώλειες	41.77

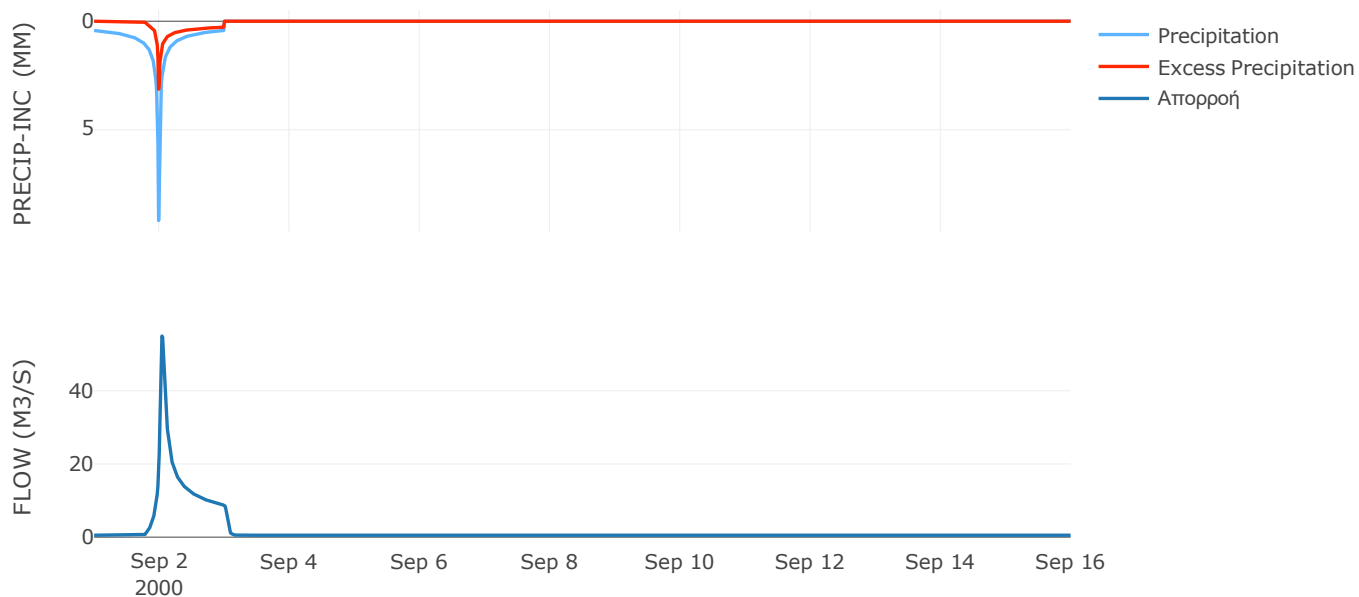
Μέθοδος
Μετασχηματισμού: SCS

Χρόνος Υστέρησης	56.35
------------------	-------

Αποτελέσματα:
EL0514FL002005

Παροχή αιχμής (M3/S)	54.96
Χρονική στιγμή αιχμής	02Sep2000, 01:00
Όγκος (MM)	84.23
Όγκος βροχόπτωσης (M3)	4.86E6
Όγκος απωλειών (M3)	3.33E6
Ενεργός Όγκος (M3)	1.53E6
Όγκος άμεσης απορροής (M3)	1.53E6
Όγκος βασικής απορροής (M3)	6.81E5

Βροχόπτωση και Απορροή



Υπολεκάνη: EL0514FL002006

Έκταση (KM2) : 17.48

Κατάντη : J7

Μέθοδος Απωλειών: SCS

Ποσοστό αδιαπέρατης επιφάνειας	0
Αριθμός Καμπύλης Απορροής-CN	59.28
Αρχικές Απώλειες	34.9

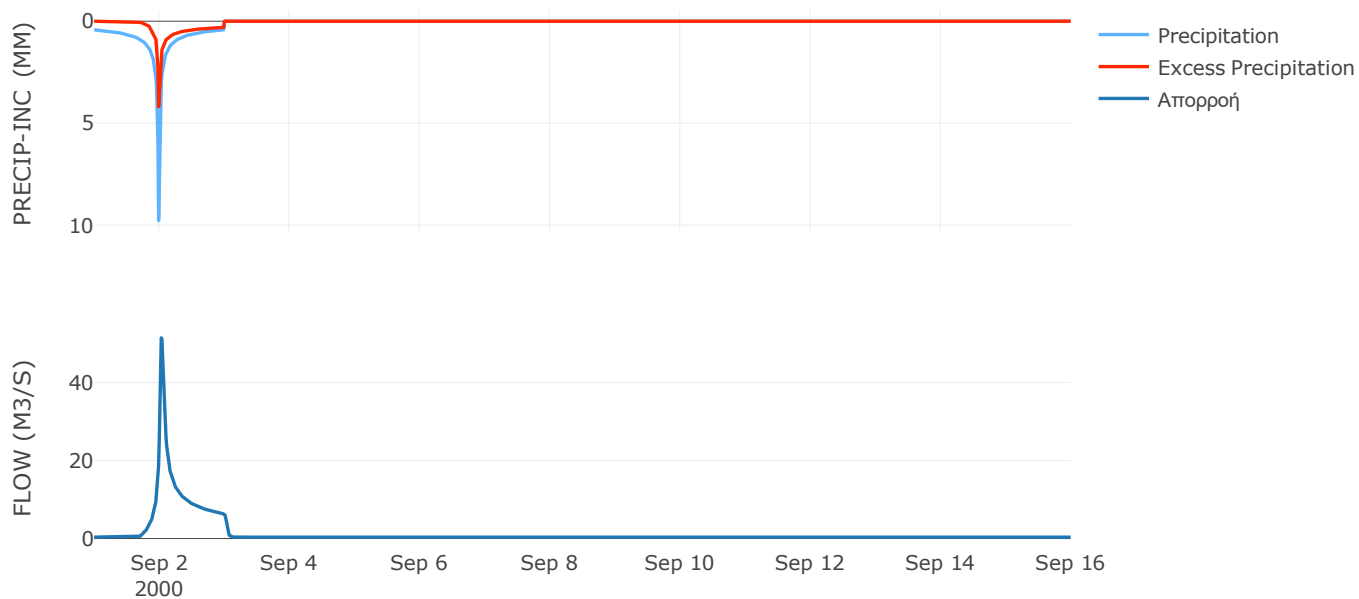
Μέθοδος
Μετασχηματισμού: SCS

Χρόνος Υστέρησης	45.58
------------------	-------

Αποτελέσματα:
EL0514FL002006

Παροχή αιχμής (M3/S)	51.49
Χρονική στιγμή αιχμής	02Sep2000, 00:45
Όγκος (MM)	97.17
Όγκος βροχόπτωσης (M3)	3.28E6
Όγκος απωλειών (M3)	2.03E6
Ενεργός Όγκος (M3)	1.25E6
Όγκος άμεσης απορροής (M3)	1.25E6
Όγκος βασικής απορροής (M3)	4.53E5

Βροχόπτωση και Απορροή



Υπολεκάνη: EL0514FL002007

Έκταση (KM2) : 12.13

Κατάντη : J8

Μέθοδος Απωλειών: SCS

Ποσοστό αδιαπέρατης επιφάνειας	0
Αριθμός Καμπύλης Απορροής-CN	78.88
Αρχικές Απώλειες	13.61

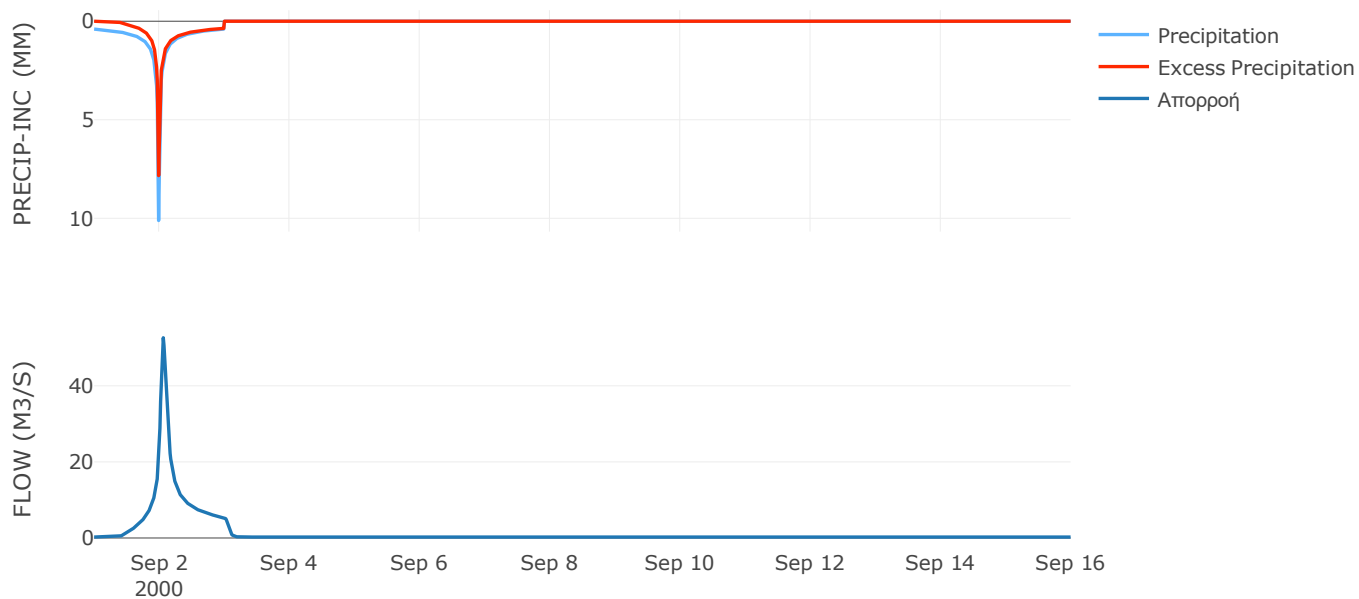
Μέθοδος
Μετασχηματισμού: SCS

Χρόνος Υστέρησης	79.34
------------------	-------

Αποτελέσματα:
EL0514FL002007

Παροχή αιχμής (M3/S)	52.63
Χρονική στιγμή αιχμής	02Sep2000, 01:30
Όγκος (MM)	146.53
Όγκος βροχόπτωσης (M3)	2.22E6
Όγκος απωλειών (M3)	7.53E5
Ενεργός Όγκος (M3)	1.46E6
Όγκος άμεσης απορροής (M3)	1.46E6
Όγκος βασικής απορροής (M3)	3.14E5

Βροχόπτωση και Απορροή



Υπολεκάνη: EL0514FL002008

Έκταση (KM2) : 8.45

Κατάντη : J5

Μέθοδος Απωλειών: SCS

Ποσοστό αδιαπέρατης επιφάνειας	0
Αριθμός Καμπύλης Απορροής-CN	88.98
Αρχικές Απώλειες	6.29

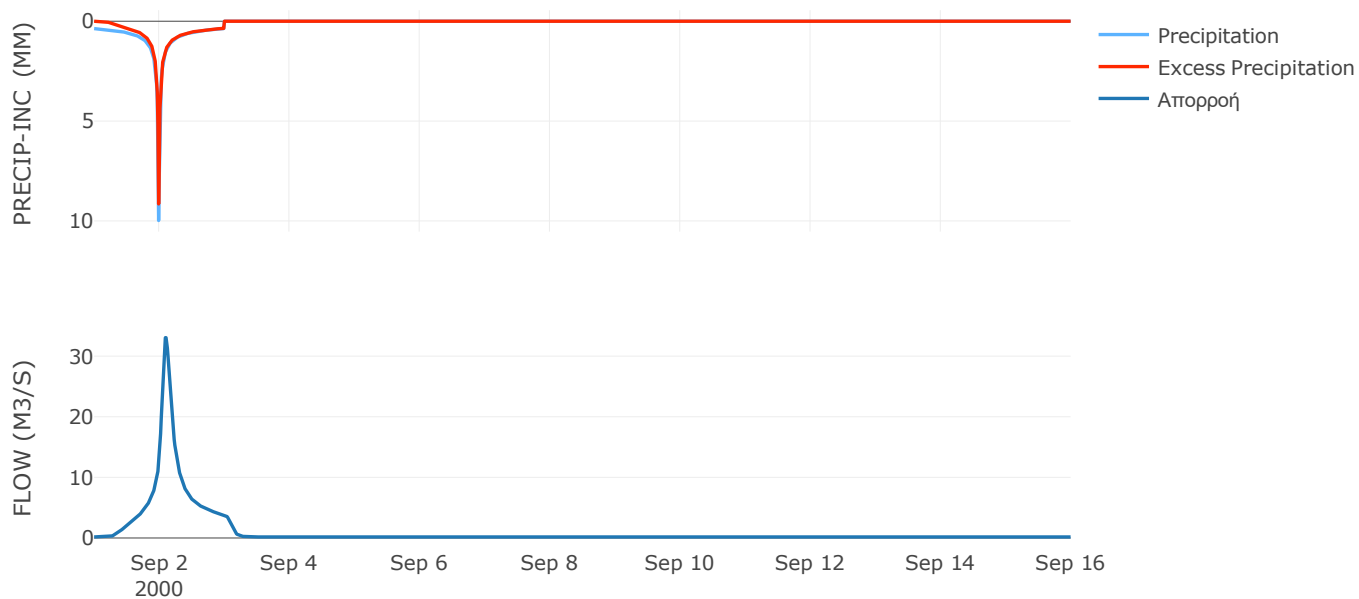
Μέθοδος
Μετασχηματισμού: SCS

Χρόνος Υστέρησης	136.94
------------------	--------

Αποτελέσματα:
EL0514FL002008

Παροχή αιχμής (M3/S)	33.05
Χρονική στιγμή αιχμής	02Sep2000, 02:30
Όγκος (MM)	165.78
Όγκος βροχόπτωσης (M3)	1.46E6
Όγκος απωλειών (M3)	2.77E5
Ενεργός Όγκος (M3)	1.18E6
Όγκος άμεσης απορροής (M3)	1.18E6
Όγκος βασικής απορροής (M3)	2.19E5

Βροχόπτωση και Απορροή



Υπολεκάνη: EL0514FL002009

Έκταση (KM2) : 19.86

Κατάντη : J40

Μέθοδος Απωλειών: SCS

Ποσοστό αδιαπέρατης επιφάνειας	95
Αριθμός Καμπύλης Απορροής-CN	99
Αρχικές Απώλειες	0.5

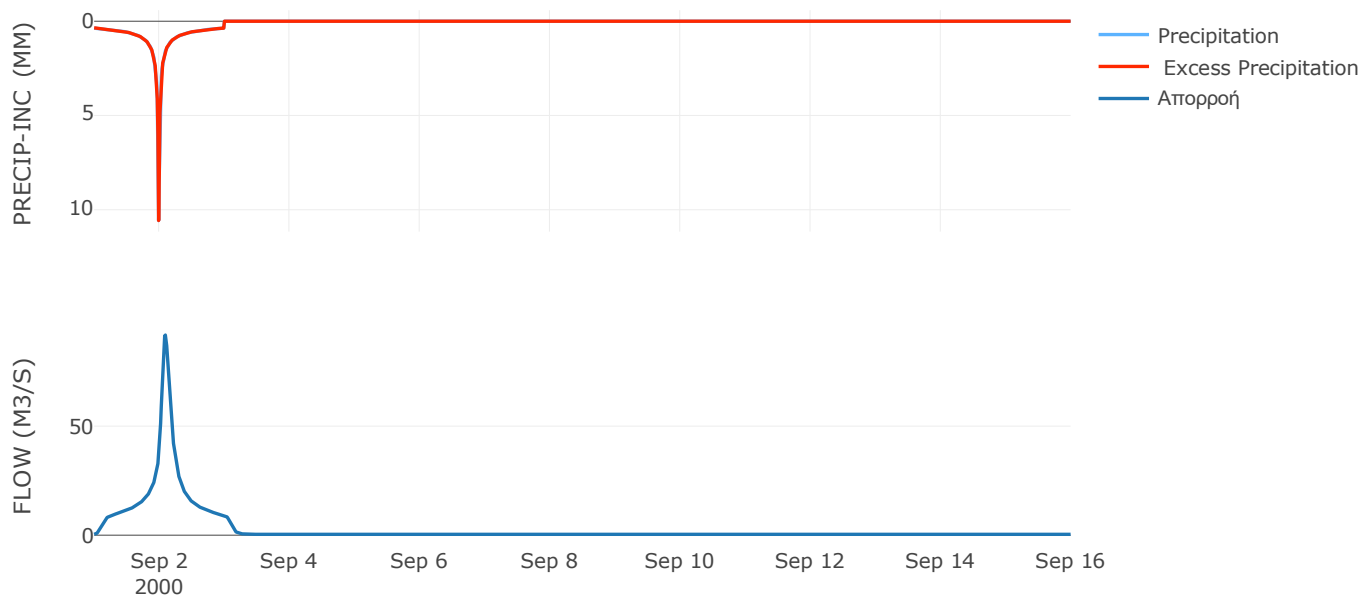
Μέθοδος
Μετασχηματισμού: SCS

Χρόνος Υστέρησης	128.01
------------------	--------

Αποτελέσματα:
EL0514FL002009

Παροχή αιχμής (M3/S)	91.78
Χρονική στιγμή αιχμής	02Sep2000, 02:15
Όγκος (MM)	201.57
Όγκος βροχόπτωσης (M3)	3.49E6
Όγκος απωλειών (M3)	3007.67
Ενεργός Όγκος (M3)	3.49E6
Όγκος άμεσης απορροής (M3)	3.49E6
Όγκος βασικής απορροής (M3)	5.15E5

Βροχόπτωση και Απορροή



Υπολεκάνη: EL0514FL002010

Έκταση (KM2) : 7.22

Κατάντη : J9

Μέθοδος Απωλειών: SCS

Ποσοστό αδιαπέρατης επιφάνειας	0
Αριθμός Καμπύλης Απορροής-CN	79.45
Αρχικές Απώλειες	13.14

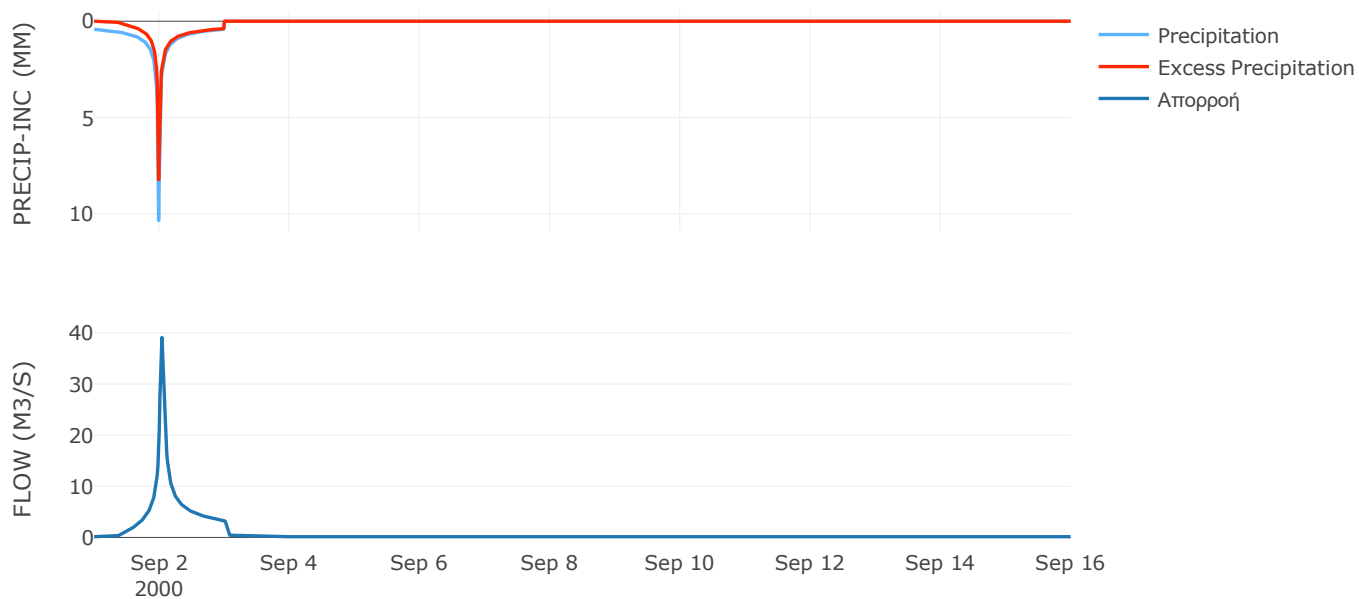
Μέθοδος
Μετασχηματισμού: SCS

Χρόνος Υστέρησης	50.61
------------------	-------

Αποτελέσματα:
EL0514FL002010

Παροχή αιχμής (M3/S)	39.11
Χρονική στιγμή αιχμής	02Sep2000, 01:00
Όγκος (MM)	154.88
Όγκος βροχόπτωσης (M3)	1.37E6
Όγκος απωλειών (M3)	4.41E5
Ενεργός Όγκος (M3)	9.31E5
Όγκος άμεσης απορροής (M3)	9.31E5
Όγκος βασικής απορροής (M3)	1.87E5

Βροχόπτωση και Απορροή



Υπολεκάνη: EL0514FL002011

Έκταση (KM2) : 8.8

Κατάντη : J10

Μέθοδος Απωλειών: SCS

Ποσοστό αδιαπέρατης επιφάνειας	0
Αριθμός Καμπύλης Απορροής-CN	80.68
Αρχικές Απώλειες	12.16

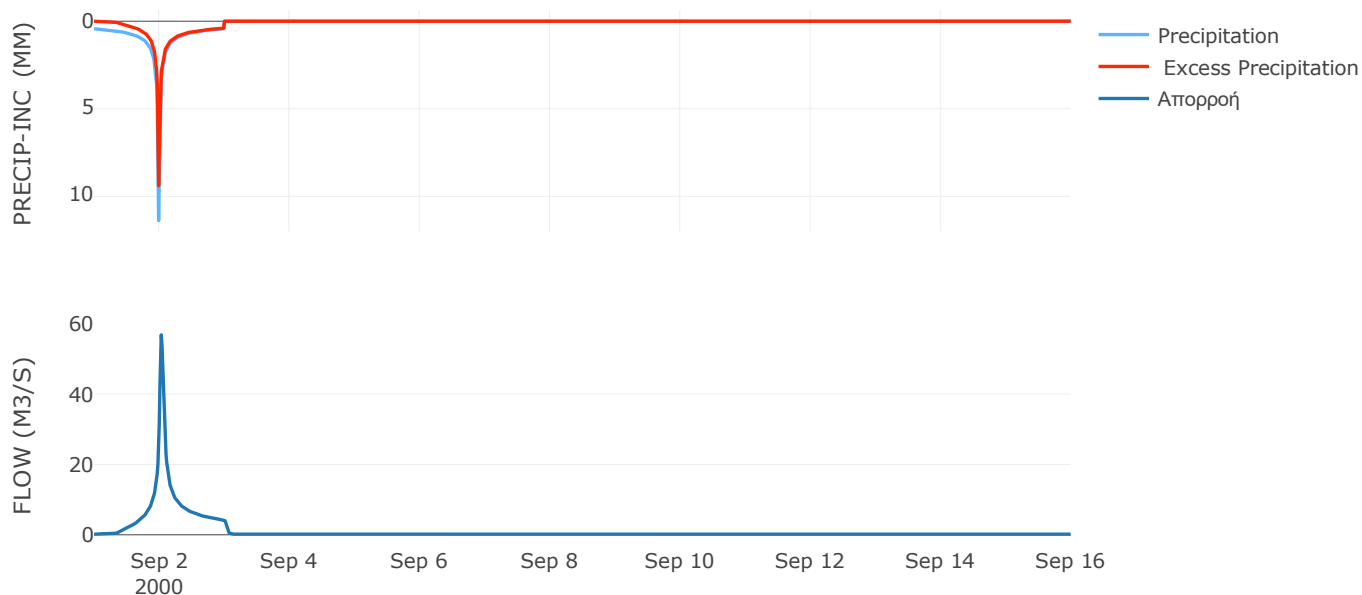
Μέθοδος
Μετασχηματισμού: SCS

Χρόνος Υστέρησης	44.52
------------------	-------

Αποτελέσματα:
EL0514FL002011

Παροχή αιχμής (M3/S)	56.86
Χρονική στιγμή αιχμής	02Sep2000, 00:45
Όγκος (MM)	167.12
Όγκος βροχόπτωσης (M3)	1.75E6
Όγκος απωλειών (M3)	5.11E5
Ενεργός Όγκος (M3)	1.24E6
Όγκος άμεσης απορροής (M3)	1.24E6
Όγκος βασικής απορροής (M3)	2.28E5

Βροχόπτωση και Απορροή



Υπολεκάνη: EL0514FL002012

Έκταση (KM2) : 5.8

Κατάντη : J9

Μέθοδος Απωλειών: SCS

Ποσοστό αδιαπέρατης επιφάνειας	0
Αριθμός Καμπύλης Απορροής-CN	74.85
Αρχικές Απώλειες	17.07

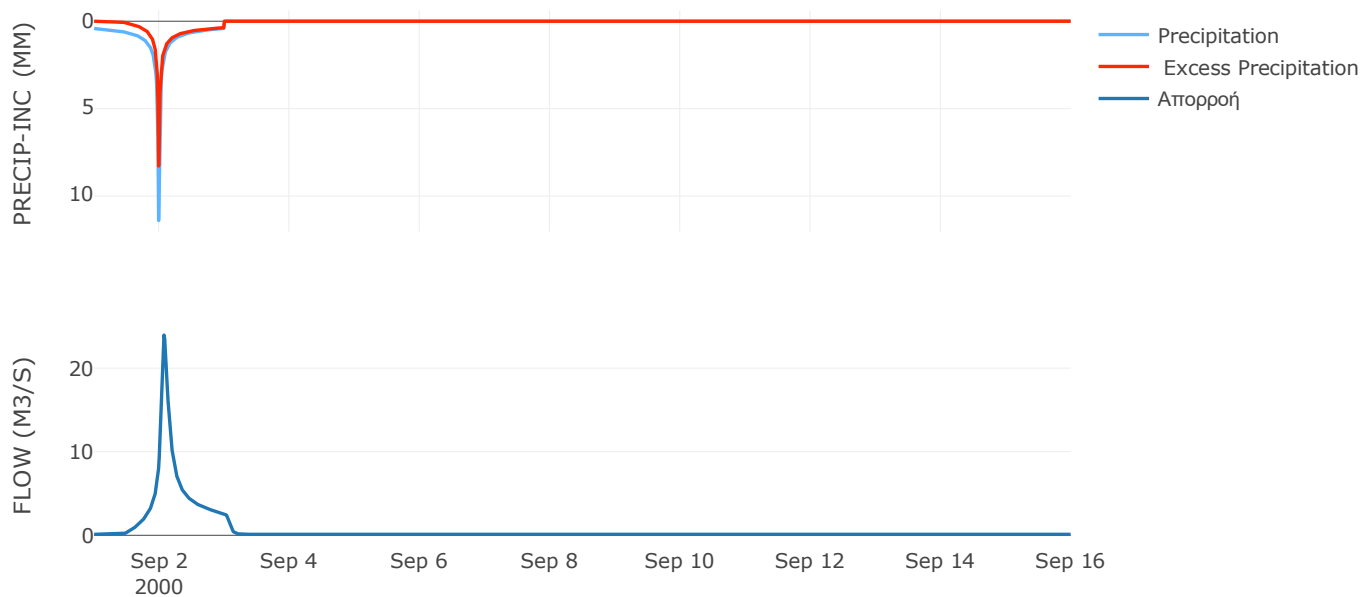
Μέθοδος
Μετασχηματισμού: SCS

Χρόνος Υστέρησης	97.31
------------------	-------

Αποτελέσματα:
EL0514FL002012

Παροχή αιχμής (M3/S)	23.96
Χρονική στιγμή αιχμής	02Sep2000, 01:45
Όγκος (MM)	146.48
Όγκος βροχόπτωσης (M3)	1.13E6
Όγκος απωλειών (M3)	4.34E5
Ενεργός Όγκος (M3)	6.99E5
Όγκος άμεσης απορροής (M3)	6.99E5
Όγκος βασικής απορροής (M3)	1.5E5

Βροχόπτωση και Απορροή



Υπολεκάνη: EL0514FL002013

Έκταση (KM2) : 26.26

Κατάντη : J10

Μέθοδος Απωλειών: SCS

Ποσοστό αδιαπέρατης επιφάνειας	0
Αριθμός Καμπύλης Απορροής-CN	71.64
Αρχικές Απώλειες	20.11

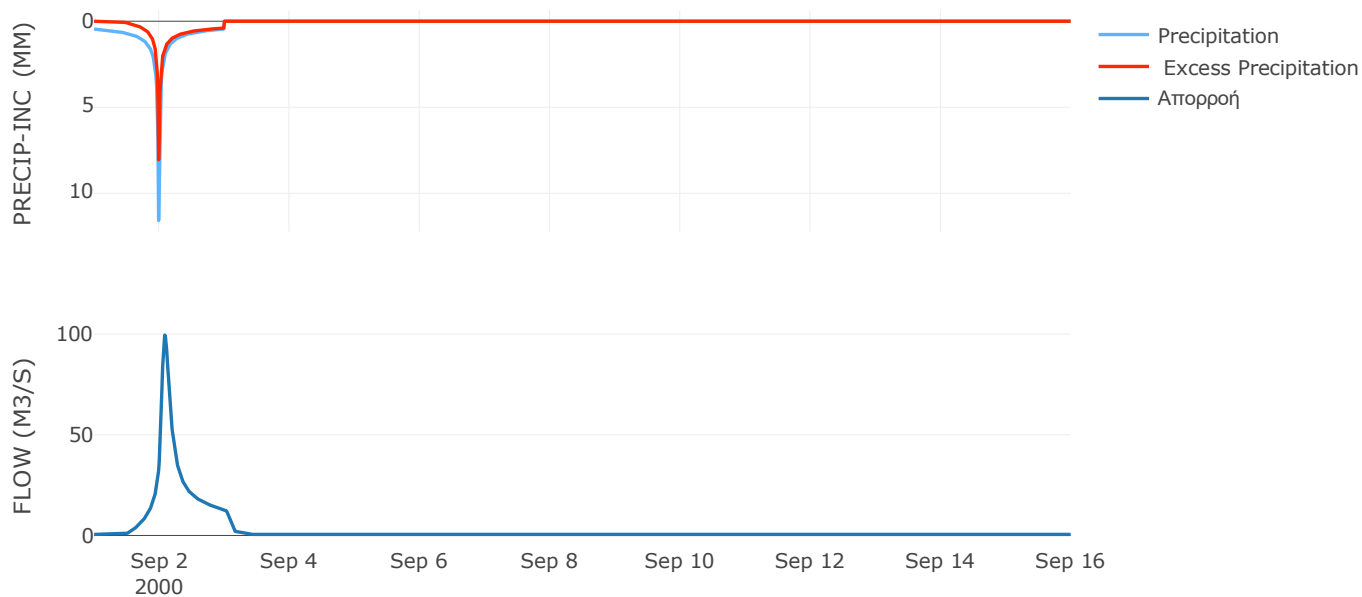
Μέθοδος
Μετασχηματισμού: SCS

Χρόνος Υστέρησης	115.29
------------------	--------

Αποτελέσματα:
EL0514FL002013

Παροχή αιχμής (M3/S)	99.49
Χρονική στιγμή αιχμής	02Sep2000, 02:00
Όγκος (MM)	149.21
Όγκος βροχόπτωσης (M3)	5.49E6
Όγκος απωλειών (M3)	2.25E6
Ενεργός Όγκος (M3)	3.24E6
Όγκος άμεσης απορροής (M3)	3.24E6
Όγκος βασικής απορροής (M3)	6.81E5

Βροχόπτωση και Απορροή



Υπολεκάνη: EL0514FL002014

Έκταση (KM2) : 10.15

Κατάντη : J12

Μέθοδος Απωλειών: SCS

Ποσοστό αδιαπέρατης επιφάνειας	0
Αριθμός Καμπύλης Απορροής-CN	63.44
Αρχικές Απώλειες	29.28

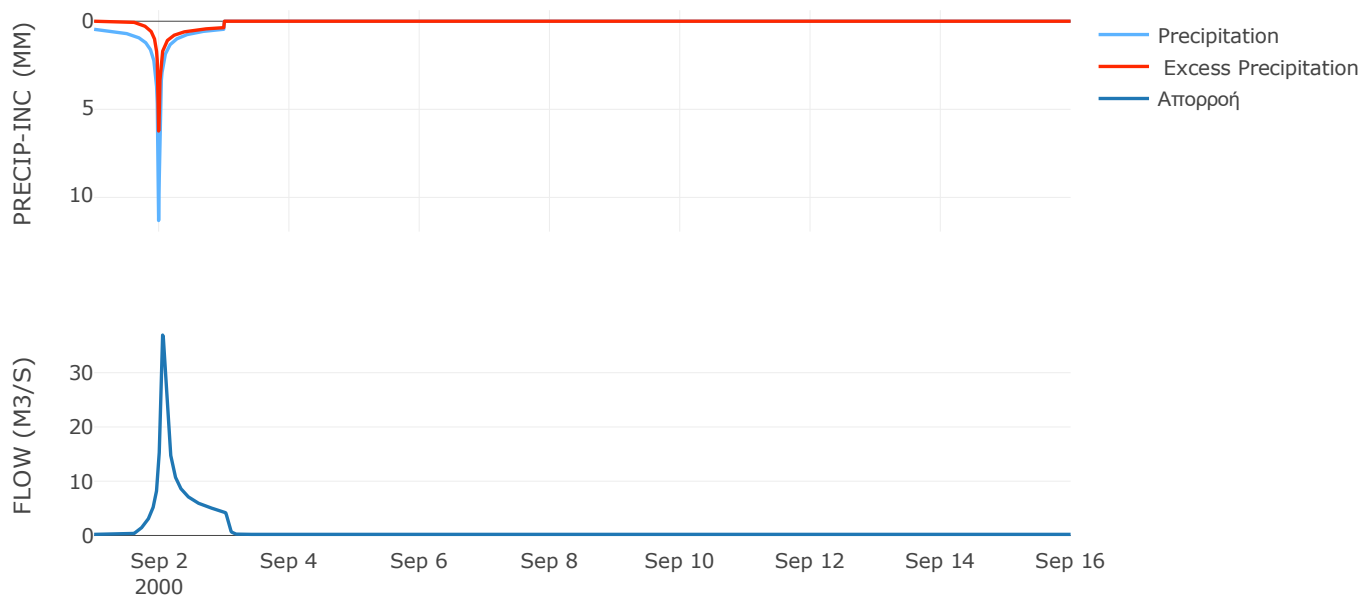
Μέθοδος
Μετασχηματισμού: SCS

Χρόνος Υστέρησης	71.95
------------------	-------

Αποτελέσματα:
EL0514FL002014

Παροχή αιχμής (M3/S)	36.94
Χρονική στιγμή αιχμής	02Sep2000, 01:15
Όγκος (MM)	124.38
Όγκος βροχόπτωσης (M3)	2.11E6
Όγκος απωλειών (M3)	1.11E6
Ενεργός Όγκος (M3)	9.99E5
Όγκος άμεσης απορροής (M3)	9.99E5
Όγκος βασικής απορροής (M3)	2.63E5

Βροχόπτωση και Απορροή



Υπολεκάνη: EL0514FL002015

Έκταση (KM2) : 12.91

Κατάνη : J11

Μέθοδος Απωλειών: SCS

Ποσοστό αδιαπέρατης επιφάνειας	0
Αριθμός Καμπύλης Απορροής-CN	74.86
Αρχικές Απώλειες	17.06

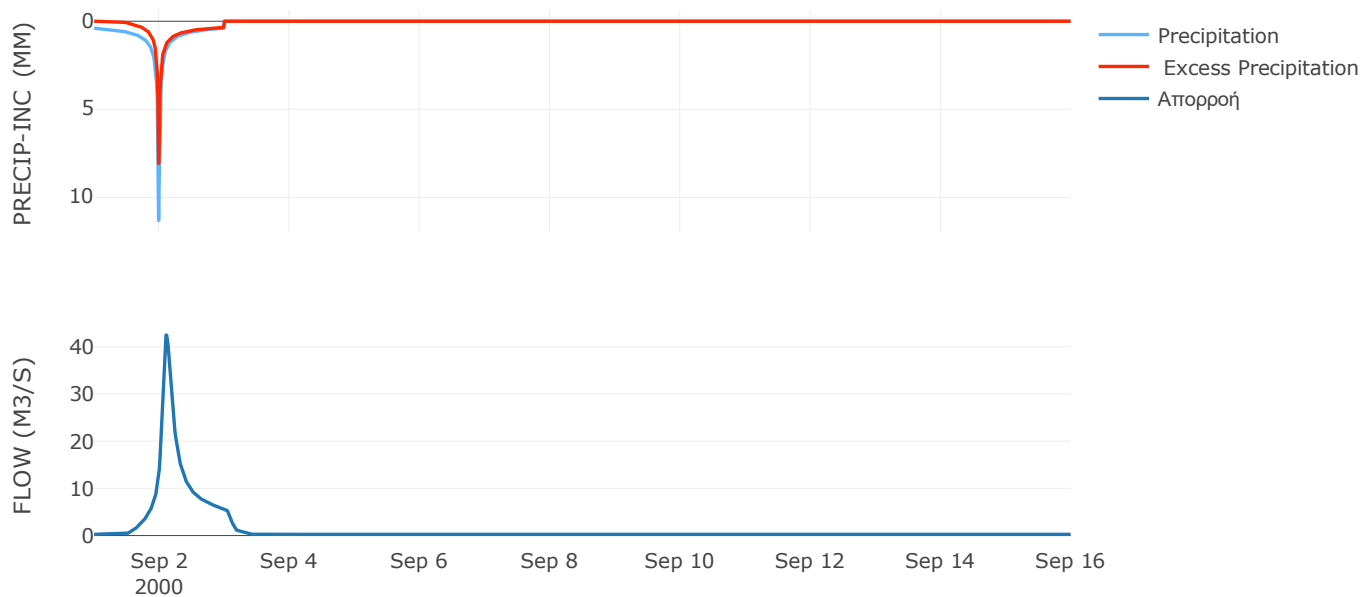
Μέθοδος
Μετασχηματισμού: SCS

Χρόνος Υστέρησης	144.3
------------------	-------

Αποτελέσματα:
EL0514FL002015

Παροχή αιχμής (M3/S)	42.47
Χρονική στιγμή αιχμής	02Sep2000, 02:30
Όγκος (MM)	139.97
Όγκος βροχόπτωσης (M3)	2.43E6
Όγκος απωλειών (M3)	9.55E5
Ενεργός Όγκος (M3)	1.47E6
Όγκος άμεσης απορροής (M3)	1.47E6
Όγκος βασικής απορροής (M3)	3.35E5

Βροχόπτωση και Απορροή



2.2 Δεδομένα και υδρογραφήματα σχεδιασμού Κλάδων υδρογραφικού δικτύου

Κλάδος: R21

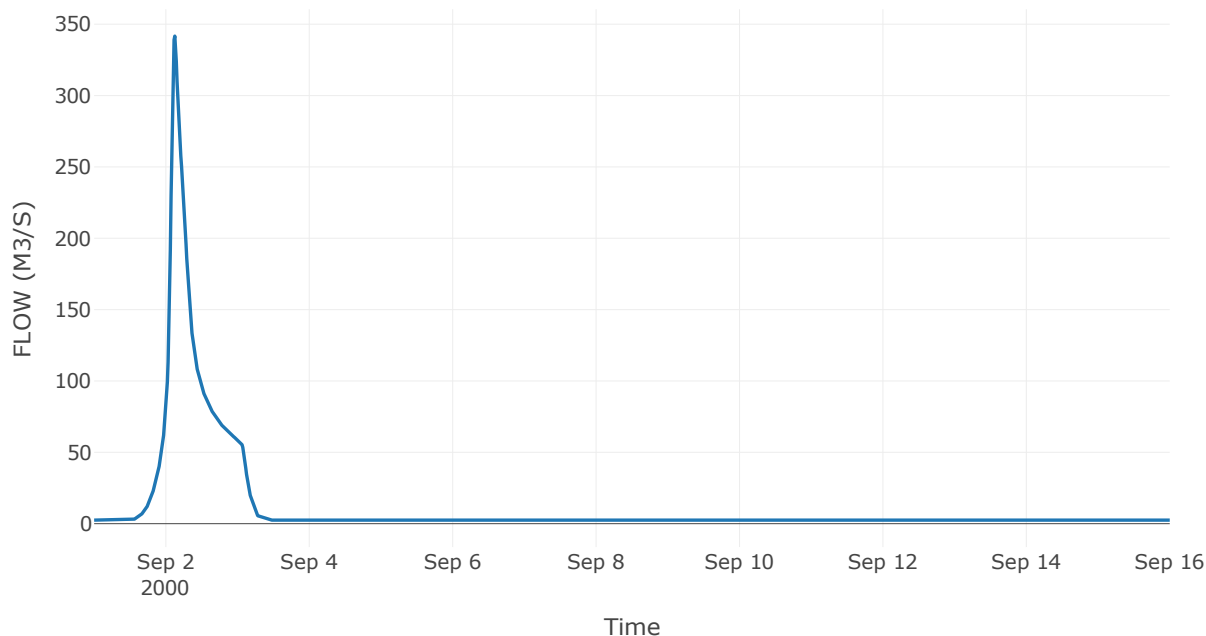
Κατάντη : J1

Μέθοδος Διόδευσης	Muskingum
Αρχική Μεταβλητή	Combined Inflow
Χρόνος Ροής K	1.19
Συντελεστής βάρους x	0.2
Πλήθος Υποκλάδων	5

Αποτελέσματα: R21

Παροχή Αιχμής (M3/S)	341.65
Χρονική στιγμή αιχμής	02Sep2000, 03:00
Όγκος(MM)	128.47
Παροχή Αιχμής Εισόδου (M3/S)	356.79
Όγκος Εισροής(M3)	1.6E7

Απορροή



Κλάδος: R32

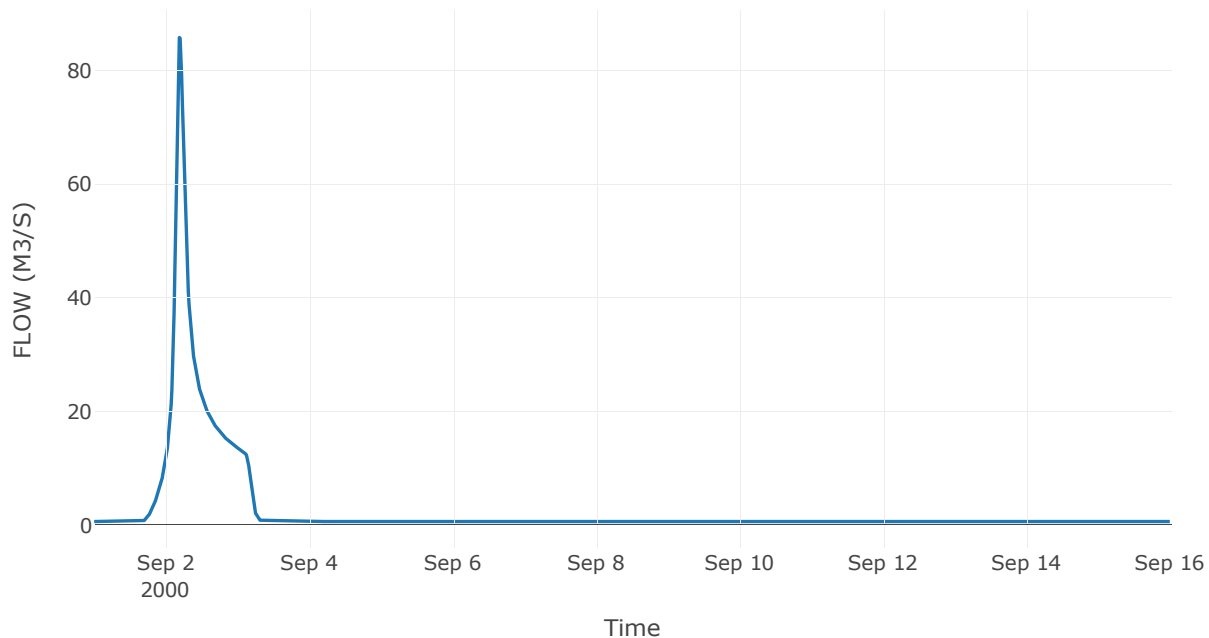
Κατάντη : J2

Μέθοδος Διόδευσης	Muskingum
Αρχική Μεταβλητή	Combined Inflow
Χρόνος Ροής K	3.14
Συντελεστής βάρους x	0.2
Πλήθος Υποκλάδων	13

Αποτελέσματα: R32

Παροχή Αιχμής (M3/S)	85.82
Χρονική στιγμή αιχμής	02Sep2000, 04:30
Όγκος(MM)	107.96
Παροχή Αιχμής Εισόδου (M3/S)	99.34
Όγκος Εισροής(M3)	3.64E6

Απορροή



Κλάδος: R43

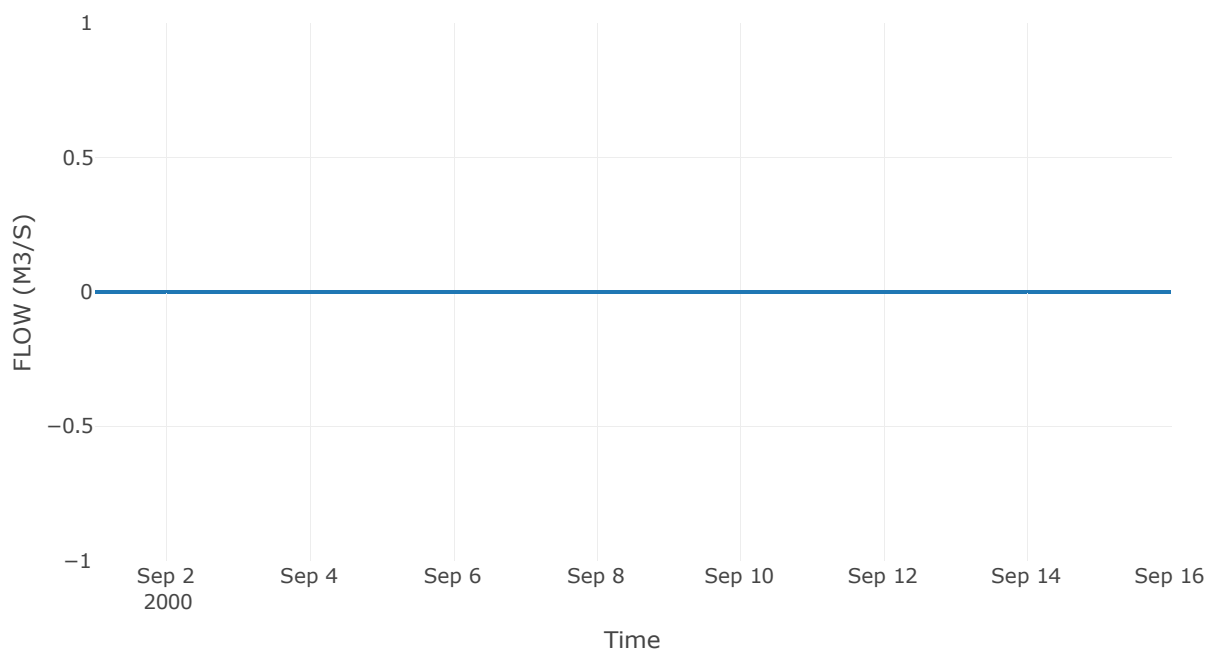
Κατάντη : J3

Μέθοδος Διόδευσης	Muskingum
Αρχική Μεταβλητή	Combined Inflow
Χρόνος Ροής K	4.02
Συντελεστής βάρους x	0.2
Πλήθος Υποκλάδων	16

Αποτελέσματα: R43

Παροχή Αιχμής (M3/S)	0
Χρονική στιγμή αιχμής	31Aug2000, 24:00
Peak Inflow (M3/S)	0
Όγκος Εισροής (M3)	0

Απορροή



Κλάδος: R540

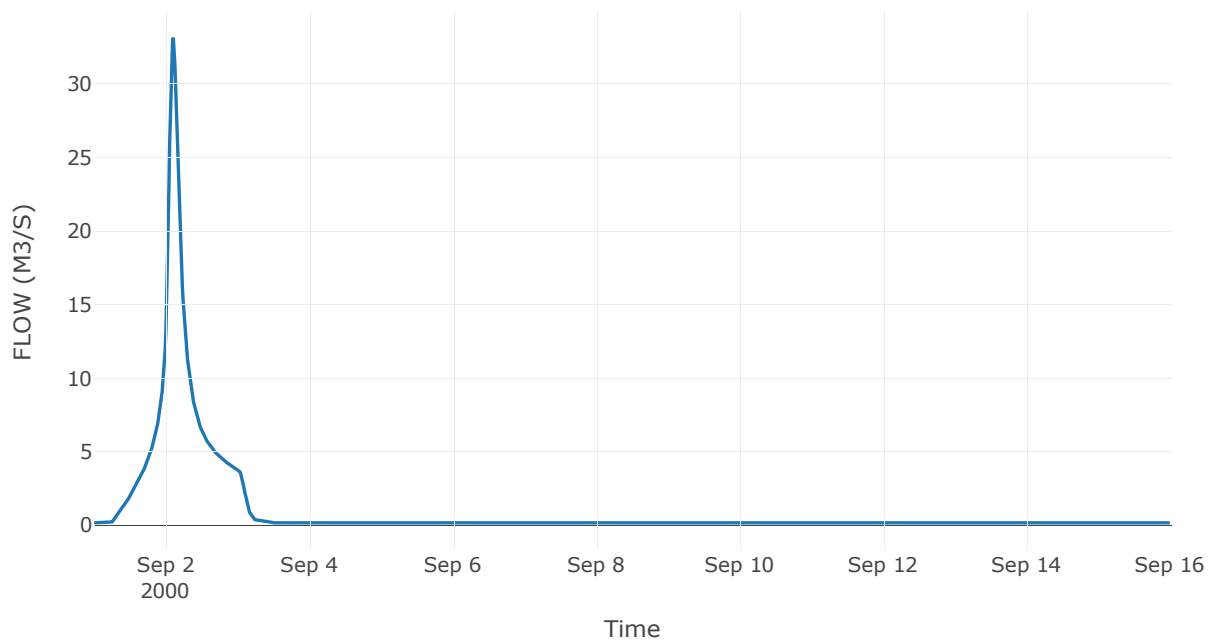
Κατάντη : J40

Μέθοδος Διόδευσης	Χρόνος
Αρχική Μεταβλητή	Combined Inflow
Χρόνος υστέρησης	0

Αποτελέσματα: R540

Παροχή Αιχμής (M3/S)	33.05
Χρονική στιγμή αιχμής	02Sep2000, 02:30
Όγκος(MM)	165.78
Παροχή Αιχμής Εισόδου (M3/S)	33.05
Όγκος Εισροής(M3)	1.4E6

Απορροή



Κλάδος: R640

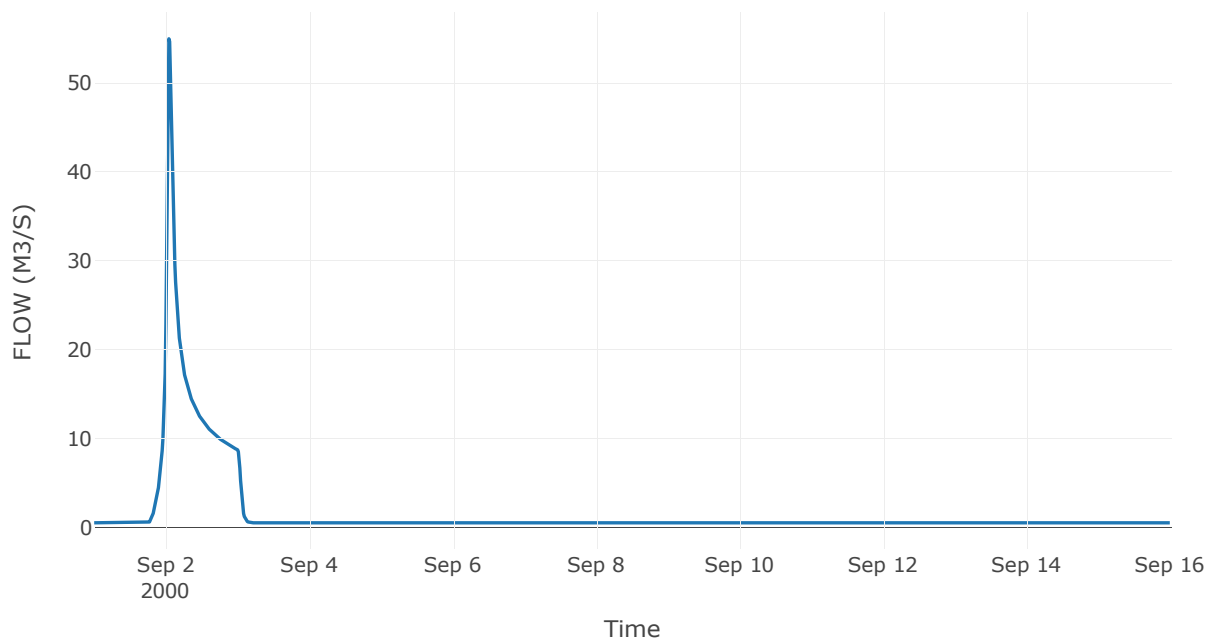
Κατάντη : J40

Μέθοδος Διόδευσης	Χρόνος
Αρχική Μεταβλητή	Combined Inflow
Χρόνος υστέρησης	0

Αποτελέσματα: R640

Παροχή Αιχμής (M3/S)	54.96
Χρονική στιγμή αιχμής	02Sep2000, 01:00
Όγκος(MM)	84.23
Παροχή Αιχμής Εισόδου (M3/S)	54.96
Όγκος Εισροής(M3)	2.21E6

Απορροή



Κλάδος: R740

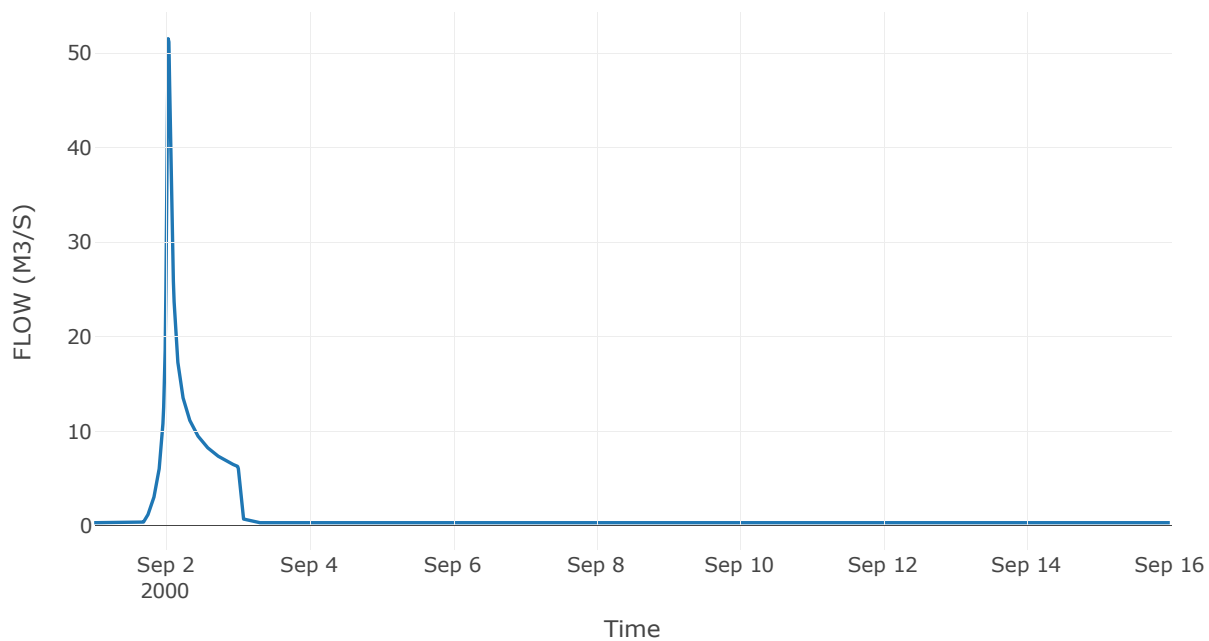
Κατάντη : J40

Μέθοδος Διόδευσης	Χρόνος
Αρχική Μεταβλητή	Combined Inflow
Χρόνος υστέρησης	0

Αποτελέσματα: R740

Παροχή Αιχμής (M3/S)	51.49
Χρονική στιγμή αιχμής	02Sep2000, 00:45
Όγκος(MM)	97.17
Παροχή Αιχμής Εισόδου (M3/S)	51.49
Όγκος Εισροής(M3)	1.7E6

Απορροή



Κλάδος: R840

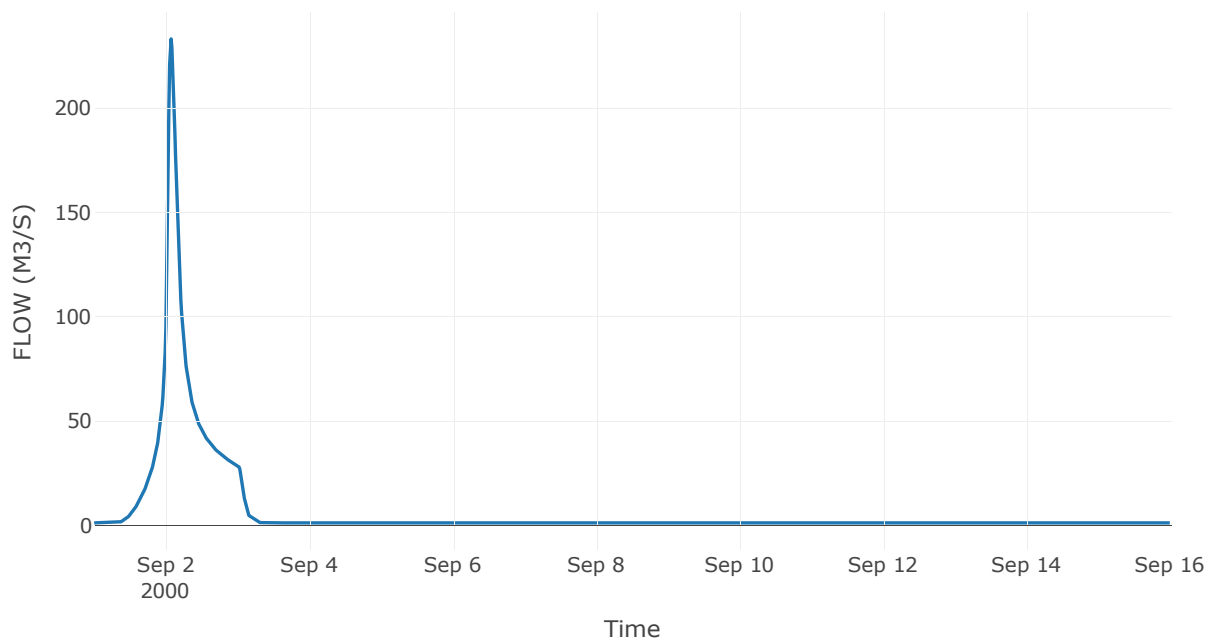
Κατάντη : J40

Μέθοδος Διόδευσης	Χρόνος
Αρχική Μεταβλητή	Combined Inflow
Χρόνος υστέρησης	0

Αποτελέσματα: R840

Παροχή Αιχμής (M3/S)	233.19
Χρονική στιγμή αιχμής	02Sep2000, 01:45
Όγκος(MM)	151.71
Παροχή Αιχμής Εισόδου (M3/S)	233.19
Όγκος Εισροής(M3)	9.13E6

Απορροή



Κλάδος: R1140

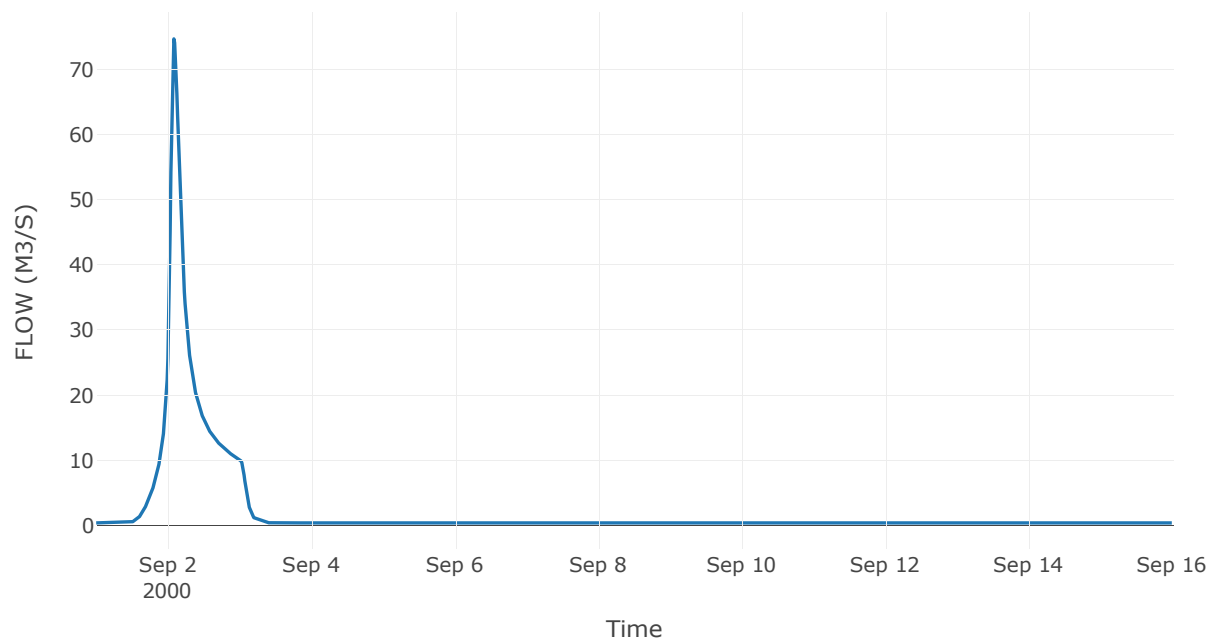
Κατάντη : J40

Μέθοδος Διόδευσης	Χρόνος
Αρχική Μεταβλητή	Combined Inflow
Χρόνος υστέρησης	0

Αποτελέσματα: R1140

Παροχή Αιχμής (M3/S)	74.71
Χρονική στιγμή αιχμής	02Sep2000, 02:00
Όγκος(MM)	133.11
Παροχή Αιχμής Εισόδου (M3/S)	74.71
Όγκος Εισροής(M3)	3.07E6

Απορροή



Κλάδος: R98

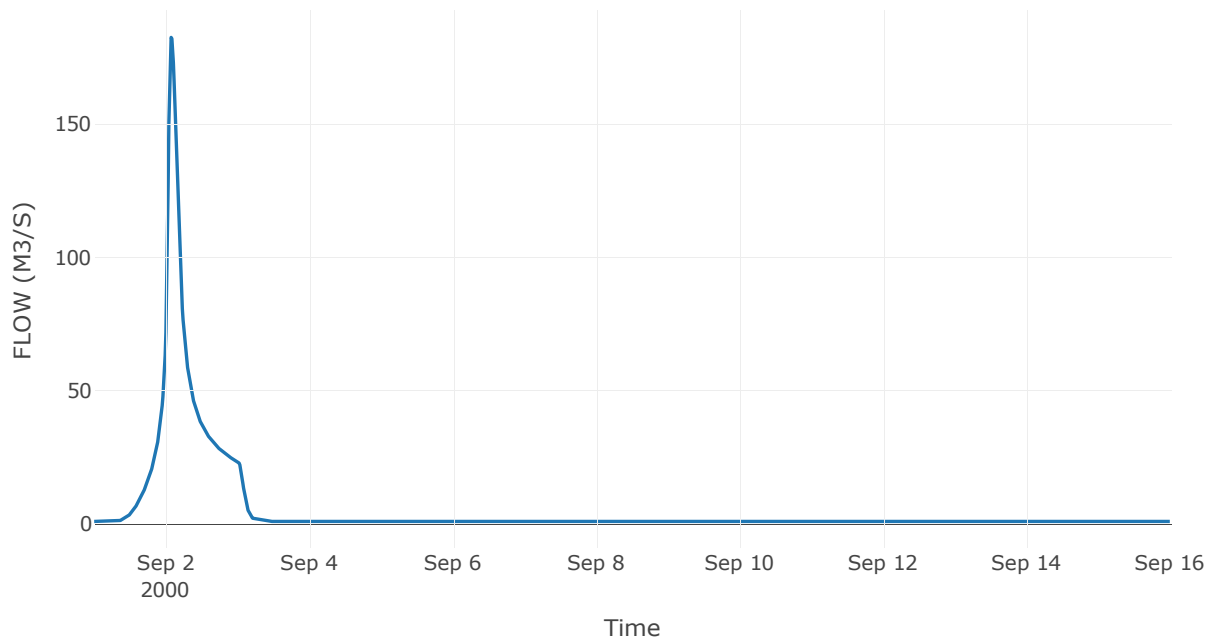
Κατάντη : J8

Μέθοδος Διόδευσης	Muskingum
Αρχική Μεταβλητή	Combined Inflow
Χρόνος Ροής K	0.35
Συντελεστής βάρους x	0.2
Πλήθος Υποκλάδων	1

Αποτελέσματα: R98

Παροχή Αιχμής (M3/S)	182.6
Χρονική στιγμή αιχμής	02Sep2000, 01:45
Όγκος(MM)	153.01
Παροχή Αιχμής Εισόδου (M3/S)	185.57
Όγκος Εισροής(M3)	7.36E6

Απορροή



Κλάδος: R109

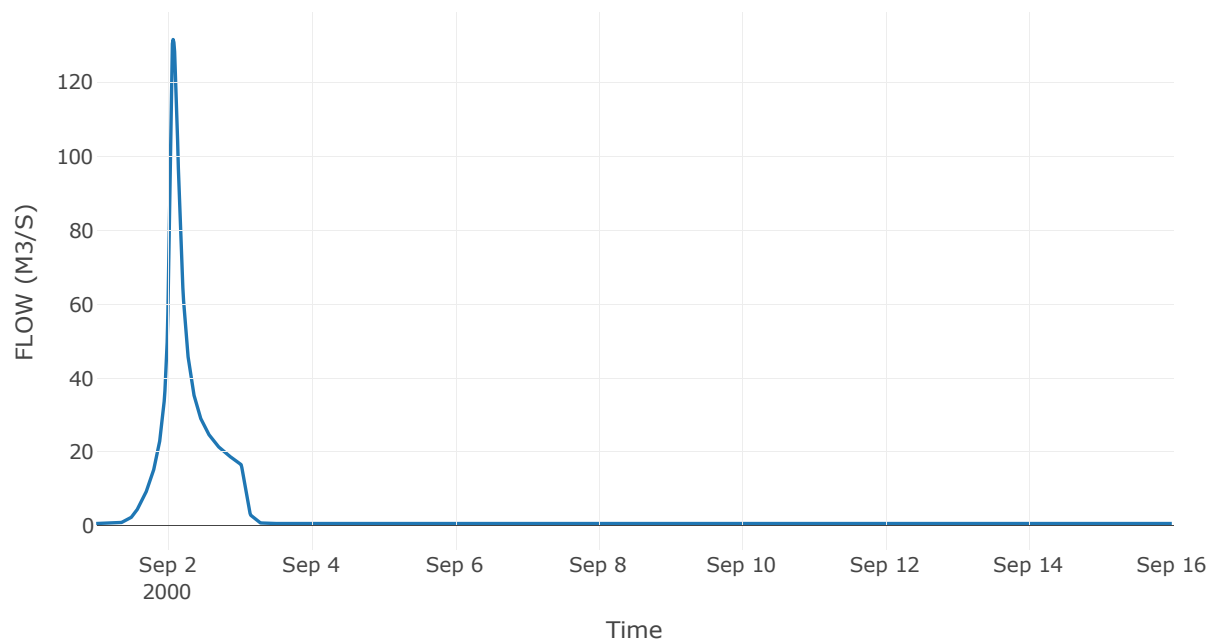
Κατάντη : J9

Μέθοδος Διόδευσης	Muskingum
Αρχική Μεταβλητή	Combined Inflow
Χρόνος Ροής K	0.23
Συντελεστής βάρους x	0.2
Πλήθος Υποκλάδων	1

Αποτελέσματα: R109

Παροχή Αιχμής (M3/S)	131.63
Χρονική στιγμή αιχμής	02Sep2000, 01:45
Όγκος(MM)	153.71
Παροχή Αιχμής Εισόδου (M3/S)	132.09
Όγκος Εισροής(M3)	5.39E6

Απορροή



Κλάδος: R1211

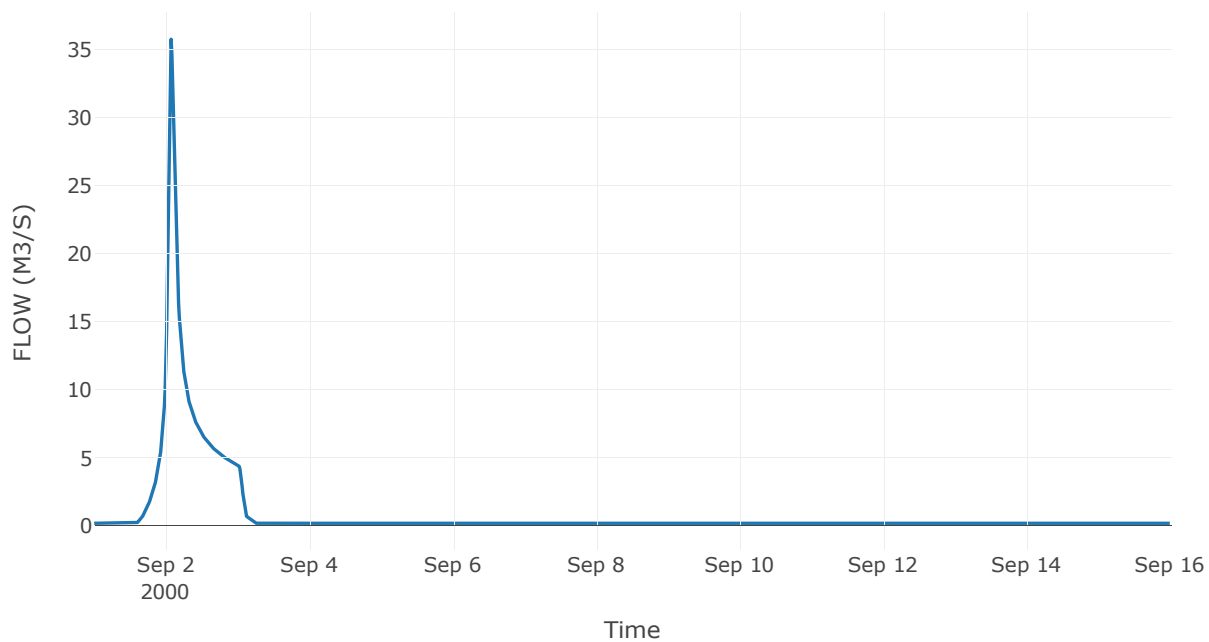
Κατάντη : J11

Μέθοδος Διόδευσης	Muskingum
Αρχική Μεταβλητή	Combined Inflow
Χρόνος Ροής Κ	0.37
Συντελεστής βάρους α	0.2
Πλήθος Υποκλάδων	1

Αποτελέσματα: R1211

Παροχή Αιχμής (M3/S)	35.73
Χρονική στιγμή αιχμής	02Sep2000, 01:45
Όγκος(MM)	124.38
Παροχή Αιχμής Εισόδου (M3/S)	36.94
Όγκος Εισροής(M3)	1.26E6

Απορροή



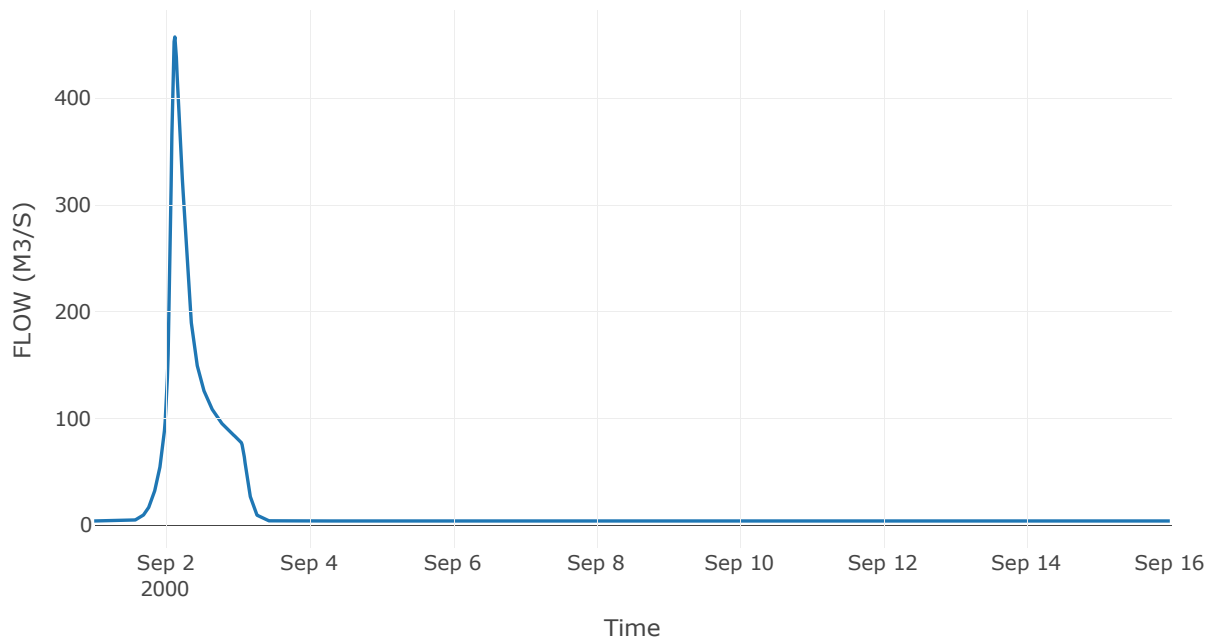
2.3 Δεδομένα και υδρογραφήματα σχεδιασμού Κόμβων υδρογραφικού δικτύου

Κόμβος εξόδου: J1

Αποτελέσμα
τα: J1

Παροχή αιχμής (M3/S)	457.23
Χρονική στιγμή αιχμής	02Sep2000, 03:00
Όγκος (MM)	118.78

Απορροή



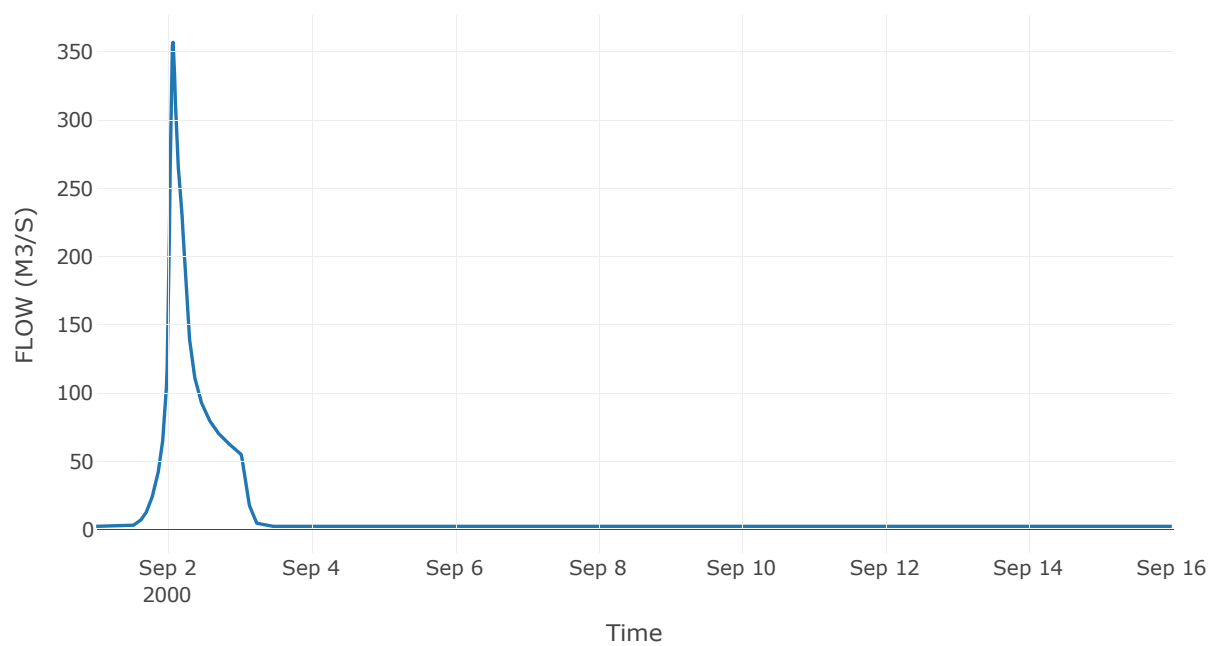
Κόμβος: J2

Κατάντη : R21

Αποτελέσματα: J2

Παροχή Αιχμής (M3/S)	356.79
Χρονική στιγμή αιχμής	02Sep2000, 01:45
Όγκος(MM)	128.47

Απορροή



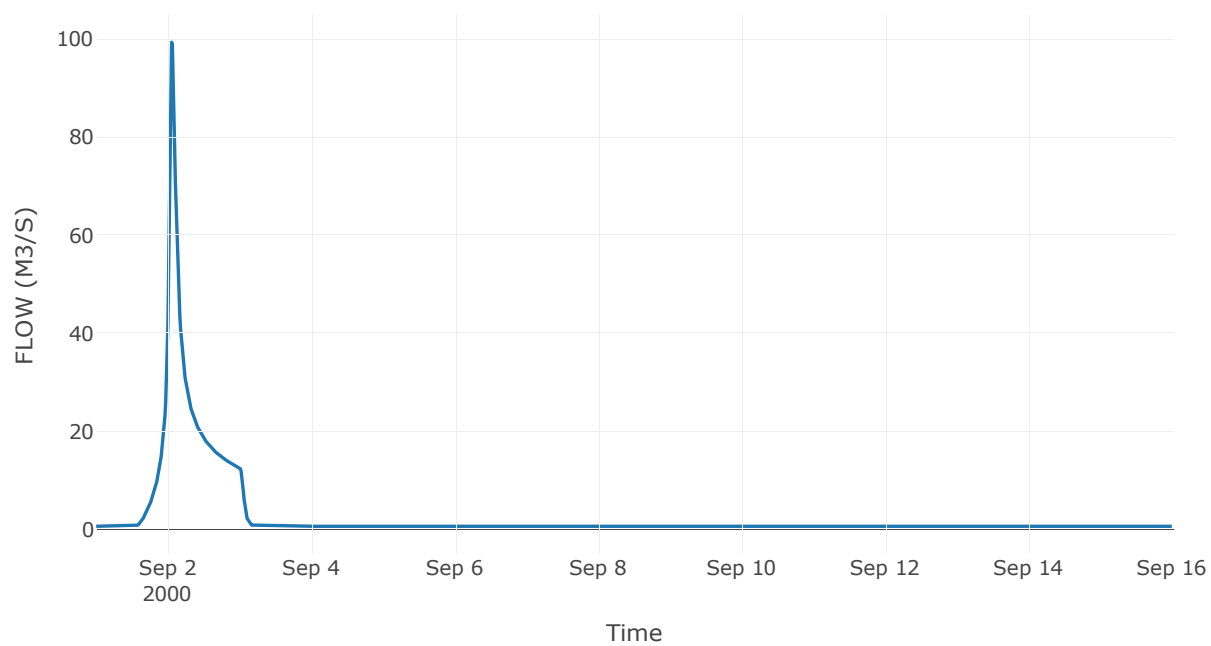
Κόμβος: J3

Κατάντη : R32

Αποτελέσματα: J3

Παροχή Αιχμής (M3/S)	99.34
Χρονική στιγμή αιχμής	02Sep2000, 01:15
Όγκος(MM)	107.96

Απορροή



Κόμβος: J4

Κατάντη : R43

Αποτελέσματα: J4

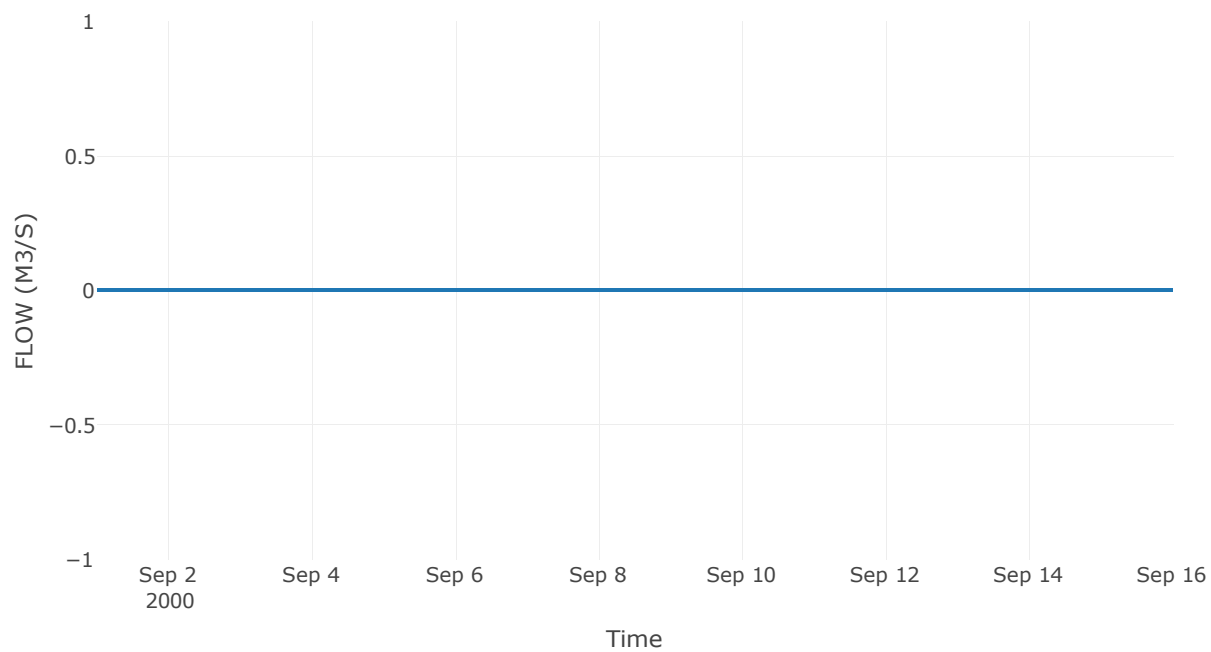
Παροχή Αιχμής (M3/S)

0

Χρονική στιγμή αιχμής

31Aug2000, 24:00

Απορροή

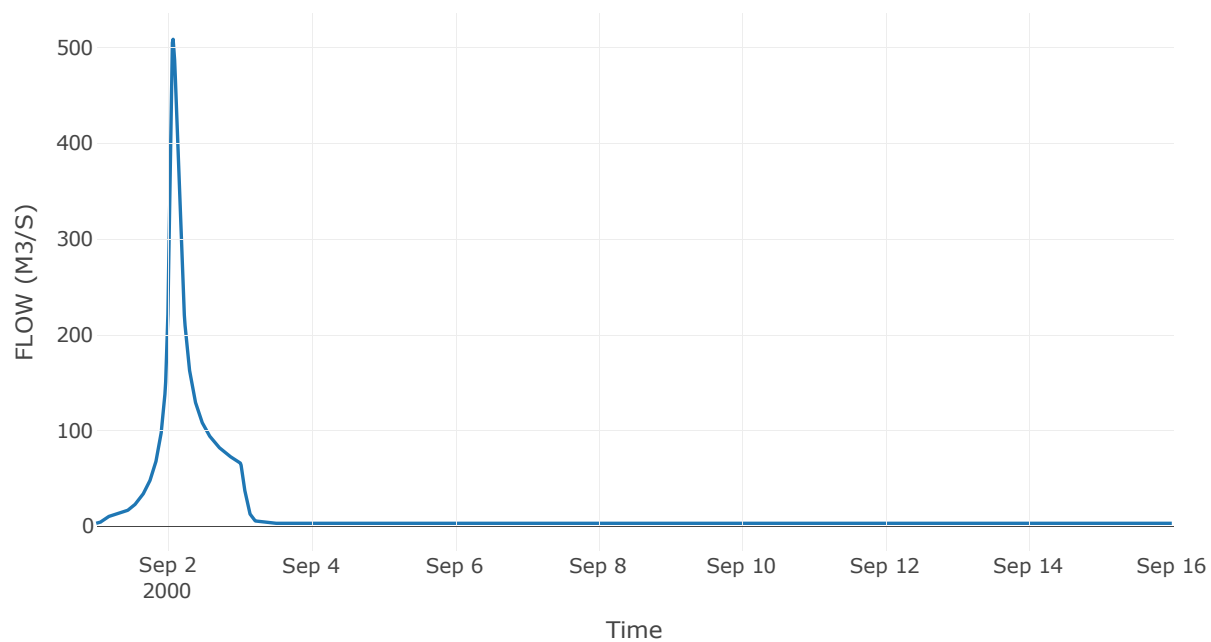


Κόμβος εξόδου: J40

Αποτελέσματ
α: J40

Παροχή αιχμής (M3/S)	508.48
Χρονική στιγμή αιχμής	02Sep2000, 01:45
Όγκος (MM)	138.54

Απορροή



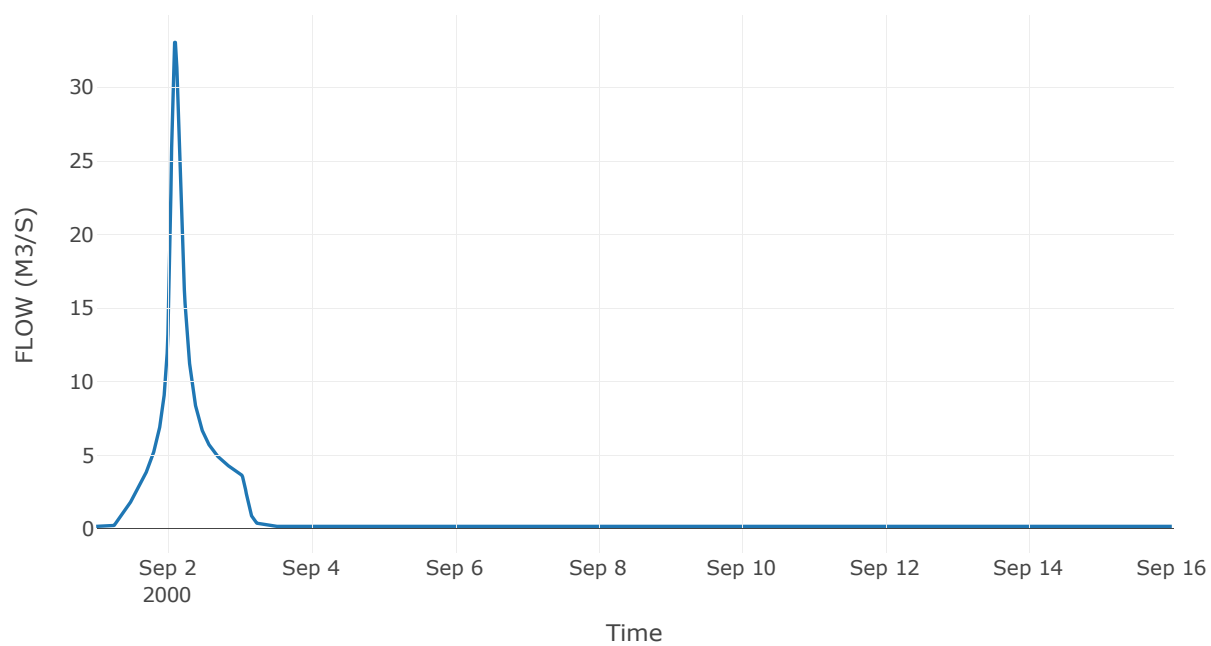
Κόμβος: J5

Κατάντη : R540

Αποτελέσματα: J5

Παροχή Αιχμής (M3/S)	33.05
Χρονική στιγμή αιχμής	02Sep2000, 02:30
Όγκος(MM)	165.78

Απορροή



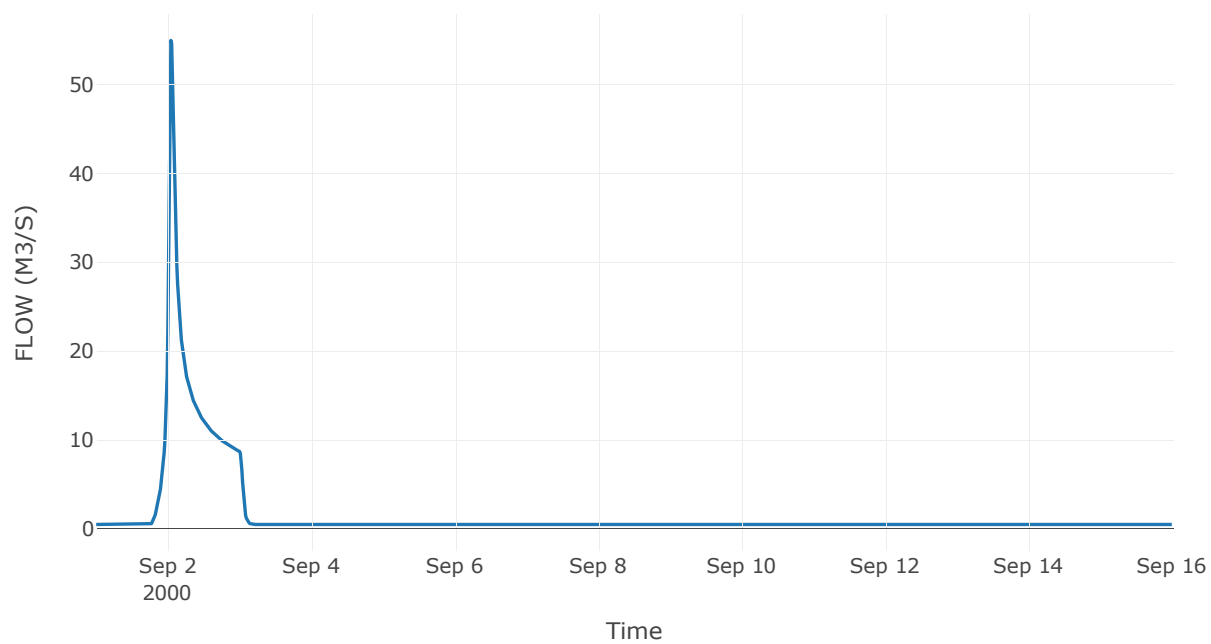
Κόμβος: J6

Κατάντη : R640

Αποτελέσματα: J6

Παροχή Αιχμής (M3/S)	54.96
Χρονική στιγμή αιχμής	02Sep2000, 01:00
Όγκος(MM)	84.23

Απορροή



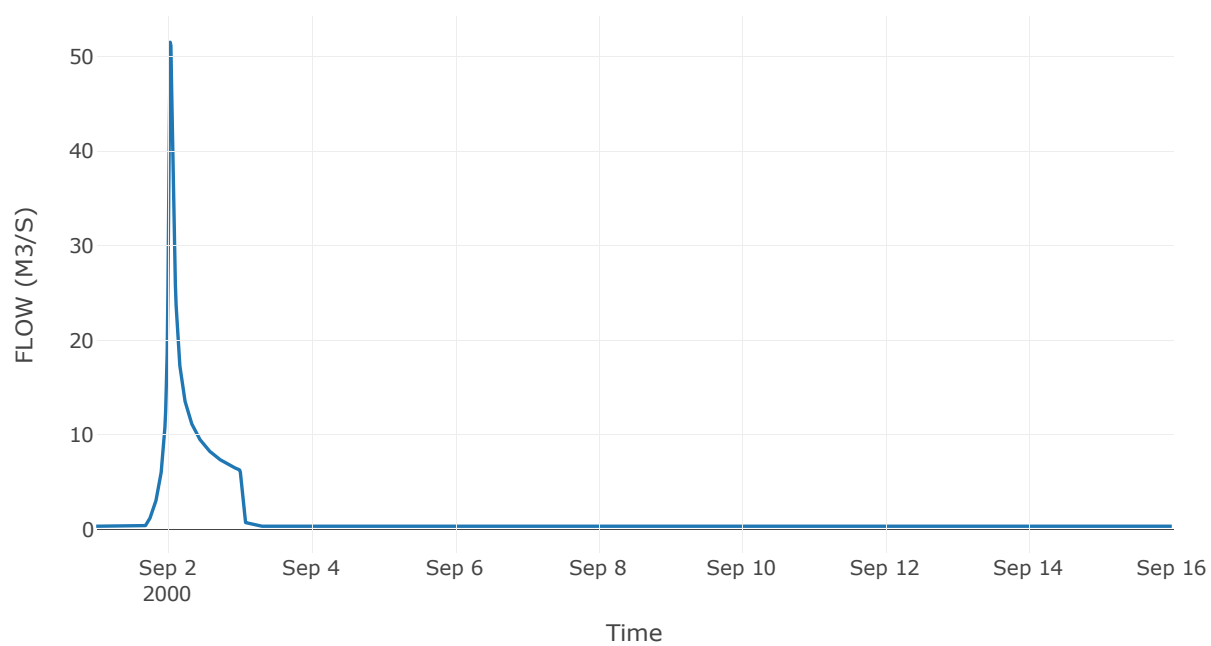
Κόμβος: J7

Κατάντη : R740

Αποτελέσματα: J7

Παροχή Αιχμής (M3/S)	51.49
Χρονική στιγμή αιχμής	02Sep2000, 00:45
Όγκος(MM)	97.17

Απορροή



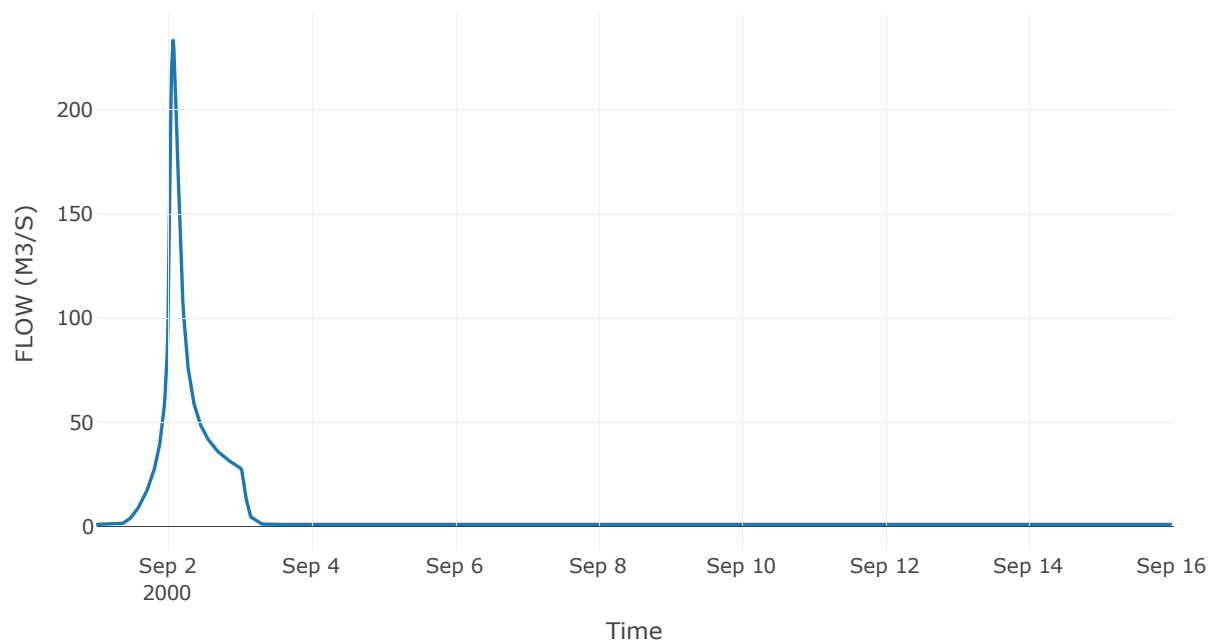
Κόμβος: J8

Κατάντη : R840

Αποτελέσματα: J8

Παροχή Αιχμής (M3/S)	233.19
Χρονική στιγμή αιχμής	02Sep2000, 01:45
Όγκος(MM)	151.71

Απορροή



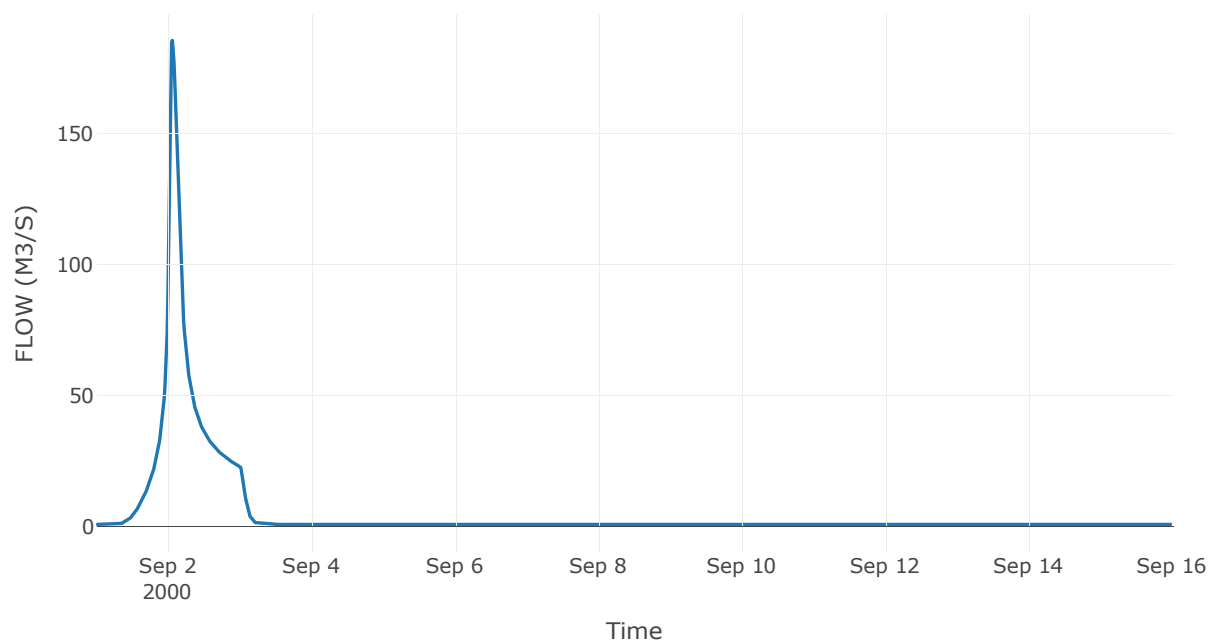
Κόμβος: J9

Κατάντη : R98

Αποτελέσματα: J9

Παροχή Αιχμής (M3/S)	185.57
Χρονική στιγμή αιχμής	02Sep2000, 01:30
Όγκος(MM)	153.01

Απορροή



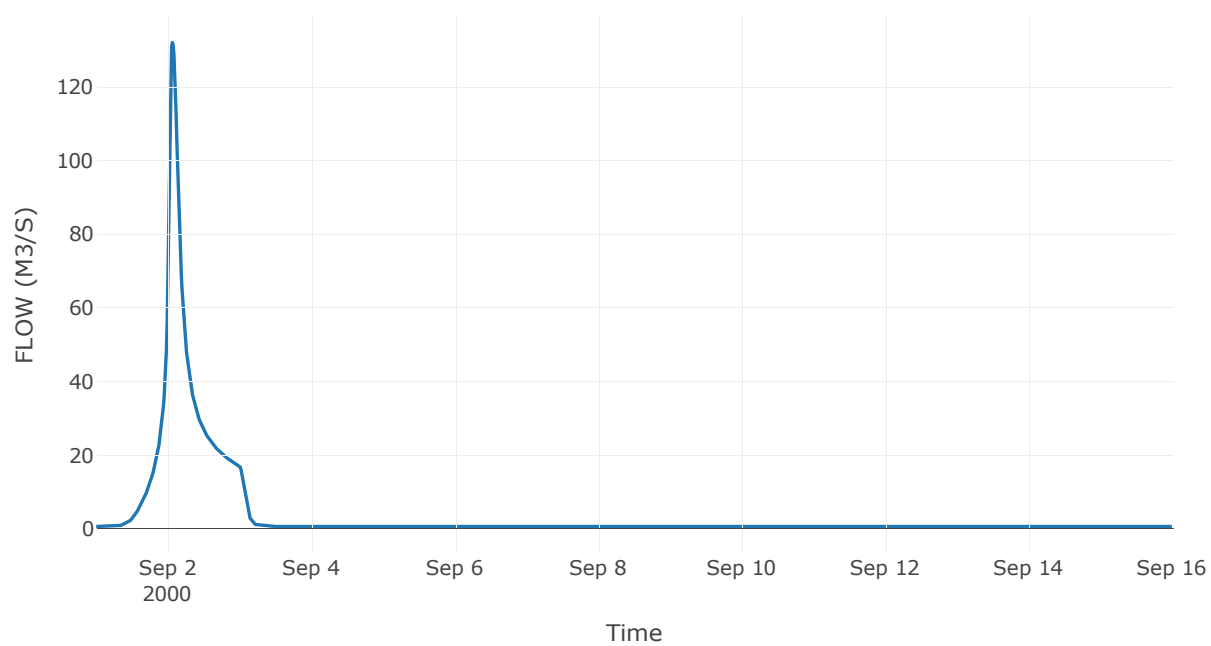
Κόμβος: J10

Κατάντη : R109

Αποτελέσματα: J10

Παροχή Αιχμής (M3/S)	132.09
Χρονική στιγμή αιχμής	02Sep2000, 01:30
Όγκος(MM)	153.71

Απορροή



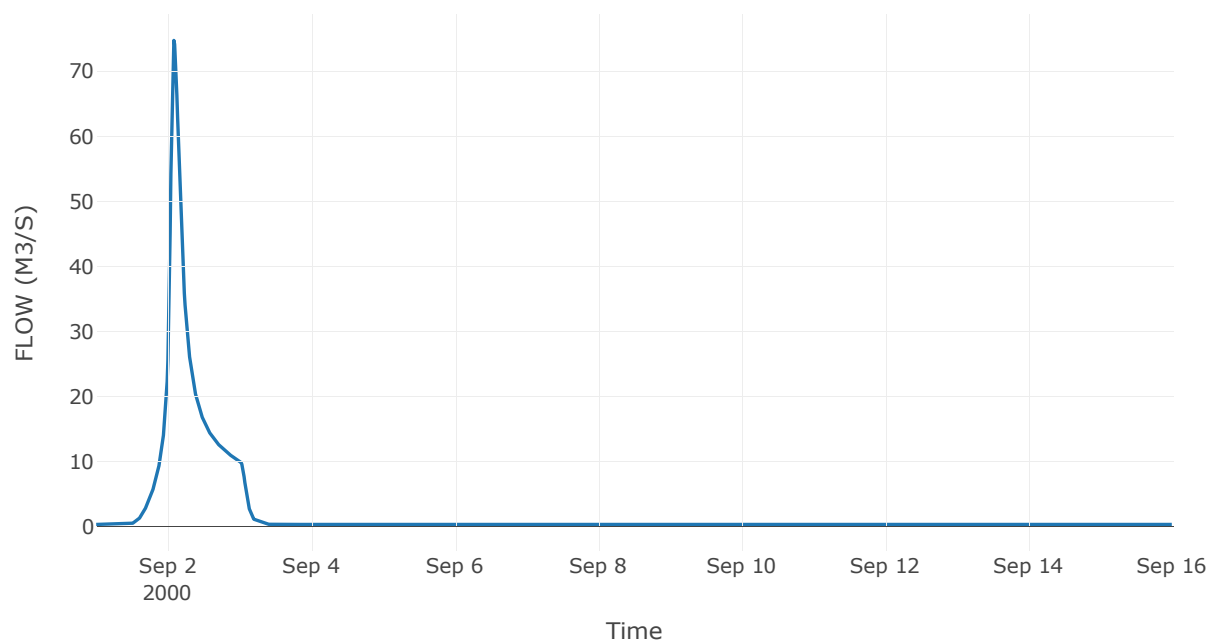
Κόμβος: J11

Καπάντη : R1140

Αποτελέσματα: J11

Παροχή Αιχμής (M3/S)	74.71
Χρονική στιγμή αιχμής	02Sep2000, 02:00
Όγκος(MM)	133.11

Απορροή



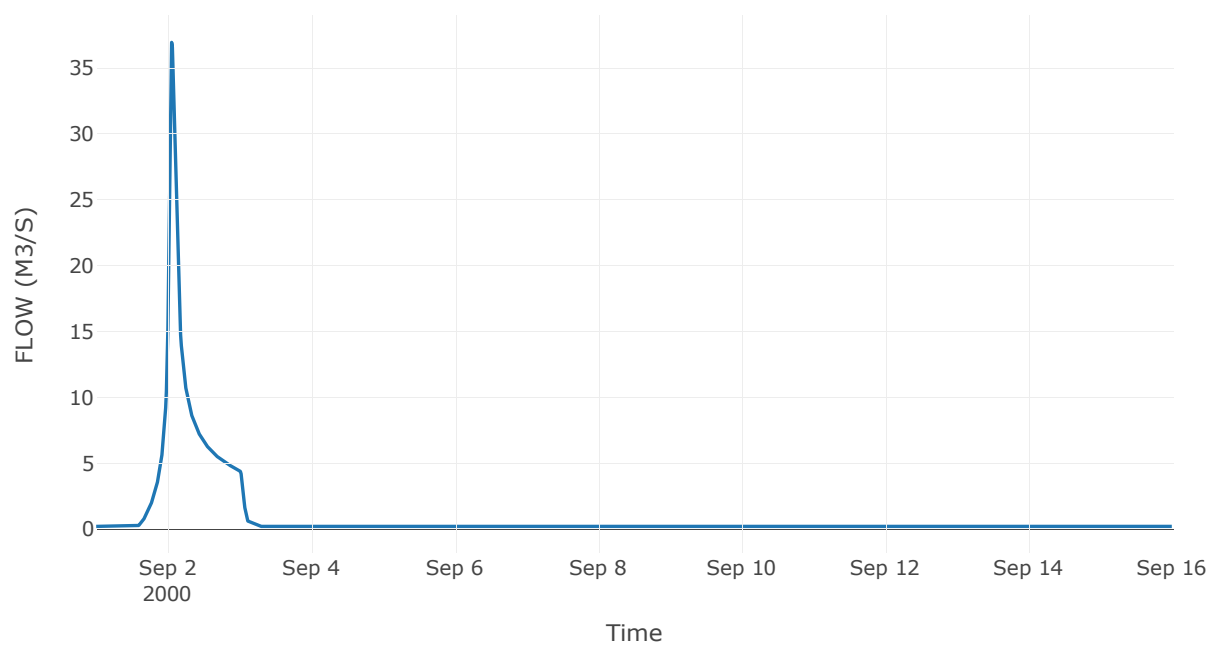
Κόμβος: J12

Κατάντη : R1211

Αποτελέσματα: J12

Παροχή Αιχμής (M3/S)	36.94
Χρονική στιγμή αιχμής	02Sep2000, 01:15
Όγκος(MM)	124.38

Απορροή



3 Δεδομένα εισόδου και αποτελέσματα υδρολογικού σεναρίου T=50L

3.1 Αποτελέσματα, υετογραφήματα και υδρογραφήματα σχεδιασμού υπολεκανών

Υπολεκάνη: EL0514FL002001

Έκταση (KM2) : 61.13

Κατάντη : J1

Μέθοδος Απωλειών: SCS

Ποσοστό αδιαπέρατης επιφάνειας	0
Αριθμός Καμπύλης Απορροής-CN	40.56
Αρχικές Απώλειες	74.44

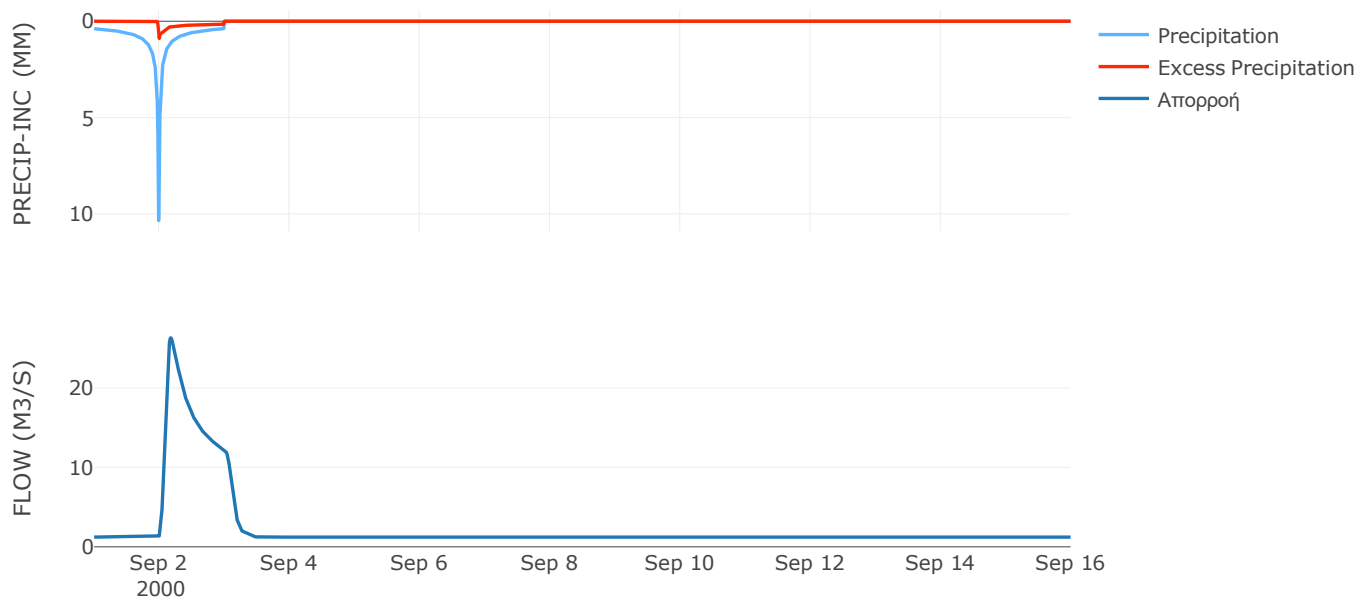
Μέθοδος
Μετασχηματισμού: SCS

Χρόνος Υστέρησης	161.91
------------------	--------

Αποτελέσματα:
EL0514FL002001

Παροχή αιχμής (M3/S)	26.33
Χρονική στιγμή αιχμής	02Sep2000, 04:15
Όγκος (MM)	49.58
Όγκος βροχόπτωσης (M3)	1.11E7
Όγκος απωλειών (M3)	9.61E6
Ενεργός Όγκος (M3)	1.45E6
Όγκος άμεσης απορροής (M3)	1.45E6
Όγκος βασικής απορροής (M3)	1.58E6

Βροχόπτωση και Απορροή



Υπολεκάνη: EL0514FL002002

Έκταση (KM2) : 42.33

Κατάντη : J2

Μέθοδος Απωλειών: SCS

Ποσοστό αδιαπέρατης επιφάνειας	0
Αριθμός Καμπύλης Απορροής-CN	35.43
Αρχικές Απώλειες	92.58

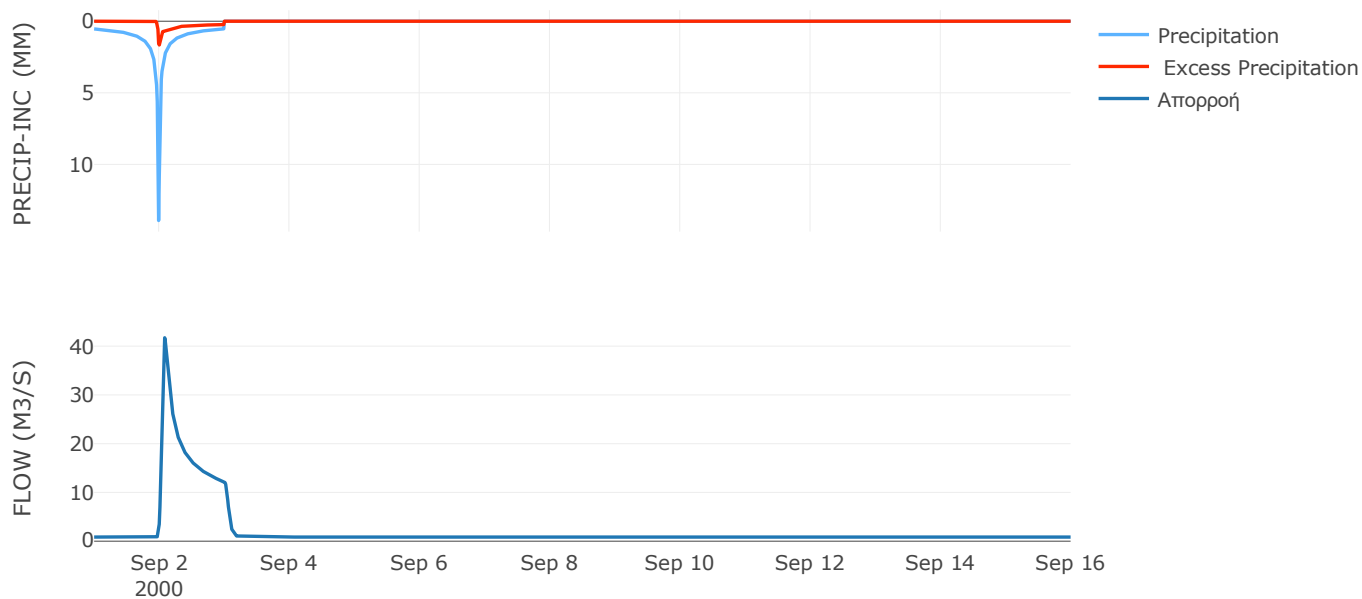
Μέθοδος
Μετασχηματισμού: SCS

Χρόνος Υστέρησης	81.75
------------------	-------

Αποτελέσματα:
EL0514FL002002

Παροχή αιχμής (M3/S)	41.72
Χρονική στιγμή αιχμής	02Sep2000, 02:00
Όγκος (MM)	64.78
Όγκος βροχόπτωσης (M3)	1.05E7
Όγκος απωλειών (M3)	8.83E6
Ενεργός Όγκος (M3)	1.64E6
Όγκος άμεσης απορροής (M3)	1.64E6
Όγκος βασικής απορροής (M3)	1.1E6

Βροχόπτωση και Απορροή



Υπολεκάνη: EL0514FL002003

Έκταση (KM2) : 48.23

Κατάνη : J2

Μέθοδος Απωλειών: SCS

Ποσοστό αδιαπέρατης επιφάνειας	0
Αριθμός Καμπύλης Απορροής-CN	49.79
Αρχικές Απώλειες	51.23

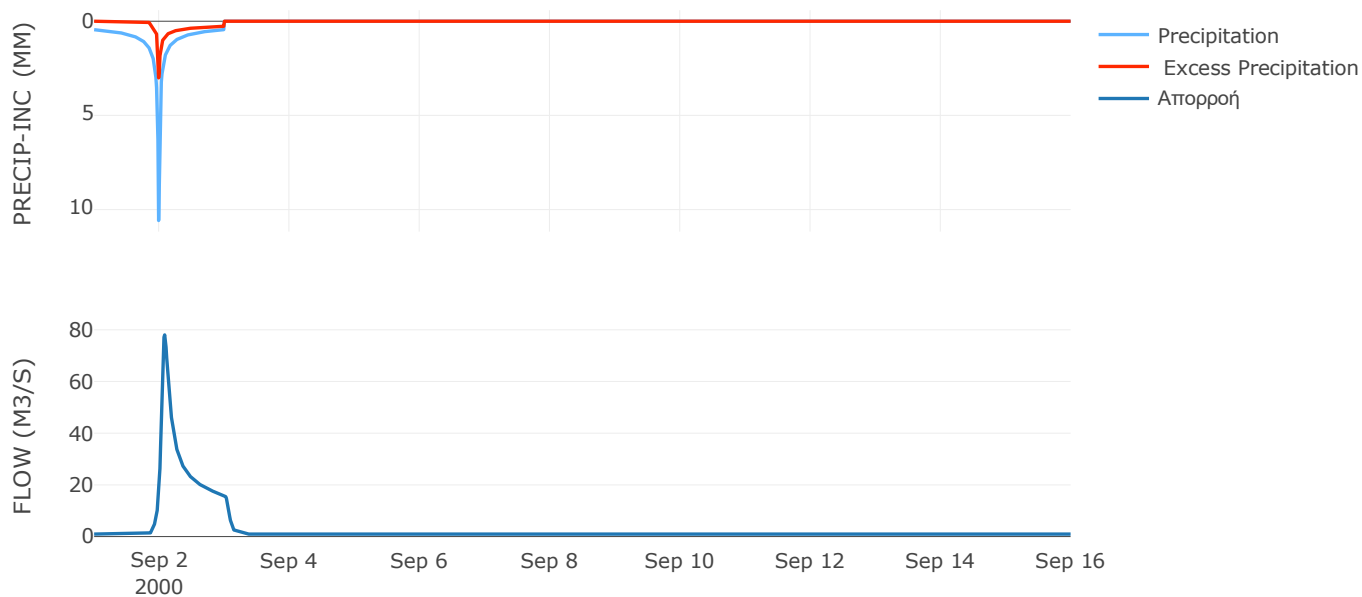
Μέθοδος
Μετασχηματισμού: SCS

Χρόνος Υστέρησης	95.86
------------------	-------

Αποτελέσματα:
EL0514FL002003

Παροχή αιχμής (M3/S)	78.03
Χρονική στιγμή αιχμής	02Sep2000, 02:00
Όγκος (MM)	81.12
Όγκος βροχόπτωσης (M3)	9.69E6
Όγκος απωλειών (M3)	7.03E6
Ενεργός Όγκος (M3)	2.66E6
Όγκος άμεσης απορροής (M3)	2.66E6
Όγκος βασικής απορροής (M3)	1.25E6

Βροχόπτωση και Απορροή



Υπολεκάνη: EL0514FL002004

Έκταση (KM2) : 33.76

Κατάντη : J3

Μέθοδος Απωλειών: SCS

Ποσοστό αδιαπέρατης επιφάνειας	0
Αριθμός Καμπύλης Απορροής-CN	47.45
Αρχικές Απώλειες	56.25

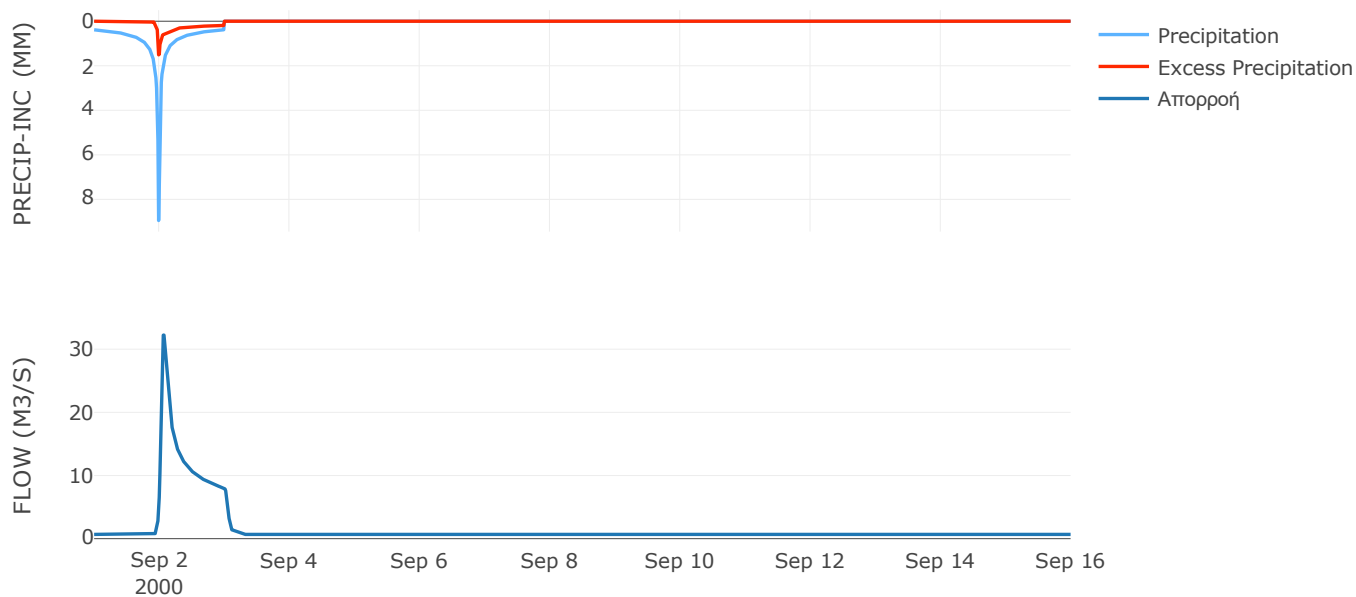
Μέθοδος
Μετασχηματισμού: SCS

Χρόνος Υστέρησης	73.04
------------------	-------

Αποτελέσματα:
EL0514FL002004

Παροχή αιχμής (M3/S)	32.23
Χρονική στιγμή αιχμής	02Sep2000, 01:45
Όγκος (MM)	59.32
Όγκος βροχόπτωσης (M3)	5.78E6
Όγκος απωλειών (M3)	4.66E6
Ενεργός Όγκος (M3)	1.13E6
Όγκος άμεσης απορροής (M3)	1.13E6
Όγκος βασικής απορροής (M3)	8.75E5

Βροχόπτωση και Απορροή



Υπολεκάνη: EL0514FL002005

Έκταση (KM2) : 26.27

Κατάντη : J6

Μέθοδος Απωλειών: SCS

Ποσοστό αδιαπέρατης επιφάνειας	0
Αριθμός Καμπύλης Απορροής-CN	33.81
Αρχικές Απώλειες	99.46

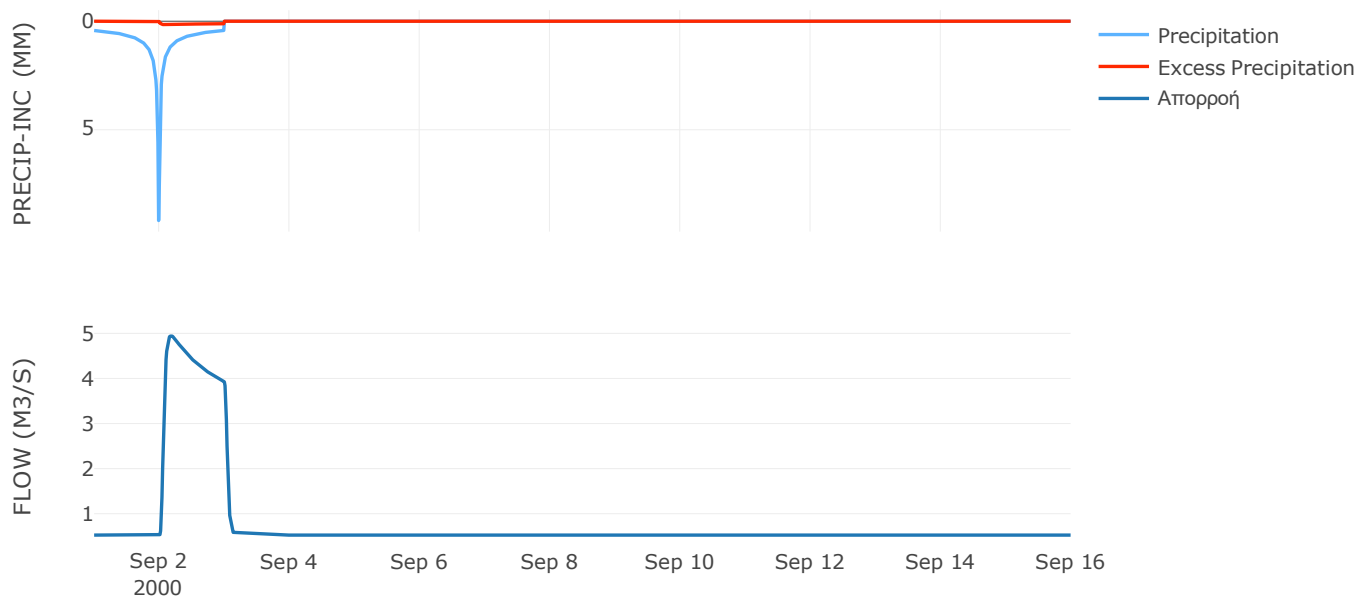
Μέθοδος
Μετασχηματισμού: SCS

Χρόνος Υστέρησης	56.35
------------------	-------

Αποτελέσματα:
EL0514FL002005

Παροχή αιχμής (M3/S)	4.95
Χρονική στιγμή αιχμής	02Sep2000, 04:15
Όγκος (MM)	38.49
Όγκος βροχόπτωσης (M3)	4.86E6
Όγκος απωλειών (M3)	4.53E6
Ενεργός Όγκος (M3)	3.3E5
Όγκος άμεσης απορροής (M3)	3.3E5
Όγκος βασικής απορροής (M3)	6.81E5

Βροχόπτωση και Απορροή



Υπολεκάνη: EL0514FL002006

Έκταση (KM2) : 17.48

Κατάντη : J7

Μέθοδος Απωλειών: SCS

Ποσοστό αδιαπέρατης επιφάνειας	0
Αριθμός Καμπύλης Απορροής-CN	37.94
Αρχικές Απώλειες	83.09

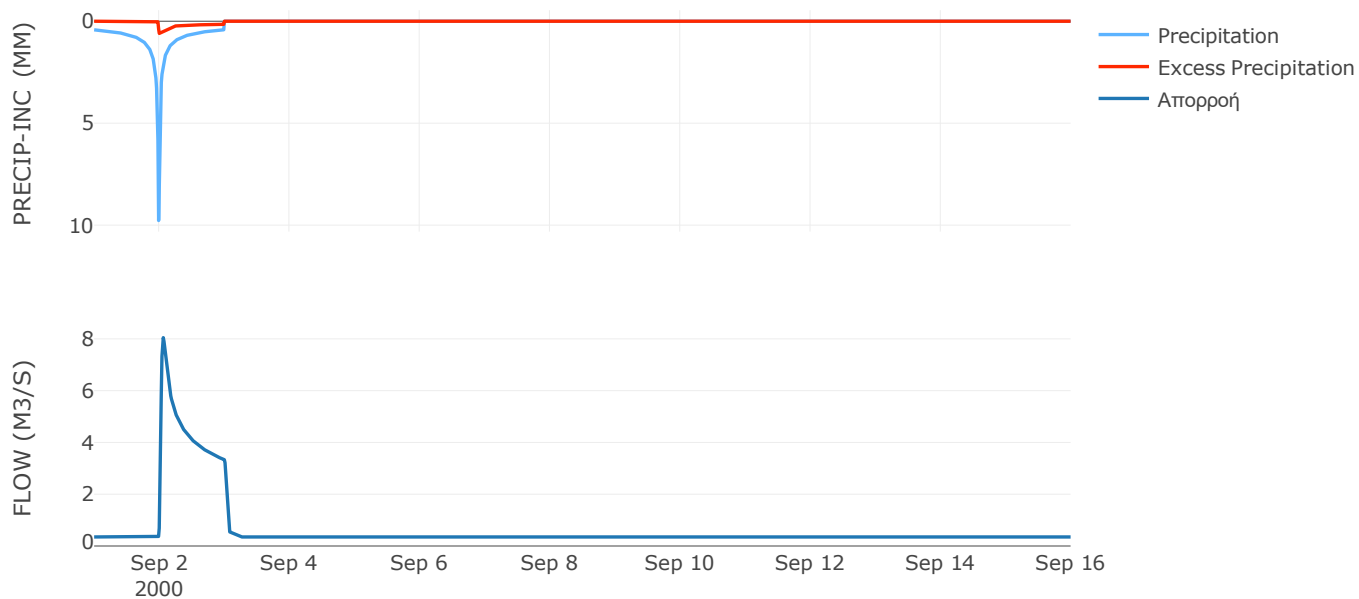
Μέθοδος
Μετασχηματισμού: SCS

Χρόνος Υστέρησης	45.58
------------------	-------

Αποτελέσματα:
EL0514FL002006

Παροχή αιχμής (M3/S)	8.05
Χρονική στιγμή αιχμής	02Sep2000, 01:30
Όγκος (MM)	46.92
Όγκος βροχόπτωσης (M3)	3.28E6
Όγκος απωλειών (M3)	2.91E6
Ενεργός Όγκος (M3)	3.67E5
Όγκος άμεσης απορροής (M3)	3.67E5
Όγκος βασικής απορροής (M3)	4.53E5

Βροχόπτωση και Απορροή



Υπολεκάνη: EL0514FL002007

Έκταση (KM2) : 12.13

Κατάντη : J8

Μέθοδος Απωλειών: SCS

Ποσοστό αδιαπέρατης επιφάνειας	0
Αριθμός Καμπύλης Απορροής-CN	61.06
Αρχικές Απώλειες	32.4

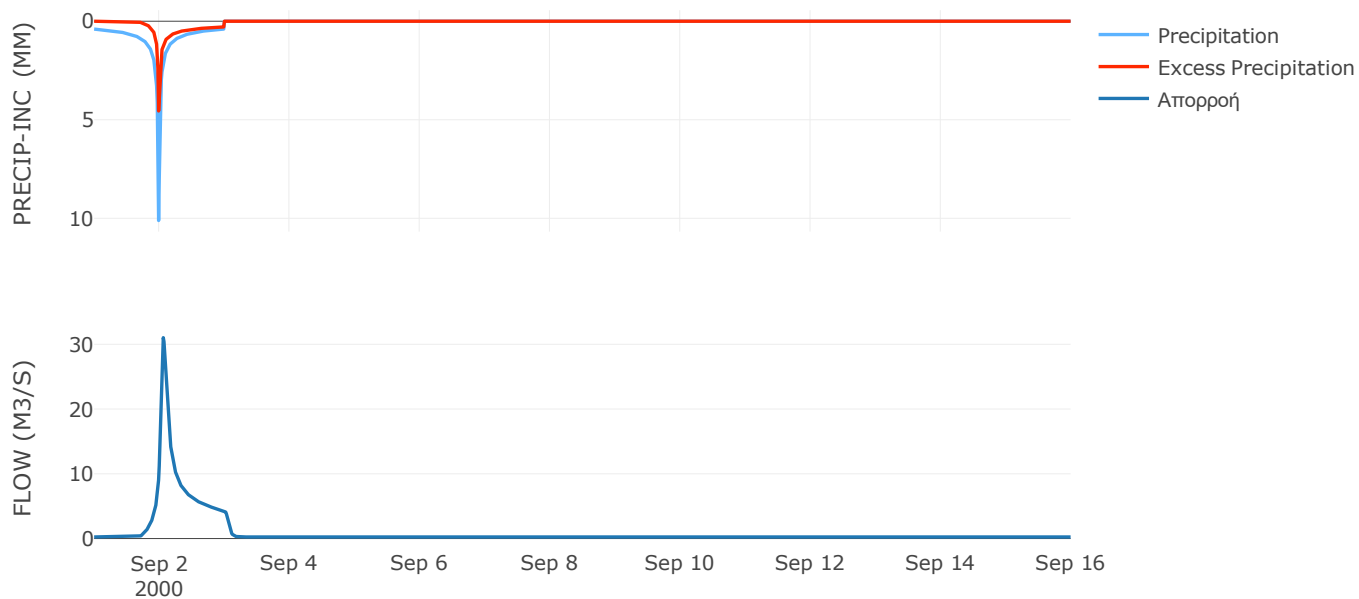
Μέθοδος
Μετασχηματισμού: SCS

Χρόνος Υστέρησης	79.34
------------------	-------

Αποτελέσματα:
EL0514FL002007

Παροχή αιχμής (M3/S)	31.02
Χρονική στιγμή αιχμής	02Sep2000, 01:30
Όγκος (MM)	98.29
Όγκος βροχόπτωσης (M3)	2.22E6
Όγκος απωλειών (M3)	1.34E6
Ενεργός Όγκος (M3)	8.78E5
Όγκος άμεσης απορροής (M3)	8.78E5
Όγκος βασικής απορροής (M3)	3.14E5

Βροχόπτωση και Απορροή



Υπολεκάνη: EL0514FL002008

Έκταση (KM2) : 8.45

Κατάντη : J5

Μέθοδος Απωλειών: SCS

Ποσοστό αδιαπέρατης επιφάνειας	0
Αριθμός Καμπύλης Απορροής-CN	77.22
Αρχικές Απώλειες	14.99

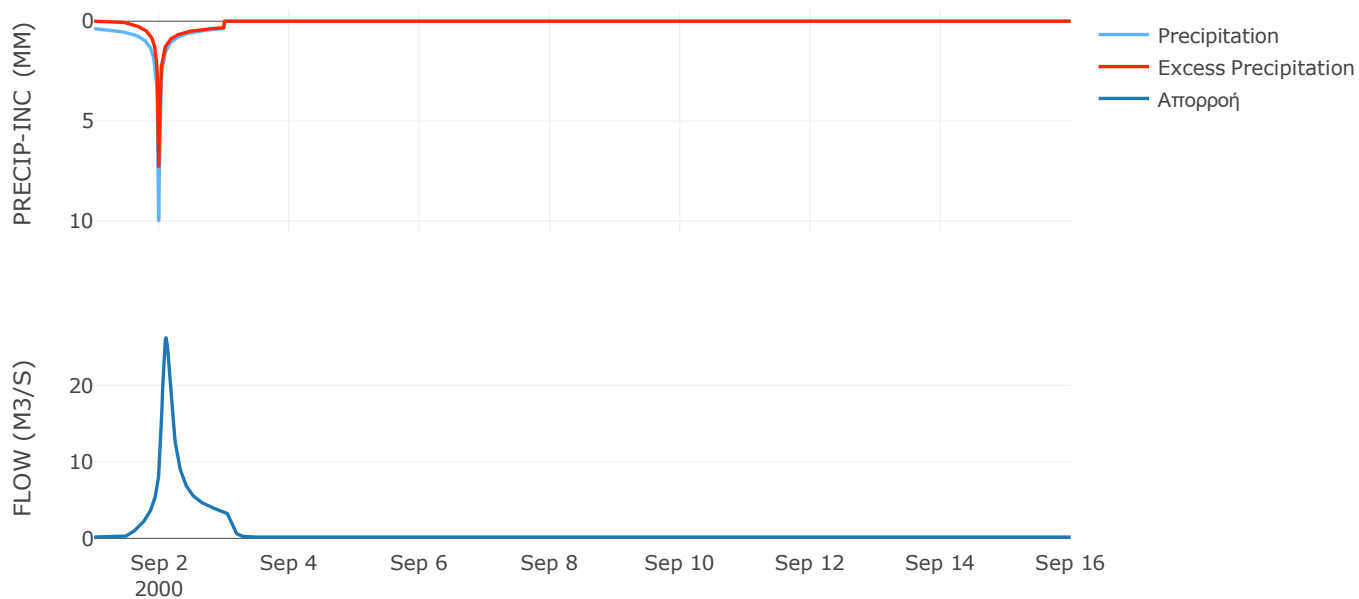
Μέθοδος
Μετασχηματισμού: SCS

Χρόνος Υστέρησης	136.94
------------------	--------

Αποτελέσματα:
EL0514FL002008

Παροχή αιχμής (M3/S)	26.21
Χρονική στιγμή αιχμής	02Sep2000, 02:30
Όγκος (MM)	132.76
Όγκος βροχόπτωσης (M3)	1.46E6
Όγκος απωλειών (M3)	5.56E5
Ενεργός Όγκος (M3)	9.03E5
Όγκος άμεσης απορροής (M3)	9.03E5
Όγκος βασικής απορροής (M3)	2.19E5

Βροχόπτωση και Απορροή



Υπολεκάνη: EL0514FL002009

Έκταση (KM2) : 19.86

Κατάντη : J40

Μέθοδος Απωλειών: SCS

Ποσοστό αδιαπέρατης επιφάνειας	95
Αριθμός Καμπύλης Απορροής-CN	99
Αρχικές Απώλειες	0.51

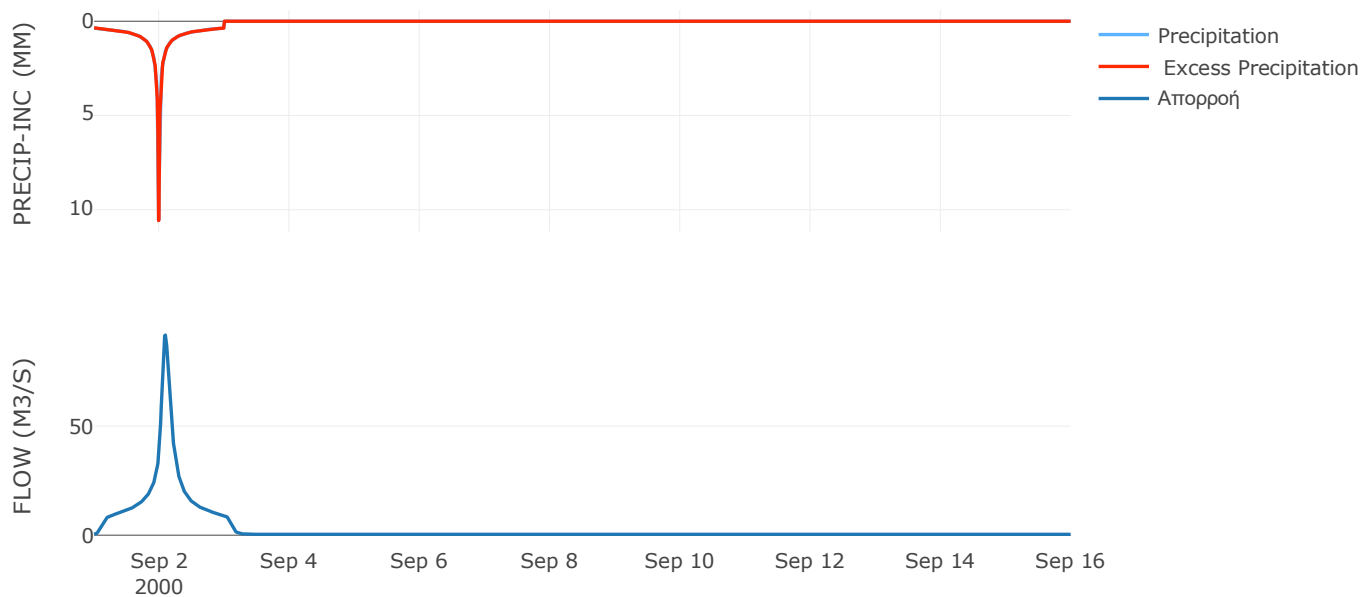
Μέθοδος
Μετασχηματισμού: SCS

Χρόνος Υστέρησης	128.01
------------------	--------

Αποτελέσματα:
EL0514FL002009

Παροχή αιχμής (M3/S)	91.78
Χρονική στιγμή αιχμής	02Sep2000, 02:15
Όγκος (MM)	201.57
Όγκος βροχόπτωσης (M3)	3.49E6
Όγκος απωλειών (M3)	3020.71
Ενεργός Όγκος (M3)	3.49E6
Όγκος άμεσης απορροής (M3)	3.49E6
Όγκος βασικής απορροής (M3)	5.15E5

Βροχόπτωση και Απορροή



Υπολεκάνη: EL0514FL002010

Έκταση (KM2) : 7.22

Κατάντη : J9

Μέθοδος Απωλειών: SCS

Ποσοστό αδιαπέρατης επιφάνειας	0
Αριθμός Καμπύλης Απορροής-CN	61.88
Αρχικές Απώλειες	31.29

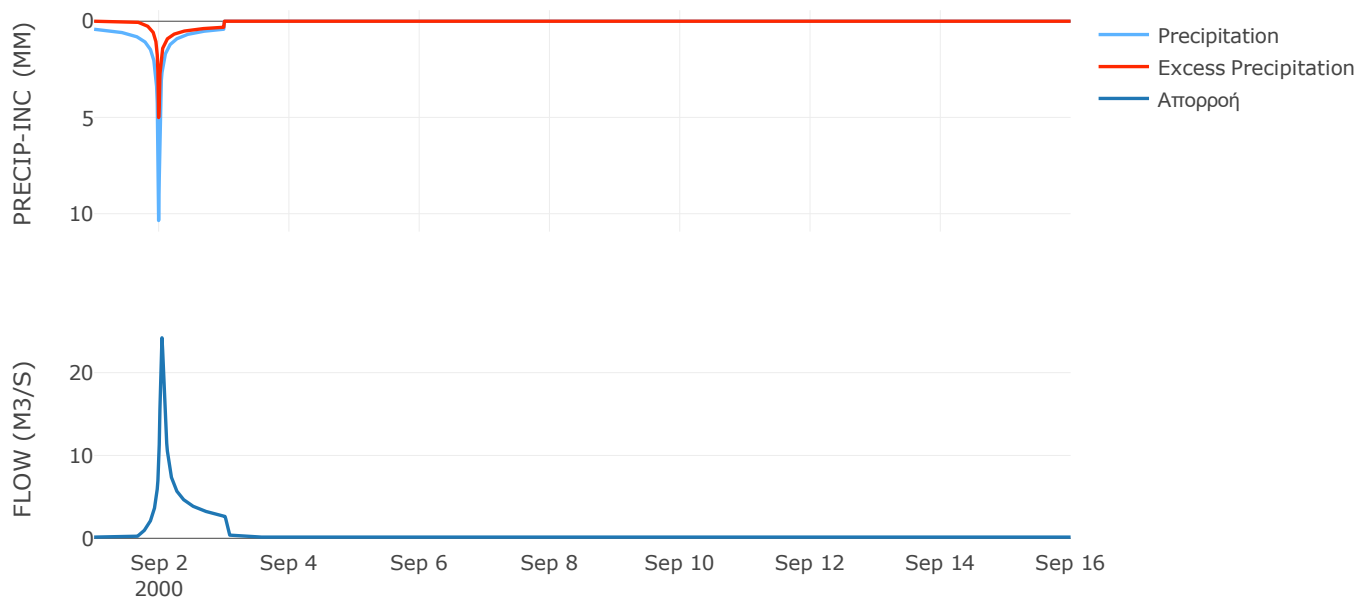
Μέθοδος
Μετασχηματισμού: SCS

Χρόνος Υστέρησης	50.61
------------------	-------

Αποτελέσματα:
EL0514FL002010

Παροχή αιχμής (M3/S)	24.21
Χρονική στιγμή αιχμής	02Sep2000, 01:00
Όγκος (MM)	105.86
Όγκος βροχόπτωσης (M3)	1.37E6
Όγκος απωλειών (M3)	7.95E5
Ενεργός Όγκος (M3)	5.77E5
Όγκος άμεσης απορροής (M3)	5.77E5
Όγκος βασικής απορροής (M3)	1.87E5

Βροχόπτωση και Απορροή



Υπολεκάνη: EL0514FL002011

Έκταση (KM2) : 8.8

Κατάνη : J10

Μέθοδος Απωλειών: SCS

Ποσοστό αδιαπέρατης επιφάνειας	0
Αριθμός Καμπύλης Απορροής-CN	63.69
Αρχικές Απώλειες	28.96

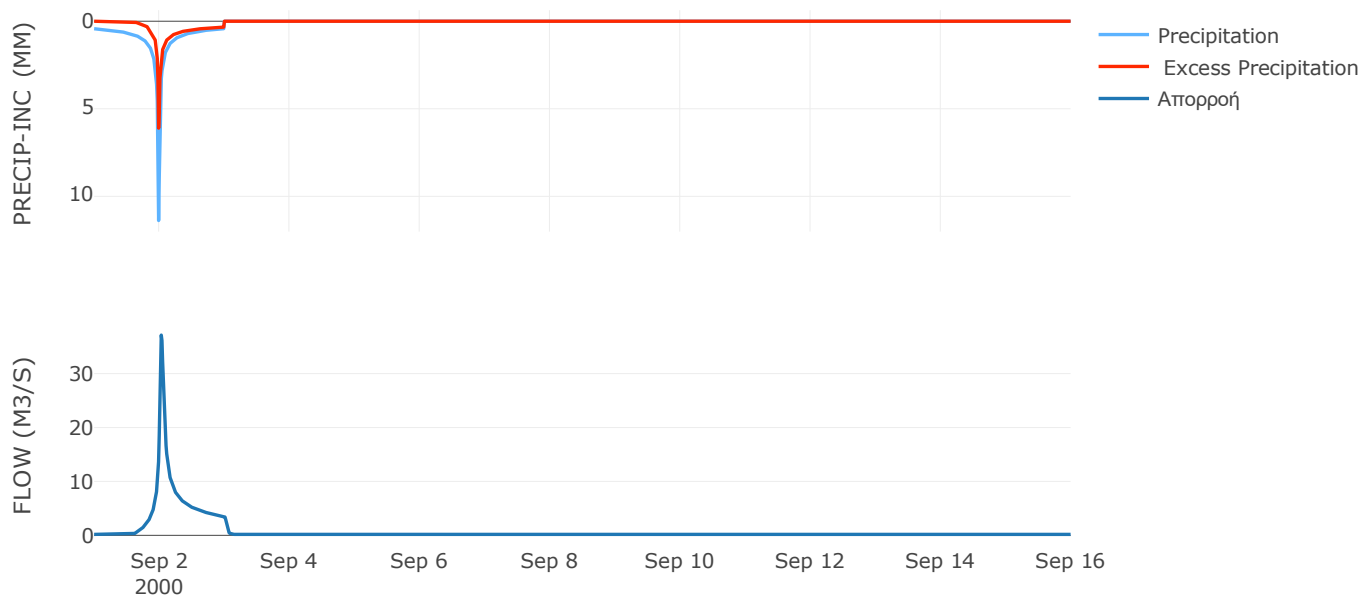
Μέθοδος
Μετασχηματισμού: SCS

Χρόνος Υστέρησης	44.52
------------------	-------

Αποτελέσματα:
EL0514FL002011

Παροχή αιχμής (M3/S)	37.14
Χρονική στιγμή αιχμής	02Sep2000, 00:45
Όγκος (MM)	117.95
Όγκος βροχόπτωσης (M3)	1.75E6
Όγκος απωλειών (M3)	9.44E5
Ενεργός Όγκος (M3)	8.1E5
Όγκος άμεσης απορροής (M3)	8.1E5
Όγκος βασικής απορροής (M3)	2.28E5

Βροχόπτωση και Απορροή



Υπολεκάνη: EL0514FL002012

Έκταση (KM2) : 5.8

Κατάντη : J9

Μέθοδος Απωλειών: SCS

Ποσοστό αδιαπέρατης επιφάνειας	0
Αριθμός Καμπύλης Απορροής-CN	55.56
Αρχικές Απώλειες	40.63

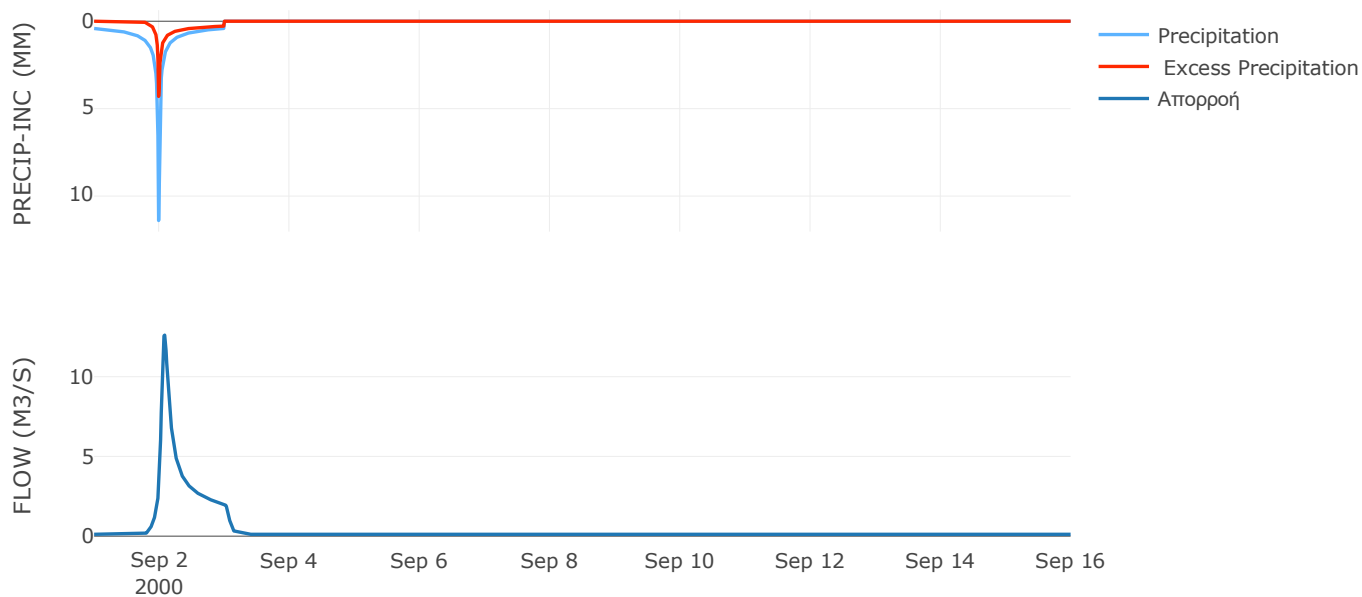
Μέθοδος
Μετασχηματισμού: SCS

Χρόνος Υστέρησης	97.31
------------------	-------

Αποτελέσματα:
EL0514FL002012

Παροχή αιχμής (M3/S)	12.61
Χρονική στιγμή αιχμής	02Sep2000, 02:00
Όγκος (MM)	92.8
Όγκος βροχόπτωσης (M3)	1.13E6
Όγκος απωλειών (M3)	7.45E5
Ενεργός Όγκος (M3)	3.88E5
Όγκος άμεσης απορροής (M3)	3.88E5
Όγκος βασικής απορροής (M3)	1.5E5

Βροχόπτωση και Απορροή



Υπολεκάνη: EL0514FL002013

Έκταση (KM2) : 26.26

Κατάνη : J10

Μέθοδος Απωλειών: SCS

Ποσοστό αδιαπέρατης επιφάνειας	0
Αριθμός Καμπύλης Απορροής-CN	51.48
Αρχικές Απώλειες	47.88

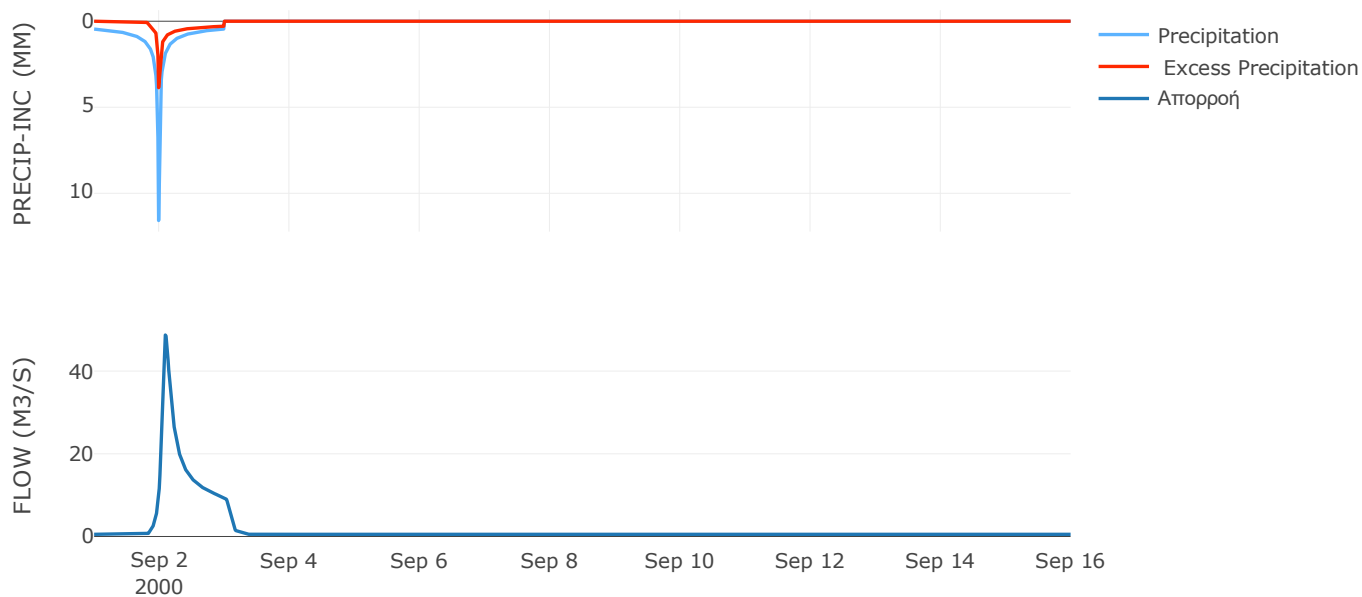
Μέθοδος
Μετασχηματισμού: SCS

Χρόνος Υστέρησης	115.29
------------------	--------

Αποτελέσματα:
EL0514FL002013

Παροχή αιχμής (M3/S)	48.71
Χρονική στιγμή αιχμής	02Sep2000, 02:15
Όγκος (MM)	90.75
Όγκος βροχόπτωσης (M3)	5.49E6
Όγκος απωλειών (M3)	3.79E6
Ενεργός Όγκος (M3)	1.7E6
Όγκος άμεσης απορροής (M3)	1.7E6
Όγκος βασικής απορροής (M3)	6.81E5

Βροχόπτωση και Απορροή



Υπολεκάνη: EL0514FL002014

Έκταση (KM2) : 10.15

Κατάντη : J12

Μέθοδος Απωλειών: SCS

Ποσοστό αδιαπέρατης επιφάνειας	0
Αριθμός Καμπύλης Απορροής-CN	42.15
Αρχικές Απώλειες	69.72

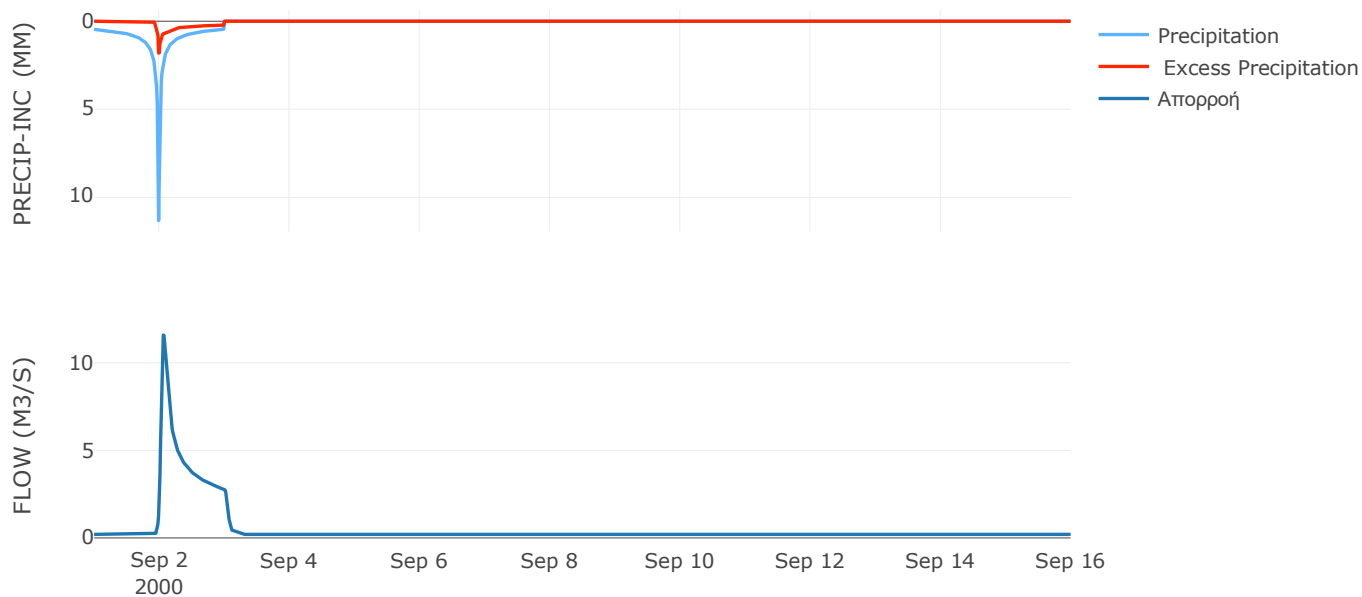
Μέθοδος
Μετασχηματισμού: SCS

Χρόνος Υστέρησης	71.95
------------------	-------

Αποτελέσματα:
EL0514FL002014

Παροχή αιχμής (M3/S)	11.58
Χρονική στιγμή αιχμής	02Sep2000, 01:30
Όγκος (MM)	65.33
Όγκος βροχόπτωσης (M3)	2.11E6
Όγκος απωλειών (M3)	1.71E6
Ενεργός Όγκος (M3)	4E5
Όγκος άμεσης απορροής (M3)	4E5
Όγκος βασικής απορροής (M3)	2.63E5

Βροχόπτωση και Απορροή



Υπολεκάνη: EL0514FL002015

Έκταση (KM2) : 12.91

Κατάντη : J11

Μέθοδος Απωλειών: SCS

Ποσοστό αδιαπέρατης επιφάνειας	0
Αριθμός Καμπύλης Απορροής-CN	55.57
Αρχικές Απώλειες	40.61

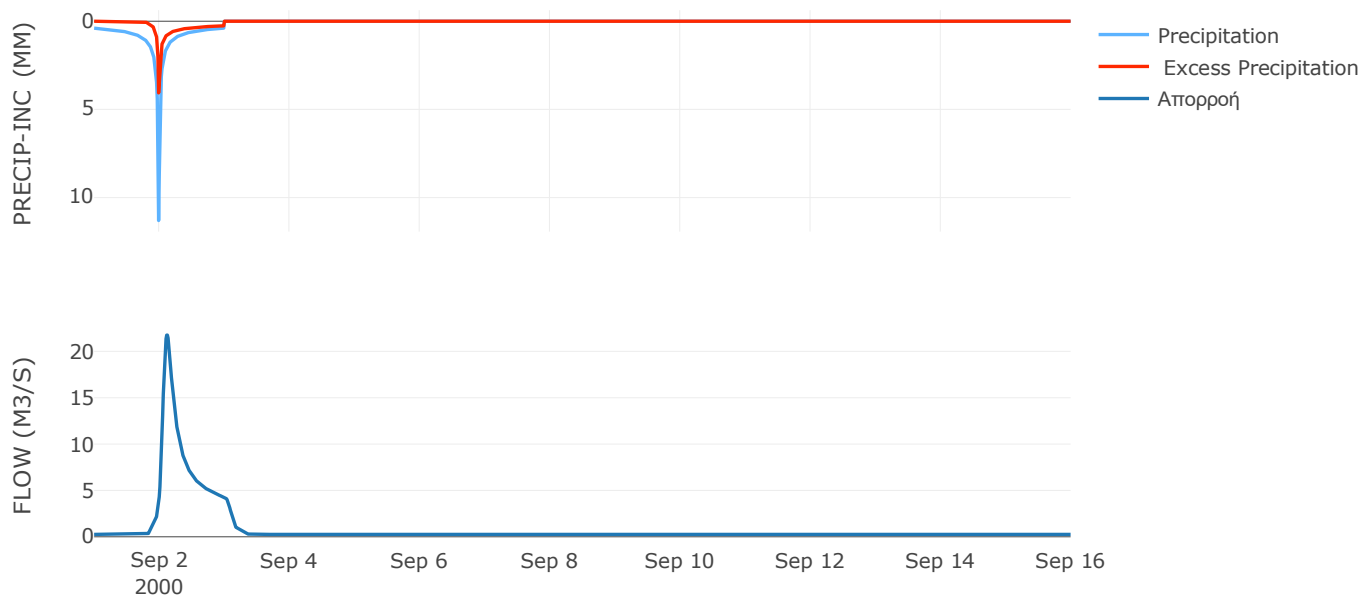
Μέθοδος
Μετασχηματισμού: SCS

Χρόνος Υστέρησης	144.3
------------------	-------

Αποτελέσματα:
EL0514FL002015

Παροχή αιχμής (M3/S)	21.75
Χρονική στιγμή αιχμής	02Sep2000, 03:00
Όγκος (MM)	87.91
Όγκος βροχόπτωσης (M3)	2.43E6
Όγκος απωλειών (M3)	1.63E6
Ενεργός Όγκος (M3)	8.01E5
Όγκος άμεσης απορροής (M3)	8.01E5
Όγκος βασικής απορροής (M3)	3.35E5

Βροχόπτωση και Απορροή



3.2 Δεδομένα και υδρογραφήματα σχεδιασμού Κλάδων υδρογραφικού δικτύου

Κλάδος: R21

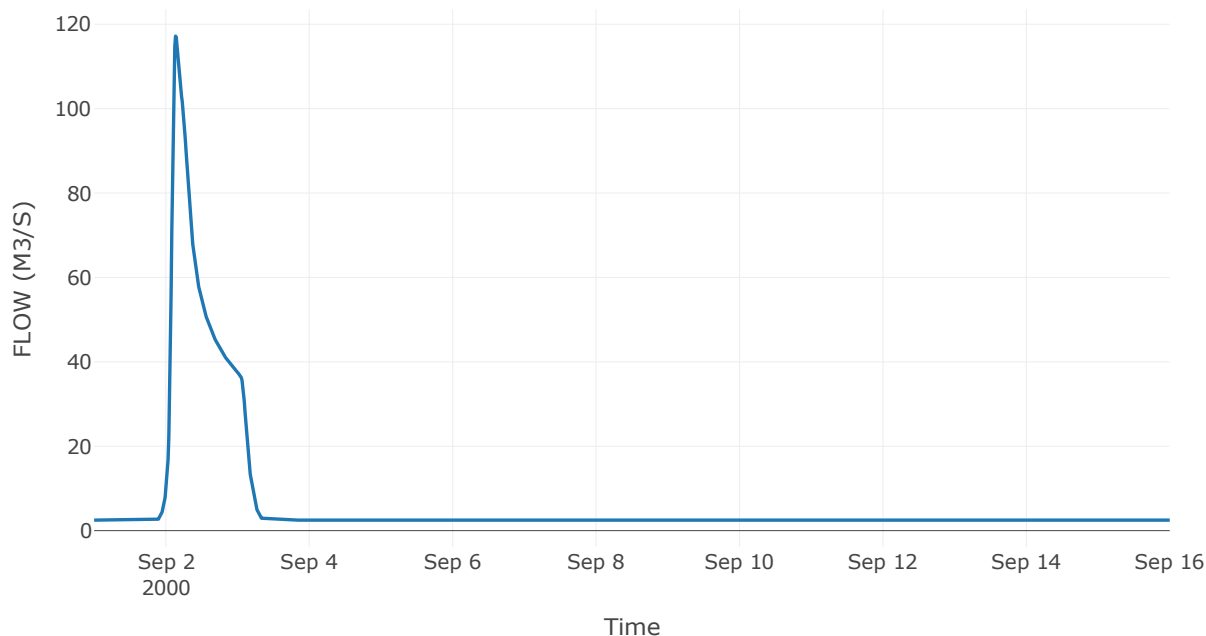
Κατάντη : J1

Μέθοδος Διόδευσης	Muskingum
Αρχική Μεταβλητή	Combined Inflow
Χρόνος Ροής K	1.19
Συντελεστής βάρους x	0.2
Πλήθος Υποκλάδων	5

Αποτελέσματα: R21

Παροχή Αιχμής (M3/S)	117.18
Χρονική στιγμή αιχμής	02Sep2000, 03:15
Όγκος(MM)	69.64
Παροχή Αιχμής Εισόδου (M3/S)	121.67
Όγκος Εισροής(M3)	8.66E6

Απορροή



Κλάδος: R32

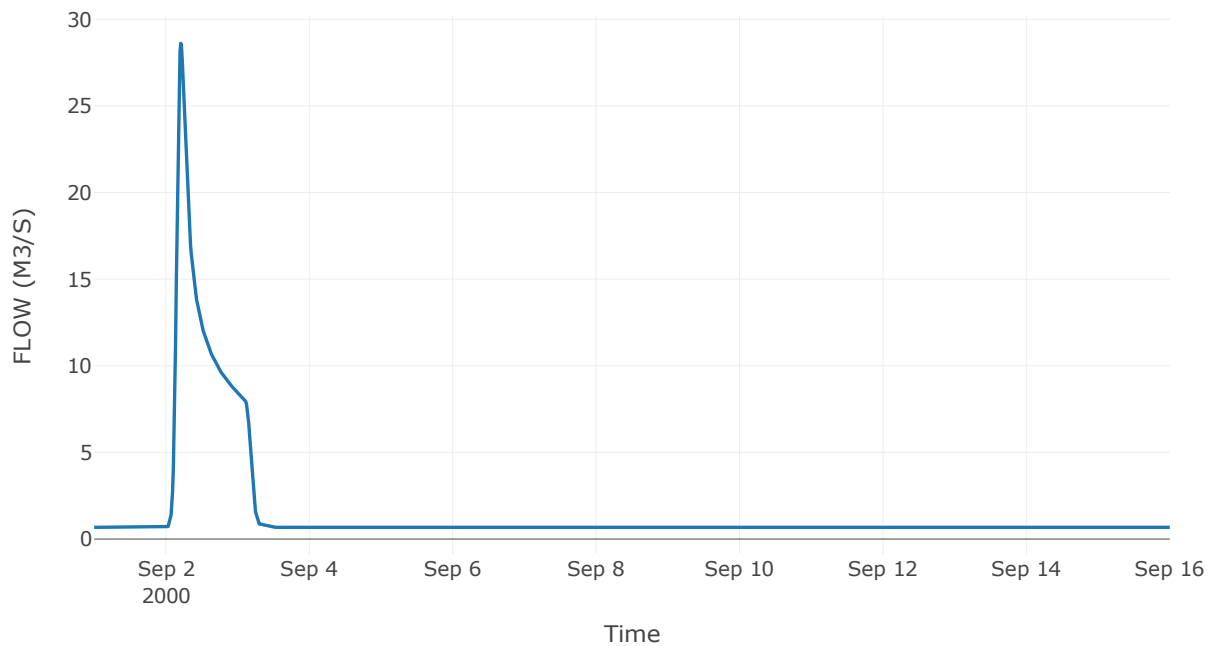
Κατάντη : J2

Μέθοδος Διόδευσης	Muskingum
Αρχική Μεταβλητή	Combined Inflow
Χρόνος Ροής Κ	3.14
Συντελεστής βάρους α	0.2
Πλήθος Υποκλάδων	13

Αποτελέσματα: R32

Παροχή Αιχμής (M3/S)	28.61
Χρονική στιγμή αιχμής	02Sep2000, 05:00
Όγκος(MM)	59.32
Παροχή Αιχμής Εισόδου (M3/S)	32.23
Όγκος Εισροής(M3)	2E6

Απορροή



Κλάδος: R43

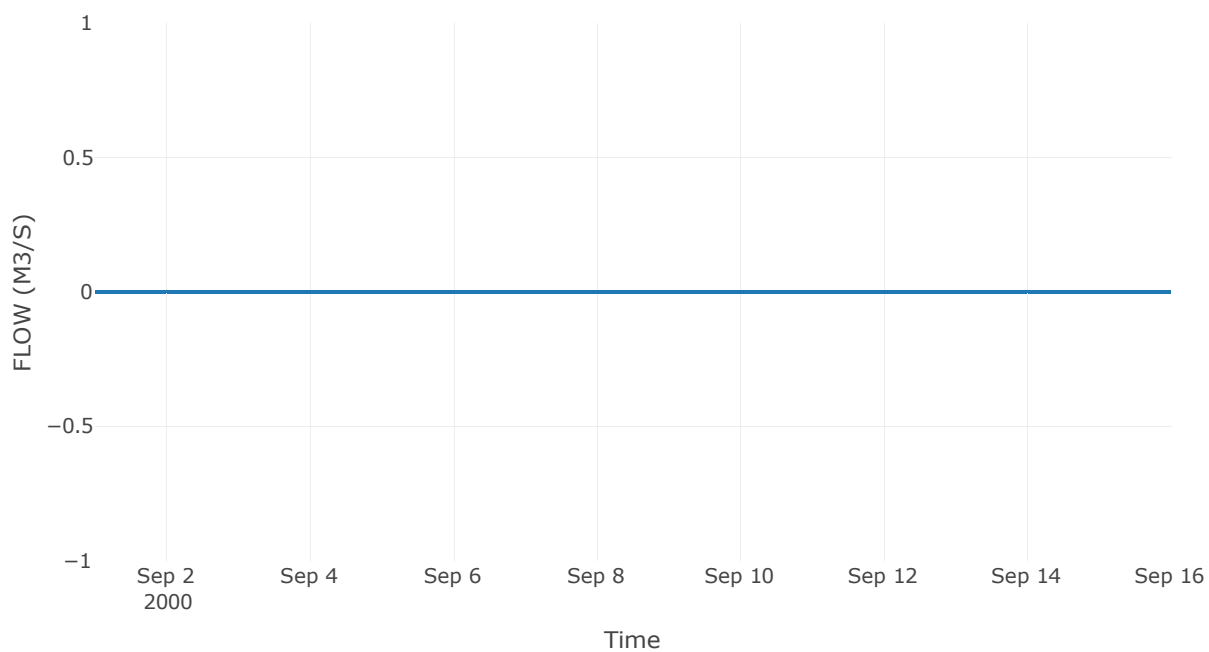
Κατάντη : J3

Μέθοδος Διόδευσης	Muskingum
Αρχική Μεταβλητή	Combined Inflow
Χρόνος Ροής K	4.02
Συντελεστής βάρους x	0.2
Πλήθος Υποκλάδων	16

Αποτελέσματα: R43

Παροχή Αιχμής (M3/S)	0
Χρονική στιγμή αιχμής	31Aug2000, 24:00
Peak Inflow (M3/S)	0
Όγκος Εισροής (M3)	0

Απορροή



Κλάδος: R540

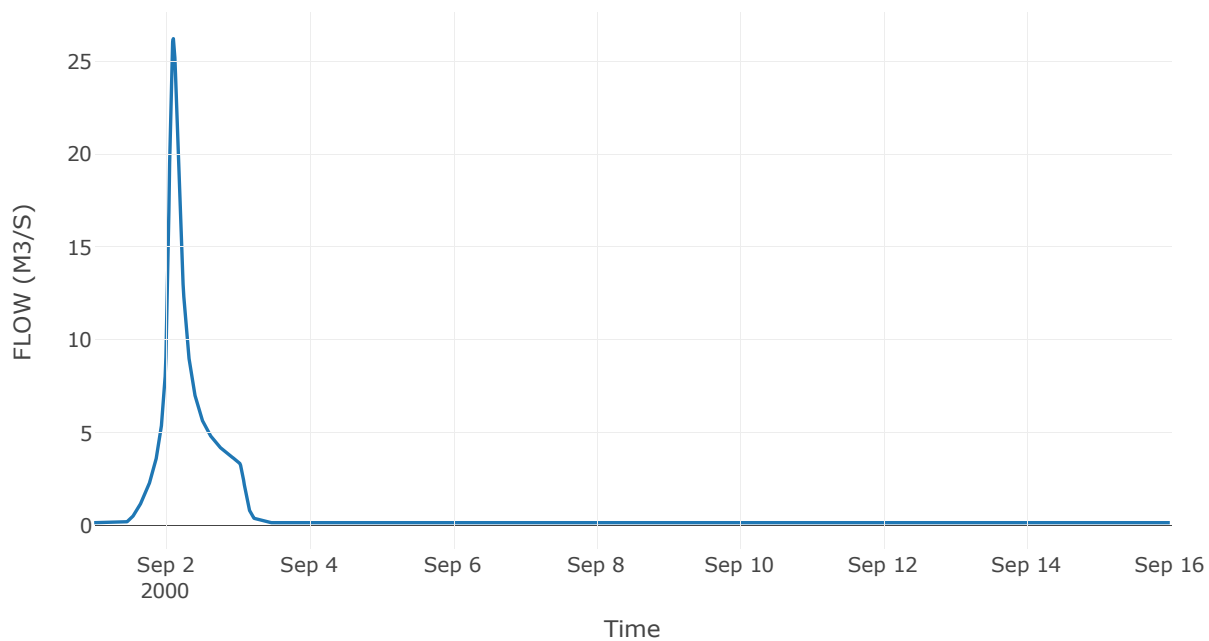
Κατάντη : J40

Μέθοδος Διόδευσης	Χρόνος
Αρχική Μεταβλητή	Combined Inflow
Χρόνος υστέρησης	0

Αποτελέσματα: R540

Παροχή Αιχμής (M3/S)	26.21
Χρονική στιγμή αιχμής	02Sep2000, 02:30
Όγκος(MM)	132.76
Παροχή Αιχμής Εισόδου (M3/S)	26.21
Όγκος Εισροής(M3)	1.12E6

Απορροή



Κλάδος: R640

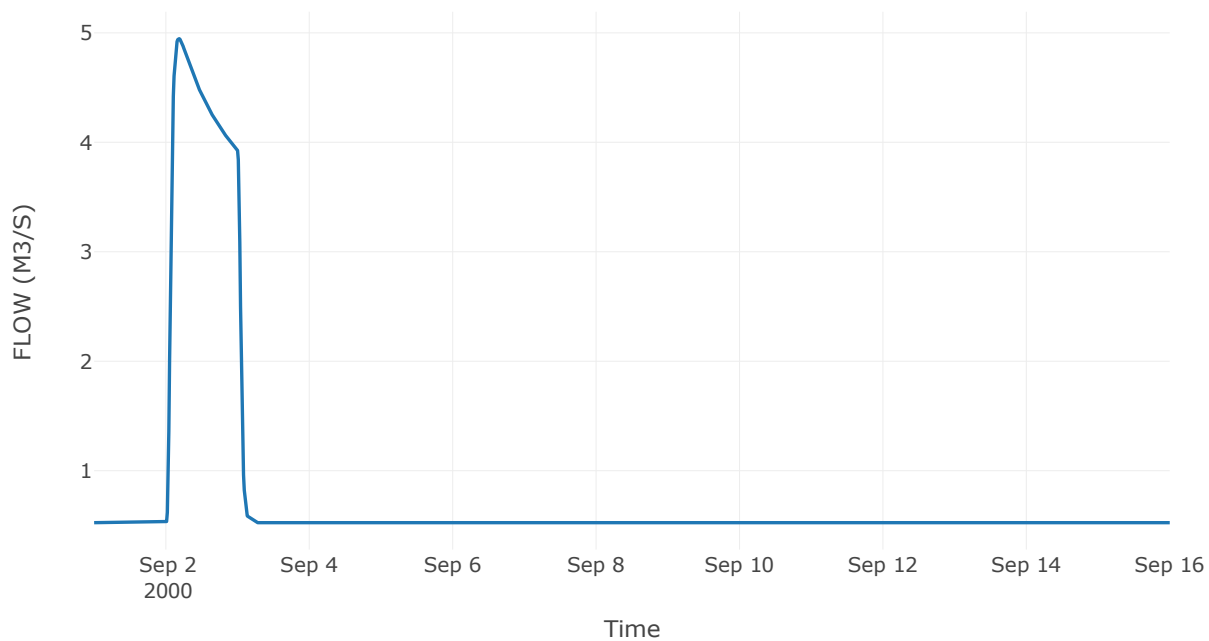
Κατάντη : J40

Μέθοδος Διόδευσης	Χρόνος
Αρχική Μεταβλητή	Combined Inflow
Χρόνος υστέρησης	0

Αποτελέσματα: R640

Παροχή Αιχμής (M3/S)	4.95
Χρονική στιγμή αιχμής	02Sep2000, 04:15
Όγκος(MM)	38.49
Παροχή Αιχμής Εισόδου (M3/S)	4.95
Όγκος Εισροής(M3)	1.01E6

Απορροή



Κλάδος: R740

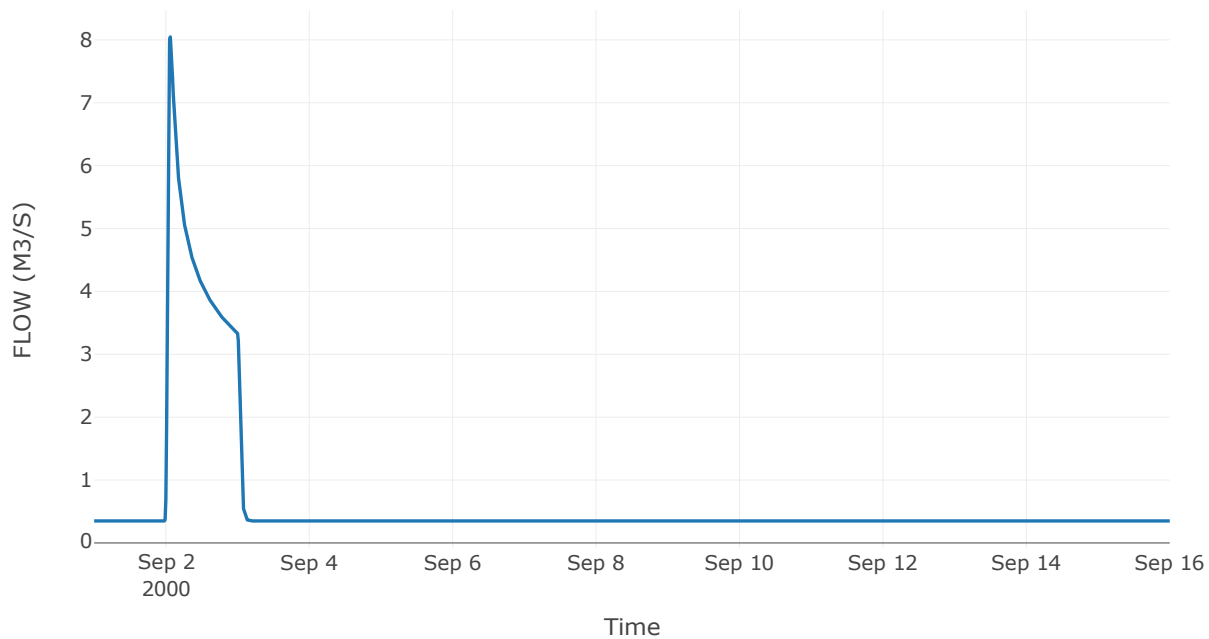
Κατάντη : J40

Μέθοδος Διόδευσης	Χρόνος
Αρχική Μεταβλητή	Combined Inflow
Χρόνος υστέρησης	0

Αποτελέσματα: R740

Παροχή Αιχμής (M3/S)	8.05
Χρονική στιγμή αιχμής	02Sep2000, 01:30
Όγκος(MM)	46.92
Παροχή Αιχμής Εισόδου (M3/S)	8.05
Όγκος Εισροής(M3)	8.2E5

Απορροή



Κλάδος: R840

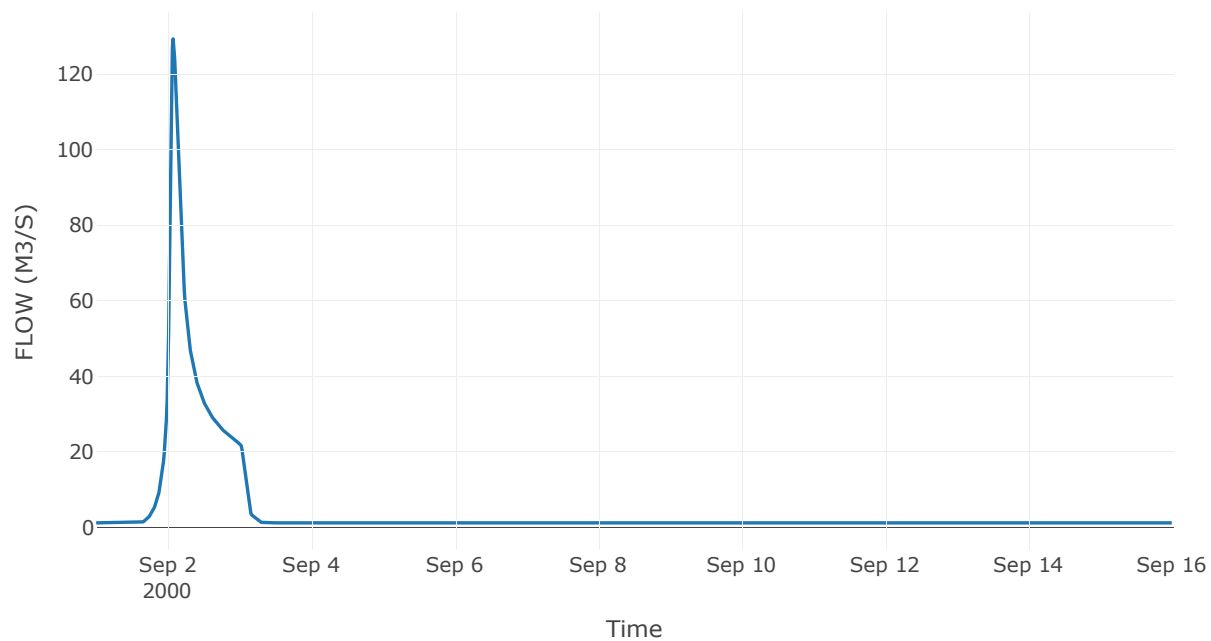
Κατάντη : J40

Μέθοδος Διόδευσης	Χρόνος
Αρχική Μεταβλητή	Combined Inflow
Χρόνος υστέρησης	0

Αποτελέσματα: R840

Παροχή Αιχμής (M3/S)	129.31
Χρονική στιγμή αιχμής	02Sep2000, 01:45
Όγκος(MM)	98.25
Παροχή Αιχμής Εισόδου (M3/S)	129.31
Όγκος Εισροής(M3)	5.92E6

Απορροή



Κλάδος: R1140

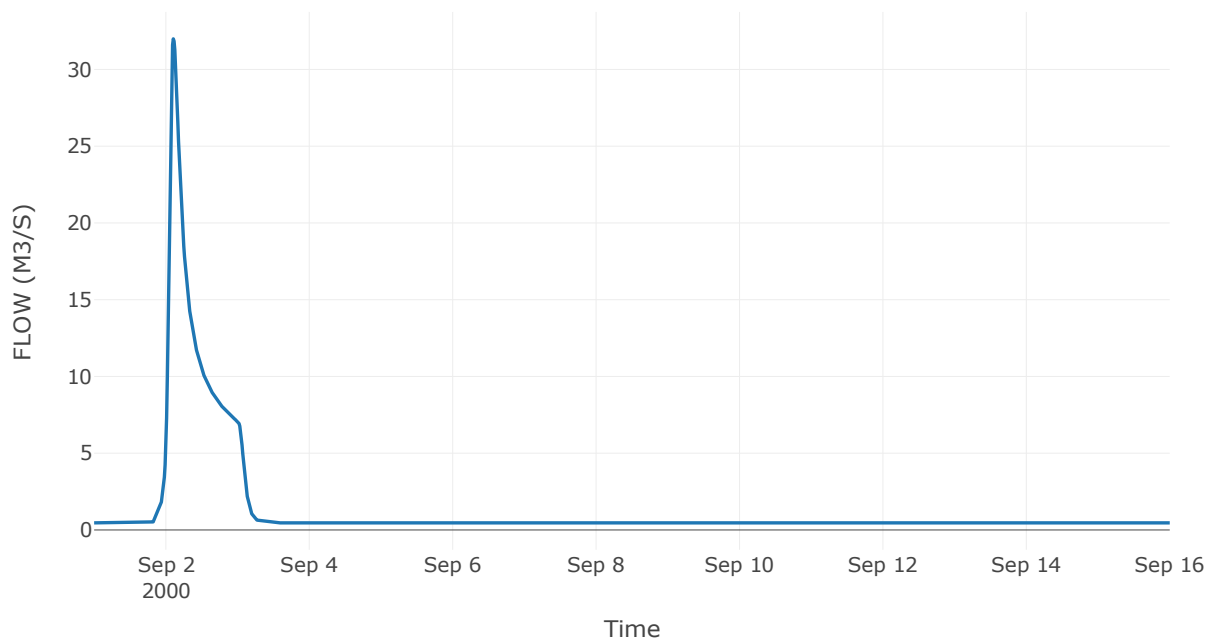
Κατάντη : J40

Μέθοδος Διόδευσης	Χρόνος
Αρχική Μεταβλητή	Combined Inflow
Χρόνος υστέρησης	0

Αποτελέσματα: R1140

Παροχή Αιχμής (M3/S)	31.99
Χρονική στιγμή αιχμής	02Sep2000, 02:30
Όγκος(MM)	77.98
Παροχή Αιχμής Εισόδου (M3/S)	31.99
Όγκος Εισροής(M3)	1.8E6

Απορροή



Κλάδος: R98

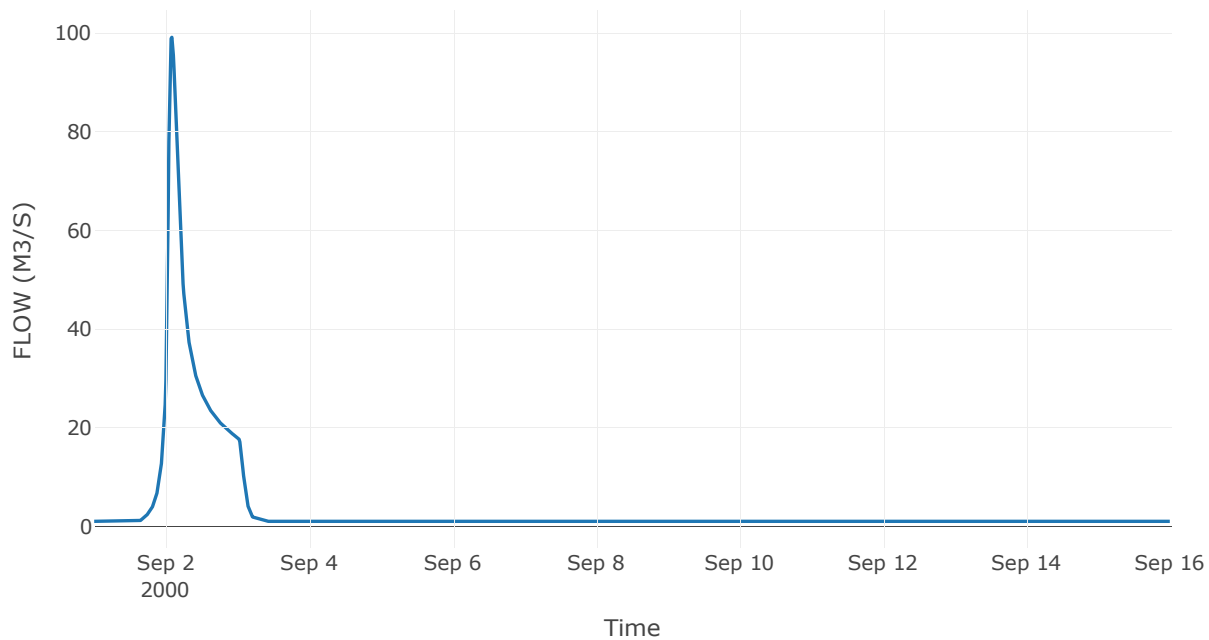
Κατάντη : J8

Μέθοδος Διόδευσης	Muskingum
Αρχική Μεταβλητή	Combined Inflow
Χρόνος Ροής K	0.35
Συντελεστής βάρους x	0.2
Πλήθος Υποκλάδων	1

Αποτελέσματα: R98

Παροχή Αιχμής (M3/S)	99.16
Χρονική στιγμή αιχμής	02Sep2000, 02:00
Όγκος(MM)	98.25
Παροχή Αιχμής Εισόδου (M3/S)	100.87
Όγκος Εισροής(M3)	4.72E6

Απορροή



Κλάδος: R109

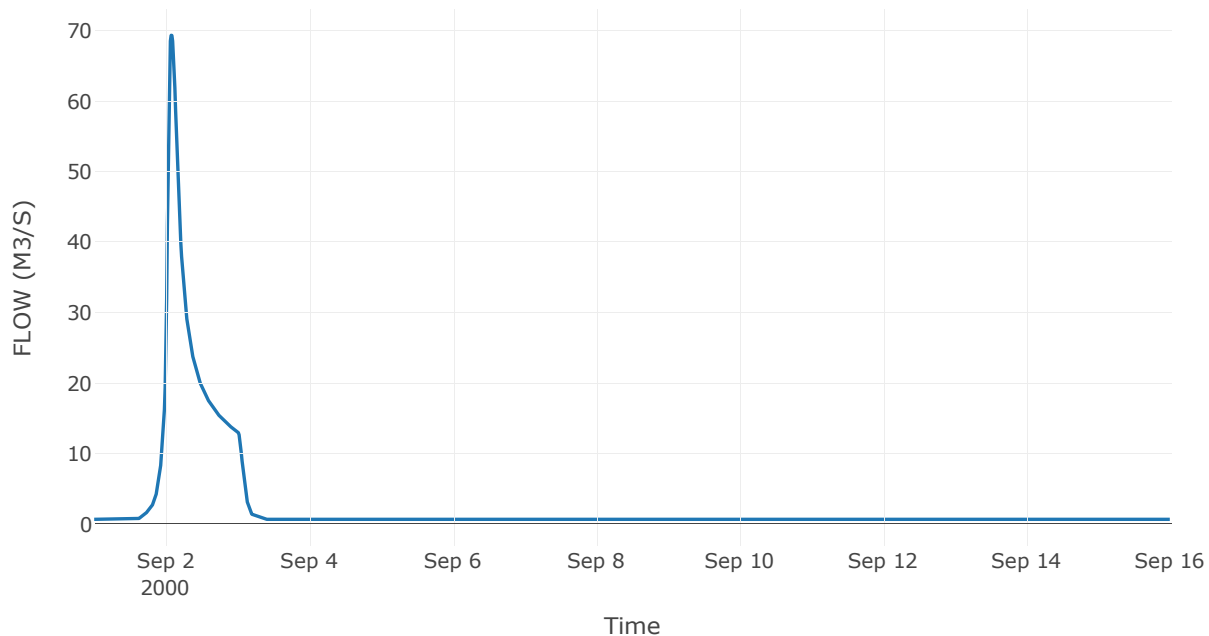
Κατάντη : J9

Μέθοδος Διόδευσης	Muskingum
Αρχική Μεταβλητή	Combined Inflow
Χρόνος Ροής K	0.23
Συντελεστής βάρους x	0.2
Πλήθος Υποκλάδων	1

Αποτελέσματα: R109

Παροχή Αιχμής (M3/S)	69.33
Χρονική στιγμή αιχμής	02Sep2000, 01:45
Όγκος(MM)	97.58
Παροχή Αιχμής Εισόδου (M3/S)	69.52
Όγκος Εισροής(M3)	3.42E6

Απορροή



Κλάδος: R1211

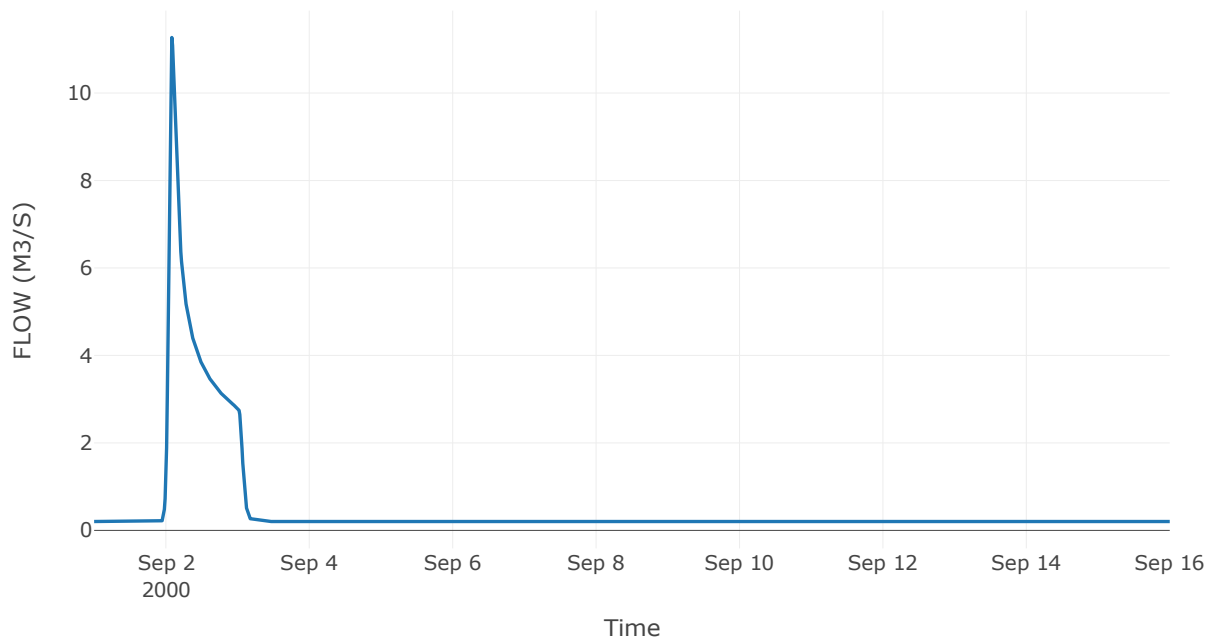
Κατάντη : J11

Μέθοδος Διόδευσης	Muskingum
Αρχική Μεταβλητή	Combined Inflow
Χρόνος Ροής Κ	0.37
Συντελεστής βάρους α	0.2
Πλήθος Υποκλάδων	1

Αποτελέσματα: R1211

Παροχή Αιχμής (M3/S)	11.27
Χρονική στιγμή αιχμής	02Sep2000, 02:00
Όγκος(MM)	65.33
Παροχή Αιχμής Εισόδου (M3/S)	11.58
Όγκος Εισροής(M3)	6.63E5

Απορροή



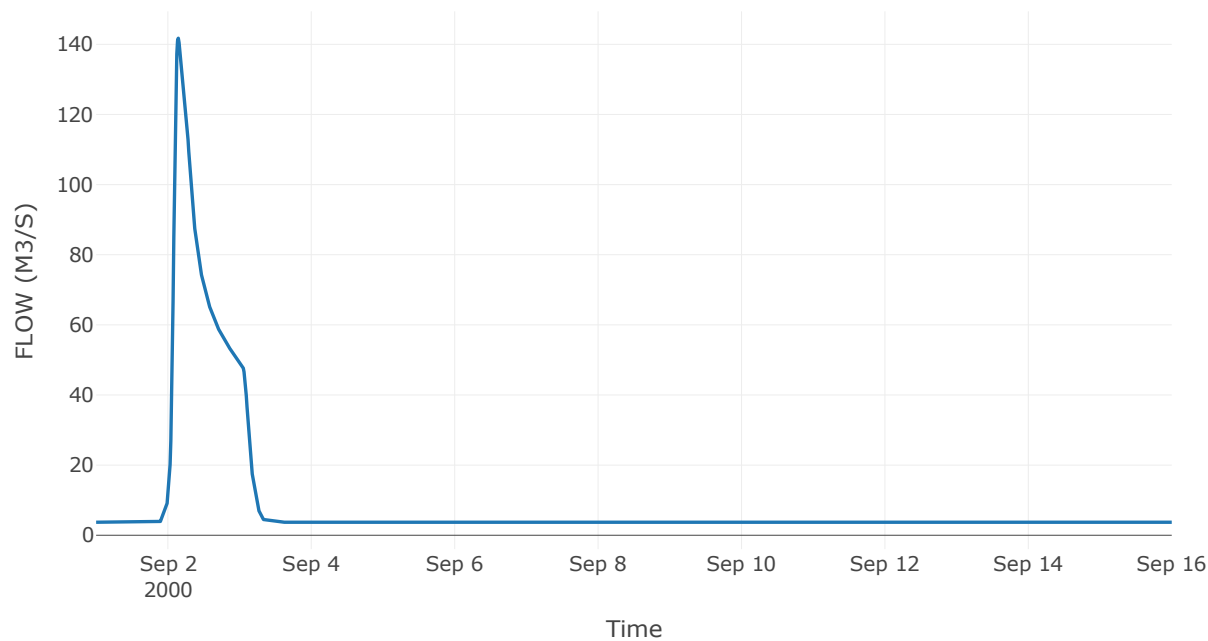
3.3 Δεδομένα και υδρογραφήματα σχεδιασμού Κόμβων υδρογραφικού δικτύου

Κόμβος εξόδου: J1

Αποτελέσμα
τα: J1

Παροχή αιχμής (M3/S)	141.75
Χρονική στιγμή αιχμής	02Sep2000, 03:30
Όγκος (MM)	63.03

Απορροή



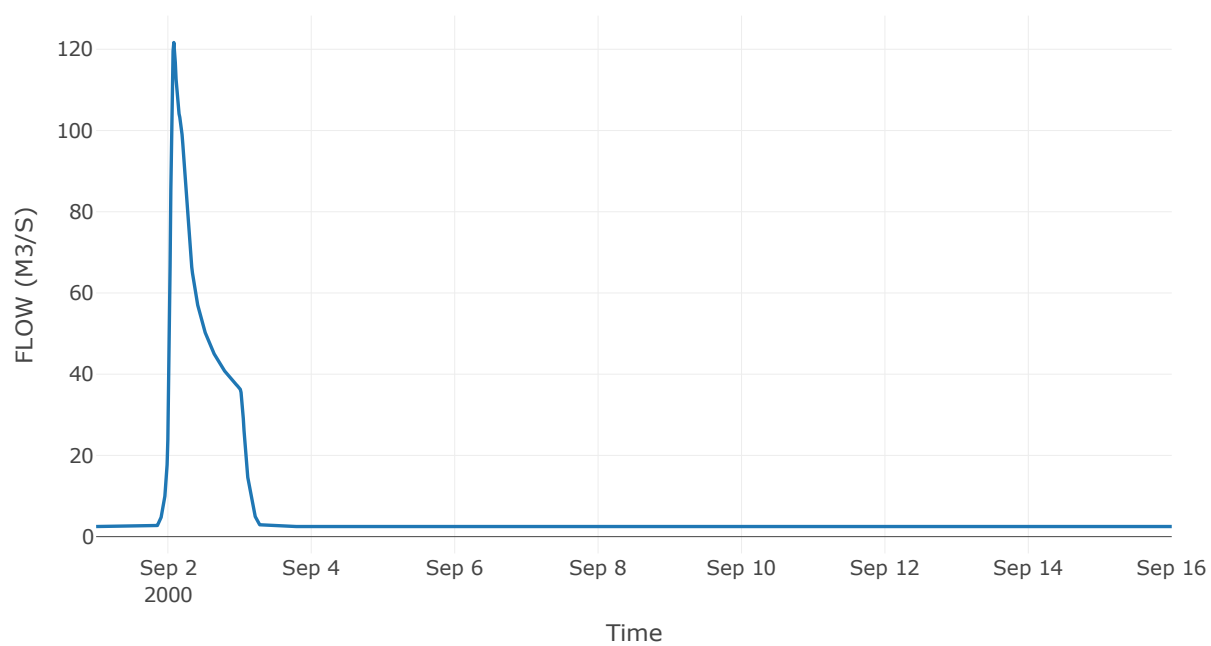
Κόμβος: J2

Κατάντη : R21

Αποτελέσματα: J2

Παροχή Αιχμής (M3/S)	121.67
Χρονική στιγμή αιχμής	02Sep2000, 02:00
Όγκος(MM)	69.64

Απορροή



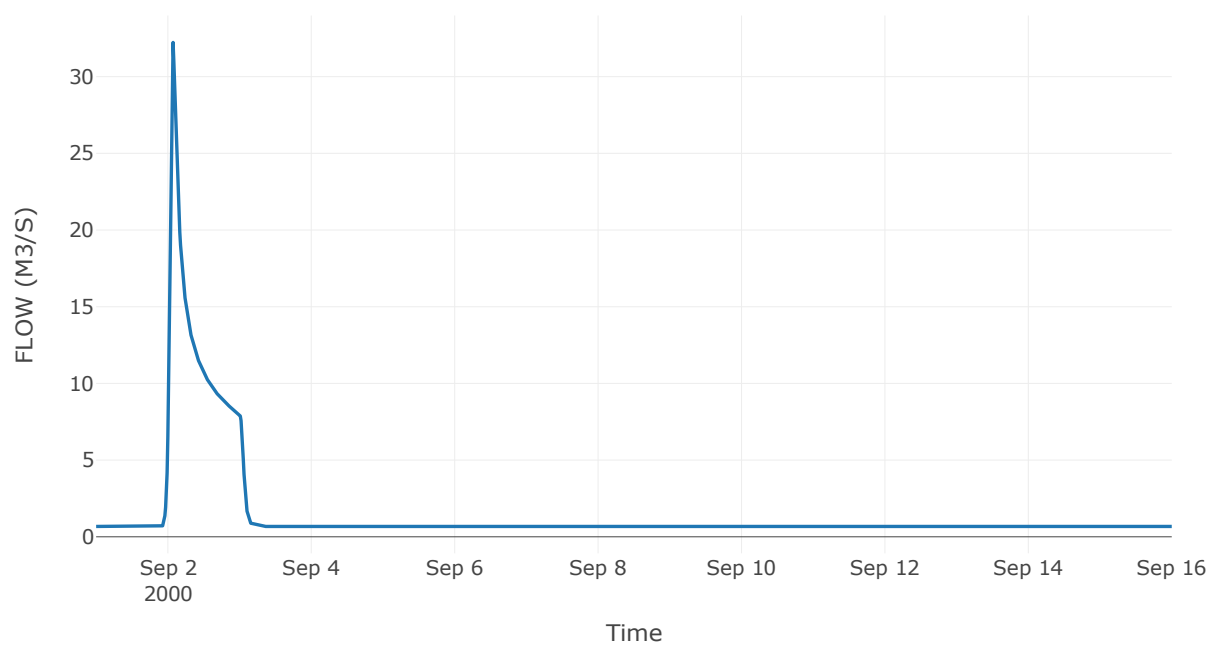
Κόμβος: J3

Κατάντη : R32

Αποτελέσματα: J3

Παροχή Αιχμής (M3/S)	32.23
Χρονική στιγμή αιχμής	02Sep2000, 01:45
Όγκος(MM)	59.32

Απορροή



Κόμβος: J4

Κατάντη : R43

Αποτελέσματα: J4

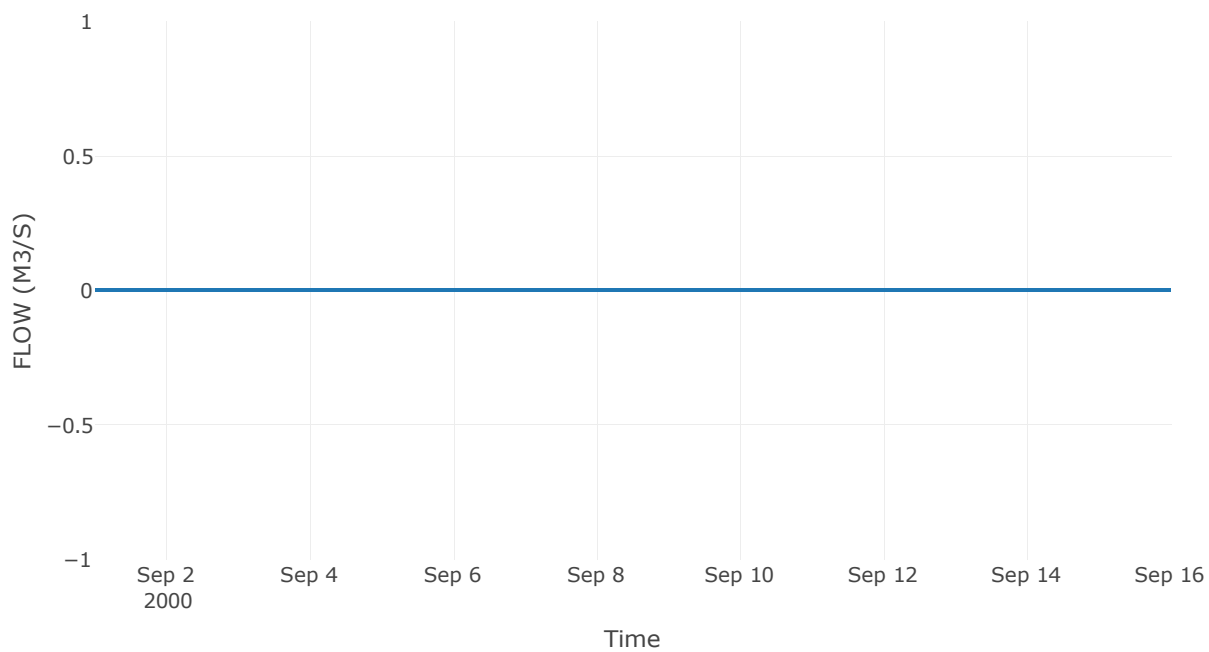
Παροχή Αιχμής (M3/S)

0

Χρονική στιγμή αιχμής

31Aug2000, 24:00

Απορροή

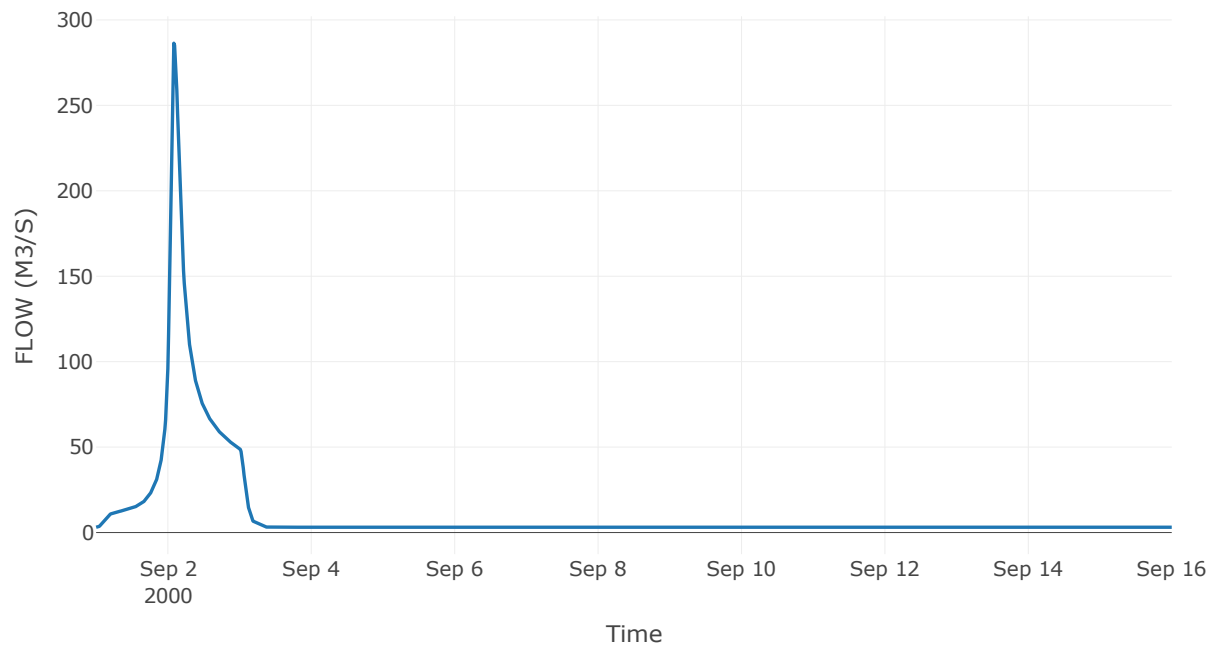


Κόμβος εξόδου: J40

Αποτελέσματα: J40

Παροχή Αιχμής (M3/S)	286.38
Χρονική στιγμή αιχμής	02Sep2000, 02:00
Όγκος(MM)	94.45

Απορροή



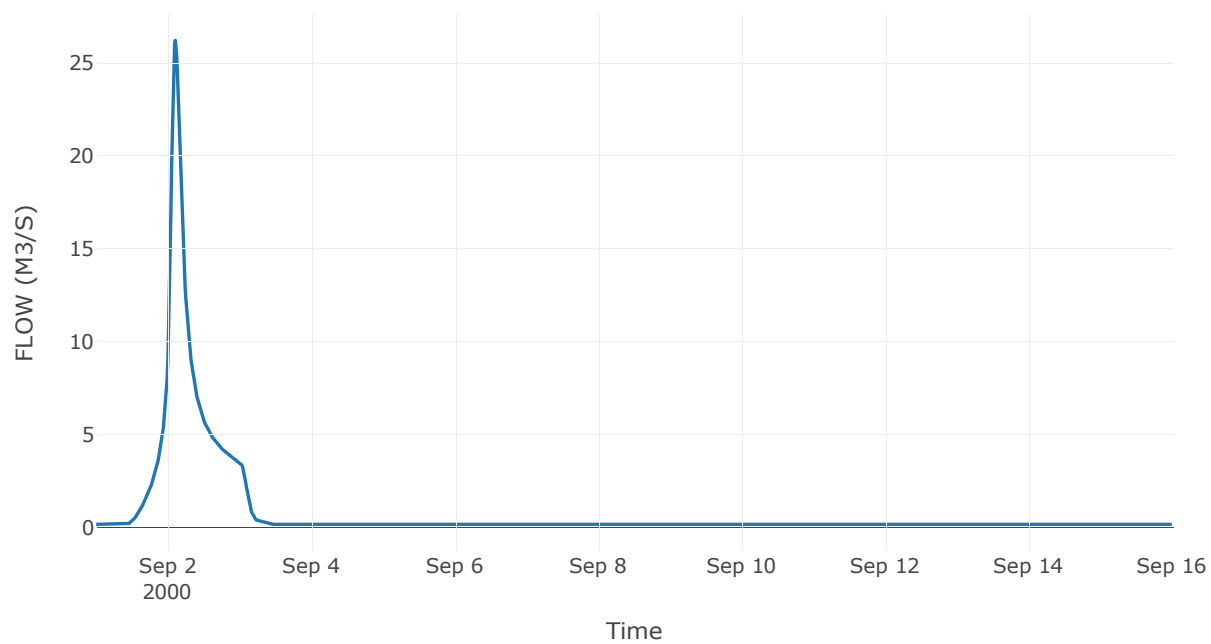
Κόμβος: J5

Κατάντη : R540

Αποτελέσματα: J5

Παροχή Αιχμής (M3/S)	26.21
Χρονική στιγμή αιχμής	02Sep2000, 02:30
Όγκος(MM)	132.76

Απορροή



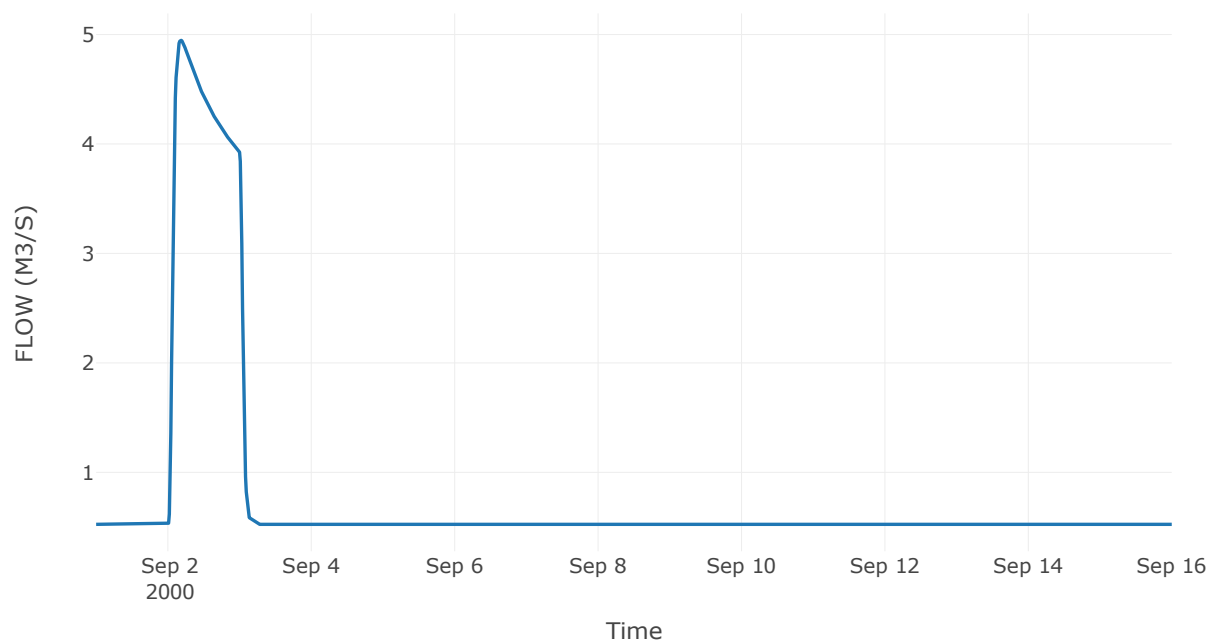
Κόμβος: J6

Κατάντη : R640

Αποτελέσματα: J6

Παροχή Αιχμής (M3/S)	4.95
Χρονική στιγμή αιχμής	02Sep2000, 04:15
Όγκος(MM)	38.49

Απορροή



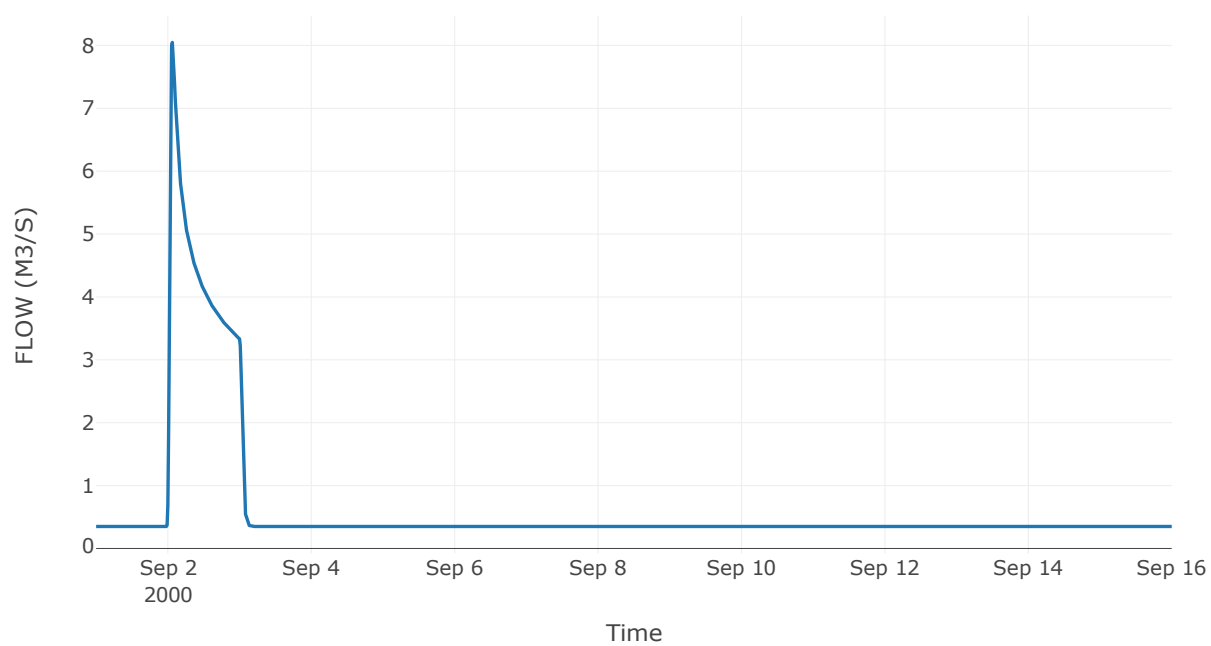
Κόμβος: J7

Κατάντη : R740

Αποτελέσματα: J7

Παροχή Αιχμής (M3/S)	8.05
Χρονική στιγμή αιχμής	02Sep2000, 01:30
Όγκος(MM)	46.92

Απορροή



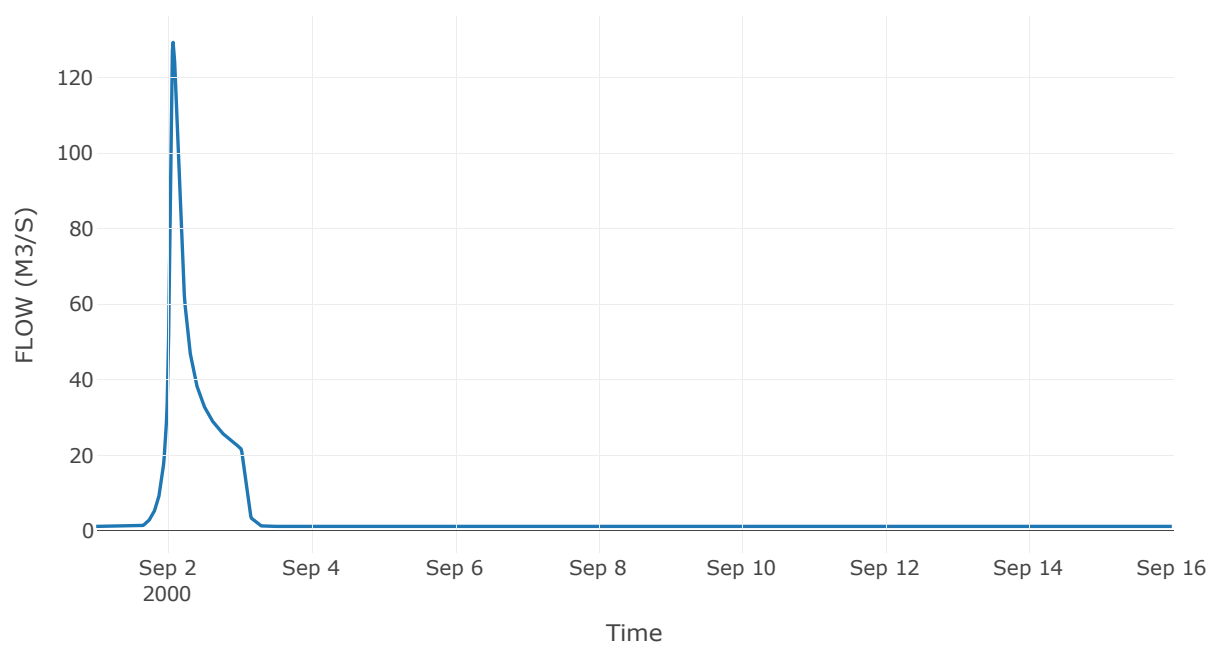
Κόμβος: J8

Κατάντη : R840

Αποτελέσματα: J8

Παροχή Αιχμής (M3/S)	129.31
Χρονική στιγμή αιχμής	02Sep2000, 01:45
Όγκος(MM)	98.25

Απορροή



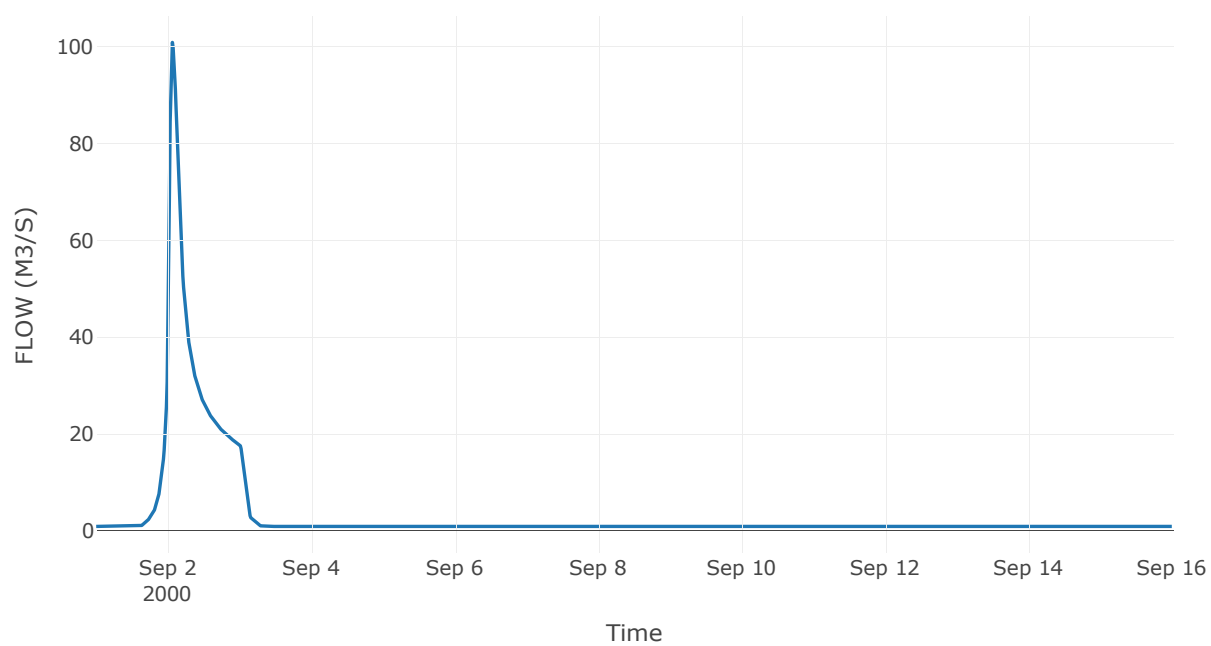
Κόμβος: J9

Κατάντη : R98

Αποτελέσματα: J9

Παροχή Αιχμής (M3/S)	100.87
Χρονική στιγμή αιχμής	02Sep2000, 01:30
Όγκος(MM)	98.25

Απορροή



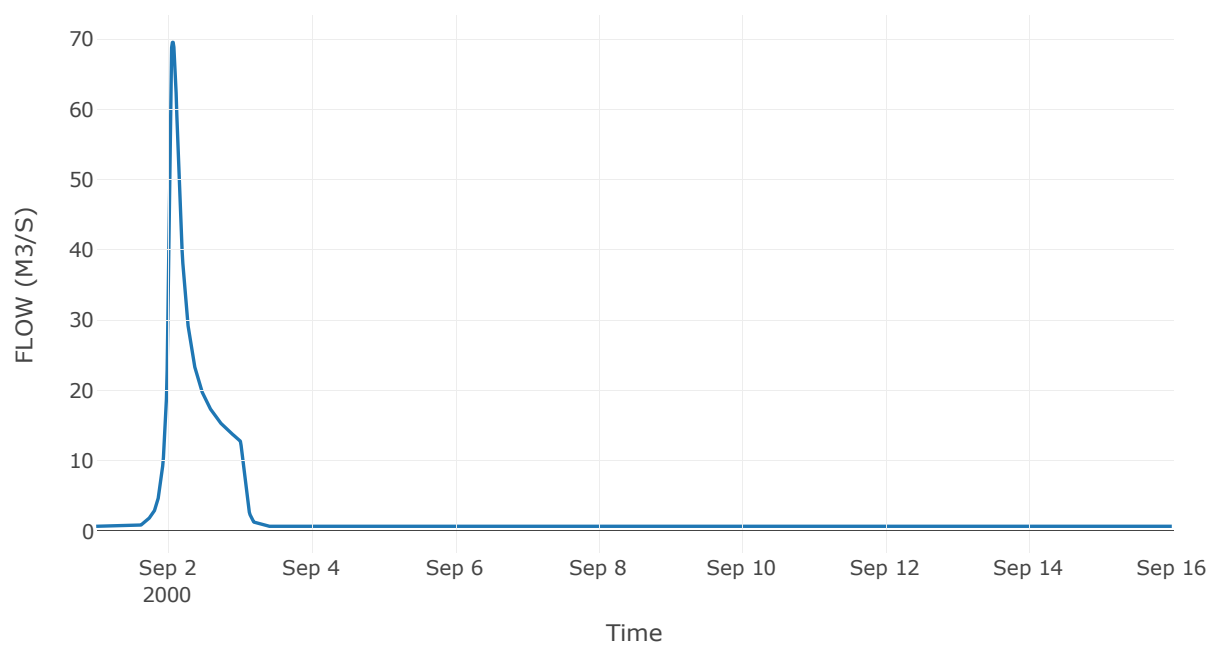
Κόμβος: J10

Κατάντη : R109

Αποτελέσματα: J10

Παροχή Αιχμής (M3/S)	69.52
Χρονική στιγμή αιχμής	02Sep2000, 01:45
Όγκος(MM)	97.58

Απορροή



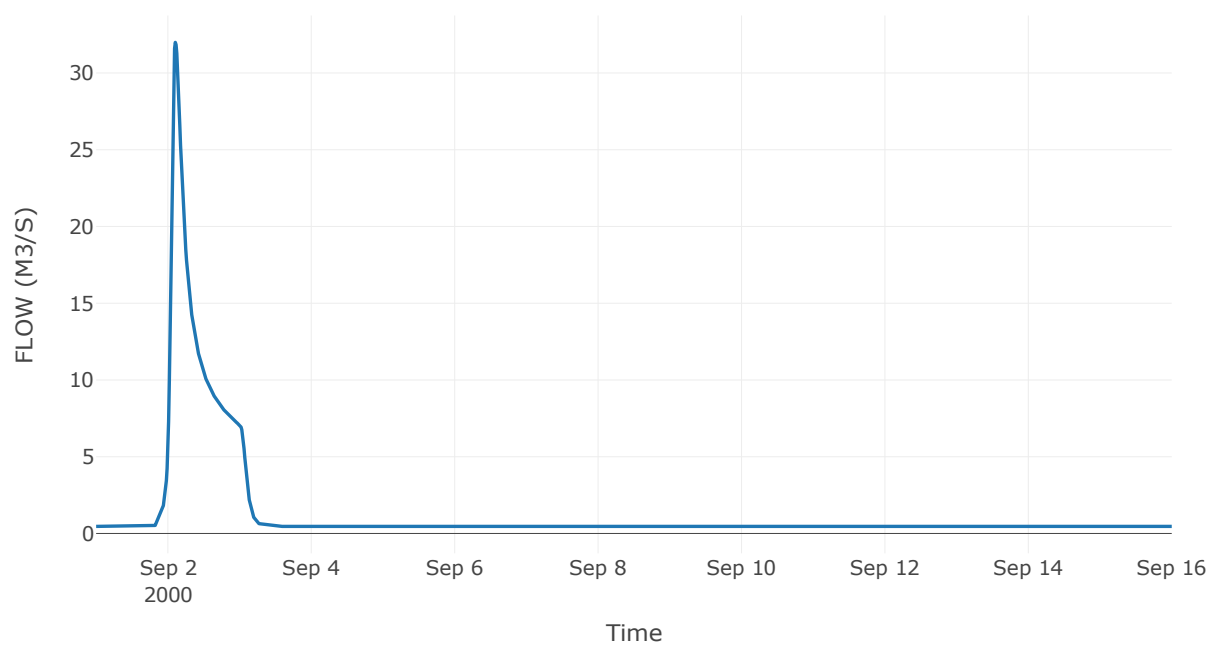
Κόμβος: J11

Κατάντη : R1140

Αποτελέσματα: J11

Παροχή Αιχμής (M3/S)	31.99
Χρονική στιγμή αιχμής	02Sep2000, 02:30
Όγκος(MM)	77.98

Απορροή



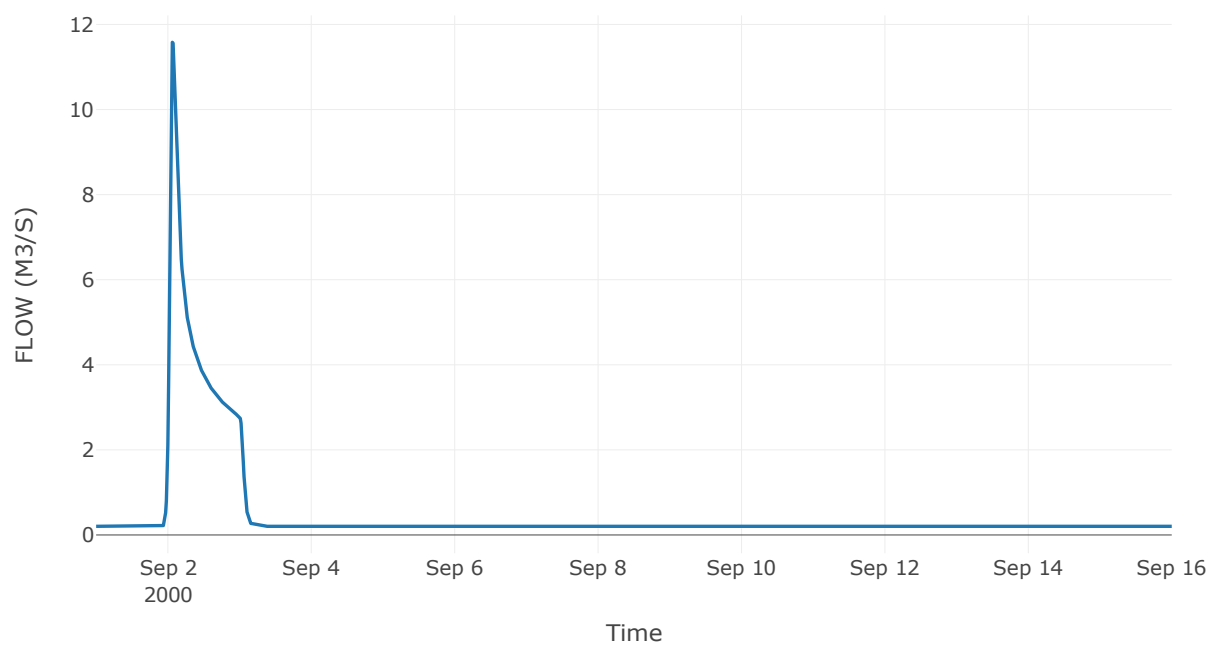
Κόμβος: J12

Κατάντη : R1211

Αποτελέσματα: J12

Παροχή Αιχμής (M3/S)	11.58
Χρονική στιγμή αιχμής	02Sep2000, 01:30
Όγκος(MM)	65.33

Απορροή



4 Δεδομένα εισόδου και αποτελέσματα υδρολογικού σεναρίου T=50U

4.1 Αποτελέσματα, υετογραφήματα και υδρογραφήματα σχεδιασμού υπολεκανών

Υπολεκάνη: EL0514FL002001

Έκταση (KM2) : 61.13

Κατάντη : J1

Μέθοδος Απωλειών: SCS

Ποσοστό αδιαπέρατης επιφάνειας	0
Αριθμός Καμπύλης Απορροής-CN	78.89
Αρχικές Απώλειες	13.59

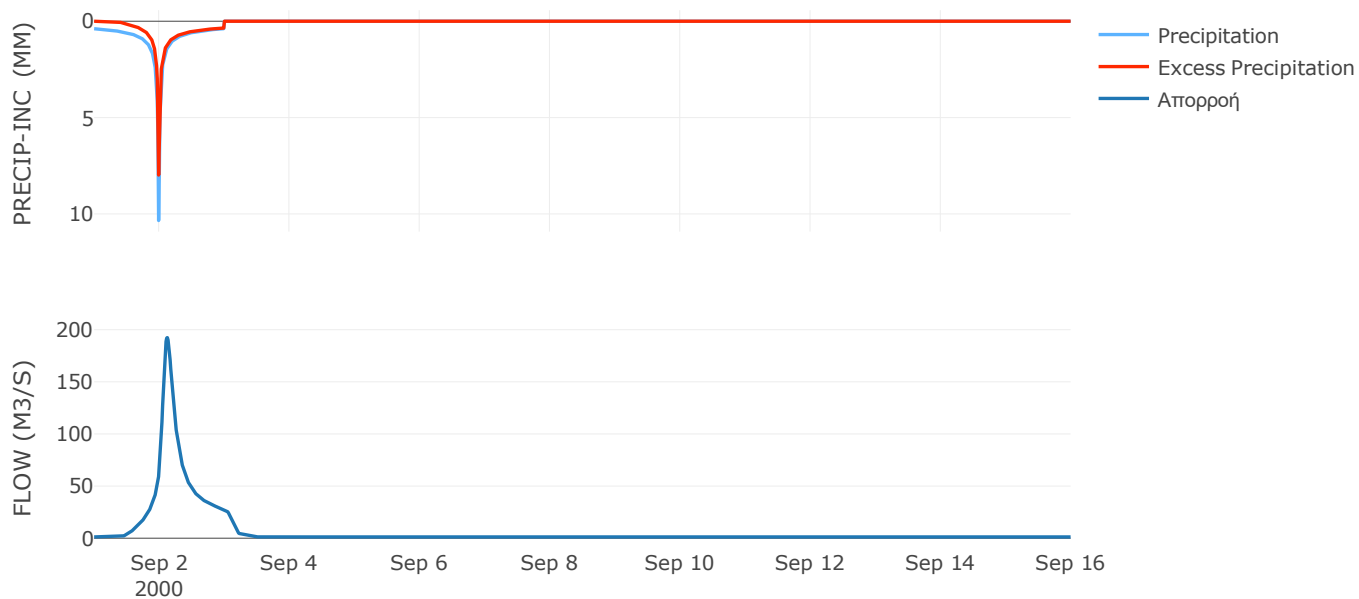
Μέθοδος
Μετασχηματισμού: SCS

Χρόνος Υστέρησης	161.91
------------------	--------

Αποτελέσματα:
EL0514FL002001

Παροχή αιχμής (M3/S)	192.38
Χρονική στιγμή αιχμής	02Sep2000, 03:00
Όγκος (MM)	144.86
Όγκος βροχόπτωσης (M3)	1.11E7
Όγκος απωλειών (M3)	3.79E6
Ενεργός Όγκος (M3)	7.27E6
Όγκος άμεσης απορροής (M3)	7.27E6
Όγκος βασικής απορροής (M3)	1.58E6

Βροχόπτωση και Απορροή



Υπολεκάνη: EL0514FL002002

Έκταση (KM2) : 42.33

Κατάντη : J2

Μέθοδος Απωλειών: SCS

Ποσοστό αδιαπέρατης επιφάνειας	0
Αριθμός Καμπύλης Απορροής-CN	75.03
Αρχικές Απώλειες	16.91

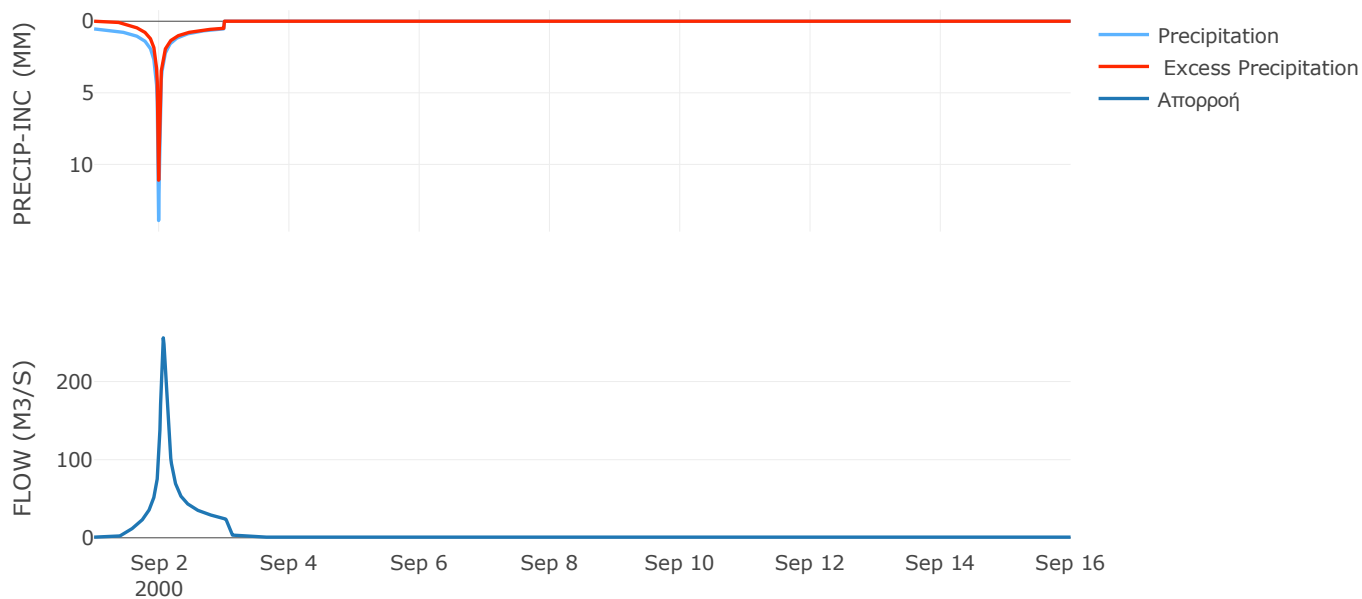
Μέθοδος
Μετασχηματισμού: SCS

Χρόνος Υστέρησης	81.75
------------------	-------

Αποτελέσματα:
EL0514FL002002

Παροχή αιχμής (M3/S)	255.97
Χρονική στιγμή αιχμής	02Sep2000, 01:30
Όγκος (MM)	194.68
Όγκος βροχόπτωσης (M3)	1.05E7
Όγκος απωλειών (M3)	3.33E6
Ενεργός Όγκος (M3)	7.14E6
Όγκος άμεσης απορροής (M3)	7.14E6
Όγκος βασικής απορροής (M3)	1.1E6

Βροχόπτωση και Απορροή



Υπολεκάνη: EL0514FL002003

Έκταση (KM2) : 48.23

Κατάντη : J2

Μέθοδος Απωλειών: SCS

Ποσοστό αδιαπέρατης επιφάνειας	0
Αριθμός Καμπύλης Απορροής-CN	84.45
Αρχικές Απώλειες	9.35

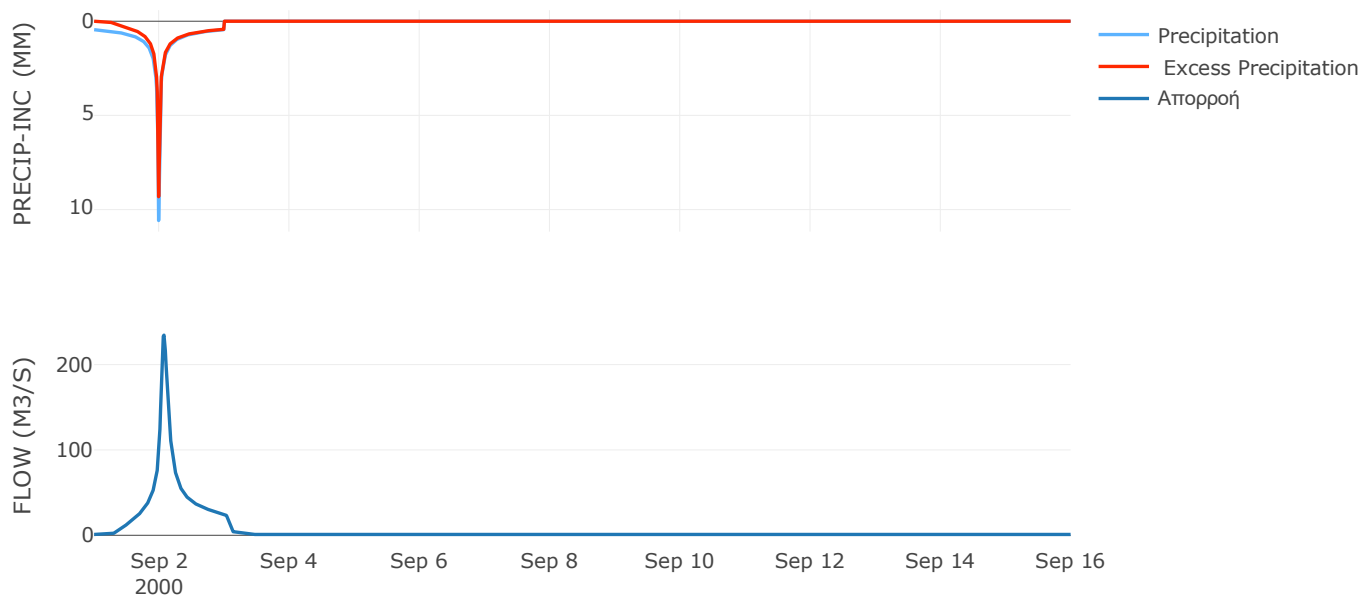
Μέθοδος
Μετασχηματισμού: SCS

Χρόνος Υστέρησης	95.86
------------------	-------

Αποτελέσματα:
EL0514FL002003

Παροχή αιχμής (M3/S)	234.49
Χρονική στιγμή αιχμής	02Sep2000, 01:45
Όγκος (MM)	179.87
Όγκος βροχόπτωσης (M3)	9.69E6
Όγκος απωλειών (M3)	2.26E6
Ενεργός Όγκος (M3)	7.43E6
Όγκος άμεσης απορροής (M3)	7.43E6
Όγκος βασικής απορροής (M3)	1.25E6

Βροχόπτωση και Απορροή



Υπολεκάνη: EL0514FL002004

Έκταση (KM2) : 33.76

Κατάντη : J3

Μέθοδος Απωλειών: SCS

Ποσοστό αδιαπέρατης επιφάνειας	0
Αριθμός Καμπύλης Απορροής-CN	83.18
Αρχικές Απώλειες	10.27

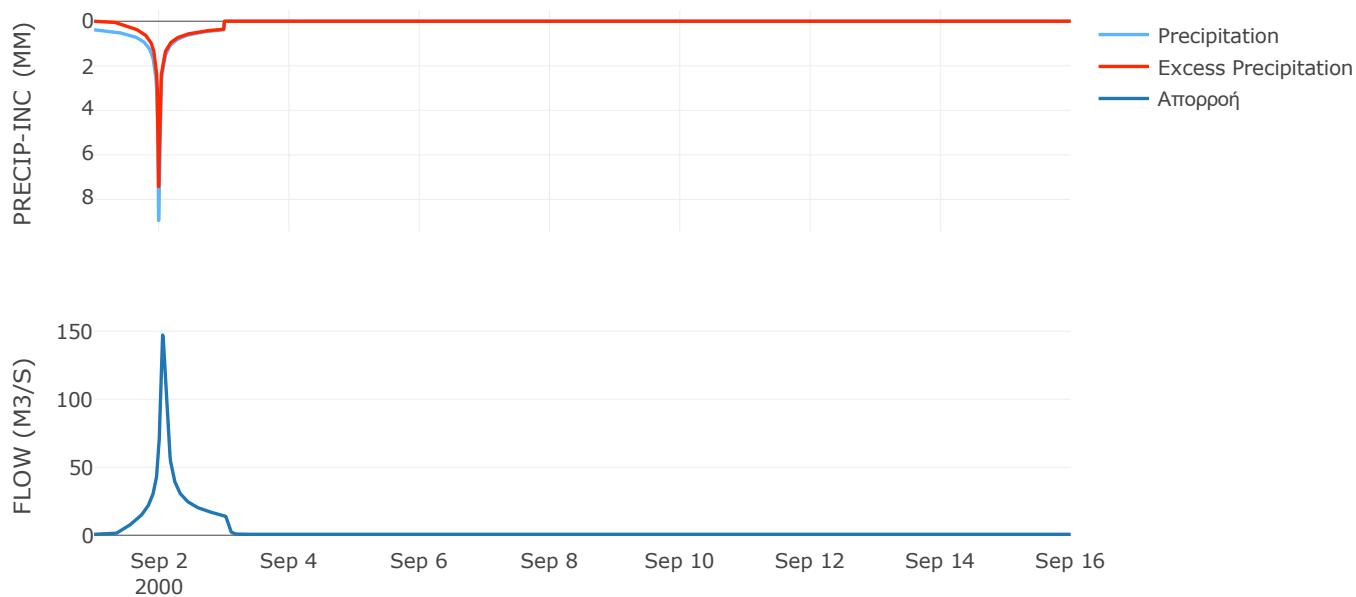
Μέθοδος
Μετασχηματισμού: SCS

Χρόνος Υστέρησης	73.04
------------------	-------

Αποτελέσματα:
EL0514FL002004

Παροχή αιχμής (M3/S)	147.26
Χρονική στιγμή αιχμής	02Sep2000, 01:15
Όγκος (MM)	148
Όγκος βροχόπτωσης (M3)	5.78E6
Όγκος απωλειών (M3)	1.66E6
Ενεργός Όγκος (M3)	4.12E6
Όγκος άμεσης απορροής (M3)	4.12E6
Όγκος βασικής απορροής (M3)	8.75E5

Βροχόπτωση και Απορροή



Υπολεκάνη: EL0514FL002005

Έκταση (KM2) : 26.27

Κατάντη : J6

Μέθοδος Απωλειών: SCS

Ποσοστό αδιαπέρατης επιφάνειας	0
Αριθμός Καμπύλης Απορροής-CN	73.66
Αρχικές Απώλειες	18.16

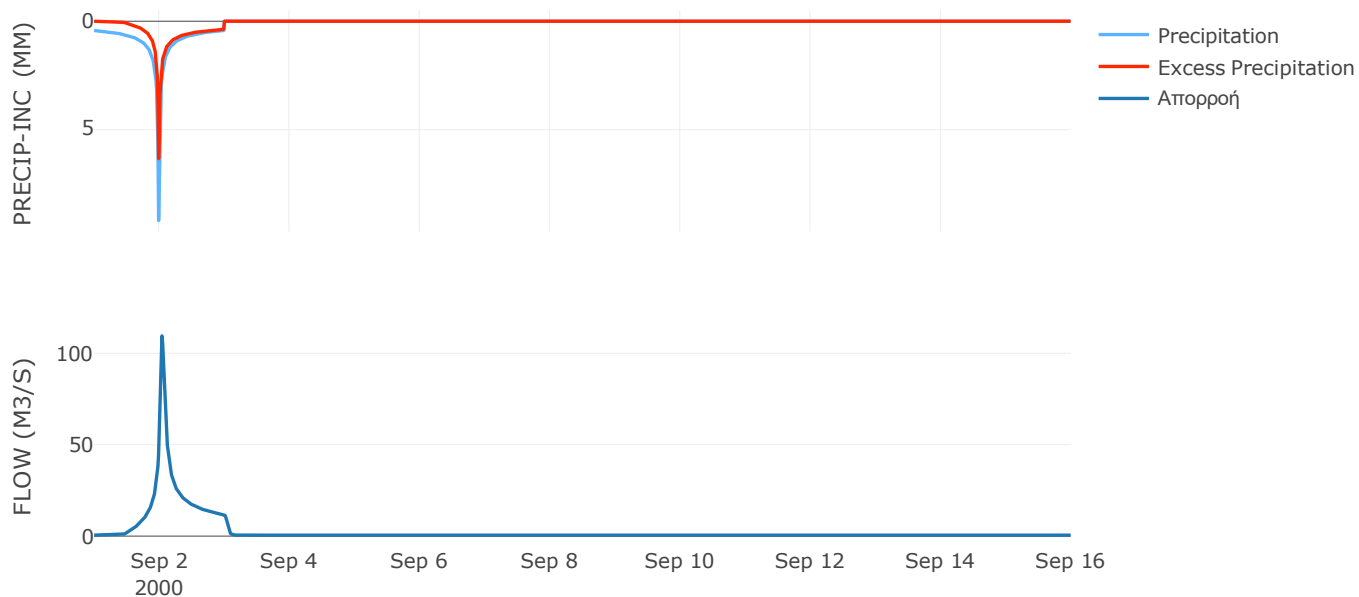
Μέθοδος
Μετασχηματισμού: SCS

Χρόνος Υστέρησης	56.35
------------------	-------

Αποτελέσματα:
EL0514FL002005

Παροχή αιχμής (M3/S)	109.57
Χρονική στιγμή αιχμής	02Sep2000, 01:00
Όγκος (MM)	134.01
Όγκος βροχόπτωσης (M3)	4.86E6
Όγκος απωλειών (M3)	2.02E6
Ενεργός Όγκος (M3)	2.84E6
Όγκος άμεσης απορροής (M3)	2.84E6
Όγκος βασικής απορροής (M3)	6.81E5

Βροχόπτωση και Απορροή



Υπολεκάνη: EL0514FL002006

Έκταση (KM2) : 17.48

Κατάντη : J7

Μέθοδος Απωλειών: SCS

Ποσοστό αδιαπέρατης επιφάνειας	0
Αριθμός Καμπύλης Απορροής-CN	77
Αρχικές Απώλειες	15.17

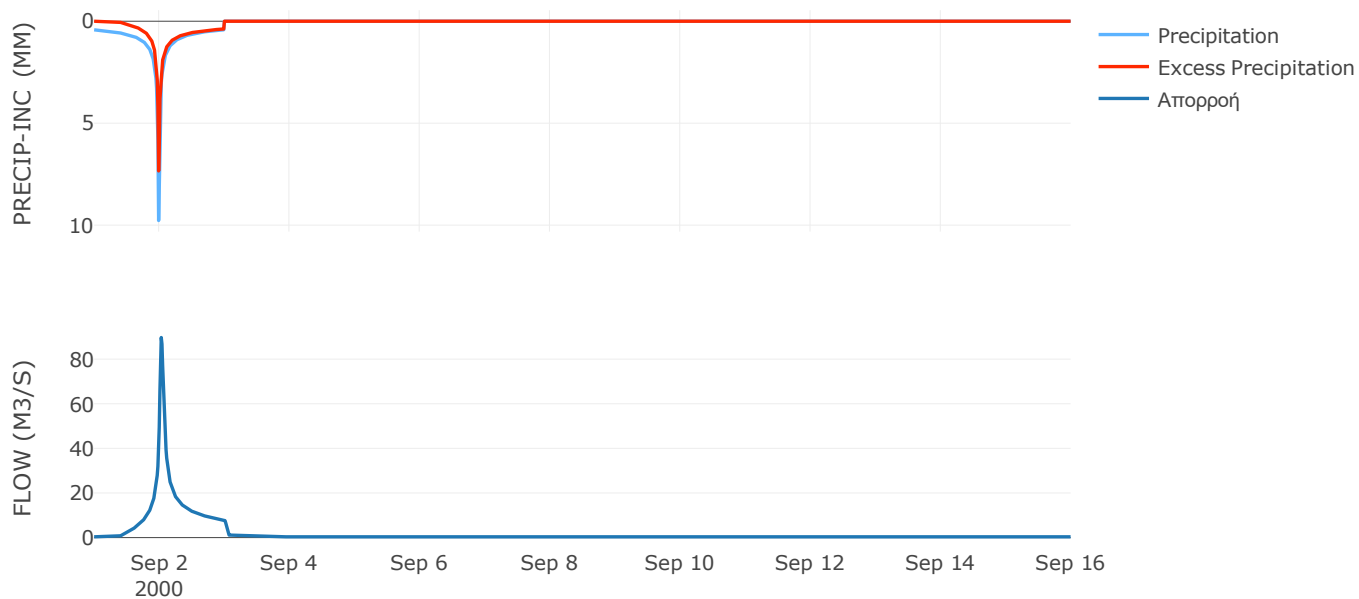
Μέθοδος
Μετασχηματισμού: SCS

Χρόνος Υστέρησης	45.58
------------------	-------

Αποτελέσματα:
EL0514FL002006

Παροχή αιχμής (M3/S)	89.69
Χρονική στιγμή αιχμής	02Sep2000, 00:45
Όγκος (MM)	145.64
Όγκος βροχόπτωσης (M3)	3.28E6
Όγκος απωλειών (M3)	1.19E6
Ενεργός Όγκος (M3)	2.09E6
Όγκος άμεσης απορροής (M3)	2.09E6
Όγκος βασικής απορροής (M3)	4.53E5

Βροχόπτωση και Απορροή



Υπολεκάνη: EL0514FL002007

Έκταση (KM2) : 12.13

Κατάντη : J8

Μέθοδος Απωλειών: SCS

Ποσοστό αδιαπέρατης επιφάνειας	0
Αριθμός Καμπύλης Απορροής-CN	89.57
Αρχικές Απώλειες	5.92

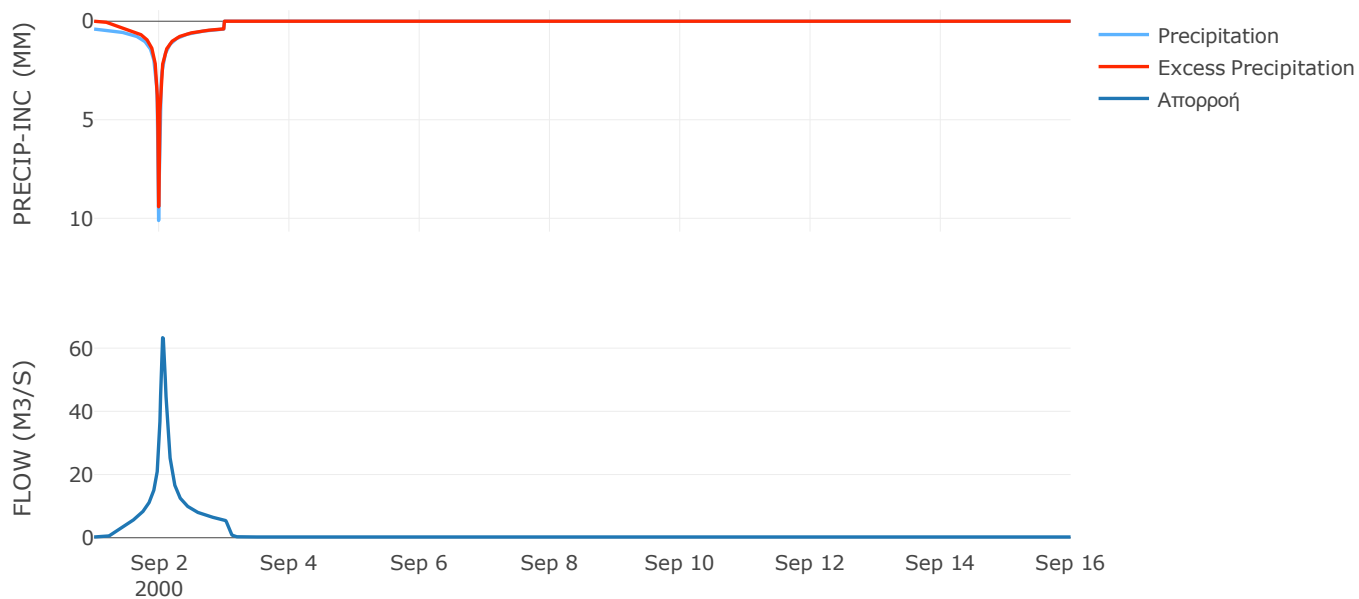
Μέθοδος
Μετασχηματισμού: SCS

Χρόνος Υστέρησης	79.34
------------------	-------

Αποτελέσματα:
EL0514FL002007

Παροχή αιχμής (M3/S)	63.3
Χρονική στιγμή αιχμής	02Sep2000, 01:15
Όγκος (MM)	177.4
Όγκος βροχόπτωσης (M3)	2.22E6
Όγκος απωλειών (M3)	3.79E5
Ενεργός Όγκος (M3)	1.84E6
Όγκος άμεσης απορροής (M3)	1.84E6
Όγκος βασικής απορροής (M3)	3.14E5

Βροχόπτωση και Απορροή



Υπολεκάνη: EL0514FL002008

Έκταση (KM2) : 8.45

Κατάντη : J5

Μέθοδος Απωλειών: SCS

Ποσοστό αδιαπέρατης επιφάνειας	0
Αριθμός Καμπύλης Απορροής-CN	94.89
Αρχικές Απώλειες	2.74

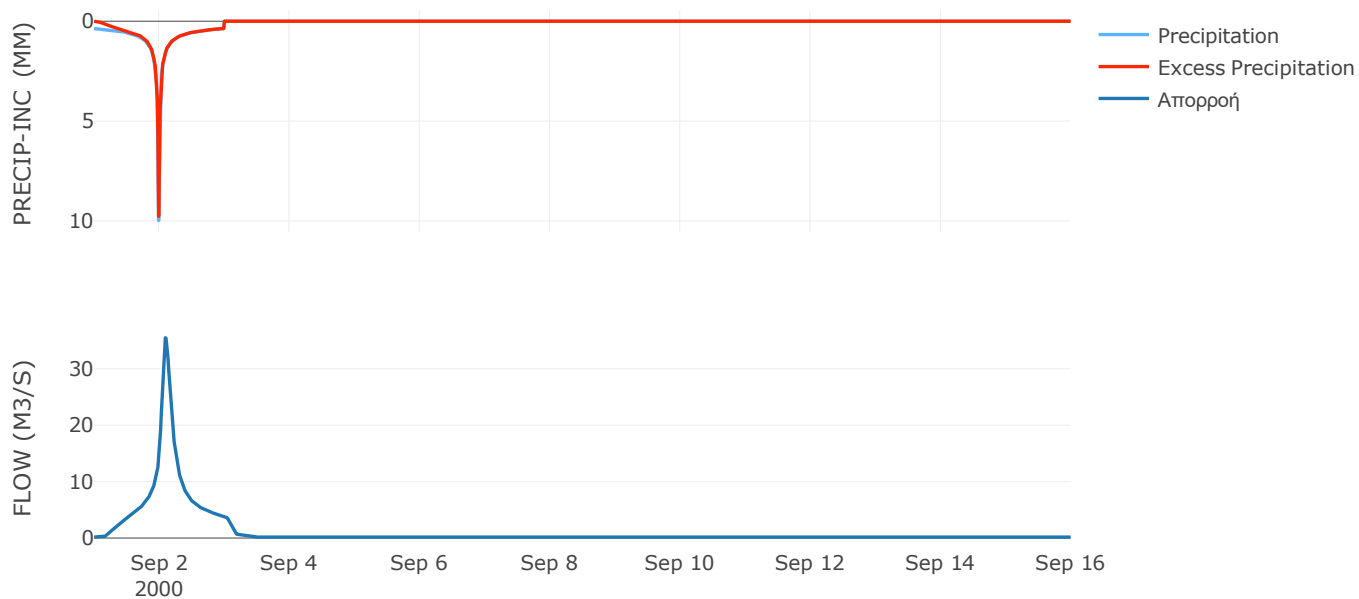
Μέθοδος
Μετασχηματισμού: SCS

Χρόνος Υστέρησης	136.94
------------------	--------

Αποτελέσματα:
EL0514FL002008

Παροχή αιχμής (M3/S)	35.49
Χρονική στιγμή αιχμής	02Sep2000, 02:15
Όγκος (MM)	183.13
Όγκος βροχόπτωσης (M3)	1.46E6
Όγκος απωλειών (M3)	1.3E5
Ενεργός Όγκος (M3)	1.33E6
Όγκος άμεσης απορροής (M3)	1.33E6
Όγκος βασικής απορροής (M3)	2.19E5

Βροχόπτωση και Απορροή



Υπολεκάνη: EL0514FL002009

Έκταση (KM2) : 19.86

Κατάντη : J40

Μέθοδος Απωλειών: SCS

Ποσοστό αδιαπέρατης επιφάνειας	95
Αριθμός Καμπύλης Απορροής-CN	99
Αρχικές Απώλειες	0.51

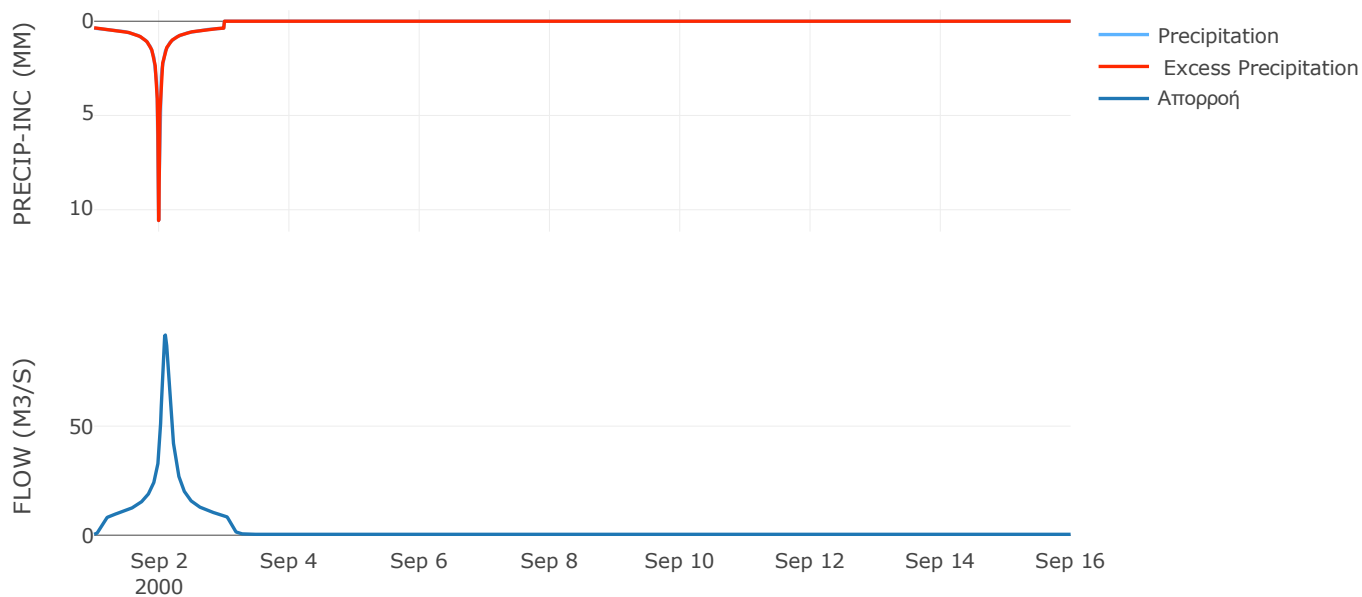
Μέθοδος
Μετασχηματισμού: SCS

Χρόνος Υστέρησης	128.01
------------------	--------

Αποτελέσματα:
EL0514FL002009

Παροχή αιχμής (M3/S)	91.78
Χρονική στιγμή αιχμής	02Sep2000, 02:15
Όγκος (MM)	201.57
Όγκος βροχόπτωσης (M3)	3.49E6
Όγκος απωλειών (M3)	3020.71
Ενεργός Όγκος (M3)	3.49E6
Όγκος άμεσης απορροής (M3)	3.49E6
Όγκος βασικής απορροής (M3)	5.15E5

Βροχόπτωση και Απορροή



Υπολεκάνη: EL0514FL002010

Έκταση (KM2) : 7.22

Κατάντη : J9

Μέθοδος Απωλειών: SCS

Ποσοστό αδιαπέρατης επιφάνειας	0
Αριθμός Καμπύλης Απορροής-CN	89.89
Αρχικές Απώλειες	5.71

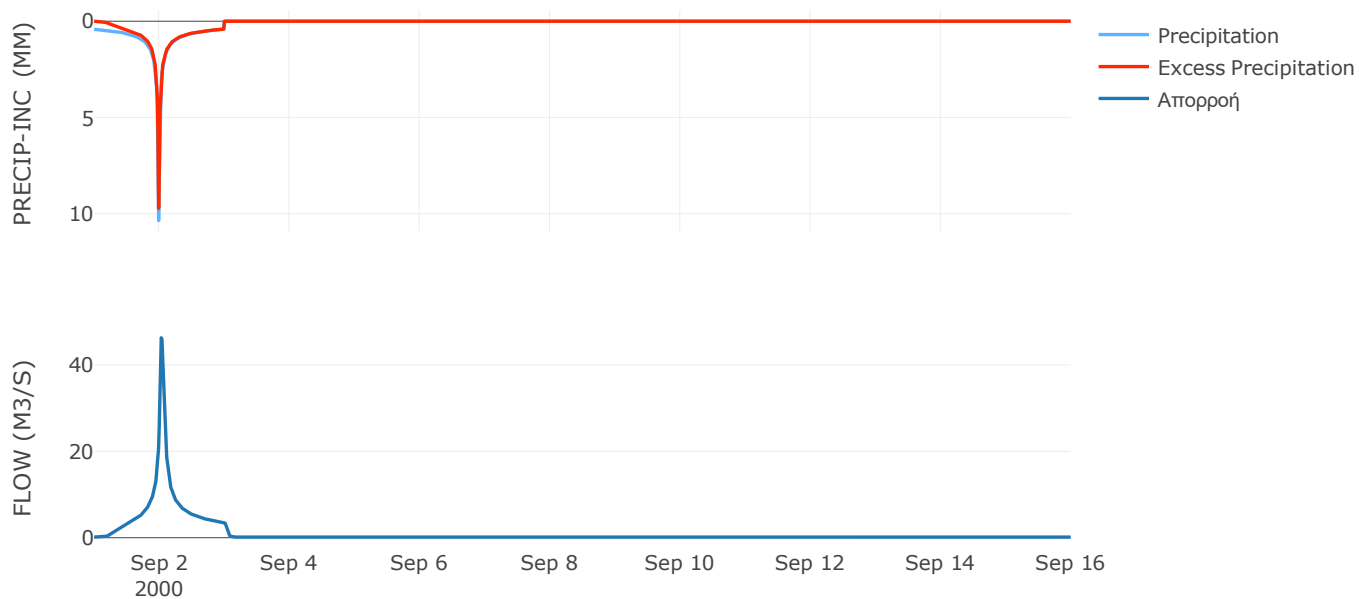
Μέθοδος
Μετασχηματισμού: SCS

Χρόνος Υστέρησης	50.61
------------------	-------

Αποτελέσματα:
EL0514FL002010

Παροχή αιχμής (M3/S)	46.28
Χρονική στιγμή αιχμής	02Sep2000, 00:45
Όγκος (MM)	185.49
Όγκος βροχόπτωσης (M3)	1.37E6
Όγκος απωλειών (M3)	2.2E5
Ενεργός Όγκος (M3)	1.15E6
Όγκος άμεσης απορροής (M3)	1.15E6
Όγκος βασικής απορροής (M3)	1.87E5

Βροχόπτωση και Απορροή



Υπολεκάνη: EL0514FL002011

Έκταση (KM2) : 8.8

Κατάντη : J10

Μέθοδος Απωλειών: SCS

Ποσοστό αδιαπέρατης επιφάνειας	0
Αριθμός Καμπύλης Απορροής-CN	90.57
Αρχικές Απώλειες	5.29

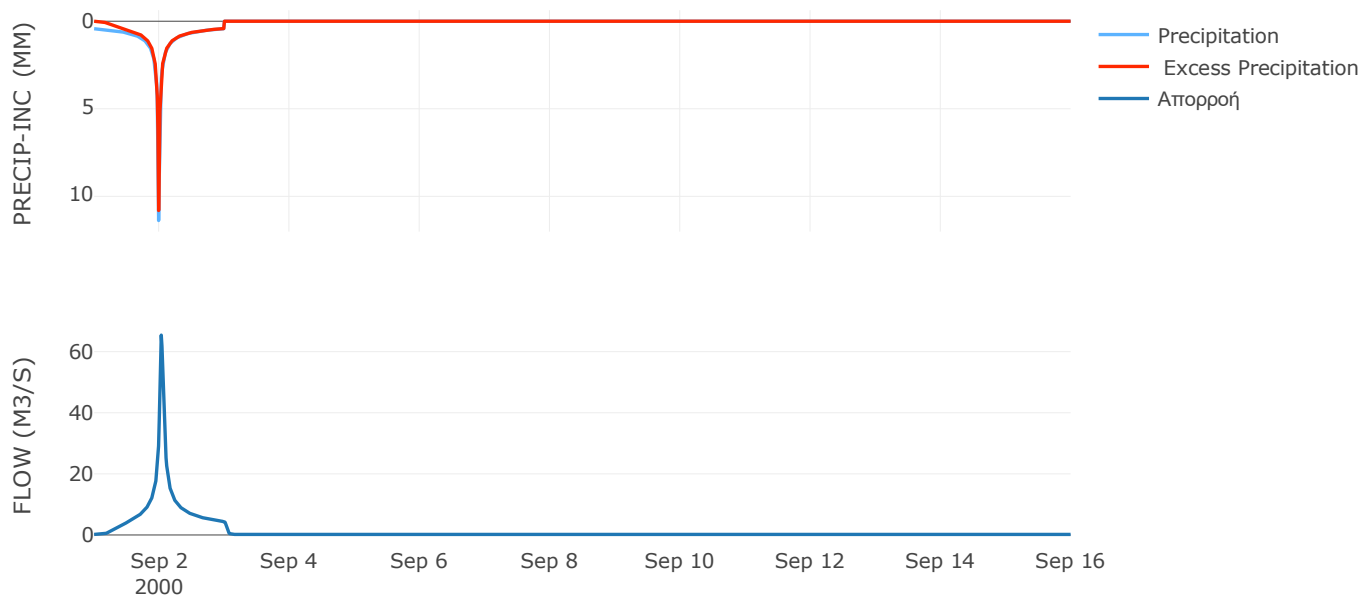
Μέθοδος
Μετασχηματισμού: SCS

Χρόνος Υστέρησης	44.52
------------------	-------

Αποτελέσματα:
EL0514FL002011

Παροχή αιχμής (M3/S)	65.41
Χρονική στιγμή αιχμής	02Sep2000, 00:45
Όγκος (MM)	196.62
Όγκος βροχόπτωσης (M3)	1.75E6
Όγκος απωλειών (M3)	2.51E5
Ενεργός Όγκος (M3)	1.5E6
Όγκος άμεσης απορροής (M3)	1.5E6
Όγκος βασικής απορροής (M3)	2.28E5

Βροχόπτωση και Απορροή



Υπολεκάνη: EL0514FL002012

Έκταση (KM2) : 5.8

Κατάντη : J9

Μέθοδος Απωλειών: SCS

Ποσοστό αδιαπέρατης επιφάνειας	0
Αριθμός Καμπύλης Απορροής-CN	87.26
Αρχικές Απώλειες	7.42

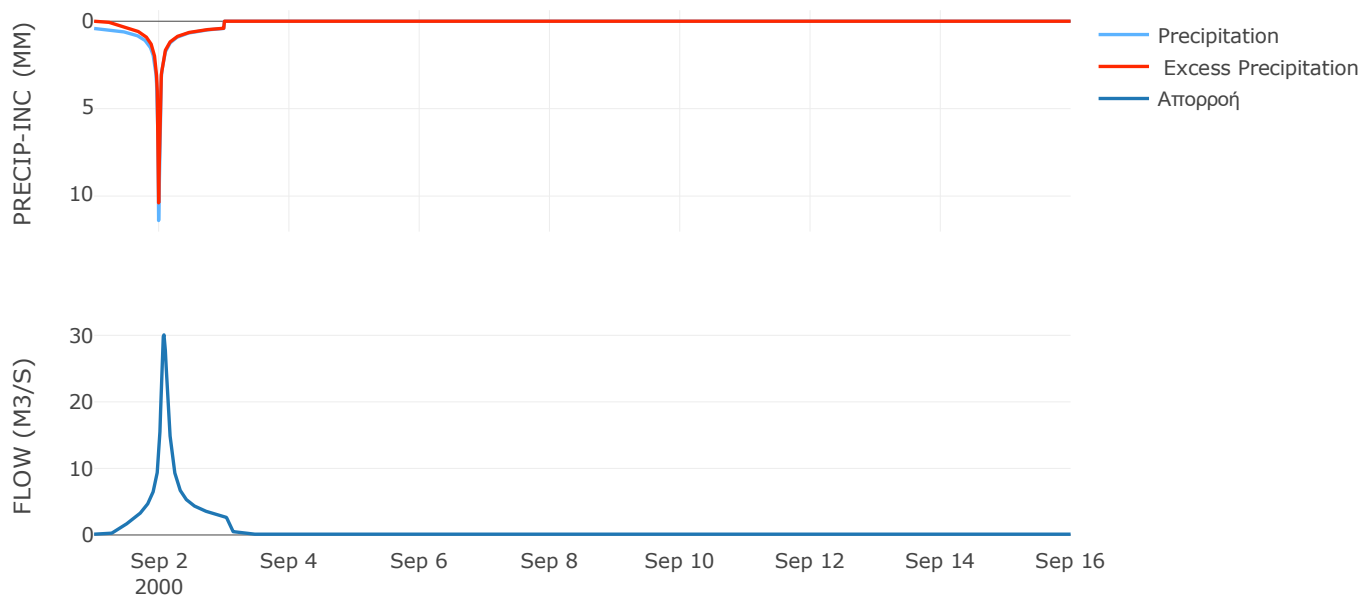
Μέθοδος
Μετασχηματισμού: SCS

Χρόνος Υστέρησης	97.31
------------------	-------

Αποτελέσματα:
EL0514FL002012

Παροχή αιχμής (M3/S)	30.07
Χρονική στιγμή αιχμής	02Sep2000, 01:45
Όγκος (MM)	182.85
Όγκος βροχόπτωσης (M3)	1.13E6
Όγκος απωλειών (M3)	2.23E5
Ενεργός Όγκος (M3)	9.1E5
Όγκος άμεσης απορροής (M3)	9.1E5
Όγκος βασικής απορροής (M3)	1.5E5

Βροχόπτωση και Απορροή



Υπολεκάνη: EL0514FL002013

Έκταση (KM2) : 26.26

Κατάντη : J10

Μέθοδος Απωλειών: SCS

Ποσοστό αδιαπέρατης επιφάνειας	0
Αριθμός Καμπύλης Απορροής-CN	85.32
Αρχικές Απώλειες	8.74

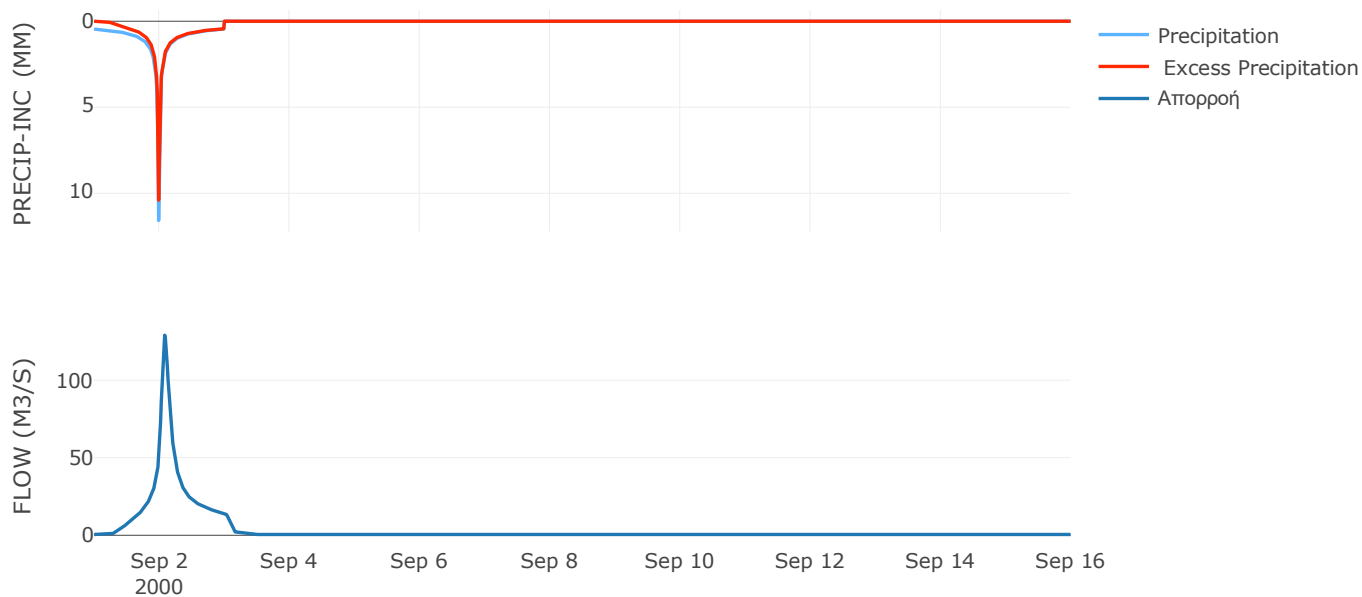
Μέθοδος
Μετασχηματισμού: SCS

Χρόνος Υστέρησης	115.29
------------------	--------

Αποτελέσματα:
EL0514FL002013

Παροχή αιχμής (M3/S)	128.98
Χρονική στιγμή αιχμής	02Sep2000, 02:00
Όγκος (MM)	190.32
Όγκος βροχόπτωσης (M3)	5.49E6
Όγκος απωλειών (M3)	1.17E6
Ενεργός Όγκος (M3)	4.32E6
Όγκος άμεσης απορροής (M3)	4.32E6
Όγκος βασικής απορροής (M3)	6.81E5

Βροχόπτωση και Απορροή



Υπολεκάνη: EL0514FL002014

Έκταση (KM2) : 10.15

Κατάντη : J12

Μέθοδος Απωλειών: SCS

Ποσοστό αδιαπέρατης επιφάνειας	0
Αριθμός Καμπύλης Απορροής-CN	79.96
Αρχικές Απώλειες	12.73

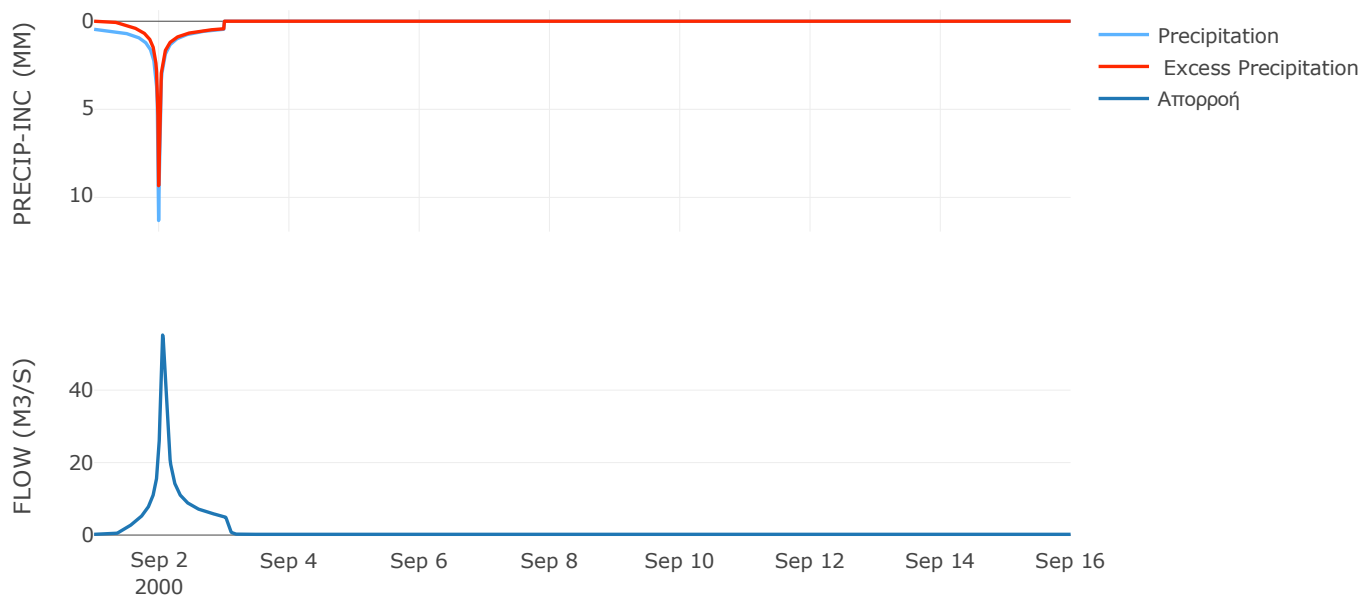
Μέθοδος
Μετασχηματισμού: SCS

Χρόνος Υστέρησης	71.95
------------------	-------

Αποτελέσματα:
EL0514FL002014

Παροχή αιχμής (M3/S)	55.21
Χρονική στιγμή αιχμής	02Sep2000, 01:15
Όγκος (MM)	173.44
Όγκος βροχόπτωσης (M3)	2.11E6
Όγκος απωλειών (M3)	6.17E5
Ενεργός Όγκος (M3)	1.5E6
Όγκος άμεσης απορροής (M3)	1.5E6
Όγκος βασικής απορροής (M3)	2.63E5

Βροχόπτωση και Απορροή



Υπολεκάνη: EL0514FL002015

Έκταση (KM2) : 12.91

Κατάντη : J11

Μέθοδος Απωλειών: SCS

Ποσοστό αδιαπέρατης επιφάνειας	0
Αριθμός Καμπύλης Απορροής-CN	87.26
Αρχικές Απώλειες	7.42

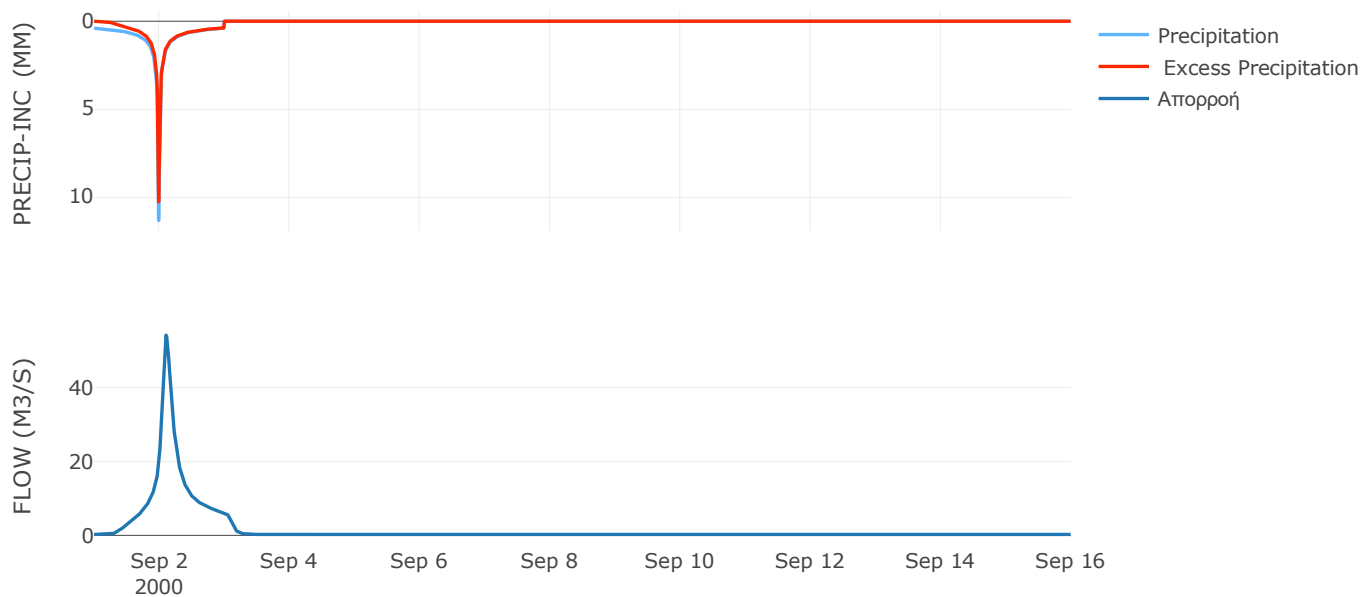
Μέθοδος
Μετασχηματισμού: SCS

Χρόνος Υστέρησης	144.3
------------------	-------

Αποτελέσματα:
EL0514FL002015

Παροχή αιχμής (M3/S)	54.23
Χρονική στιγμή αιχμής	02Sep2000, 02:30
Όγκος (MM)	175.75
Όγκος βροχόπτωσης (M3)	2.43E6
Όγκος απωλειών (M3)	4.93E5
Ενεργός Όγκος (M3)	1.93E6
Όγκος άμεσης απορροής (M3)	1.93E6
Όγκος βασικής απορροής (M3)	3.35E5

Βροχόπτωση και Απορροή



4.2 Δεδομένα και υδρογραφήματα σχεδιασμού Κλάδων υδρογραφικού δικτύου

Κλάδος: R21

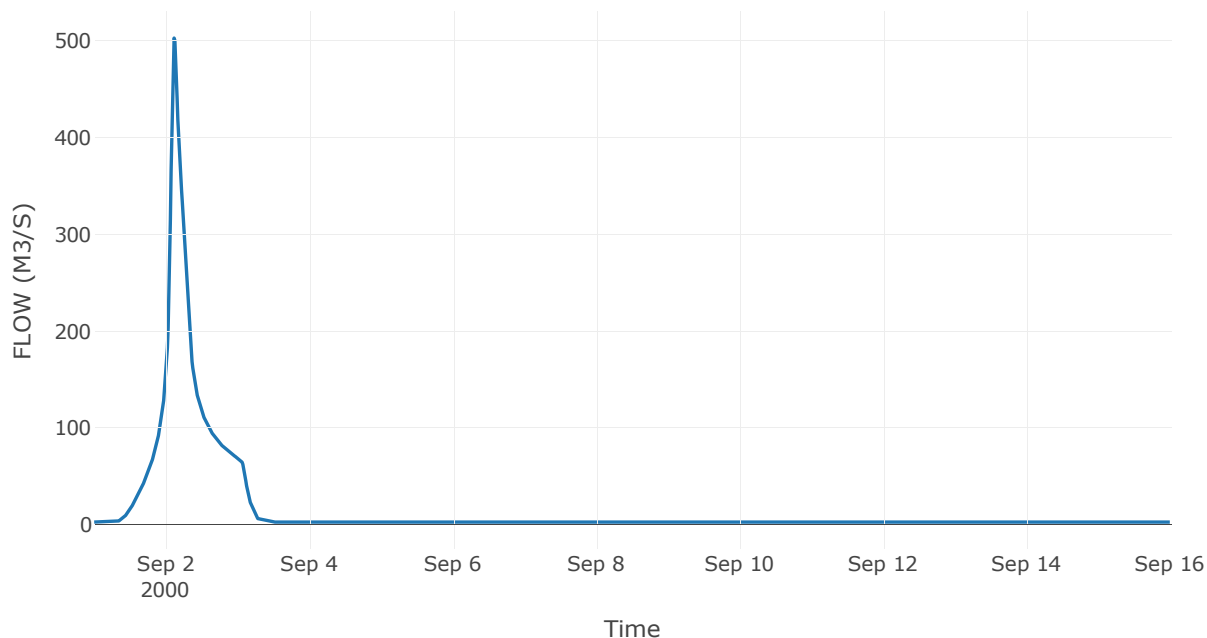
Κατάντη : J1

Μέθοδος Διόδευσης	Muskingum
Αρχική Μεταβλητή	Combined Inflow
Χρόνος Ροής K	1.19
Συντελεστής βάρους x	0.2
Πλήθος Υποκλάδων	5

Αποτελέσματα: R21

Παροχή Αιχμής (M3/S)	502.51
Χρονική στιγμή αιχμής	02Sep2000, 02:45
Όγκος(MM)	176.26
Παροχή Αιχμής Εισόδου (M3/S)	525.92
Όγκος Εισροής(M3)	2.19E7

Απορροή



Κλάδος: R32

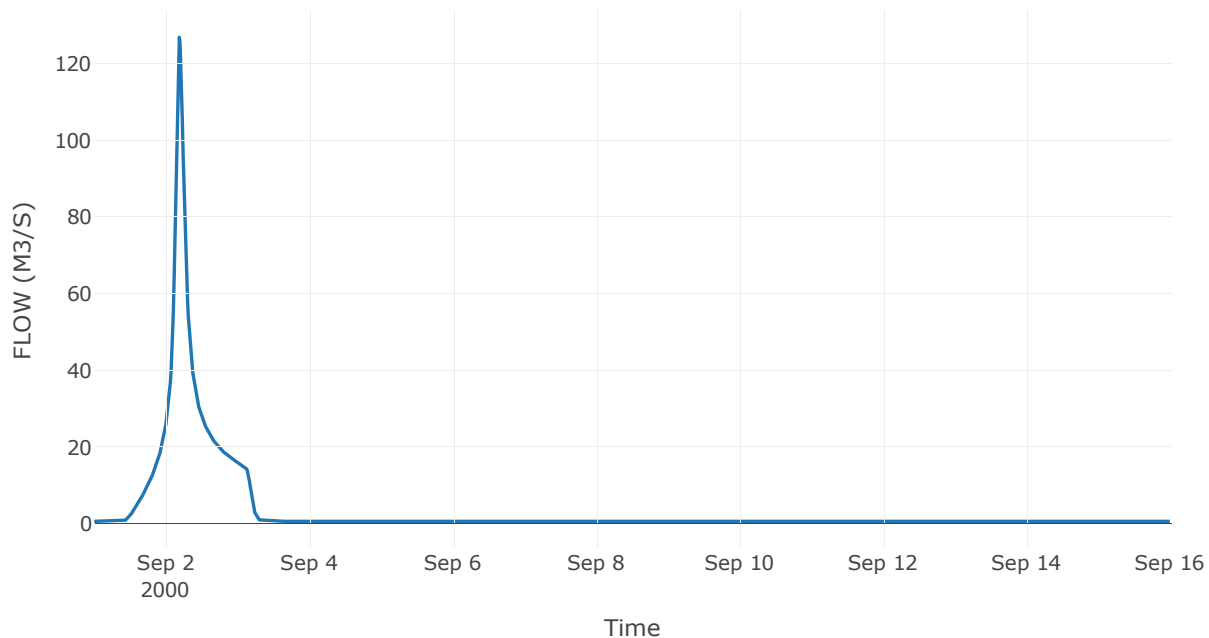
Κατάντη : J2

Μέθοδος Διόδευσης	Muskingum
Αρχική Μεταβλητή	Combined Inflow
Χρόνος Ροής Κ	3.14
Συντελεστής βάρους α	0.2
Πλήθος Υποκλάδων	13

Αποτελέσματα: R32

Παροχή Αιχμής (M3/S)	126.79
Χρονική στιγμή αιχμής	02Sep2000, 04:30
Όγκος(MM)	148
Παροχή Αιχμής Εισόδου (M3/S)	147.26
Όγκος Εισροής(M3)	5E6

Απορροή



Κλάδος: R43

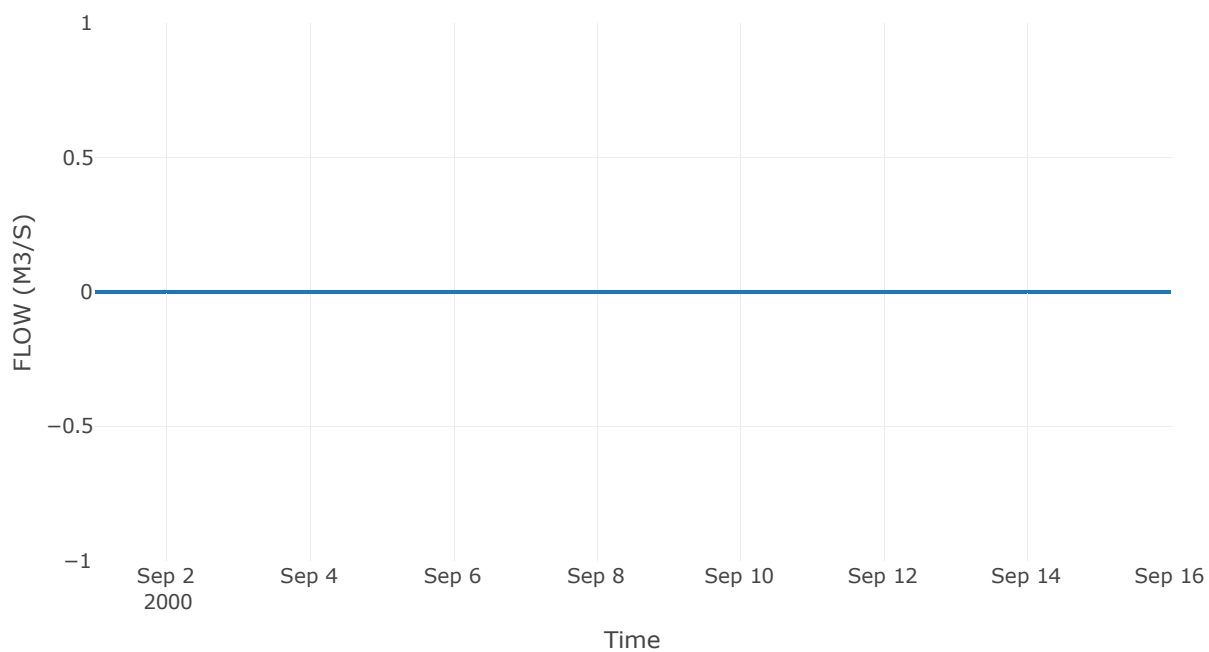
Κατάντη : J3

Μέθοδος Διόδευσης	Muskingum
Αρχική Μεταβλητή	Combined Inflow
Χρόνος Ροής K	4.02
Συντελεστής βάρους x	0.2
Πλήθος Υποκλάδων	16

Αποτελέσματα: R43

Παροχή Αιχμής (M3/S)	0
Χρονική στιγμή αιχμής	31Aug2000, 24:00
Peak Inflow (M3/S)	0
Όγκος Εισροής (M3)	0

Απορροή



Κλάδος: R540

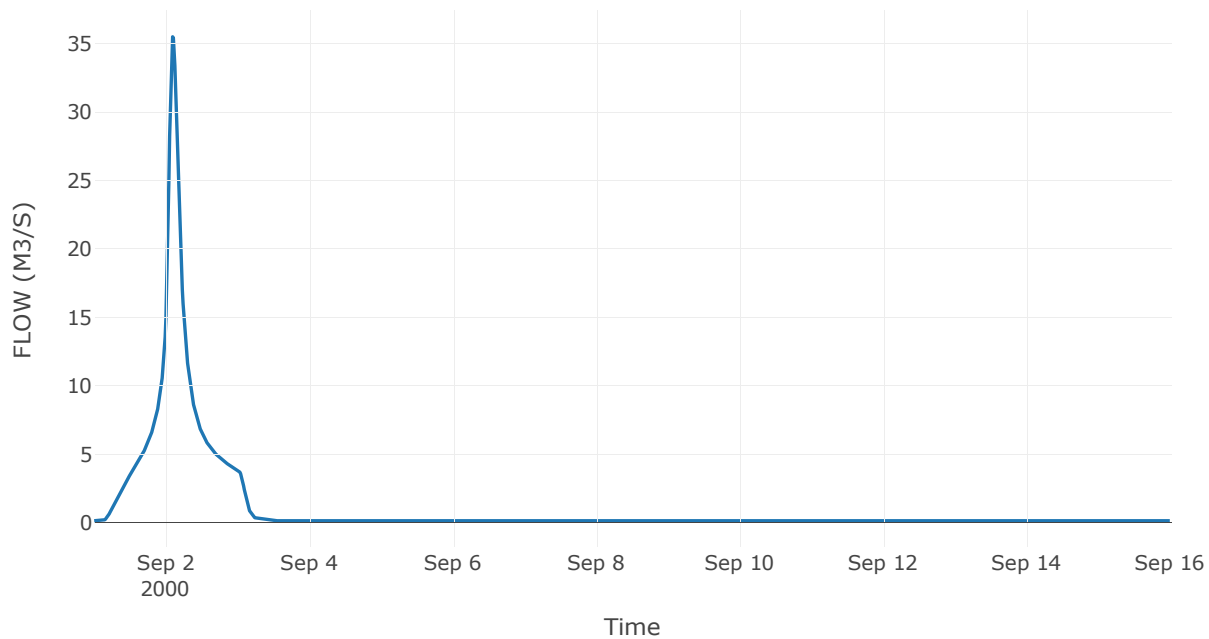
Κατάντη : J40

Μέθοδος Διόδευσης	Χρόνος
Αρχική Μεταβλητή	Combined Inflow
Χρόνος υστέρησης	0

Αποτελέσματα: R540

Παροχή Αιχμής (M3/S)	35.49
Χρονική στιγμή αιχμής	02Sep2000, 02:15
Όγκος(MM)	183.13
Παροχή Αιχμής Εισόδου (M3/S)	35.49
Όγκος Εισροής(M3)	1.55E6

Απορροή



Κλάδος: R640

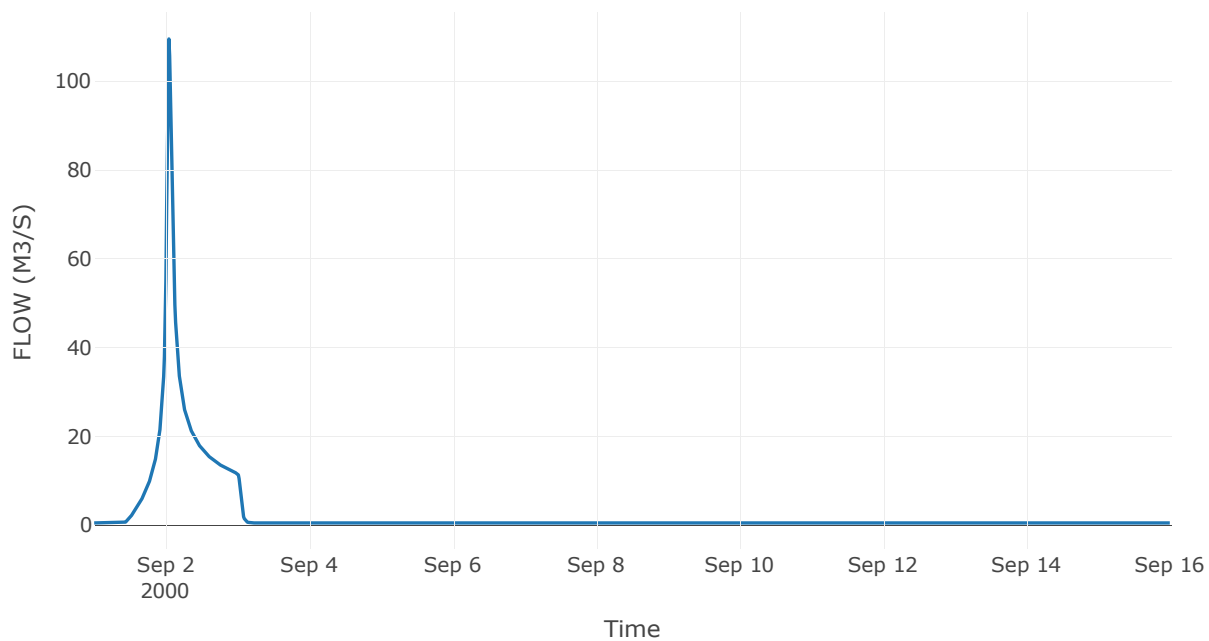
Κατάντη : J40

Μέθοδος Διόδευσης	Χρόνος
Αρχική Μεταβλητή	Combined Inflow
Χρόνος υστέρησης	0

Αποτελέσματα: R640

Παροχή Αιχμής (M3/S)	109.57
Χρονική στιγμή αιχμής	02Sep2000, 01:00
Όγκος(MM)	134.01
Παροχή Αιχμής Εισόδου (M3/S)	109.57
Όγκος Εισροής(M3)	3.52E6

Απορροή



Κλάδος: R740

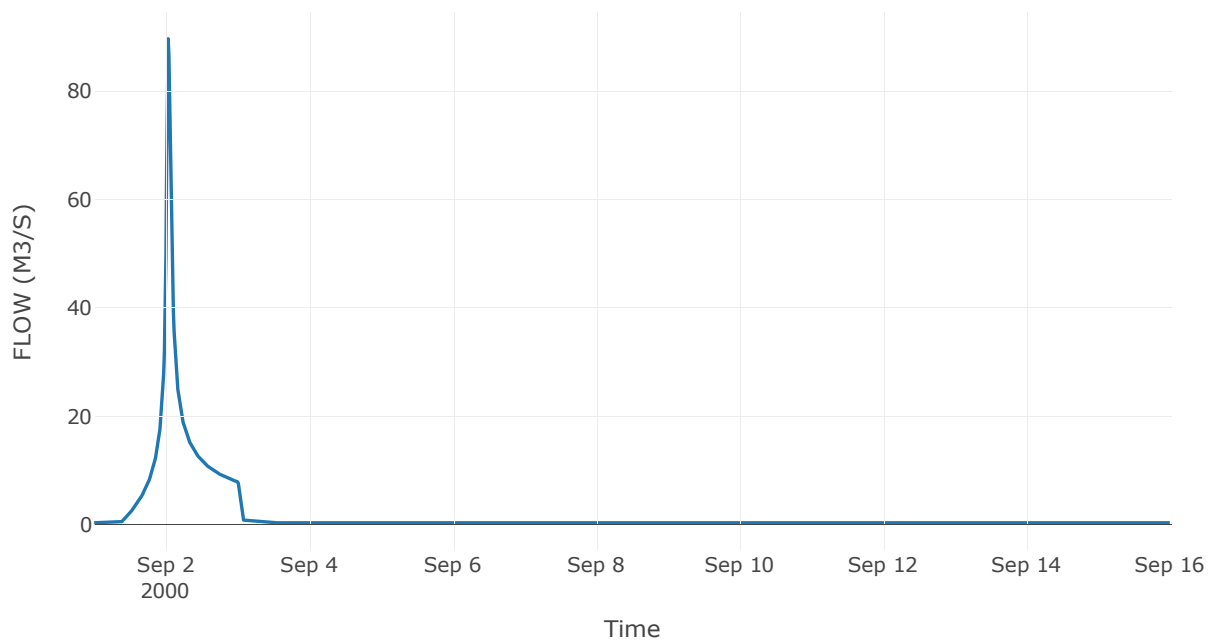
Κατάντη : J40

Μέθοδος Διόδευσης	Χρόνος
Αρχική Μεταβλητή	Combined Inflow
Χρόνος υστέρησης	0

Αποτελέσματα: R740

Παροχή Αιχμής (M3/S)	89.69
Χρονική στιγμή αιχμής	02Sep2000, 00:45
Όγκος(MM)	145.64
Παροχή Αιχμής Εισόδου (M3/S)	89.69
Όγκος Εισροής(M3)	2.55E6

Απορροή



Κλάδος: R840

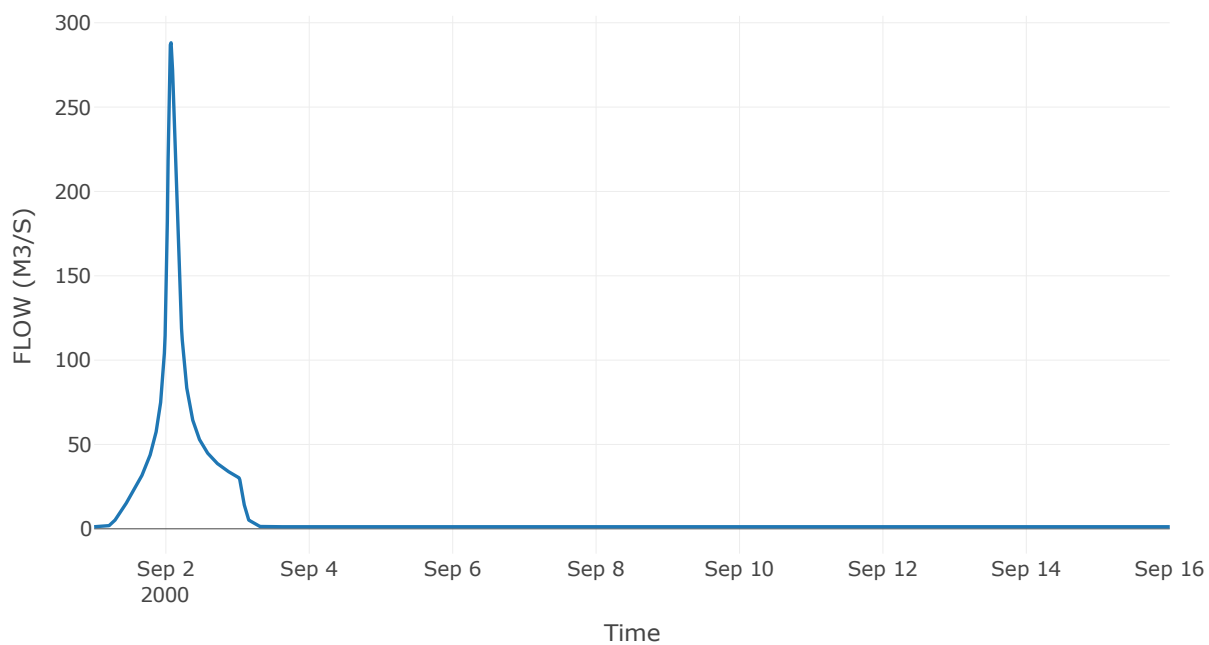
Κατάντη : J40

Μέθοδος Διόδευσης	Χρόνος
Αρχική Μεταβλητή	Combined Inflow
Χρόνος υστέρησης	0

Αποτελέσματα: R840

Παροχή Αιχμής (M3/S)	288.16
Χρονική στιγμή αιχμής	02Sep2000, 01:45
Όγκος(MM)	187.34
Παροχή Αιχμής Εισόδου (M3/S)	288.16
Όγκος Εισροής(M3)	1.13E7

Απορροή



Κλάδος: R1140

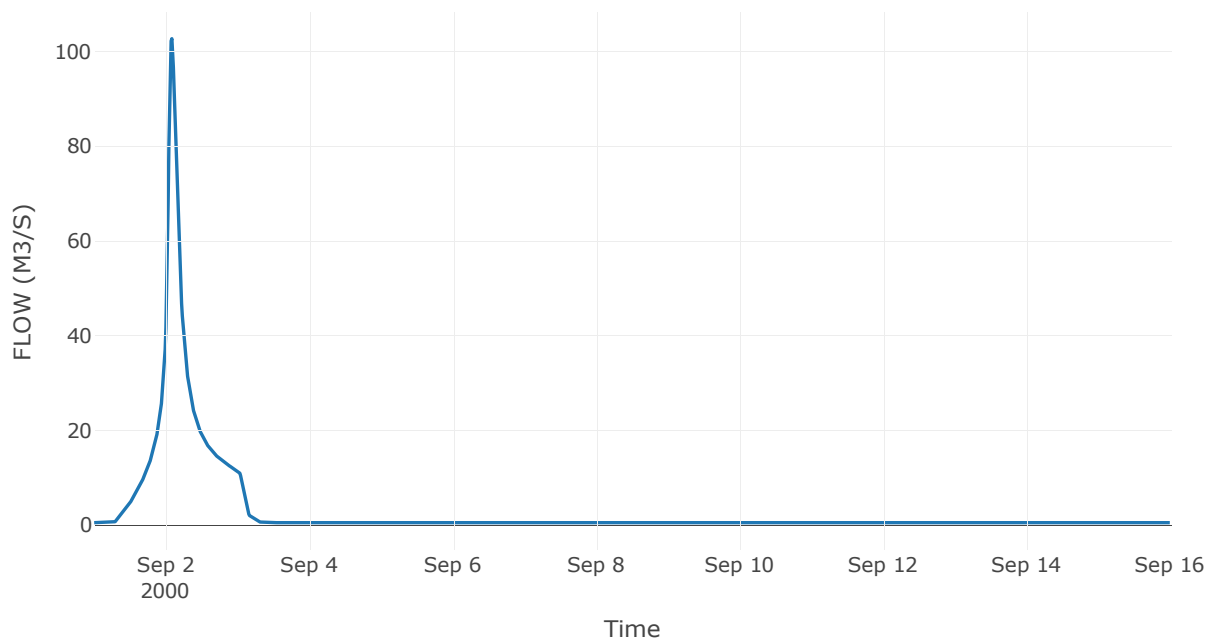
Κατάντη : J40

Μέθοδος Διόδευσης	Χρόνος
Αρχική Μεταβλητή	Combined Inflow
Χρόνος υστέρησης	0

Αποτελέσματα: R1140

Παροχή Αιχμής (M3/S)	102.69
Χρονική στιγμή αιχμής	02Sep2000, 02:00
Όγκος(MM)	174.73
Παροχή Αιχμής Εισόδου (M3/S)	102.69
Όγκος Εισροής(M3)	4.03E6

Απορροή



Κλάδος: R98

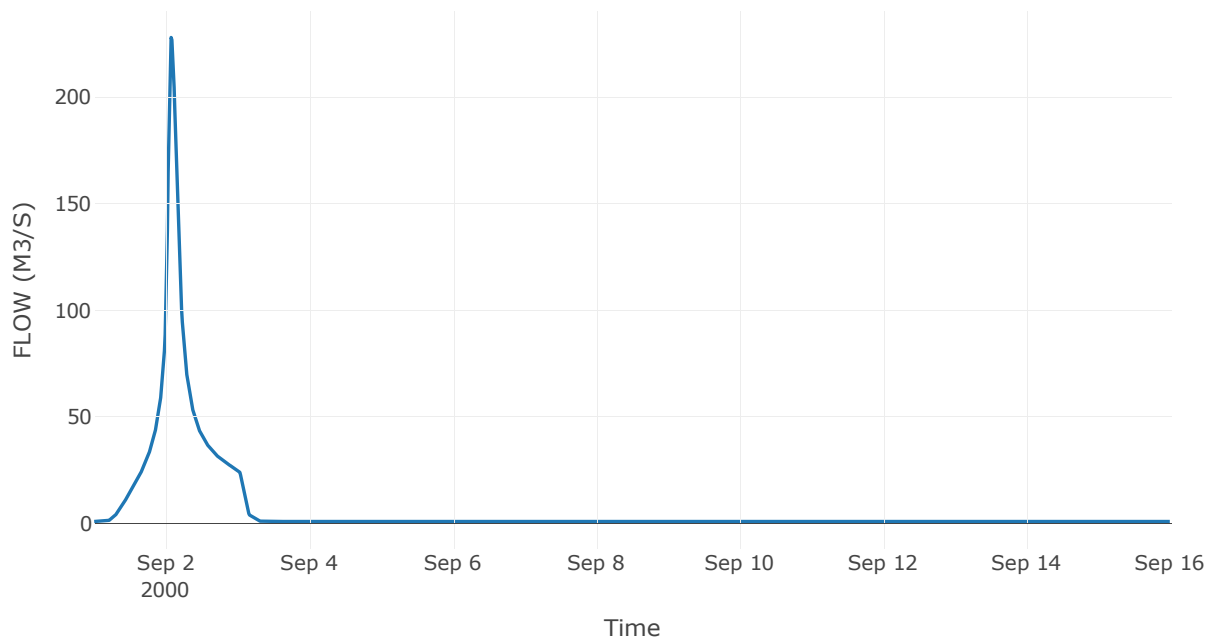
Κατάντη : J8

Μέθοδος Διόδευσης	Muskingum
Αρχική Μεταβλητή	Combined Inflow
Χρόνος Ροής K	0.35
Συντελεστής βάρους x	0.2
Πλήθος Υποκλάδων	1

Αποτελέσματα: R98

Παροχή Αιχμής (M3/S)	227.96
Χρονική στιγμή αιχμής	02Sep2000, 01:45
Όγκος(MM)	189.84
Παροχή Αιχμής Εισόδου (M3/S)	231.33
Όγκος Εισροής(M3)	9.13E6

Απορροή



Κλάδος: R109

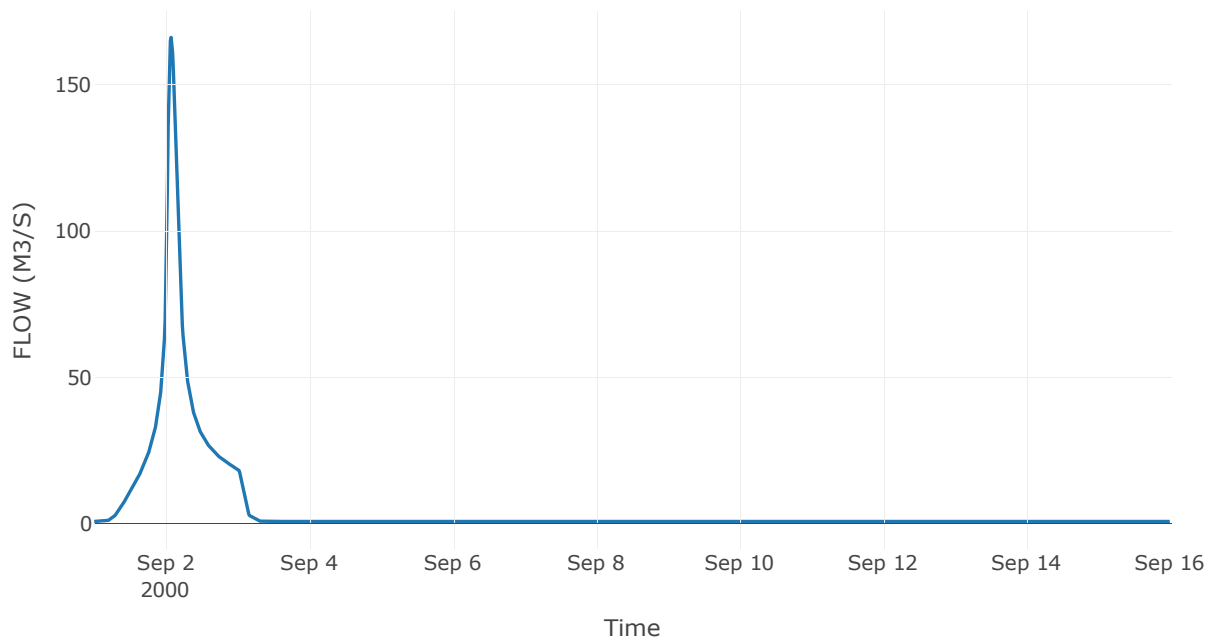
Κατάντη : J9

Μέθοδος Διόδευσης	Muskingum
Αρχική Μεταβλητή	Combined Inflow
Χρόνος Ροής Κ	0.23
Συντελεστής βάρους x	0.2
Πλήθος Υποκλάδων	1

Αποτελέσματα: R109

Παροχή Αιχμής (M3/S)	166.14
Χρονική στιγμή αιχμής	02Sep2000, 01:45
Όγκος(MM)	191.9
Παροχή Αιχμής Εισόδου (M3/S)	166.79
Όγκος Εισροής(M3)	6.73E6

Απορροή



Κλάδος: R1211

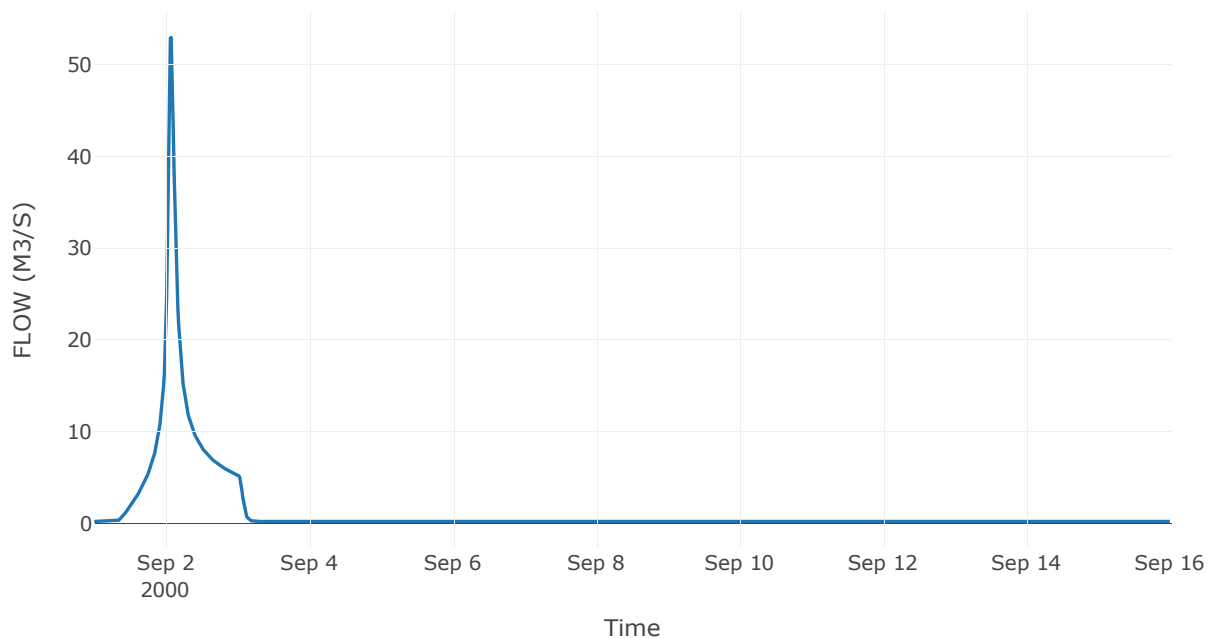
Κατάντη : J11

Μέθοδος Διόδευσης	Muskingum
Αρχική Μεταβλητή	Combined Inflow
Χρόνος Ροής Κ	0.37
Συντελεστής βάρους x	0.2
Πλήθος Υποκλάδων	1

Αποτελέσματα: R1211

Παροχή Αιχμής (M3/S)	52.99
Χρονική στιγμή αιχμής	02Sep2000, 01:45
Όγκος(MM)	173.44
Παροχή Αιχμής Εισόδου (M3/S)	55.21
Όγκος Εισροής(M3)	1.76E6

Απορροή

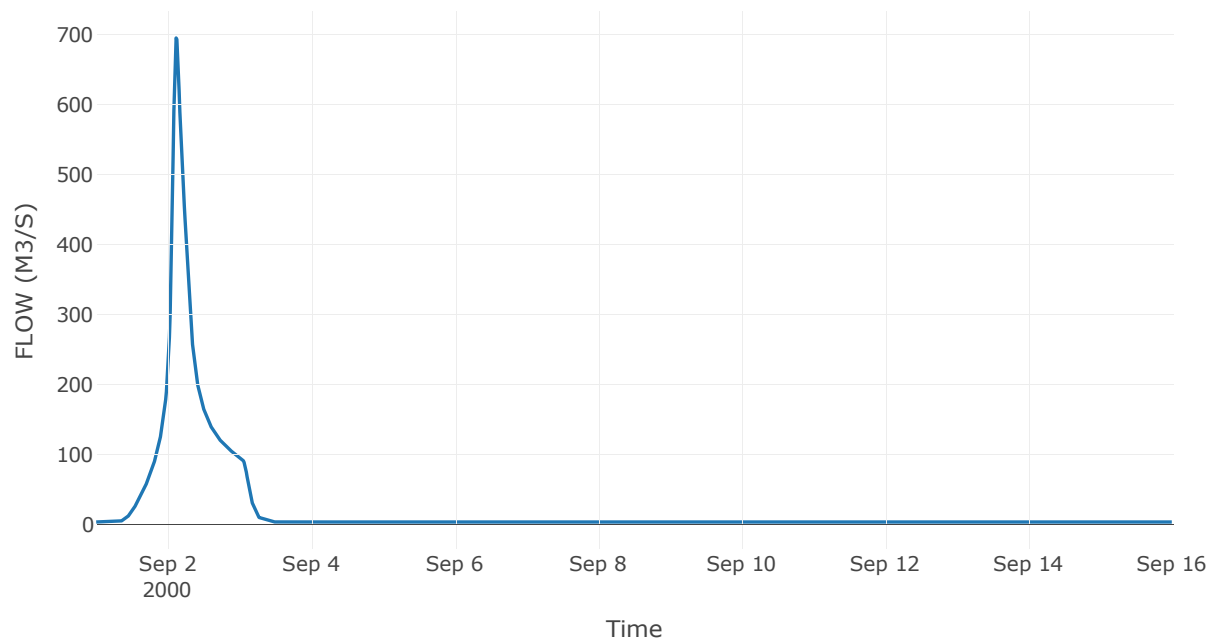


4.3 Δεδομένα και υδρογραφήματα σχεδιασμού Κόμβων υδρογραφικού δικτύου

Κόμβος εξόδου: J1

Αποτέλεσμα τα: J1	
Παροχή αιχμής (M3/S)	694.52
Χρονική στιγμή αιχμής	02Sep2000, 02:45
Όγκος (MM)	165.91

Απορροή



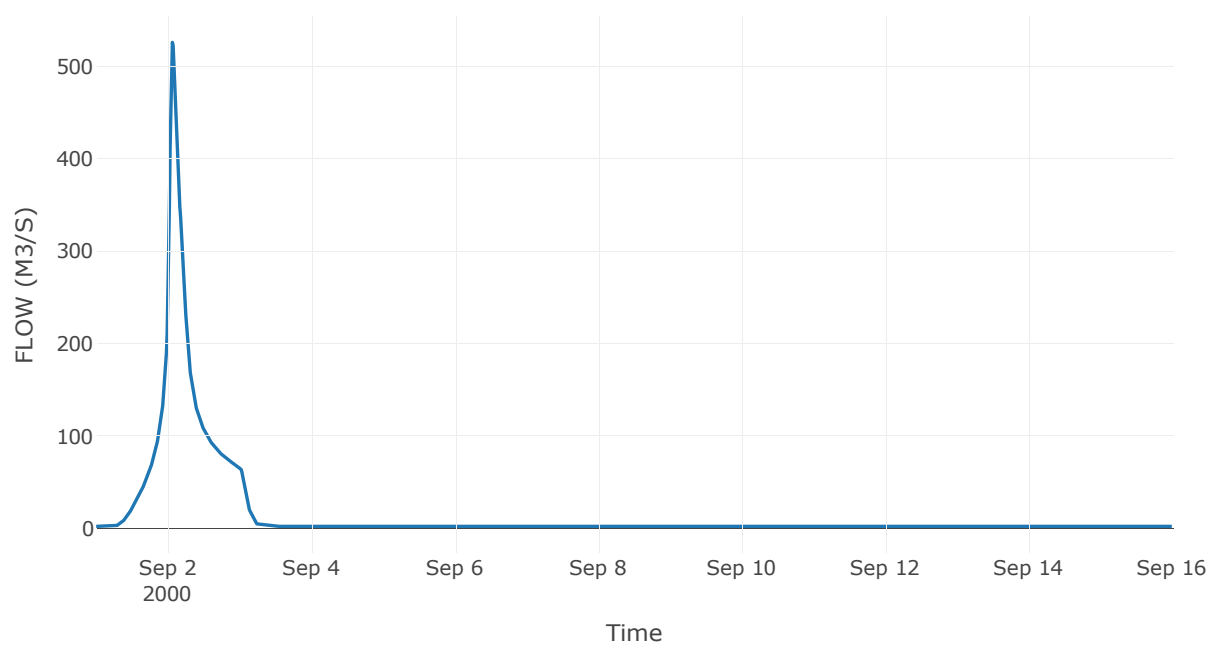
Κόμβος: J2

Κατάντη : R21

Αποτελέσματα: J2

Παροχή Αιχμής (M3/S)	525.92
Χρονική στιγμή αιχμής	02Sep2000, 01:30
Όγκος(MM)	176.26

Απορροή



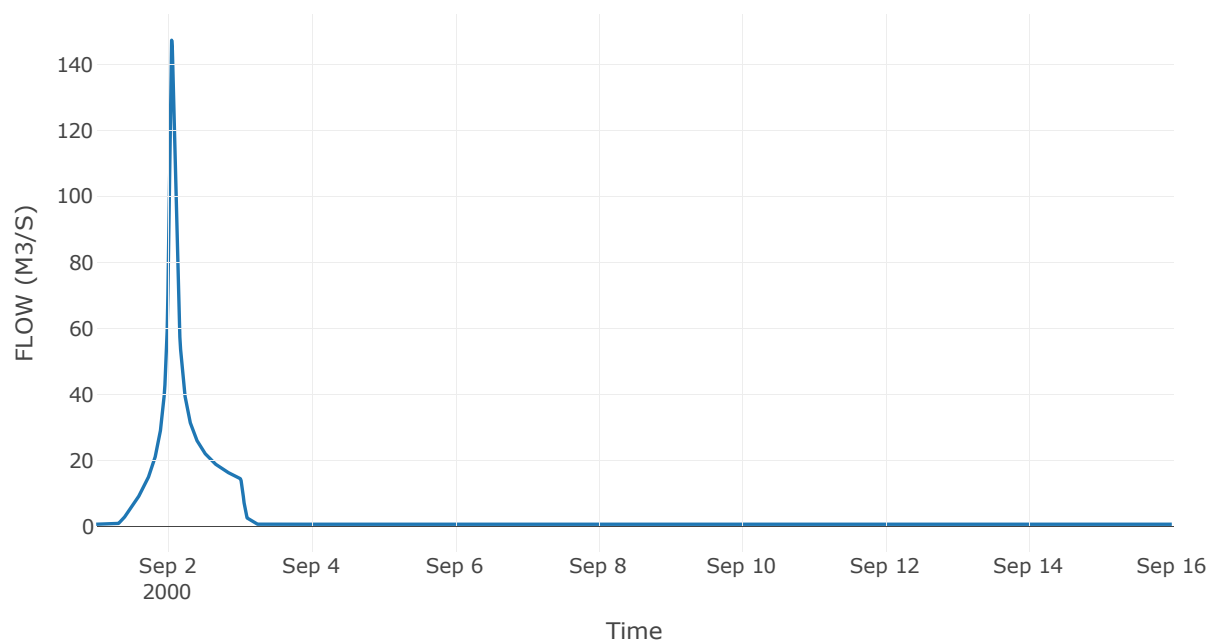
Κόμβος: J3

Κατάντη : R32

Αποτελέσματα: J3

Παροχή Αιχμής (M3/S)	147.26
Χρονική στιγμή αιχμής	02Sep2000, 01:15
Όγκος(MM)	148

Απορροή



Κόμβος: J4

Κατάντη : R43

Αποτελέσματα: J4

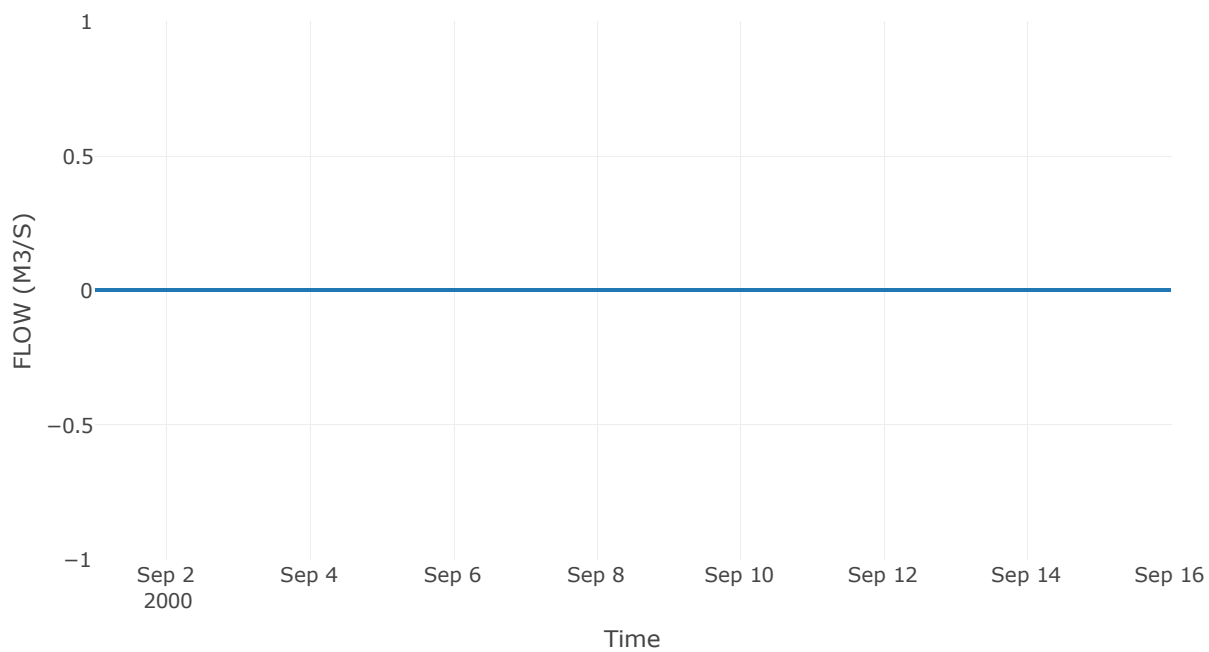
Παροχή Αιχμής (M3/S)

0

Χρονική στιγμή αιχμής

31Aug2000, 24:00

Απορροή

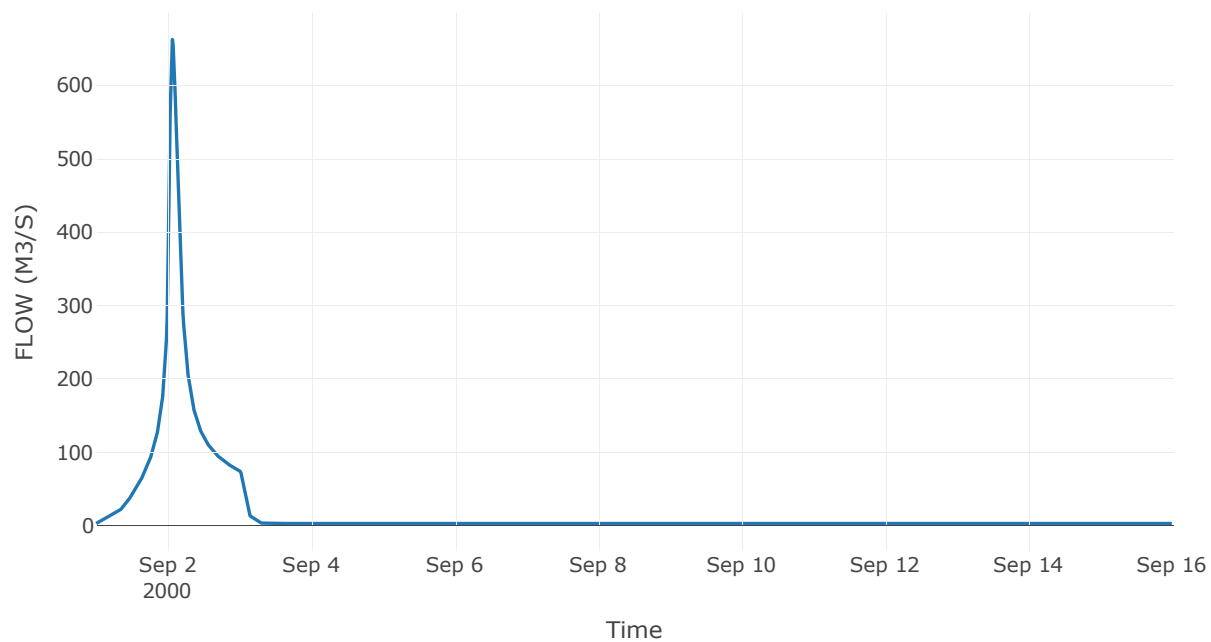


Κόμβος εξόδου: J40

Αποτελέσματ
α: J40

Παροχή αιχμής (M3/S)	662.72
Χρονική στιγμή αιχμής	02Sep2000, 01:30
Όγκος (MM)	173.35

Απορροή



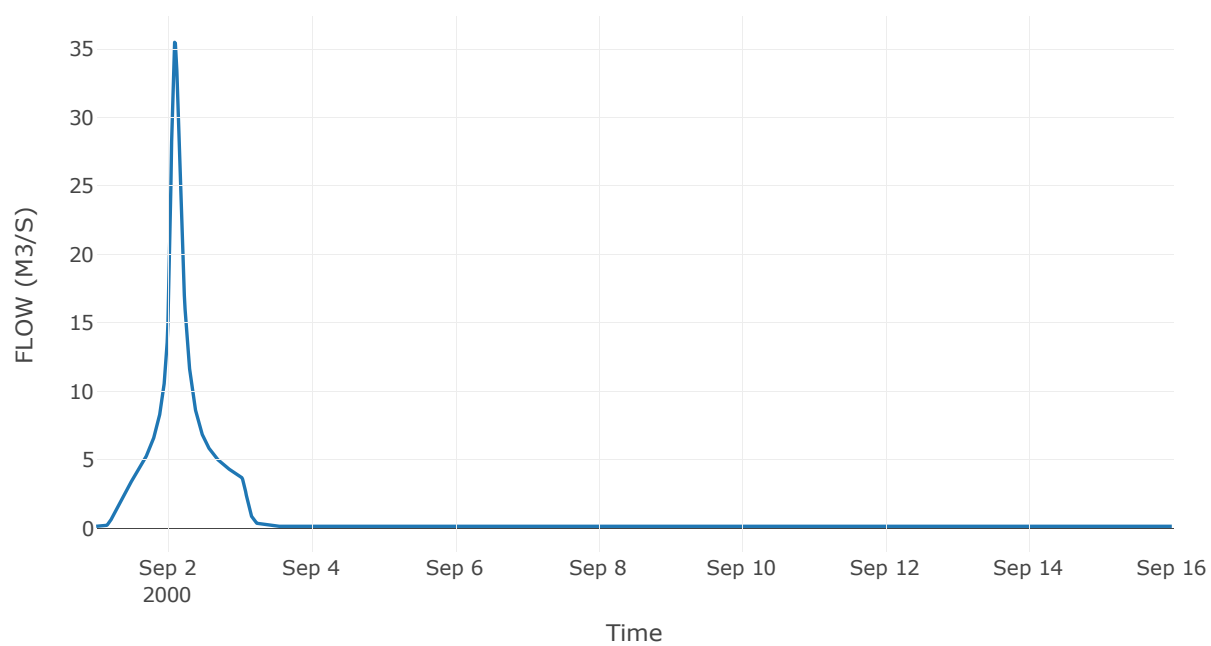
Κόμβος: J5

Κατάντη : R540

Αποτελέσματα: J5

Παροχή Αιχμής (M3/S)	35.49
Χρονική στιγμή αιχμής	02Sep2000, 02:15
Όγκος(MM)	183.13

Απορροή



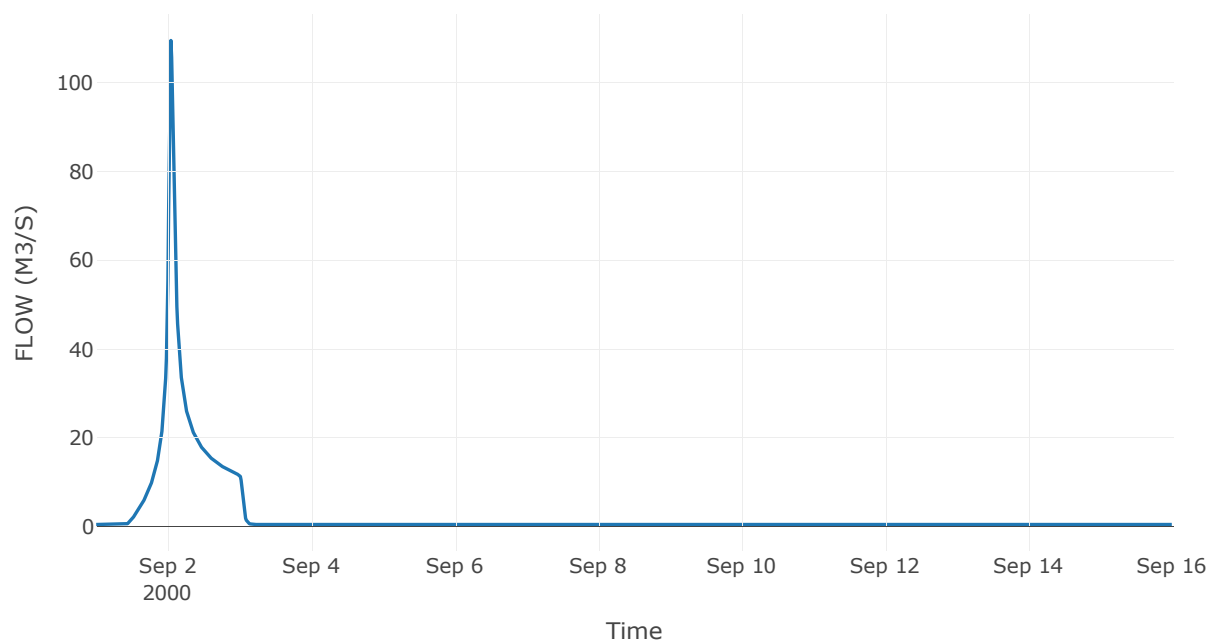
Κόμβος: J6

Κατάντη : R640

Αποτελέσματα: J6

Παροχή Αιχμής (M3/S)	109.57
Χρονική στιγμή αιχμής	02Sep2000, 01:00
Όγκος(MM)	134.01

Απορροή



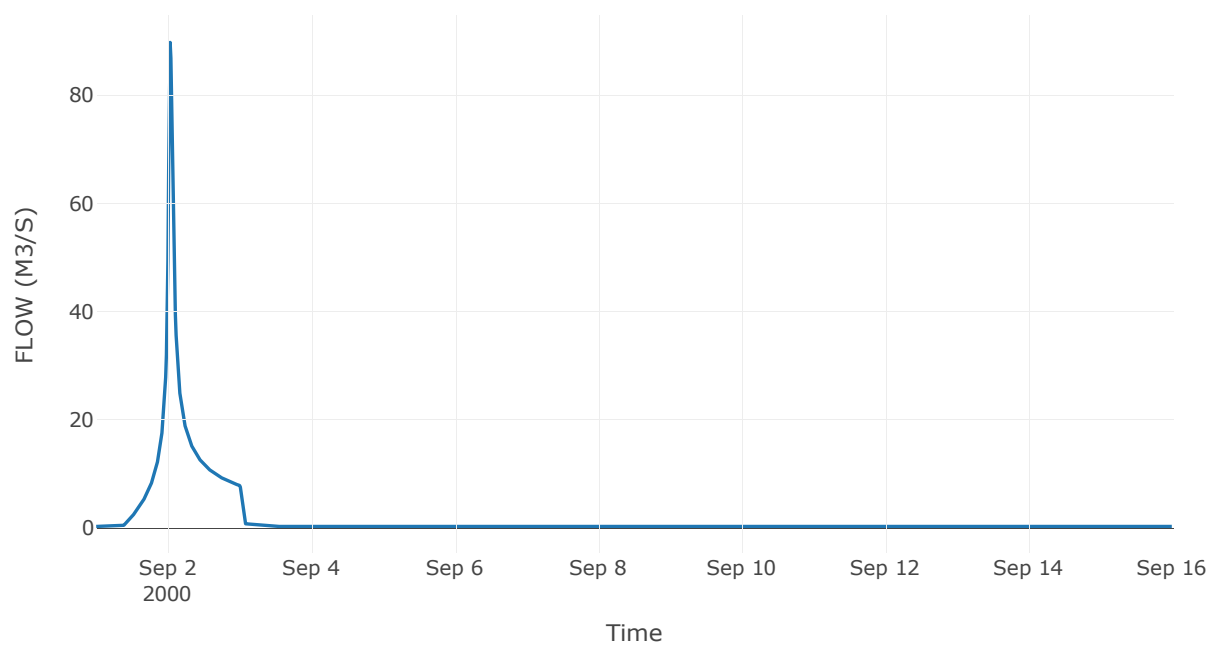
Κόμβος: J7

Κατάντη : R740

Αποτελέσματα: J7

Παροχή Αιχμής (M3/S)	89.69
Χρονική στιγμή αιχμής	02Sep2000, 00:45
Όγκος(MM)	145.64

Απορροή



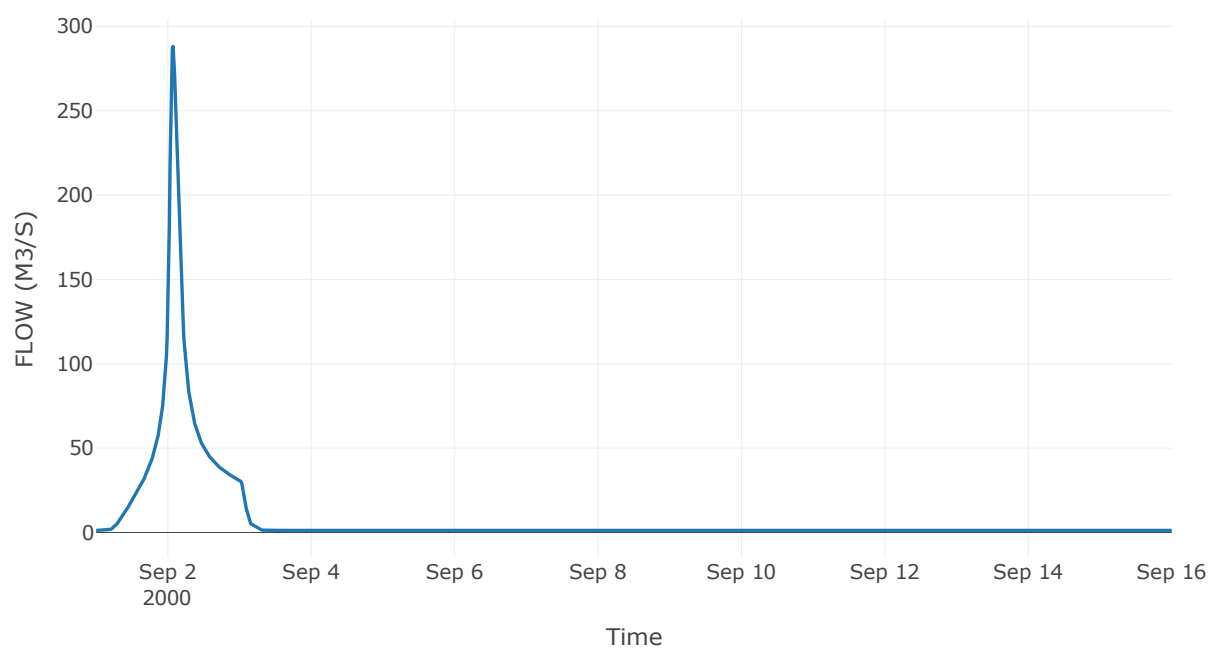
Κόμβος: J8

Κατάντη : R840

Αποτελέσματα: J8

Παροχή Αιχμής (M3/S)	288.16
Χρονική στιγμή αιχμής	02Sep2000, 01:45
Όγκος(MM)	187.34

Απορροή



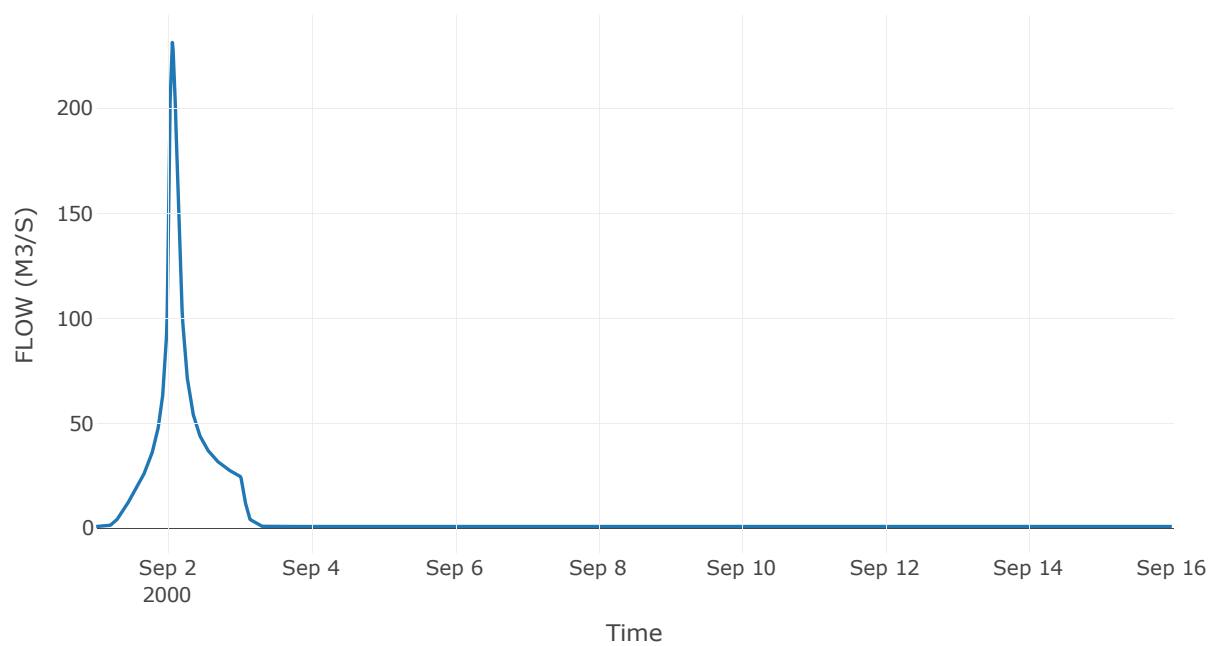
Κόμβος: J9

Κατάντη : R98

Αποτελέσματα: J9

Παροχή Αιχμής (M3/S)	231.33
Χρονική στιγμή αιχμής	02Sep2000, 01:30
Όγκος(MM)	189.84

Απορροή



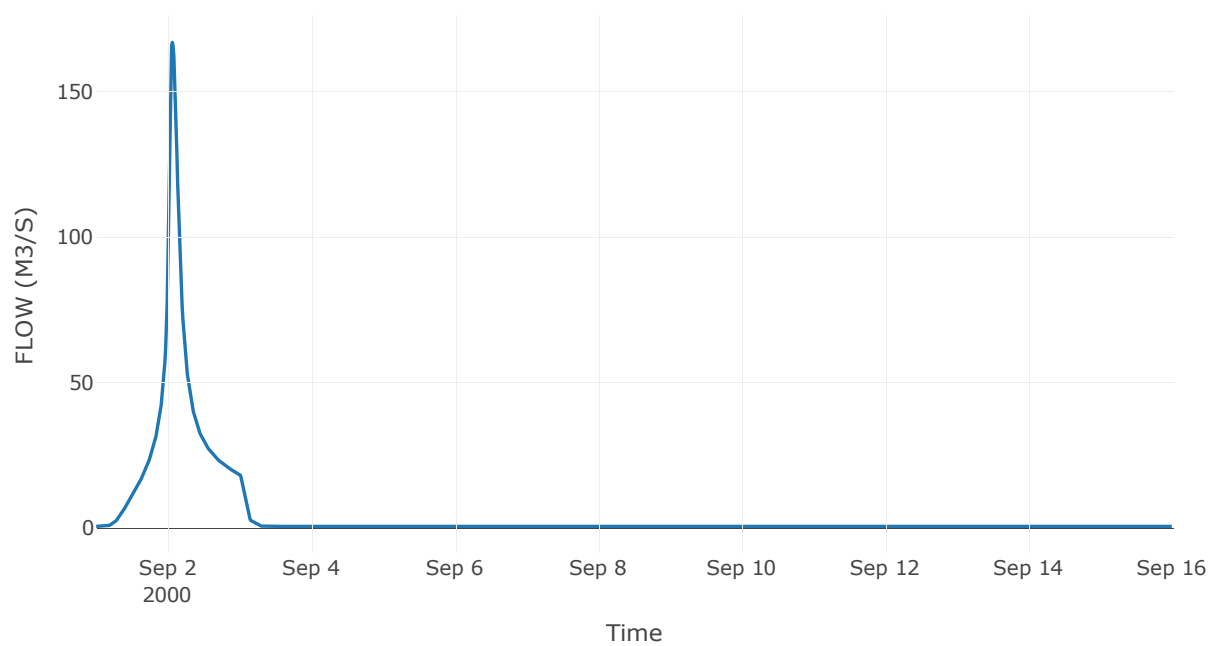
Κόμβος: J10

Κατάντη : R109

Αποτελέσματα: J10

Παροχή Αιχμής (M3/S)	166.79
Χρονική στιγμή αιχμής	02Sep2000, 01:30
Όγκος(MM)	191.9

Απορροή



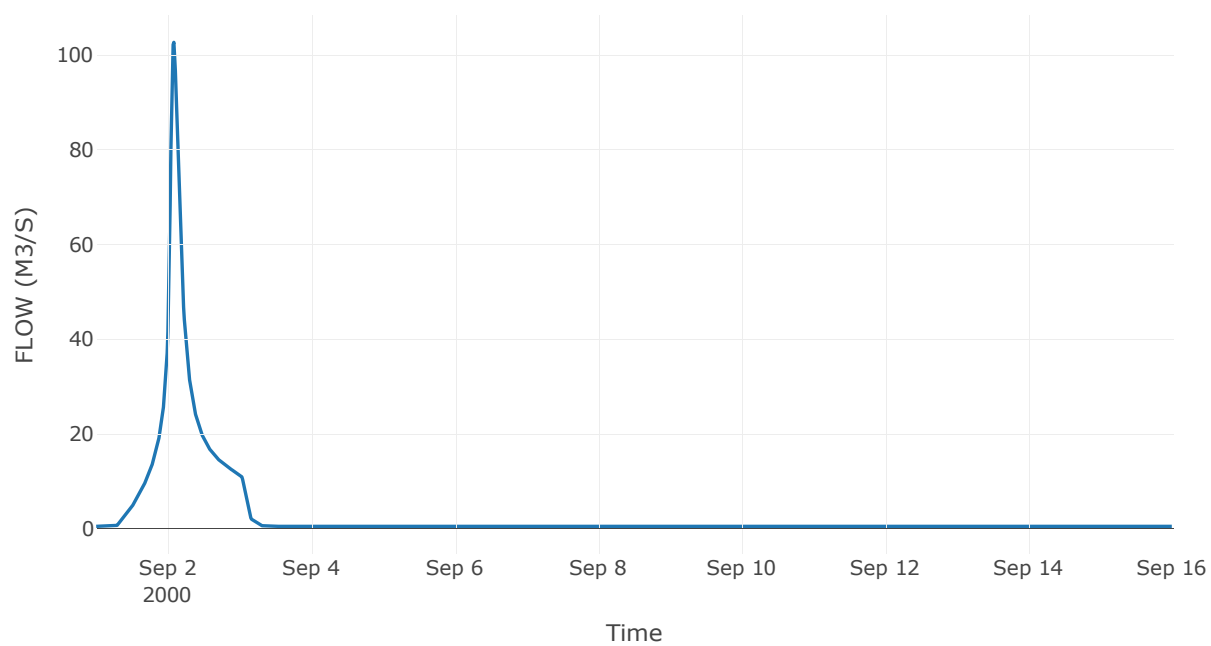
Κόμβος: J11

Κατάντη : R1140

Αποτελέσματα: J11

Παροχή Αιχμής (M3/S)	102.69
Χρονική στιγμή αιχμής	02Sep2000, 02:00
Όγκος(MM)	174.73

Απορροή



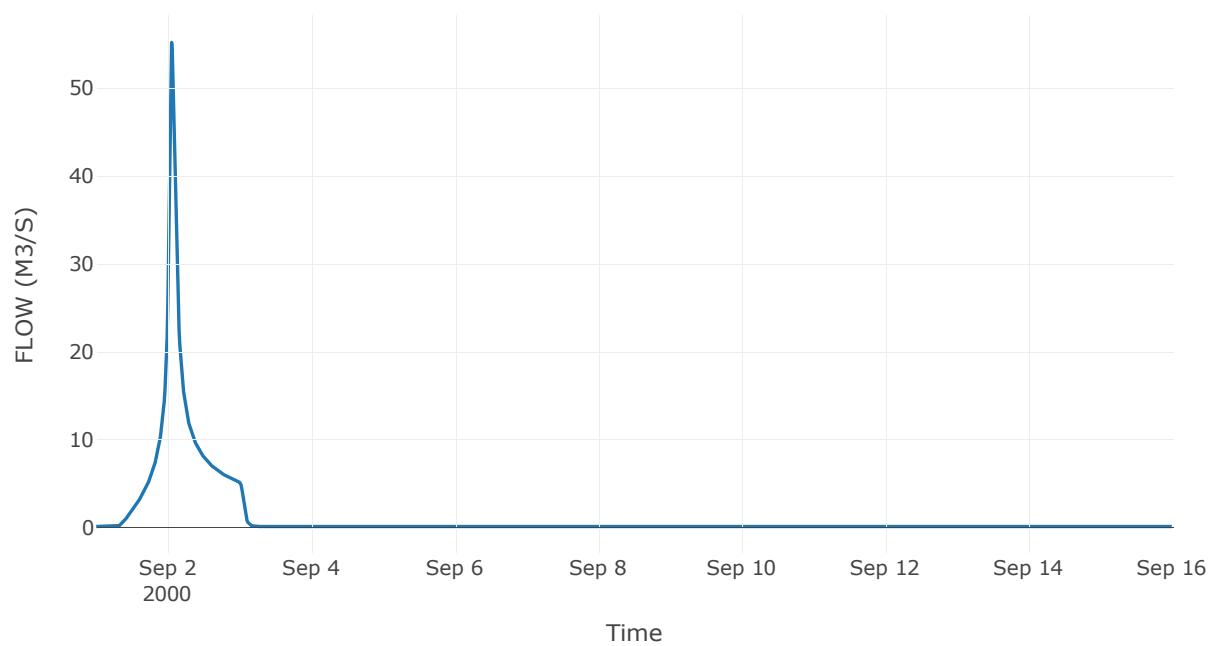
Κόμβος: J12

Κατάντη : R1211

Αποτελέσματα: J12

Παροχή Αιχμής (M3/S)	55.21
Χρονική στιγμή αιχμής	02Sep2000, 01:15
Όγκος(MM)	173.44

Απορροή



5 Δεδομένα εισόδου και αποτελέσματα υδρολογικού σεναρίου T=100

5.1 Αποτελέσματα, υετογραφήματα και υδρογραφήματα σχεδιασμού υπολεκανών

Υπολεκάνη: EL0514FL002001

Έκταση (KM2) : 61.13

Κατάντη : J1

Μέθοδος Απωλειών: SCS

Ποσοστό αδιαπέρατης επιφάνειας	0
Αριθμός Καμπύλης Απορροής-CN	61.9
Αρχικές Απώλειες	31.27

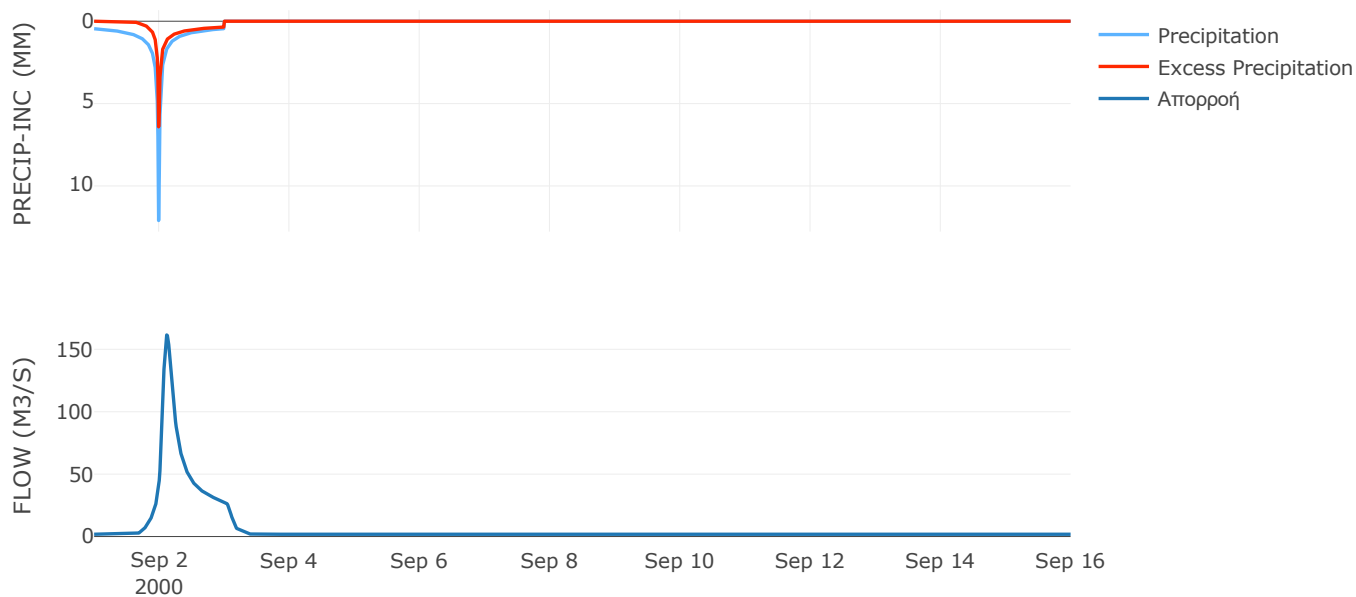
Μέθοδος
Μετασχηματισμού: SCS

Χρόνος Υστέρησης	149.68
------------------	--------

Αποτελέσματα:
EL0514FL002001

Παροχή αιχμής (M3/S)	161.51
Χρονική στιγμή αιχμής	02Sep2000, 02:45
Όγκος (MM)	135.49
Όγκος βροχόπτωσης (M3)	1.29E7
Όγκος απωλειών (M3)	7.03E6
Ενεργός Όγκος (M3)	5.91E6
Όγκος άμεσης απορροής (M3)	5.91E6
Όγκος βασικής απορροής (M3)	2.38E6

Βροχόπτωση και Απορροή



Υπολεκάνη: EL0514FL002002

Έκταση (KM2) : 42.33

Κατάντη : J2

Μέθοδος Απωλειών: SCS

Ποσοστό αδιαπέρατης επιφάνειας	0
Αριθμός Καμπύλης Απορροής-CN	56.64
Αρχικές Απώλειες	38.88

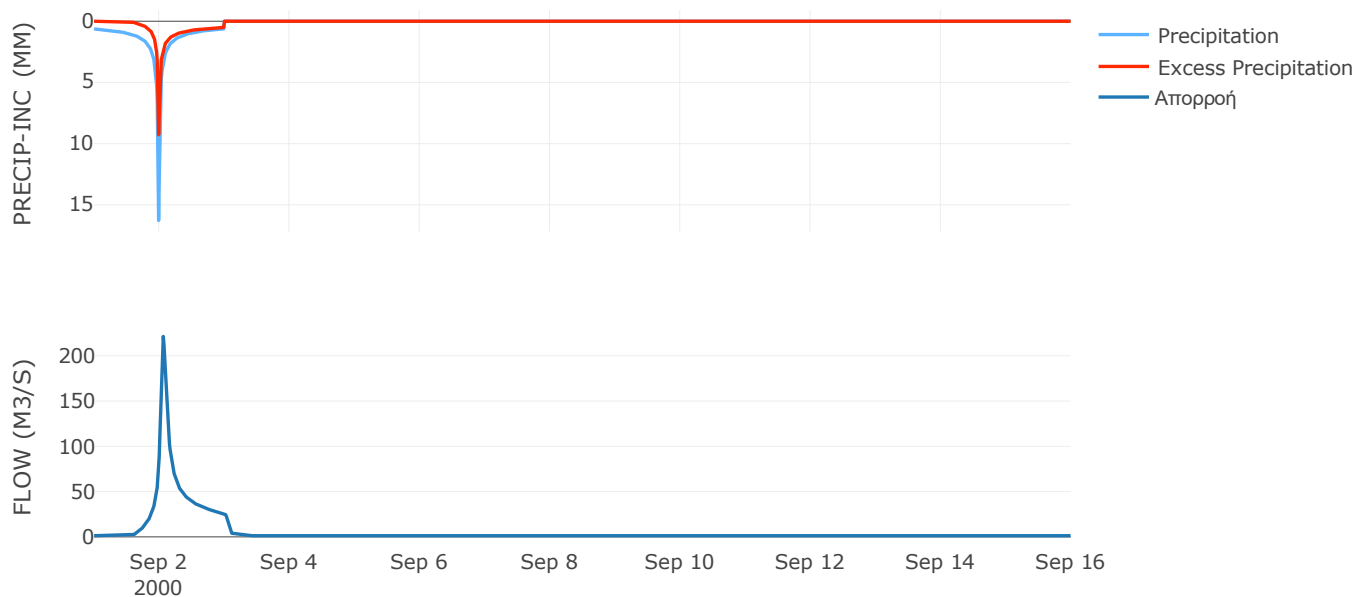
Μέθοδος
Μετασχηματισμού: SCS

Χρόνος Υστέρησης	75.59
------------------	-------

Αποτελέσματα:
EL0514FL002002

Παροχή αιχμής (M3/S)	221.35
Χρονική στιγμή αιχμής	02Sep2000, 01:30
Όγκος (MM)	180.05
Όγκος βροχόπτωσης (M3)	1.23E7
Όγκος απωλειών (M3)	6.28E6
Ενεργός Όγκος (M3)	5.98E6
Όγκος άμεσης απορροής (M3)	5.98E6
Όγκος βασικής απορροής (M3)	1.65E6

Βροχόπτωση και Απορροή



Υπολεκάνη: EL0514FL002003

Έκταση (KM2) : 48.23

Κατάντη : J2

Μέθοδος Απωλειών: SCS

Ποσοστό αδιαπέρατης επιφάνειας	0
Αριθμός Καμπύλης Απορροής-CN	70.25
Αρχικές Απώλειες	21.52

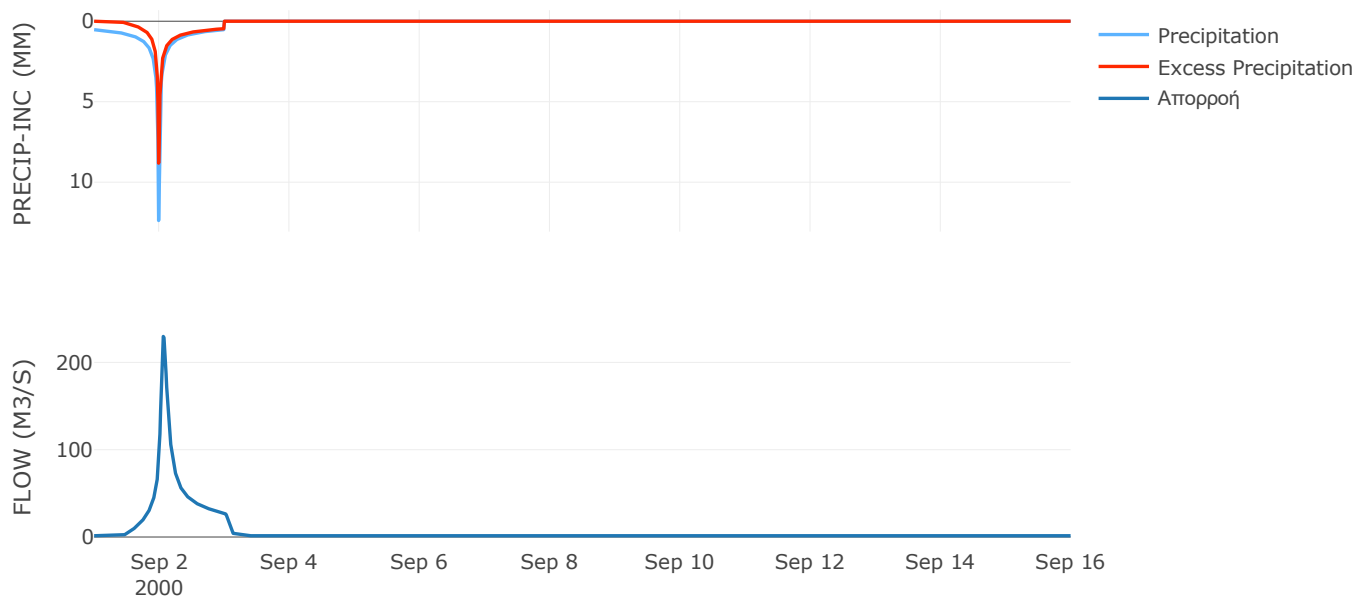
Μέθοδος
Μετασχηματισμού: SCS

Χρόνος Υστέρησης	88.62
------------------	-------

Αποτελέσματα:
EL0514FL002003

Παροχή αιχμής (M3/S)	229.72
Χρονική στιγμή αιχμής	02Sep2000, 01:30
Όγκος (MM)	180.89
Όγκος βροχόπτωσης (M3)	1.13E7
Όγκος απωλειών (M3)	4.49E6
Ενεργός Όγκος (M3)	6.85E6
Όγκος άμεσης απορροής (M3)	6.85E6
Όγκος βασικής απορροής (M3)	1.88E6

Βροχόπτωση και Απορροή



Υπολεκάνη: EL0514FL002004

Έκταση (KM2) : 33.76

Κατάντη : J3

Μέθοδος Απωλειών: SCS

Ποσοστό αδιαπέρατης επιφάνειας	0
Αριθμός Καμπύλης Απορροής-CN	68.26
Αρχικές Απώλειες	23.62

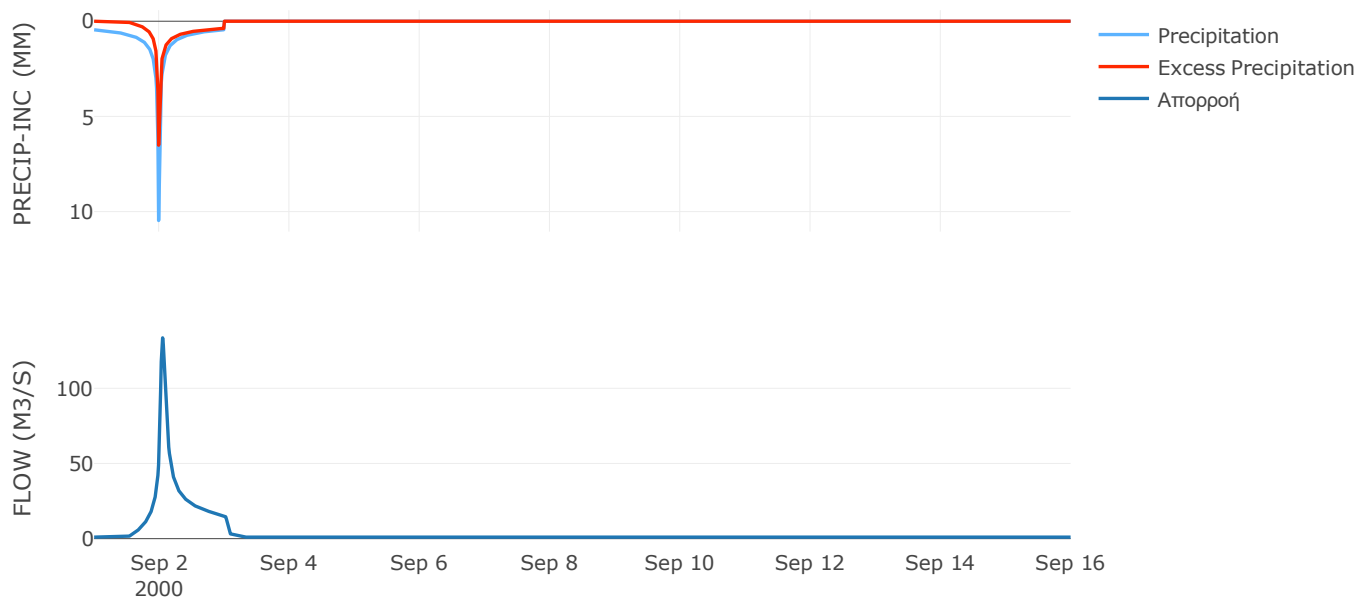
Μέθοδος
Μετασχηματισμού: SCS

Χρόνος Υστέρησης	67.52
------------------	-------

Αποτελέσματα:
EL0514FL002004

Παροχή αιχμής (M3/S)	133.59
Χρονική στιγμή αιχμής	02Sep2000, 01:15
Όγκος (MM)	144.86
Όγκος βροχόπτωσης (M3)	6.77E6
Όγκος απωλειών (M3)	3.19E6
Ενεργός Όγκος (M3)	3.58E6
Όγκος άμεσης απορροής (M3)	3.58E6
Όγκος βασικής απορροής (M3)	1.31E6

Βροχόπτωση και Απορροή



Υπολεκάνη: EL0514FL002005

Έκταση (KM2) : 26.27

Κατάντη : J6

Μέθοδος Απωλειών: SCS

Ποσοστό αδιαπέρατης επιφάνειας	0
Αριθμός Καμπύλης Απορροής-CN	54.88
Αρχικές Απώλειες	41.77

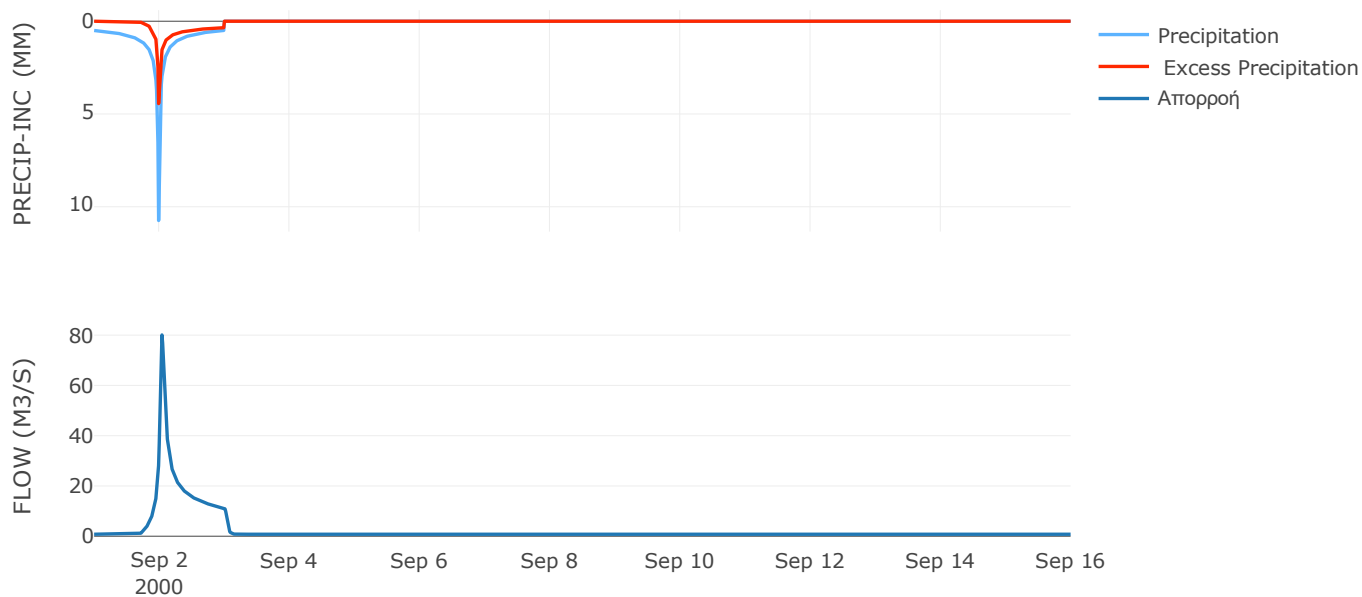
Μέθοδος
Μετασχηματισμού: SCS

Χρόνος Υστέρησης	52.09
------------------	-------

Αποτελέσματα:
EL0514FL002005

Παροχή αιχμής (M3/S)	80.09
Χρονική στιγμή αιχμής	02Sep2000, 01:00
Όγκος (MM)	118.48
Όγκος βροχόπτωσης (M3)	5.69E6
Όγκος απωλειών (M3)	3.6E6
Ενεργός Όγκος (M3)	2.09E6
Όγκος άμεσης απορροής (M3)	2.09E6
Όγκος βασικής απορροής (M3)	1.02E6

Βροχόπτωση και Απορροή



Υπολεκάνη: EL0514FL002006

Έκταση (KM2) : 17.48

Κατάντη : J7

Μέθοδος Απωλειών: SCS

Ποσοστό αδιαπέρατης επιφάνειας	0
Αριθμός Καμπύλης Απορροής-CN	59.28
Αρχικές Απώλειες	34.9

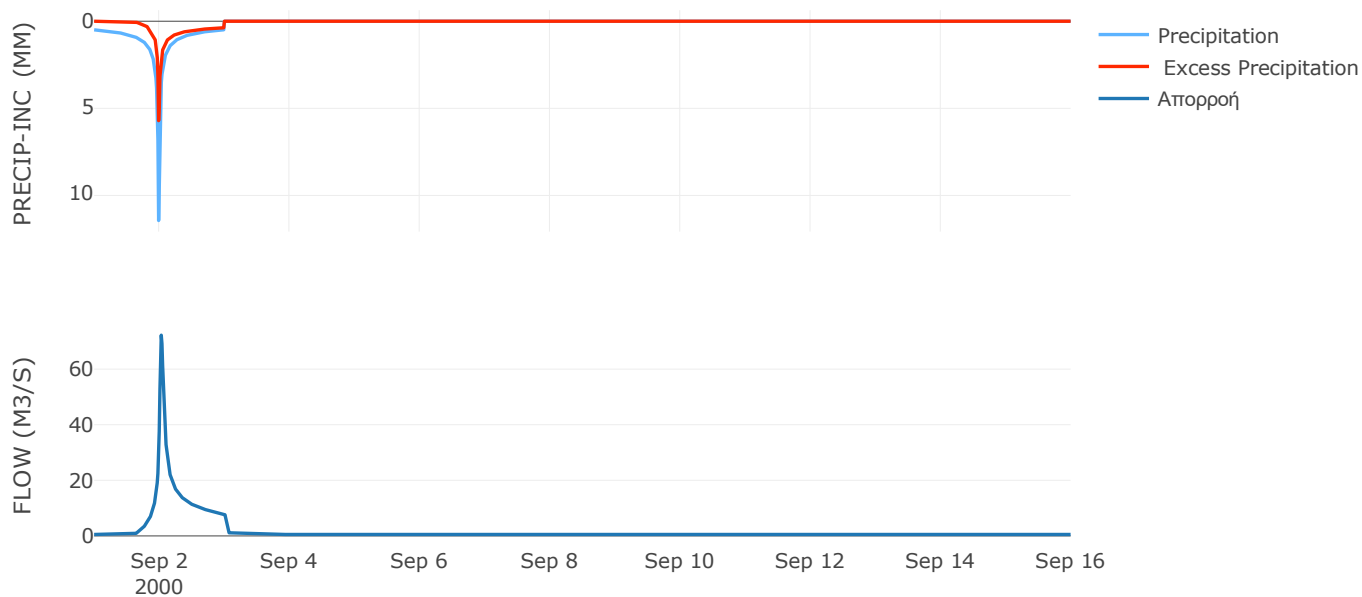
Μέθοδος
Μετασχηματισμού: SCS

Χρόνος Υστέρησης	42.14
------------------	-------

Αποτελέσματα:
EL0514FL002006

Παροχή αιχμής (M3/S)	72.21
Χρονική στιγμή αιχμής	02Sep2000, 00:45
Όγκος (MM)	133.76
Όγκος βροχόπτωσης (M3)	3.84E6
Όγκος απωλειών (M3)	2.18E6
Ενεργός Όγκος (M3)	1.66E6
Όγκος άμεσης απορροής (M3)	1.66E6
Όγκος βασικής απορροής (M3)	6.8E5

Βροχόπτωση και Απορροή



Υπολεκάνη: EL0514FL002007

Έκταση (KM2) : 12.13

Κατάντη : J8

Μέθοδος Απωλειών: SCS

Ποσοστό αδιαπέρατης επιφάνειας	0
Αριθμός Καμπύλης Απορροής-CN	78.88
Αρχικές Απώλειες	13.61

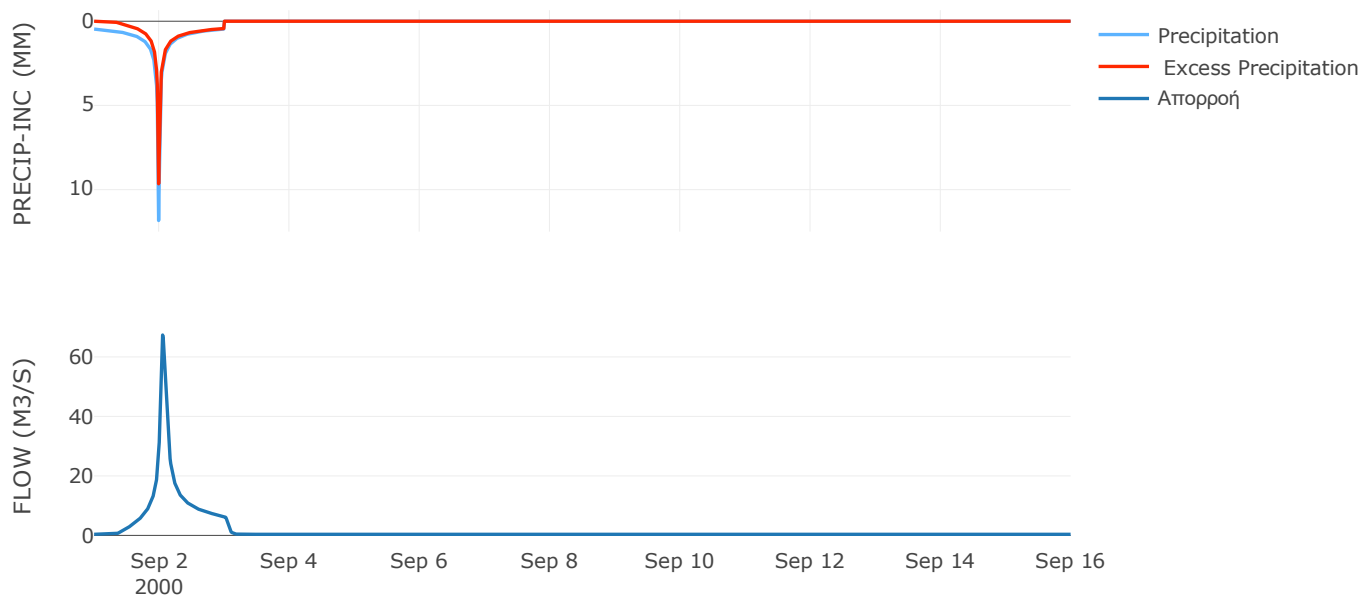
Μέθοδος
Μετασχηματισμού: SCS

Χρόνος Υστέρησης	73.34
------------------	-------

Αποτελέσματα:
EL0514FL002007

Παροχή αιχμής (M3/S)	67.37
Χρονική στιγμή αιχμής	02Sep2000, 01:15
Όγκος (MM)	188.32
Όγκος βροχόπτωσης (M3)	2.59E6
Όγκος απωλειών (M3)	7.81E5
Ενεργός Όγκος (M3)	1.81E6
Όγκος άμεσης απορροής (M3)	1.81E6
Όγκος βασικής απορροής (M3)	4.72E5

Βροχόπτωση και Απορροή



Υπολεκάνη: EL0514FL002008

Έκταση (KM2) : 8.45

Κατάντη : J5

Μέθοδος Απωλειών: SCS

Ποσοστό αδιαπέρατης επιφάνειας	0
Αριθμός Καμπύλης Απορροής-CN	88.98
Αρχικές Απώλειες	6.29

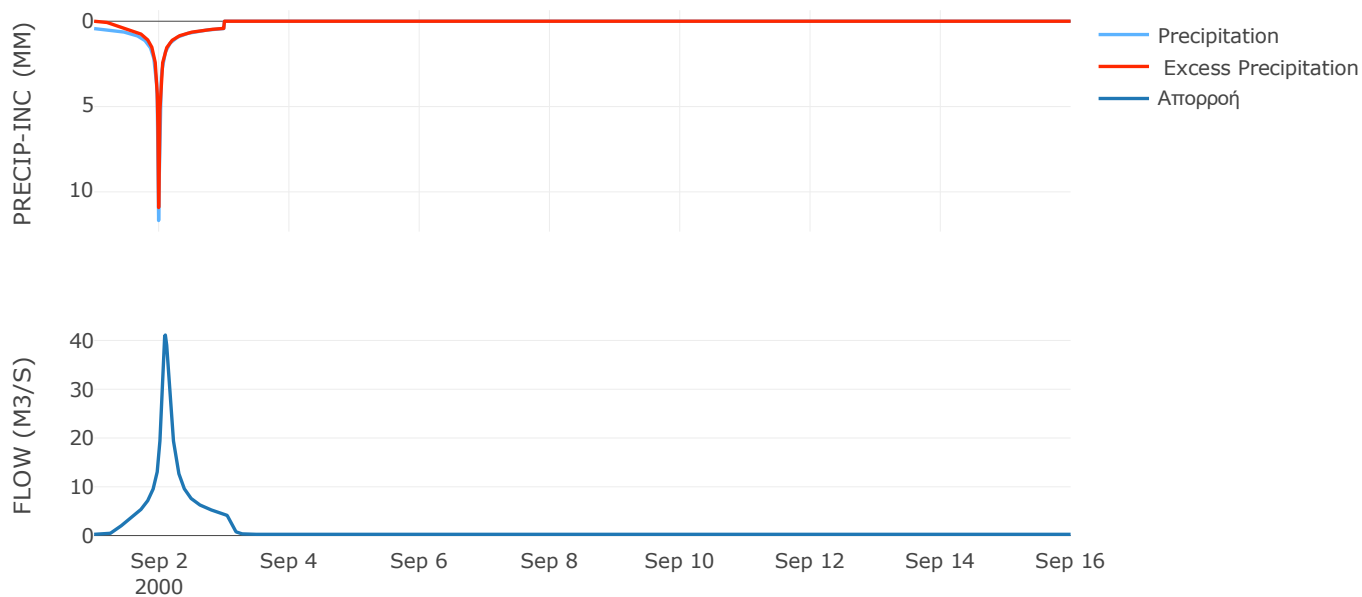
Μέθοδος
Μετασχηματισμού: SCS

Χρόνος Υστέρησης	126.59
------------------	--------

Αποτελέσματα:
EL0514FL002008

Παροχή αιχμής (M3/S)	41.11
Χρονική στιγμή αιχμής	02Sep2000, 02:15
Όγκος (MM)	207.45
Όγκος βροχόπτωσης (M3)	1.71E6
Όγκος απωλειών (M3)	2.82E5
Ενεργός Όγκος (M3)	1.42E6
Όγκος άμεσης απορροής (M3)	1.42E6
Όγκος βασικής απορροής (M3)	3.29E5

Βροχόπτωση και Απορροή



Υπολεκάνη: EL0514FL002009

Έκταση (KM2) : 19.86

Κατάντη : J40

Μέθοδος Απωλειών: SCS

Ποσοστό αδιαπέρατης επιφάνειας	95
Αριθμός Καμπύλης Απορροής-CN	99
Αρχικές Απώλειες	0.5

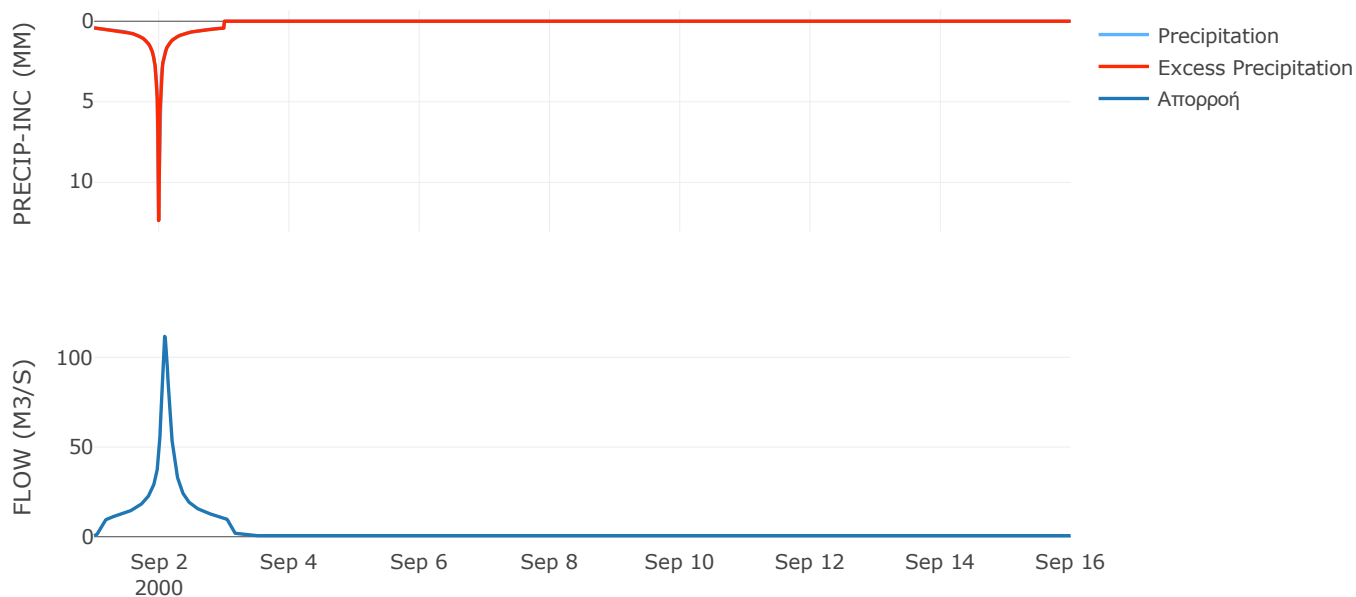
Μέθοδος
Μετασχηματισμού: SCS

Χρόνος Υστέρησης	118.34
------------------	--------

Αποτελέσματα:
EL0514FL002009

Παροχή αιχμής (M3/S)	111.68
Χρονική στιγμή αιχμής	02Sep2000, 02:00
Όγκος (MM)	244.43
Όγκος βροχόπτωσης (M3)	4.09E6
Όγκος απωλειών (M3)	3012.96
Ενεργός Όγκος (M3)	4.08E6
Όγκος άμεσης απορροής (M3)	4.08E6
Όγκος βασικής απορροής (M3)	7.72E5

Βροχόπτωση και Απορροή



Υπολεκάνη: EL0514FL002010

Έκταση (KM2) : 7.22

Κατάντη : J9

Μέθοδος Απωλειών: SCS

Ποσοστό αδιαπέρατης επιφάνειας	0
Αριθμός Καμπύλης Απορροής-CN	79.45
Αρχικές Απώλειες	13.14

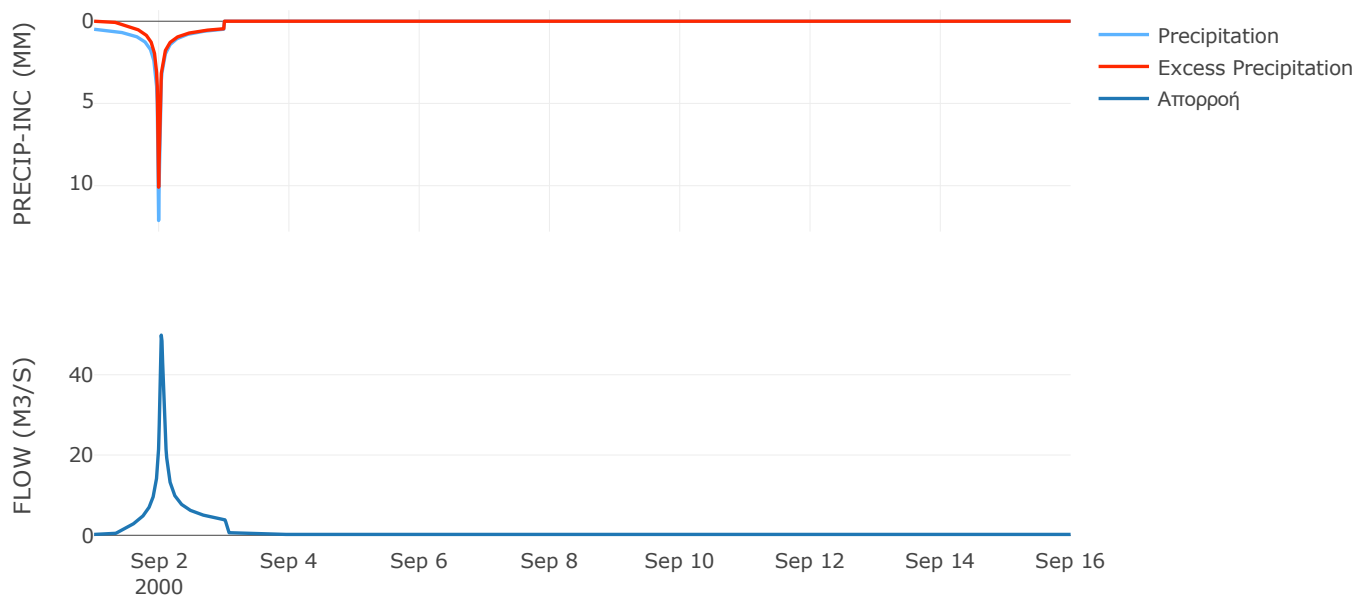
Μέθοδος
Μετασχηματισμού: SCS

Χρόνος Υστέρησης	46.78
------------------	-------

Αποτελέσματα:
EL0514FL002010

Παροχή αιχμής (M3/S)	49.87
Χρονική στιγμή αιχμής	02Sep2000, 00:45
Όγκος (MM)	198.1
Όγκος βροχόπτωσης (M3)	1.61E6
Όγκος απωλειών (M3)	4.56E5
Ενεργός Όγκος (M3)	1.15E6
Όγκος άμεσης απορροής (M3)	1.15E6
Όγκος βασικής απορροής (M3)	2.81E5

Βροχόπτωση και Απορροή



Υπολεκάνη: EL0514FL002011

Έκταση (KM2) : 8.8

Κατάντη : J10

Μέθοδος Απωλειών: SCS

Ποσοστό αδιαπέρατης επιφάνειας	0
Αριθμός Καμπύλης Απορροής-CN	80.68
Αρχικές Απώλειες	12.16

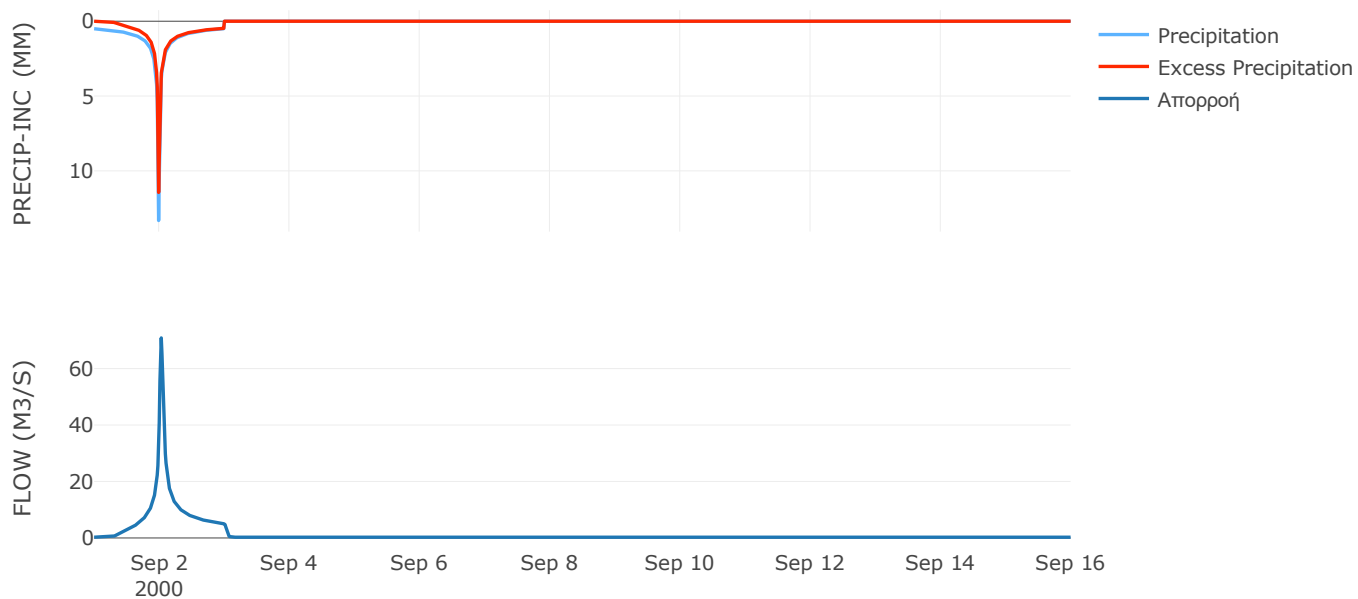
Μέθοδος
Μετασχηματισμού: SCS

Χρόνος Υστέρησης	41.15
------------------	-------

Αποτελέσματα:
EL0514FL002011

Παροχή αιχμής (M3/S)	70.86
Χρονική στιγμή αιχμής	02Sep2000, 00:45
Όγκος (MM)	212.23
Όγκος βροχόπτωσης (M3)	2.05E6
Όγκος απωλειών (M3)	5.27E5
Ενεργός Όγκος (M3)	1.53E6
Όγκος άμεσης απορροής (M3)	1.53E6
Όγκος βασικής απορροής (M3)	3.42E5

Βροχόπτωση και Απορροή



Υπολεκάνη: EL0514FL002012

Έκταση (KM2) : 5.8

Κατάντη : J9

Μέθοδος Απωλειών: SCS

Ποσοστό αδιαπέρατης επιφάνειας	0
Αριθμός Καμπύλης Απορροής-CN	74.85
Αρχικές Απώλειες	17.07

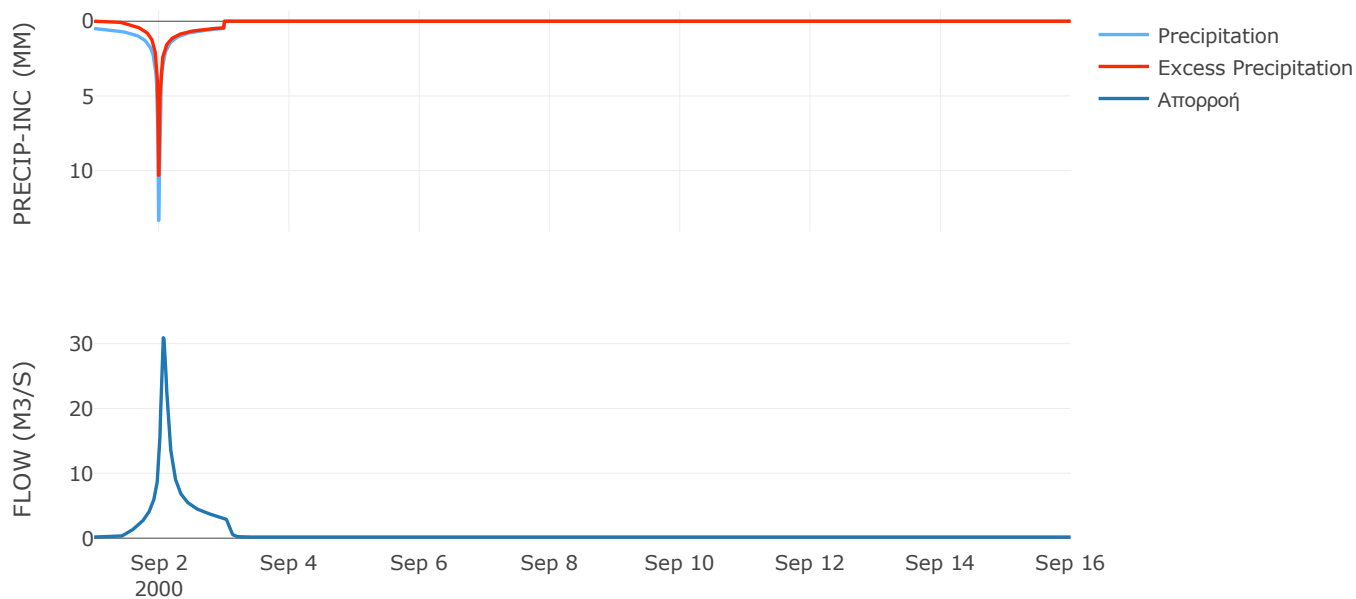
Μέθοδος
Μετασχηματισμού: SCS

Χρόνος Υστέρησης	89.95
------------------	-------

Αποτελέσματα:
EL0514FL002012

Παροχή αιχμής (M3/S)	30.91
Χρονική στιγμή αιχμής	02Sep2000, 01:30
Όγκος (MM)	189.63
Όγκος βροχόπτωσης (M3)	1.33E6
Όγκος απωλειών (M3)	4.52E5
Ενεργός Όγκος (M3)	8.74E5
Όγκος άμεσης απορροής (M3)	8.74E5
Όγκος βασικής απορροής (M3)	2.26E5

Βροχόπτωση και Απορροή



Υπολεκάνη: EL0514FL002013

Έκταση (KM2) : 26.26

Κατάντη : J10

Μέθοδος Απωλειών: SCS

Ποσοστό αδιαπέρατης επιφάνειας	0
Αριθμός Καμπύλης Απορροής-CN	71.64
Αρχικές Απώλειες	20.11

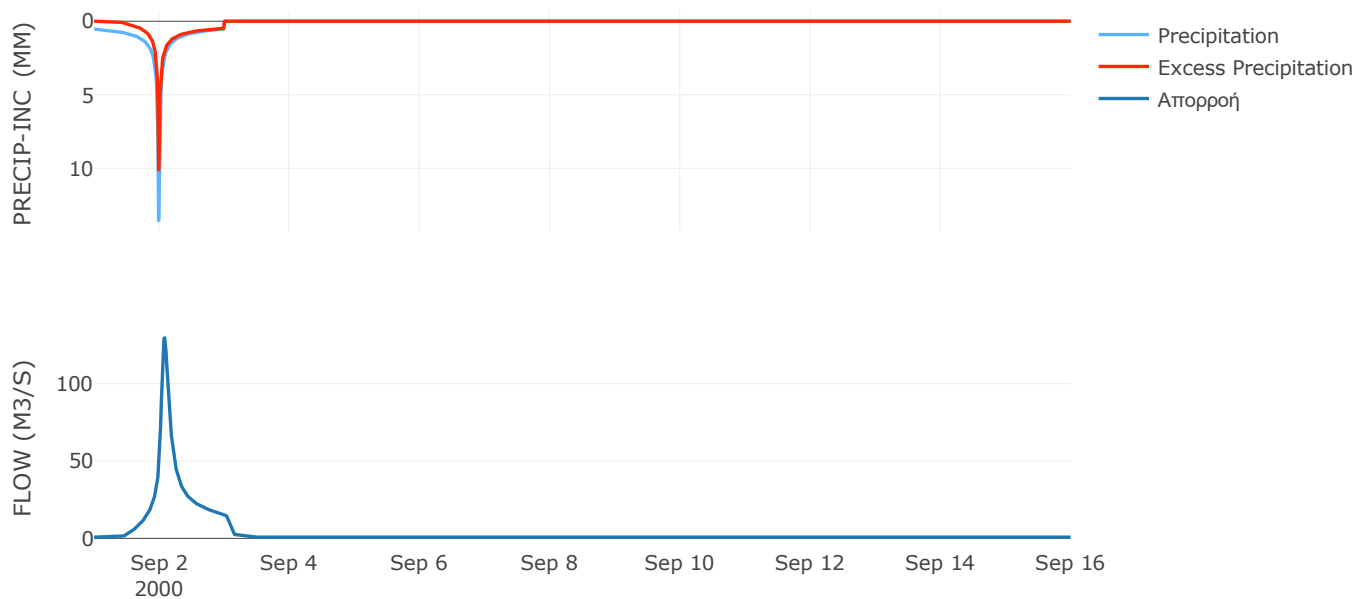
Μέθοδος
Μετασχηματισμού: SCS

Χρόνος Υστέρησης	106.56
------------------	--------

Αποτελέσματα:
EL0514FL002013

Παροχή αιχμής (M3/S)	129.56
Χρονική στιγμή αιχμής	02Sep2000, 02:00
Όγκος (MM)	193.97
Όγκος βροχόπτωσης (M3)	6.42E6
Όγκος απωλειών (M3)	2.35E6
Ενεργός Όγκος (M3)	4.07E6
Όγκος άμεσης απορροής (M3)	4.07E6
Όγκος βασικής απορροής (M3)	1.02E6

Βροχόπτωση και Απορροή



Υπολεκάνη: EL0514FL002014

Έκταση (KM2) : 10.15

Κατάντη : J12

Μέθοδος Απωλειών: SCS

Ποσοστό αδιαπέρατης επιφάνειας	0
Αριθμός Καμπύλης Απορροής-CN	63.44
Αρχικές Απώλειες	29.28

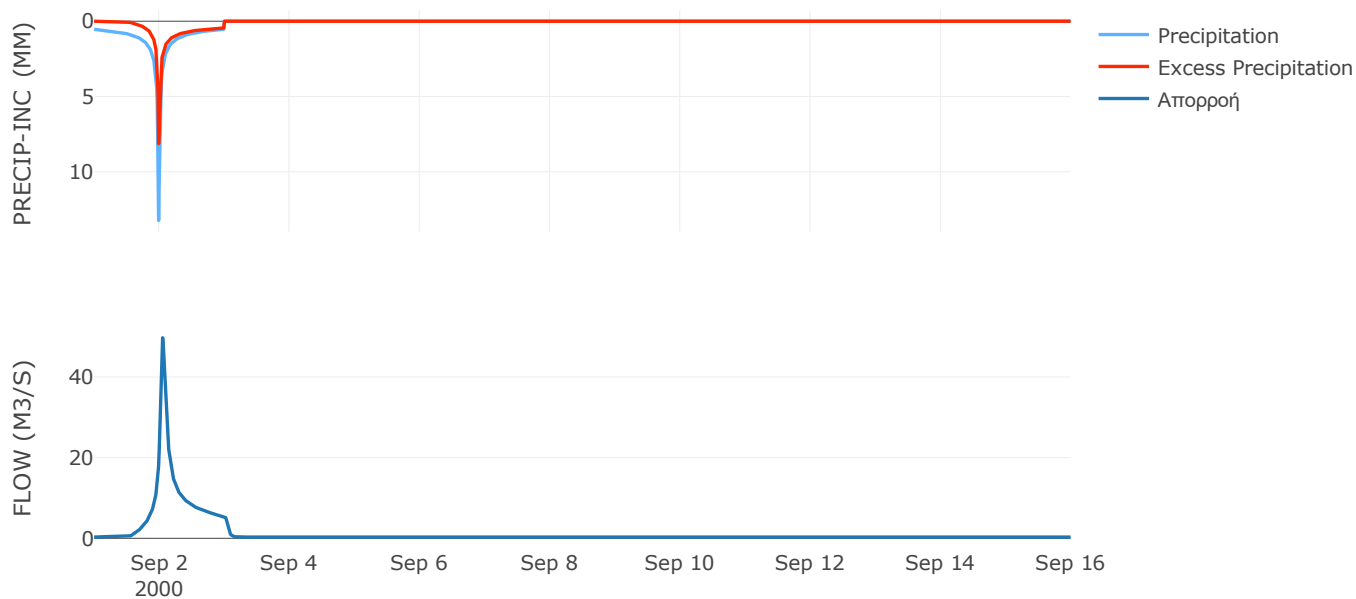
Μέθοδος
Μετασχηματισμού: SCS

Χρόνος Υστέρησης	66.5
------------------	------

Αποτελέσματα:
EL0514FL002014

Παροχή αιχμής (M3/S)	49.74
Χρονική στιγμή αιχμής	02Sep2000, 01:15
Όγκος (MM)	166.37
Όγκος βροχόπτωσης (M3)	2.47E6
Όγκος απωλειών (M3)	1.18E6
Ενεργός Όγκος (M3)	1.29E6
Όγκος άμεσης απορροής (M3)	1.29E6
Όγκος βασικής απορροής (M3)	3.95E5

Βροχόπτωση και Απορροή



Υπολεκάνη: EL0514FL002015

Έκταση (KM2) : 12.91

Κατάντη : J11

Μέθοδος Απωλειών: SCS

Ποσοστό αδιαπέρατης επιφάνειας	0
Αριθμός Καμπύλης Απορροής-CN	74.86
Αρχικές Απώλειες	17.06

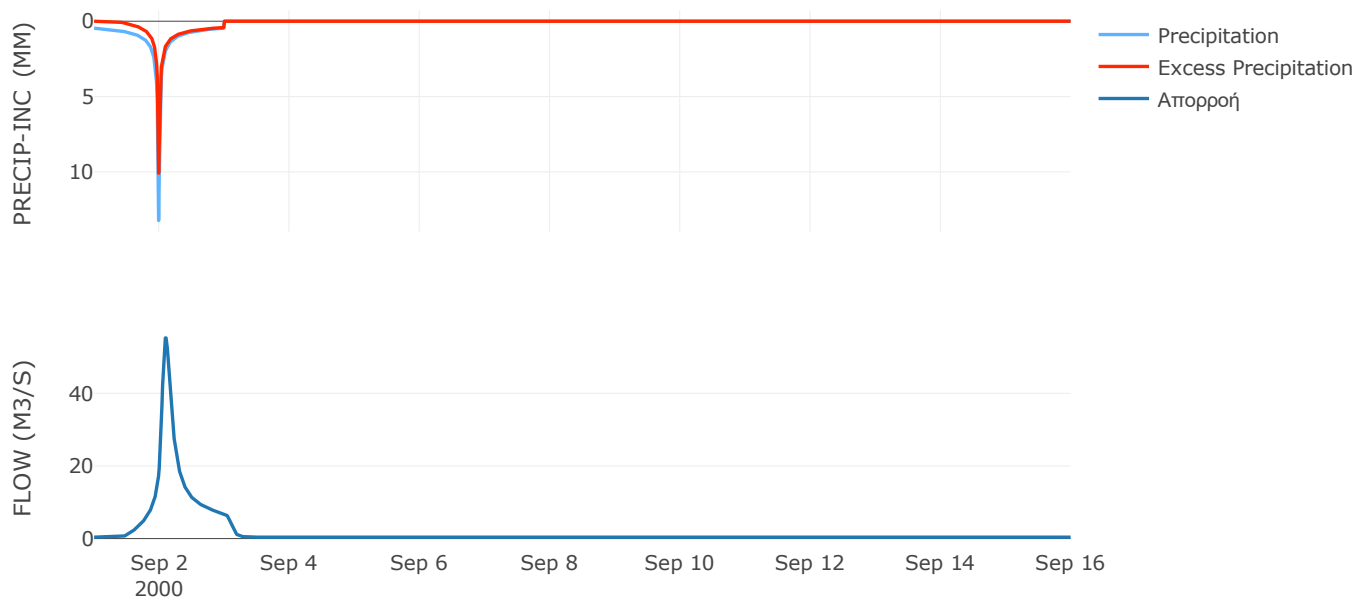
Μέθοδος
Μετασχηματισμού: SCS

Χρόνος Υστέρησης	133.38
------------------	--------

Αποτελέσματα:
EL0514FL002015

Παροχή αιχμής (M3/S)	55.27
Χρονική στιγμή αιχμής	02Sep2000, 02:30
Όγκος (MM)	181.81
Όγκος βροχόπτωσης (M3)	2.84E6
Όγκος απωλειών (M3)	9.96E5
Ενεργός Όγκος (M3)	1.85E6
Όγκος άμεσης απορροής (M3)	1.85E6
Όγκος βασικής απορροής (M3)	5.02E5

Βροχόπτωση και Απορροή



5.2 Δεδομένα και υδρογραφήματα σχεδιασμού Κλάδων υδρογραφικού δικτύου

Κλάδος: R21

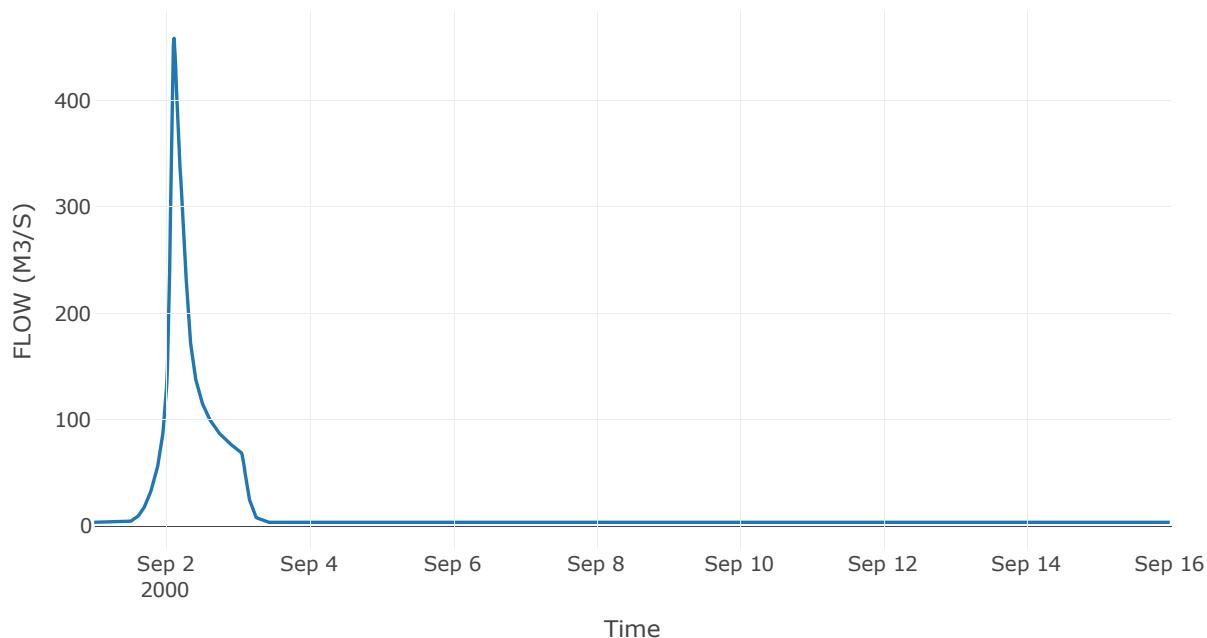
Κατάντη : J1

Μέθοδος Διόδευσης	Muskingum
Αρχική Μεταβλητή	Combined Inflow
Χρόνος Ροής K	1.14
Συντελεστής βάρους x	0.2
Πλήθος Υποκλάδων	5

Αποτελέσματα: R21

Παροχή Αιχμής (M3/S)	458.55
Χρονική στιγμή αιχμής	02Sep2000, 02:45
Όγκος(MM)	170.82
Παροχή Αιχμής Εισόδου (M3/S)	480.31
Όγκος Εισροής(M3)	2.12E7

Απορροή



Κλάδος: R32

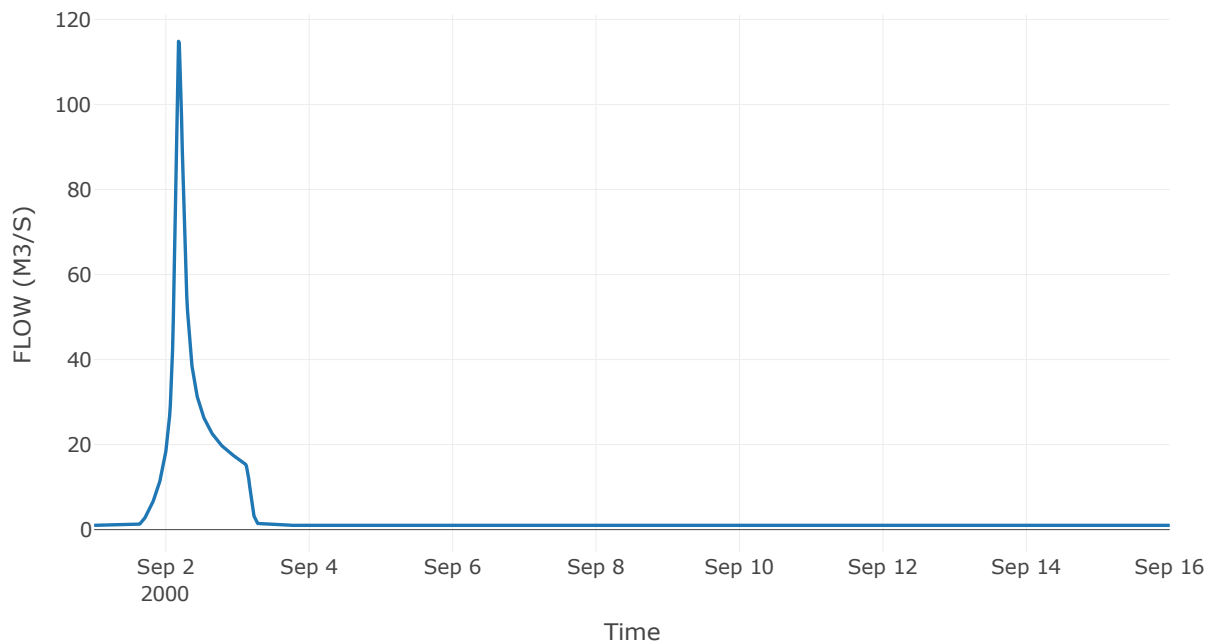
Κατάντη : J2

Μέθοδος Διόδευσης	Muskingum
Αρχική Μεταβλητή	Combined Inflow
Χρόνος Ροής Κ	3
Συντελεστής βάρους α	0.2
Πλήθος Υποκλάδων	13

Αποτελέσματα: R32

Παροχή Αιχμής (M3/S)	114.85
Χρονική στιγμή αιχμής	02Sep2000, 04:15
Όγκος(MM)	144.86
Παροχή Αιχμής Εισόδου (M3/S)	133.59
Όγκος Εισροής(M3)	4.89E6

Απορροή



Κλάδος: R43

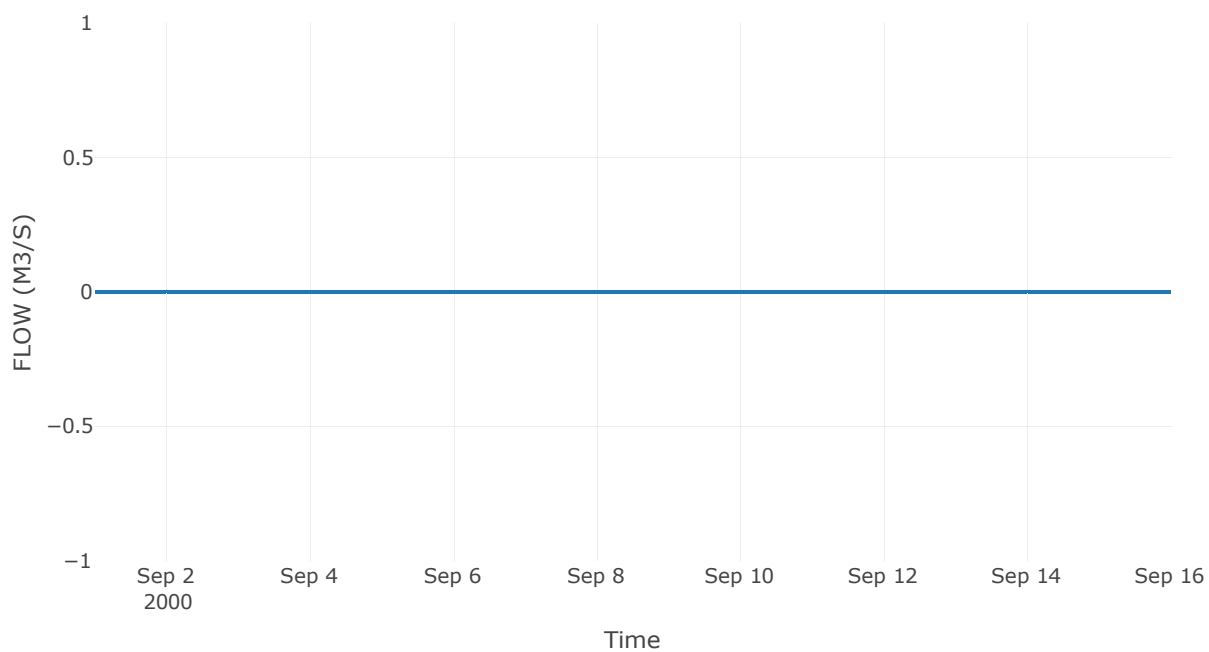
Κατάντη : J3

Μέθοδος Διόδευσης	Muskingum
Αρχική Μεταβλητή	Combined Inflow
Χρόνος Ροής K	3.84
Συντελεστής βάρους x	0.2
Πλήθος Υποκλάδων	16

Αποτελέσματα: R43

Παροχή Αιχμής (M3/S)	0
Χρονική στιγμή αιχμής	31Aug2000, 24:00
Peak Inflow (M3/S)	0
Όγκος Εισροής (M3)	0

Απορροή



Κλάδος: R540

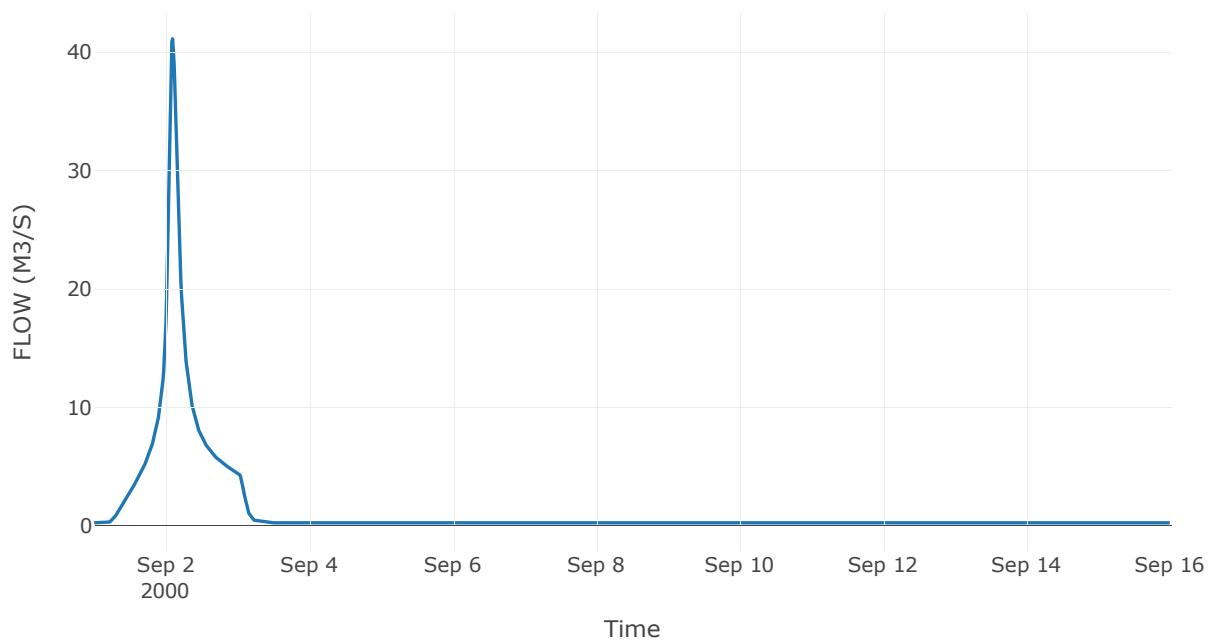
Κατάντη : J40

Μέθοδος Διόδευσης	Χρόνος
Αρχική Μεταβλητή	Combined Inflow
Χρόνος υστέρησης	0

Αποτελέσματα: R540

Παροχή Αιχμής (M3/S)	41.11
Χρονική στιγμή αιχμής	02Sep2000, 02:15
Όγκος(MM)	207.45
Παροχή Αιχμής Εισόδου (M3/S)	41.11
Όγκος Εισροής(M3)	1.75E6

Απορροή



Κλάδος: R640

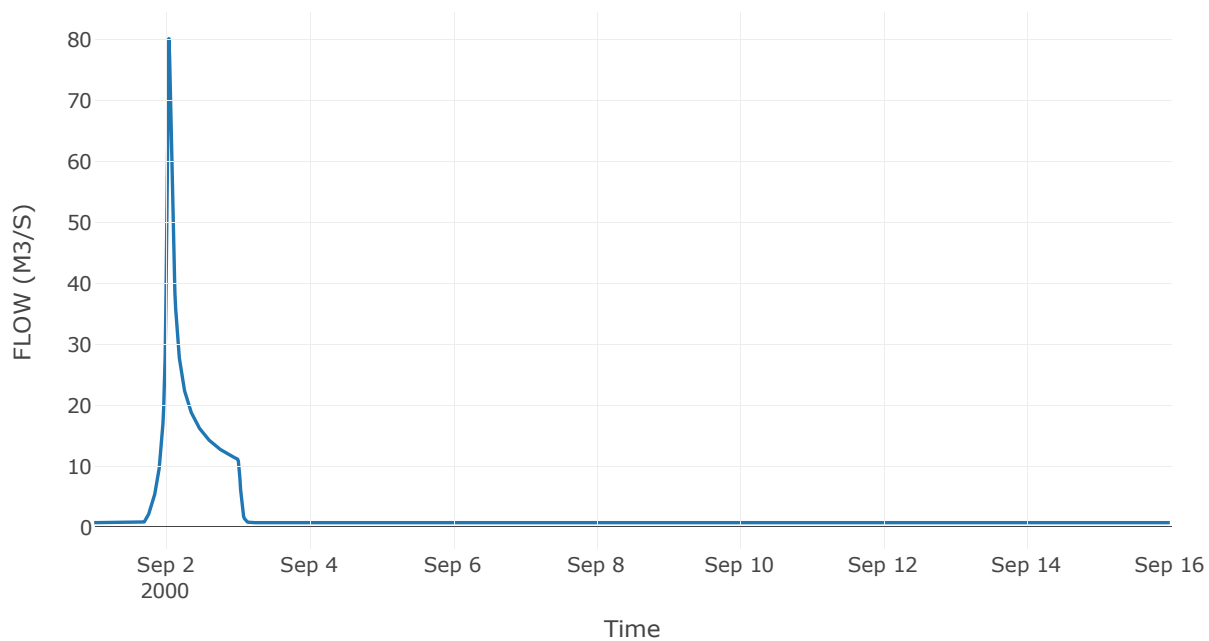
Κατάντη : J40

Μέθοδος Διόδευσης	Χρόνος
Αρχική Μεταβλητή	Combined Inflow
Χρόνος υστέρησης	0

Αποτελέσματα: R640

Παροχή Αιχμής (M3/S)	80.09
Χρονική στιγμή αιχμής	02Sep2000, 01:00
Όγκος(MM)	118.48
Παροχή Αιχμής Εισόδου (M3/S)	80.09
Όγκος Εισροής(M3)	3.11E6

Απορροή



Κλάδος: R740

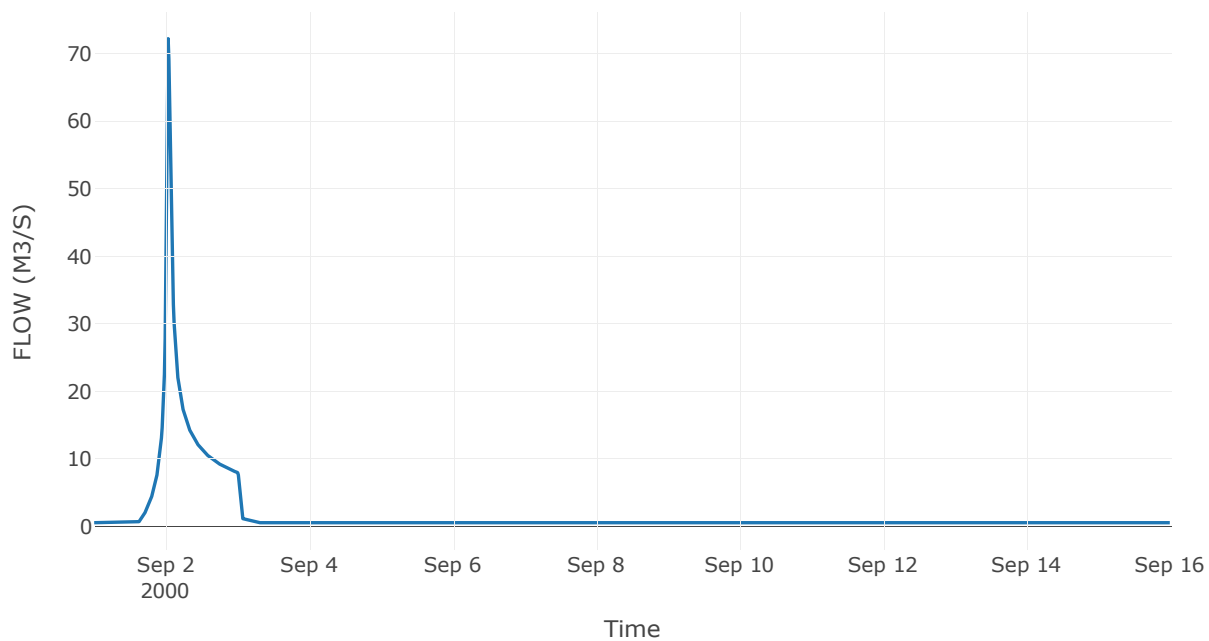
Κατάντη : J40

Μέθοδος Διόδευσης	Χρόνος
Αρχική Μεταβλητή	Combined Inflow
Χρόνος υστέρησης	0

Αποτελέσματα: R740

Παροχή Αιχμής (M3/S)	72.21
Χρονική στιγμή αιχμής	02Sep2000, 00:45
Όγκος(MM)	133.76
Παροχή Αιχμής Εισόδου (M3/S)	72.21
Όγκος Εισροής(M3)	2.34E6

Απορροή



Κλάδος: R840

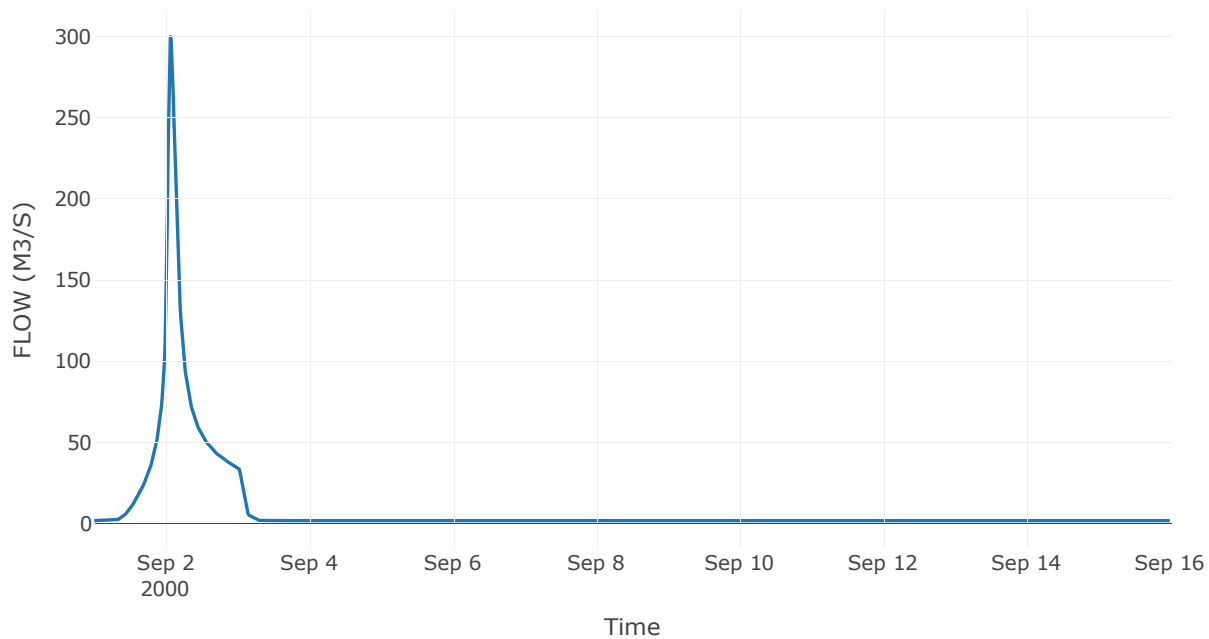
Κατάντη : J40

Μέθοδος Διόδευσης	Χρόνος
Αρχική Μεταβλητή	Combined Inflow
Χρόνος υστέρησης	0

Αποτελέσματα: R840

Παροχή Αιχμής (M3/S)	299.74
Χρονική στιγμή αιχμής	02Sep2000, 01:30
Όγκος(MM)	195.58
Παροχή Αιχμής Εισόδου (M3/S)	299.74
Όγκος Εισροής(M3)	1.18E7

Απορροή



Κλάδος: R1140

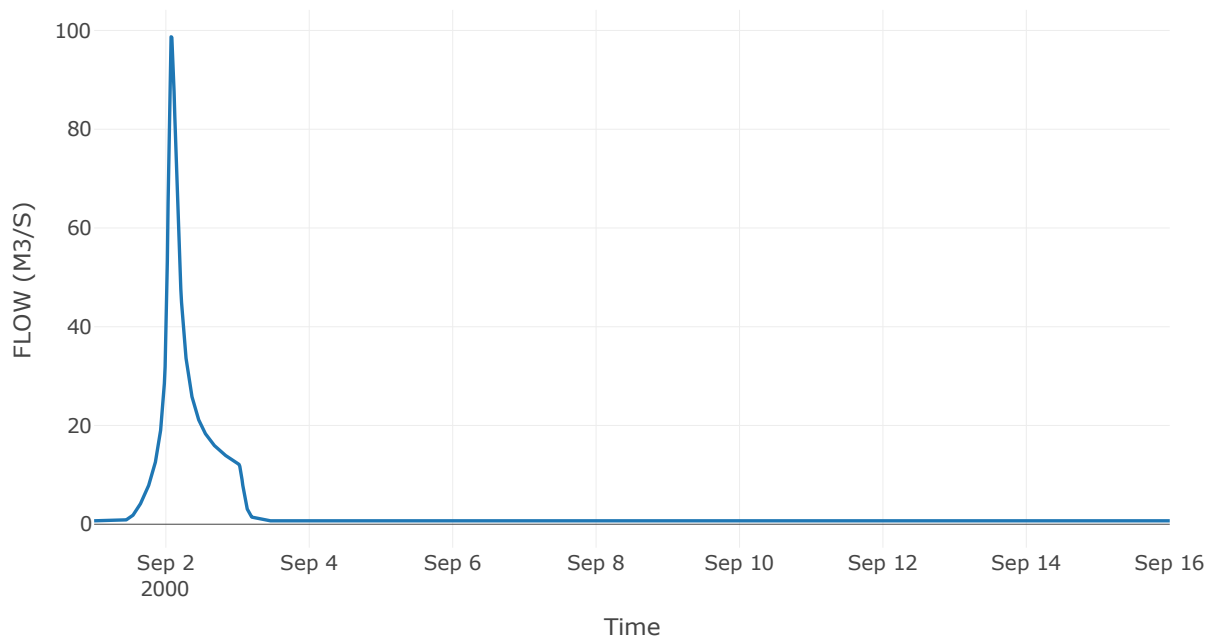
Κατάντη : J40

Μέθοδος Διόδευσης	Χρόνος
Αρχική Μεταβλητή	Combined Inflow
Χρόνος υστέρησης	0

Αποτελέσματα: R1140

Παροχή Αιχμής (M3/S)	98.72
Χρονική στιγμή αιχμής	02Sep2000, 01:45
Όγκος(MM)	175.01
Παροχή Αιχμής Εισόδου (M3/S)	98.72
Όγκος Εισροής(M3)	4.04E6

Απορροή



Κλάδος: R98

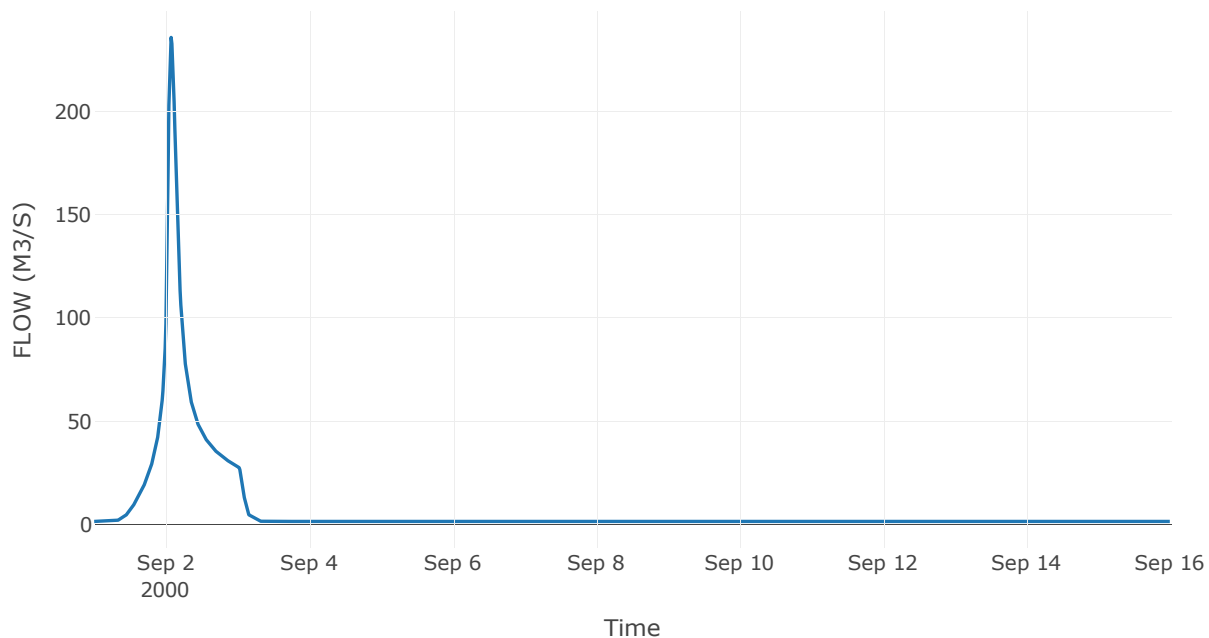
Κατάντη : J8

Μέθοδος Διόδευσης	Muskingum
Αρχική Μεταβλητή	Combined Inflow
Χρόνος Ροής K	0.33
Συντελεστής βάρους x	0.2
Πλήθος Υποκλάδων	1

Αποτελέσματα: R98

Παροχή Αιχμής (M3/S)	235.95
Χρονική στιγμή αιχμής	02Sep2000, 01:45
Όγκος(MM)	197.41
Παροχή Αιχμής Εισόδου (M3/S)	239.75
Όγκος Εισροής(M3)	9.49E6

Απορροή



Κλάδος: R109

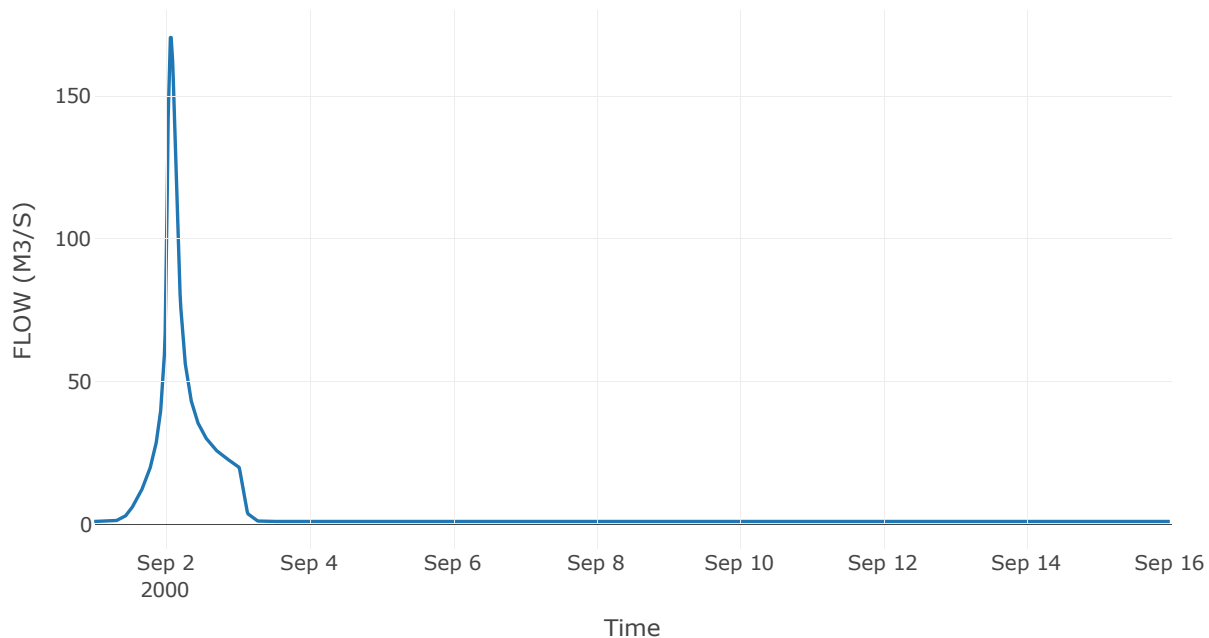
Κατάντη : J9

Μέθοδος Διόδευσης	Muskingum
Αρχική Μεταβλητή	Combined Inflow
Χρόνος Ροής Κ	0.22
Συντελεστής βάρους x	0.2
Πλήθος Υποκλάδων	1

Αποτελέσματα: R109

Παροχή Αιχμής (M3/S)	170.52
Χρονική στιγμή αιχμής	02Sep2000, 01:45
Όγκος(MM)	198.56
Παροχή Αιχμής Εισόδου (M3/S)	171.34
Όγκος Εισροής(M3)	6.96E6

Απορροή



Κλάδος: R1211

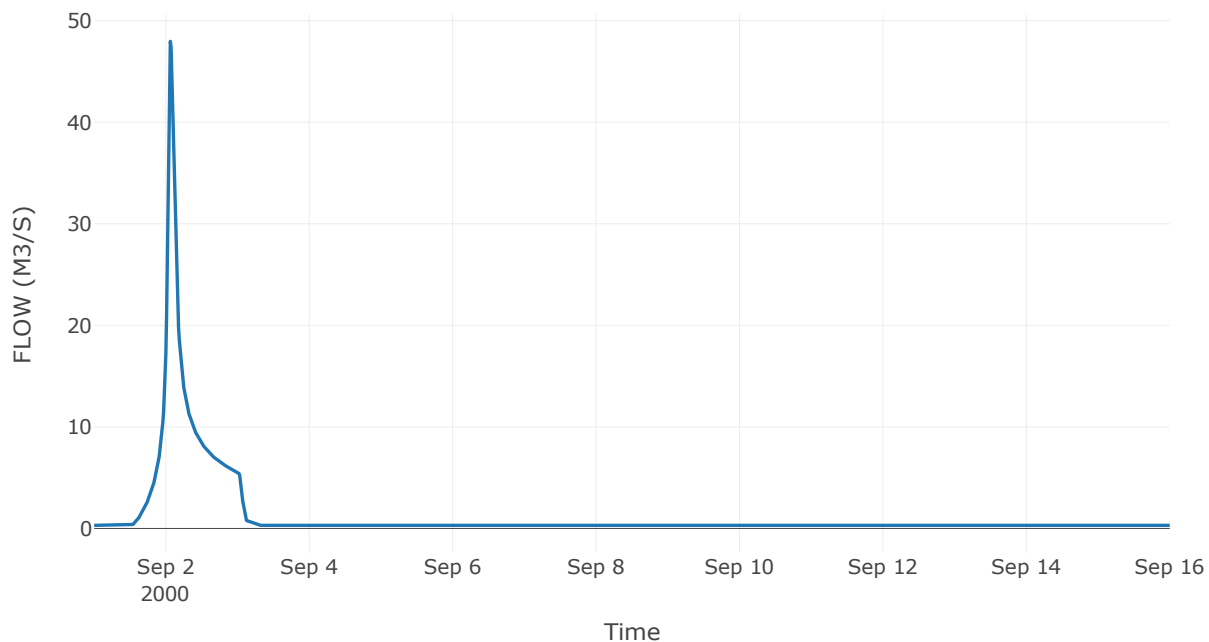
Κατάντη : J11

Μέθοδος Διόδευσης	Muskingum
Αρχική Μεταβλητή	Combined Inflow
Χρόνος Ροής K	0.35
Συντελεστής βάρους x	0.2
Πλήθος Υποκλάδων	1

Αποτελέσματα: R1211

Παροχή Αιχμής (M3/S)	47.96
Χρονική στιγμή αιχμής	02Sep2000, 01:30
Όγκος(MM)	166.37
Παροχή Αιχμής Εισόδου (M3/S)	49.74
Όγκος Εισροής(M3)	1.69E6

Απορροή



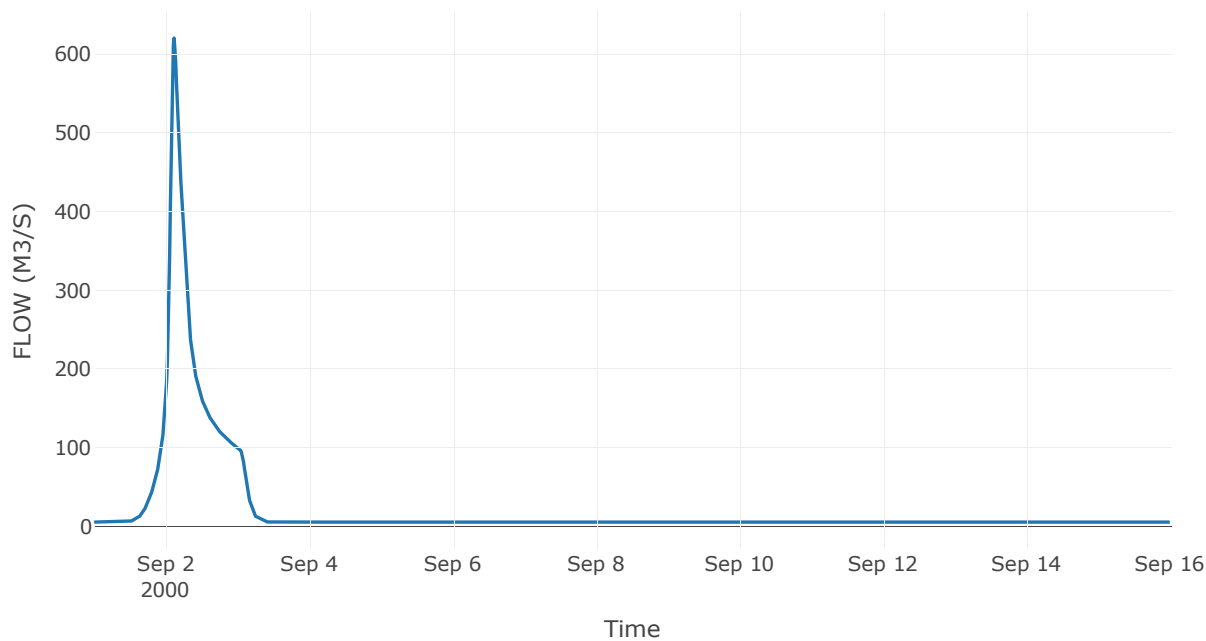
5.3 Δεδομένα και υδρογραφήματα σχεδιασμού Κόμβων υδρογραφικού δικτύου

Κόμβος εξόδου: J1

Αποτέλεσμα
τα: J1

Παροχή αιχμής (M3/S)	620.05
Χρονική στιγμή αιχμής	02Sep2000, 02:45
Όγκος (MM)	159.17

Απορροή



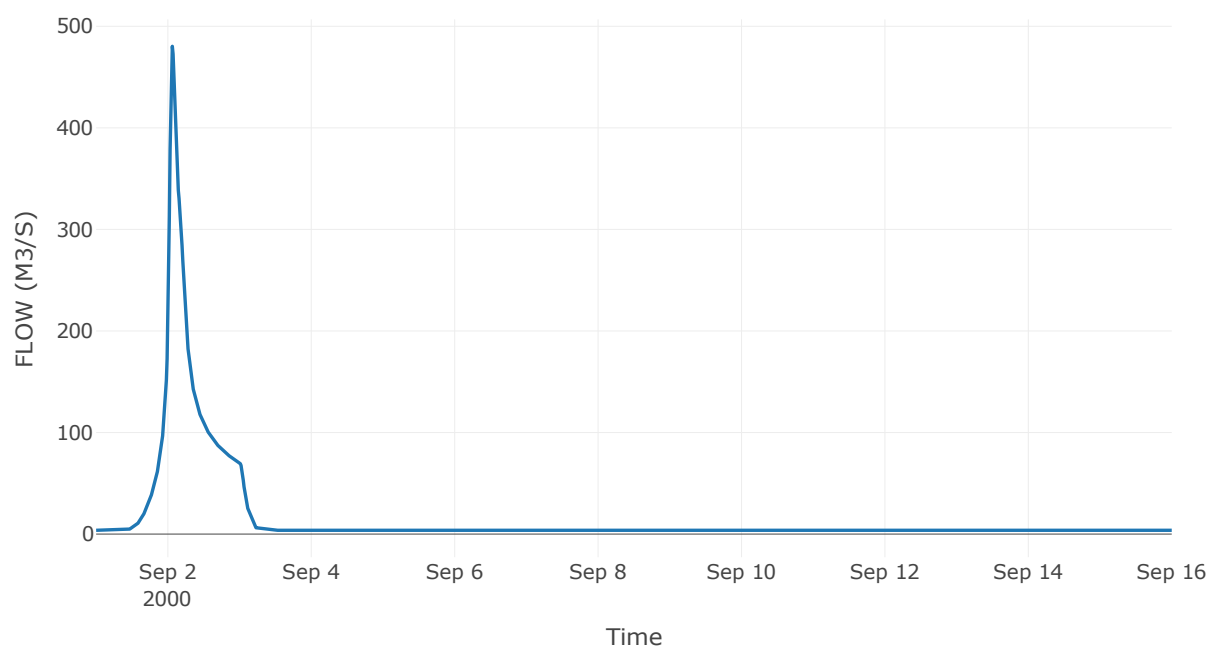
Κόμβος: J2

Κατάντη : R21

Αποτελέσματα: J2

Παροχή Αιχμής (M3/S)	480.31
Χρονική στιγμή αιχμής	02Sep2000, 01:30
Όγκος(MM)	170.82

Απορροή



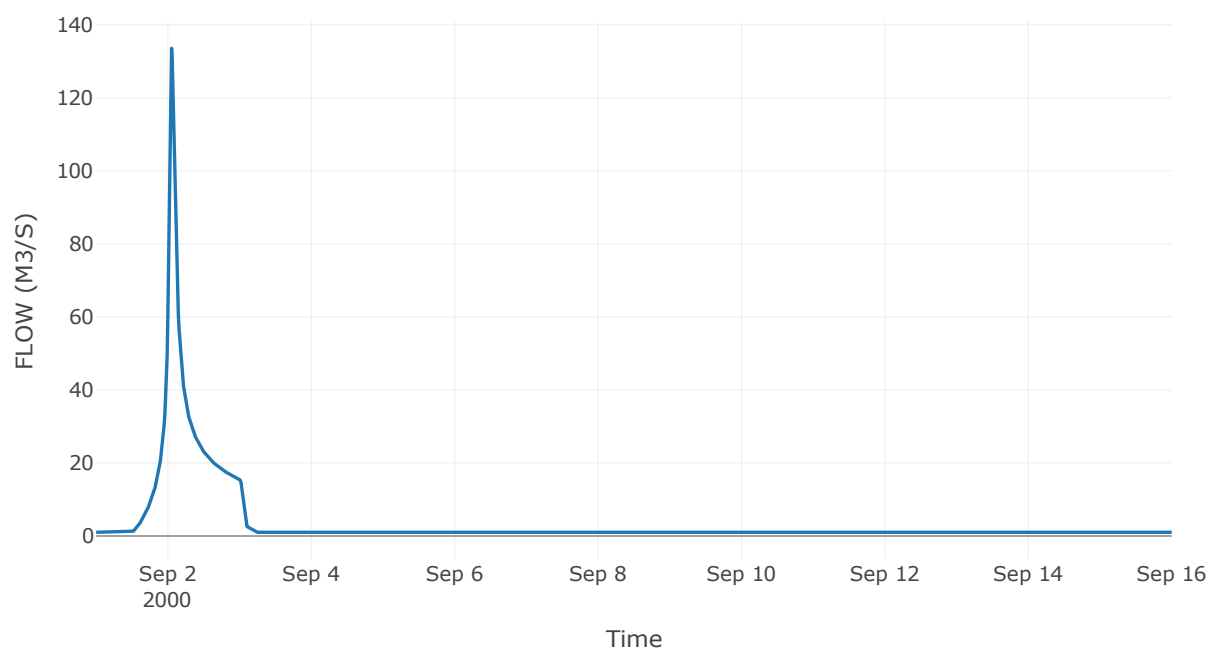
Κόμβος: J3

Κατάντη : R32

Αποτελέσματα: J3

Παροχή Αιχμής (M3/S)	133.59
Χρονική στιγμή αιχμής	02Sep2000, 01:15
Όγκος(MM)	144.86

Απορροή



Κόμβος: J4

Κατάντη : R43

Αποτελέσματα: J4

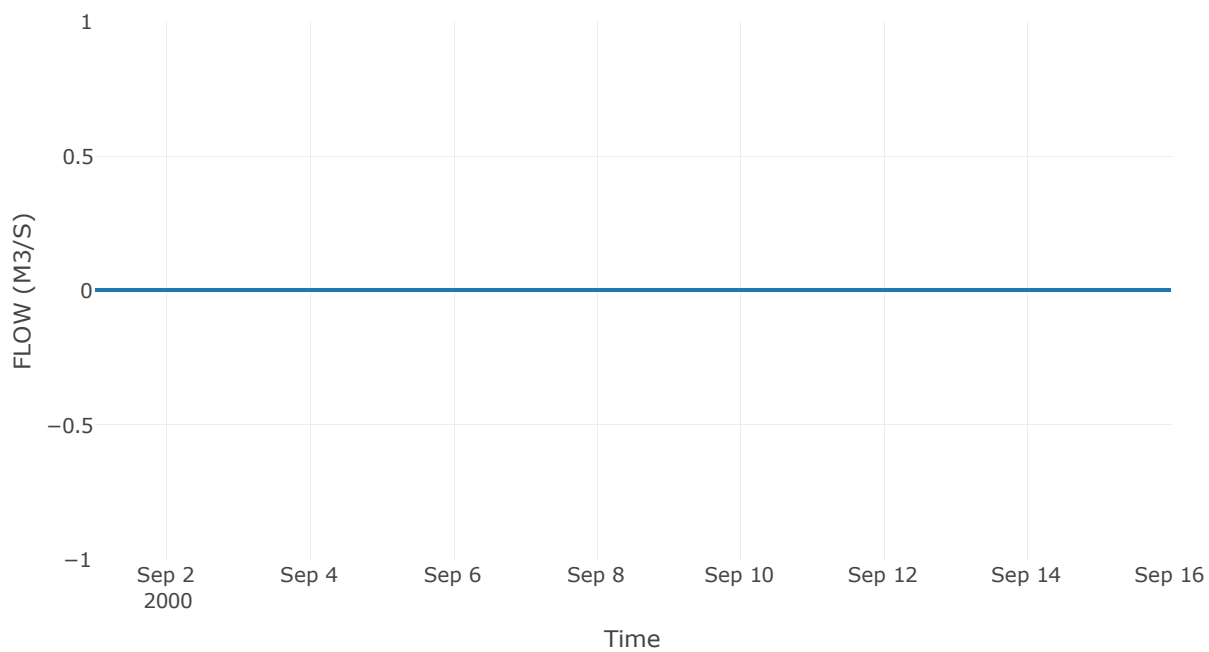
Παροχή Αιχμής (M3/S)

0

Χρονική στιγμή αιχμής

31Aug2000, 24:00

Απορροή

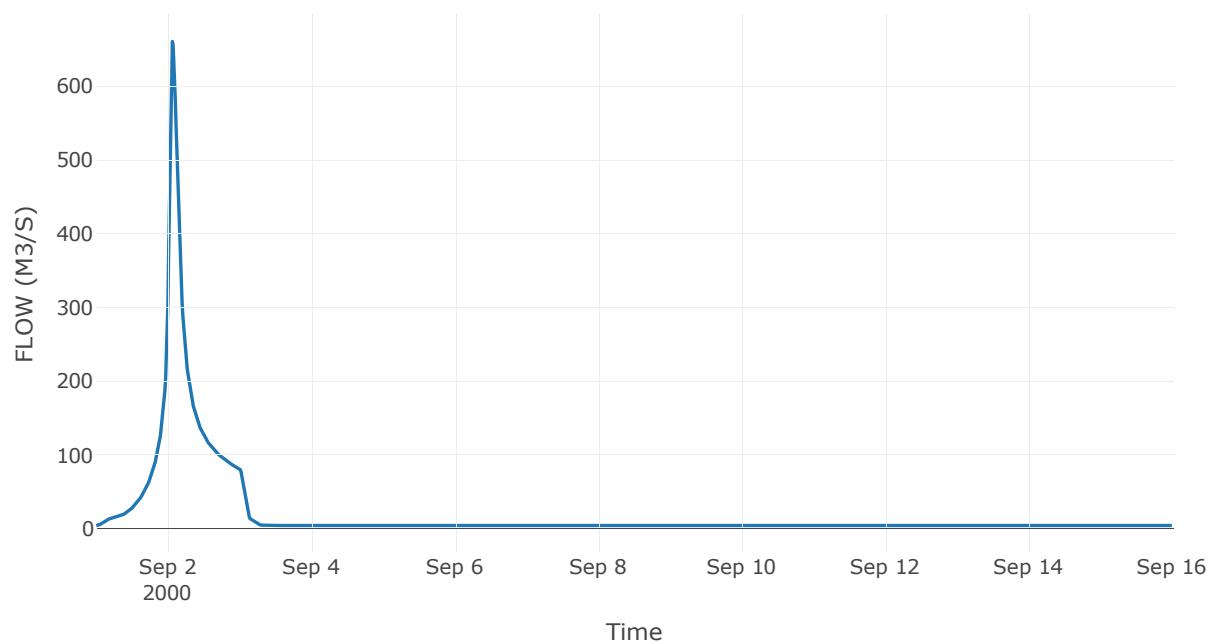


Κόμβος εξόδου: J40

Αποτελέσματ
α: J40

Παροχή αιχμής (M3/S)	660.68
Χρονική στιγμή αιχμής	02Sep2000, 01:30
Όγκος (MM)	179.42

Απορροή



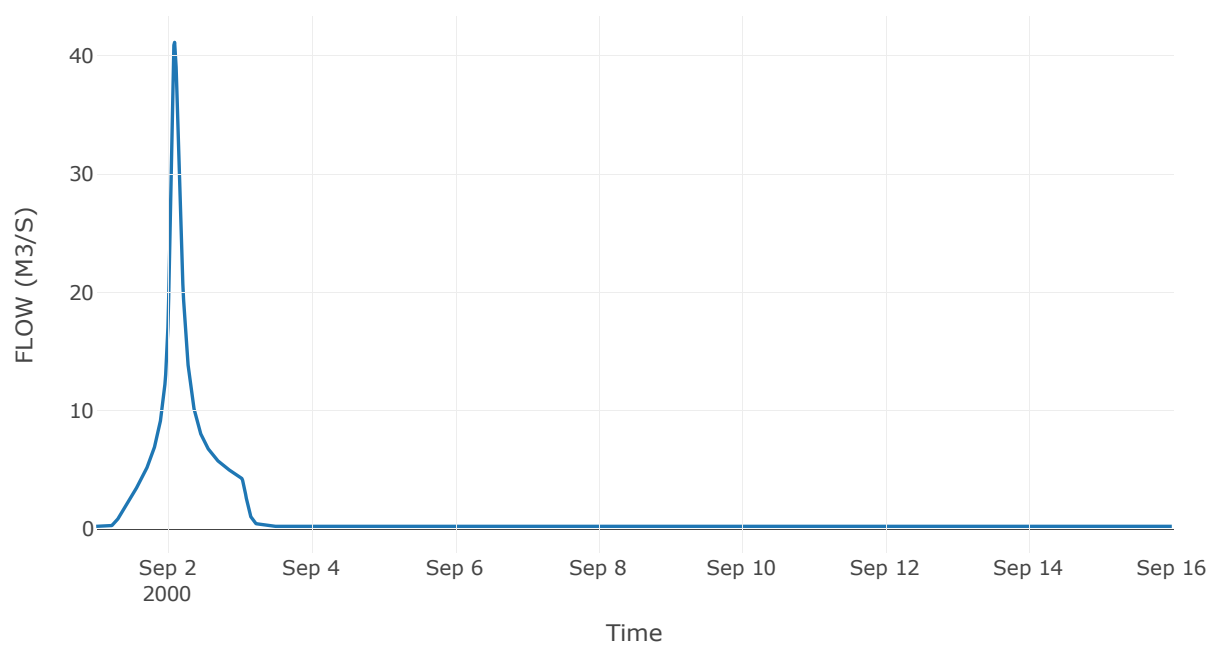
Κόμβος: J5

Κατάντη : R540

Αποτελέσματα: J5

Παροχή Αιχμής (M3/S)	41.11
Χρονική στιγμή αιχμής	02Sep2000, 02:15
Όγκος(MM)	207.45

Απορροή



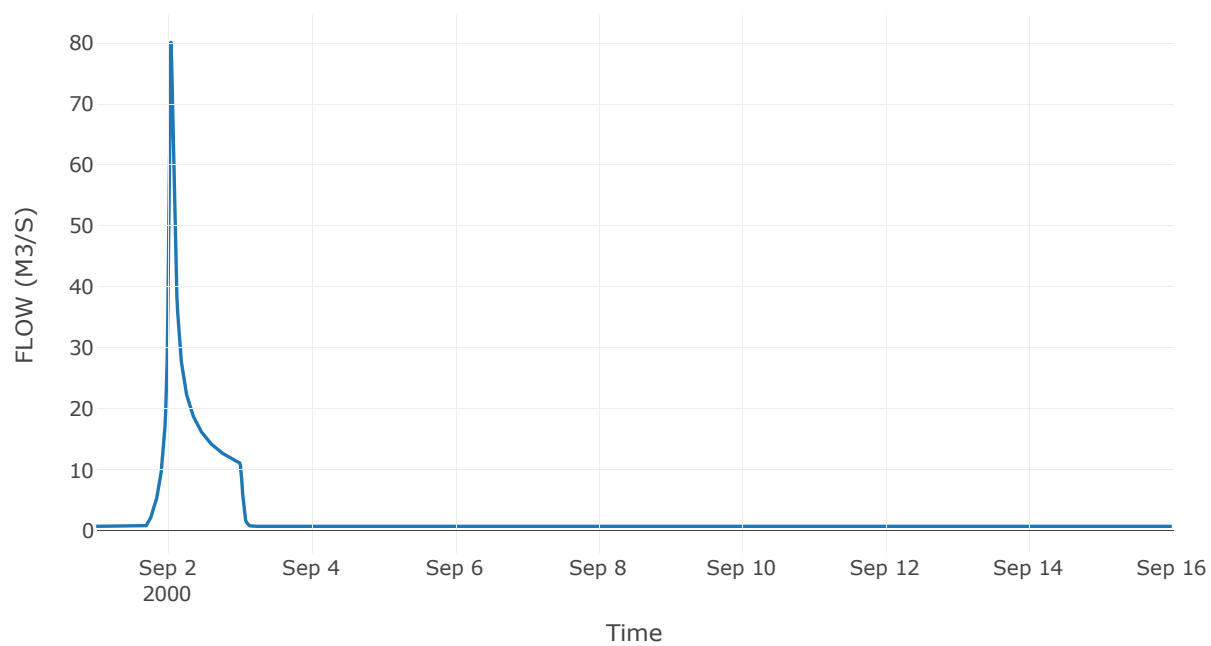
Κόμβος: J6

Κατάντη : R640

Αποτελέσματα: J6

Παροχή Αιχμής (M3/S)	80.09
Χρονική στιγμή αιχμής	02Sep2000, 01:00
Όγκος(MM)	118.48

Απορροή



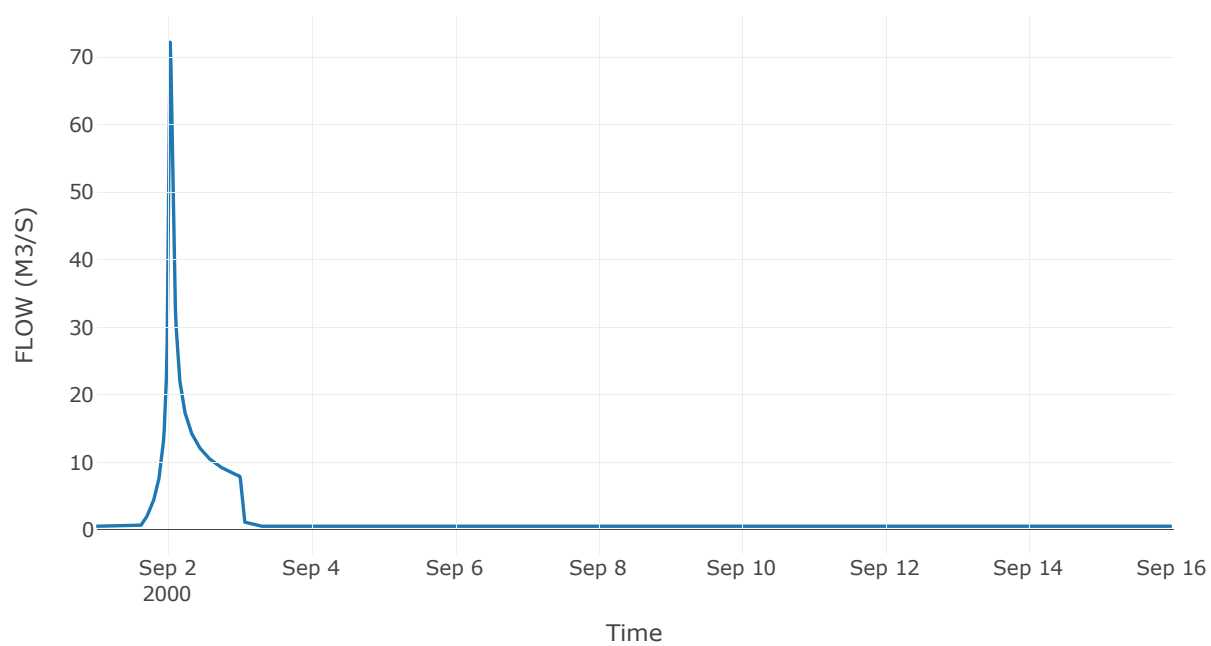
Κόμβος: J7

Κατάντη : R740

Αποτελέσματα: J7

Παροχή Αιχμής (M3/S)	72.21
Χρονική στιγμή αιχμής	02Sep2000, 00:45
Όγκος(MM)	133.76

Απορροή



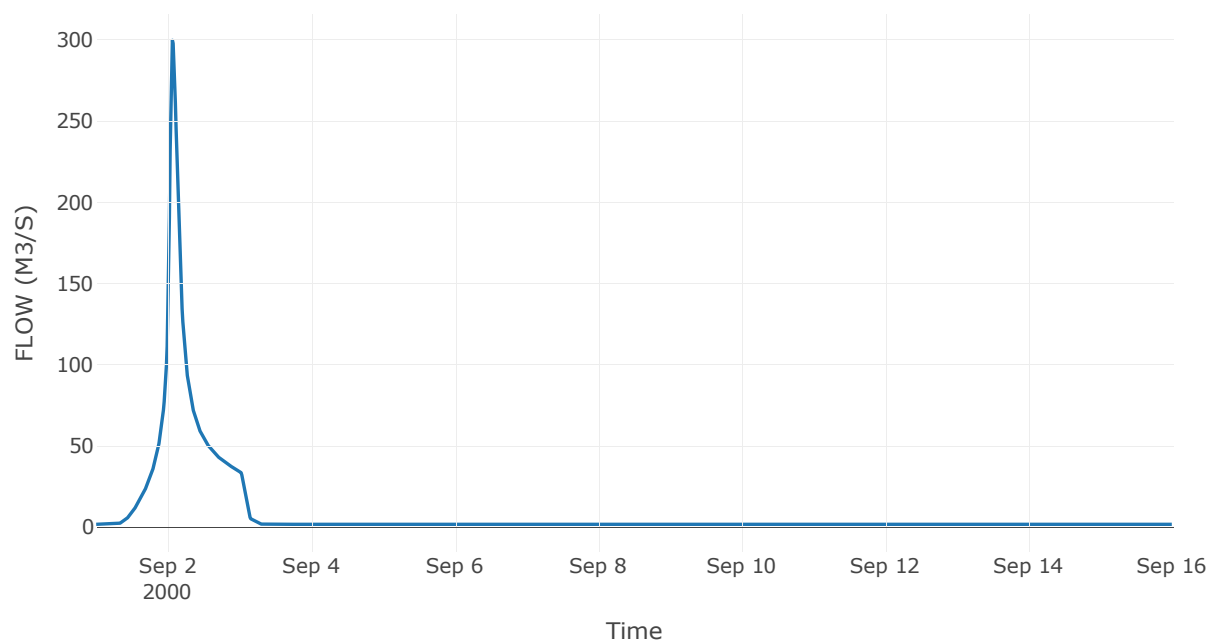
Κόμβος: J8

Κατάντη : R840

Αποτελέσματα: J8

Παροχή Αιχμής (M3/S)	299.74
Χρονική στιγμή αιχμής	02Sep2000, 01:30
Όγκος(MM)	195.58

Απορροή



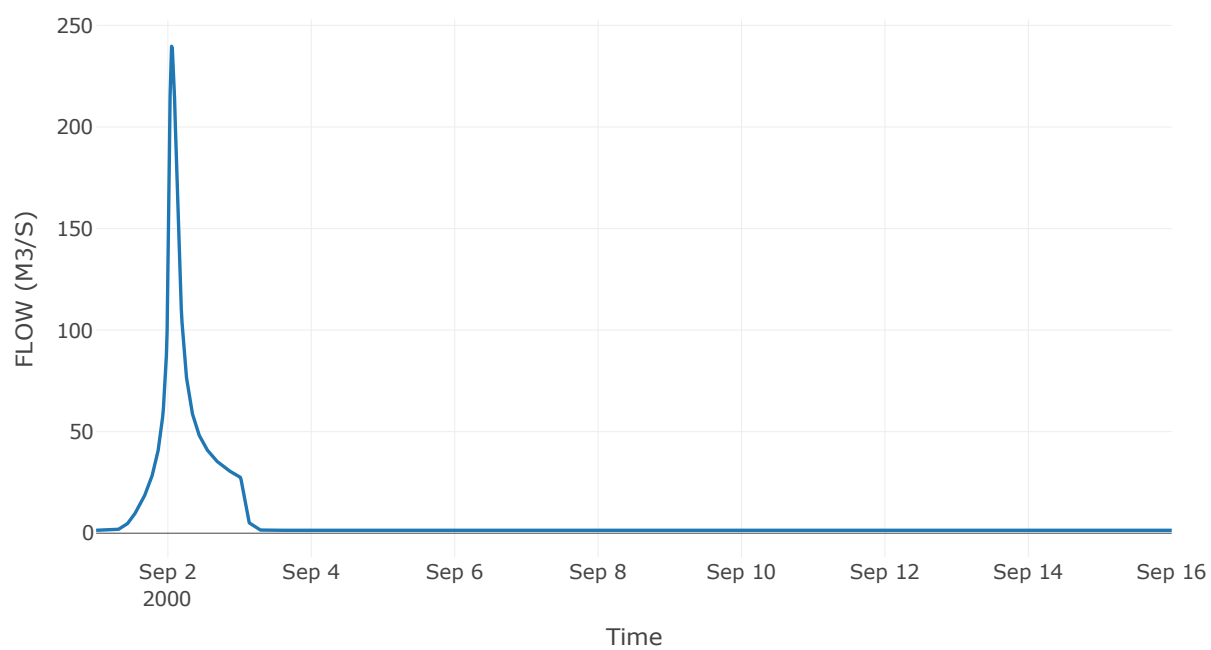
Κόμβος: J9

Κατάντη : R98

Αποτελέσματα: J9

Παροχή Αιχμής (M3/S)	239.75
Χρονική στιγμή αιχμής	02Sep2000, 01:15
Όγκος(MM)	197.41

Απορροή



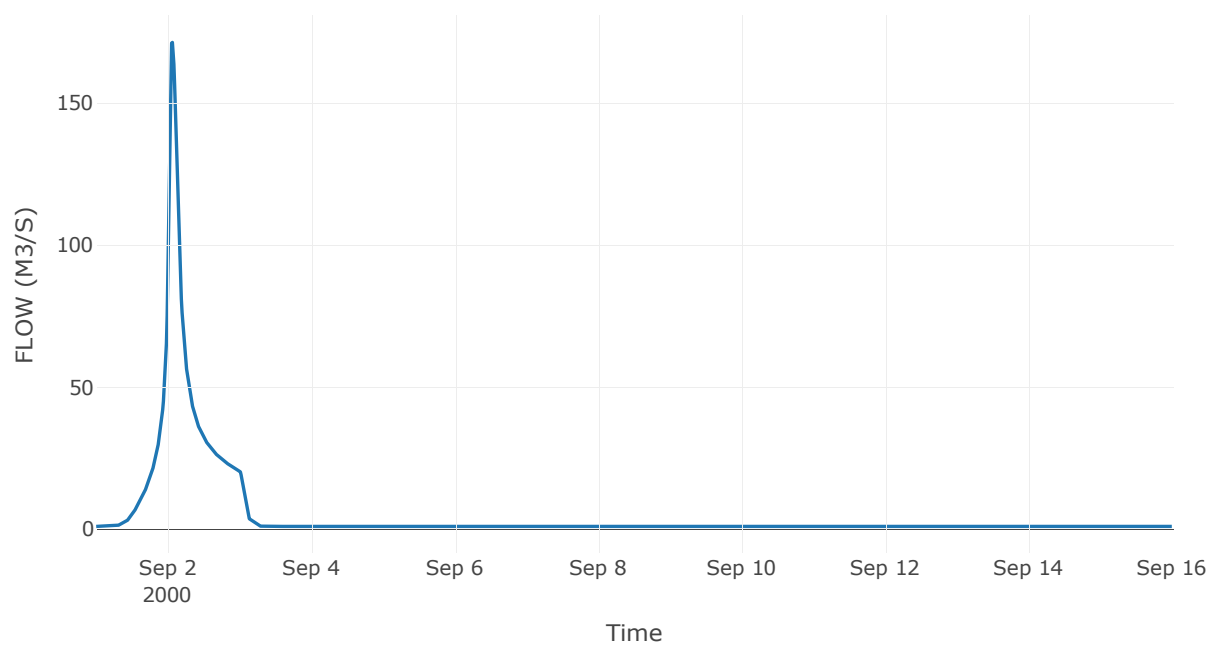
Κόμβος: J10

Κατάντη : R109

Αποτελέσματα: J10

Παροχή Αιχμής (M3/S)	171.34
Χρονική στιγμή αιχμής	02Sep2000, 01:30
Όγκος(MM)	198.56

Απορροή



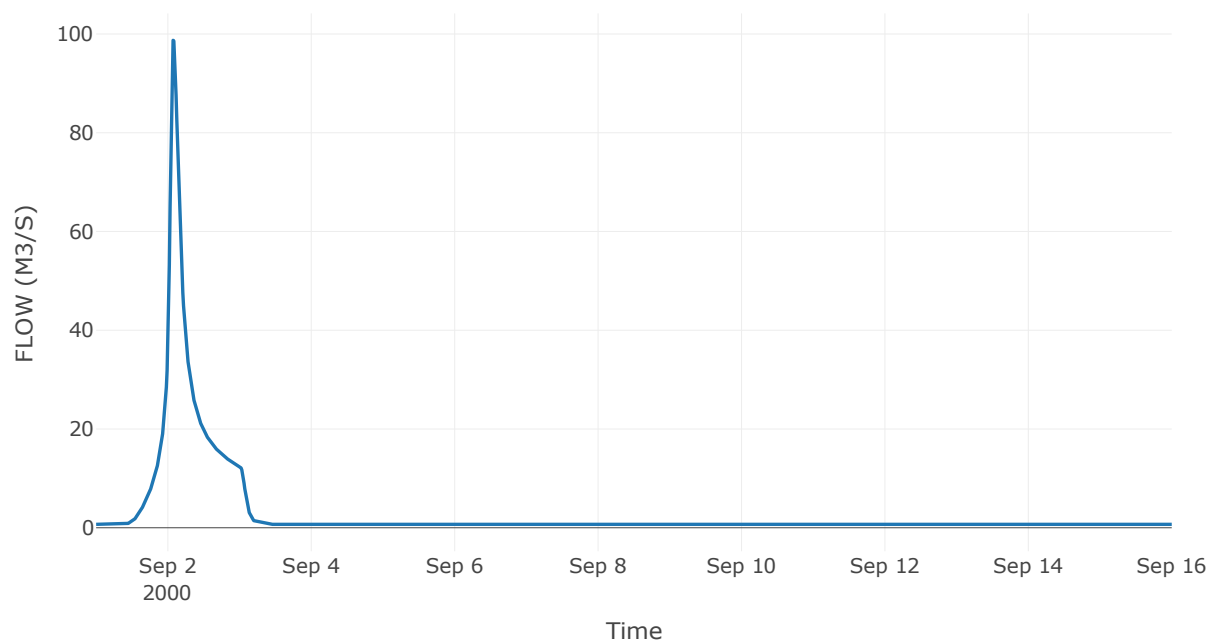
Κόμβος: J11

Κατάντη : R1140

Αποτελέσματα: J11

Παροχή Αιχμής (M3/S)	98.72
Χρονική στιγμή αιχμής	02Sep2000, 01:45
Όγκος(MM)	175.01

Απορροή



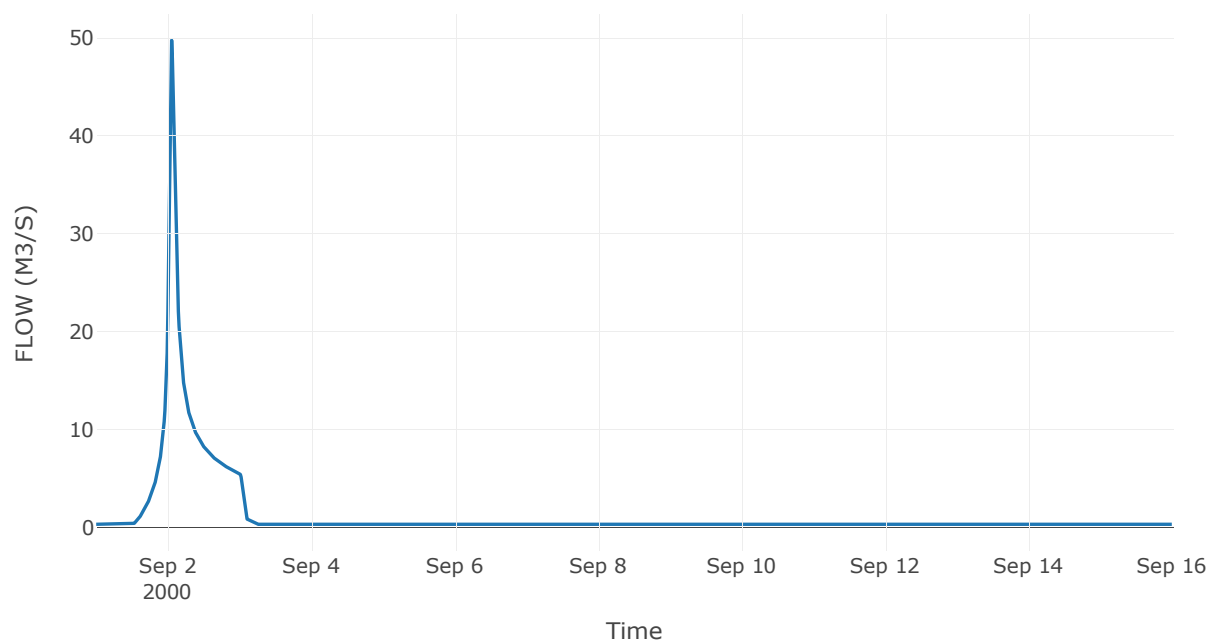
Κόμβος: J12

Κατάντη : R1211

Αποτελέσματα: J12

Παροχή Αιχμής (M3/S)	49.74
Χρονική στιγμή αιχμής	02Sep2000, 01:15
Όγκος(MM)	166.37

Απορροή



6 Δεδομένα εισόδου και αποτελέσματα υδρολογικού σεναρίου T=100L

6.1 Αποτελέσματα, υετογραφήματα και υδρογραφήματα σχεδιασμού υπολεκανών

Υπολεκάνη: EL0514FL002001

Έκταση (KM2) : 61.13

Κατάντη : J1

Μέθοδος Απωλειών: SCS

Ποσοστό αδιαπέρατης επιφάνειας	0
Αριθμός Καμπύλης Απορροής-CN	40.56
Αρχικές Απώλειες	74.44

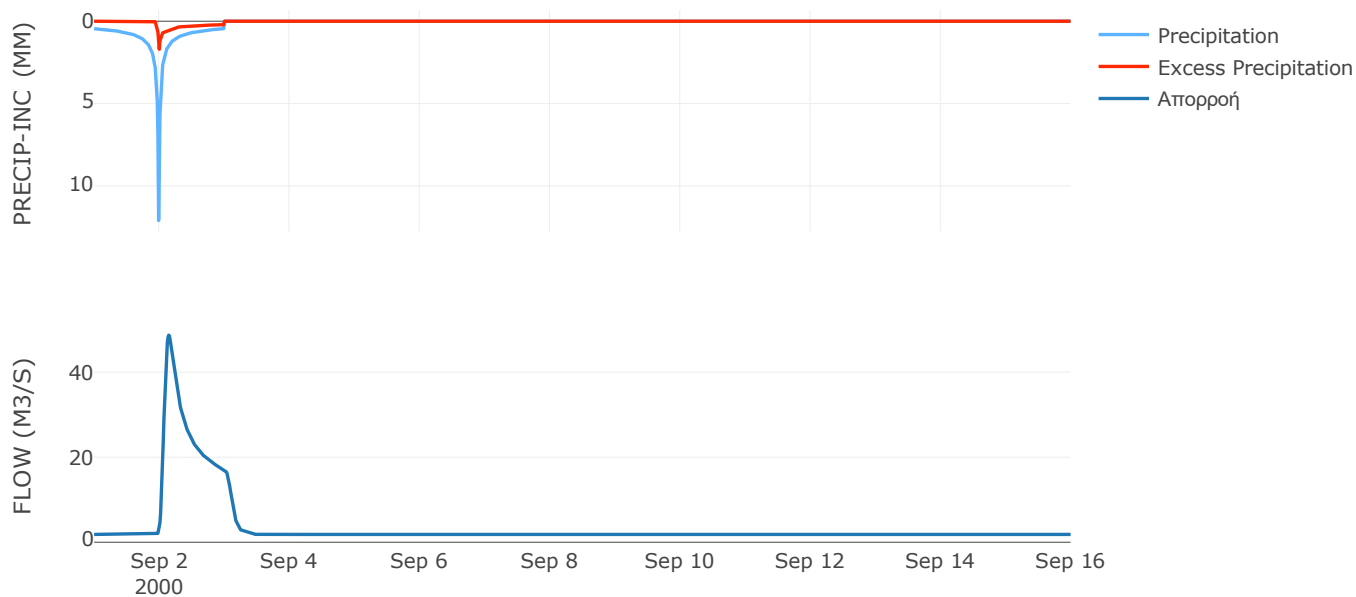
Μέθοδος
Μετασχηματισμού: SCS

Χρόνος Υστέρησης	149.68
------------------	--------

Αποτελέσματα:
EL0514FL002001

Παροχή αιχμής (M3/S)	48.71
Χρονική στιγμή αιχμής	02Sep2000, 03:30
Όγκος (MM)	75.82
Όγκος βροχόπτωσης (M3)	1.29E7
Όγκος απωλειών (M3)	1.07E7
Ενεργός Όγκος (M3)	2.26E6
Όγκος άμεσης απορροής (M3)	2.26E6
Όγκος βασικής απορροής (M3)	2.38E6

Βροχόπτωση και Απορροή



Υπολεκάνη: EL0514FL002002

Έκταση (KM2) : 42.33

Κατάντη : J2

Μέθοδος Απωλειών: SCS

Ποσοστό αδιαπέρατης επιφάνειας	0
Αριθμός Καμπύλης Απορροής-CN	35.43
Αρχικές Απώλειες	92.58

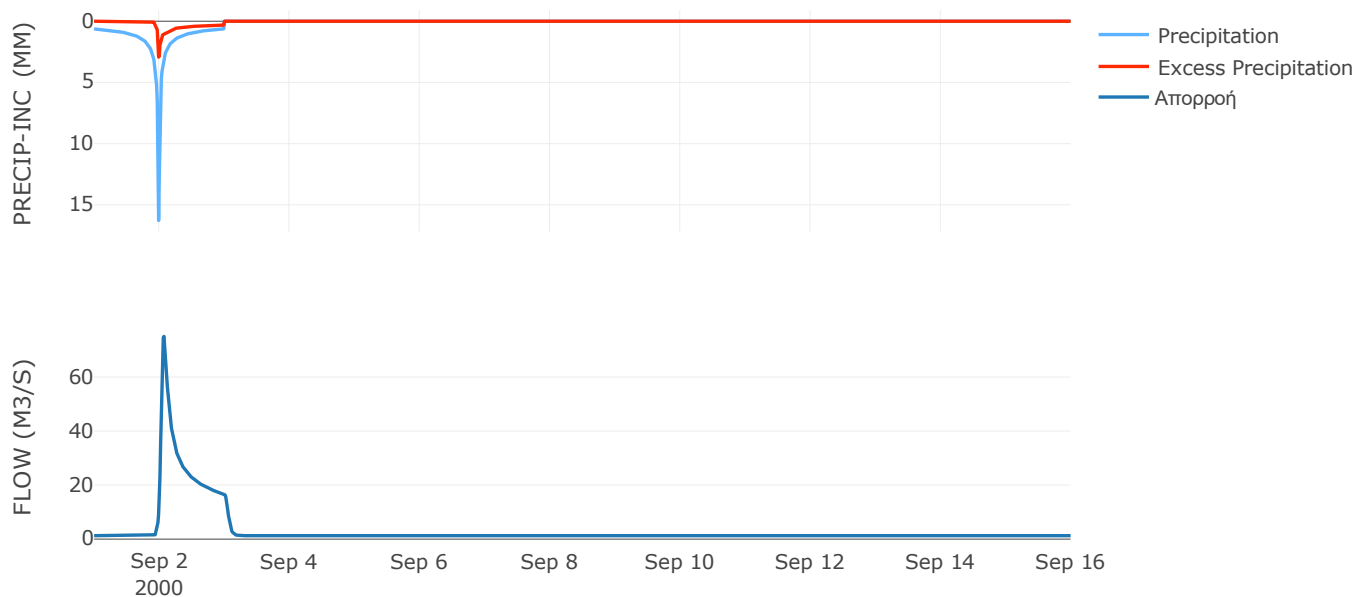
Μέθοδος
Μετασχηματισμού: SCS

Χρόνος Υστέρησης	75.59
------------------	-------

Αποτελέσματα:
EL0514FL002002

Παροχή αιχμής (M3/S)	75.06
Χρονική στιγμή αιχμής	02Sep2000, 01:45
Όγκος (MM)	97.67
Όγκος βροχόπτωσης (M3)	1.23E7
Όγκος απωλειών (M3)	9.77E6
Ενεργός Όγκος (M3)	2.49E6
Όγκος άμεσης απορροής (M3)	2.49E6
Όγκος βασικής απορροής (M3)	1.65E6

Βροχόπτωση και Απορροή



Υπολεκάνη: EL0514FL002003

Έκταση (KM2) : 48.23

Κατάντη : J2

Μέθοδος Απωλειών: SCS

Ποσοστό αδιαπέρατης επιφάνειας	0
Αριθμός Καμπύλης Απορροής-CN	49.79
Αρχικές Απώλειες	51.23

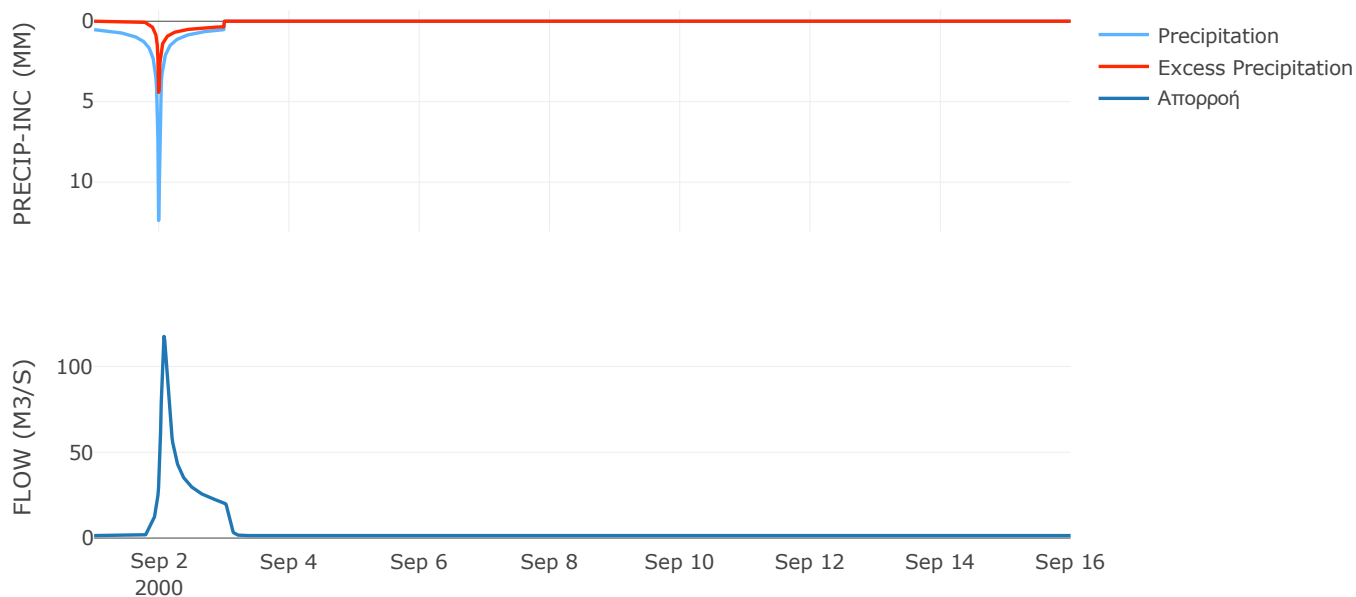
Μέθοδος
Μετασχηματισμού: SCS

Χρόνος Υστέρησης	88.62
------------------	-------

Αποτελέσματα:
EL0514FL002003

Παροχή αιχμής (M3/S)	117.5
Χρονική στιγμή αιχμής	02Sep2000, 01:45
Όγκος (MM)	115.69
Όγκος βροχόπτωσης (M3)	1.13E7
Όγκος απωλειών (M3)	7.63E6
Ενεργός Όγκος (M3)	3.7E6
Όγκος άμεσης απορροής (M3)	3.7E6
Όγκος βασικής απορροής (M3)	1.88E6

Βροχόπτωση και Απορροή



Υπολεκάνη: EL0514FL002004

Έκταση (KM2) : 33.76

Κατάντη : J3

Μέθοδος Απωλειών: SCS

Ποσοστό αδιαπέρατης επιφάνειας	0
Αριθμός Καμπύλης Απορροής-CN	47.45
Αρχικές Απώλειες	56.25

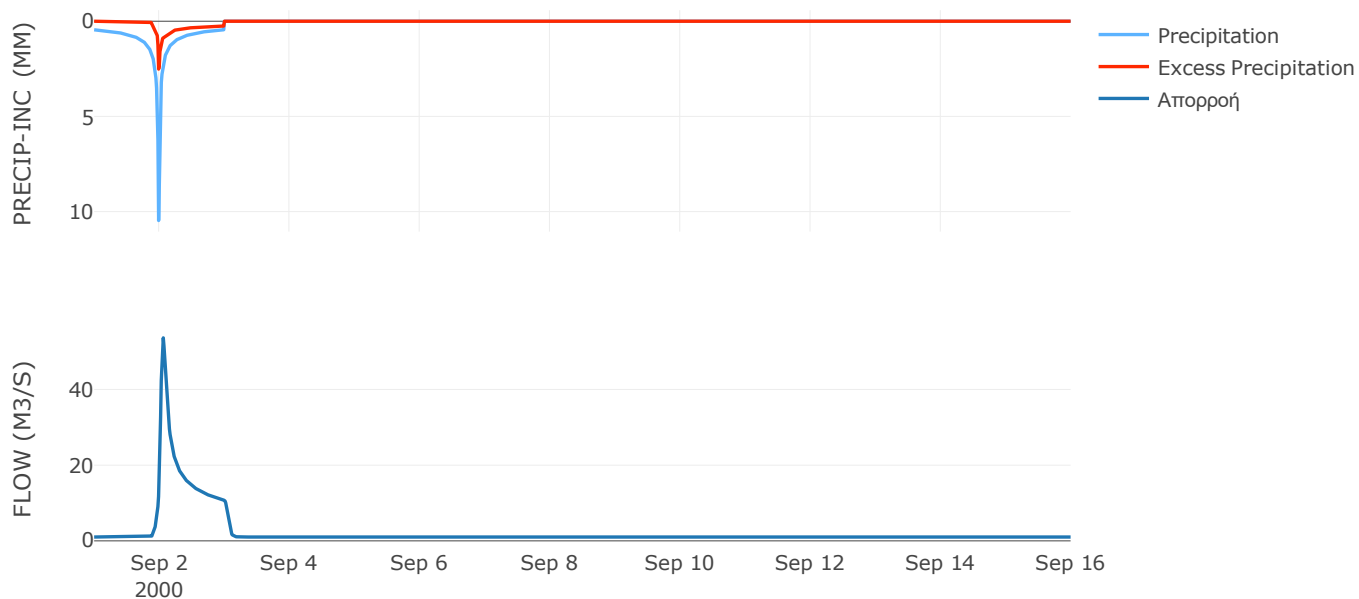
Μέθοδος
Μετασχηματισμού: SCS

Χρόνος Υστέρησης	67.52
------------------	-------

Αποτελέσματα:
EL0514FL002004

Παροχή αιχμής (M3/S)	53.64
Χρονική στιγμή αιχμής	02Sep2000, 01:30
Όγκος (MM)	87.74
Όγκος βροχόπτωσης (M3)	6.77E6
Όγκος απωλειών (M3)	5.12E6
Ενεργός Όγκος (M3)	1.65E6
Όγκος άμεσης απορροής (M3)	1.65E6
Όγκος βασικής απορροής (M3)	1.31E6

Βροχόπτωση και Απορροή



Υπολεκάνη: EL0514FL002005

Έκταση (KM2) : 26.27

Κατάντη : J6

Μέθοδος Απωλειών: SCS

Ποσοστό αδιαπέρατης επιφάνειας	0
Αριθμός Καμπύλης Απορροής-CN	33.81
Αρχικές Απώλειες	99.46

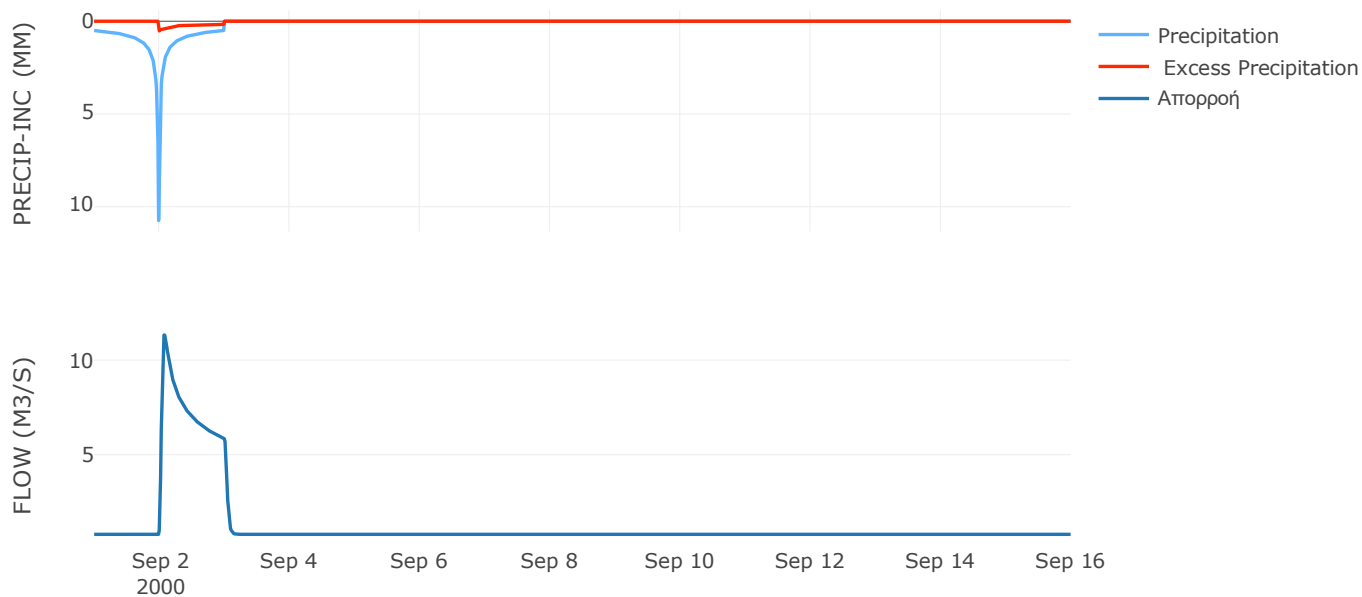
Μέθοδος
Μετασχηματισμού: SCS

Χρόνος Υστέρησης	52.09
------------------	-------

Αποτελέσματα:
EL0514FL002005

Παροχή αιχμής (M3/S)	11.33
Χρονική στιγμή αιχμής	02Sep2000, 01:45
Όγκος (MM)	61.18
Όγκος βροχόπτωσης (M3)	5.69E6
Όγκος απωλειών (M3)	5.1E6
Ενεργός Όγκος (M3)	5.86E5
Όγκος άμεσης απορροής (M3)	5.86E5
Όγκος βασικής απορροής (M3)	1.02E6

Βροχόπτωση και Απορροή



Υπολεκάνη: EL0514FL002006

Έκταση (KM2) : 17.48

Κατάντη : J7

Μέθοδος Απωλειών: SCS

Ποσοστό αδιαπέρατης επιφάνειας	0
Αριθμός Καμπύλης Απορροής-CN	37.94
Αρχικές Απώλειες	83.09

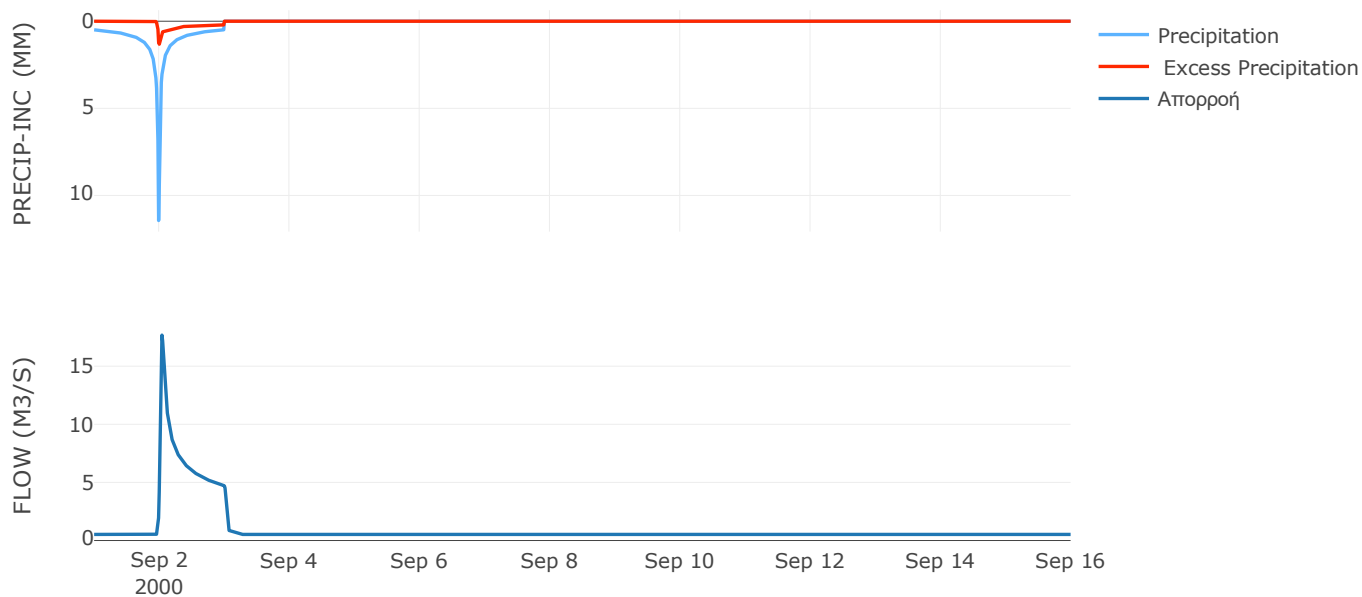
Μέθοδος
Μετασχηματισμού: SCS

Χρόνος Υστέρησης	42.14
------------------	-------

Αποτελέσματα:
EL0514FL002006

Παροχή αιχμής (M3/S)	17.67
Χρονική στιγμή αιχμής	02Sep2000, 01:00
Όγκος (MM)	72.59
Όγκος βροχόπτωσης (M3)	3.84E6
Όγκος απωλειών (M3)	3.25E6
Ενεργός Όγκος (M3)	5.89E5
Όγκος άμεσης απορροής (M3)	5.89E5
Όγκος βασικής απορροής (M3)	6.8E5

Βροχόπτωση και Απορροή



Υπολεκάνη: EL0514FL002007

Έκταση (KM2) : 12.13

Κατάντη : J8

Μέθοδος Απωλειών: SCS

Ποσοστό αδιαπέρατης επιφάνειας	0
Αριθμός Καμπύλης Απορροής-CN	61.06
Αρχικές Απώλειες	32.4

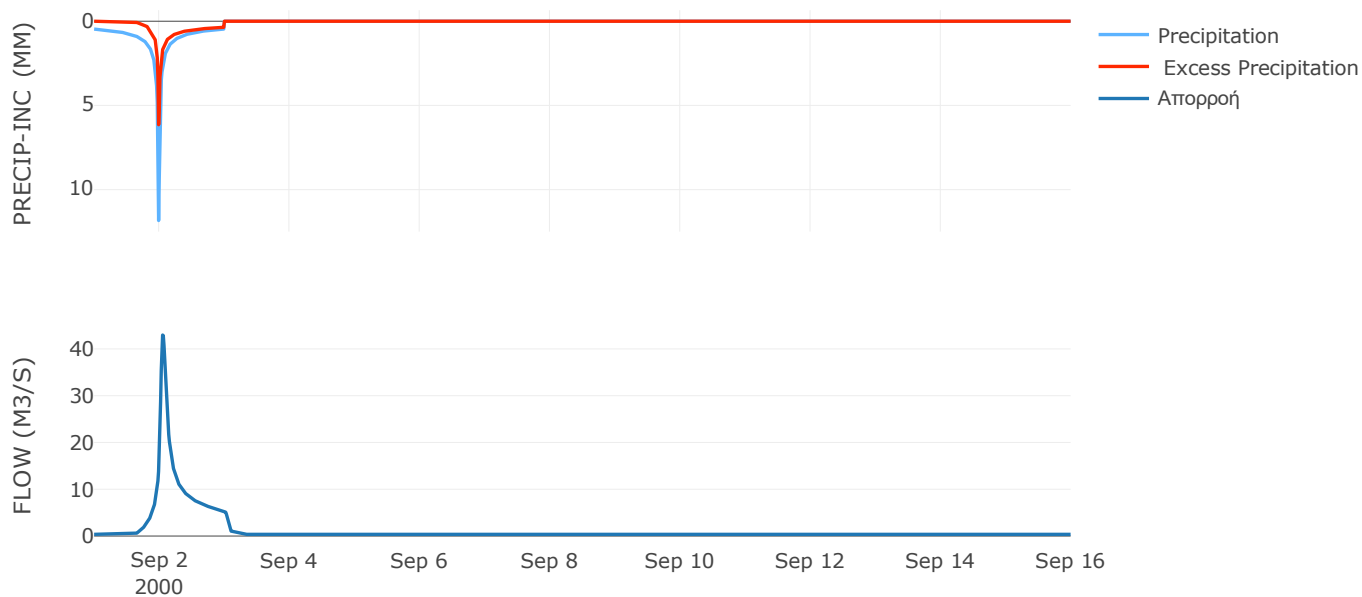
Μέθοδος
Μετασχηματισμού: SCS

Χρόνος Υστέρησης	73.34
------------------	-------

Αποτελέσματα:
EL0514FL002007

Παροχή αιχμής (M3/S)	42.97
Χρονική στιγμή αιχμής	02Sep2000, 01:15
Όγκος (MM)	134.73
Όγκος βροχόπτωσης (M3)	2.59E6
Όγκος απωλειών (M3)	1.43E6
Ενεργός Όγκος (M3)	1.16E6
Όγκος άμεσης απορροής (M3)	1.16E6
Όγκος βασικής απορροής (M3)	4.72E5

Βροχόπτωση και Απορροή



Υπολεκάνη: EL0514FL002008

Έκταση (KM2) : 8.45

Κατάντη : J5

Μέθοδος Απωλειών: SCS

Ποσοστό αδιαπέρατης επιφάνειας	0
Αριθμός Καμπύλης Απορροής-CN	77.22
Αρχικές Απώλειες	14.99

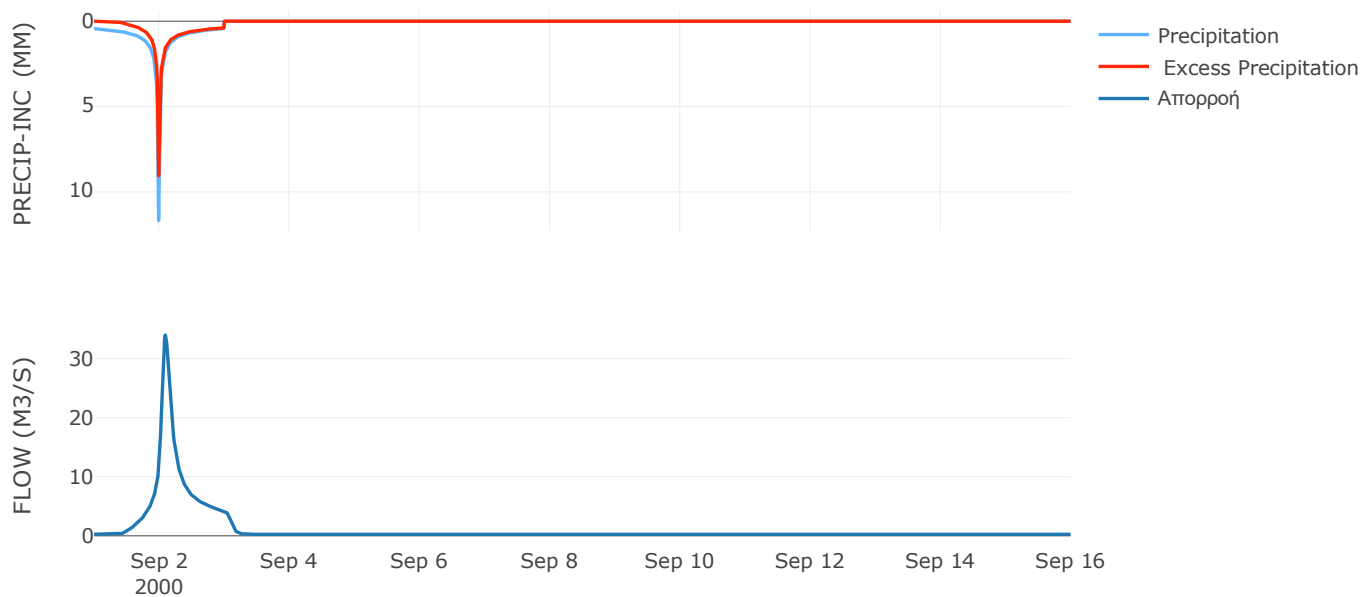
Μέθοδος
Μετασχηματισμού: SCS

Χρόνος Υστέρησης	126.59
------------------	--------

Αποτελέσματα:
EL0514FL002008

Παροχή αιχμής (M3/S)	33.98
Χρονική στιγμή αιχμής	02Sep2000, 02:15
Όγκος (MM)	172.38
Όγκος βροχόπτωσης (M3)	1.71E6
Όγκος απωλειών (M3)	5.79E5
Ενεργός Όγκος (M3)	1.13E6
Όγκος άμεσης απορροής (M3)	1.13E6
Όγκος βασικής απορροής (M3)	3.29E5

Βροχόπτωση και Απορροή



Υπολεκάνη: EL0514FL002009

Έκταση (KM2) : 19.86

Κατάντη : J40

Μέθοδος Απωλειών: SCS

Ποσοστό αδιαπέρατης επιφάνειας	95
Αριθμός Καμπύλης Απορροής-CN	99
Αρχικές Απώλειες	0.51

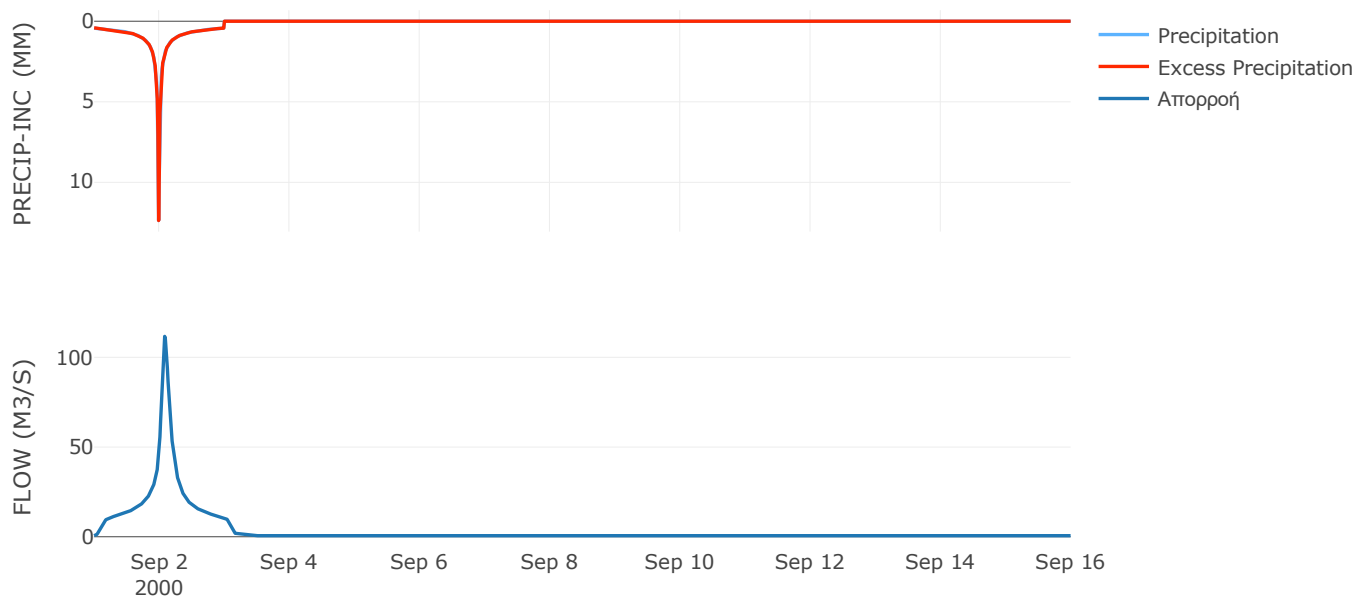
Μέθοδος
Μετασχηματισμού: SCS

Χρόνος Υστέρησης	118.34
------------------	--------

Αποτελέσματα:
EL0514FL002009

Παροχή αιχμής (M3/S)	111.68
Χρονική στιγμή αιχμής	02Sep2000, 02:00
Όγκος (MM)	244.43
Όγκος βροχόπτωσης (M3)	4.09E6
Όγκος απωλειών (M3)	3026
Ενεργός Όγκος (M3)	4.08E6
Όγκος άμεσης απορροής (M3)	4.08E6
Όγκος βασικής απορροής (M3)	7.72E5

Βροχόπτωση και Απορροή



Υπολεκάνη: EL0514FL002010

Έκταση (KM2) : 7.22

Κατάντη : J9

Μέθοδος Απωλειών: SCS

Ποσοστό αδιαπέρατης επιφάνειας	0
Αριθμός Καμπύλης Απορροής-CN	61.88
Αρχικές Απώλειες	31.29

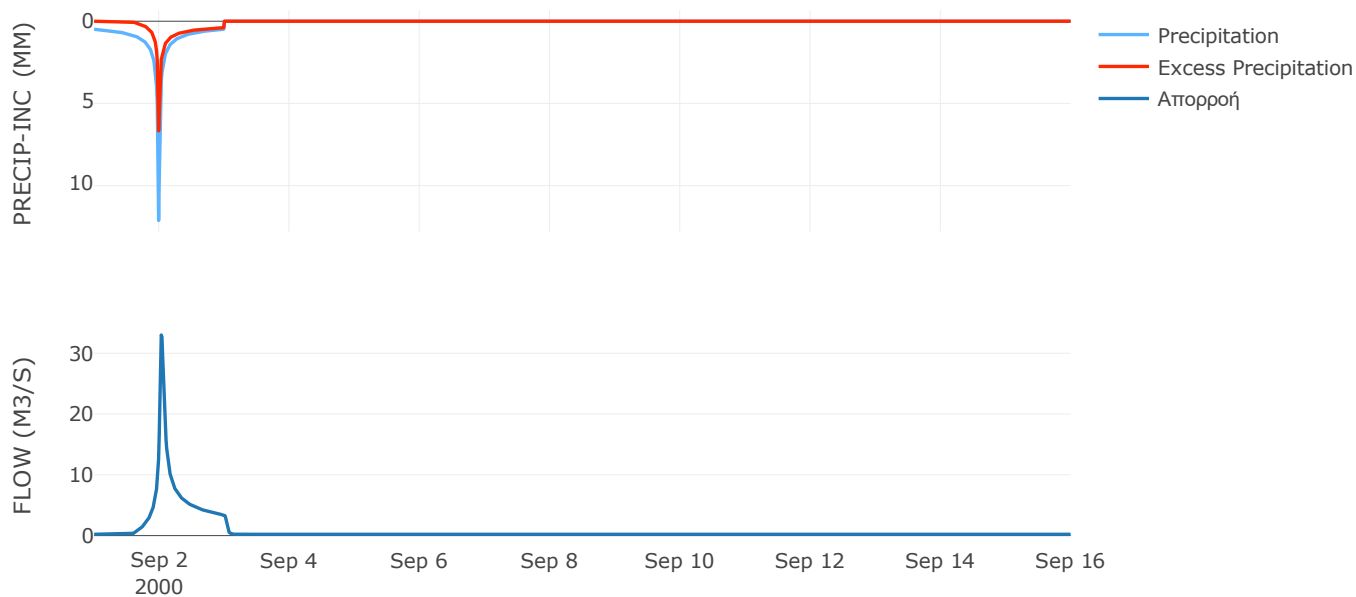
Μέθοδος
Μετασχηματισμού: SCS

Χρόνος Υστέρησης	46.78
------------------	-------

Αποτελέσματα:
EL0514FL002010

Παροχή αιχμής (M3/S)	33
Χρονική στιγμή αιχμής	02Sep2000, 00:45
Όγκος (MM)	143.94
Όγκος βροχόπτωσης (M3)	1.61E6
Όγκος απωλειών (M3)	8.47E5
Ενεργός Όγκος (M3)	7.59E5
Όγκος άμεσης απορροής (M3)	7.59E5
Όγκος βασικής απορροής (M3)	2.81E5

Βροχόπτωση και Απορροή



Υπολεκάνη: EL0514FL002011

Έκταση (KM2) : 8.8

Κατάντη : J10

Μέθοδος Απωλειών: SCS

Ποσοστό αδιαπέρατης επιφάνειας	0
Αριθμός Καμπύλης Απορροής-CN	63.69
Αρχικές Απώλειες	28.96

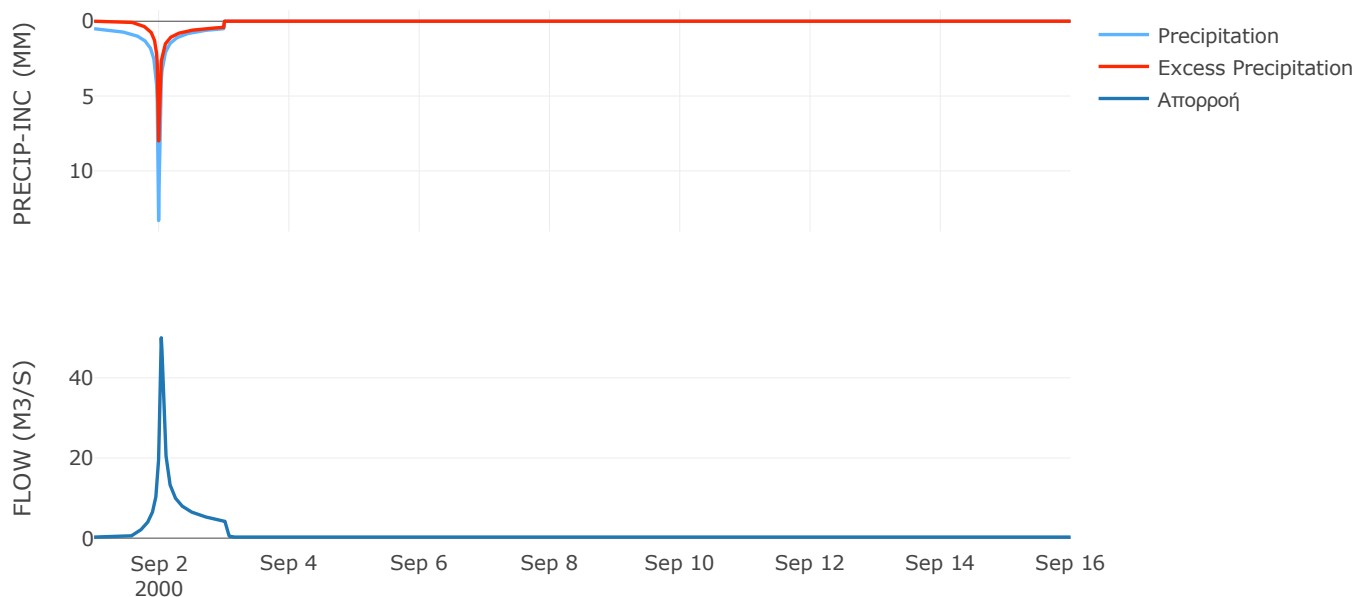
Μέθοδος
Μετασχηματισμού: SCS

Χρόνος Υστέρησης	41.15
------------------	-------

Αποτελέσματα:
EL0514FL002011

Παροχή αιχμής (M3/S)	49.99
Χρονική στιγμή αιχμής	02Sep2000, 00:45
Όγκος (MM)	158.39
Όγκος βροχόπτωσης (M3)	2.05E6
Όγκος απωλειών (M3)	1E6
Ενεργός Όγκος (M3)	1.05E6
Όγκος άμεσης απορροής (M3)	1.05E6
Όγκος βασικής απορροής (M3)	3.42E5

Βροχόπτωση και Απορροή



Υπολεκάνη: EL0514FL002012

Έκταση (KM2) : 5.8

Κατάντη : J9

Μέθοδος Απωλειών: SCS

Ποσοστό αδιαπέρατης επιφάνειας	0
Αριθμός Καμπύλης Απορροής-CN	55.56
Αρχικές Απώλειες	40.63

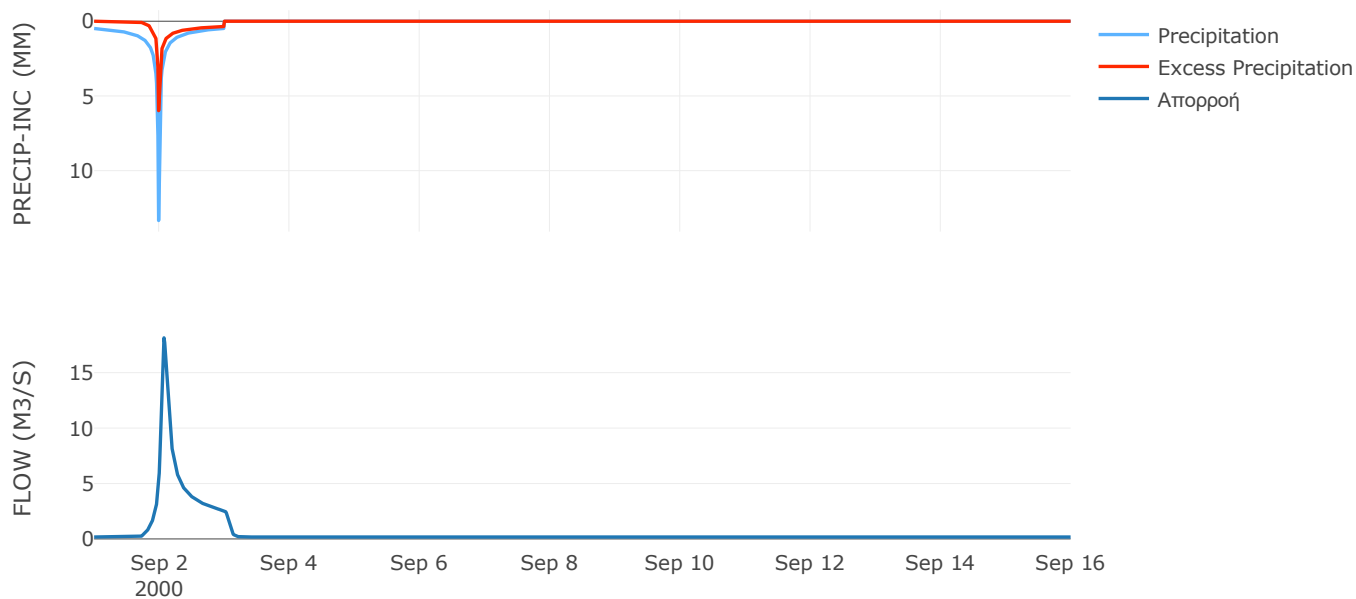
Μέθοδος
Μετασχηματισμού: SCS

Χρόνος Υστέρησης	89.95
------------------	-------

Αποτελέσματα:
EL0514FL002012

Παροχή αιχμής (M3/S)	18.14
Χρονική στιγμή αιχμής	02Sep2000, 01:45
Όγκος (MM)	129.23
Όγκος βροχόπτωσης (M3)	1.33E6
Όγκος απωλειών (M3)	8.02E5
Ενεργός Όγκος (M3)	5.24E5
Όγκος άμεσης απορροής (M3)	5.24E5
Όγκος βασικής απορροής (M3)	2.26E5

Βροχόπτωση και Απορροή



Υπολεκάνη: EL0514FL002013

Έκταση (KM2) : 26.26

Κατάντη : J10

Μέθοδος Απωλειών: SCS

Ποσοστό αδιαπέρατης επιφάνειας	0
Αριθμός Καμπύλης Απορροής-CN	51.48
Αρχικές Απώλειες	47.88

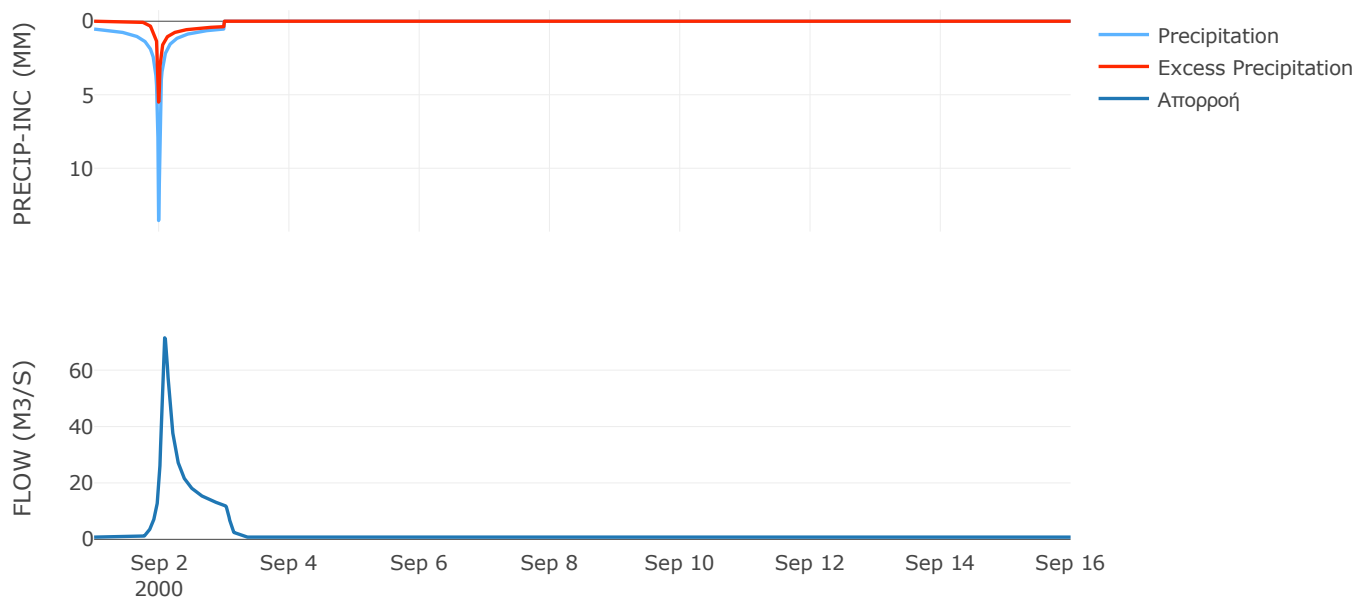
Μέθοδος
Μετασχηματισμού: SCS

Χρόνος Υστέρησης	106.56
------------------	--------

Αποτελέσματα:
EL0514FL002013

Παροχή αιχμής (M3/S)	71.47
Χρονική στιγμή αιχμής	02Sep2000, 02:00
Όγκος (MM)	127.65
Όγκος βροχόπτωσης (M3)	6.42E6
Όγκος απωλειών (M3)	4.09E6
Ενεργός Όγκος (M3)	2.33E6
Όγκος άμεσης απορροής (M3)	2.33E6
Όγκος βασικής απορροής (M3)	1.02E6

Βροχόπτωση και Απορροή



Υπολεκάνη: EL0514FL002014

Έκταση (KM2) : 10.15

Κατάντη : J12

Μέθοδος Απωλειών: SCS

Ποσοστό αδιαπέρατης επιφάνειας	0
Αριθμός Καμπύλης Απορροής-CN	42.15
Αρχικές Απώλειες	69.72

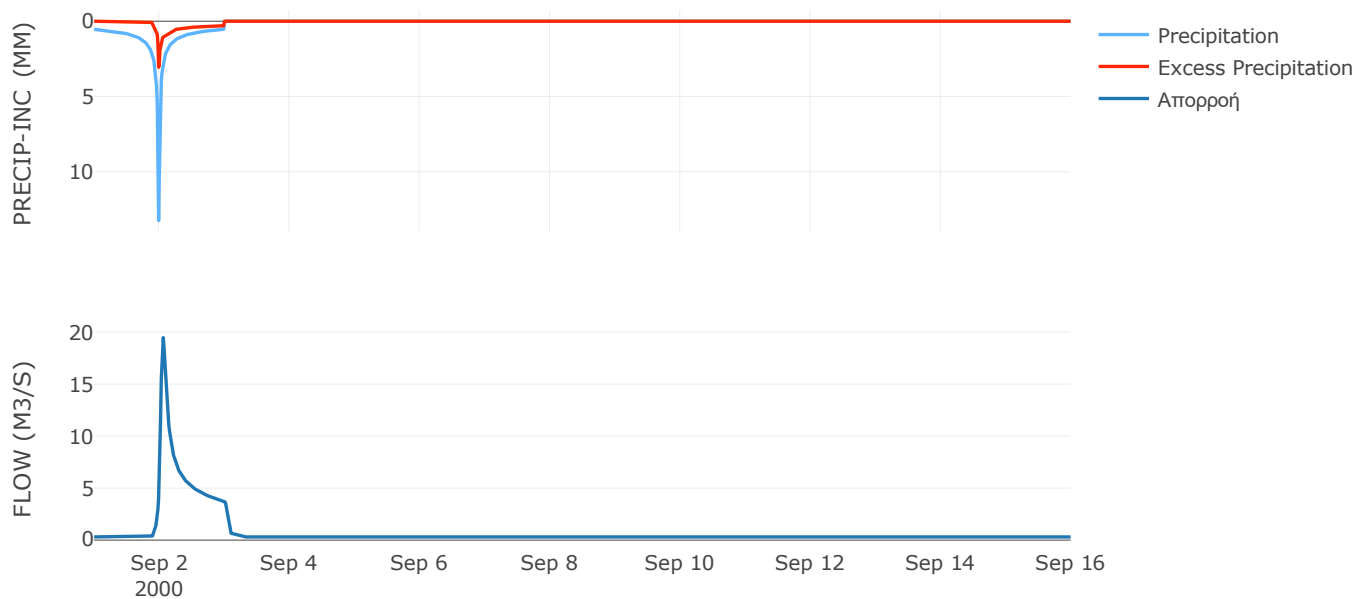
Μέθοδος
Μετασχηματισμού: SCS

Χρόνος Υστέρησης	66.5
------------------	------

Αποτελέσματα:
EL0514FL002014

Παροχή αιχμής (M3/S)	19.48
Χρονική στιγμή αιχμής	02Sep2000, 01:30
Όγκος (MM)	96.85
Όγκος βροχόπτωσης (M3)	2.47E6
Όγκος απωλειών (M3)	1.89E6
Ενεργός Όγκος (M3)	5.88E5
Όγκος άμεσης απορροής (M3)	5.88E5
Όγκος βασικής απορροής (M3)	3.95E5

Βροχόπτωση και Απορροή



Υπολεκάνη: EL0514FL002015

Έκταση (KM2) : 12.91

Κατάντη : J11

Μέθοδος Απωλειών: SCS

Ποσοστό αδιαπέρατης επιφάνειας	0
Αριθμός Καμπύλης Απορροής-CN	55.57
Αρχικές Απώλειες	40.61

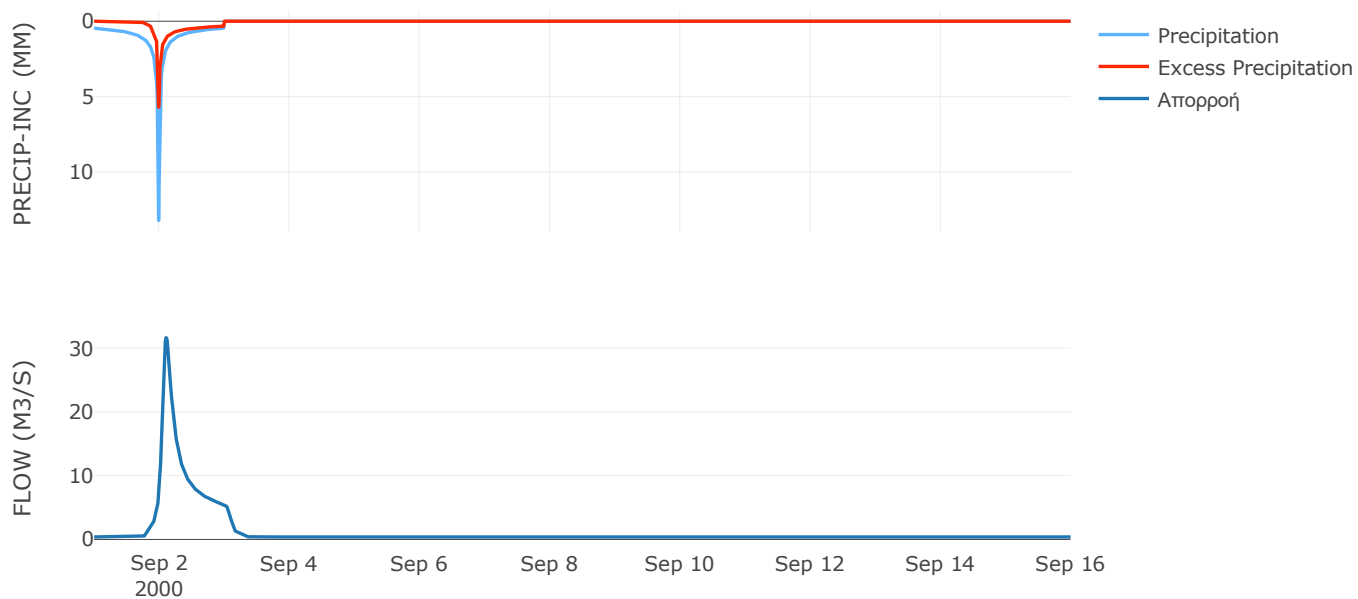
Μέθοδος
Μετασχηματισμού: SCS

Χρόνος Υστέρησης	133.38
------------------	--------

Αποτελέσματα:
EL0514FL002015

Παροχή αιχμής (M3/S)	31.64
Χρονική στιγμή αιχμής	02Sep2000, 02:30
Όγκος (MM)	123.05
Όγκος βροχόπτωσης (M3)	2.84E6
Όγκος απωλειών (M3)	1.75E6
Ενεργός Όγκος (M3)	1.09E6
Όγκος άμεσης απορροής (M3)	1.09E6
Όγκος βασικής απορροής (M3)	5.02E5

Βροχόπτωση και Απορροή



6.2 Δεδομένα και υδρογραφήματα σχεδιασμού Κλάδων υδρογραφικού δικτύου

Κλάδος: R21

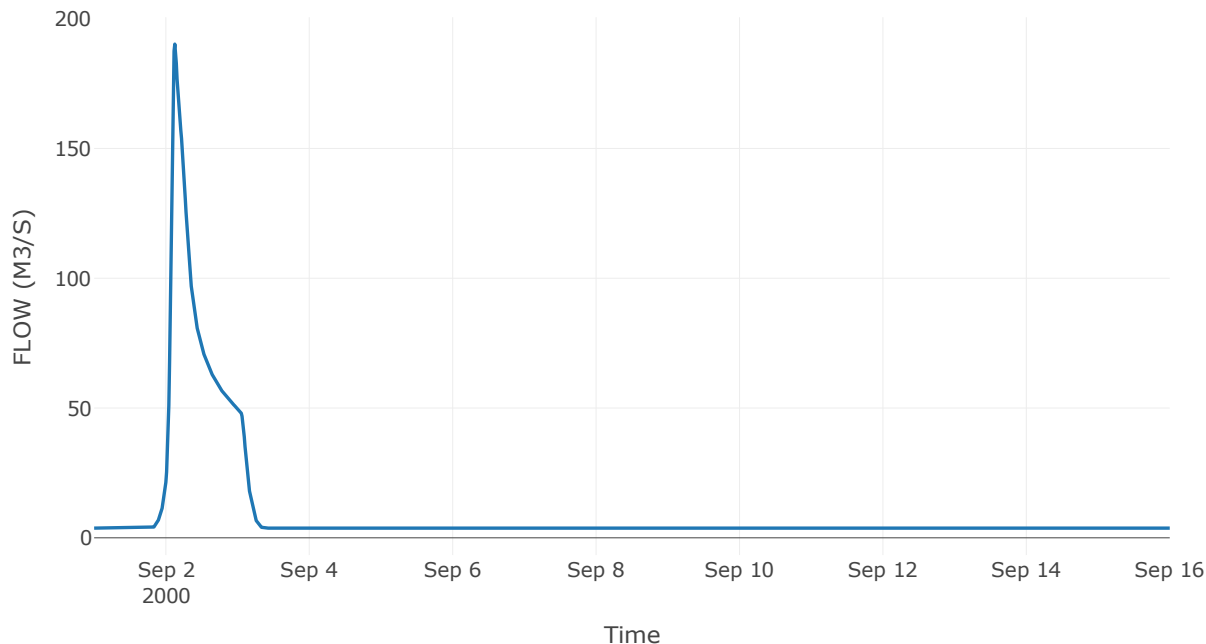
Κατάντη : J1

Μέθοδος Διόδευσης	Muskingum
Αρχική Μεταβλητή	Combined Inflow
Χρόνος Ροής Κ	1.14
Συντελεστής βάρους α	0.2
Πλήθος Υποκλάδων	5

Αποτελέσματα: R21

Παροχή Αιχμής (M3/S)	190.21
Χρονική στιγμή αιχμής	02Sep2000, 03:00
Όγκος(MM)	101.97
Παροχή Αιχμής Εισόδου (M3/S)	198.11
Όγκος Εισροής(M3)	1.27E7

Απορροή



Κλάδος: R32

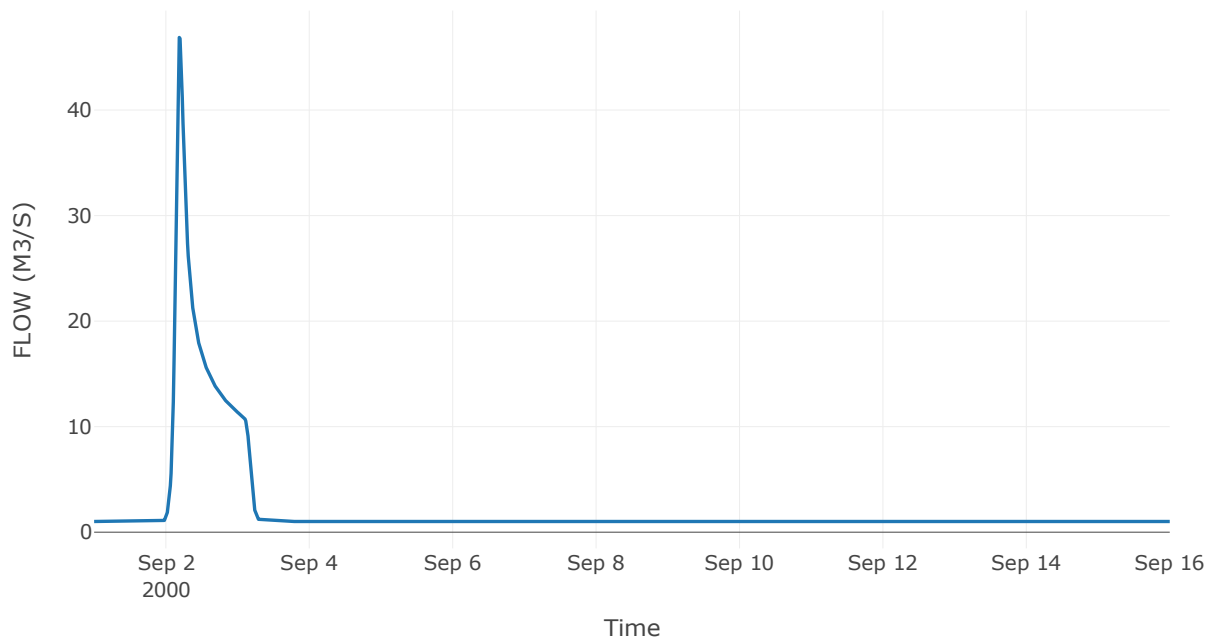
Κατάντη : J2

Μέθοδος Διόδευσης	Muskingum
Αρχική Μεταβλητή	Combined Inflow
Χρόνος Ροής K	3
Συντελεστής βάρους x	0.2
Πλήθος Υποκλάδων	13

Αποτελέσματα: R32

Παροχή Αιχμής (M3/S)	46.88
Χρονική στιγμή αιχμής	02Sep2000, 04:30
Όγκος(MM)	87.74
Παροχή Αιχμής Εισόδου (M3/S)	53.64
Όγκος Εισροής(M3)	2.96E6

Απορροή



Κλάδος: R43

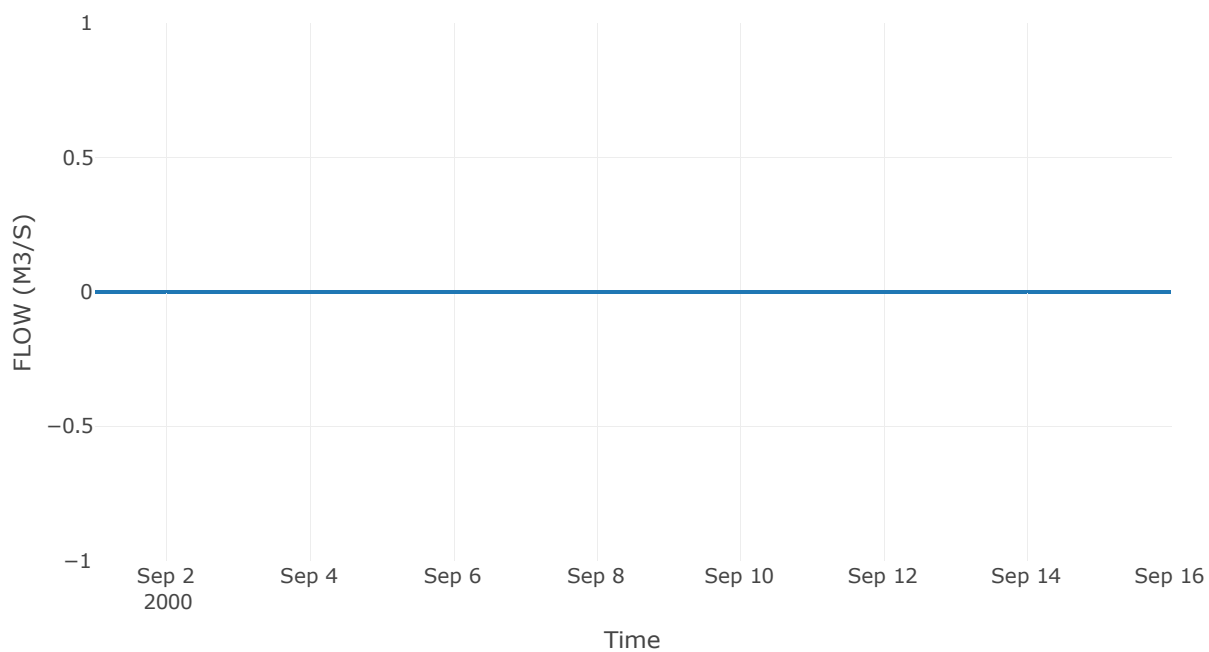
Κατάντη : J3

Μέθοδος Διόδευσης	Muskingum
Αρχική Μεταβλητή	Combined Inflow
Χρόνος Ροής K	3.84
Συντελεστής βάρους x	0.2
Πλήθος Υποκλάδων	16

Αποτελέσματα: R43

Παροχή Αιχμής (M3/S)	0
Χρονική στιγμή αιχμής	31Aug2000, 24:00
Peak Inflow (M3/S)	0
Όγκος Εισροής (M3)	0

Απορροή



Κλάδος: R540

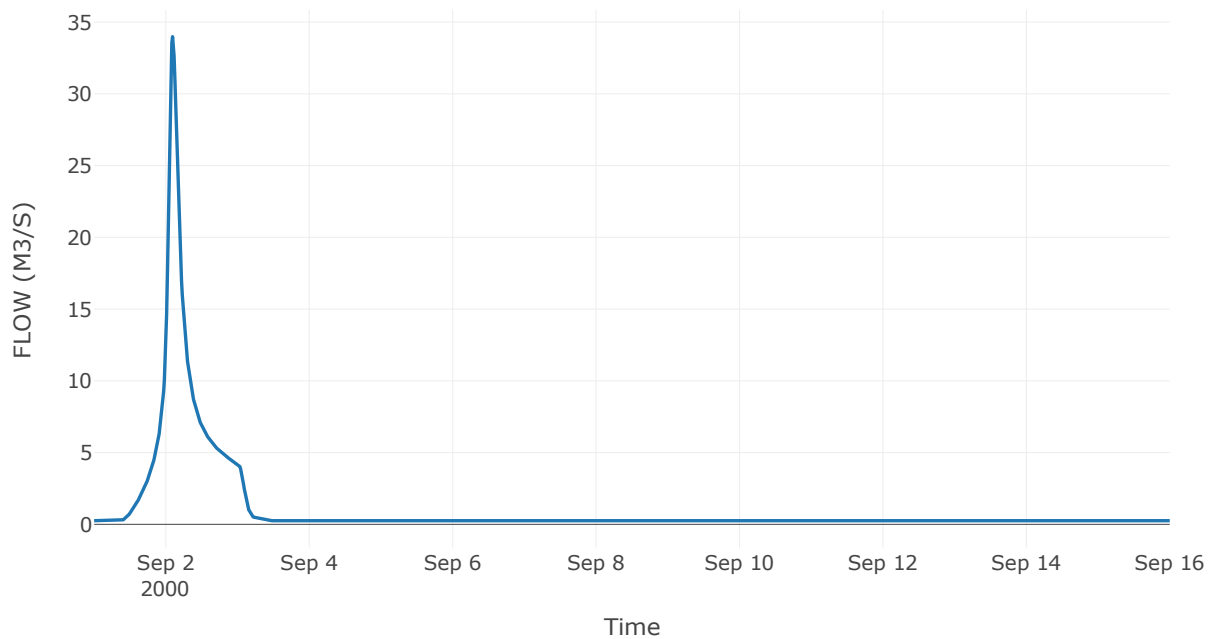
Κατάντη : J40

Μέθοδος Διόδευσης	Χρόνος
Αρχική Μεταβλητή	Combined Inflow
Χρόνος υστέρησης	0

Αποτελέσματα: R540

Παροχή Αιχμής (M3/S)	33.98
Χρονική στιγμή αιχμής	02Sep2000, 02:15
Όγκος(MM)	172.38
Παροχή Αιχμής Εισόδου (M3/S)	33.98
Όγκος Εισροής(M3)	1.46E6

Απορροή



Κλάδος: R640

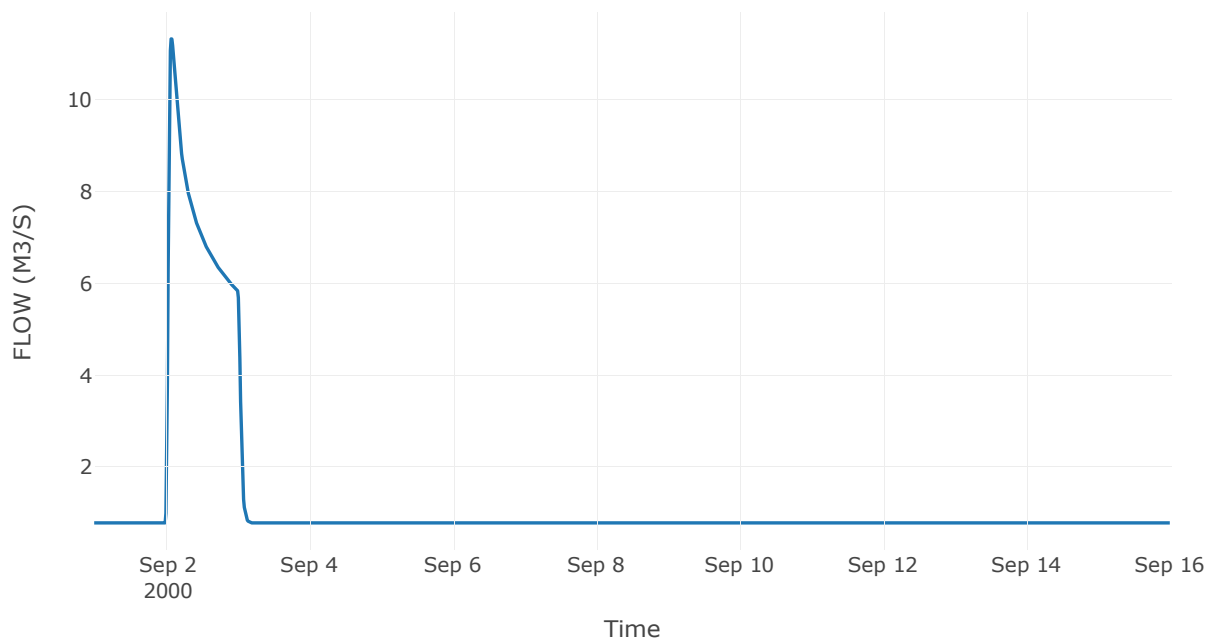
Κατάντη : J40

Μέθοδος Διόδευσης	Χρόνος
Αρχική Μεταβλητή	Combined Inflow
Χρόνος υστέρησης	0

Αποτελέσματα: R640

Παροχή Αιχμής (M3/S)	11.33
Χρονική στιγμή αιχμής	02Sep2000, 01:45
Όγκος(MM)	61.18
Παροχή Αιχμής Εισόδου (M3/S)	11.33
Όγκος Εισροής(M3)	1.61E6

Απορροή



Κλάδος: R740

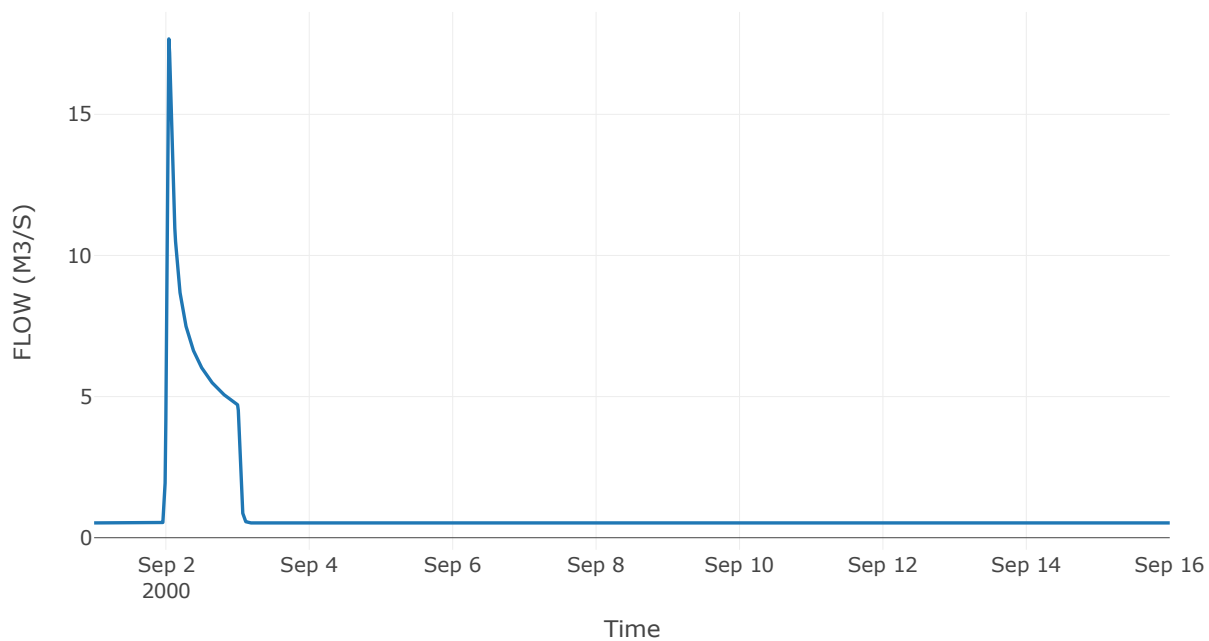
Κατάντη : J40

Μέθοδος Διόδευσης	Χρόνος
Αρχική Μεταβλητή	Combined Inflow
Χρόνος υστέρησης	0

Αποτελέσματα: R740

Παροχή Αιχμής (M3/S)	17.67
Χρονική στιγμή αιχμής	02Sep2000, 01:00
Όγκος(MM)	72.59
Παροχή Αιχμής Εισόδου (M3/S)	17.67
Όγκος Εισροής(M3)	1.27E6

Απορροή



Κλάδος: R840

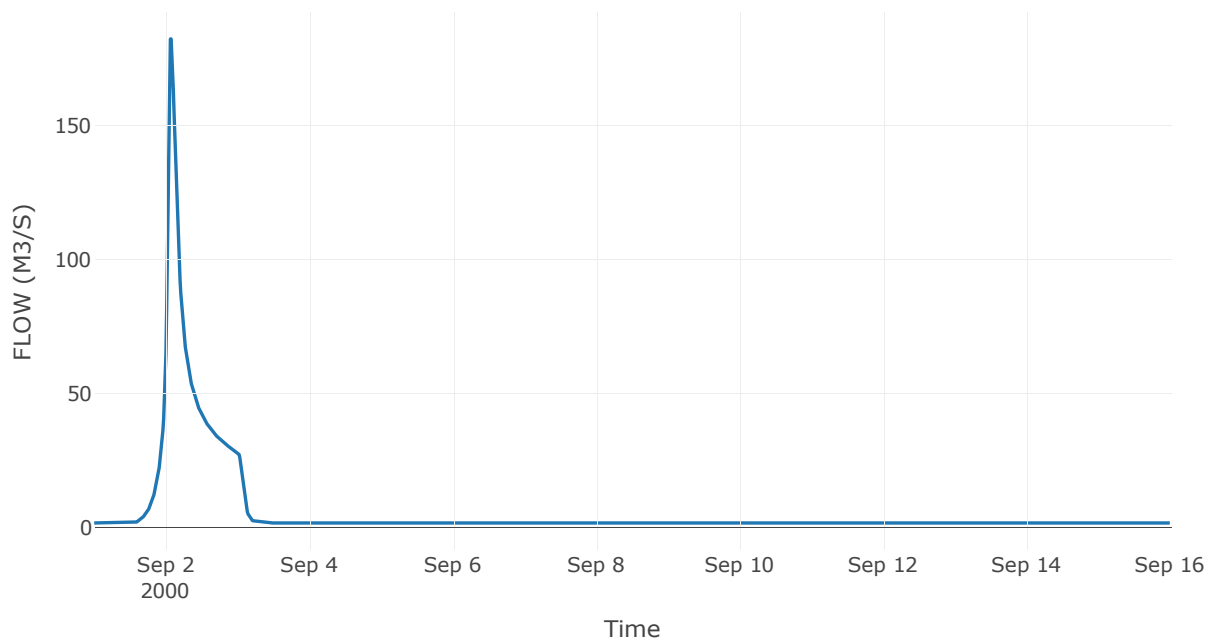
Κατάντη : J40

Μέθοδος Διόδευσης	Χρόνος
Αρχική Μεταβλητή	Combined Inflow
Χρόνος υστέρησης	0

Αποτελέσματα: R840

Παροχή Αιχμής (M3/S)	182.49
Χρονική στιγμή αιχμής	02Sep2000, 01:45
Όγκος(MM)	135.68
Παροχή Αιχμής Εισόδου (M3/S)	182.49
Όγκος Εισροής(M3)	8.17E6

Απορροή



Κλάδος: R1140

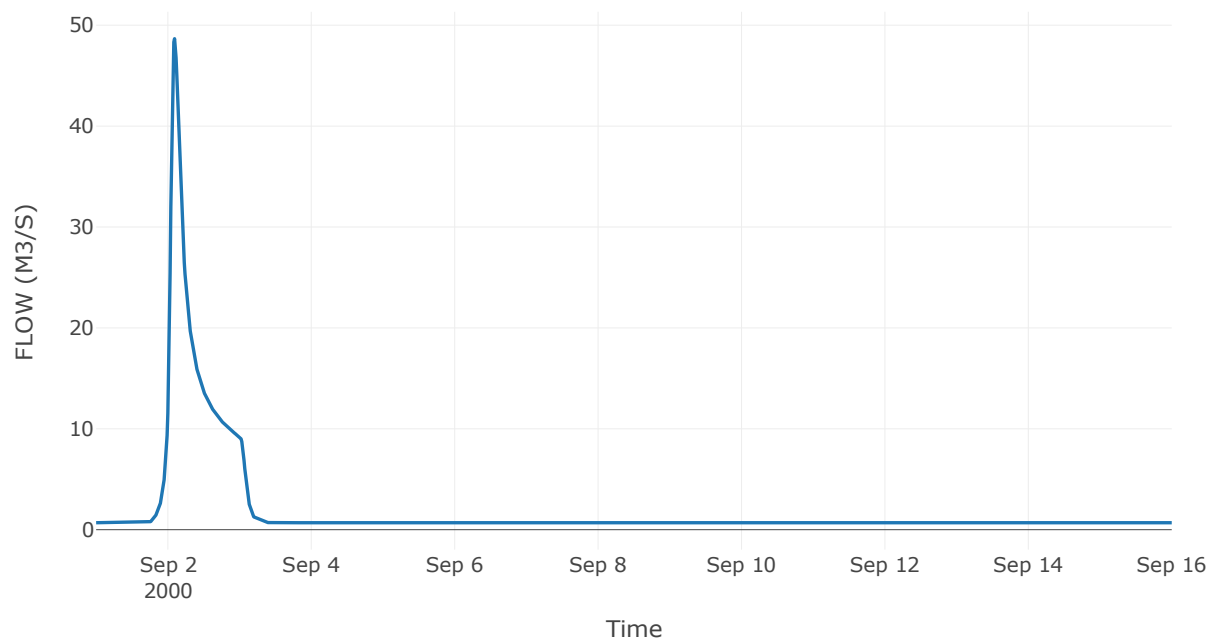
Κατάντη : J40

Μέθοδος Διόδευσης	Χρόνος
Αρχική Μεταβλητή	Combined Inflow
Χρόνος υστέρησης	0

Αποτελέσματα: R1140

Παροχή Αιχμής (M3/S)	48.66
Χρονική στιγμή αιχμής	02Sep2000, 02:15
Όγκος(MM)	111.52
Παροχή Αιχμής Εισόδου (M3/S)	48.66
Όγκος Εισροής(M3)	2.57E6

Απορροή



Κλάδος: R98

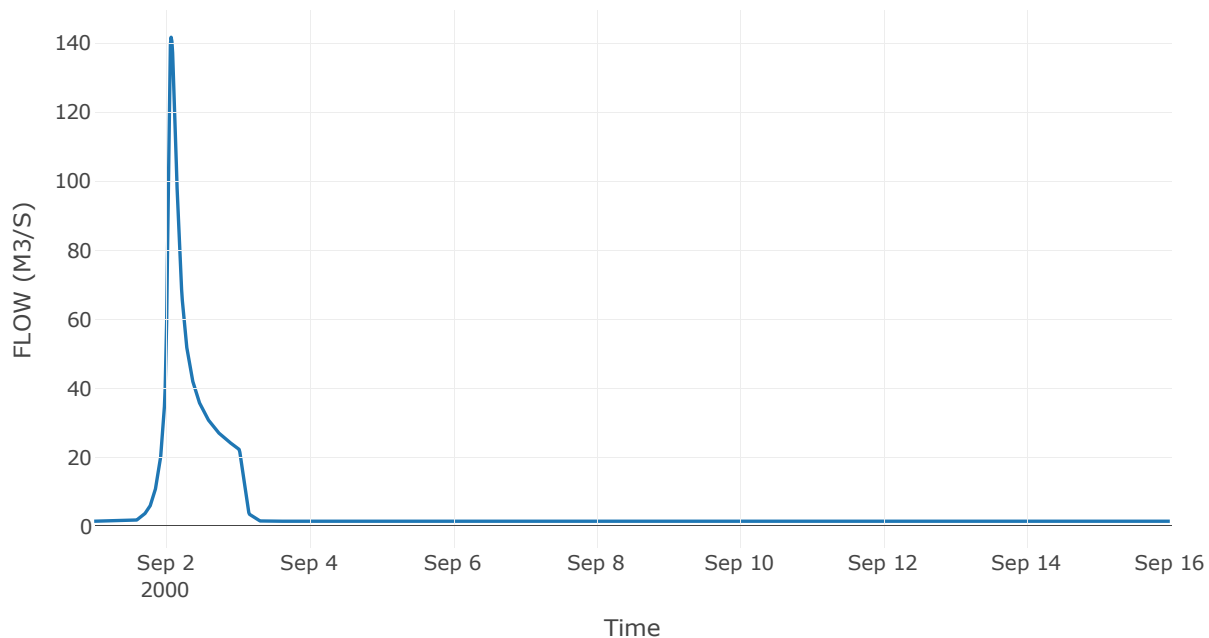
Κατάντη : J8

Μέθοδος Διόδευσης	Muskingum
Αρχική Μεταβλητή	Combined Inflow
Χρόνος Ροής K	0.33
Συντελεστής βάρους x	0.2
Πλήθος Υποκλάδων	1

Αποτελέσματα: R98

Παροχή Αιχμής (M3/S)	141.7
Χρονική στιγμή αιχμής	02Sep2000, 01:45
Όγκος(MM)	135.92
Παροχή Αιχμής Εισόδου (M3/S)	143.8
Όγκος Εισροής(M3)	6.54E6

Απορροή



Κλάδος: R109

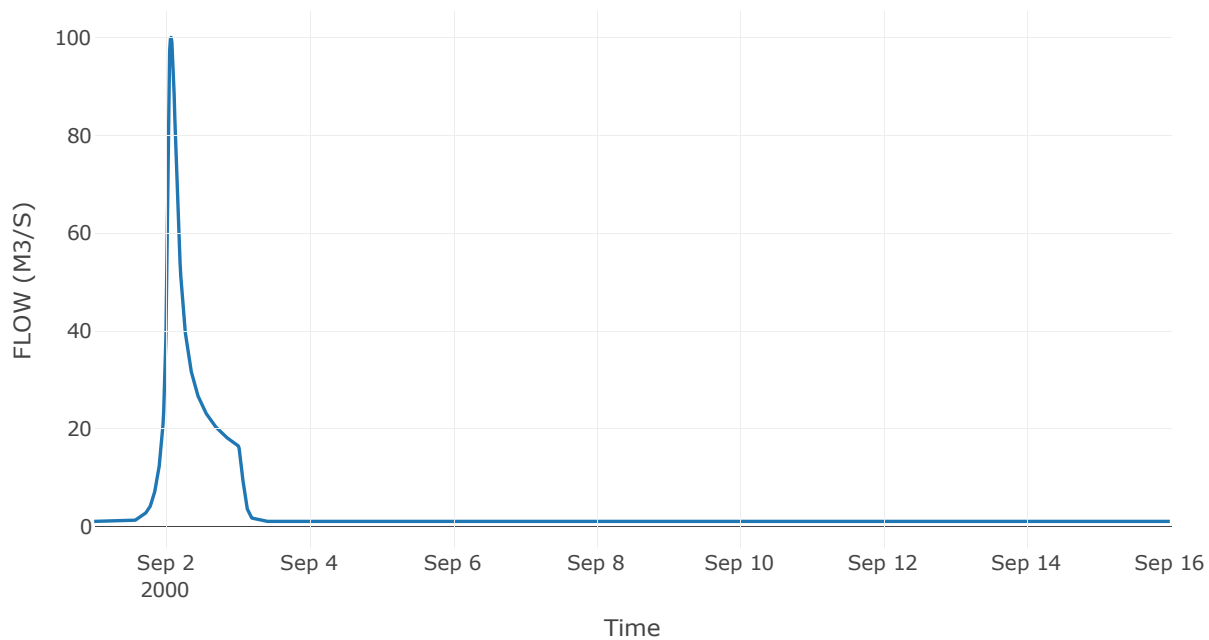
Κατάντη : J9

Μέθοδος Διόδευσης	Muskingum
Αρχική Μεταβλητή	Combined Inflow
Χρόνος Ροής Κ	0.22
Συντελεστής βάρους α	0.2
Πλήθος Υποκλάδων	1

Αποτελέσματα: R109

Παροχή Αιχμής (M3/S)	100.1
Χρονική στιγμή αιχμής	02Sep2000, 01:45
Όγκος(MM)	135.37
Παροχή Αιχμής Εισόδου (M3/S)	100.46
Όγκος Εισροής(M3)	4.75E6

Απορροή



Κλάδος: R1211

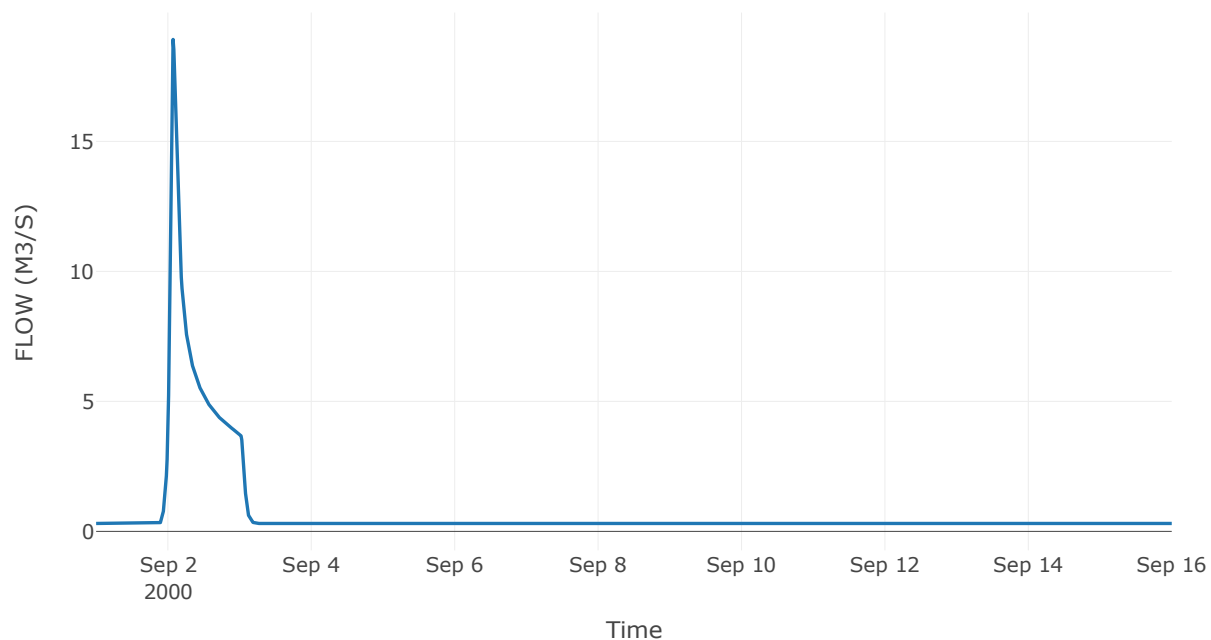
Κατάντη : J11

Μέθοδος Διόδευσης	Muskingum
Αρχική Μεταβλητή	Combined Inflow
Χρόνος Ροής Κ	0.35
Συντελεστής βάρους α	0.2
Πλήθος Υποκλάδων	1

Αποτελέσματα: R1211

Παροχή Αιχμής (M3/S)	18.92
Χρονική στιγμή αιχμής	02Sep2000, 01:45
Όγκος(MM)	96.85
Παροχή Αιχμής Εισόδου (M3/S)	19.48
Όγκος Εισροής(M3)	9.83E5

Απορροή



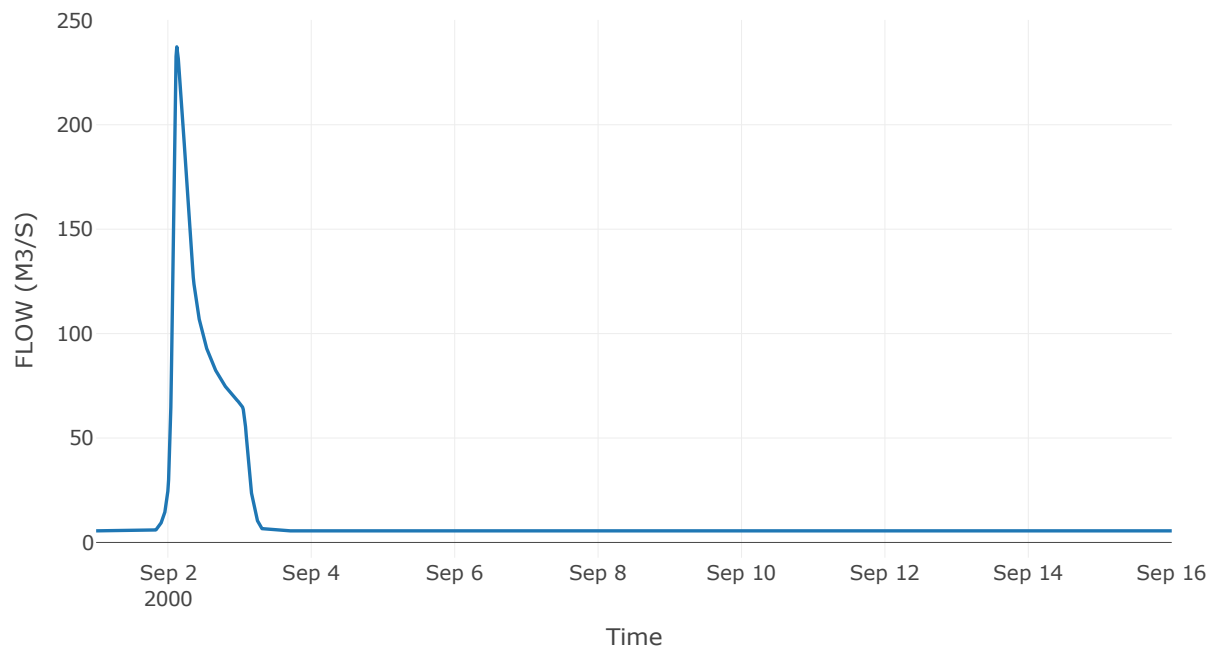
6.3 Δεδομένα και υδρογραφήματα σχεδιασμού Κόμβων υδρογραφικού δικτύου

Κόμβος εξόδου: J1

Αποτελέσματα: J1

Παροχή Αιχμής (M3/S)	237.3
Χρονική στιγμή αιχμής	02Sep2000, 03:00
Όγκος(MM)	93.35

Απορροή



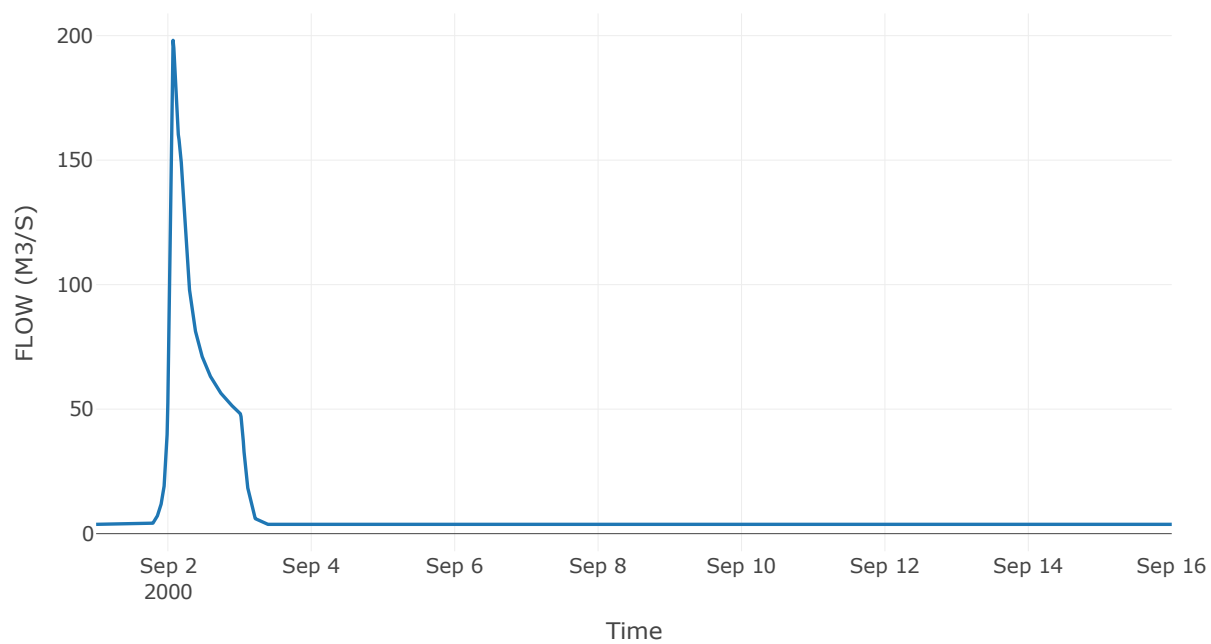
Κόμβος: J2

Κατάντη : R21

Αποτελέσματα: J2

Παροχή Αιχμής (M3/S)	198.11
Χρονική στιγμή αιχμής	02Sep2000, 01:45
Όγκος(MM)	101.97

Απορροή



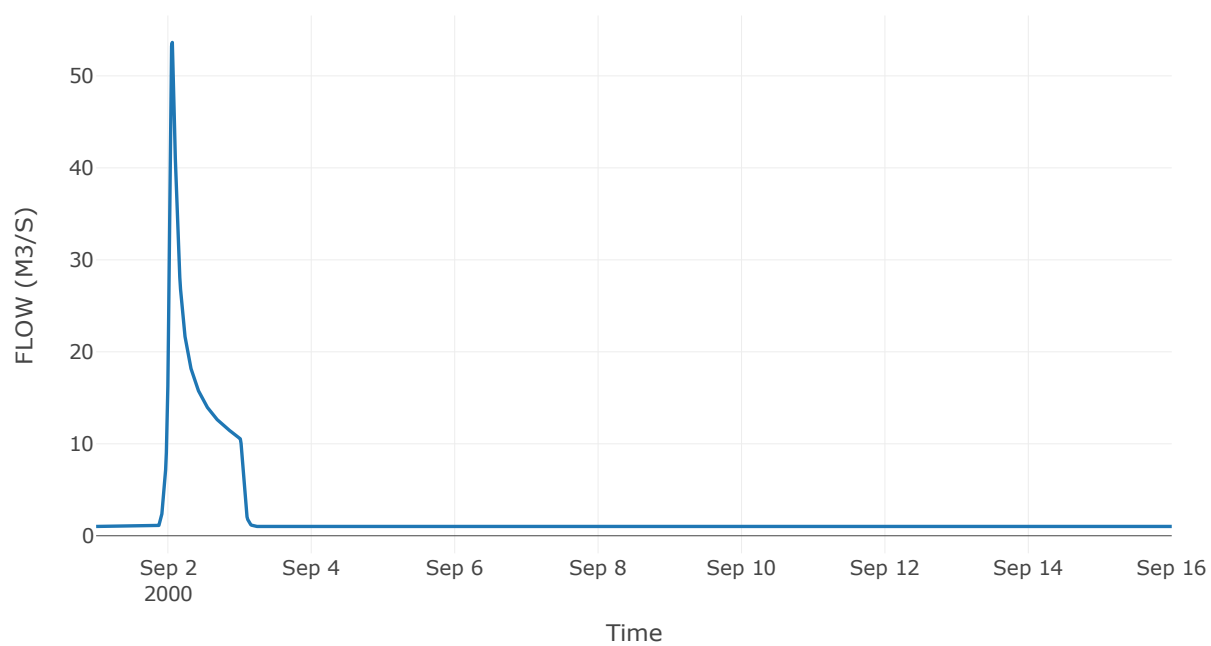
Κόμβος: J3

Κατάντη : R32

Αποτελέσματα: J3

Παροχή Αιχμής (M3/S)	53.64
Χρονική στιγμή αιχμής	02Sep2000, 01:30
Όγκος(MM)	87.74

Απορροή



Κόμβος: J4

Κατάντη : R43

Αποτελέσματα: J4

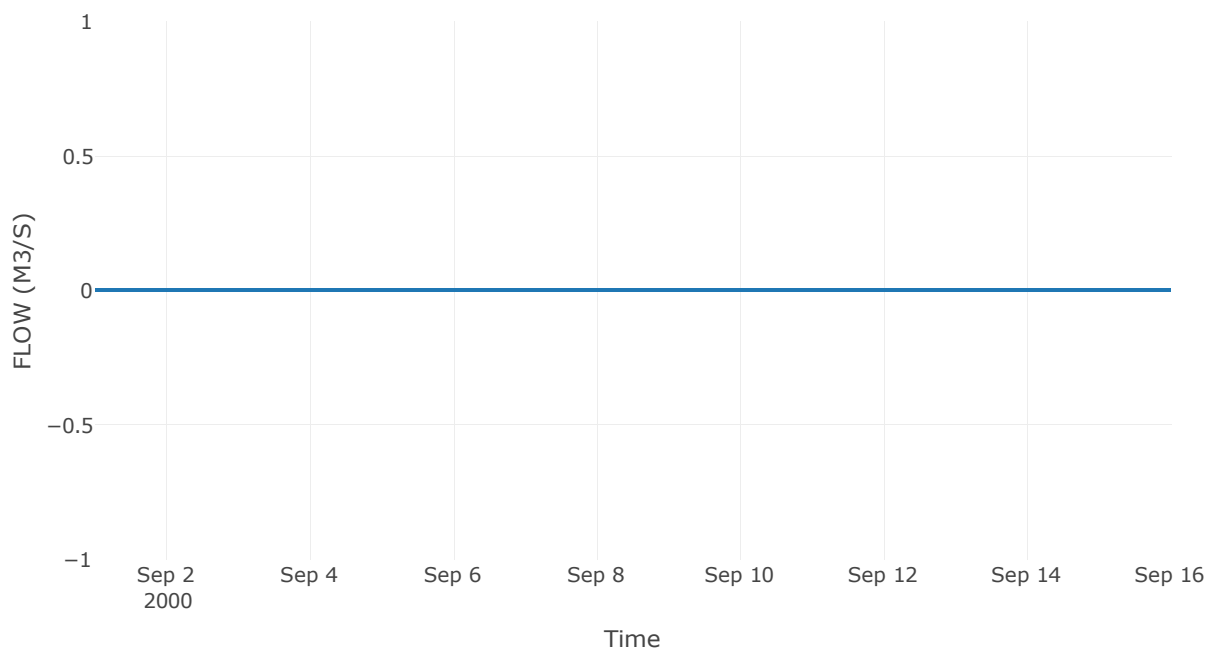
Παροχή Αιχμής (M3/S)

0

Χρονική στιγμή αιχμής

31Aug2000, 24:00

Απορροή

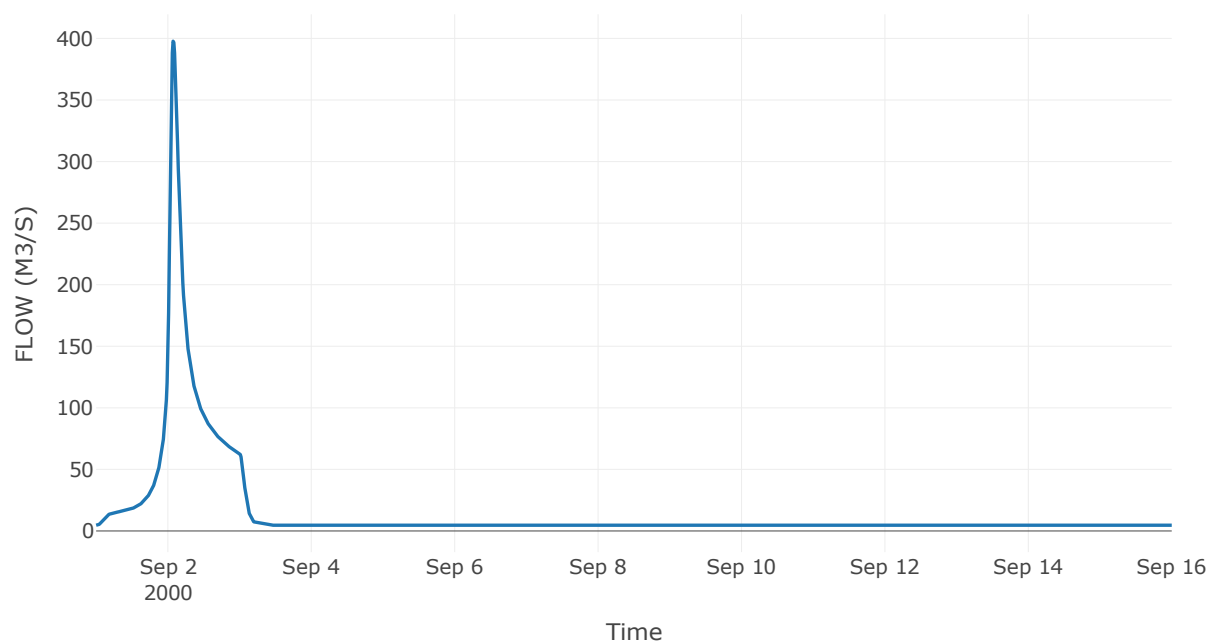


Κόμβος εξόδου: J40

Αποτελέσματ
α: J40

Παροχή αιχμής (M3/S)	397.75
Χρονική στιγμή αιχμής	02Sep2000, 01:45
Όγκος (MM)	128.3

Απορροή



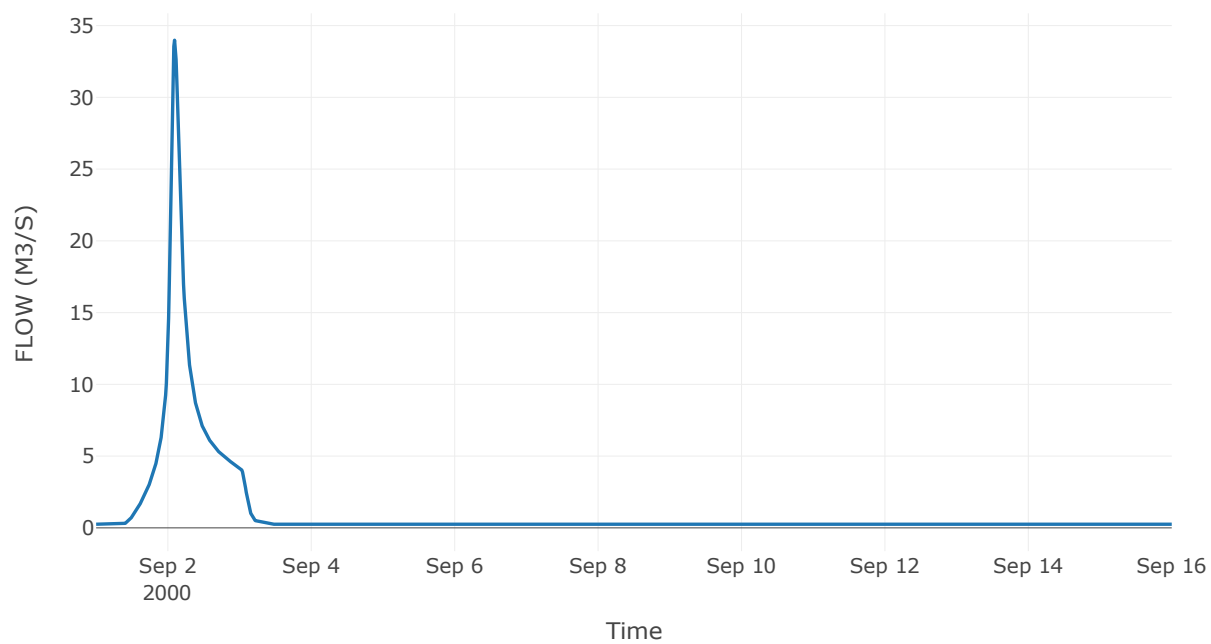
Κόμβος: J5

Κατάντη : R540

Αποτελέσματα: J5

Παροχή Αιχμής (M3/S)	33.98
Χρονική στιγμή αιχμής	02Sep2000, 02:15
Όγκος(MM)	172.38

Απορροή



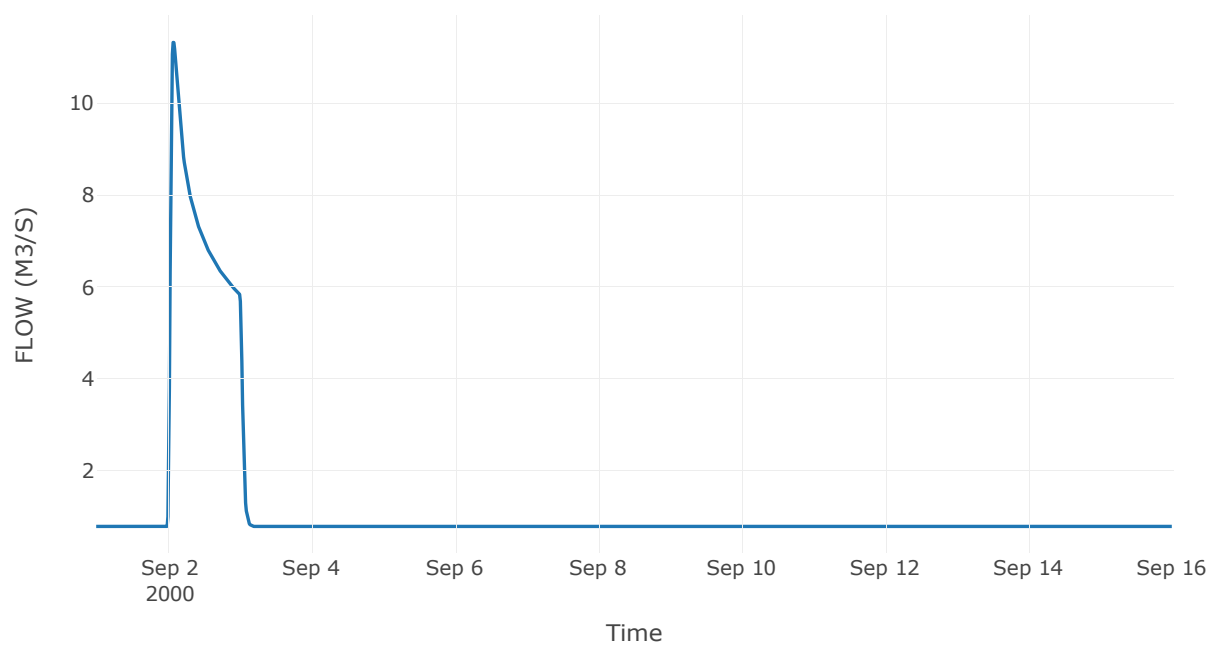
Κόμβος: J6

Κατάντη : R640

Αποτελέσματα: J6

Παροχή Αιχμής (M3/S)	11.33
Χρονική στιγμή αιχμής	02Sep2000, 01:45
Όγκος(MM)	61.18

Απορροή



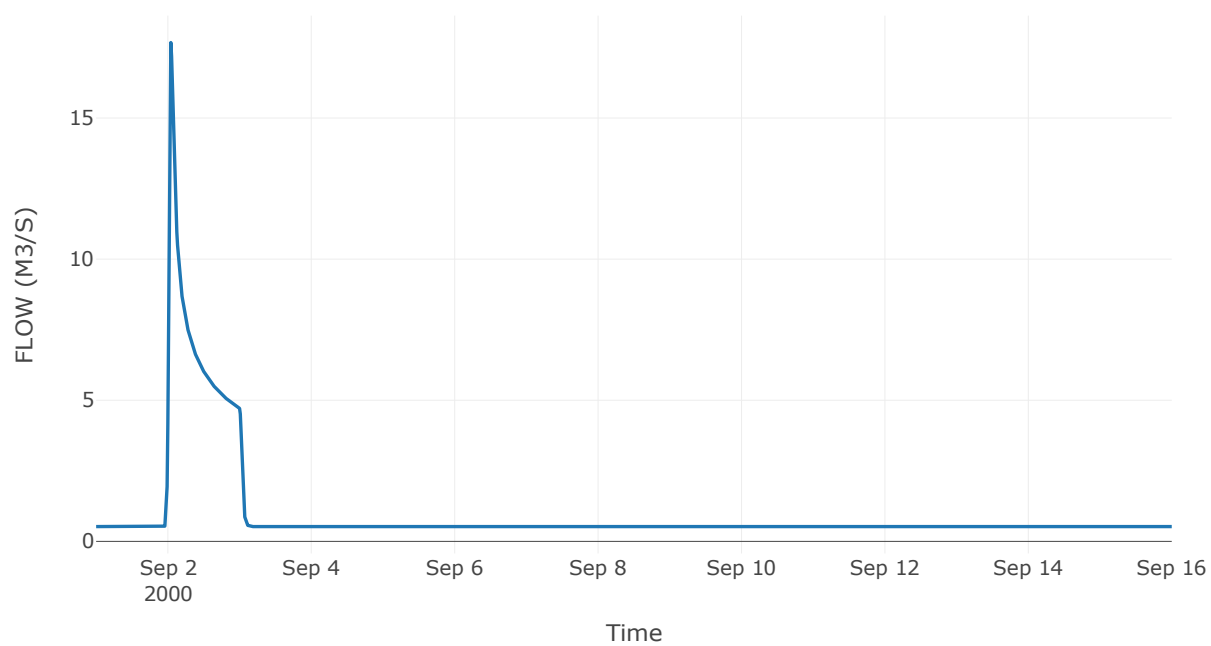
Κόμβος: J7

Κατάντη : R740

Αποτελέσματα: J7

Παροχή Αιχμής (M3/S)	17.67
Χρονική στιγμή αιχμής	02Sep2000, 01:00
Όγκος(MM)	72.59

Απορροή



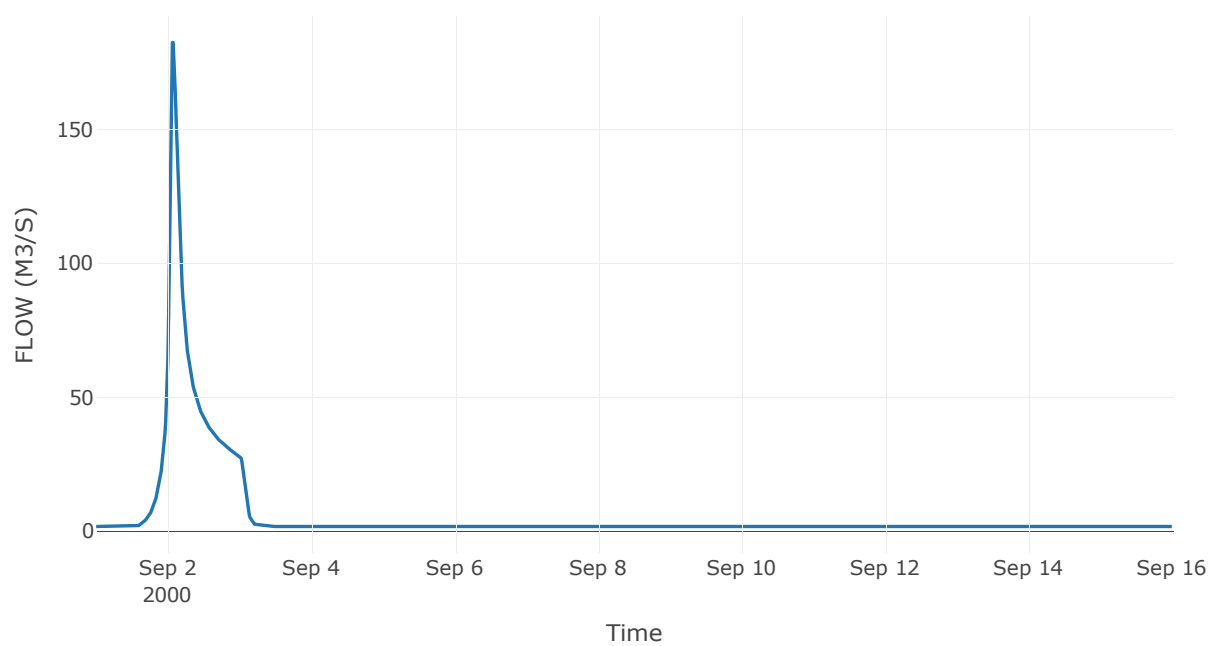
Κόμβος: J8

Κατάντη : R840

Αποτελέσματα: J8

Παροχή Αιχμής (M3/S)	182.49
Χρονική στιγμή αιχμής	02Sep2000, 01:45
Όγκος(MM)	135.68

Απορροή



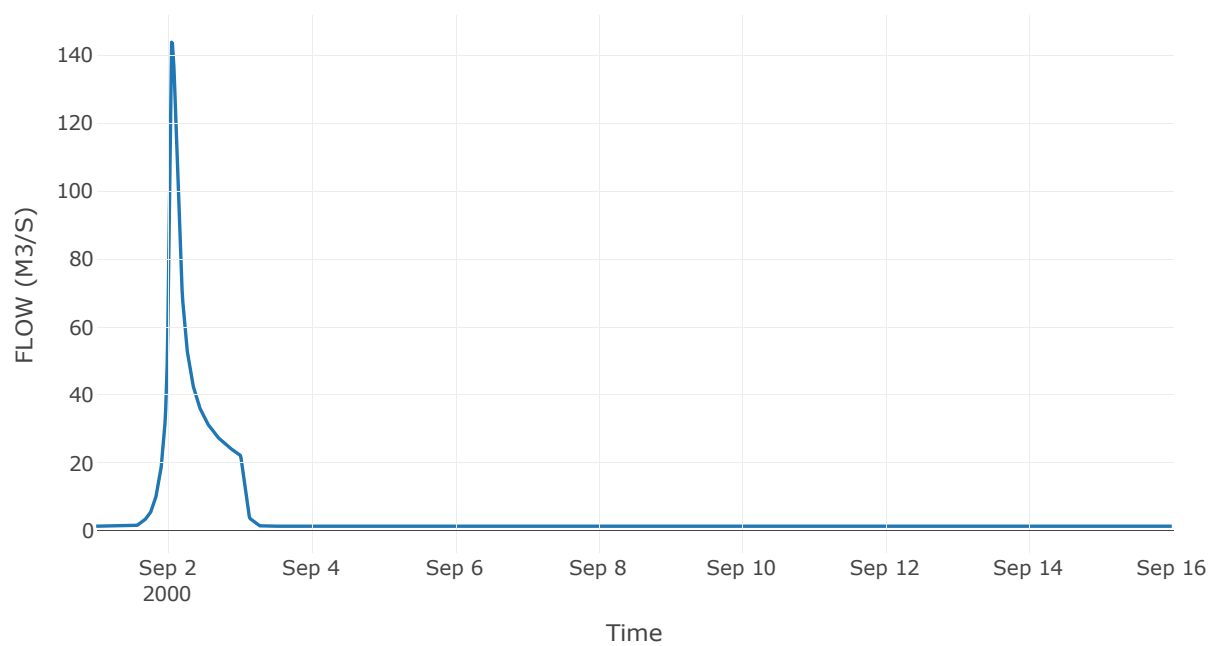
Κόμβος: J9

Κατάντη : R98

Αποτελέσματα: J9

Παροχή Αιχμής (M3/S)	143.8
Χρονική στιγμή αιχμής	02Sep2000, 01:15
Όγκος(MM)	135.92

Απορροή



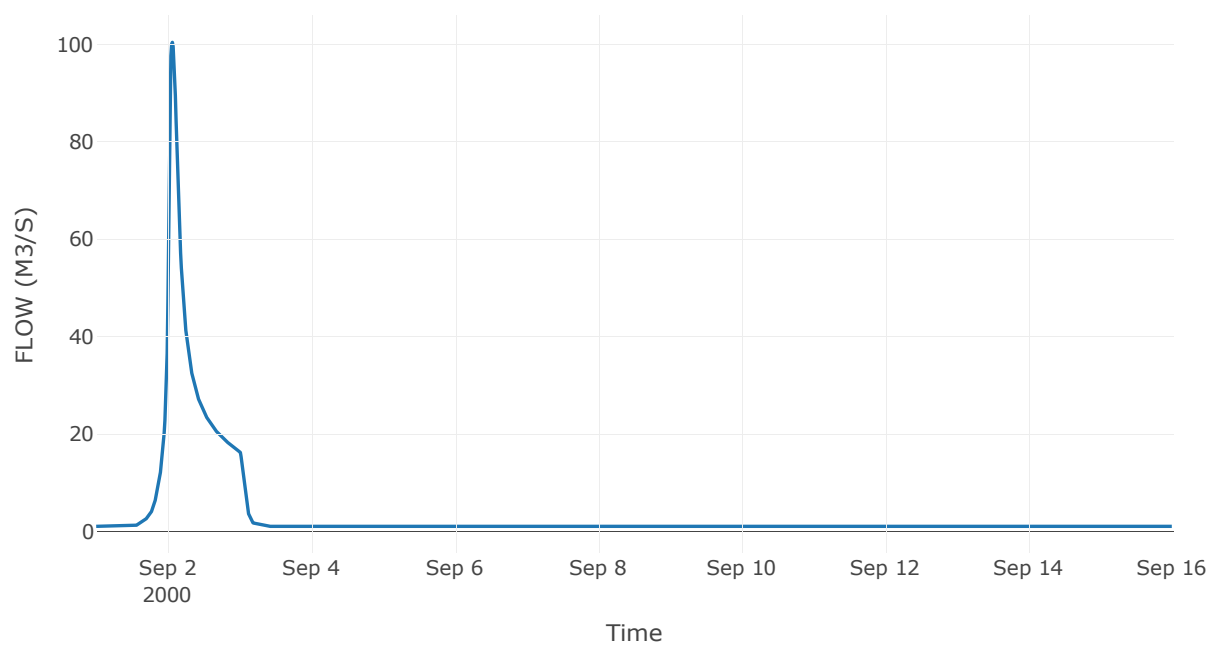
Κόμβος: J10

Κατάντη : R109

Αποτελέσματα: J10

Παροχή Αιχμής (M3/S)	100.46
Χρονική στιγμή αιχμής	02Sep2000, 01:30
Όγκος(MM)	135.37

Απορροή



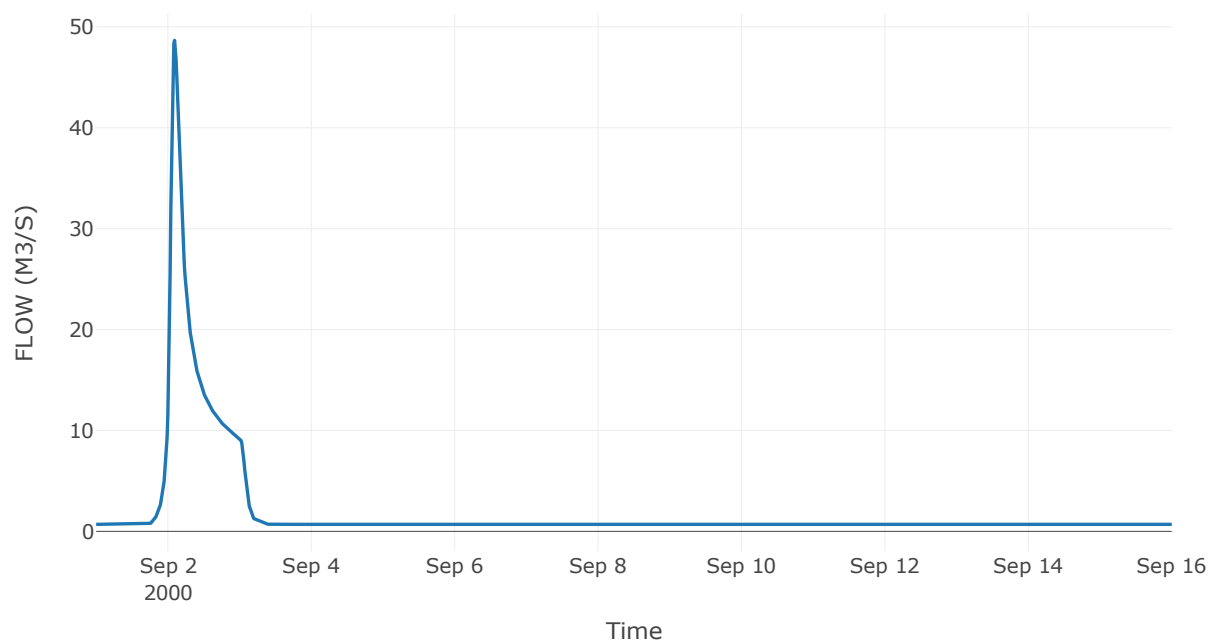
Κόμβος: J11

Κατάντη : R1140

Αποτελέσματα: J11

Παροχή Αιχμής (M3/S)	48.66
Χρονική στιγμή αιχμής	02Sep2000, 02:15
Όγκος(MM)	111.52

Απορροή



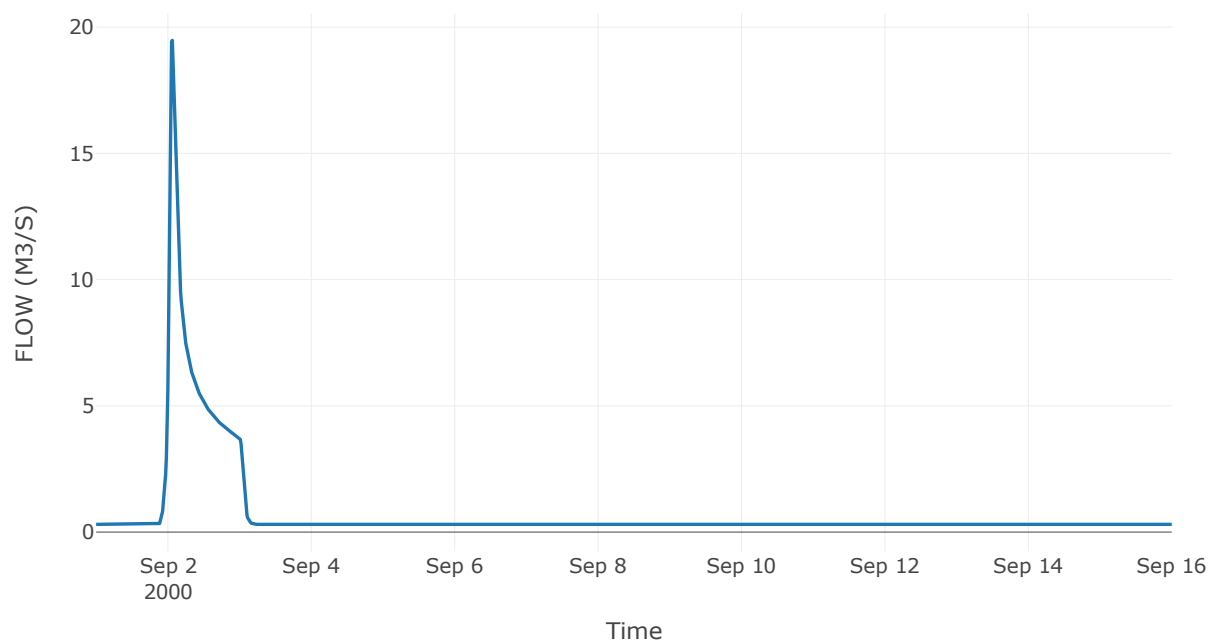
Κόμβος: J12

Κατάντη : R1211

Αποτελέσματα: J12

Παροχή Αιχμής (M3/S)	19.48
Χρονική στιγμή αιχμής	02Sep2000, 01:30
Όγκος(MM)	96.85

Απορροή



7 Δεδομένα εισόδου και αποτελέσματα υδρολογικού σεναρίου T=100U

7.1 Αποτελέσματα, υετογραφήματα και υδρογραφήματα σχεδιασμού υπολεκανών

Υπολεκάνη: EL0514FL002001

Έκταση (KM2) : 61.13

Κατάντη : J1

Μέθοδος Απωλειών: SCS

Ποσοστό αδιαπέρατης επιφάνειας	0
Αριθμός Καμπύλης Απορροής-CN	78.89
Αρχικές Απώλειες	13.59

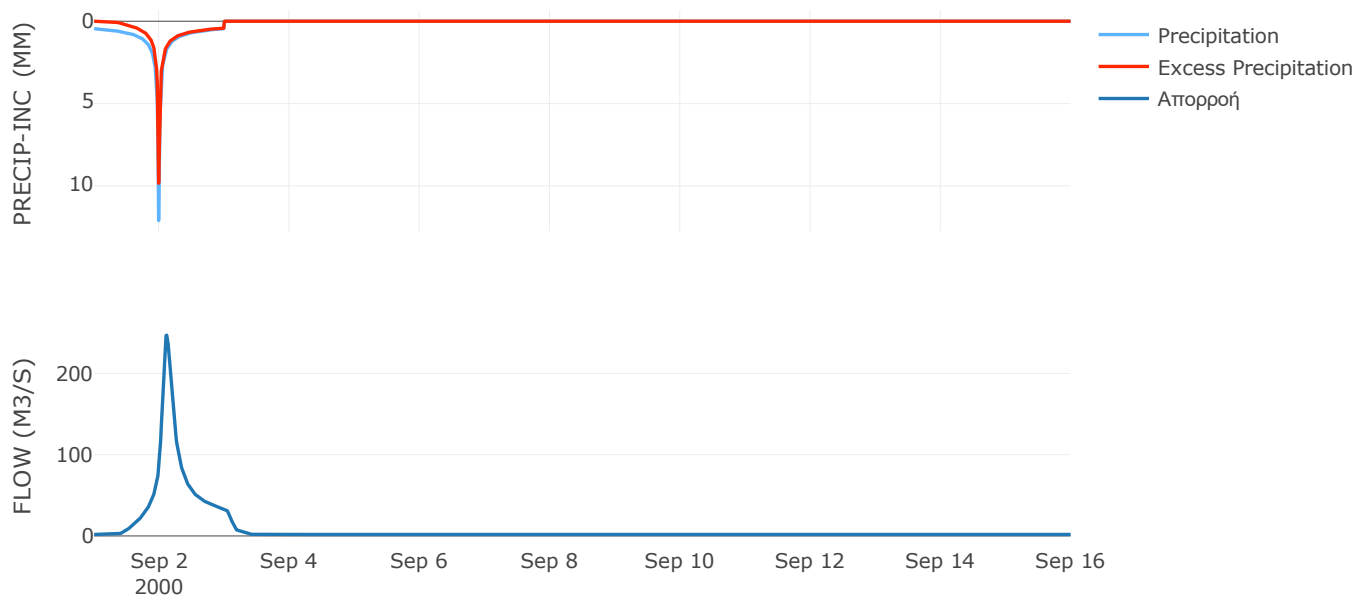
Μέθοδος
Μετασχηματισμού: SCS

Χρόνος Υστέρησης	149.68
------------------	--------

Αποτελέσματα:
EL0514FL002001

Παροχή αιχμής (M3/S)	247.2
Χρονική στιγμή αιχμής	02Sep2000, 02:45
Όγκος (MM)	186.31
Όγκος βροχόπτωσης (M3)	1.29E7
Όγκος απωλειών (M3)	3.92E6
Ενεργός Όγκος (M3)	9.01E6
Όγκος άμεσης απορροής (M3)	9.01E6
Όγκος βασικής απορροής (M3)	2.38E6

Βροχόπτωση και Απορροή



Υπολεκάνη: EL0514FL002002

Έκταση (KM2) : 42.33

Κατάντη : J2

Μέθοδος Απωλειών: SCS

Ποσοστό αδιαπέρατης επιφάνειας	0
Αριθμός Καμπύλης Απορροής-CN	75.03
Αρχικές Απώλειες	16.91

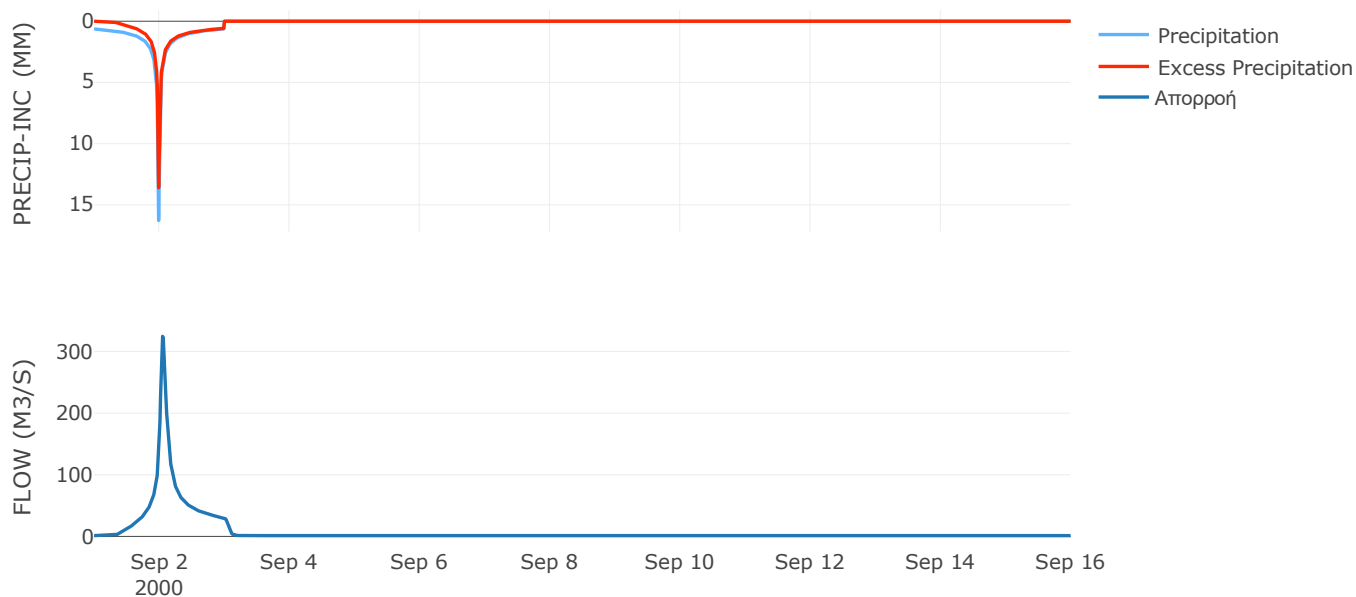
Μέθοδος
Μετασχηματισμού: SCS

Χρόνος Υστέρησης	75.59
------------------	-------

Αποτελέσματα:
EL0514FL002002

Παροχή αιχμής (M3/S)	324.67
Χρονική στιγμή αιχμής	02Sep2000, 01:15
Όγκος (MM)	247
Όγκος βροχόπτωσης (M3)	1.23E7
Όγκος απωλειών (M3)	3.45E6
Ενεργός Όγκος (M3)	8.81E6
Όγκος άμεσης απορροής (M3)	8.81E6
Όγκος βασικής απορροής (M3)	1.65E6

Βροχόπτωση και Απορροή



Υπολεκάνη: EL0514FL002003

Έκταση (KM2) : 48.23

Κατάντη : J2

Μέθοδος Απωλειών: SCS

Ποσοστό αδιαπέρατης επιφάνειας	0
Αριθμός Καμπύλης Απορροής-CN	84.45
Αρχικές Απώλειες	9.35

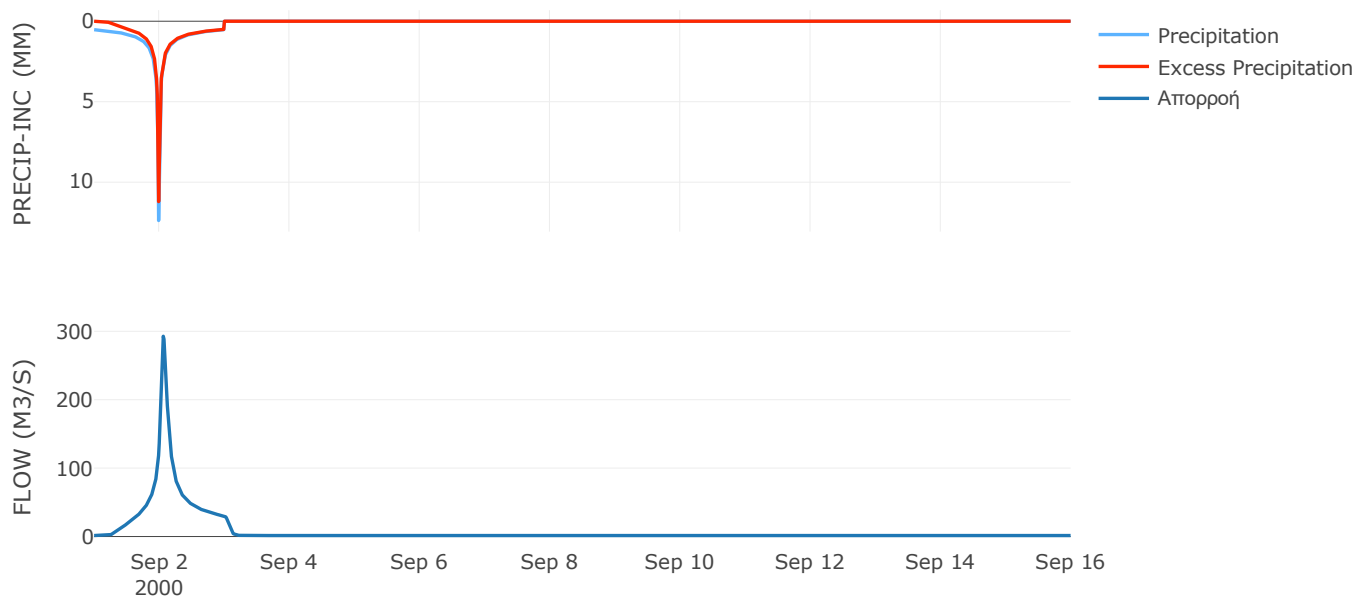
Μέθοδος
Μετασχηματισμού: SCS

Χρόνος Υστέρησης	88.62
------------------	-------

Αποτελέσματα:
EL0514FL002003

Παροχή αιχμής (M3/S)	292.8
Χρονική στιγμή αιχμής	02Sep2000, 01:30
Όγκος (MM)	225.84
Όγκος βροχόπτωσης (M3)	1.13E7
Όγκος απωλειών (M3)	2.32E6
Ενεργός Όγκος (M3)	9.02E6
Όγκος άμεσης απορροής (M3)	9.02E6
Όγκος βασικής απορροής (M3)	1.88E6

Βροχόπτωση και Απορροή



Υπολεκάνη: EL0514FL002004

Έκταση (KM2) : 33.76

Κατάντη : J3

Μέθοδος Απωλειών: SCS

Ποσοστό αδιαπέρατης επιφάνειας	0
Αριθμός Καμπύλης Απορροής-CN	83.18
Αρχικές Απώλειες	10.27

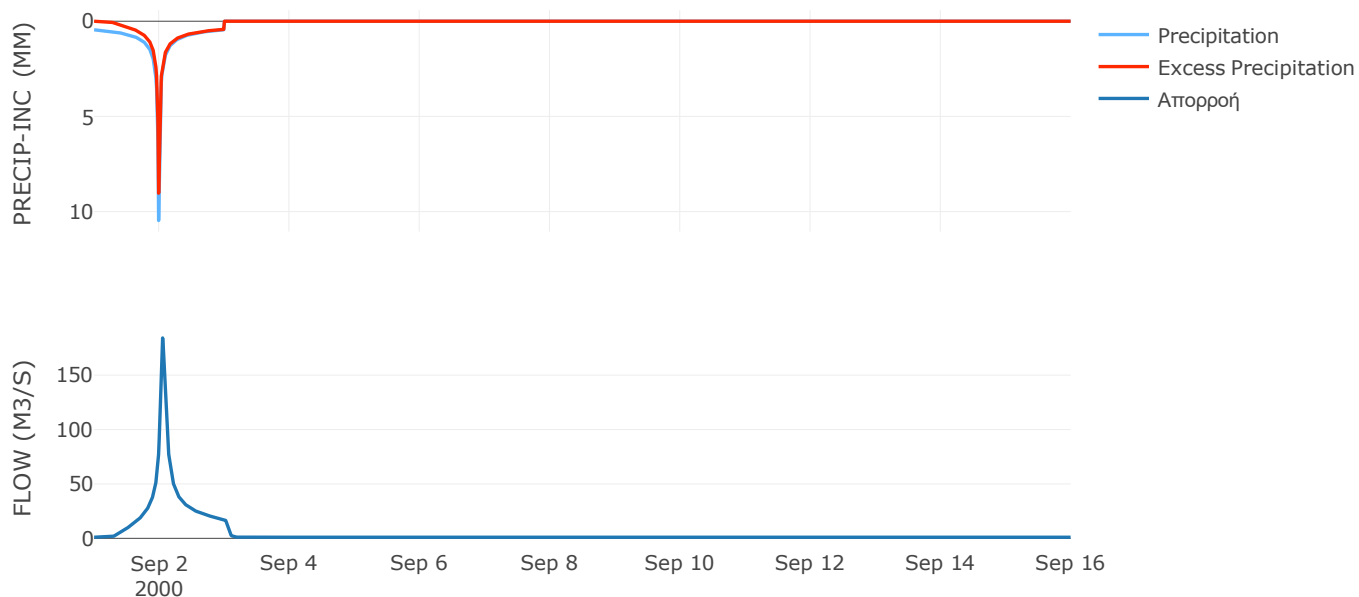
Μέθοδος
Μετασχηματισμού: SCS

Χρόνος Υστέρησης	67.52
------------------	-------

Αποτελέσματα:
EL0514FL002004

Παροχή αιχμής (M3/S)	184.18
Χρονική στιγμή αιχμής	02Sep2000, 01:15
Όγκος (MM)	188.59
Όγκος βροχόπτωσης (M3)	6.77E6
Όγκος απωλειών (M3)	1.71E6
Ενεργός Όγκος (M3)	5.05E6
Όγκος άμεσης απορροής (M3)	5.05E6
Όγκος βασικής απορροής (M3)	1.31E6

Βροχόπτωση και Απορροή



Υπολεκάνη: EL0514FL002005

Έκταση (KM2) : 26.27

Κατάντη : J6

Μέθοδος Απωλειών: SCS

Ποσοστό αδιαπέρατης επιφάνειας	0
Αριθμός Καμπύλης Απορροής-CN	73.66
Αρχικές Απώλειες	18.16

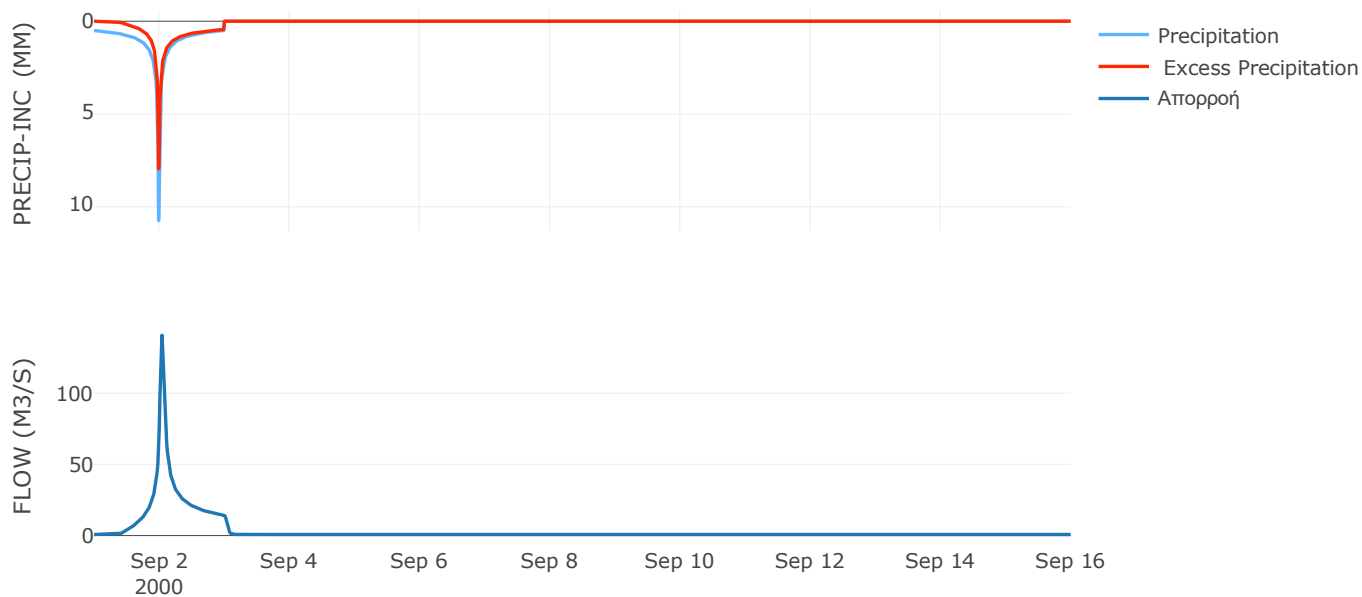
Μέθοδος
Μετασχηματισμού: SCS

Χρόνος Υστέρησης	52.09
------------------	-------

Αποτελέσματα:
EL0514FL002005

Παροχή αιχμής (M3/S)	140.81
Χρονική στιγμή αιχμής	02Sep2000, 01:00
Όγκος (MM)	174.95
Όγκος βροχόπτωσης (M3)	5.69E6
Όγκος απωλειών (M3)	2.11E6
Ενεργός Όγκος (M3)	3.57E6
Όγκος άμεσης απορροής (M3)	3.57E6
Όγκος βασικής απορροής (M3)	1.02E6

Βροχόπτωση και Απορροή



Υπολεκάνη: EL0514FL002006

Έκταση (KM2) : 17.48

Κατάντη : J7

Μέθοδος Απωλειών: SCS

Ποσοστό αδιαπέρατης επιφάνειας	0
Αριθμός Καμπύλης Απορροής-CN	77
Αρχικές Απώλειες	15.17

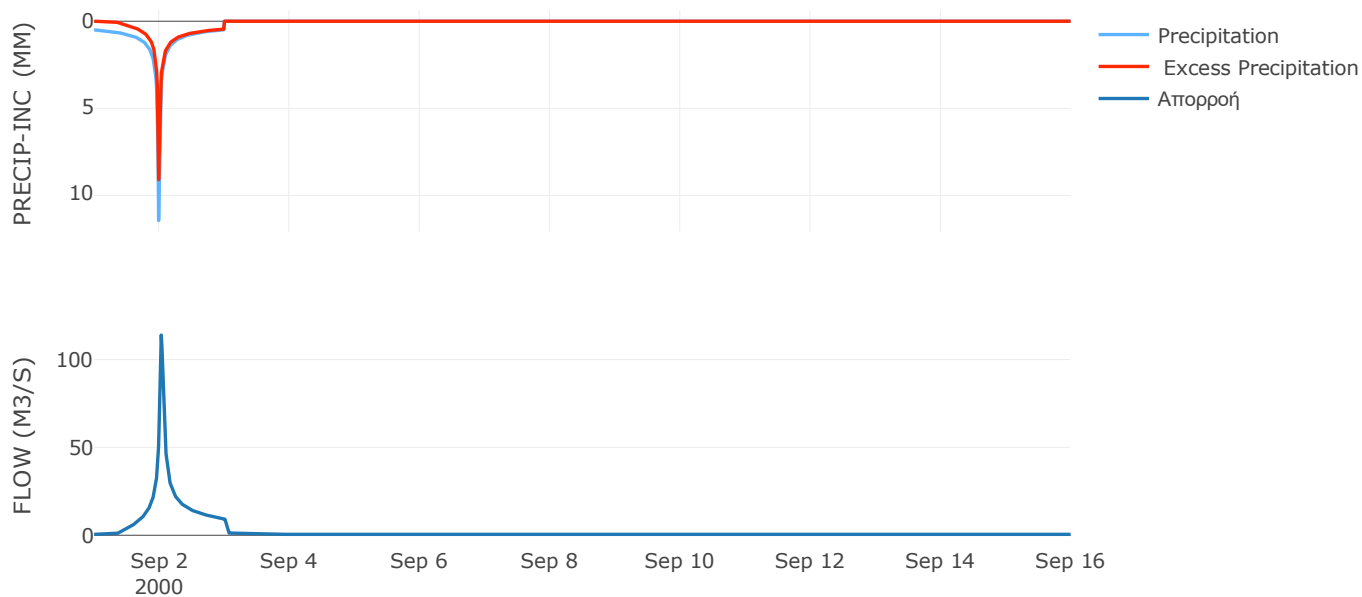
Μέθοδος
Μετασχηματισμού: SCS

Χρόνος Υστέρησης	42.14
------------------	-------

Αποτελέσματα:
EL0514FL002006

Παροχή αιχμής (M3/S)	113.96
Χρονική στιγμή αιχμής	02Sep2000, 00:45
Όγκος (MM)	187.86
Όγκος βροχόπτωσης (M3)	3.84E6
Όγκος απωλειών (M3)	1.23E6
Ενεργός Όγκος (M3)	2.6E6
Όγκος άμεσης απορροής (M3)	2.6E6
Όγκος βασικής απορροής (M3)	6.8E5

Βροχόπτωση και Απορροή



Υπολεκάνη: EL0514FL002007

Έκταση (KM2) : 12.13

Κατάντη : J8

Μέθοδος Απωλειών: SCS

Ποσοστό αδιαπέρατης επιφάνειας	0
Αριθμός Καμπύλης Απορροής-CN	89.57
Αρχικές Απώλειες	5.92

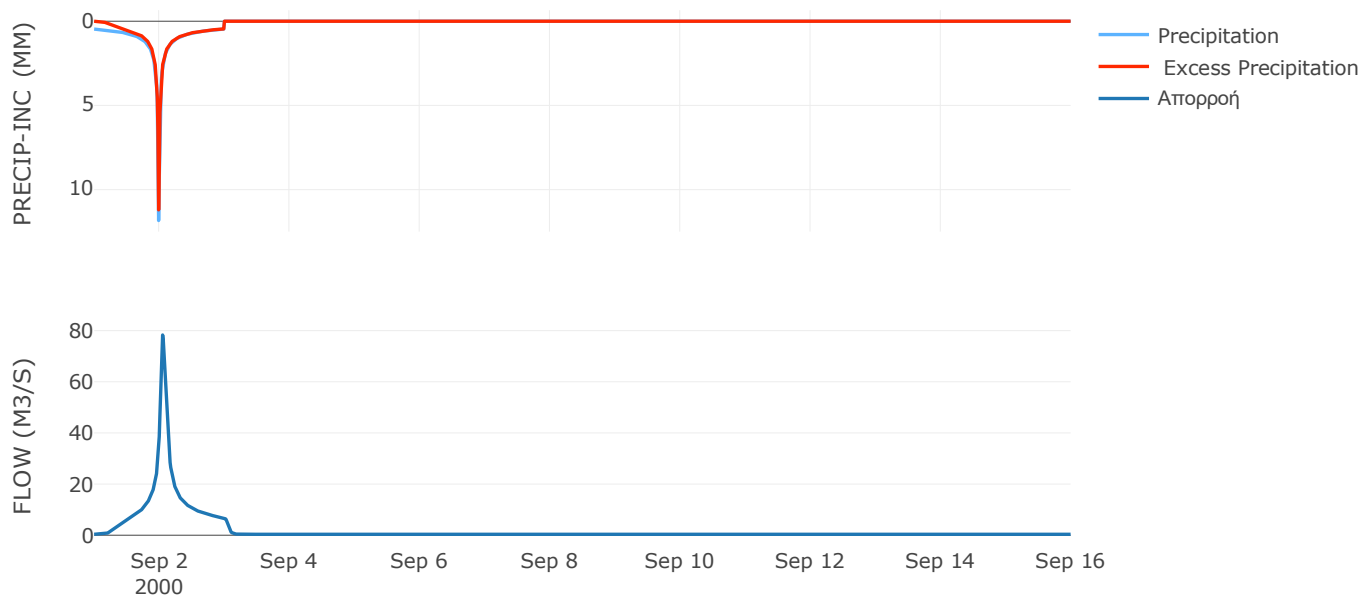
Μέθοδος
Μετασχηματισμού: SCS

Χρόνος Υστέρησης	73.34
------------------	-------

Αποτελέσματα:
EL0514FL002007

Παροχή αιχμής (M3/S)	78.28
Χρονική στιγμή αιχμής	02Sep2000, 01:15
Όγκος (MM)	220.9
Όγκος βροχόπτωσης (M3)	2.59E6
Όγκος απωλειών (M3)	3.86E5
Ενεργός Όγκος (M3)	2.21E6
Όγκος άμεσης απορροής (M3)	2.21E6
Όγκος βασικής απορροής (M3)	4.72E5

Βροχόπτωση και Απορροή



Υπολεκάνη: EL0514FL002008

Έκταση (KM2) : 8.45

Κατάντη : J5

Μέθοδος Απωλειών: SCS

Ποσοστό αδιαπέρατης επιφάνειας	0
Αριθμός Καμπύλης Απορροής-CN	94.89
Αρχικές Απώλειες	2.74

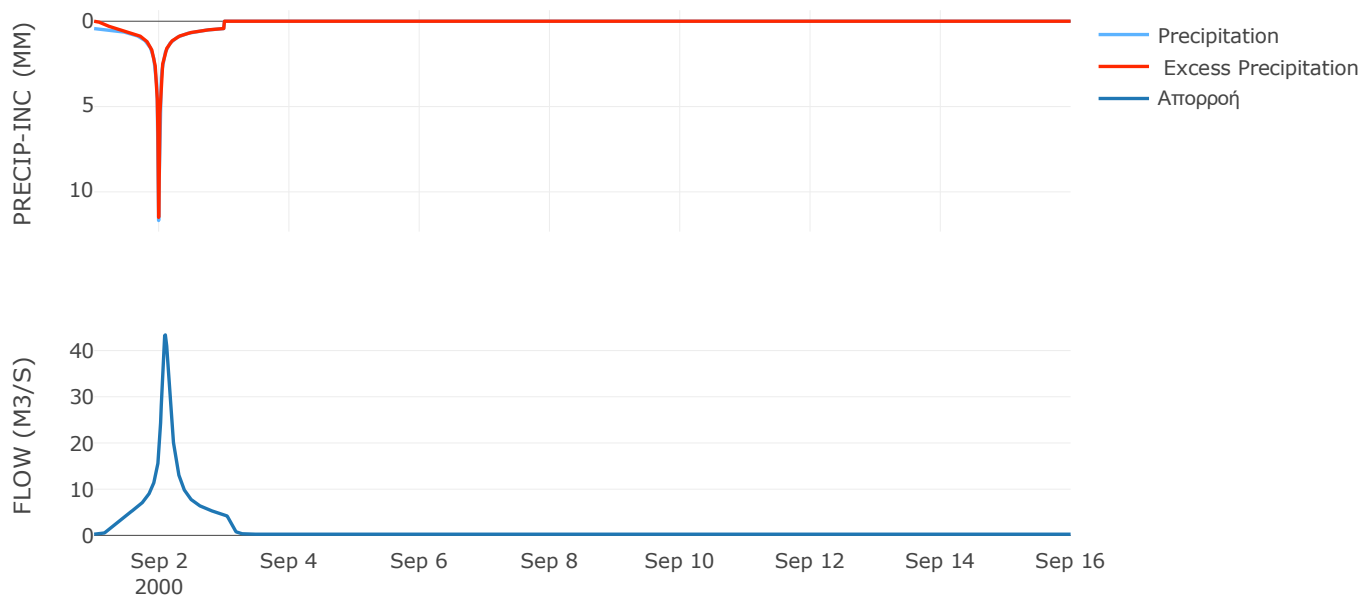
Μέθοδος
Μετασχηματισμού: SCS

Χρόνος Υστέρησης	126.59
------------------	--------

Αποτελέσματα:
EL0514FL002008

Παροχή αιχμής (M3/S)	43.39
Χρονική στιγμή αιχμής	02Sep2000, 02:15
Όγκος (MM)	225.32
Όγκος βροχόπτωσης (M3)	1.71E6
Όγκος απωλειών (M3)	1.31E5
Ενεργός Όγκος (M3)	1.58E6
Όγκος άμεσης απορροής (M3)	1.58E6
Όγκος βασικής απορροής (M3)	3.29E5

Βροχόπτωση και Απορροή



Υπολεκάνη: EL0514FL002009

Έκταση (KM2) : 19.86

Κατάντη : J40

Μέθοδος Απωλειών: SCS

Ποσοστό αδιαπέρατης επιφάνειας	95
Αριθμός Καμπύλης Απορροής-CN	99
Αρχικές Απώλειες	0.51

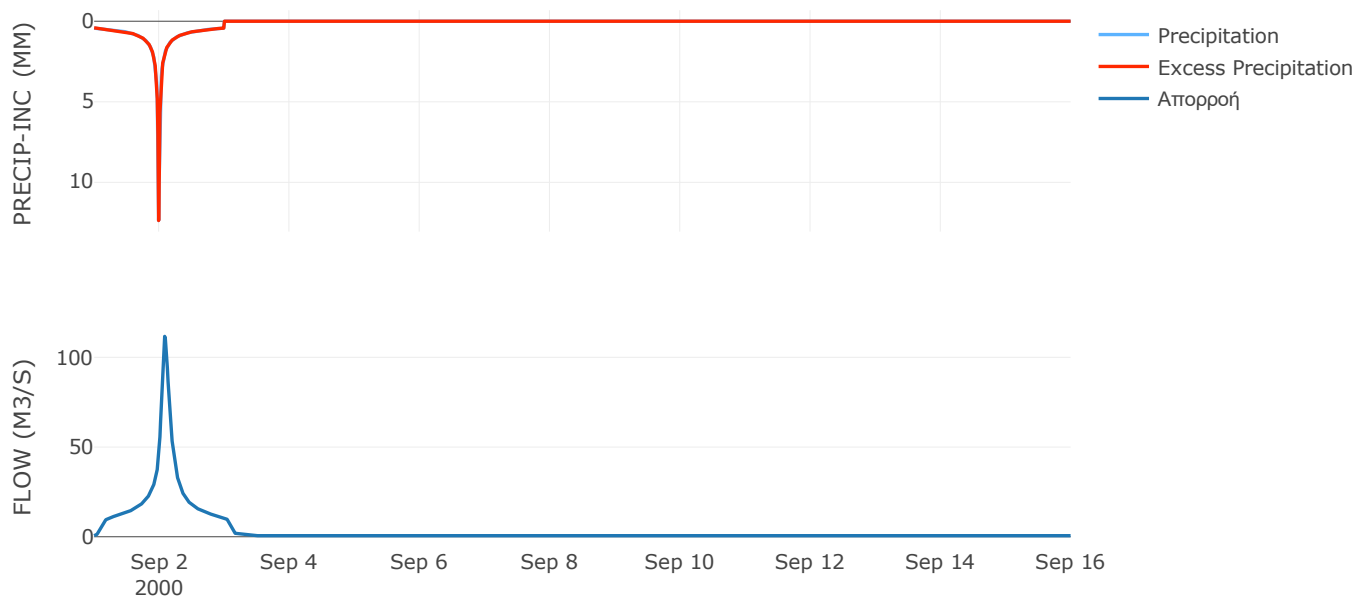
Μέθοδος
Μετασχηματισμού: SCS

Χρόνος Υστέρησης	118.34
------------------	--------

Αποτελέσματα:
EL0514FL002009

Παροχή αιχμής (M3/S)	111.68
Χρονική στιγμή αιχμής	02Sep2000, 02:00
Όγκος (MM)	244.43
Όγκος βροχόπτωσης (M3)	4.09E6
Όγκος απωλειών (M3)	3026
Ενεργός Όγκος (M3)	4.08E6
Όγκος άμεσης απορροής (M3)	4.08E6
Όγκος βασικής απορροής (M3)	7.72E5

Βροχόπτωση και Απορροή



Υπολεκάνη: EL0514FL002010

Έκταση (KM2) : 7.22

Κατάντη : J9

Μέθοδος Απωλειών: SCS

Ποσοστό αδιαπέρατης επιφάνειας	0
Αριθμός Καμπύλης Απορροής-CN	89.89
Αρχικές Απώλειες	5.71

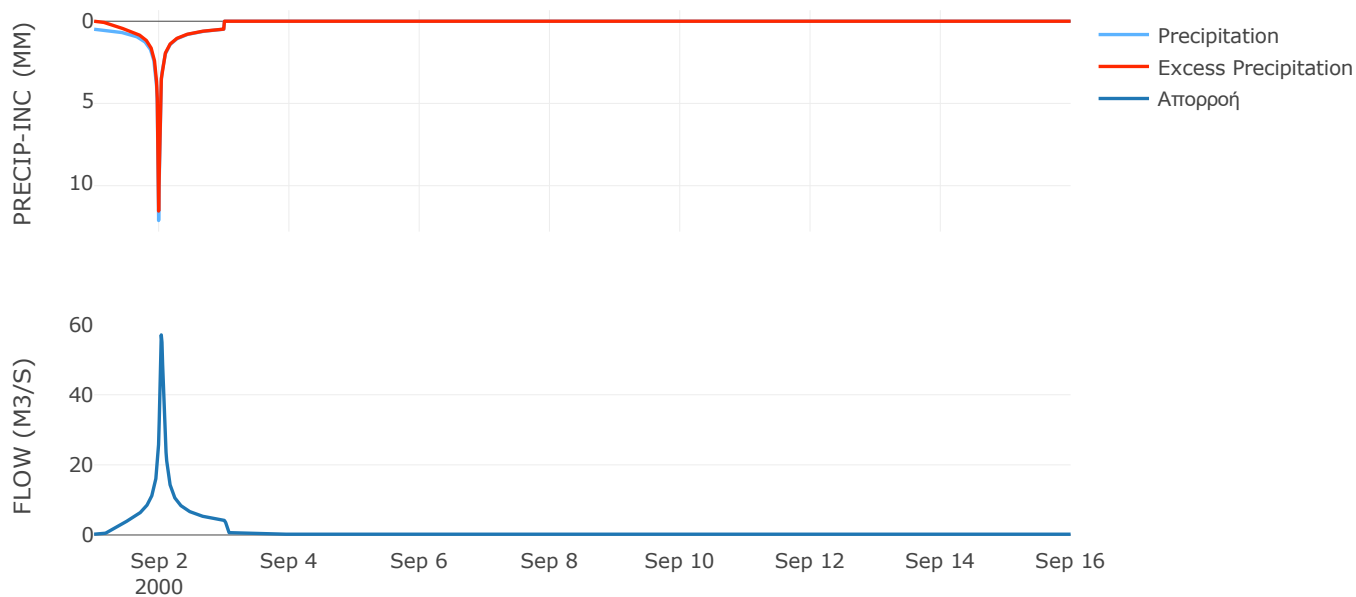
Μέθοδος
Μετασχηματισμού: SCS

Χρόνος Υστέρησης	46.78
------------------	-------

Αποτελέσματα:
EL0514FL002010

Παροχή αιχμής (M3/S)	57.08
Χρονική στιγμή αιχμής	02Sep2000, 00:45
Όγκος (MM)	230.29
Όγκος βροχόπτωσης (M3)	1.61E6
Όγκος απωλειών (M3)	2.24E5
Ενεργός Όγκος (M3)	1.38E6
Όγκος άμεσης απορροής (M3)	1.38E6
Όγκος βασικής απορροής (M3)	2.81E5

Βροχόπτωση και Απορροή



Υπολεκάνη: EL0514FL002011

Έκταση (KM2) : 8.8

Κατάντη : J10

Μέθοδος Απωλειών: SCS

Ποσοστό αδιαπέρατης επιφάνειας	0
Αριθμός Καμπύλης Απορροής-CN	90.57
Αρχικές Απώλειες	5.29

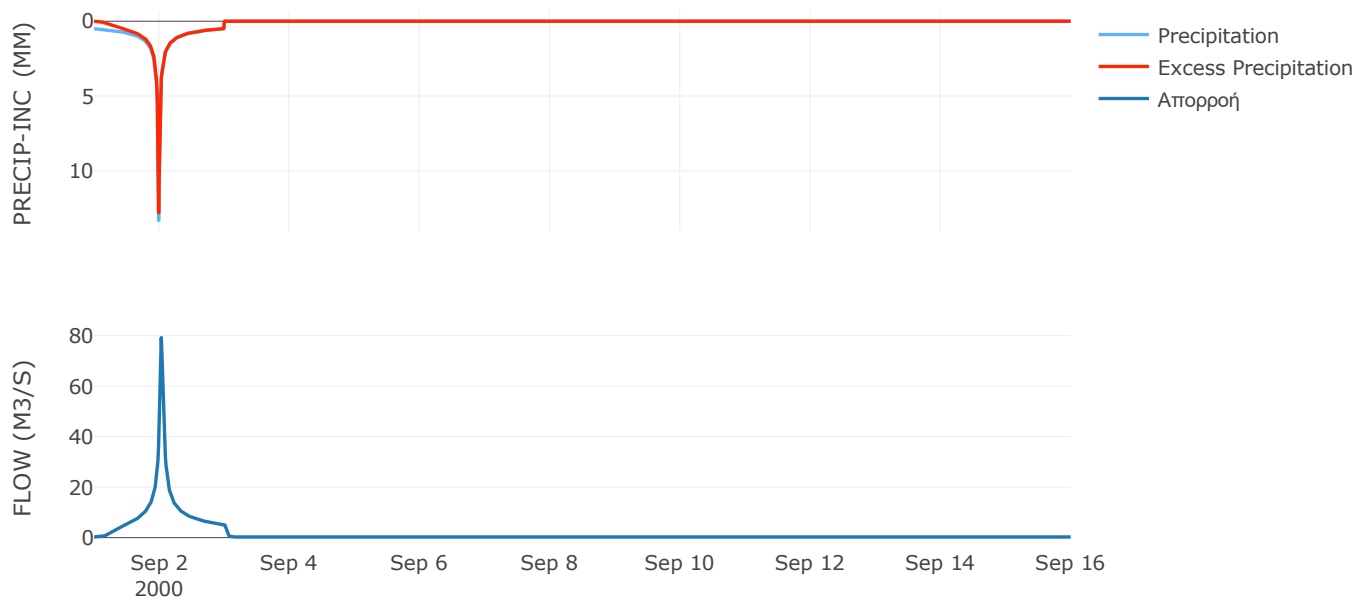
Μέθοδος
Μετασχηματισμού: SCS

Χρόνος Υστέρησης	41.15
------------------	-------

Αποτελέσματα:
EL0514FL002011

Παροχή αιχμής (M3/S)	79.11
Χρονική στιγμή αιχμής	02Sep2000, 00:45
Όγκος (MM)	243.1
Όγκος βροχόπτωσης (M3)	2.05E6
Όγκος απωλειών (M3)	2.55E5
Ενεργός Όγκος (M3)	1.8E6
Όγκος άμεσης απορροής (M3)	1.8E6
Όγκος βασικής απορροής (M3)	3.42E5

Βροχόπτωση και Απορροή



Υπολεκάνη: EL0514FL002012

Έκταση (KM2) : 5.8

Κατάντη : J9

Μέθοδος Απωλειών: SCS

Ποσοστό αδιαπέρατης επιφάνειας	0
Αριθμός Καμπύλης Απορροής-CN	87.26
Αρχικές Απώλειες	7.42

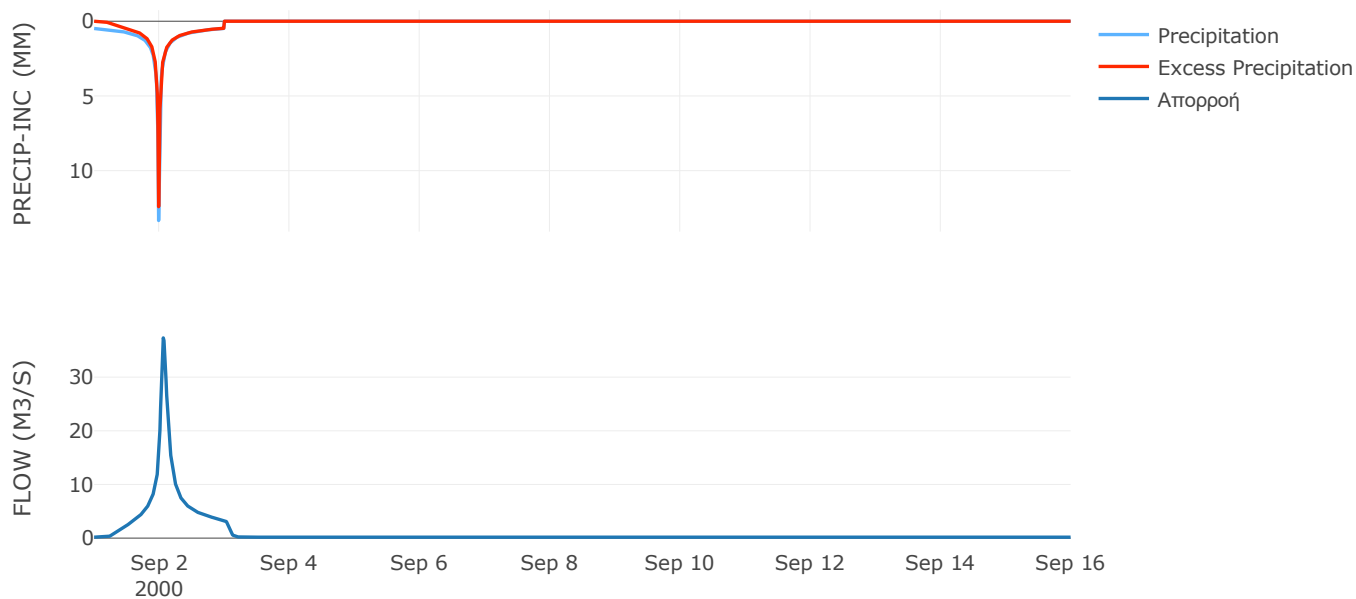
Μέθοδος
Μετασχηματισμού: SCS

Χρόνος Υστέρησης	89.95
------------------	-------

Αποτελέσματα:
EL0514FL002012

Παροχή αιχμής (M3/S)	37.32
Χρονική στιγμή αιχμής	02Sep2000, 01:30
Όγκος (MM)	228.31
Όγκος βροχόπτωσης (M3)	1.33E6
Όγκος απωλειών (M3)	2.27E5
Ενεργός Όγκος (M3)	1.1E6
Όγκος άμεσης απορροής (M3)	1.1E6
Όγκος βασικής απορροής (M3)	2.26E5

Βροχόπτωση και Απορροή



Υπολεκάνη: EL0514FL002013

Έκταση (KM2) : 26.26

Κατάντη : J10

Μέθοδος Απωλειών: SCS

Ποσοστό αδιαπέρατης επιφάνειας	0
Αριθμός Καμπύλης Απορροής-CN	85.32
Αρχικές Απώλειες	8.74

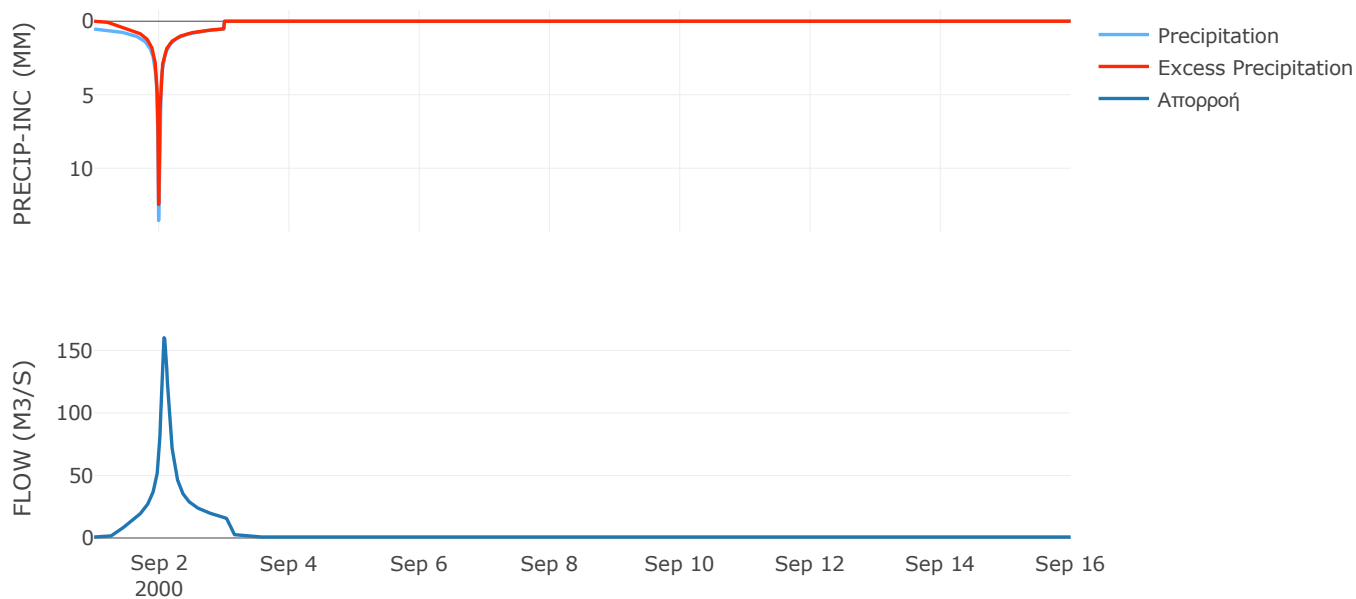
Μέθοδος
Μετασχηματισμού: SCS

Χρόνος Υστέρησης	106.56
------------------	--------

Αποτελέσματα:
EL0514FL002013

Παροχή αιχμής (M3/S)	160.19
Χρονική στιγμή αιχμής	02Sep2000, 01:45
Όγκος (MM)	237.91
Όγκος βροχόπτωσης (M3)	6.42E6
Όγκος απωλειών (M3)	1.2E6
Ενεργός Όγκος (M3)	5.23E6
Όγκος άμεσης απορροής (M3)	5.23E6
Όγκος βασικής απορροής (M3)	1.02E6

Βροχόπτωση και Απορροή



Υπολεκάνη: EL0514FL002014

Έκταση (KM2) : 10.15

Κατάντη : J12

Μέθοδος Απωλειών: SCS

Ποσοστό αδιαπέρατης επιφάνειας	0
Αριθμός Καμπύλης Απορροής-CN	79.96
Αρχικές Απώλειες	12.73

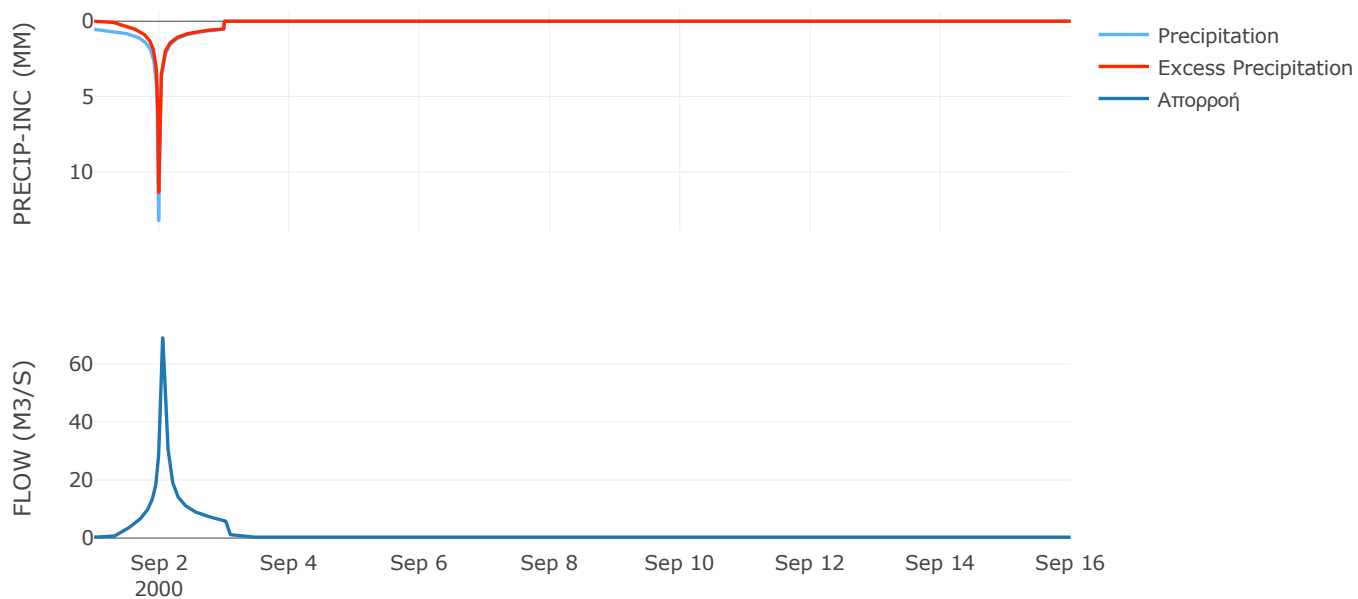
Μέθοδος
Μετασχηματισμού: SCS

Χρόνος Υστέρησης	66.5
------------------	------

Αποτελέσματα:
EL0514FL002014

Παροχή αιχμής (M3/S)	69.03
Χρονική στιγμή αιχμής	02Sep2000, 01:15
Όγκος (MM)	220.03
Όγκος βροχόπτωσης (M3)	2.47E6
Όγκος απωλειών (M3)	6.36E5
Ενεργός Όγκος (M3)	1.84E6
Όγκος άμεσης απορροής (M3)	1.84E6
Όγκος βασικής απορροής (M3)	3.95E5

Βροχόπτωση και Απορροή



Υπολεκάνη: EL0514FL002015

Έκταση (KM2) : 12.91

Κατάνη : J11

Μέθοδος Απωλειών: SCS

Ποσοστό αδιαπέρατης επιφάνειας	0
Αριθμός Καμπύλης Απορροής-CN	87.26
Αρχικές Απώλειες	7.42

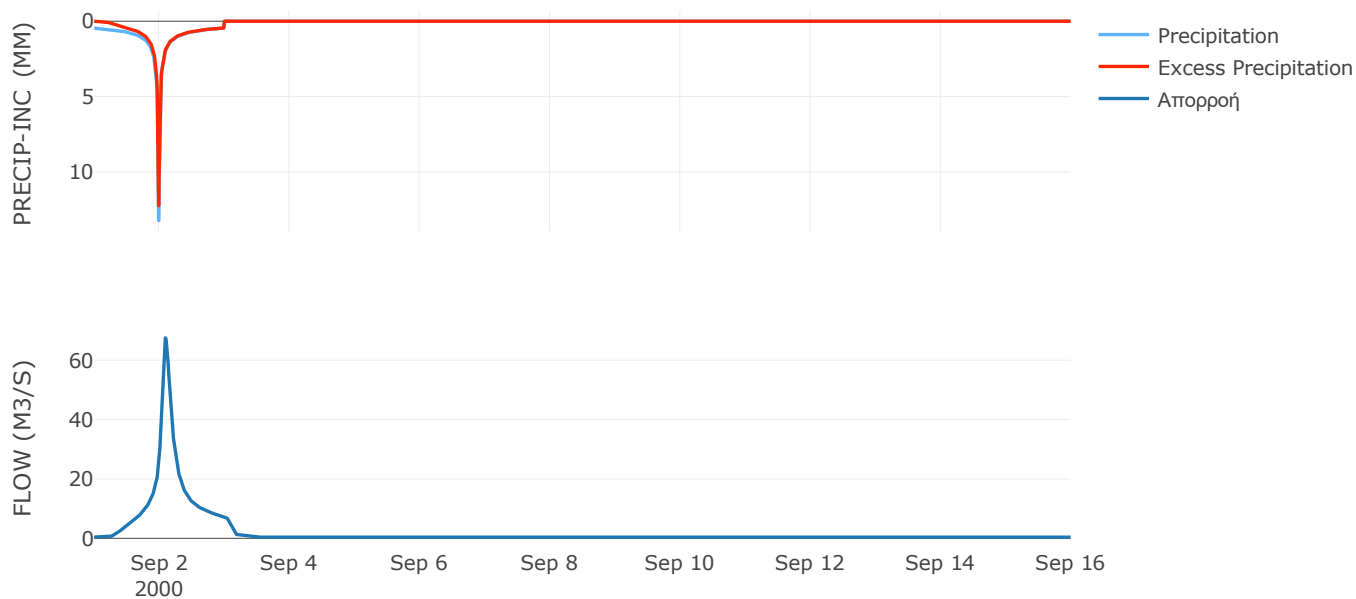
Μέθοδος
Μετασχηματισμού: SCS

Χρόνος Υστέρησης	133.38
------------------	--------

Αποτελέσματα:
EL0514FL002015

Παροχή αιχμής (M3/S)	67.55
Χρονική στιγμή αιχμής	02Sep2000, 02:15
Όγκος (MM)	219.93
Όγκος βροχόπτωσης (M3)	2.84E6
Όγκος απωλειών (M3)	5.04E5
Ενεργός Όγκος (M3)	2.34E6
Όγκος άμεσης απορροής (M3)	2.34E6
Όγκος βασικής απορροής (M3)	5.02E5

Βροχόπτωση και Απορροή



7.2 Δεδομένα και υδρογραφήματα σχεδιασμού Κλάδων υδρογραφικού δικτύου

Κλάδος: R21

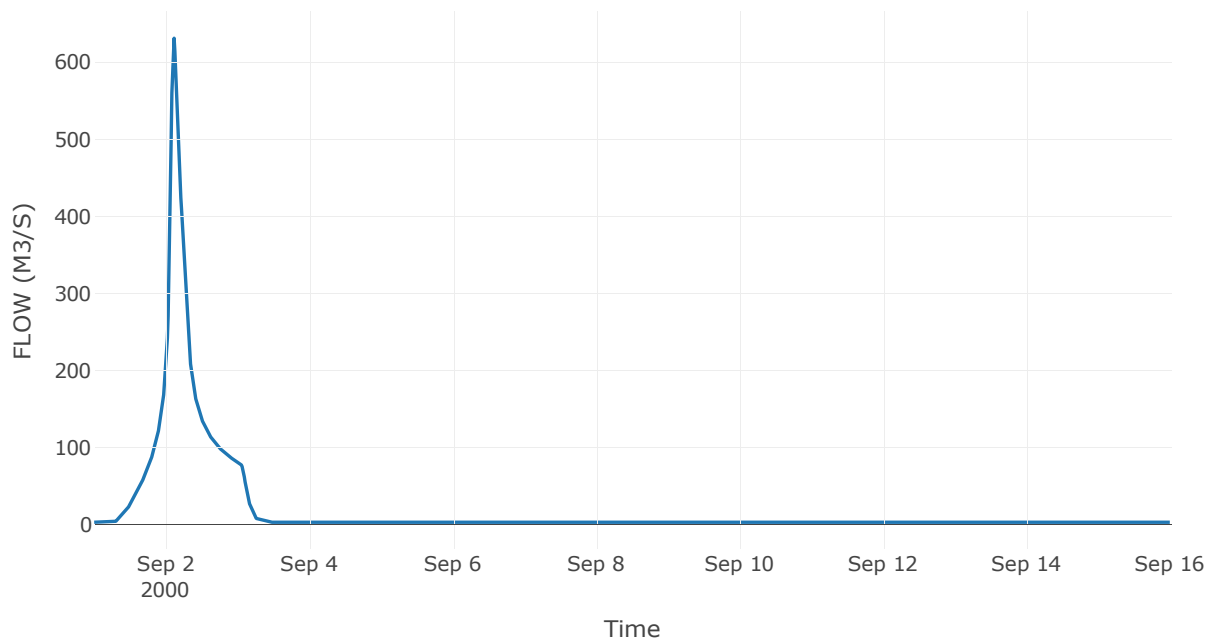
Κατάντη : J1

Μέθοδος Διόδευσης	Muskingum
Αρχική Μεταβλητή	Combined Inflow
Χρόνος Ροής Κ	1.14
Συντελεστής βάρους α	0.2
Πλήθος Υποκλάδων	5

Αποτελέσματα: R21

Παροχή Αιχμής (M3/S)	631.06
Χρονική στιγμή αιχμής	02Sep2000, 02:45
Όγκος(MM)	222.93
Παροχή Αιχμής Εισόδου (M3/S)	663.02
Όγκος Εισροής(M3)	2.77E7

Απορροή



Κλάδος: R32

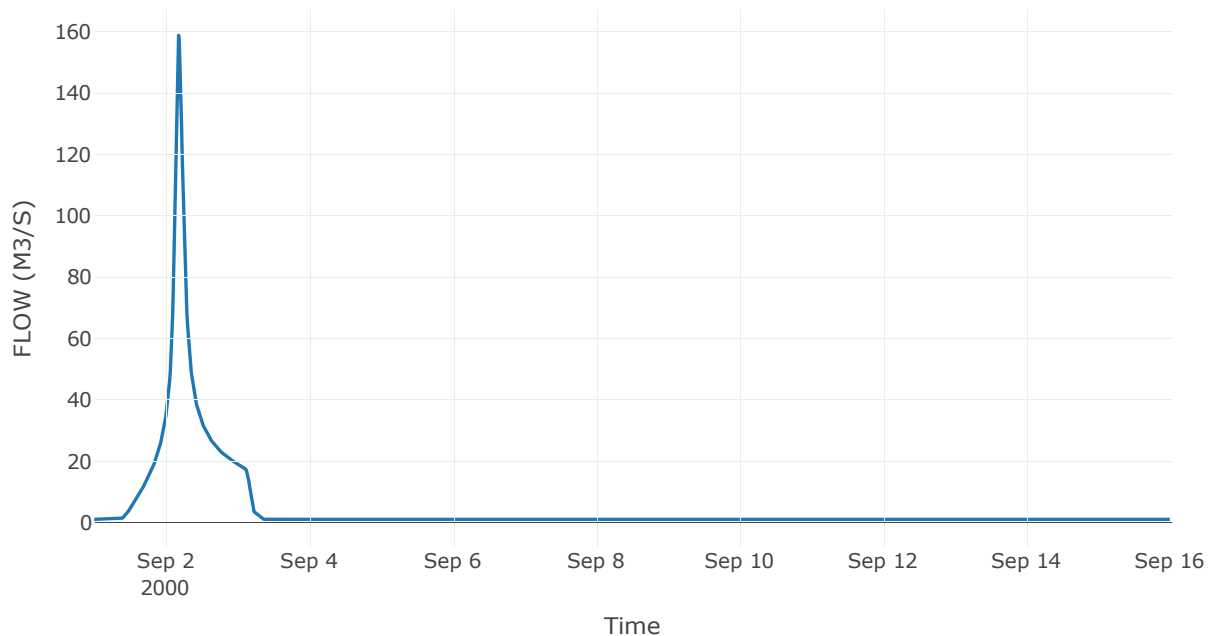
Κατάντη : J2

Μέθοδος Διόδευσης	Muskingum
Αρχική Μεταβλητή	Combined Inflow
Χρόνος Ροής K	3
Συντελεστής βάρους x	0.2
Πλήθος Υποκλάδων	13

Αποτελέσματα: R32

Παροχή Αιχμής (M3/S)	158.79
Χρονική στιγμή αιχμής	02Sep2000, 04:15
Όγκος(MM)	188.59
Παροχή Αιχμής Εισόδου (M3/S)	184.18
Όγκος Εισροής(M3)	6.37E6

Απορροή



Κλάδος: R43

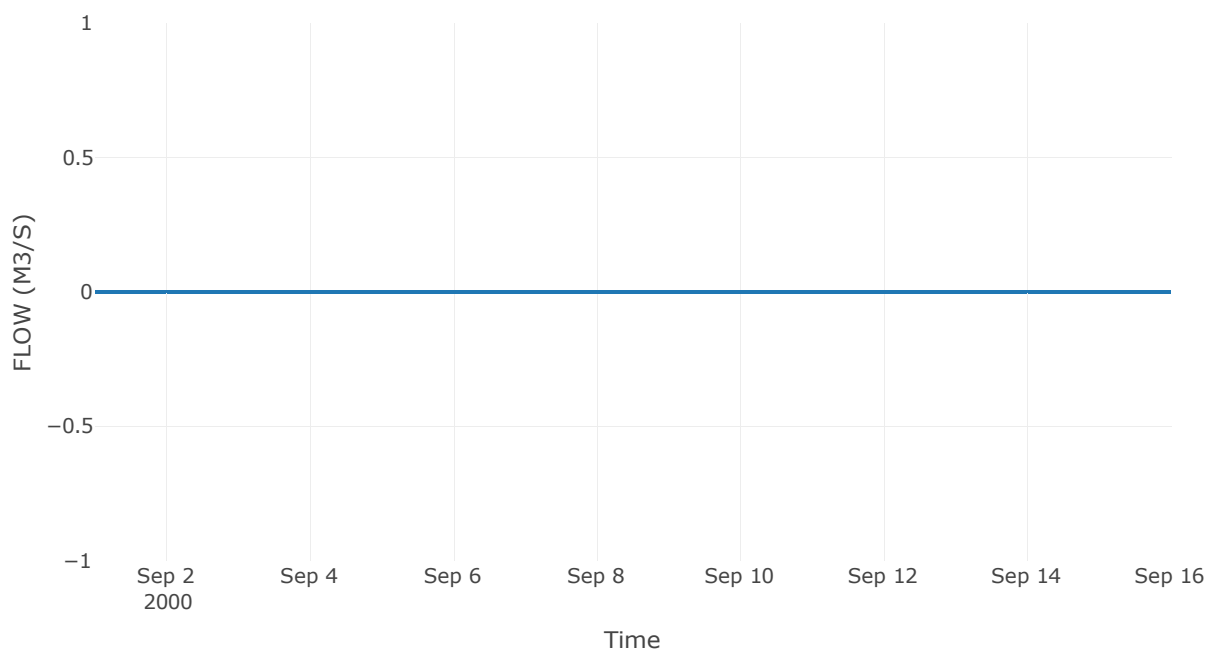
Κατάντη : J3

Μέθοδος Διόδευσης	Muskingum
Αρχική Μεταβλητή	Combined Inflow
Χρόνος Ροής K	3.84
Συντελεστής βάρους x	0.2
Πλήθος Υποκλάδων	16

Αποτελέσματα: R43

Παροχή Αιχμής (M3/S)	0
Χρονική στιγμή αιχμής	31Aug2000, 24:00
Peak Inflow (M3/S)	0
Όγκος Εισροής (M3)	0

Απορροή



Κλάδος: R540

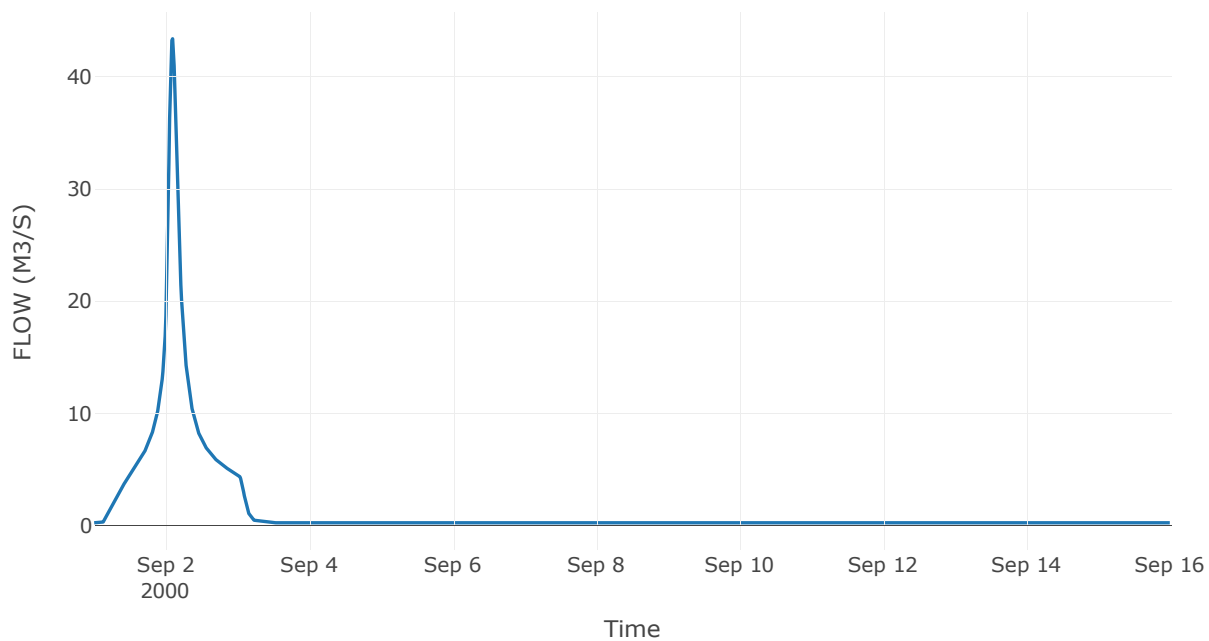
Κατάντη : J40

Μέθοδος Διόδευσης	Χρόνος
Αρχική Μεταβλητή	Combined Inflow
Χρόνος υστέρησης	0

Αποτελέσματα: R540

Παροχή Αιχμής (M3/S)	43.39
Χρονική στιγμή αιχμής	02Sep2000, 02:15
Όγκος(MM)	225.32
Παροχή Αιχμής Εισόδου (M3/S)	43.39
Όγκος Εισροής(M3)	1.9E6

Απορροή



Κλάδος: R640

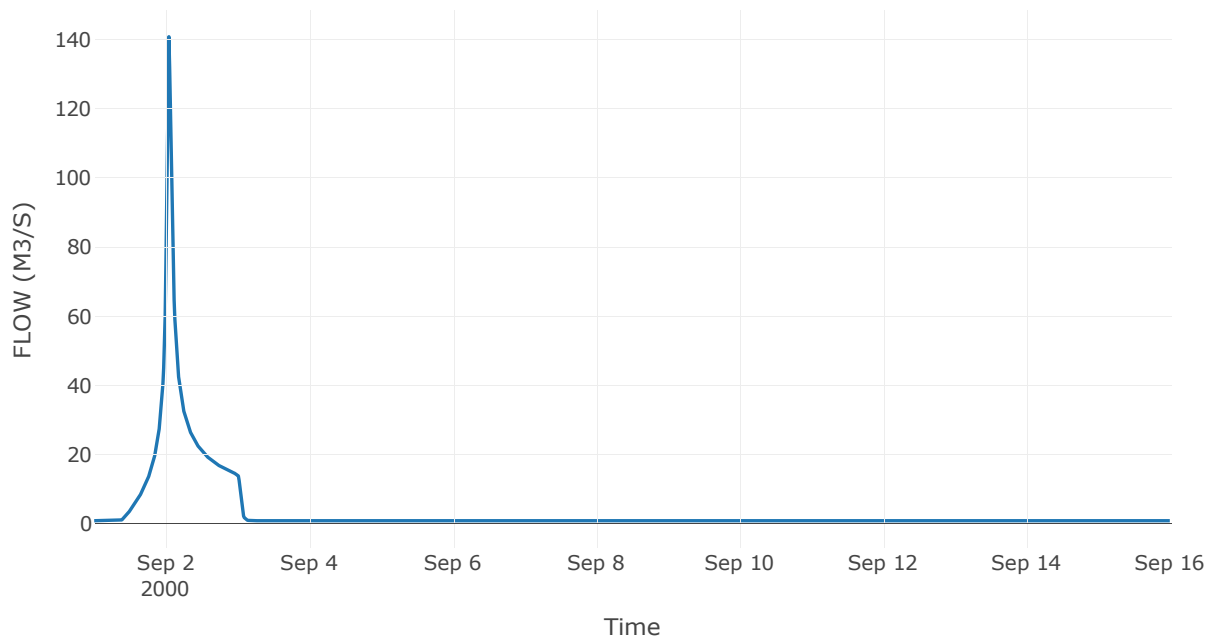
Κατάντη : J40

Μέθοδος Διόδευσης	Χρόνος
Αρχική Μεταβλητή	Combined Inflow
Χρόνος υστέρησης	0

Αποτελέσματα: R640

Παροχή Αιχμής (M3/S)	140.81
Χρονική στιγμή αιχμής	02Sep2000, 01:00
Όγκος(MM)	174.95
Παροχή Αιχμής Εισόδου (M3/S)	140.81
Όγκος Εισροής(M3)	4.6E6

Απορροή



Κλάδος: R740

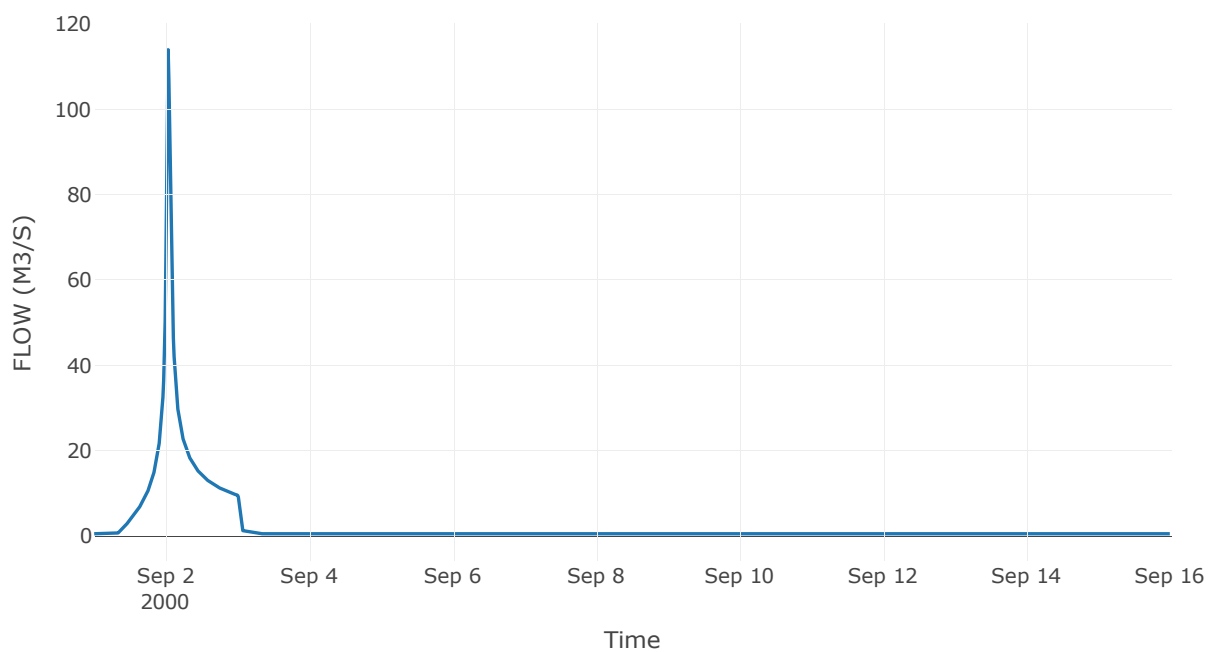
Κατάντη : J40

Μέθοδος Διόδευσης	Χρόνος
Αρχική Μεταβλητή	Combined Inflow
Χρόνος υστέρησης	0

Αποτελέσματα: R740

Παροχή Αιχμής (M3/S)	113.96
Χρονική στιγμή αιχμής	02Sep2000, 00:45
Όγκος(MM)	187.86
Παροχή Αιχμής Εισόδου (M3/S)	113.96
Όγκος Εισροής(M3)	3.28E6

Απορροή



Κλάδος: R840

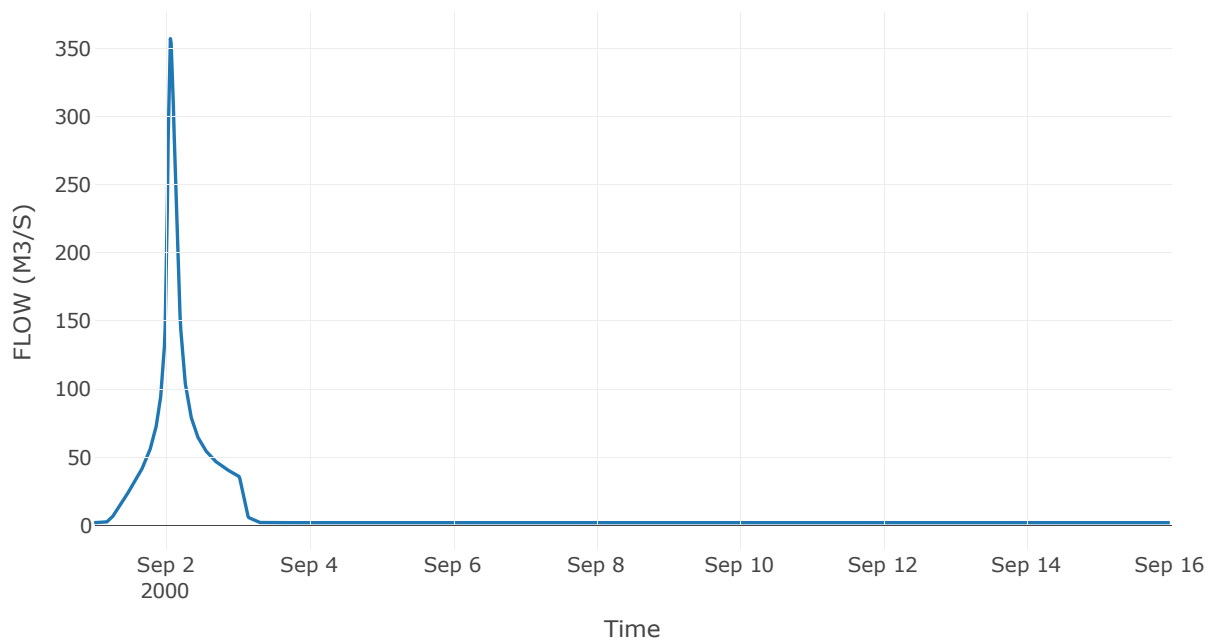
Κατάντη : J40

Μέθοδος Διόδευσης	Χρόνος
Αρχική Μεταβλητή	Combined Inflow
Χρόνος υστέρησης	0

Αποτελέσματα: R840

Παροχή Αιχμής (M3/S)	356.84
Χρονική στιγμή αιχμής	02Sep2000, 01:30
Όγκος(MM)	233.4
Παροχή Αιχμής Εισόδου (M3/S)	356.84
Όγκος Εισροής(M3)	1.41E7

Απορροή



Κλάδος: R1140

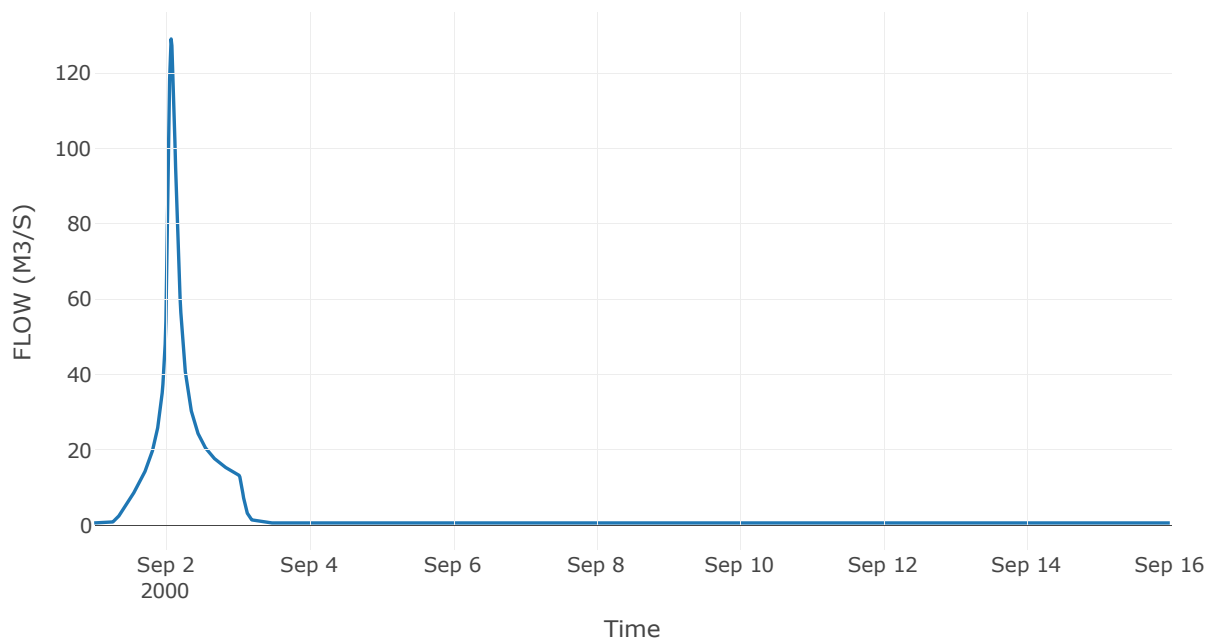
Κατάντη : J40

Μέθοδος Διόδευσης	Χρόνος
Αρχική Μεταβλητή	Combined Inflow
Χρόνος υστέρησης	0

Αποτελέσματα: R1140

Παροχή Αιχμής (M3/S)	129.07
Χρονική στιγμή αιχμής	02Sep2000, 01:45
Όγκος(MM)	219.97
Παροχή Αιχμής Εισόδου (M3/S)	129.07
Όγκος Εισροής(M3)	5.07E6

Απορροή



Κλάδος: R98

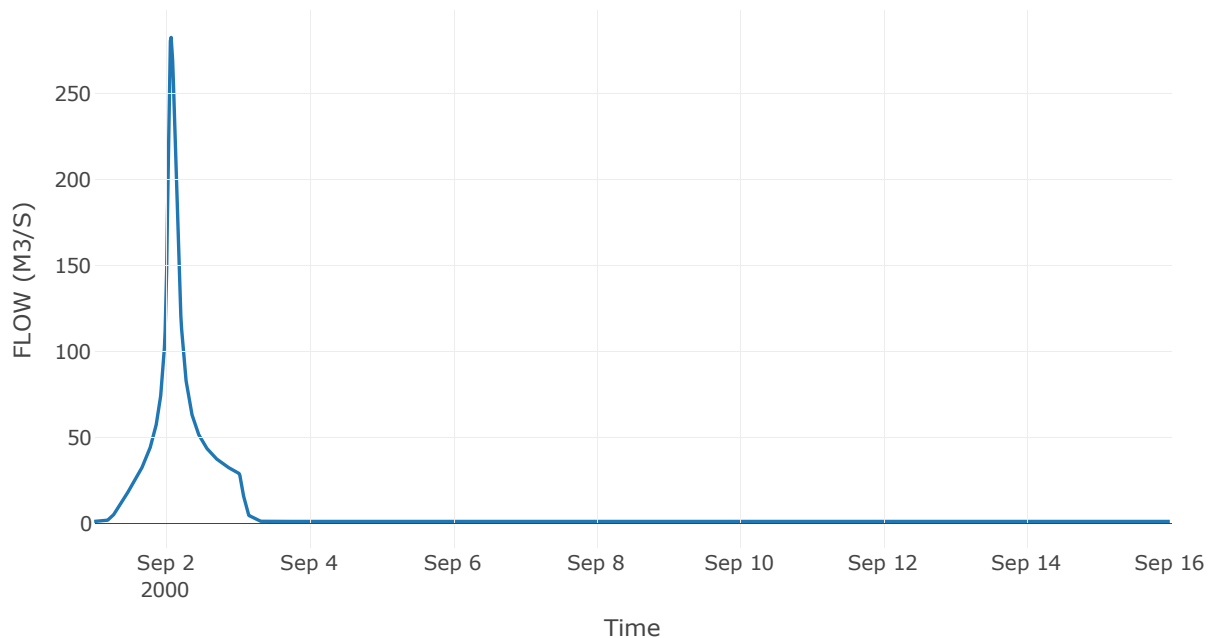
Κατάντη : J8

Μέθοδος Διόδευσης	Muskingum
Αρχική Μεταβλητή	Combined Inflow
Χρόνος Ροής K	0.33
Συντελεστής βάρους x	0.2
Πλήθος Υποκλάδων	1

Αποτελέσματα: R98

Παροχή Αιχμής (M3/S)	282.63
Χρονική στιγμή αιχμής	02Sep2000, 01:45
Όγκος(MM)	236.56
Παροχή Αιχμής Εισόδου (M3/S)	287.4
Όγκος Εισροής(M3)	1.14E7

Απορροή



Κλάδος: R109

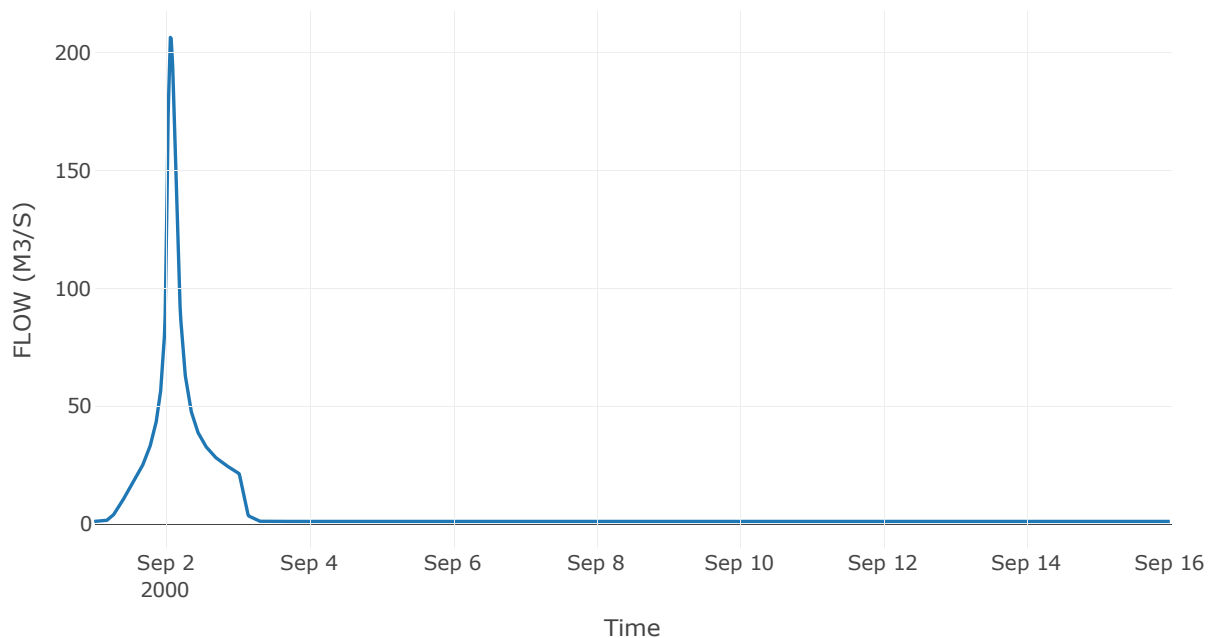
Κατάντη : J9

Μέθοδος Διόδευσης	Muskingum
Αρχική Μεταβλητή	Combined Inflow
Χρόνος Ροής Κ	0.22
Συντελεστής βάρους x	0.2
Πλήθος Υποκλάδων	1

Αποτελέσματα: R109

Παροχή Αιχμής (M3/S)	206.49
Χρονική στιγμή αιχμής	02Sep2000, 01:30
Όγκος(MM)	239.21
Παροχή Αιχμής Εισόδου (M3/S)	207.27
Όγκος Εισροής(M3)	8.39E6

Απορροή



Κλάδος: R1211

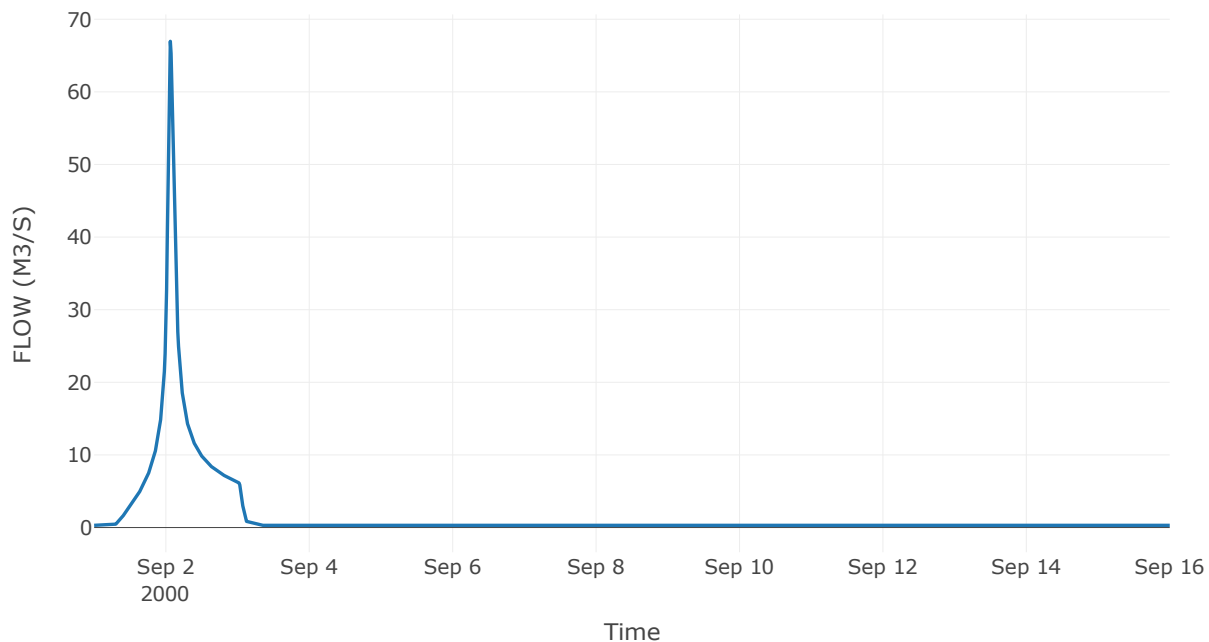
Κατάντη : J11

Μέθοδος Διόδευσης	Muskingum
Αρχική Μεταβλητή	Combined Inflow
Χρόνος Ροής Κ	0.35
Συντελεστής βάρους x	0.2
Πλήθος Υποκλάδων	1

Αποτελέσματα: R1211

Παροχή Αιχμής (M3/S)	66.96
Χρονική στιγμή αιχμής	02Sep2000, 01:30
Όγκος(MM)	220.03
Παροχή Αιχμής Εισόδου (M3/S)	69.03
Όγκος Εισροής(M3)	2.23E6

Απορροή



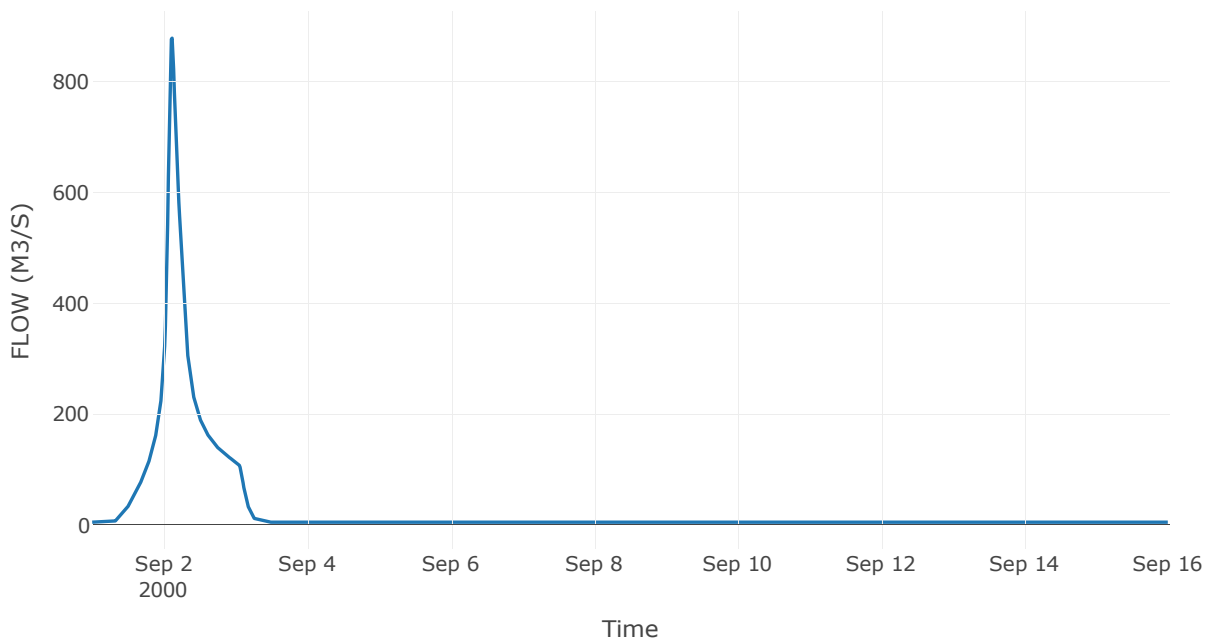
7.3 Δεδομένα και υδρογραφήματα σχεδιασμού Κόμβων υδρογραφικού δικτύου

Κόμβος εξόδου: J1

Αποτελέσμα
τα: J1

Παροχή αιχμής (M3/S)	878.26
Χρονική στιγμή αιχμής	02Sep2000, 02:45
Όγκος (MM)	210.86

Απορροή



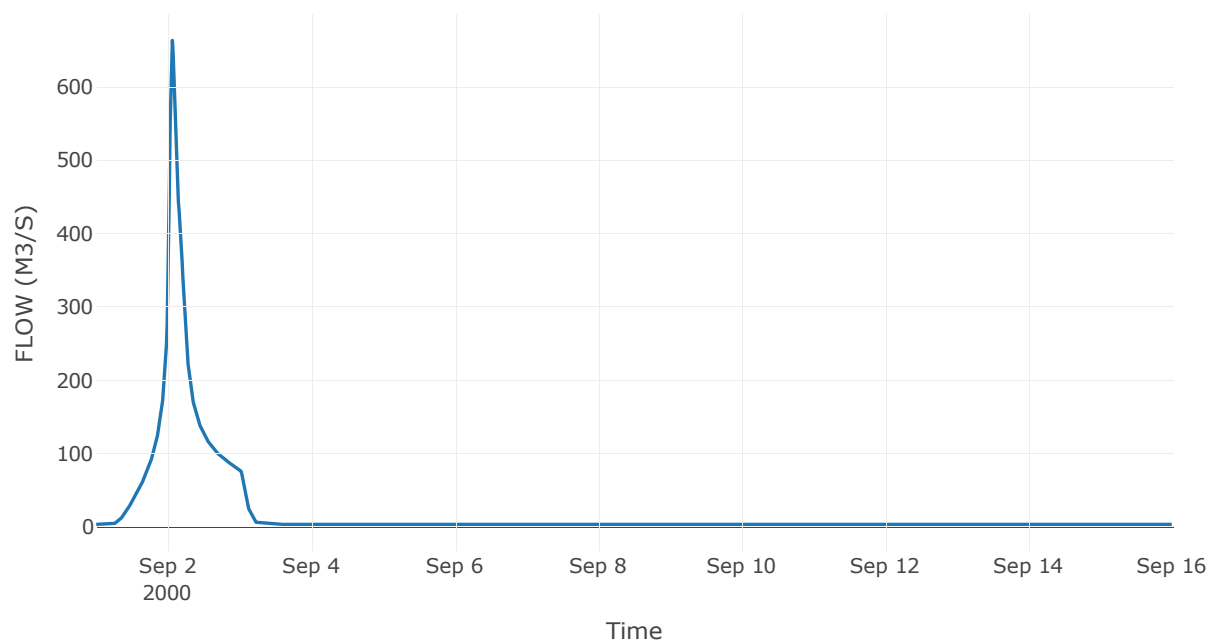
Κόμβος: J2

Κατάντη : R21

Αποτελέσματα: J2

Παροχή Αιχμής (M3/S)	663.02
Χρονική στιγμή αιχμής	02Sep2000, 01:30
Όγκος(MM)	222.93

Απορροή



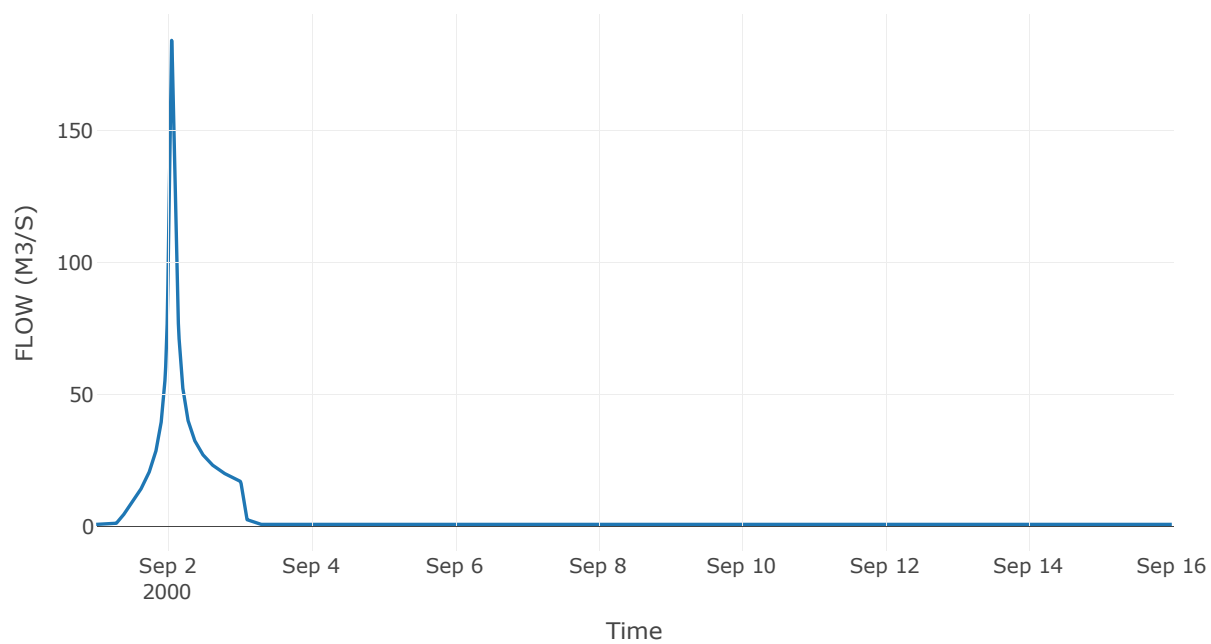
Κόμβος: J3

Κατάντη : R32

Αποτελέσματα: J3

Παροχή Αιχμής (M3/S)	184.18
Χρονική στιγμή αιχμής	02Sep2000, 01:15
Όγκος(MM)	188.59

Απορροή



Κόμβος: J4

Κατάντη : R43

Αποτελέσματα: J4

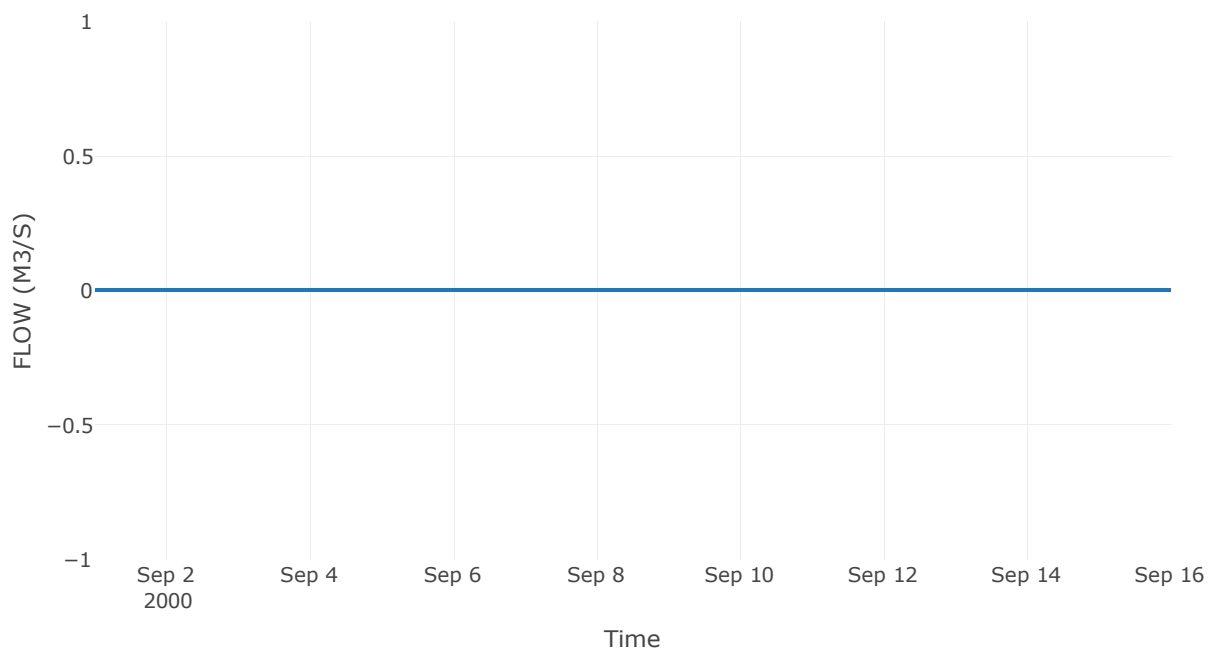
Παροχή Αιχμής (M3/S)

0

Χρονική στιγμή αιχμής

31Aug2000, 24:00

Απορροή

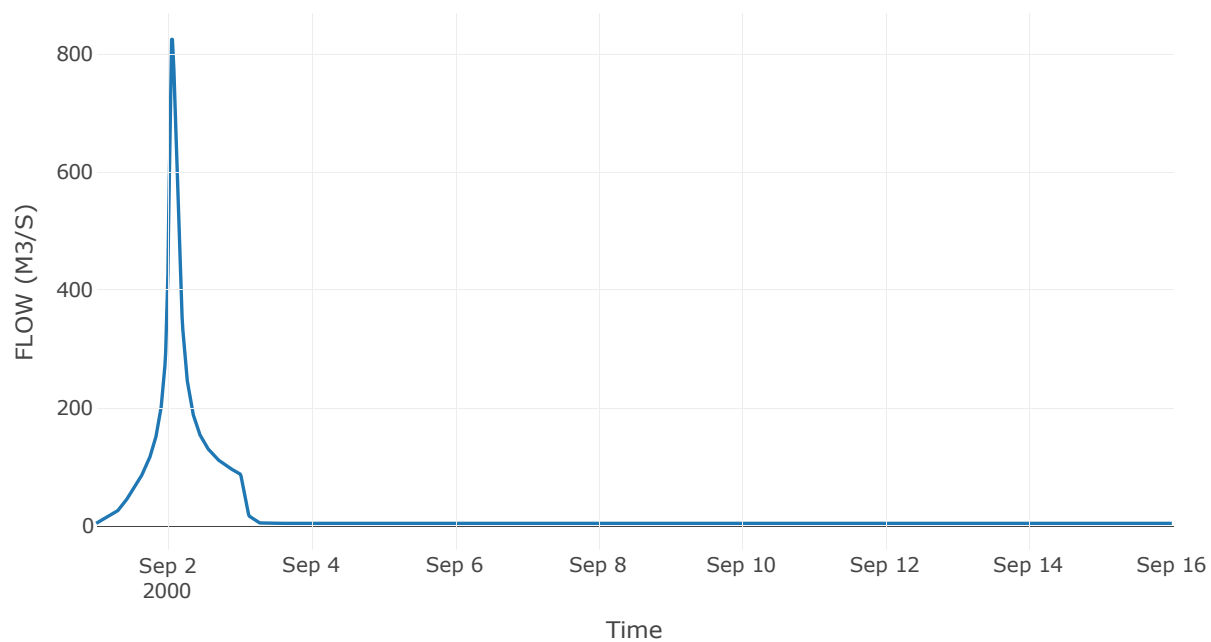


Κόμβος εξόδου: J40

Αποτελέσματ
α: J40

Παροχή αιχμής (M3/S)	824.69
Χρονική στιγμή αιχμής	02Sep2000, 01:30
Όγκος (MM)	217.37

Απορροή



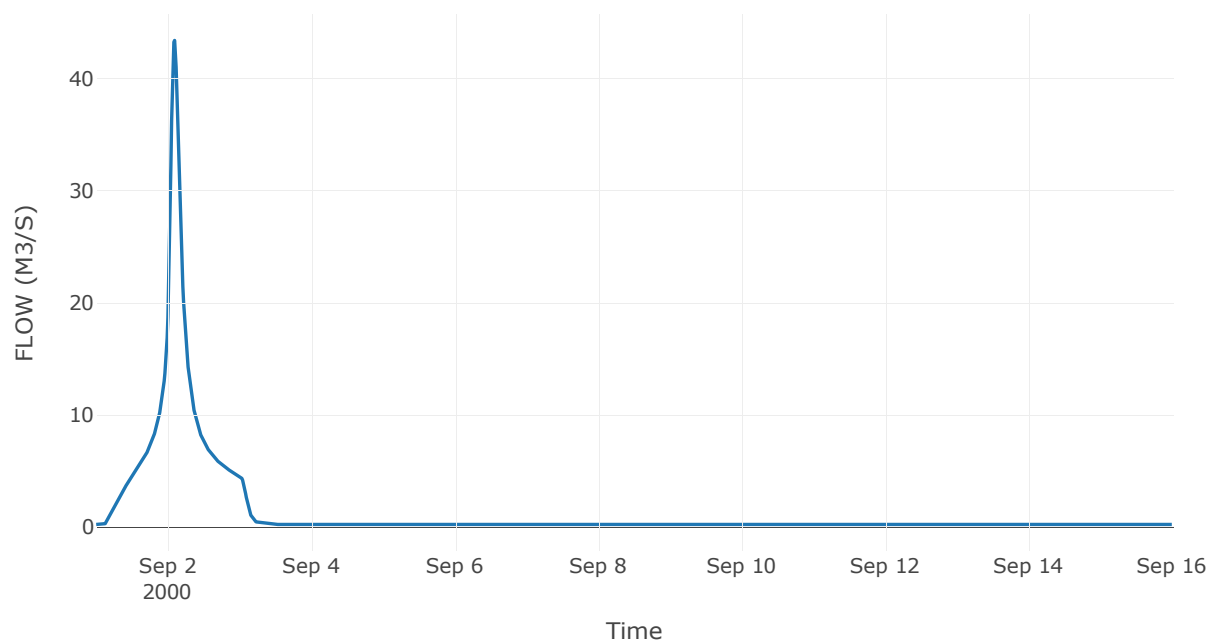
Κόμβος: J5

Κατάντη : R540

Αποτελέσματα: J5

Παροχή Αιχμής (M3/S)	43.39
Χρονική στιγμή αιχμής	02Sep2000, 02:15
Όγκος(MM)	225.32

Απορροή



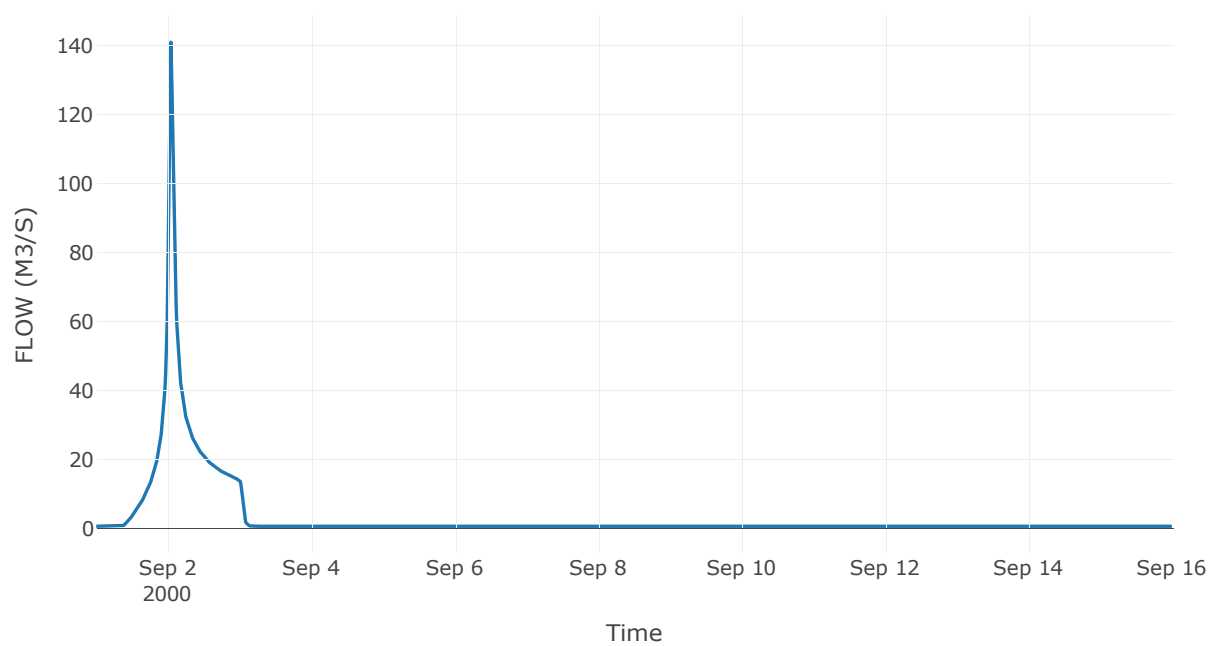
Κόμβος: J6

Κατάντη : R640

Αποτελέσματα: J6

Παροχή Αιχμής (M3/S)	140.81
Χρονική στιγμή αιχμής	02Sep2000, 01:00
Όγκος(MM)	174.95

Απορροή



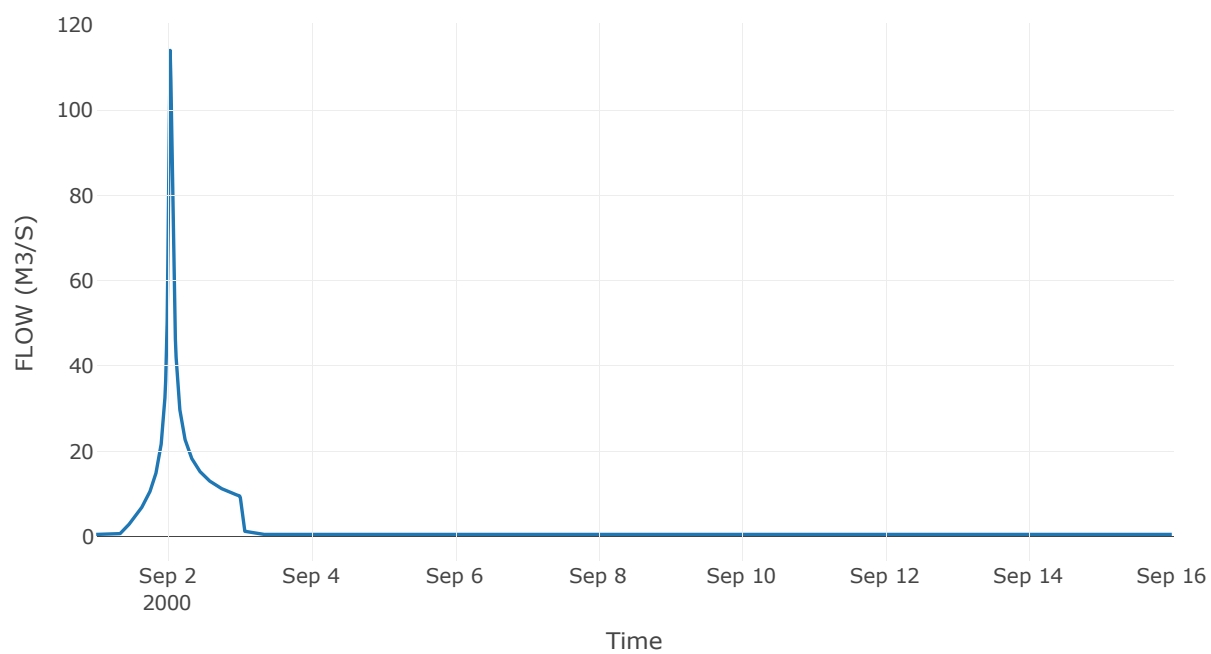
Κόμβος: J7

Κατάντη : R740

Αποτελέσματα: J7

Παροχή Αιχμής (M3/S)	113.96
Χρονική στιγμή αιχμής	02Sep2000, 00:45
Όγκος(MM)	187.86

Απορροή



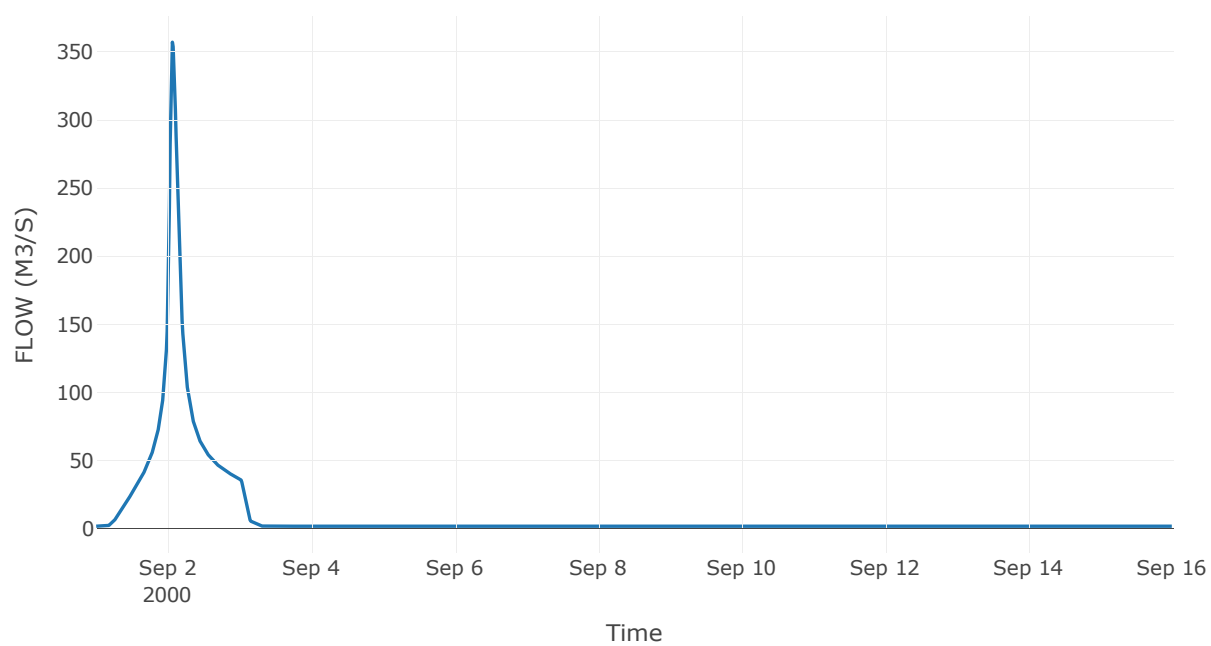
Κόμβος: J8

Κατάντη : R840

Αποτελέσματα: J8

Παροχή Αιχμής (M3/S)	356.84
Χρονική στιγμή αιχμής	02Sep2000, 01:30
Όγκος(MM)	233.4

Απορροή



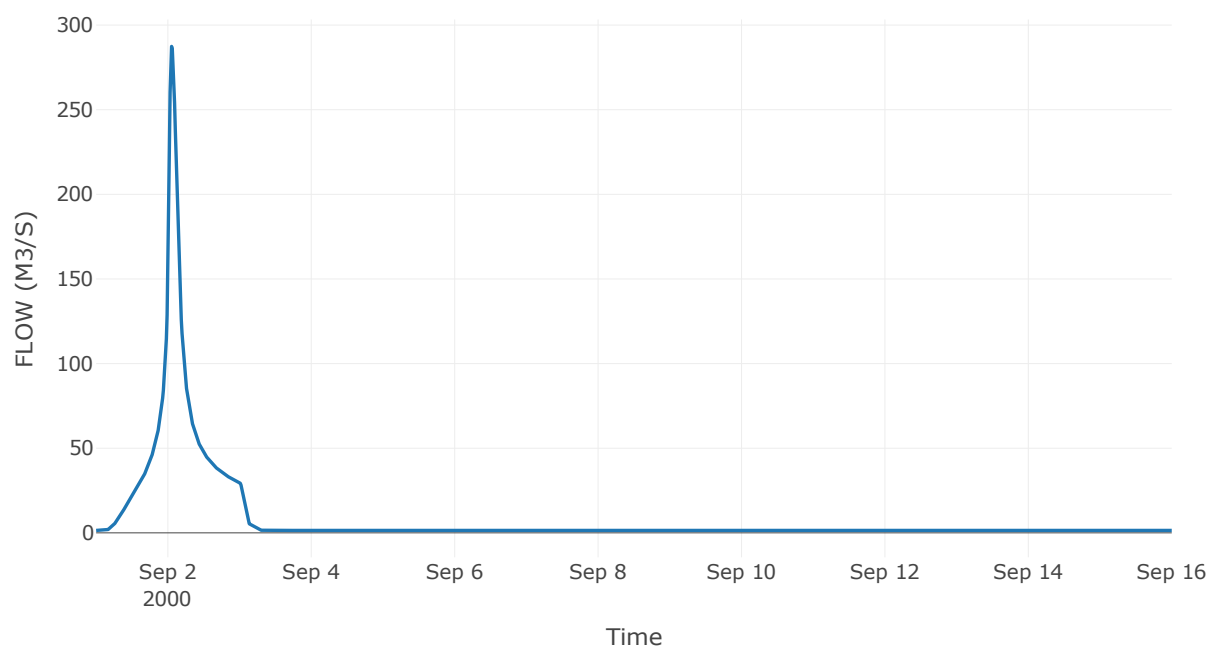
Κόμβος: J9

Κατάντη : R98

Αποτελέσματα: J9

Παροχή Αιχμής (M3/S)	287.4
Χρονική στιγμή αιχμής	02Sep2000, 01:15
Όγκος(MM)	236.56

Απορροή



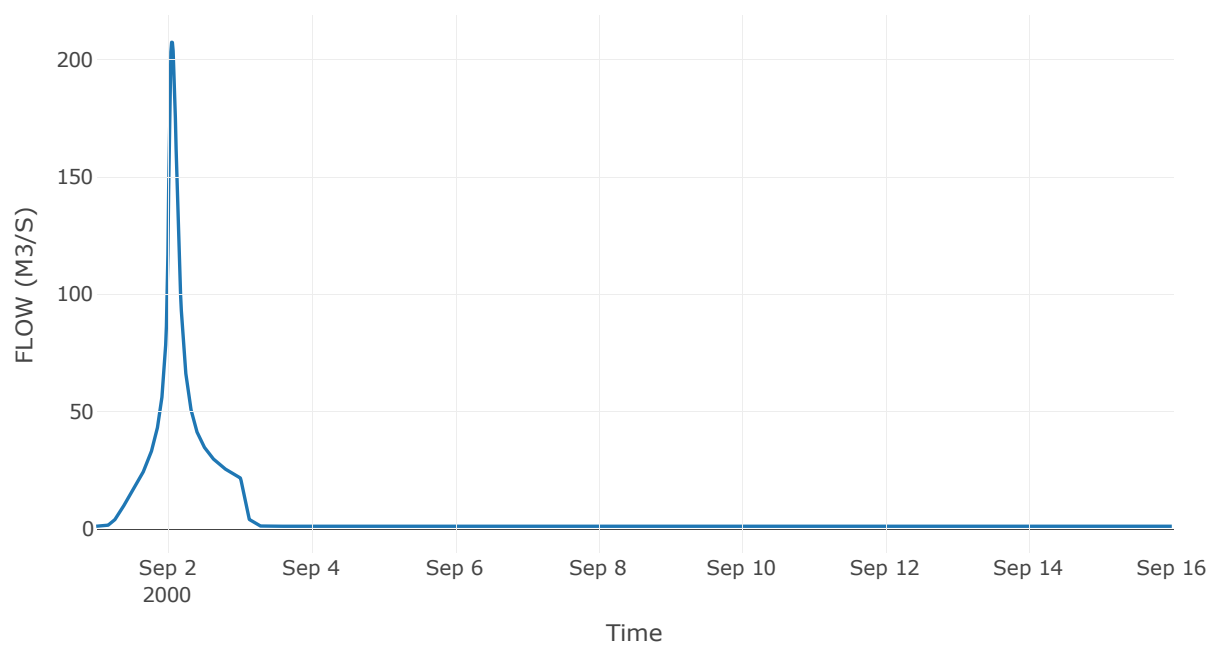
Κόμβος: J10

Κατάντη : R109

Αποτελέσματα: J10

Παροχή Αιχμής (M3/S)	207.27
Χρονική στιγμή αιχμής	02Sep2000, 01:15
Όγκος(MM)	239.21

Απορροή



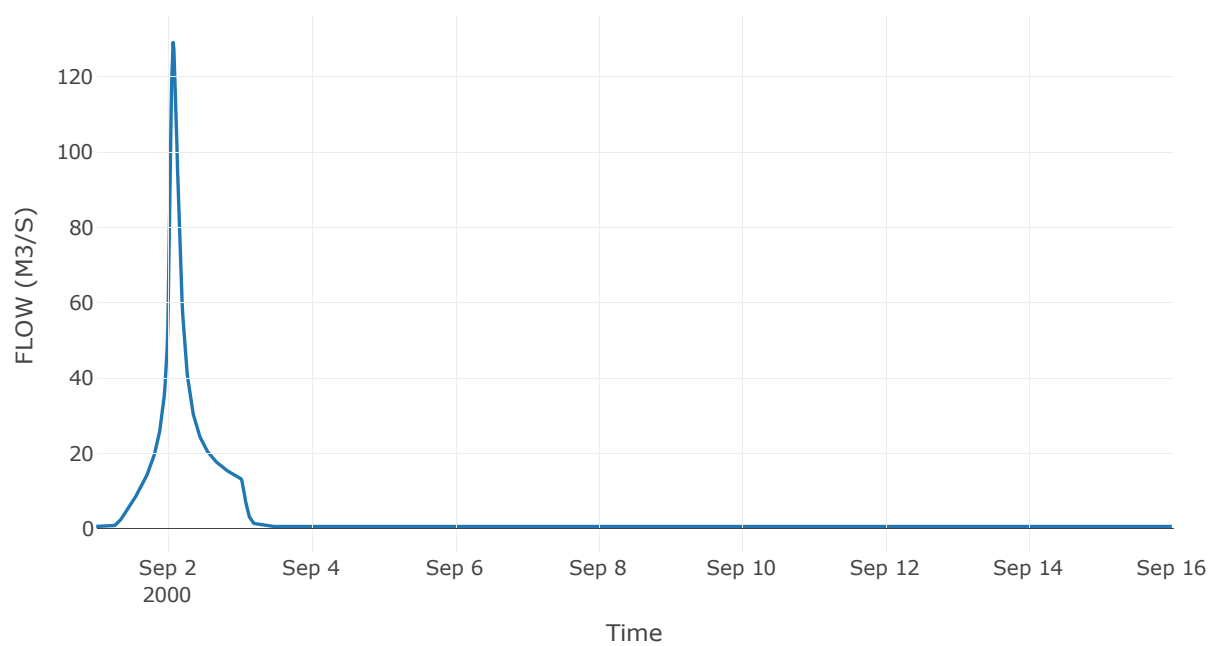
Κόμβος: J11

Κατάντη : R1140

Αποτελέσματα: J11

Παροχή Αιχμής (M3/S)	129.07
Χρονική στιγμή αιχμής	02Sep2000, 01:45
Όγκος(MM)	219.97

Απορροή



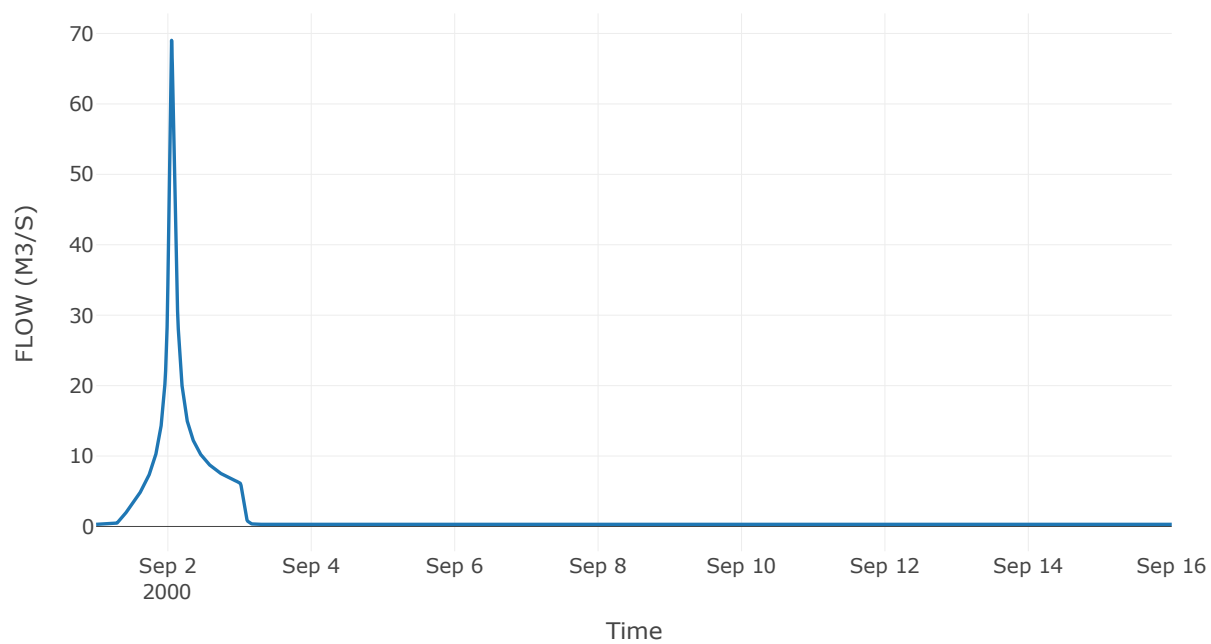
Κόμβος: J12

Κατάντη : R1211

Αποτελέσματα: J12

Παροχή Αιχμής (M3/S)	69.03
Χρονική στιγμή αιχμής	02Sep2000, 01:15
Όγκος(MM)	220.03

Απορροή



8 Δεδομένα εισόδου και αποτελέσματα υδρολογικού σεναρίου $T=1000$

8.1 Αποτελέσματα, υετογραφήματα και υδρογραφήματα σχεδιασμού υπολεκανών

Υπολεκάνη: EL0514FL002001

Έκταση (KM2) : 61.13

Κατάντη : J1

Μέθοδος Απωλειών: SCS

Ποσοστό αδιαπέρατης επιφάνειας	0
Αριθμός Καμπύλης Απορροής-CN	61.9
Αρχικές Απώλειες	31.27

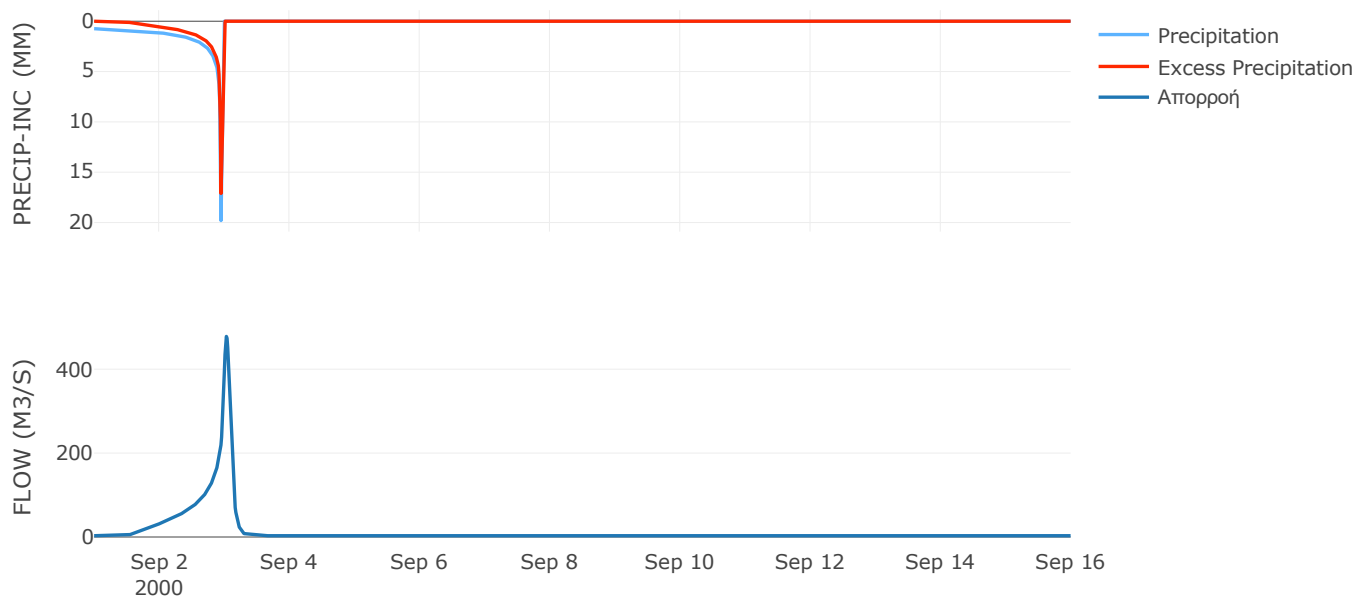
Μέθοδος
Μετασχηματισμού: SCS

Χρόνος Υστέρησης	117.01
------------------	--------

Αποτελέσματα:
EL0514FL002001

Παροχή αιχμής (M3/S)	478.11
Χρονική στιγμή αιχμής	03Sep2000, 00:45
Όγκος (MM)	275.34
Όγκος βροχόπτωσης (M3)	2.12E7
Όγκος απωλειών (M3)	8.3E6
Ενεργός Όγκος (M3)	1.29E7
Όγκος άμεσης απορροής (M3)	1.29E7
Όγκος βασικής απορροής (M3)	3.96E6

Βροχόπτωση και Απορροή



Υπολεκάνη: EL0514FL002002

Έκταση (KM2) : 42.33

Κατάντη : J2

Μέθοδος Απωλειών: SCS

Ποσοστό αδιαπέρατης επιφάνειας	0
Αριθμός Καμπύλης Απορροής-CN	56.64
Αρχικές Απώλειες	38.88

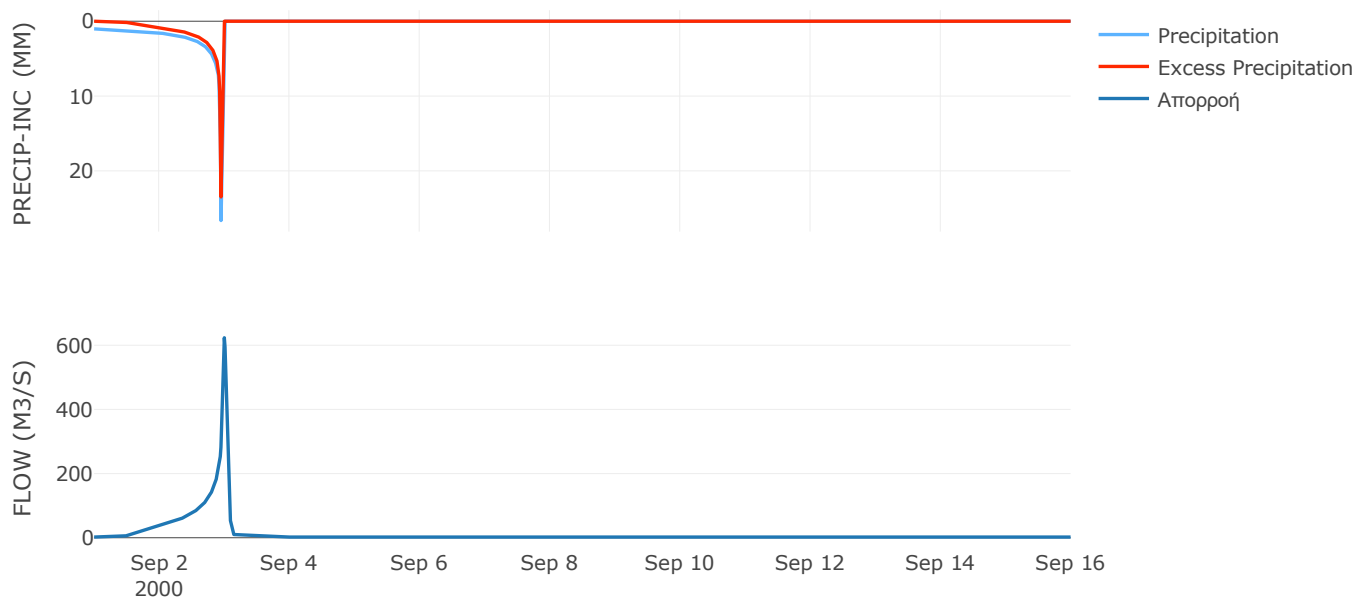
Μέθοδος
Μετασχηματισμού: SCS

Χρόνος Υστέρησης	59.1
------------------	------

Αποτελέσματα:
EL0514FL002002

Παροχή αιχμής (M3/S)	623.33
Χρονική στιγμή αιχμής	02Sep2000, 24:00
Όγκος (MM)	365.16
Όγκος βροχόπτωσης (M3)	2E7
Όγκος απωλειών (M3)	7.33E6
Ενεργός Όγκος (M3)	1.27E7
Όγκος άμεσης απορροής (M3)	1.27E7
Όγκος βασικής απορροής (M3)	2.74E6

Βροχόπτωση και Απορροή



Υπολεκάνη: EL0514FL002003

Έκταση (KM2) : 48.23

Κατάντη : J2

Μέθοδος Απωλειών: SCS

Ποσοστό αδιαπέρατης επιφάνειας	0
Αριθμός Καμπύλης Απορροής-CN	70.25
Αρχικές Απώλειες	21.52

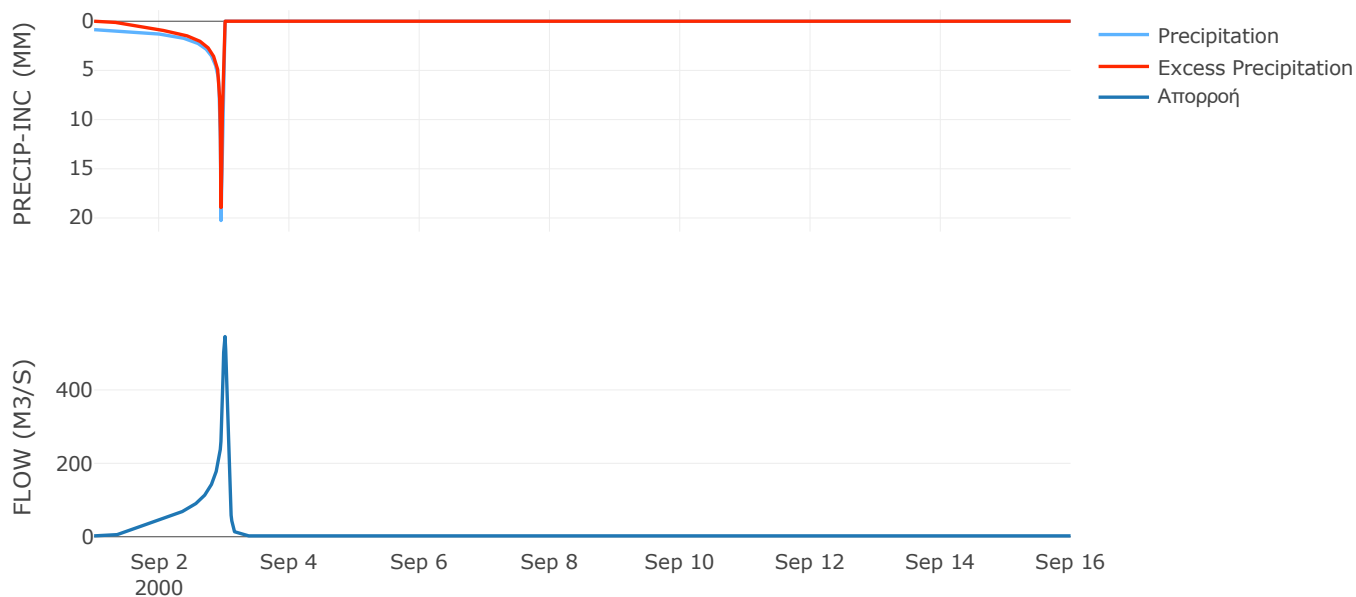
Μέθοδος
Μετασχηματισμού: SCS

Χρόνος Υστέρησης	69.28
------------------	-------

Αποτελέσματα:
EL0514FL002003

Παροχή αιχμής (M3/S)	545.31
Χρονική στιγμή αιχμής	03Sep2000, 00:15
Όγκος (MM)	344.92
Όγκος βροχόπτωσης (M3)	1.86E7
Όγκος απωλειών (M3)	5.04E6
Ενεργός Όγκος (M3)	1.35E7
Όγκος άμεσης απορροής (M3)	1.35E7
Όγκος βασικής απορροής (M3)	3.13E6

Βροχόπτωση και Απορροή



Υπολεκάνη: EL0514FL002004

Έκταση (KM2) : 33.76

Κατάντη : J3

Μέθοδος Απωλειών: SCS

Ποσοστό αδιαπέρατης επιφάνειας	0
Αριθμός Καμπύλης Απορροής-CN	68.26
Αρχικές Απώλειες	23.62

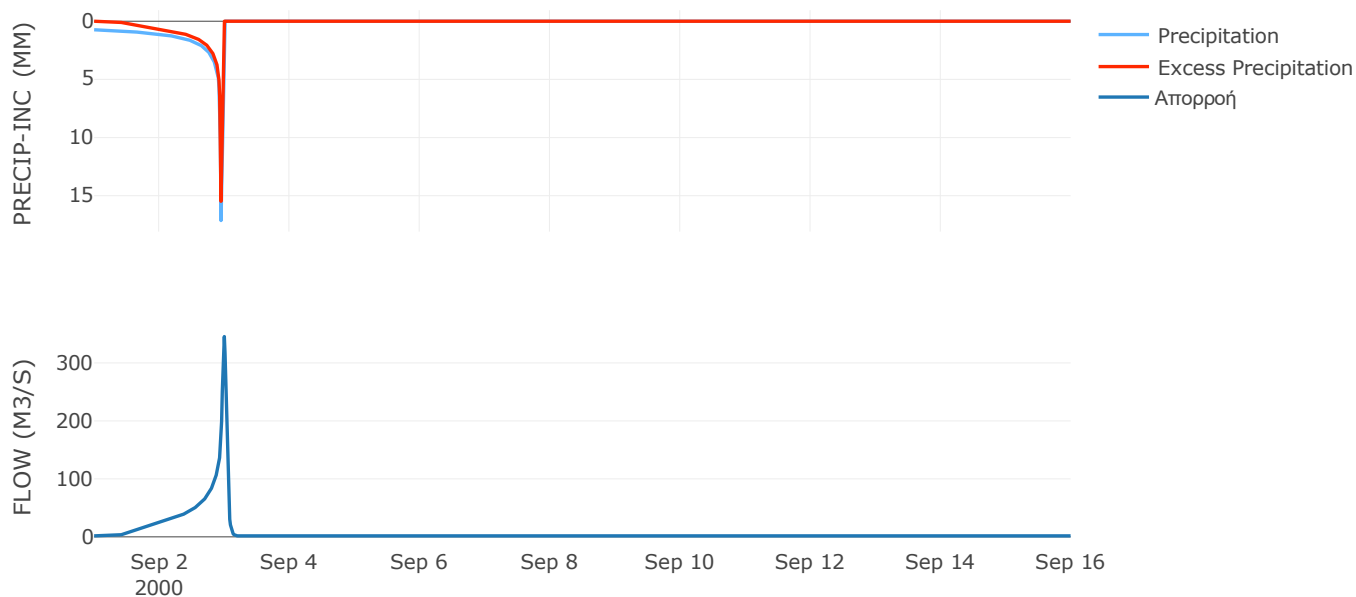
Μέθοδος
Μετασχηματισμού: SCS

Χρόνος Υστέρησης	52.78
------------------	-------

Αποτελέσματα:
EL0514FL002004

Παροχή αιχμής (M3/S)	345.5
Χρονική στιγμή αιχμής	02Sep2000, 24:00
Όγκος (MM)	284.02
Όγκος βροχόπτωσης (M3)	1.11E7
Όγκος απωλειών (M3)	3.67E6
Ενεργός Όγκος (M3)	7.4E6
Όγκος άμεσης απορροής (M3)	7.4E6
Όγκος βασικής απορροής (M3)	2.19E6

Βροχόπτωση και Απορροή



Υπολεκάνη: EL0514FL002005

Έκταση (KM2) : 26.27

Κατάντη : J6

Μέθοδος Απωλειών: SCS

Ποσοστό αδιαπέρατης επιφάνειας	0
Αριθμός Καμπύλης Απορροής-CN	54.88
Αρχικές Απώλειες	41.77

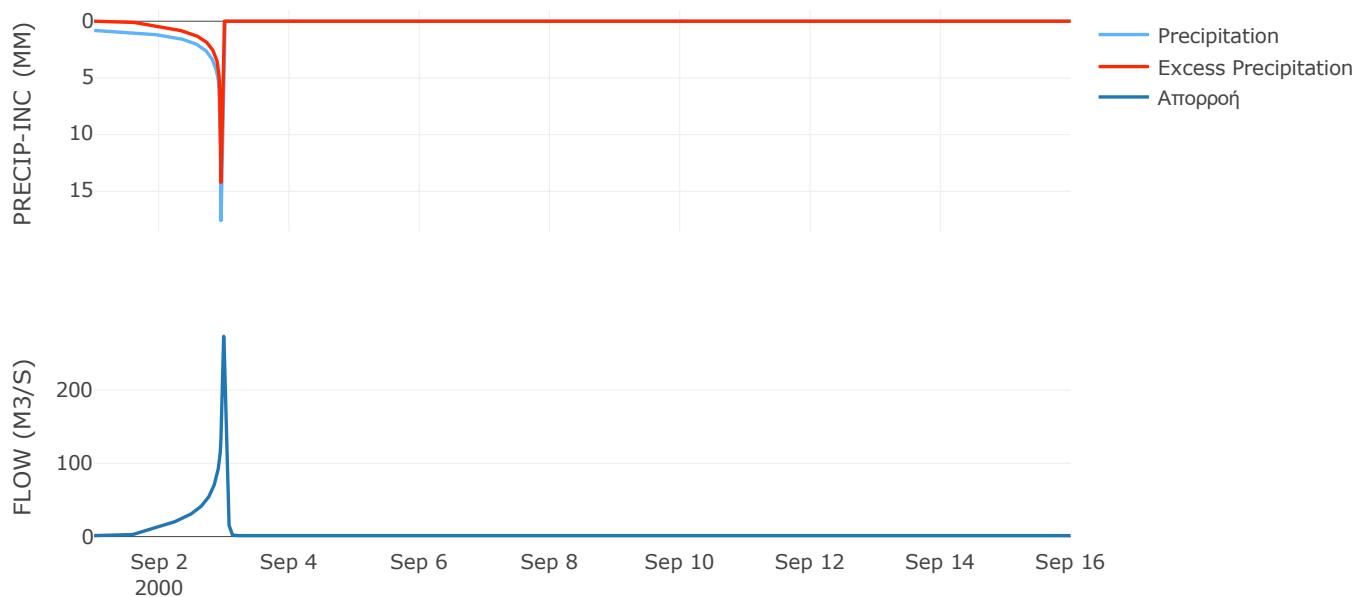
Μέθοδος
Μετασχηματισμού: SCS

Χρόνος Υστέρησης	40.73
------------------	-------

Αποτελέσματα:
EL0514FL002005

Παροχή αιχμής (M3/S)	273.36
Χρονική στιγμή αιχμής	02Sep2000, 23:45
Όγκος (MM)	252.07
Όγκος βροχόπτωσης (M3)	9.3E6
Όγκος απωλειών (M3)	4.39E6
Ενεργός Όγκος (M3)	4.92E6
Όγκος άμεσης απορροής (M3)	4.92E6
Όγκος βασικής απορροής (M3)	1.7E6

Βροχόπτωση και Απορροή



Υπολεκάνη: EL0514FL002006

Έκταση (KM2) : 17.48

Κατάντη : J7

Μέθοδος Απωλειών: SCS

Ποσοστό αδιαπέρατης επιφάνειας	0
Αριθμός Καμπύλης Απορροής-CN	59.28
Αρχικές Απώλειες	34.9

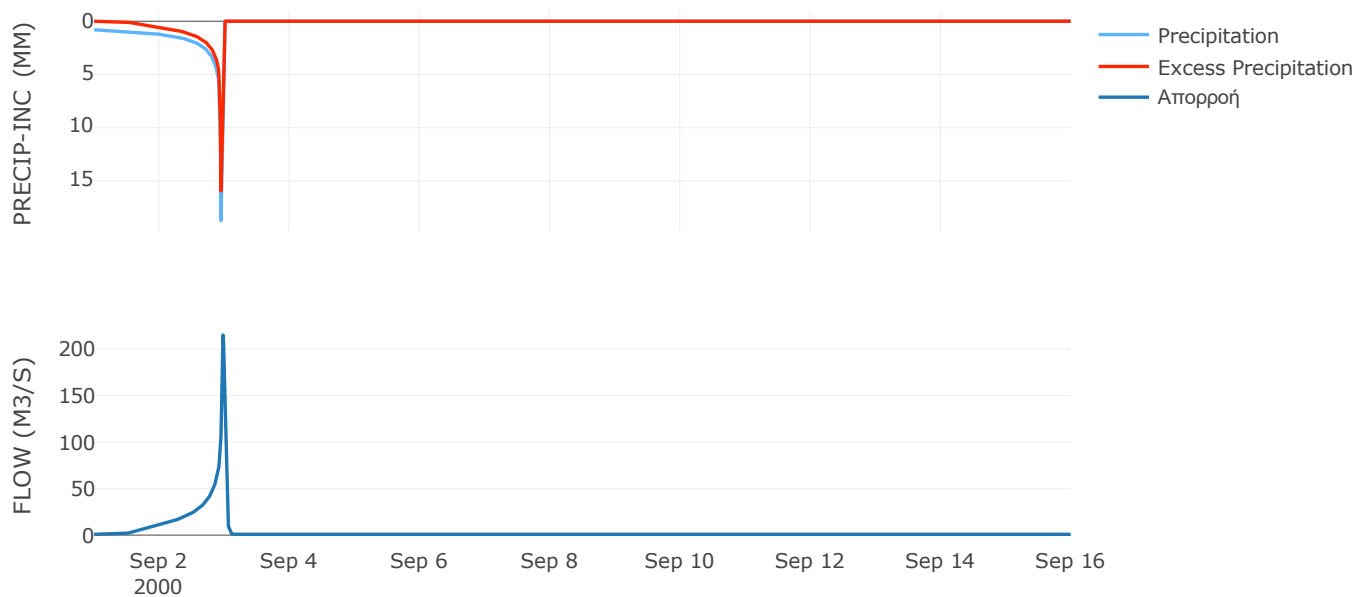
Μέθοδος
Μετασχηματισμού: SCS

Χρόνος Υστέρησης	32.94
------------------	-------

Αποτελέσματα:
EL0514FL002006

Παροχή αιχμής (M3/S)	215.13
Χρονική στιγμή αιχμής	02Sep2000, 23:30
Όγκος (MM)	275.61
Όγκος βροχόπτωσης (M3)	6.28E6
Όγκος απωλειών (M3)	2.59E6
Ενεργός Όγκος (M3)	3.69E6
Όγκος άμεσης απορροής (M3)	3.69E6
Όγκος βασικής απορροής (M3)	1.13E6

Βροχόπτωση και Απορροή



Υπολεκάνη: EL0514FL002007

Έκταση (KM2) : 12.13

Κατάντη : J8

Μέθοδος Απωλειών: SCS

Ποσοστό αδιαπέρατης επιφάνειας	0
Αριθμός Καμπύλης Απορροής-CN	78.88
Αρχικές Απώλειες	13.61

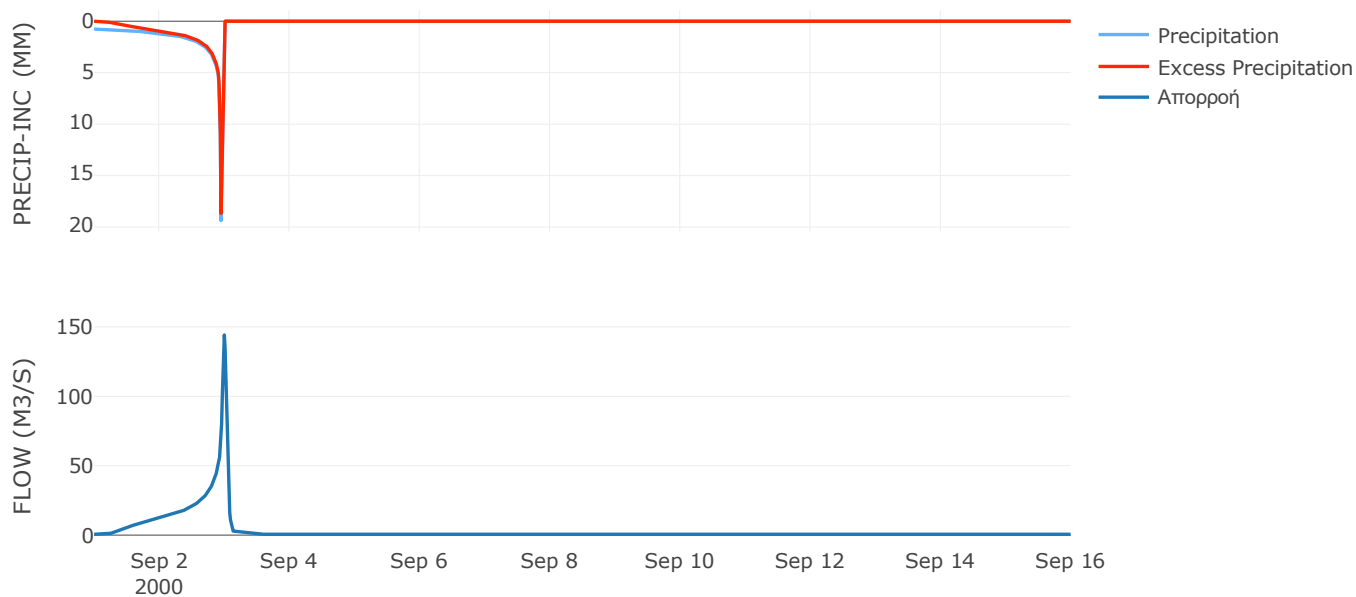
Μέθοδος
Μετασχηματισμού: SCS

Χρόνος Υστέρησης	57.33
------------------	-------

Αποτελέσματα:
EL0514FL002007

Παροχή αιχμής (M3/S)	144.18
Χρονική στιγμή αιχμής	02Sep2000, 24:00
Όγκος (MM)	344.57
Όγκος βροχόπτωσης (M3)	4.24E6
Όγκος απωλειών (M3)	8.51E5
Ενεργός Όγκος (M3)	3.39E6
Όγκος άμεσης απορροής (M3)	3.39E6
Όγκος βασικής απορροής (M3)	7.86E5

Βροχόπτωση και Απορροή



Υπολεκάνη: EL0514FL002008

Έκταση (KM2) : 8.45

Κατάντη : J5

Μέθοδος Απωλειών: SCS

Ποσοστό αδιαπέρατης επιφάνειας	0
Αριθμός Καμπύλης Απορροής-CN	88.98
Αρχικές Απώλειες	6.29

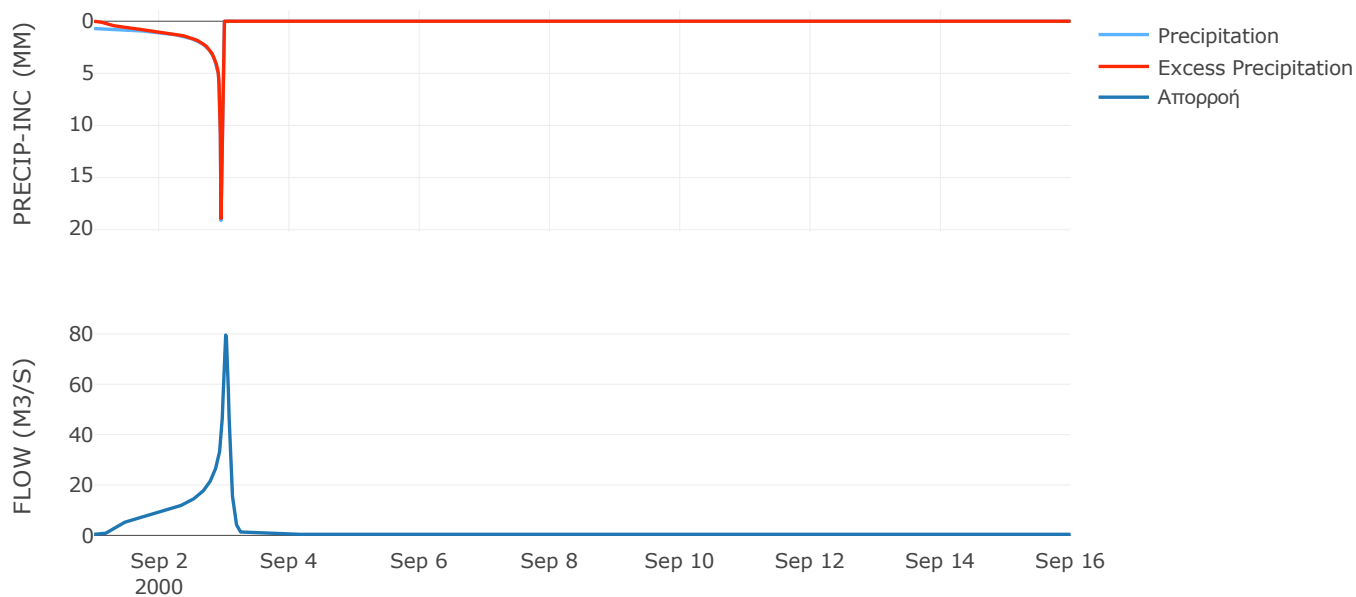
Μέθοδος
Μετασχηματισμού: SCS

Χρόνος Υστέρησης	98.95
------------------	-------

Αποτελέσματα:
EL0514FL002008

Παροχή αιχμής (M3/S)	79.54
Χρονική στιγμή αιχμής	03Sep2000, 00:30
Όγκος (MM)	360.37
Όγκος βροχόπτωσης (M3)	2.79E6
Όγκος απωλειών (M3)	2.96E5
Ενεργός Όγκος (M3)	2.5E6
Όγκος άμεσης απορροής (M3)	2.5E6
Όγκος βασικής απορροής (M3)	5.48E5

Βροχόπτωση και Απορροή



Υπολεκάνη: EL0514FL002009

Έκταση (KM2) : 19.86

Κατάντη : J40

Μέθοδος Απωλειών: SCS

Ποσοστό αδιαπέρατης επιφάνειας	95
Αριθμός Καμπύλης Απορροής-CN	99
Αρχικές Απώλειες	0.5

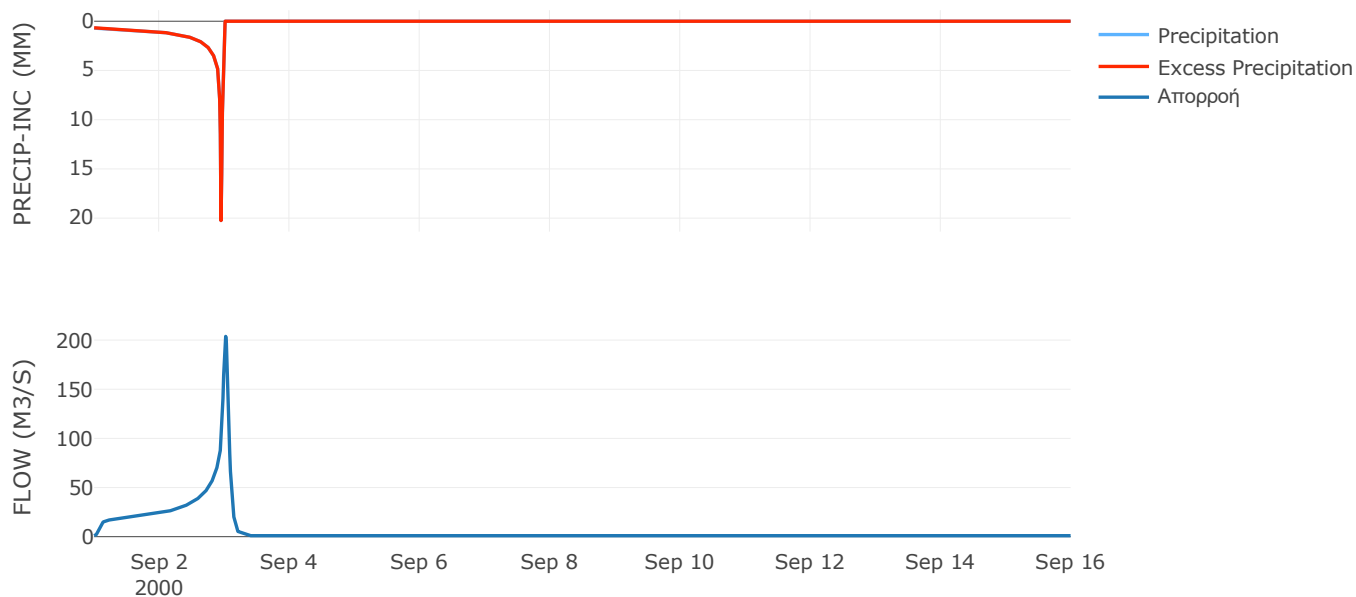
Μέθοδος
Μετασχηματισμού: SCS

Χρόνος Υστέρησης	92.51
------------------	-------

Αποτελέσματα:
EL0514FL002009

Παροχή αιχμής (M3/S)	203.77
Χρονική στιγμή αιχμής	03Sep2000, 00:30
Όγκος (MM)	401.27
Όγκος βροχόπτωσης (M3)	6.69E6
Όγκος απωλειών (M3)	3025.13
Ενεργός Όγκος (M3)	6.68E6
Όγκος άμεσης απορροής (M3)	6.68E6
Όγκος βασικής απορροής (M3)	1.29E6

Βροχόπτωση και Απορροή



Υπολεκάνη: EL0514FL002010

Έκταση (KM2) : 7.22

Κατάντη : J9

Μέθοδος Απωλειών: SCS

Ποσοστό αδιαπέρατης επιφάνειας	0
Αριθμός Καμπύλης Απορροής-CN	79.45
Αρχικές Απώλειες	13.14

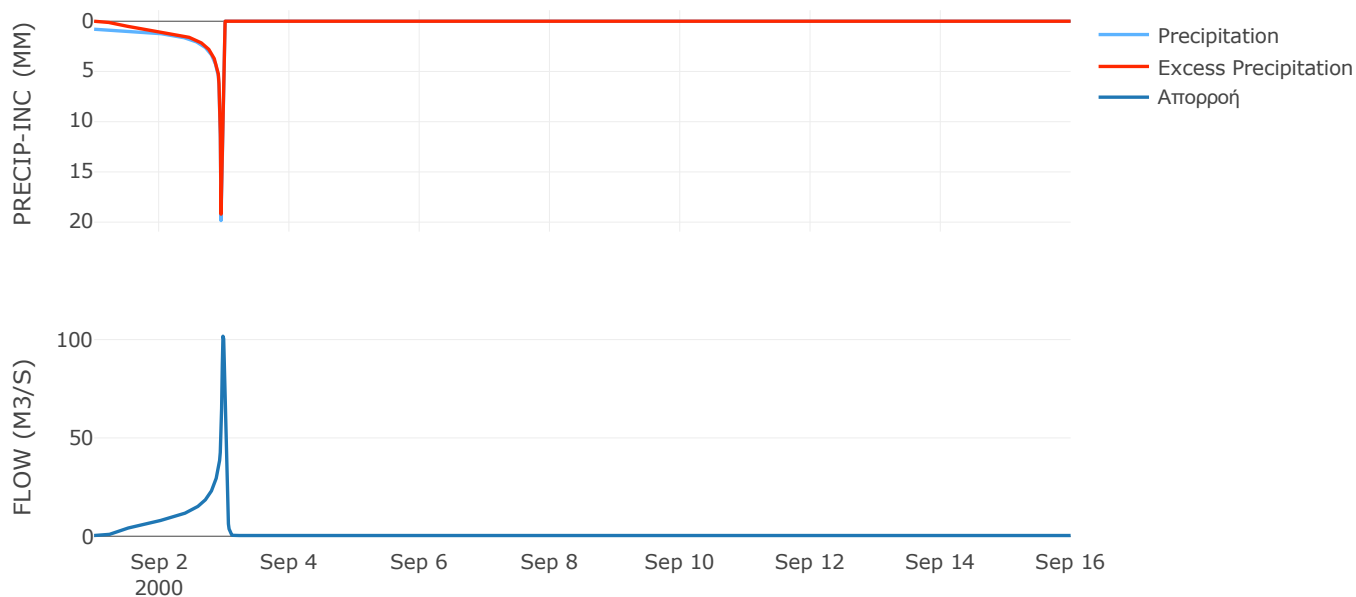
Μέθοδος
Μετασχηματισμού: SCS

Χρόνος Υστέρησης	36.57
------------------	-------

Αποτελέσματα:
EL0514FL002010

Παροχή αιχμής (M3/S)	101.73
Χρονική στιγμή αιχμής	02Sep2000, 23:30
Όγκος (MM)	360.33
Όγκος βροχόπτωσης (M3)	2.63E6
Όγκος απωλειών (M3)	4.95E5
Ενεργός Όγκος (M3)	2.13E6
Όγκος άμεσης απορροής (M3)	2.13E6
Όγκος βασικής απορροής (M3)	4.68E5

Βροχόπτωση και Απορροή



Υπολεκάνη: EL0514FL002011

Έκταση (KM2) : 8.8

Κατάντη : J10

Μέθοδος Απωλειών: SCS

Ποσοστό αδιαπέρατης επιφάνειας	0
Αριθμός Καμπύλης Απορροής-CN	80.68
Αρχικές Απώλειες	12.16

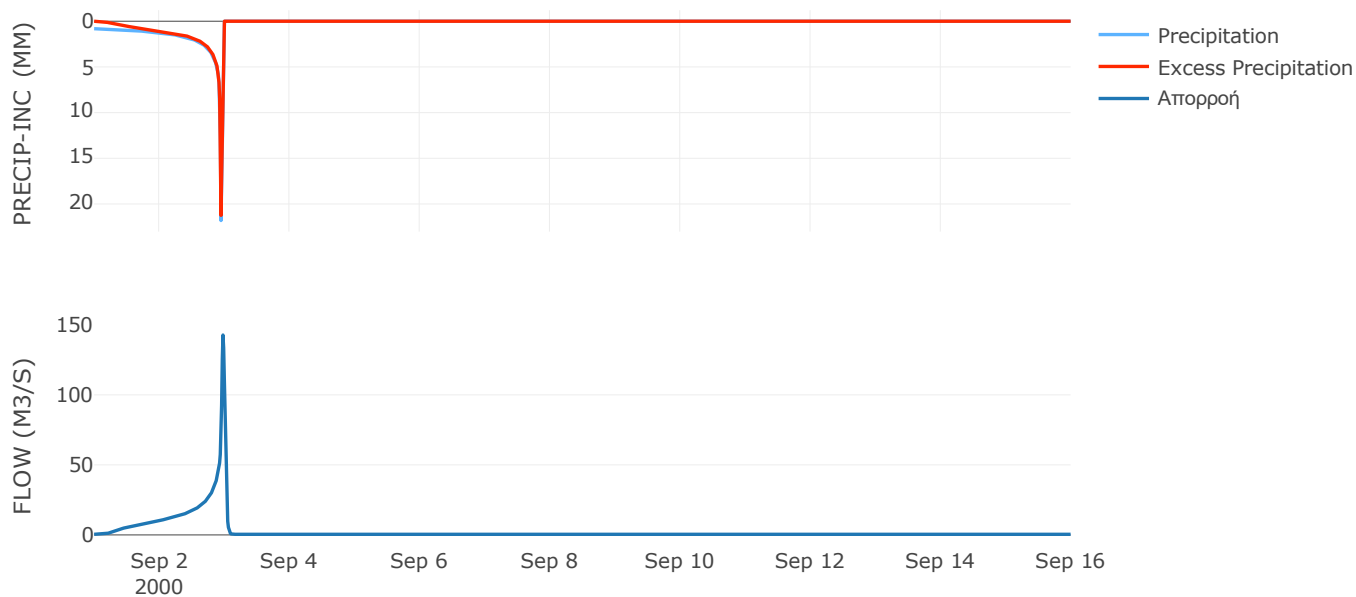
Μέθοδος
Μετασχηματισμού: SCS

Χρόνος Υστέρησης	32.16
------------------	-------

Αποτελέσματα:
EL0514FL002011

Παροχή αιχμής (M3/S)	142.72
Χρονική στιγμή αιχμής	02Sep2000, 23:30
Όγκος (MM)	382.26
Όγκος βροχόπτωσης (M3)	3.36E6
Όγκος απωλειών (M3)	5.67E5
Ενεργός Όγκος (M3)	2.79E6
Όγκος άμεσης απορροής (M3)	2.79E6
Όγκος βασικής απορροής (M3)	5.7E5

Βροχόπτωση και Απορροή



Υπολεκάνη: EL0514FL002012

Έκταση (KM2) : 5.8

Κατάντη : J9

Μέθοδος Απωλειών: SCS

Ποσοστό αδιαπέρατης επιφάνειας	0
Αριθμός Καμπύλης Απορροής-CN	74.85
Αρχικές Απώλειες	17.07

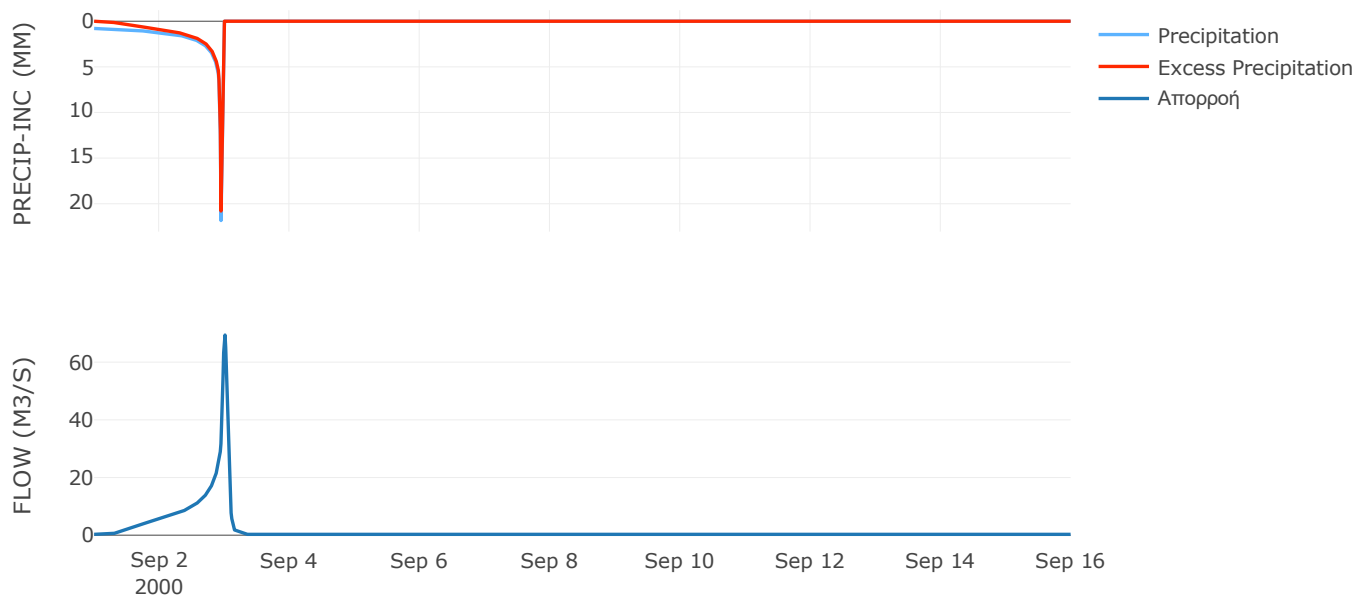
Μέθοδος
Μετασχηματισμού: SCS

Χρόνος Υστέρησης	70.29
------------------	-------

Αποτελέσματα:
EL0514FL002012

Παροχή αιχμής (M3/S)	69.4
Χρονική στιγμή αιχμής	03Sep2000, 00:15
Όγκος (MM)	353.21
Όγκος βροχόπτωσης (M3)	2.17E6
Όγκος απωλειών (M3)	4.98E5
Ενεργός Όγκος (M3)	1.67E6
Όγκος άμεσης απορροής (M3)	1.67E6
Όγκος βασικής απορροής (M3)	3.76E5

Βροχόπτωση και Απορροή



Υπολεκάνη: EL0514FL002013

Έκταση (KM2) : 26.26

Κατάνη : J10

Μέθοδος Απωλειών: SCS

Ποσοστό αδιαπέρατης επιφάνειας	0
Αριθμός Καμπύλης Απορροής-CN	71.64
Αρχικές Απώλειες	20.11

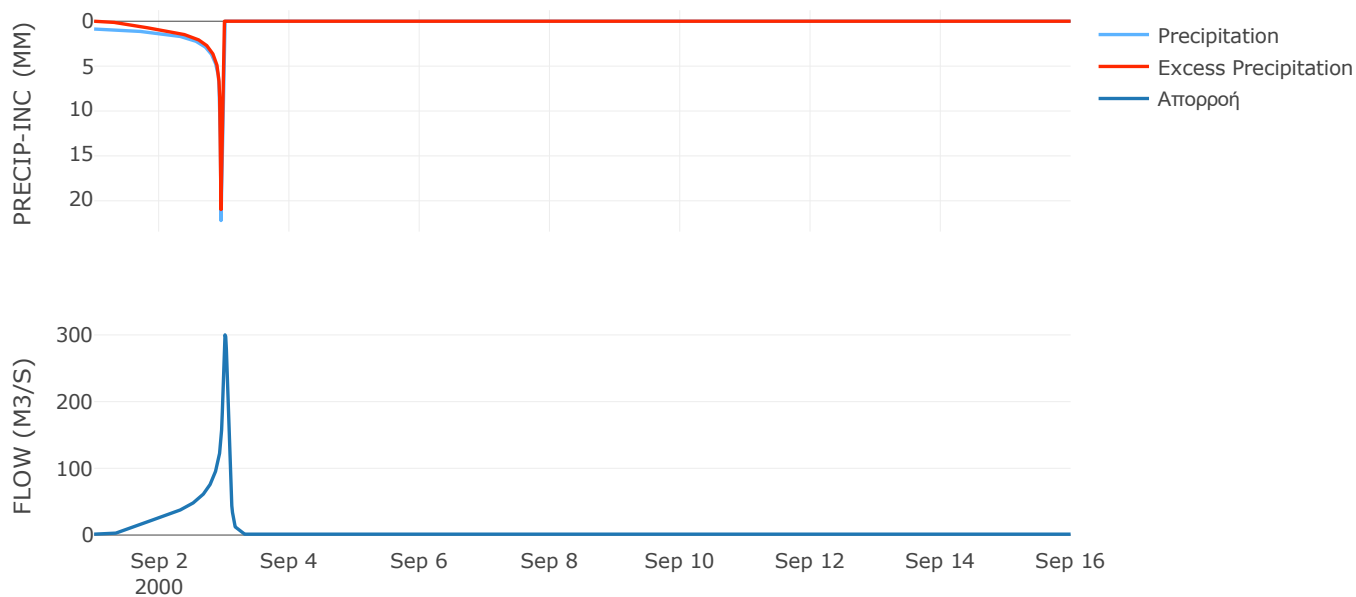
Μέθοδος
Μετασχηματισμού: SCS

Χρόνος Υστέρησης	83.27
------------------	-------

Αποτελέσματα:
EL0514FL002013

Παροχή αιχμής (M3/S)	300.07
Χρονική στιγμή αιχμής	03Sep2000, 00:15
Όγκος (MM)	365.81
Όγκος βροχόπτωσης (M3)	1.05E7
Όγκος απωλειών (M3)	2.62E6
Ενεργός Όγκος (M3)	7.9E6
Όγκος άμεσης απορροής (M3)	7.9E6
Όγκος βασικής απορροής (M3)	1.7E6

Βροχόπτωση και Απορροή



Υπολεκάνη: EL0514FL002014

Έκταση (KM2) : 10.15

Κατάντη : J12

Μέθοδος Απωλειών: SCS

Ποσοστό αδιαπέρατης επιφάνειας	0
Αριθμός Καμπύλης Απορροής-CN	63.44
Αρχικές Απώλειες	29.28

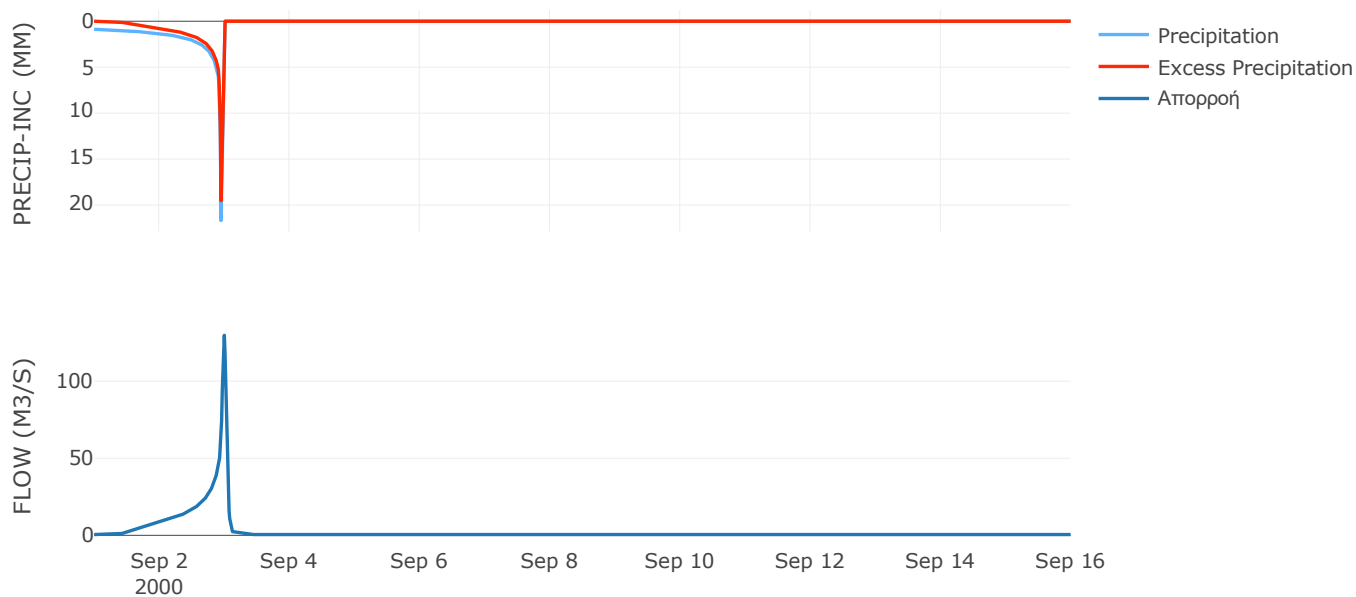
Μέθοδος
Μετασχηματισμού: SCS

Χρόνος Υστέρησης	51.96
------------------	-------

Αποτελέσματα:
EL0514FL002014

Παροχή αιχμής (M3/S)	129.76
Χρονική στιγμή αιχμής	02Sep2000, 24:00
Όγκος (MM)	329.89
Όγκος βροχόπτωσης (M3)	4.05E6
Όγκος απωλειών (M3)	1.36E6
Ενεργός Όγκος (M3)	2.69E6
Όγκος άμεσης απορροής (M3)	2.69E6
Όγκος βασικής απορροής (M3)	6.58E5

Βροχόπτωση και Απορροή



Υπολεκάνη: EL0514FL002015

Έκταση (KM2) : 12.91

Κατάντη : J11

Μέθοδος Απωλειών: SCS

Ποσοστό αδιαπέρατης επιφάνειας	0
Αριθμός Καμπύλης Απορροής-CN	74.86
Αρχικές Απώλειες	17.06

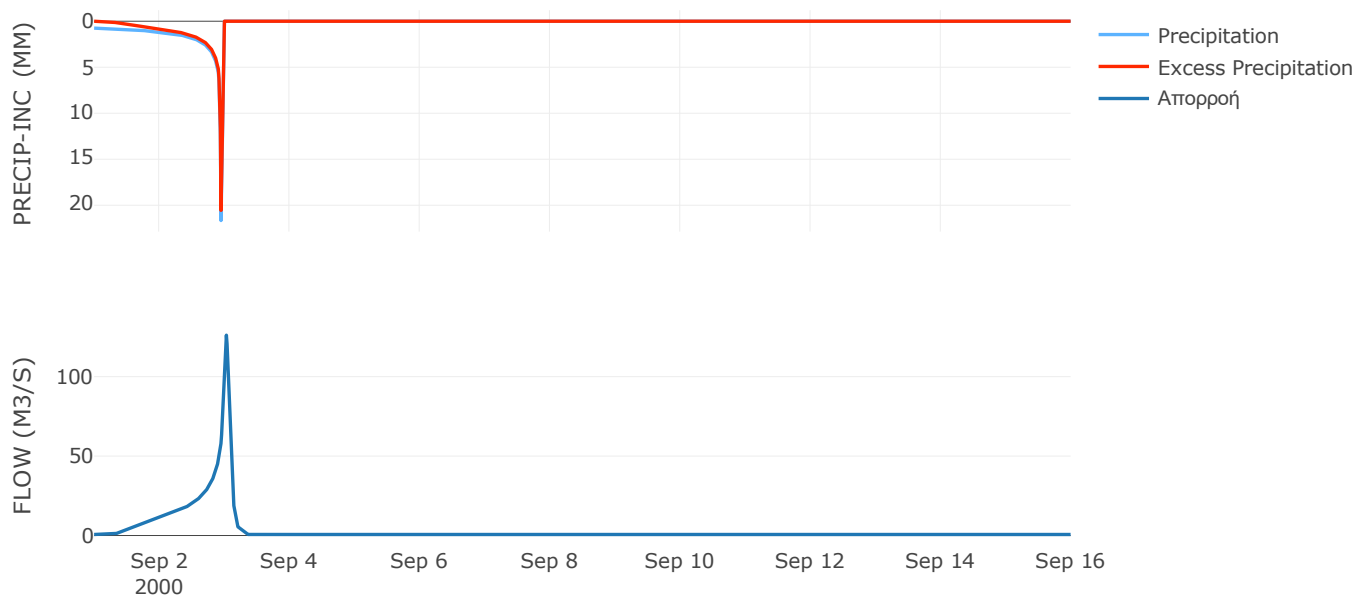
Μέθοδος
Μετασχηματισμού: SCS

Χρόνος Υστέρησης	104.24
------------------	--------

Αποτελέσματα:
EL0514FL002015

Παροχή αιχμής (M3/S)	126.09
Χρονική στιγμή αιχμής	03Sep2000, 00:45
Όγκος (MM)	339.71
Όγκος βροχόπτωσης (M3)	4.65E6
Όγκος απωλειών (M3)	1.1E6
Ενεργός Όγκος (M3)	3.55E6
Όγκος άμεσης απορροής (M3)	3.55E6
Όγκος βασικής απορροής (M3)	8.37E5

Βροχόπτωση και Απορροή



8.2 Δεδομένα και υδρογραφήματα σχεδιασμού Κλάδων υδρογραφικού δικτύου

Κλάδος: R21

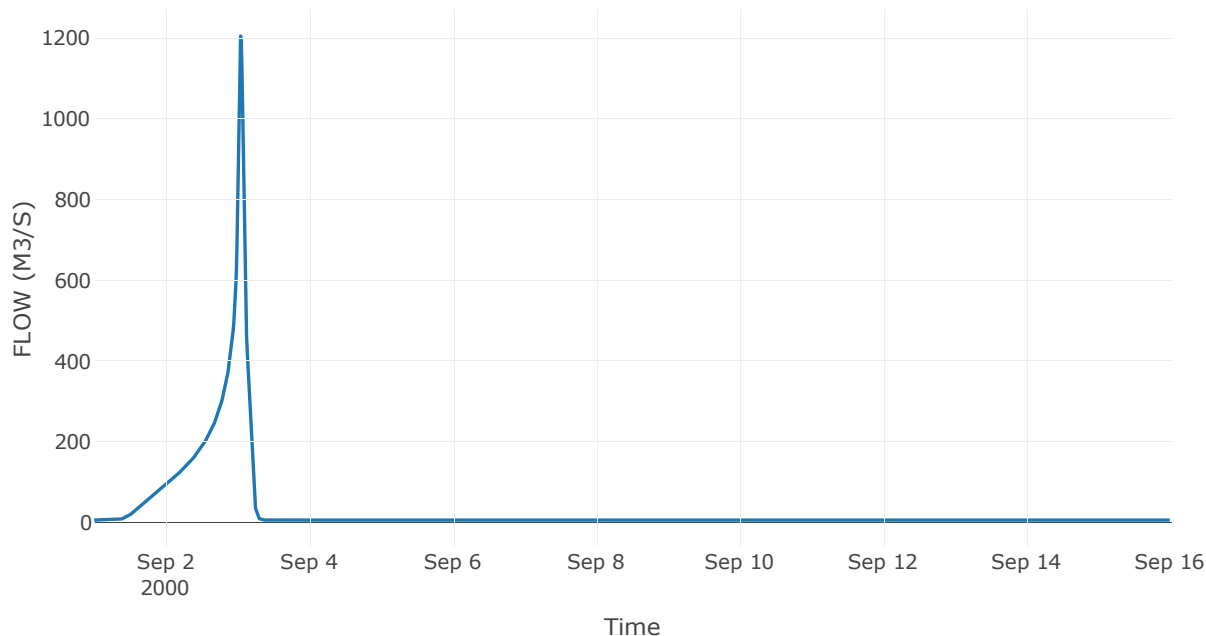
Κατάντη : J1

Μέθοδος Διόδευσης	Muskingum
Αρχική Μεταβλητή	Combined Inflow
Χρόνος Ροής K	1
Συντελεστής βάρους x	0.2
Πλήθος Υποκλάδων	5

Αποτελέσματα: R21

Παροχή Αιχμής (M3/S)	1204.69
Χρονική στιγμή αιχμής	03Sep2000, 01:00
Όγκος(MM)	335.27
Παροχή Αιχμής Εισόδου (M3/S)	1281.99
Όγκος Εισροής(M3)	4.17E7

Απορροή



Κλάδος: R32

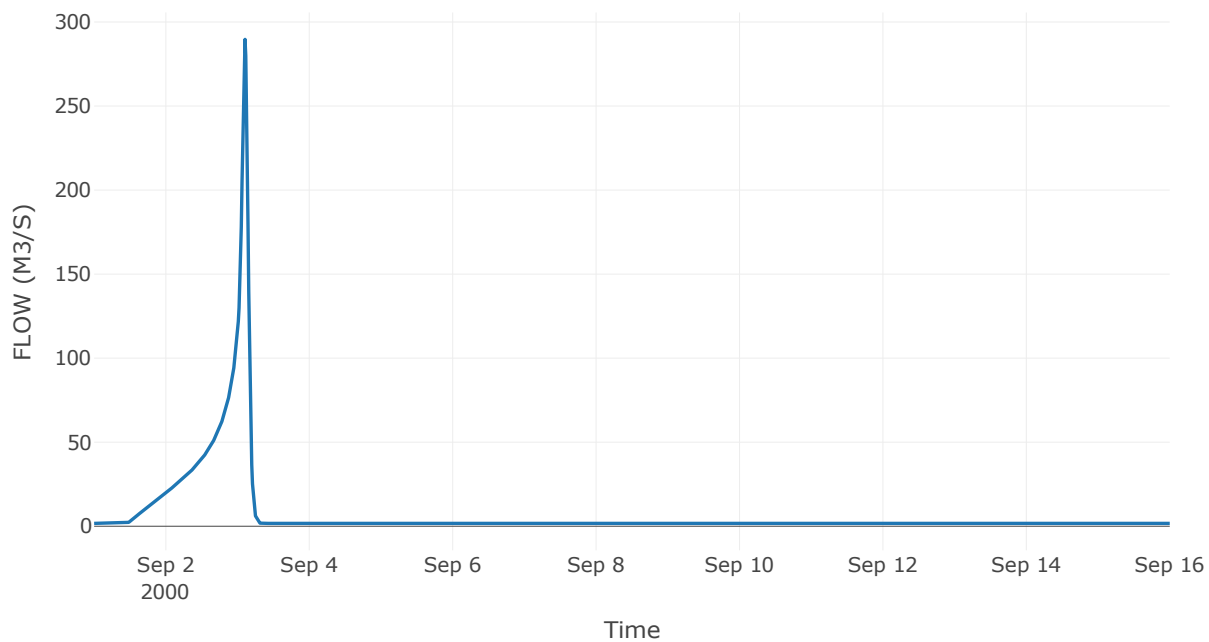
Κατάντη : J2

Μέθοδος Διόδευσης	Muskingum
Αρχική Μεταβλητή	Combined Inflow
Χρόνος Ροής Κ	2.62
Συντελεστής βάρους α	0.2
Πλήθος Υποκλάδων	13

Αποτελέσματα: R32

Παροχή Αιχμής (M3/S)	289.67
Χρονική στιγμή αιχμής	03Sep2000, 02:30
Όγκος(MM)	284.02
Παροχή Αιχμής Εισόδου (M3/S)	345.5
Όγκος Εισροής(M3)	9.59E6

Απορροή



Κλάδος: R43

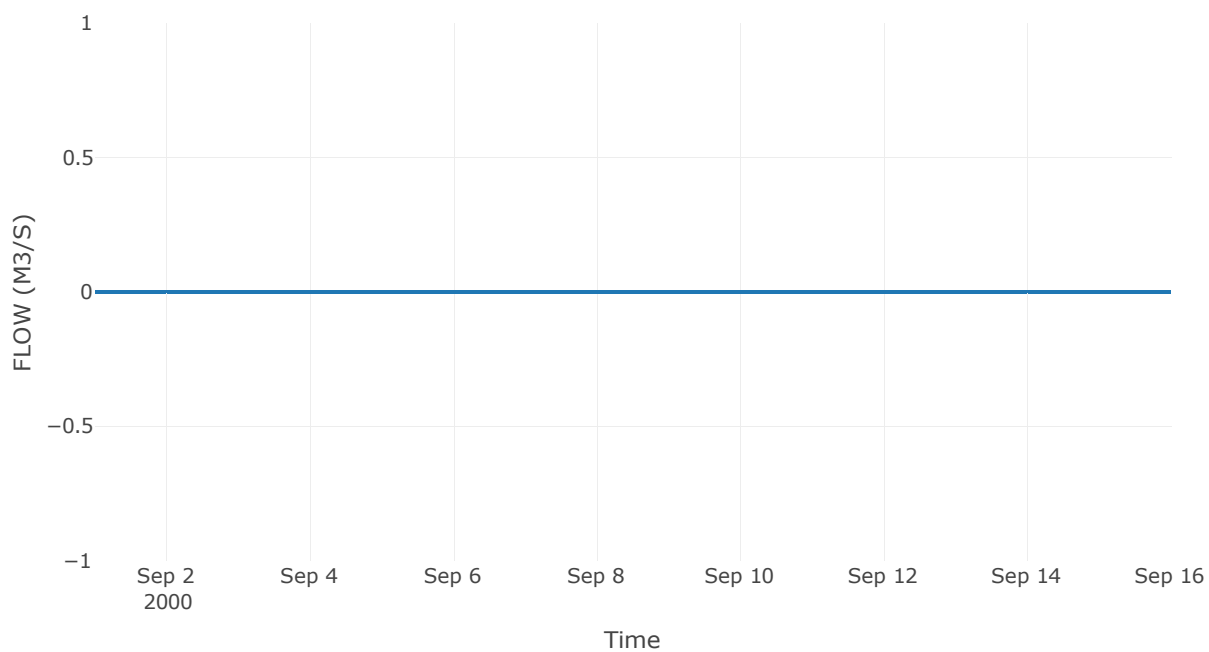
Κατάντη : J3

Μέθοδος Διόδευσης	Muskingum
Αρχική Μεταβλητή	Combined Inflow
Χρόνος Ροής K	3.35
Συντελεστής βάρους x	0.2
Πλήθος Υποκλάδων	16

Αποτελέσματα: R43

Παροχή Αιχμής (M3/S)	0
Χρονική στιγμή αιχμής	31Aug2000, 24:00
Peak Inflow (M3/S)	0
Όγκος Εισροής (M3)	0

Απορροή



Κλάδος: R540

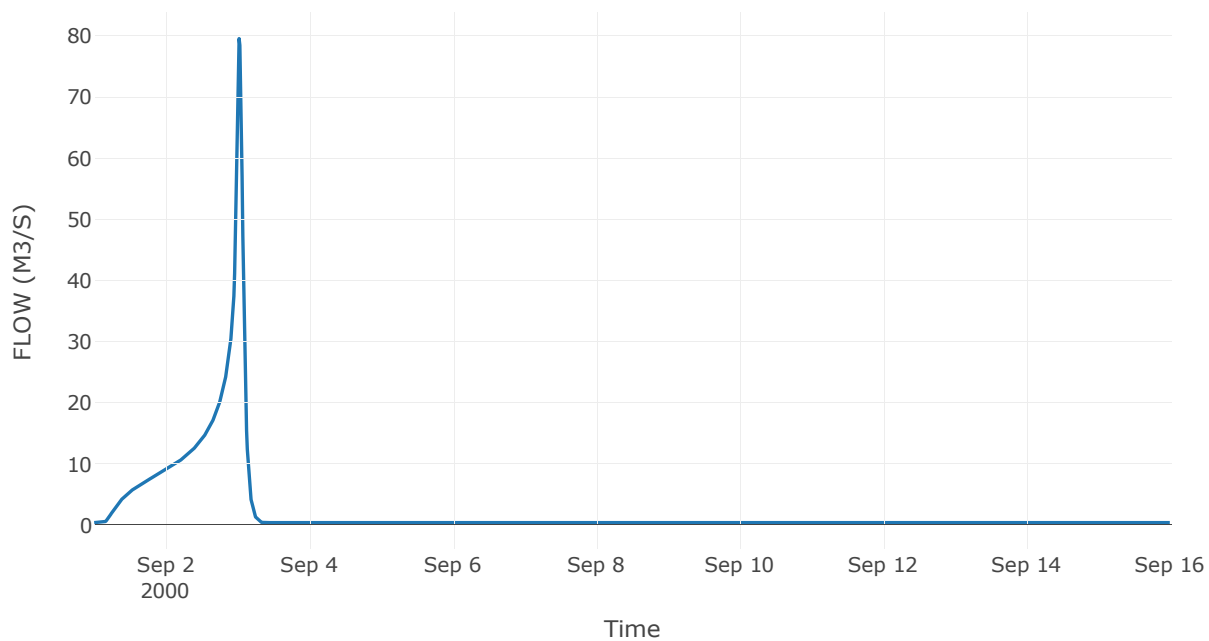
Κατάντη : J40

Μέθοδος Διόδευσης	Χρόνος
Αρχική Μεταβλητή	Combined Inflow
Χρόνος υστέρησης	0

Αποτελέσματα: R540

Παροχή Αιχμής (M3/S)	79.54
Χρονική στιγμή αιχμής	03Sep2000, 00:30
Όγκος(MM)	360.37
Παροχή Αιχμής Εισόδου (M3/S)	79.54
Όγκος Εισροής(M3)	3.05E6

Απορροή



Κλάδος: R640

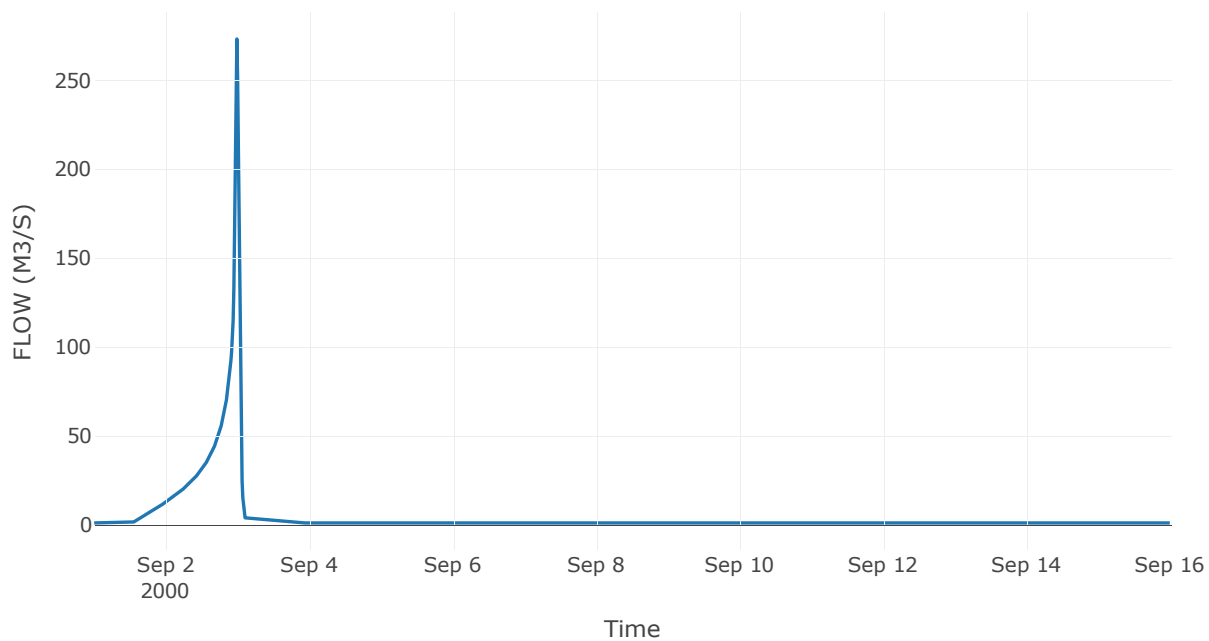
Κατάντη : J40

Μέθοδος Διόδευσης	Χρόνος
Αρχική Μεταβλητή	Combined Inflow
Χρόνος υστέρησης	0

Αποτελέσματα: R640

Παροχή Αιχμής (M3/S)	273.36
Χρονική στιγμή αιχμής	02Sep2000, 23:45
Όγκος(MM)	252.07
Παροχή Αιχμής Εισόδου (M3/S)	273.36
Όγκος Εισροής(M3)	6.62E6

Απορροή



Κλάδος: R740

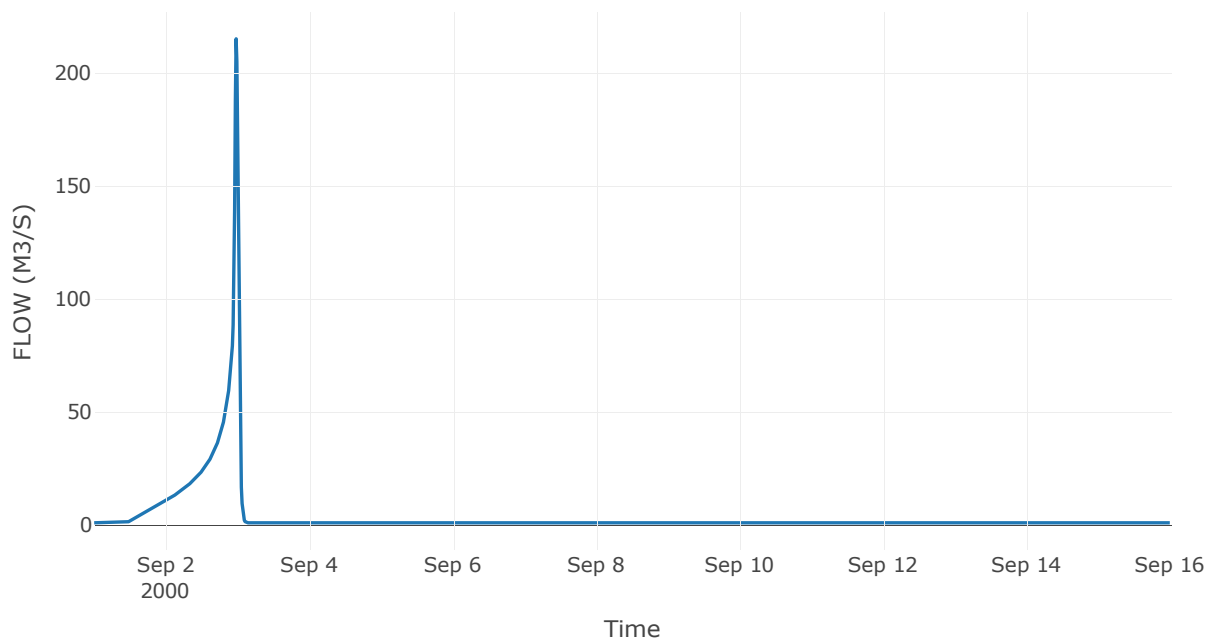
Κατάντη : J40

Μέθοδος Διόδευσης	Χρόνος
Αρχική Μεταβλητή	Combined Inflow
Χρόνος υστέρησης	0

Αποτελέσματα: R740

Παροχή Αιχμής (M3/S)	215.13
Χρονική στιγμή αιχμής	02Sep2000, 23:30
Όγκος(MM)	275.61
Παροχή Αιχμής Εισόδου (M3/S)	215.13
Όγκος Εισροής(M3)	4.82E6

Απορροή



Κλάδος: R840

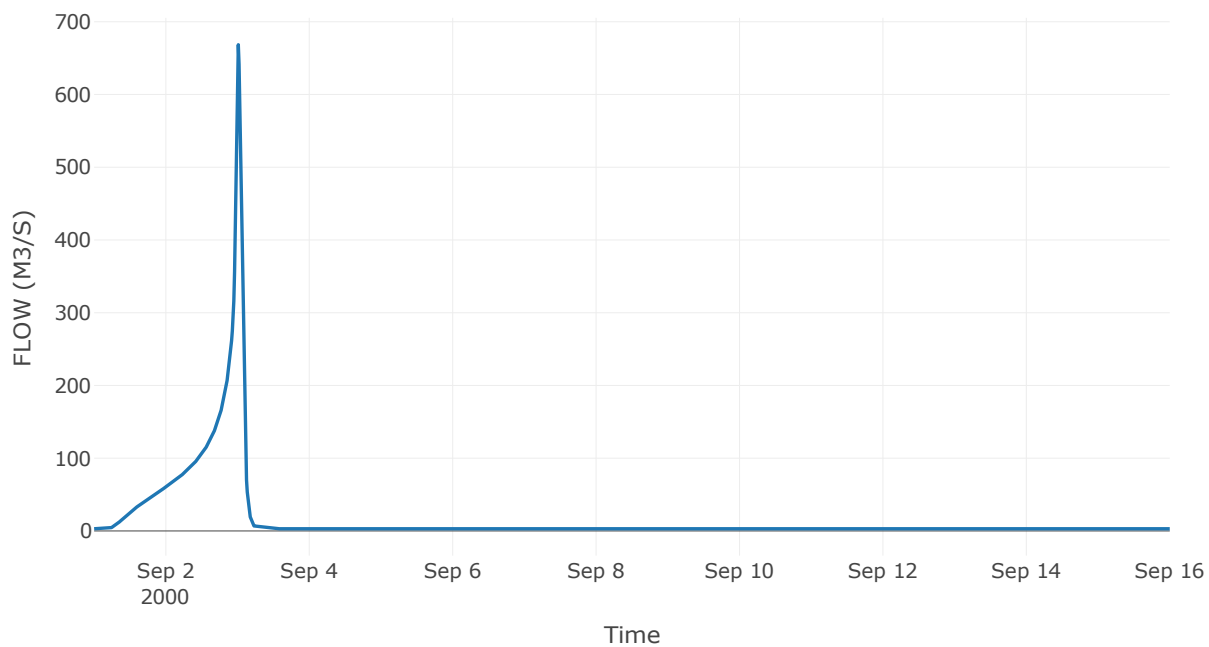
Κατάντη : J40

Μέθοδος Διόδευσης	Χρόνος
Αρχική Μεταβλητή	Combined Inflow
Χρόνος υστέρησης	0

Αποτελέσματα: R840

Παροχή Αιχμής (M3/S)	668.41
Χρονική στιγμή αιχμής	03Sep2000, 00:15
Όγκος(MM)	362.07
Παροχή Αιχμής Εισόδου (M3/S)	668.41
Όγκος Εισροής(M3)	2.18E7

Απορροή



Κλάδος: R1140

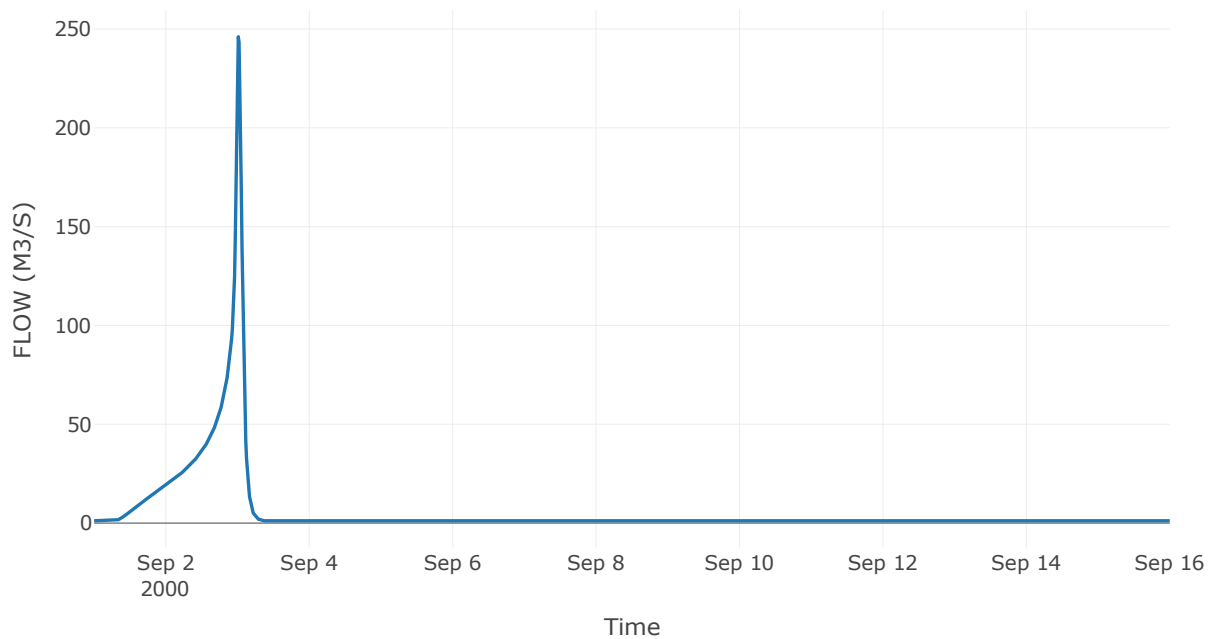
Κατάντη : J40

Μέθοδος Διόδευσης	Χρόνος
Αρχική Μεταβλητή	Combined Inflow
Χρόνος υστέρησης	0

Αποτελέσματα: R1140

Παροχή Αιχμής (M3/S)	246.08
Χρονική στιγμή αιχμής	03Sep2000, 00:15
Όγκος(MM)	335.39
Παροχή Αιχμής Εισόδου (M3/S)	246.08
Όγκος Εισροής(M3)	7.73E6

Απορροή



Κλάδος: R98

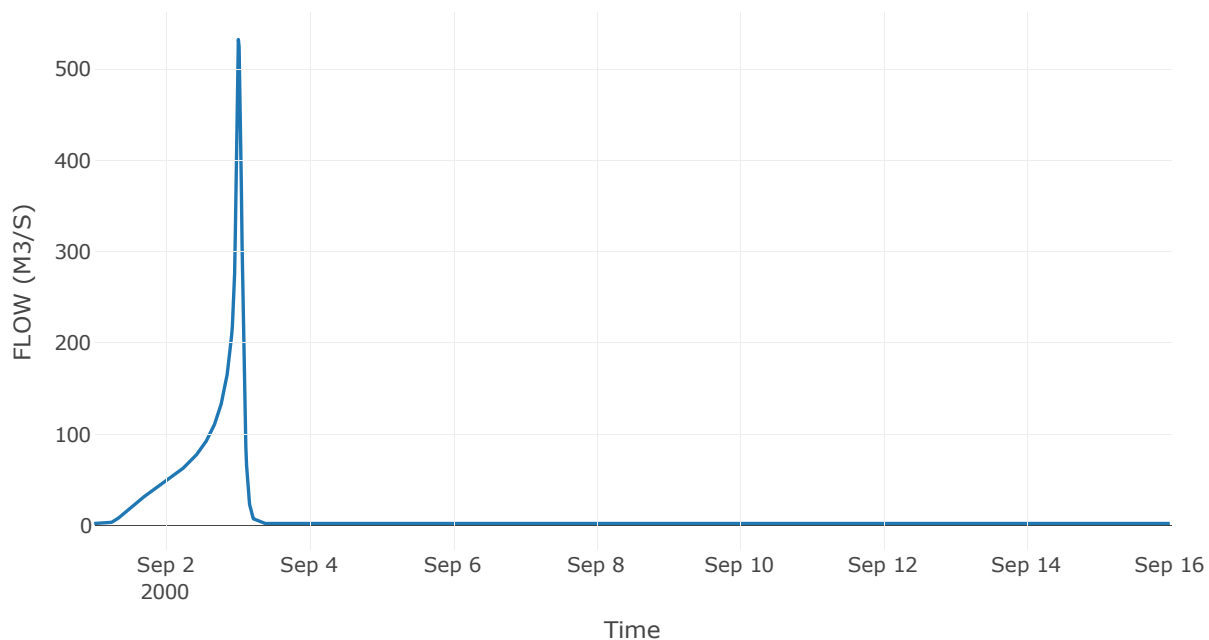
Κατάντη : J8

Μέθοδος Διόδευσης	Muskingum
Αρχική Μεταβλητή	Combined Inflow
Χρόνος Ροής Κ	0.29
Συντελεστής βάρους α	0.2
Πλήθος Υποκλάδων	1

Αποτελέσματα: R98

Παροχή Αιχμής (M3/S)	532.69
Χρονική στιγμή αιχμής	03Sep2000, 00:15
Όγκος(MM)	366.48
Παροχή Αιχμής Εισόδου (M3/S)	545.08
Όγκος Εισροής(M3)	1.76E7

Απορροή



Κλάδος: R109

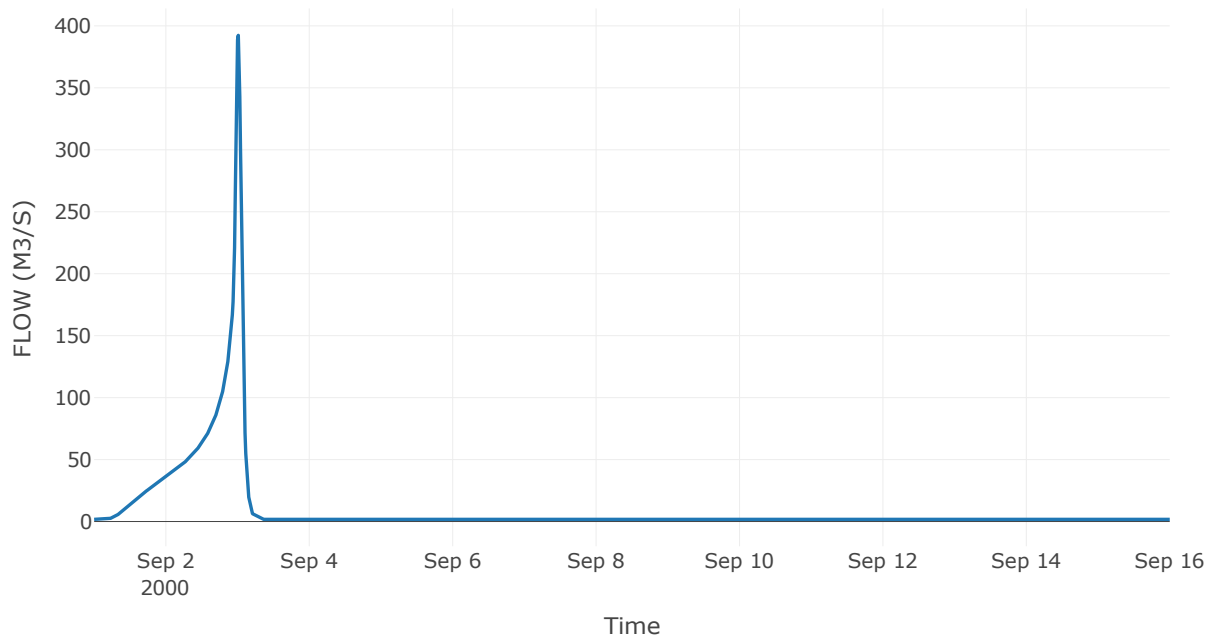
Κατάντη : J9

Μέθοδος Διόδευσης	Muskingum
Αρχική Μεταβλητή	Combined Inflow
Χρόνος Ροής K	0.19
Συντελεστής βάρους x	0.2
Πλήθος Υποκλάδων	1

Αποτελέσματα: R109

Παροχή Αιχμής (M3/S)	392.34
Χρονική στιγμή αιχμής	03Sep2000, 00:15
Όγκος(MM)	369.94
Παροχή Αιχμής Εισόδου (M3/S)	396.3
Όγκος Εισροής(M3)	1.3E7

Απορροή



Κλάδος: R1211

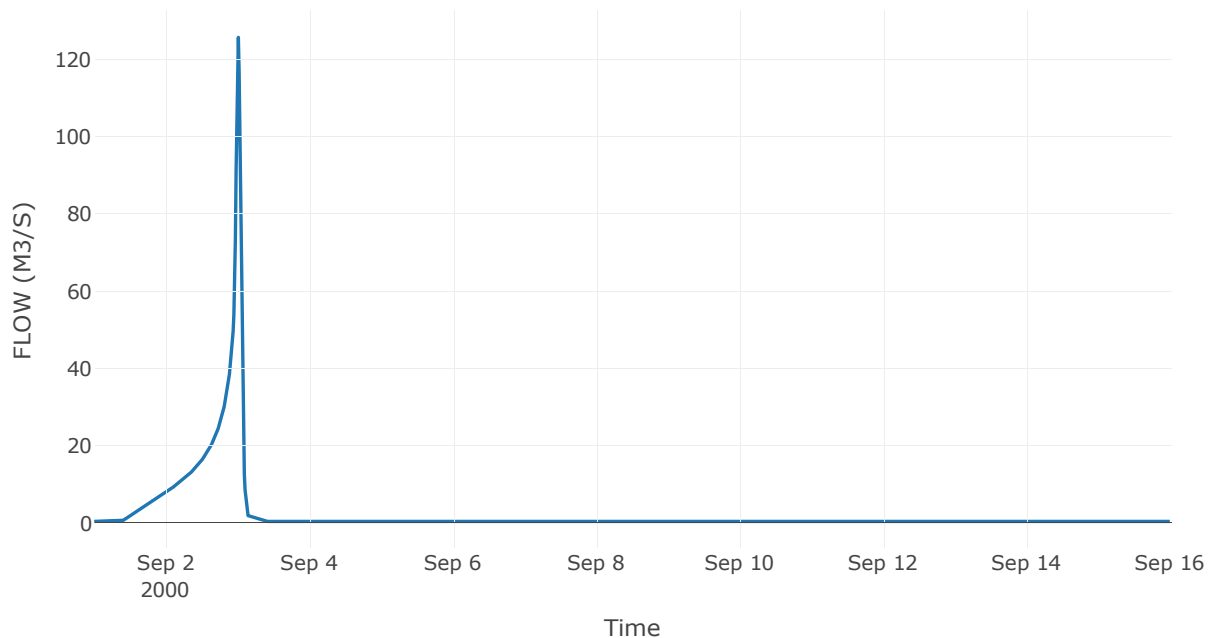
Κατάντη : J11

Μέθοδος Διόδευσης	Muskingum
Αρχική Μεταβλητή	Combined Inflow
Χρόνος Ροής Κ	0.31
Συντελεστής βάρους α	0.2
Πλήθος Υποκλάδων	1

Αποτελέσματα: R1211

Παροχή Αιχμής (M3/S)	125.72
Χρονική στιγμή αιχμής	03Sep2000, 00:15
Όγκος(MM)	329.89
Παροχή Αιχμής Εισόδου (M3/S)	129.76
Όγκος Εισροής(M3)	3.35E6

Απορροή



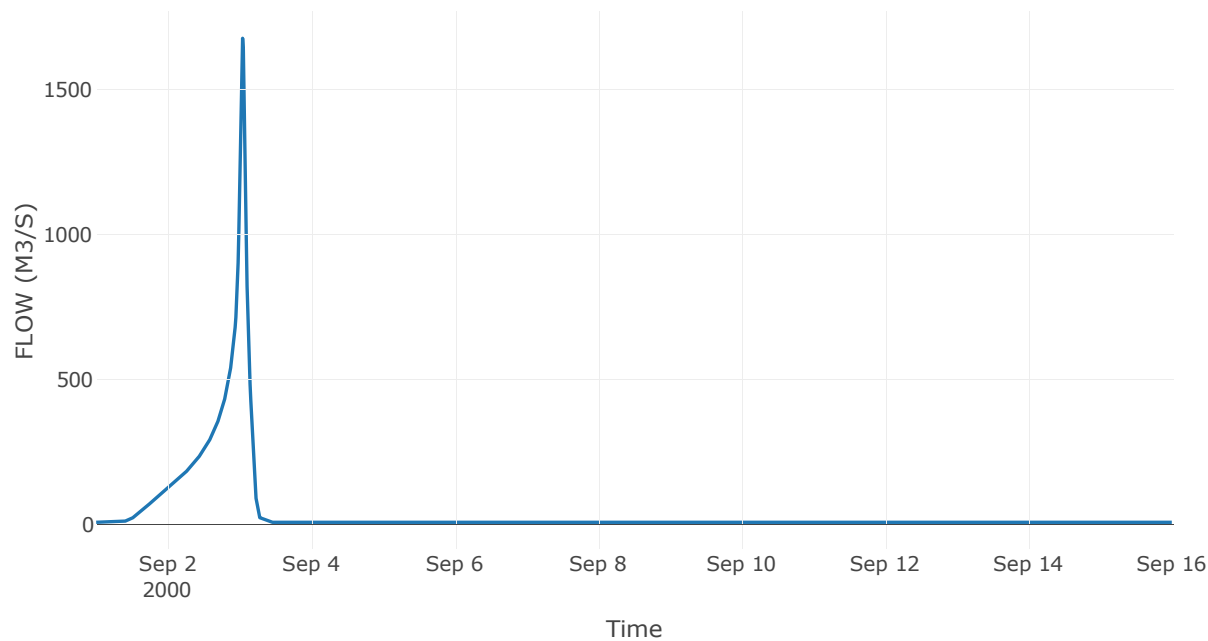
8.3 Δεδομένα και υδρογραφήματα σχεδιασμού Κόμβων υδρογραφικού δικτύου

Κόμβος εξόδου: J1

Αποτέλεσμα
τα: J1

Παροχή αιχμής (M3/S)	1678.25
Χρονική στιγμή αιχμής	03Sep2000, 01:00
Όγκος (MM)	315.52

Απορροή



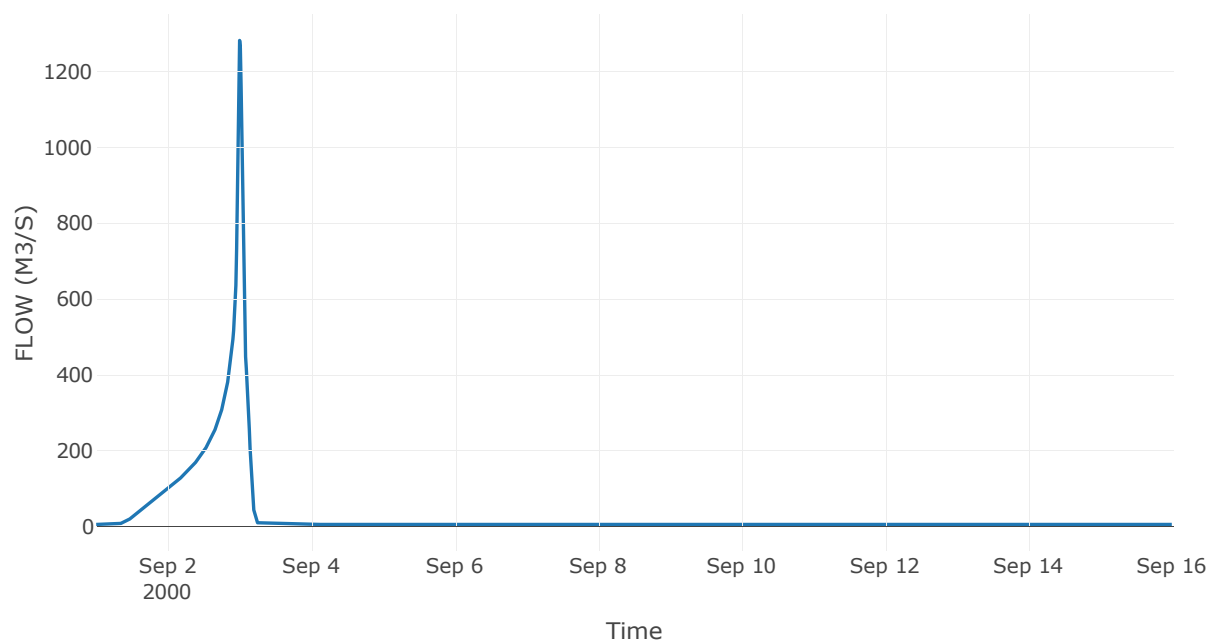
Κόμβος: J2

Κατάντη : R21

Αποτελέσματα: J2

Παροχή Αιχμής (M3/S)	1281.99
Χρονική στιγμή αιχμής	02Sep2000, 24:00
Όγκος(MM)	335.27

Απορροή



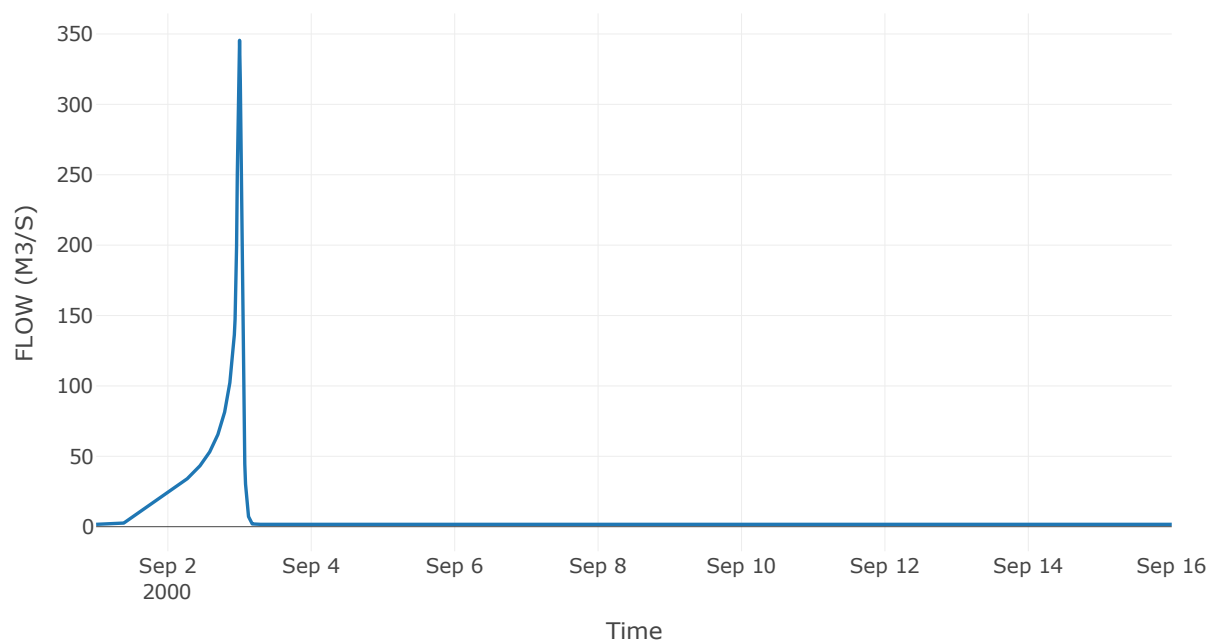
Κόμβος: J3

Κατάντη : R32

Αποτελέσματα: J3

Παροχή Αιχμής (M3/S)	345.5
Χρονική στιγμή αιχμής	02Sep2000, 24:00
Όγκος(MM)	284.02

Απορροή



Κόμβος: J4

Κατάντη : R43

Αποτελέσματα: J4

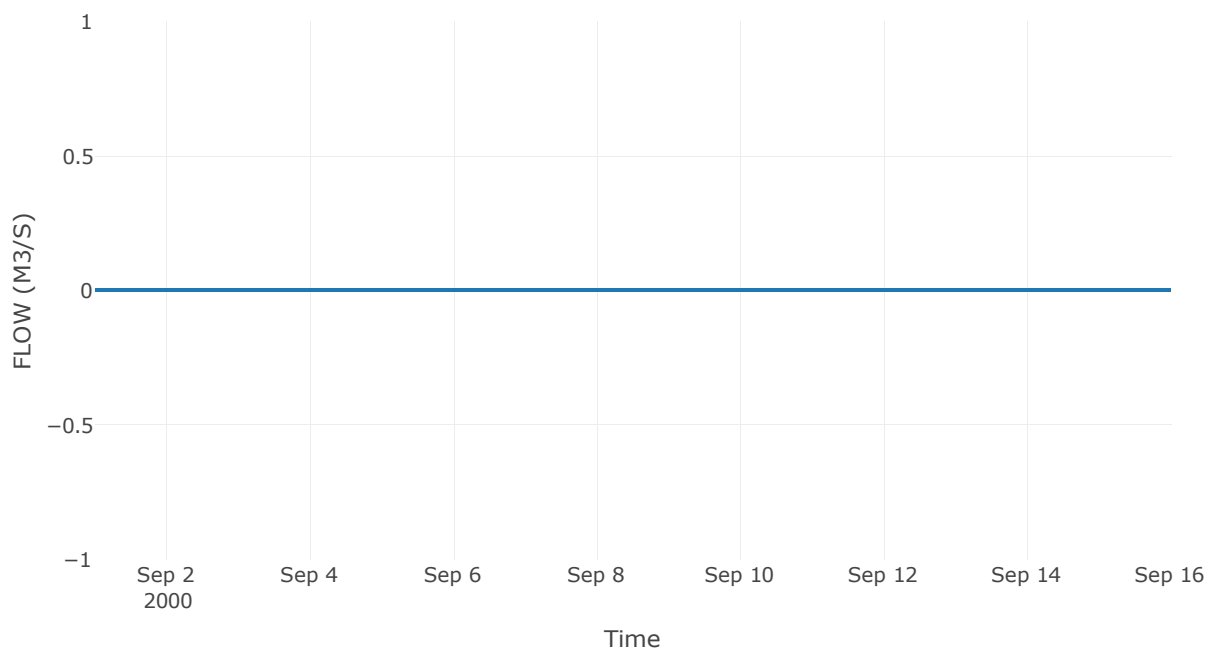
Παροχή Αιχμής (M3/S)

0

Χρονική στιγμή αιχμής

31Aug2000, 24:00

Απορροή

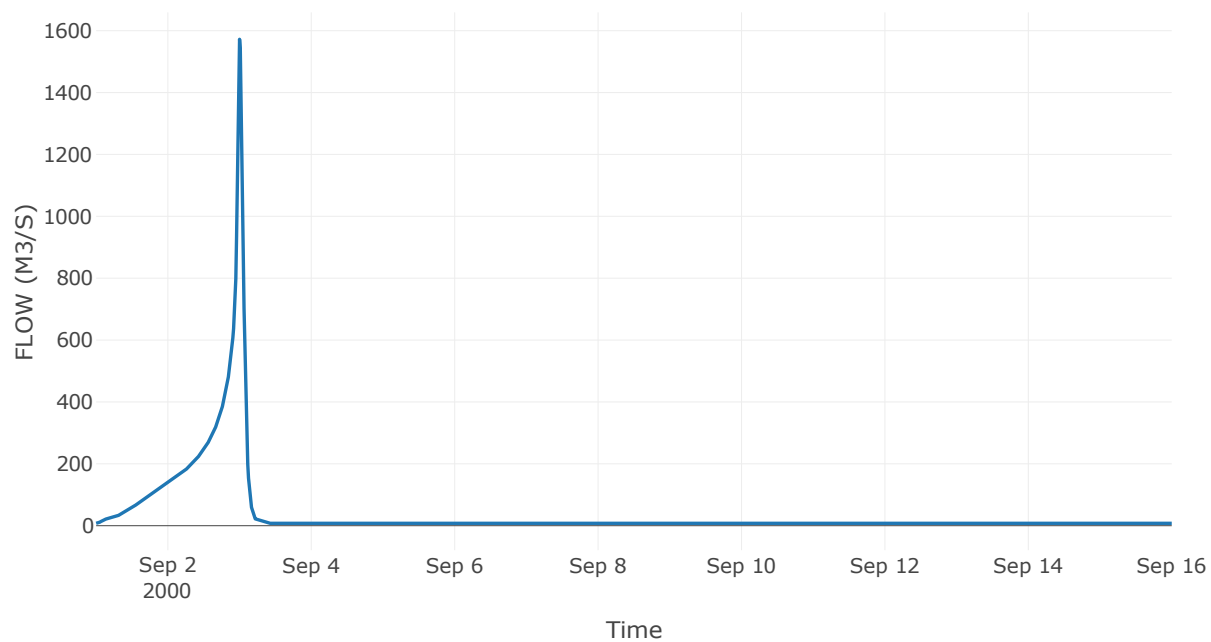


Κόμβος εξόδου: J40

Αποτελέσματ
α: J40

Παροχή αιχμής (M3/S)	1572.24
Χρονική στιγμή αιχμής	02Sep2000, 24:00
Όγκος (MM)	334.69

Απορροή



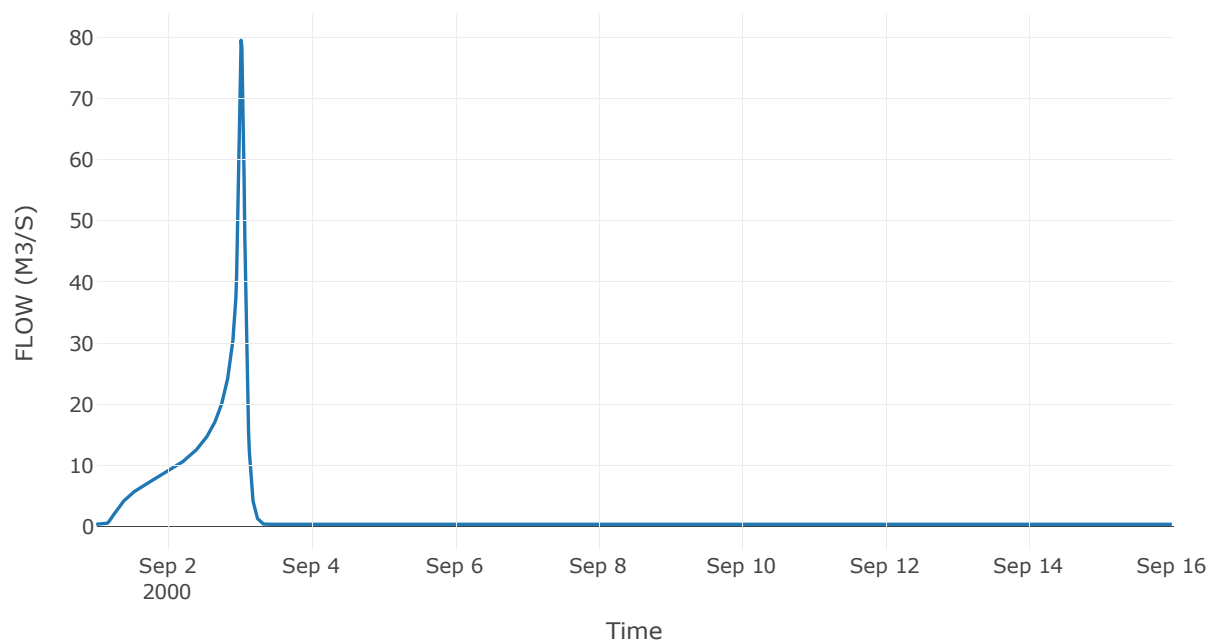
Κόμβος: J5

Κατάντη : R540

Αποτελέσματα: J5

Παροχή Αιχμής (M3/S)	79.54
Χρονική στιγμή αιχμής	03Sep2000, 00:30
Όγκος(MM)	360.37

Απορροή



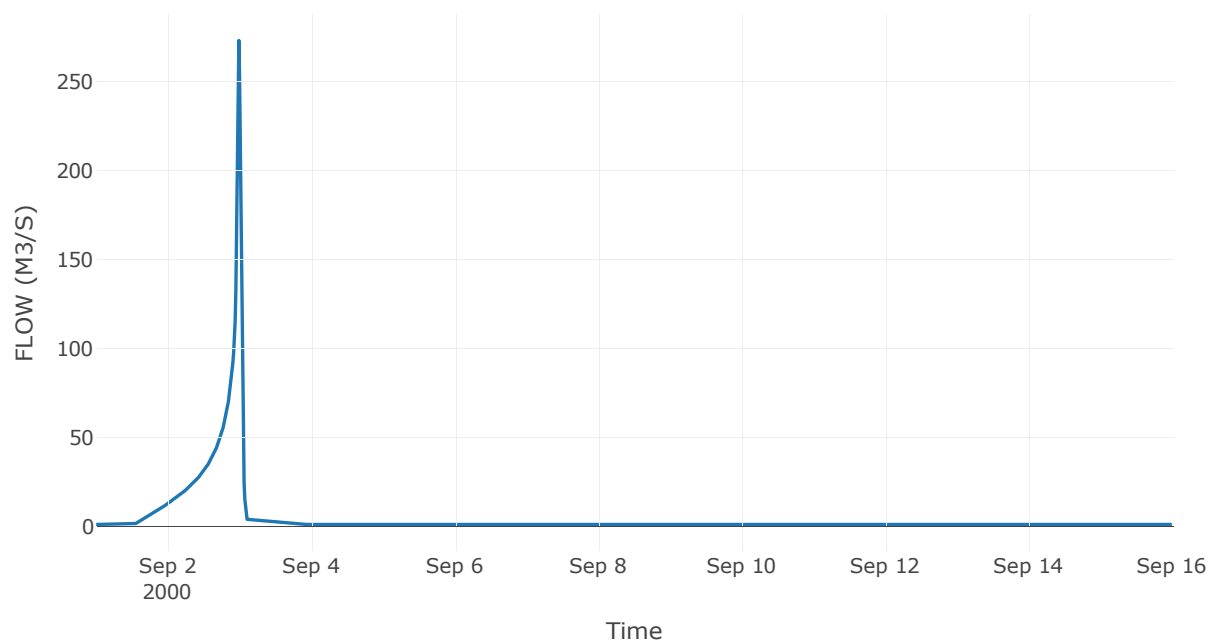
Κόμβος: J6

Κατάντη : R640

Αποτελέσματα: J6

Παροχή Αιχμής (M3/S)	273.36
Χρονική στιγμή αιχμής	02Sep2000, 23:45
Όγκος(MM)	252.07

Απορροή



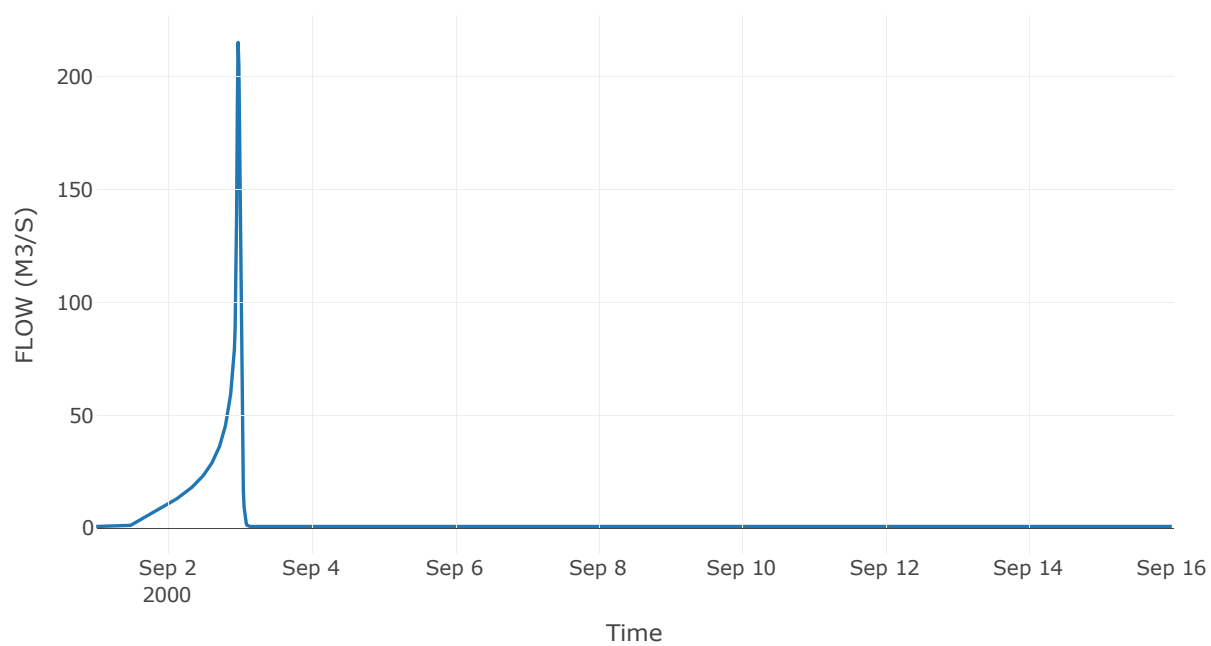
Κόμβος: J7

Κατάντη : R740

Αποτελέσματα: J7

Παροχή Αιχμής (M3/S)	215.13
Χρονική στιγμή αιχμής	02Sep2000, 23:30
Όγκος(MM)	275.61

Απορροή



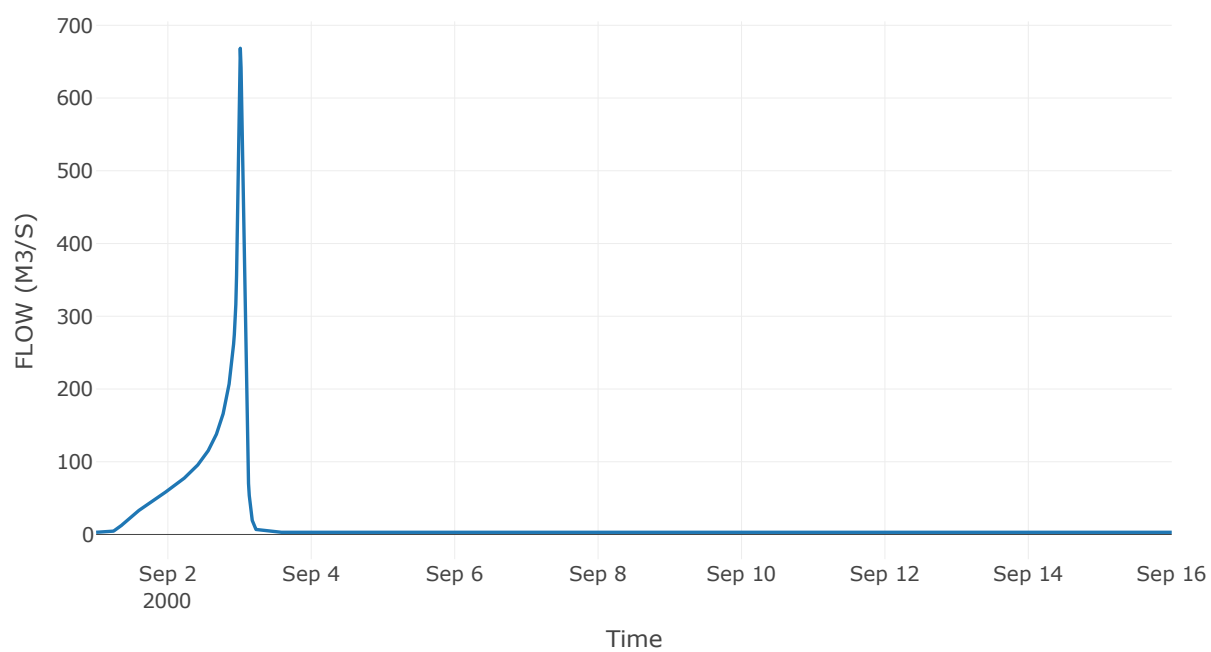
Κόμβος: J8

Κατάντη : R840

Αποτελέσματα: J8

Παροχή Αιχμής (M3/S)	668.41
Χρονική στιγμή αιχμής	03Sep2000, 00:15
Όγκος(MM)	362.07

Απορροή



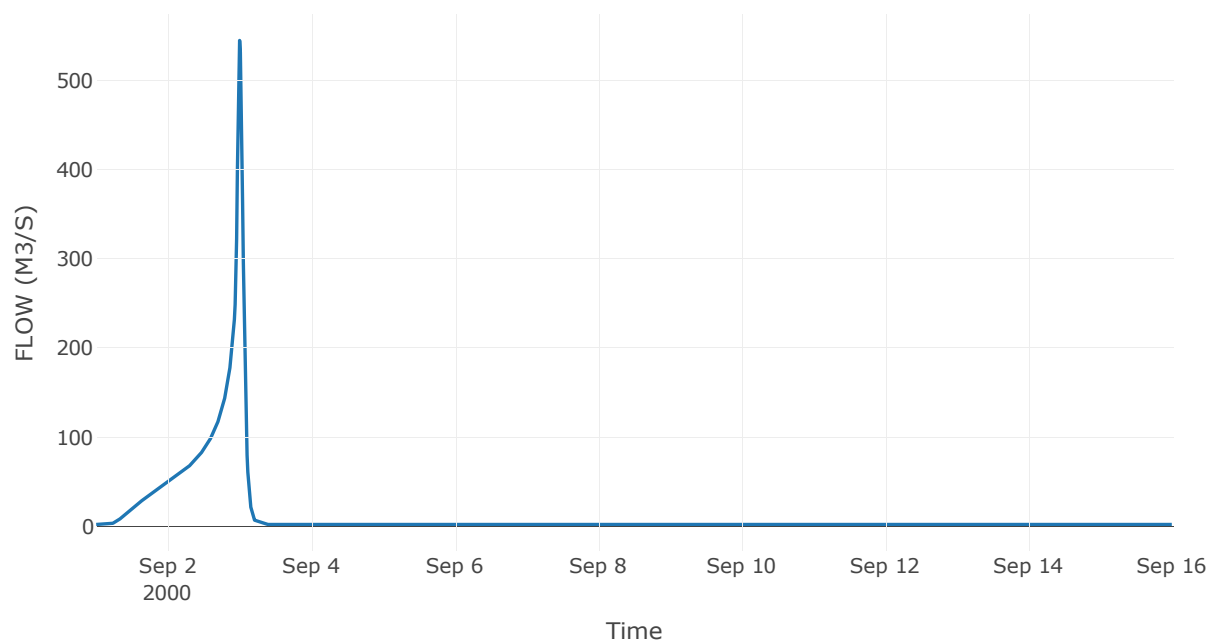
Κόμβος: J9

Κατάντη : R98

Αποτελέσματα: J9

Παροχή Αιχμής (M3/S)	545.08
Χρονική στιγμή αιχμής	02Sep2000, 24:00
Όγκος(MM)	366.48

Απορροή



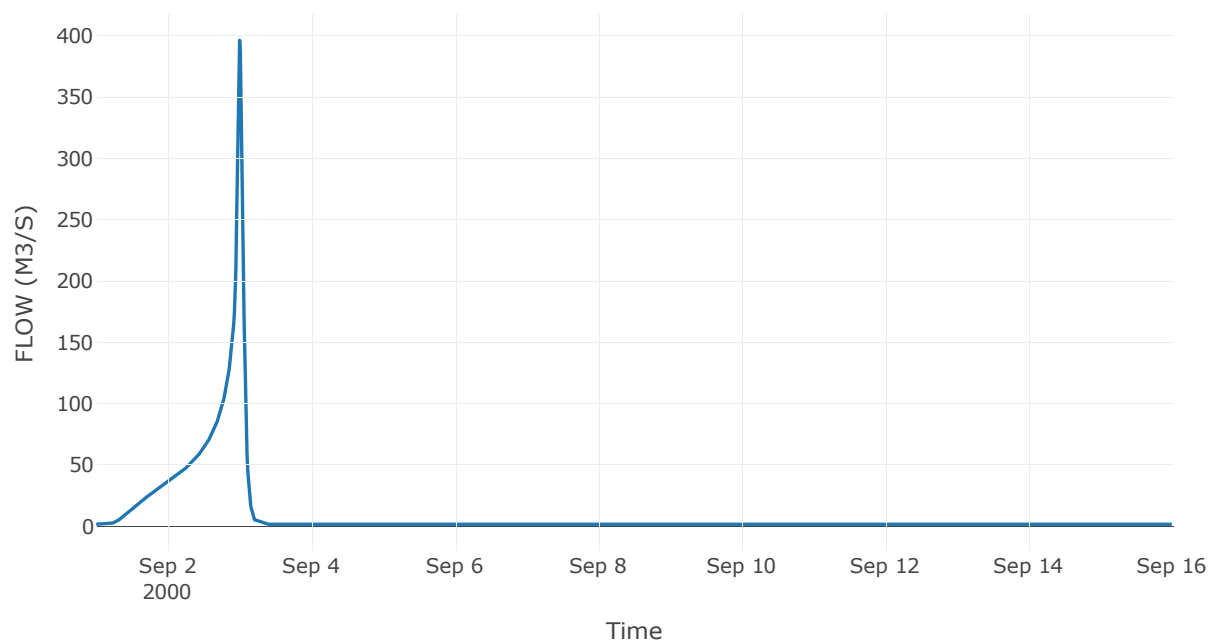
Κόμβος: J10

Κατάντη : R109

Αποτελέσματα: J10

Παροχή Αιχμής (M3/S)	396.3
Χρονική στιγμή αιχμής	02Sep2000, 24:00
Όγκος(MM)	369.94

Απορροή



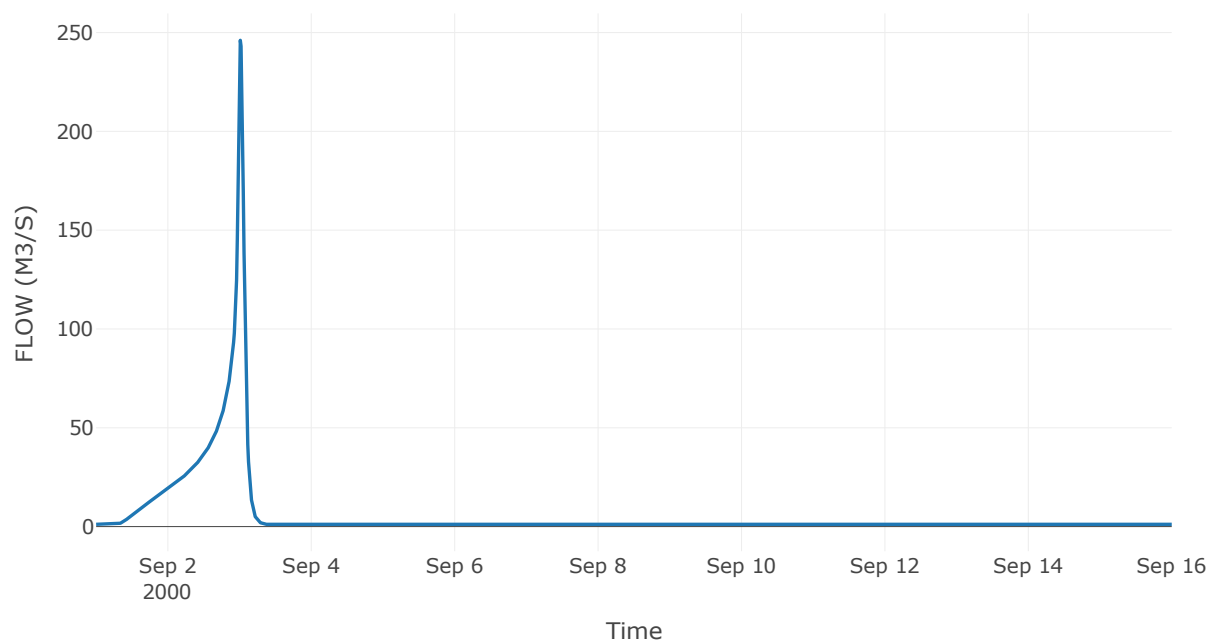
Κόμβος: J11

Κατάντη : R1140

Αποτελέσματα: J11

Παροχή Αιχμής (M3/S)	246.08
Χρονική στιγμή αιχμής	03Sep2000, 00:15
Όγκος(MM)	335.39

Απορροή



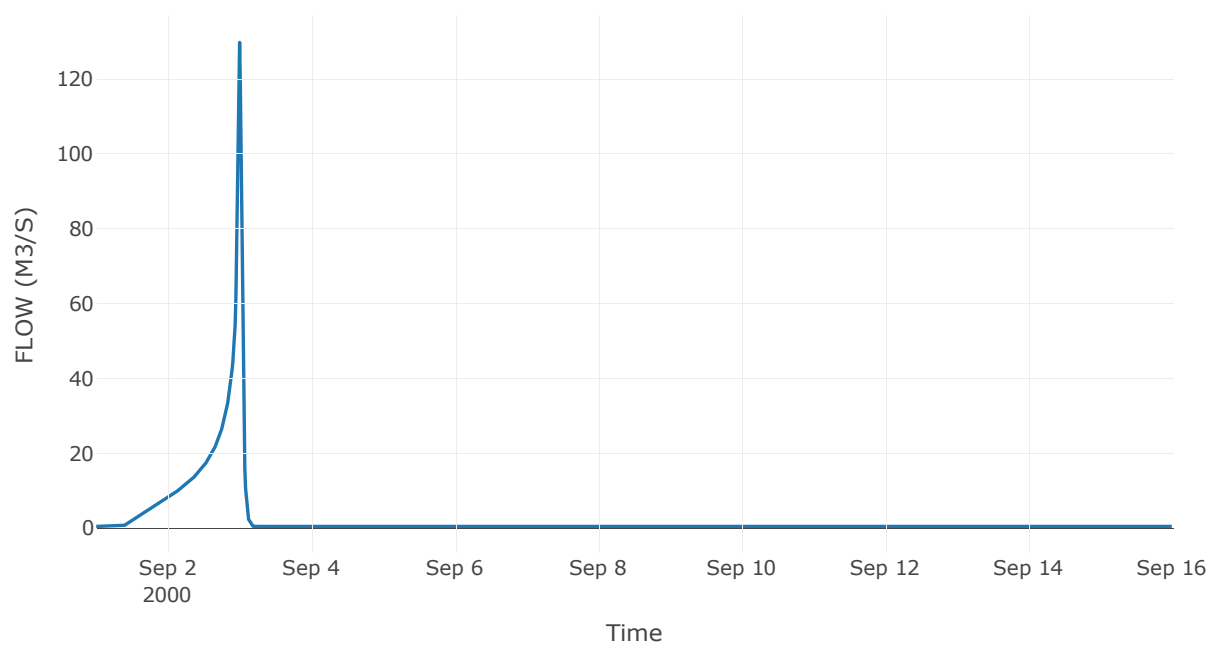
Κόμβος: J12

Κατάντη : R1211

Αποτελέσματα: J12

Παροχή Αιχμής (M3/S)	129.76
Χρονική στιγμή αιχμής	02Sep2000, 24:00
Όγκος(MM)	329.89

Απορροή



9 Δεδομένα εισόδου και αποτελέσματα υδρολογικού σεναρίου T=1000L

9.1 Αποτελέσματα, υετογραφήματα και υδρογραφήματα σχεδιασμού υπολεκανών

Υπολεκάνη: EL0514FL002001

Έκταση (KM2) : 61.13

Κατάντη : J1

Μέθοδος Απωλειών: SCS

Ποσοστό αδιαπέρατης επιφάνειας	0
Αριθμός Καμπύλης Απορροής-CN	40.56
Αρχικές Απώλειες	74.44

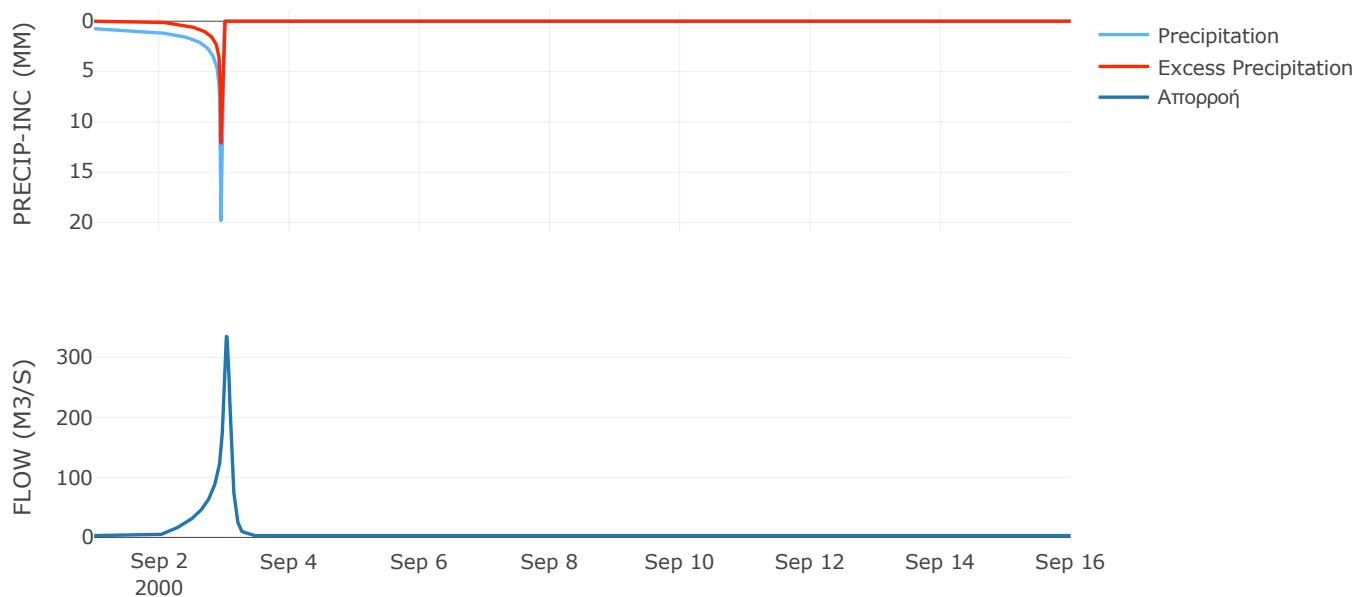
Μέθοδος
Μετασχηματισμού: SCS

Χρόνος Υστέρησης	117.01
------------------	--------

Αποτελέσματα:
EL0514FL002001

Παροχή αιχμής (M3/S)	334.64
Χρονική στιγμή αιχμής	03Sep2000, 00:45
Όγκος (MM)	179.54
Όγκος βροχόπτωσης (M3)	2.12E7
Όγκος απωλειών (M3)	1.42E7
Ενεργός Όγκος (M3)	7.01E6
Όγκος άμεσης απορροής (M3)	7.01E6
Όγκος βασικής απορροής (M3)	3.96E6

Βροχόπτωση και Απορροή



Υπολεκάνη: EL0514FL002002

Έκταση (KM2) : 42.33

Κατάντη : J2

Μέθοδος Απωλειών: SCS

Ποσοστό αδιαπέρατης επιφάνειας	0
Αριθμός Καμπύλης Απορροής-CN	35.43
Αρχικές Απώλειες	92.58

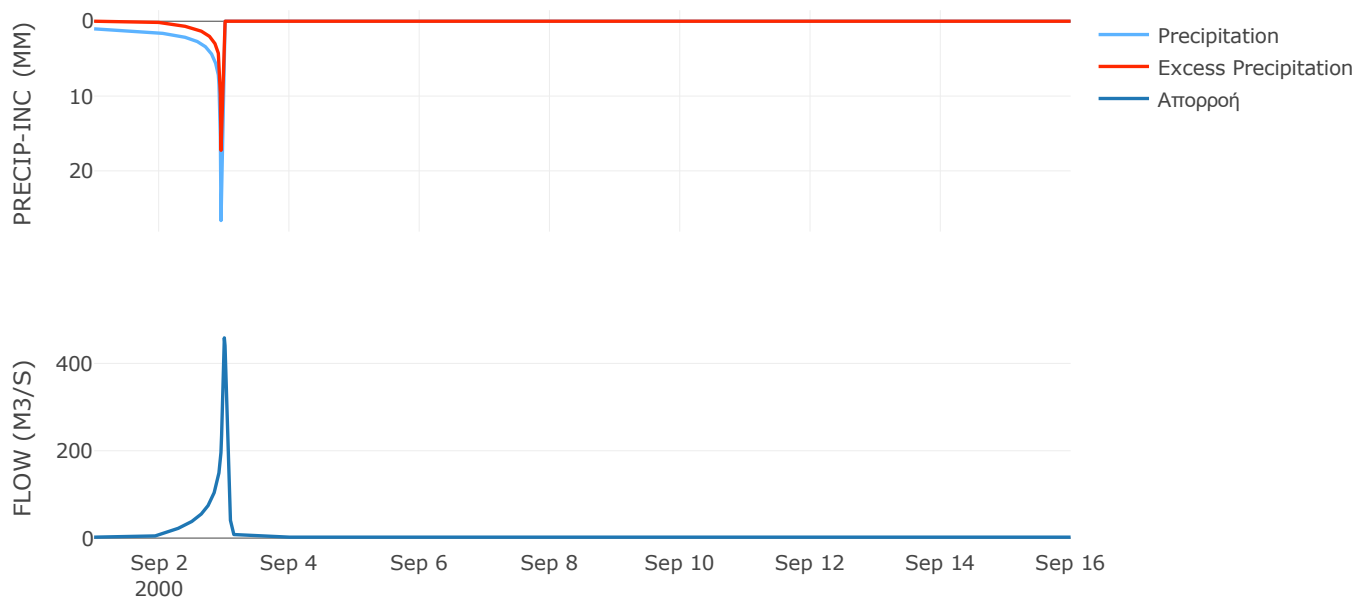
Μέθοδος
Μετασχηματισμού: SCS

Χρόνος Υστέρησης	59.1
------------------	------

Αποτελέσματα:
EL0514FL002002

Παροχή αιχμής (M3/S)	458.63
Χρονική στιγμή αιχμής	02Sep2000, 24:00
Όγκος (MM)	236.81
Όγκος βροχόπτωσης (M3)	2E7
Όγκος απωλειών (M3)	1.28E7
Ενεργός Όγκος (M3)	7.28E6
Όγκος άμεσης απορροής (M3)	7.28E6
Όγκος βασικής απορροής (M3)	2.74E6

Βροχόπτωση και Απορροή



Υπολεκάνη: EL0514FL002003

Έκταση (KM2) : 48.23

Κατάντη : J2

Μέθοδος Απωλειών: SCS

Ποσοστό αδιαπέρατης επιφάνειας	0
Αριθμός Καμπύλης Απορροής-CN	49.79
Αρχικές Απώλειες	51.23

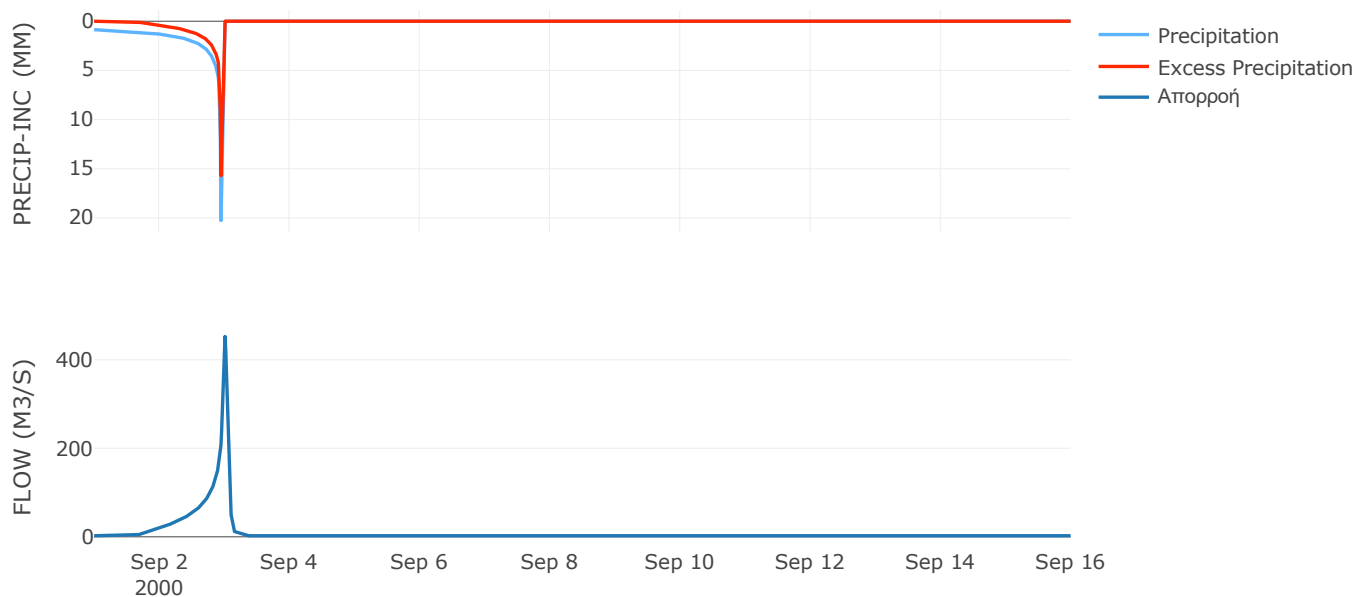
Μέθοδος
Μετασχηματισμού: SCS

Χρόνος Υστέρησης	69.28
------------------	-------

Αποτελέσματα:
EL0514FL002003

Παροχή αιχμής (M3/S)	452.7
Χρονική στιγμή αιχμής	03Sep2000, 00:15
Όγκος (MM)	253.34
Όγκος βροχόπτωσης (M3)	1.86E7
Όγκος απωλειών (M3)	9.46E6
Ενεργός Όγκος (M3)	9.09E6
Όγκος άμεσης απορροής (M3)	9.09E6
Όγκος βασικής απορροής (M3)	3.13E6

Βροχόπτωση και Απορροή



Υπολεκάνη: EL0514FL002004

Έκταση (KM2) : 33.76

Κατάντη : J3

Μέθοδος Απωλειών: SCS

Ποσοστό αδιαπέρατης επιφάνειας	0
Αριθμός Καμπύλης Απορροής-CN	47.45
Αρχικές Απώλειες	56.25

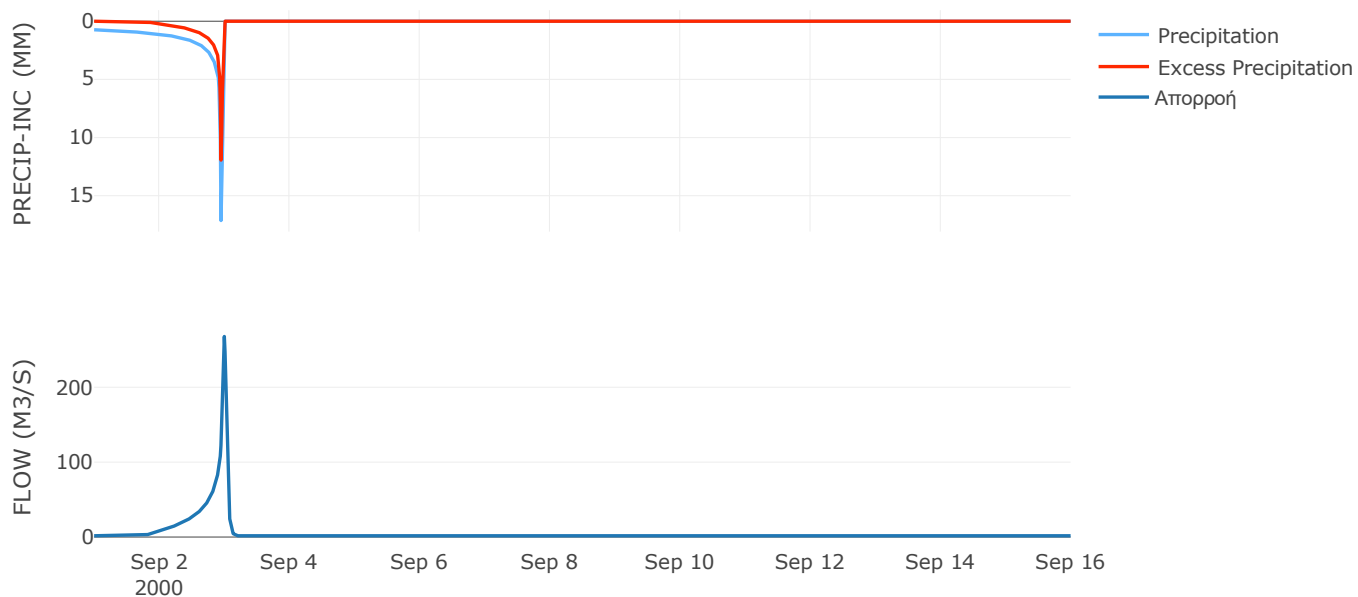
Μέθοδος
Μετασχηματισμού: SCS

Χρόνος Υστέρησης	52.78
------------------	-------

Αποτελέσματα:
EL0514FL002004

Παροχή αιχμής (M3/S)	267.76
Χρονική στιγμή αιχμής	02Sep2000, 24:00
Όγκος (MM)	198.3
Όγκος βροχόπτωσης (M3)	1.11E7
Όγκος απωλειών (M3)	6.56E6
Ενεργός Όγκος (M3)	4.51E6
Όγκος άμεσης απορροής (M3)	4.51E6
Όγκος βασικής απορροής (M3)	2.19E6

Βροχόπτωση και Απορροή



Υπολεκάνη: EL0514FL002005

Έκταση (KM2) : 26.27

Κατάντη : J6

Μέθοδος Απωλειών: SCS

Ποσοστό αδιαπέρατης επιφάνειας	0
Αριθμός Καμπύλης Απορροής-CN	33.81
Αρχικές Απώλειες	99.46

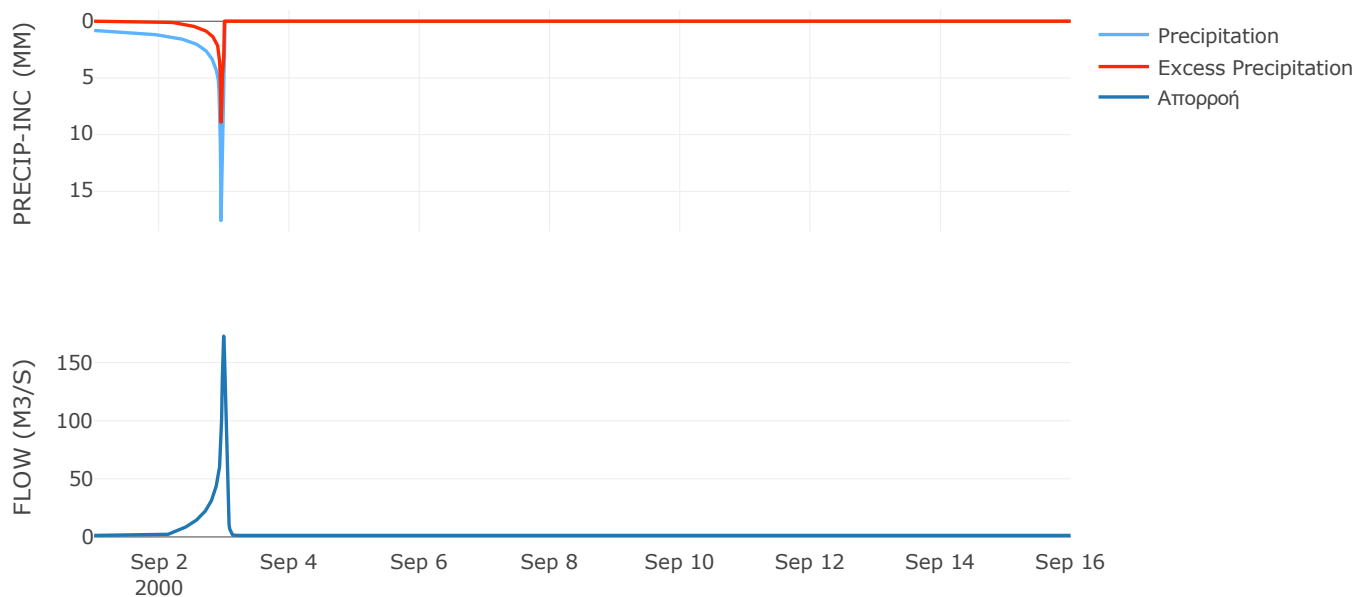
Μέθοδος
Μετασχηματισμού: SCS

Χρόνος Υστέρησης	40.73
------------------	-------

Αποτελέσματα:
EL0514FL002005

Παροχή αιχμής (M3/S)	172.76
Χρονική στιγμή αιχμής	02Sep2000, 23:45
Όγκος (MM)	151.1
Όγκος βροχόπτωσης (M3)	9.3E6
Όγκος απωλειών (M3)	7.04E6
Ενεργός Όγκος (M3)	2.27E6
Όγκος άμεσης απορροής (M3)	2.27E6
Όγκος βασικής απορροής (M3)	1.7E6

Βροχόπτωση και Απορροή



Υπολεκάνη: EL0514FL002006

Έκταση (KM2) : 17.48

Κατάντη : J7

Μέθοδος Απωλειών: SCS

Ποσοστό αδιαπέρατης επιφάνειας	0
Αριθμός Καμπύλης Απορροής-CN	37.94
Αρχικές Απώλειες	83.09

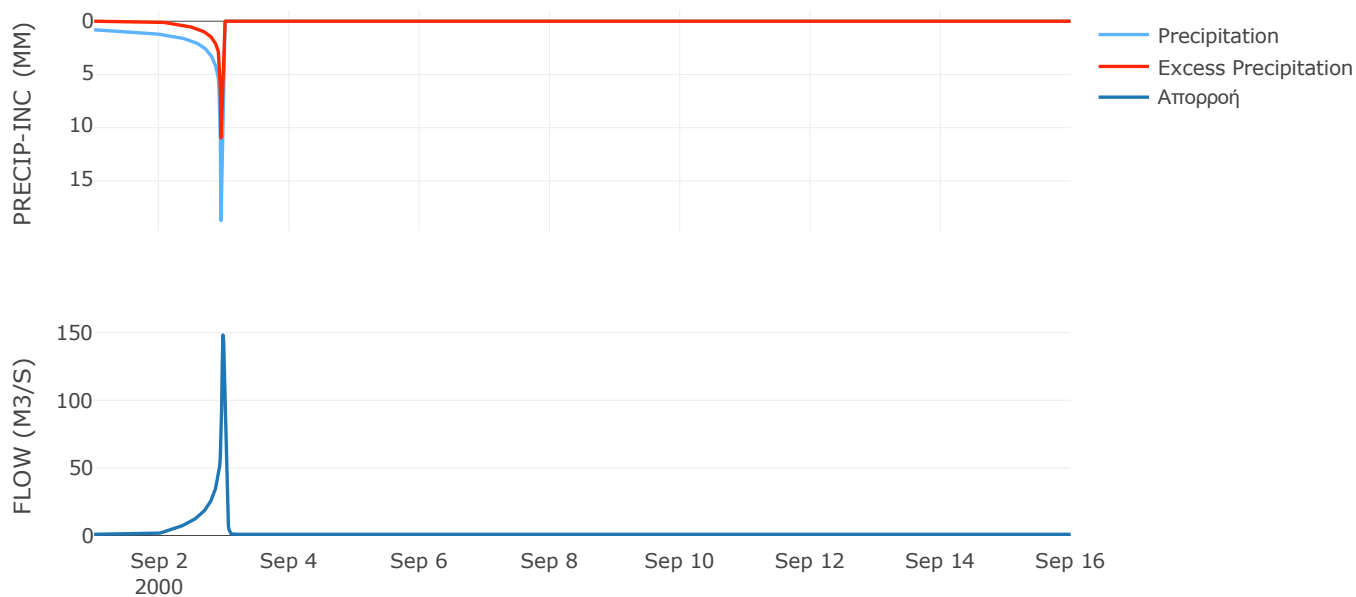
Μέθοδος
Μετασχηματισμού: SCS

Χρόνος Υστέρησης	32.94
------------------	-------

Αποτελέσματα:
EL0514FL002006

Παροχή αιχμής (M3/S)	148.22
Χρονική στιγμή αιχμής	02Sep2000, 23:30
Όγκος (MM)	175
Όγκος βροχόπτωσης (M3)	6.28E6
Όγκος απωλειών (M3)	4.35E6
Ενεργός Όγκος (M3)	1.93E6
Όγκος άμεσης απορροής (M3)	1.93E6
Όγκος βασικής απορροής (M3)	1.13E6

Βροχόπτωση και Απορροή



Υπολεκάνη: EL0514FL002007

Έκταση (KM2) : 12.13

Κατάντη : J8

Μέθοδος Απωλειών: SCS

Ποσοστό αδιαπέρατης επιφάνειας	0
Αριθμός Καμπύλης Απορροής-CN	61.06
Αρχικές Απώλειες	32.4

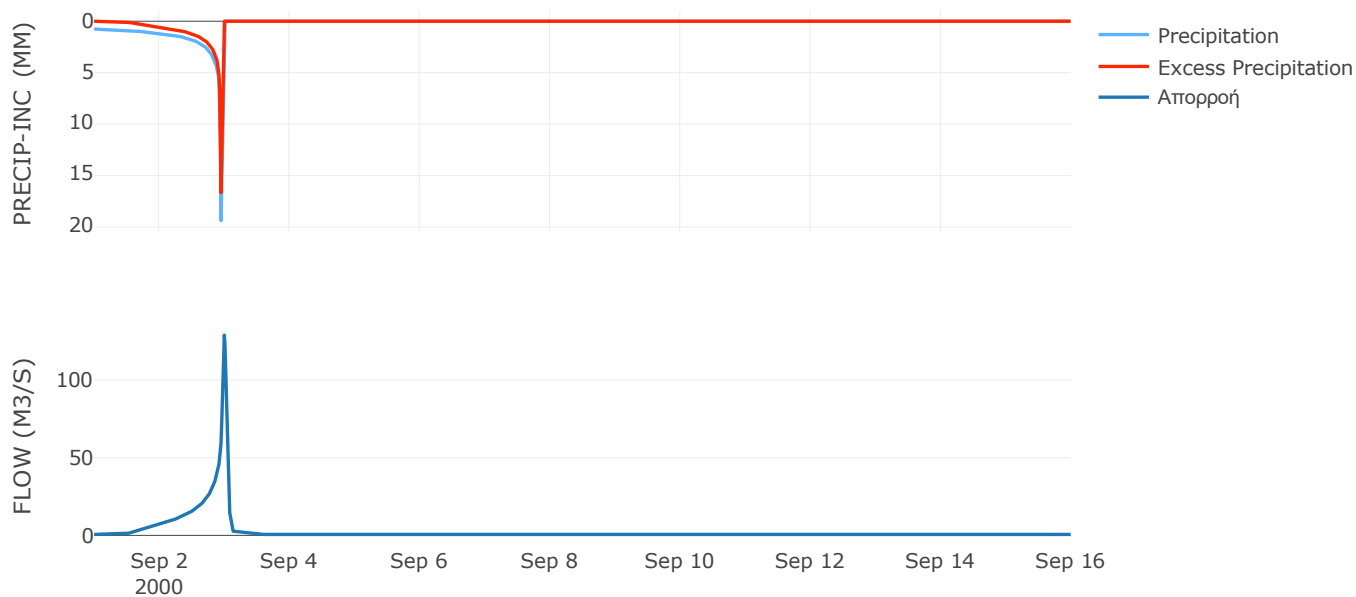
Μέθοδος
Μετασχηματισμού: SCS

Χρόνος Υστέρησης	57.33
------------------	-------

Αποτελέσματα:
EL0514FL002007

Παροχή αιχμής (M3/S)	128.74
Χρονική στιγμή αιχμής	02Sep2000, 24:00
Όγκος (MM)	275.1
Όγκος βροχόπτωσης (M3)	4.24E6
Όγκος απωλειών (M3)	1.69E6
Ενεργός Όγκος (M3)	2.55E6
Όγκος άμεσης απορροής (M3)	2.55E6
Όγκος βασικής απορροής (M3)	7.86E5

Βροχόπτωση και Απορροή



Υπολεκάνη: EL0514FL002008

Έκταση (KM2) : 8.45

Κατάντη : J5

Μέθοδος Απωλειών: SCS

Ποσοστό αδιαπέρατης επιφάνειας	0
Αριθμός Καμπύλης Απορροής-CN	77.22
Αρχικές Απώλειες	14.99

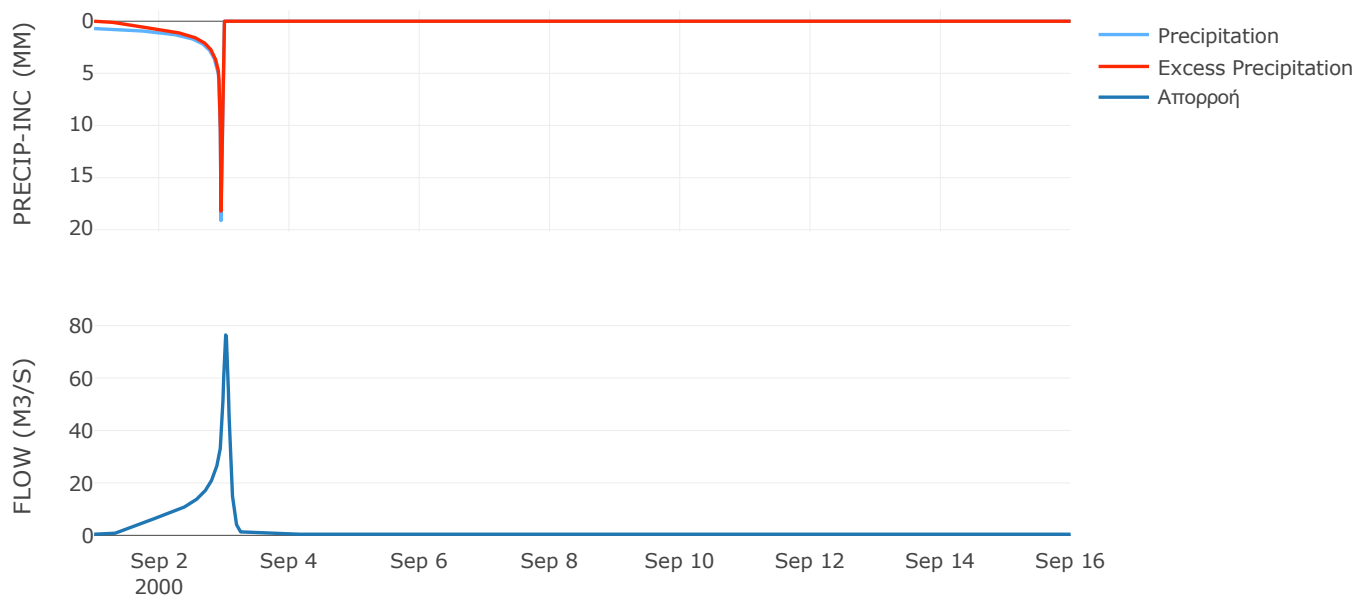
Μέθοδος
Μετασχηματισμού: SCS

Χρόνος Υστέρησης	98.95
------------------	-------

Αποτελέσματα:
EL0514FL002008

Παροχή αιχμής (M3/S)	76.45
Χρονική στιγμή αιχμής	03Sep2000, 00:30
Όγκος (MM)	319.81
Όγκος βροχόπτωσης (M3)	2.79E6
Όγκος απωλειών (M3)	6.38E5
Ενεργός Όγκος (M3)	2.16E6
Όγκος άμεσης απορροής (M3)	2.16E6
Όγκος βασικής απορροής (M3)	5.48E5

Βροχόπτωση και Απορροή



Υπολεκάνη: EL0514FL002009

Έκταση (KM2) : 19.86

Κατάντη : J40

Μέθοδος Απωλειών: SCS

Ποσοστό αδιαπέρατης επιφάνειας	95
Αριθμός Καμπύλης Απορροής-CN	99
Αρχικές Απώλειες	0.51

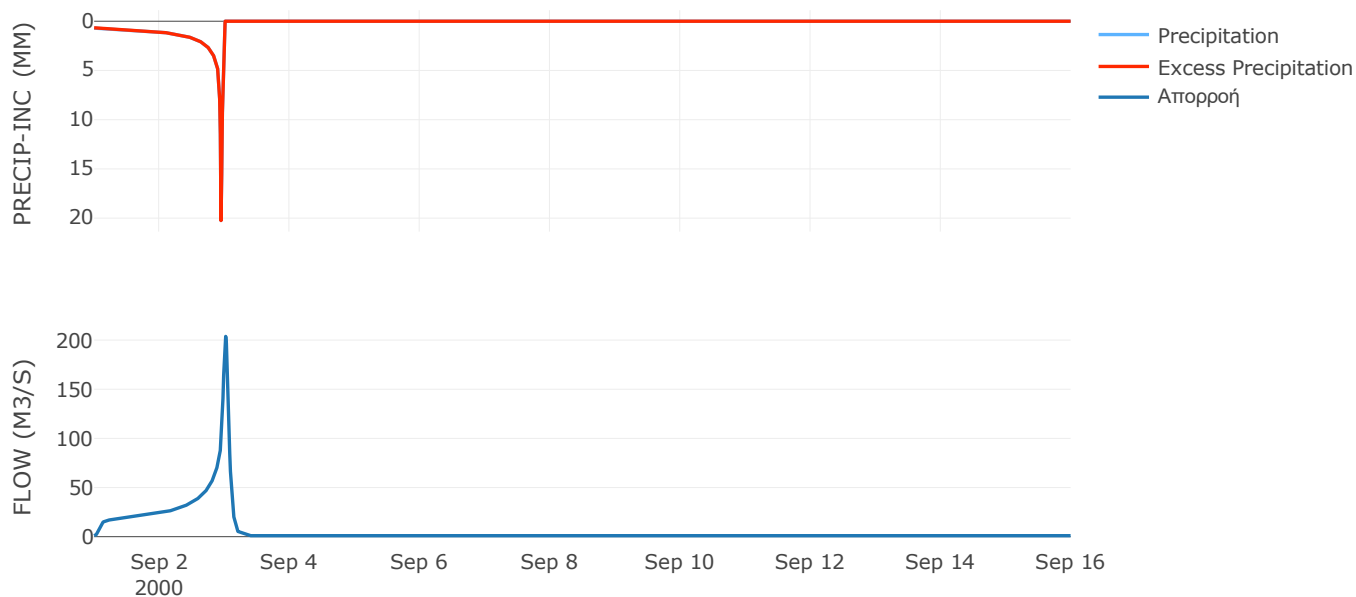
Μέθοδος
Μετασχηματισμού: SCS

Χρόνος Υστέρησης	92.51
------------------	-------

Αποτελέσματα:
EL0514FL002009

Παροχή αιχμής (M3/S)	203.77
Χρονική στιγμή αιχμής	03Sep2000, 00:30
Όγκος (MM)	401.27
Όγκος βροχόπτωσης (M3)	6.69E6
Όγκος απωλειών (M3)	3038.17
Ενεργός Όγκος (M3)	6.68E6
Όγκος άμεσης απορροής (M3)	6.68E6
Όγκος βασικής απορροής (M3)	1.29E6

Βροχόπτωση και Απορροή



Υπολεκάνη: EL0514FL002010

Έκταση (KM2) : 7.22

Κατάντη : J9

Μέθοδος Απωλειών: SCS

Ποσοστό αδιαπέρατης επιφάνειας	0
Αριθμός Καμπύλης Απορροής-CN	61.88
Αρχικές Απώλειες	31.29

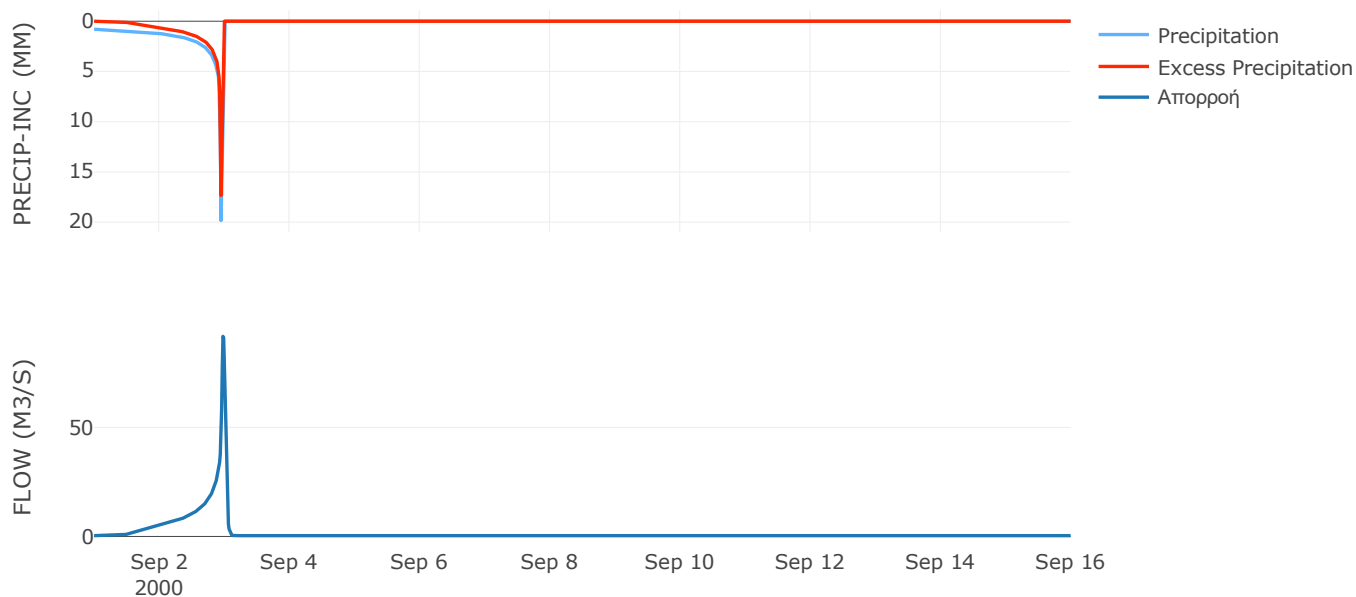
Μέθοδος
Μετασχηματισμού: SCS

Χρόνος Υστέρησης	36.57
------------------	-------

Αποτελέσματα:
EL0514FL002010

Παροχή αιχμής (M3/S)	91.76
Χρονική στιγμή αιχμής	02Sep2000, 23:30
Όγκος (MM)	291.11
Όγκος βροχόπτωσης (M3)	2.63E6
Όγκος απωλειών (M3)	9.95E5
Ενεργός Όγκος (M3)	1.63E6
Όγκος άμεσης απορροής (M3)	1.63E6
Όγκος βασικής απορροής (M3)	4.68E5

Βροχόπτωση και Απορροή



Υπολεκάνη: EL0514FL002011

Έκταση (KM2) : 8.8

Κατάντη : J10

Μέθοδος Απωλειών: SCS

Ποσοστό αδιαπέρατης επιφάνειας	0
Αριθμός Καμπύλης Απορροής-CN	63.69
Αρχικές Απώλειες	28.96

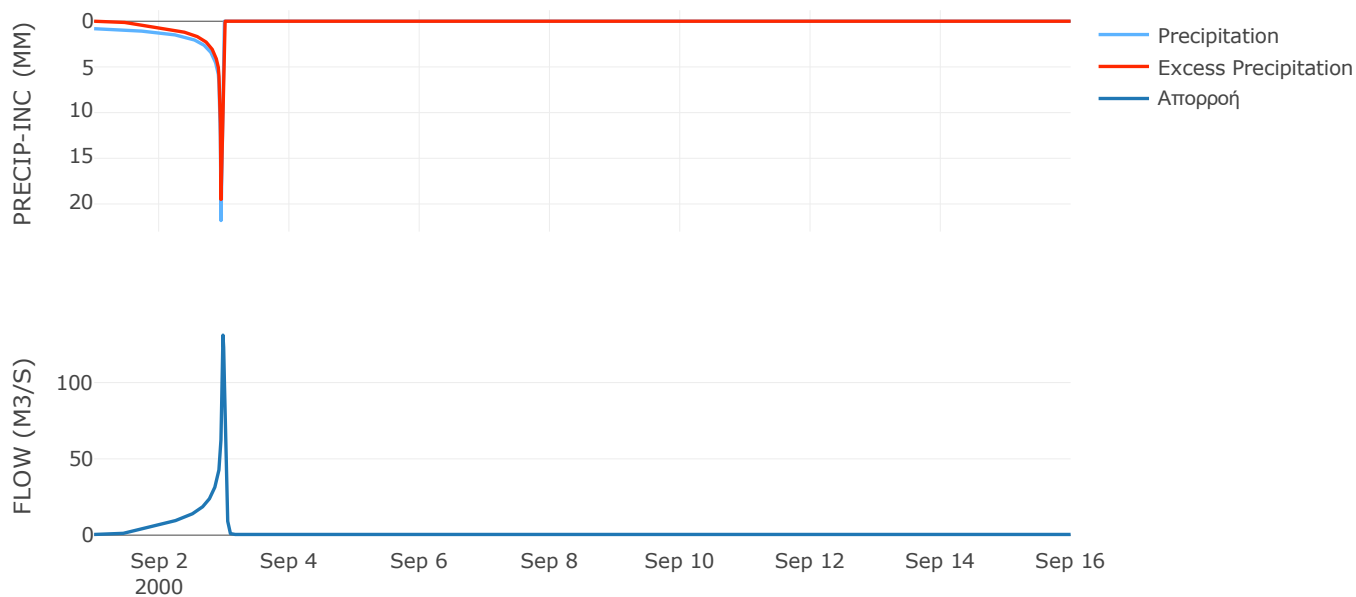
Μέθοδος
Μετασχηματισμού: SCS

Χρόνος Υστέρησης	32.16
------------------	-------

Αποτελέσματα:
EL0514FL002011

Παροχή αιχμής (M3/S)	131.07
Χρονική στιγμή αιχμής	02Sep2000, 23:30
Όγκος (MM)	315.01
Όγκος βροχόπτωσης (M3)	3.36E6
Όγκος απωλειών (M3)	1.16E6
Ενεργός Όγκος (M3)	2.2E6
Όγκος άμεσης απορροής (M3)	2.2E6
Όγκος βασικής απορροής (M3)	5.7E5

Βροχόπτωση και Απορροή



Υπολεκάνη: EL0514FL002012

Έκταση (KM2) : 5.8

Κατάντη : J9

Μέθοδος Απωλειών: SCS

Ποσοστό αδιαπέρατης επιφάνειας	0
Αριθμός Καμπύλης Απορροής-CN	55.56
Αρχικές Απώλειες	40.63

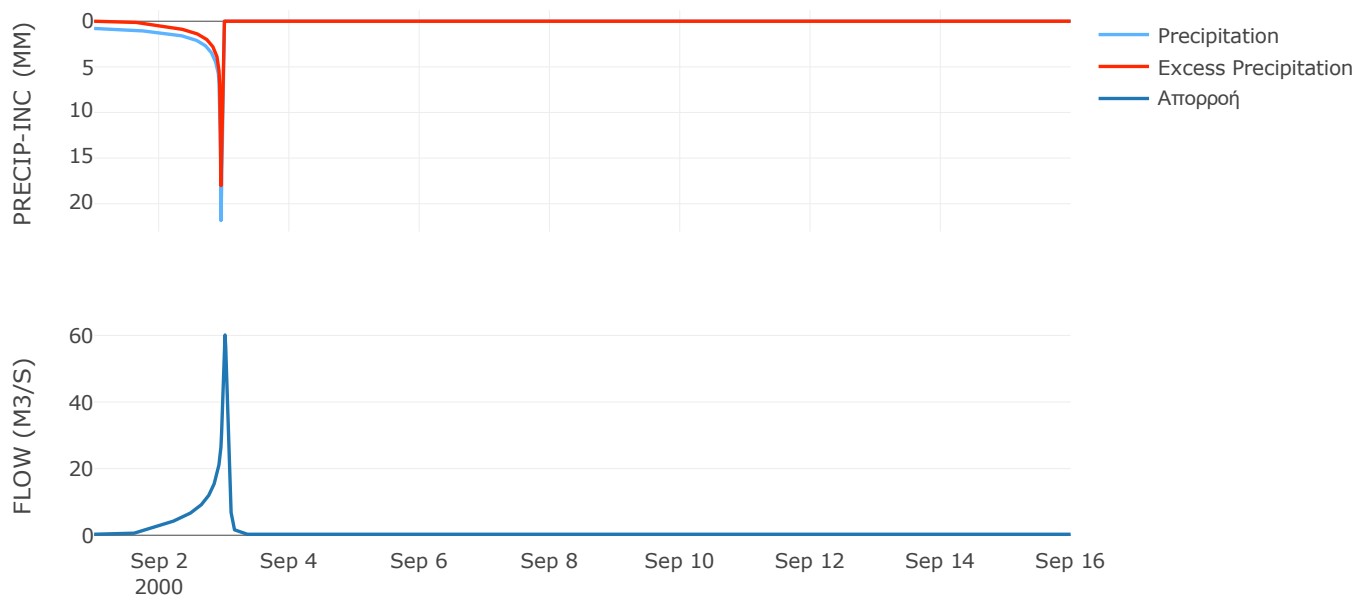
Μέθοδος
Μετασχηματισμού: SCS

Χρόνος Υστέρησης	70.29
------------------	-------

Αποτελέσματα:
EL0514FL002012

Παροχή αιχμής (M3/S)	60.14
Χρονική στιγμή αιχμής	03Sep2000, 00:15
Όγκος (MM)	272.24
Όγκος βροχόπτωσης (M3)	2.17E6
Όγκος απωλειών (M3)	9.68E5
Ενεργός Όγκος (M3)	1.2E6
Όγκος άμεσης απορροής (M3)	1.2E6
Όγκος βασικής απορροής (M3)	3.76E5

Βροχόπτωση και Απορροή



Υπολεκάνη: EL0514FL002013

Έκταση (KM2) : 26.26

Κατάντη : J10

Μέθοδος Απωλειών: SCS

Ποσοστό αδιαπέρατης επιφάνειας	0
Αριθμός Καμπύλης Απορροής-CN	51.48
Αρχικές Απώλειες	47.88

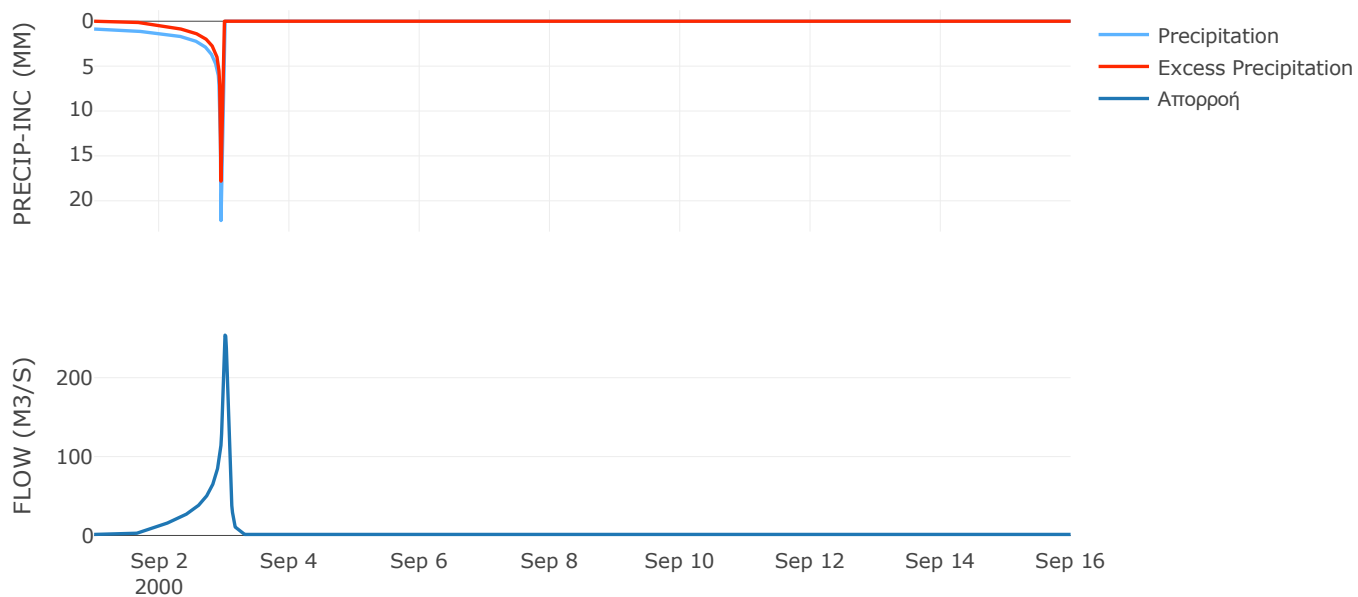
Μέθοδος
Μετασχηματισμού: SCS

Χρόνος Υστέρησης	83.27
------------------	-------

Αποτελέσματα:
EL0514FL002013

Παροχή αιχμής (M3/S)	253.95
Χρονική στιγμή αιχμής	03Sep2000, 00:15
Όγκος (MM)	274.96
Όγκος βροχόπτωσης (M3)	1.05E7
Όγκος απωλειών (M3)	5E6
Ενεργός Όγκος (M3)	5.52E6
Όγκος άμεσης απορροής (M3)	5.52E6
Όγκος βασικής απορροής (M3)	1.7E6

Βροχόπτωση και Απορροή



Υπολεκάνη: EL0514FL002014

Έκταση (KM2) : 10.15

Κατάντη : J12

Μέθοδος Απωλειών: SCS

Ποσοστό αδιαπέρατης επιφάνειας	0
Αριθμός Καμπύλης Απορροής-CN	42.15
Αρχικές Απώλειες	69.72

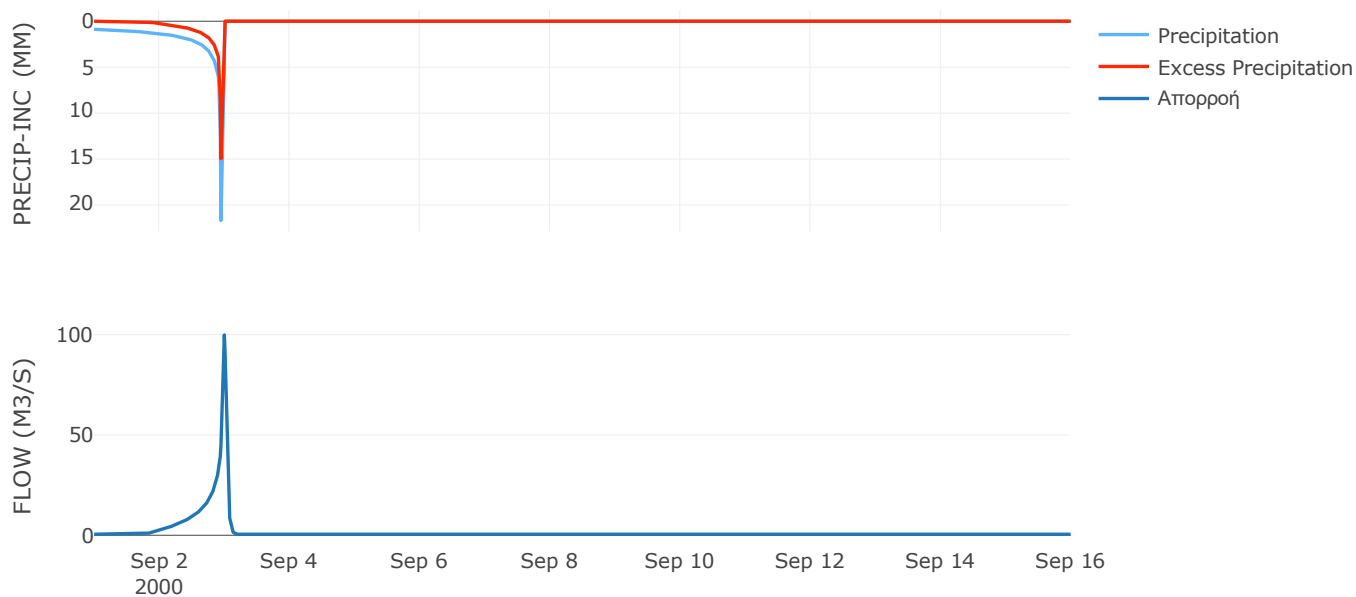
Μέθοδος
Μετασχηματισμού: SCS

Χρόνος Υστέρησης	51.96
------------------	-------

Αποτελέσματα:
EL0514FL002014

Παροχή αιχμής (M3/S)	99.89
Χρονική στιγμή αιχμής	02Sep2000, 24:00
Όγκος (MM)	224.95
Όγκος βροχόπτωσης (M3)	4.05E6
Όγκος απωλειών (M3)	2.43E6
Ενεργός Όγκος (M3)	1.63E6
Όγκος άμεσης απορροής (M3)	1.63E6
Όγκος βασικής απορροής (M3)	6.58E5

Βροχόπτωση και Απορροή



Υπολεκάνη: EL0514FL002015

Έκταση (KM2) : 12.91

Κατάνη : J11

Μέθοδος Απωλειών: SCS

Ποσοστό αδιαπέρατης επιφάνειας	0
Αριθμός Καμπύλης Απορροής-CN	55.57
Αρχικές Απώλειες	40.61

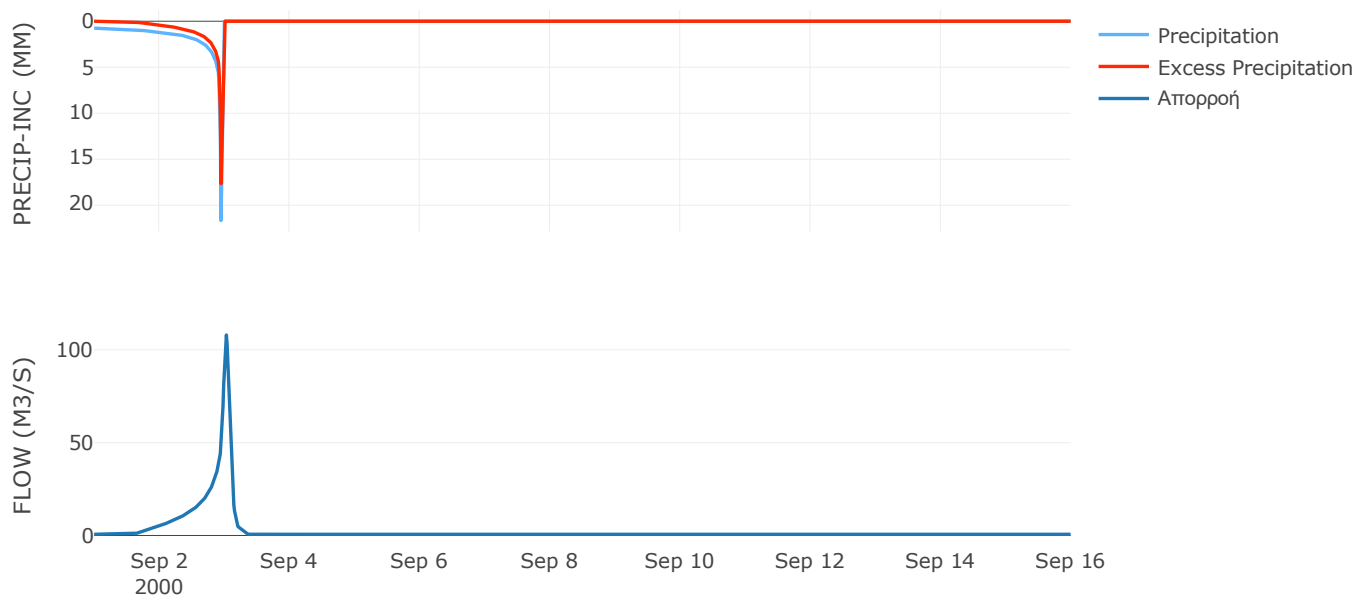
Μέθοδος
Μετασχηματισμού: SCS

Χρόνος Υστέρησης	104.24
------------------	--------

Αποτελέσματα:
EL0514FL002015

Παροχή αιχμής (M3/S)	107.96
Χρονική στιγμή αιχμής	03Sep2000, 00:45
Όγκος (MM)	260.29
Όγκος βροχόπτωσης (M3)	4.65E6
Όγκος απωλειών (M3)	2.13E6
Ενεργός Όγκος (M3)	2.52E6
Όγκος άμεσης απορροής (M3)	2.52E6
Όγκος βασικής απορροής (M3)	8.37E5

Βροχόπτωση και Απορροή



9.2 Δεδομένα και υδρογραφήματα σχεδιασμού Κλάδων υδρογραφικού δικτύου

Κλάδος: R21

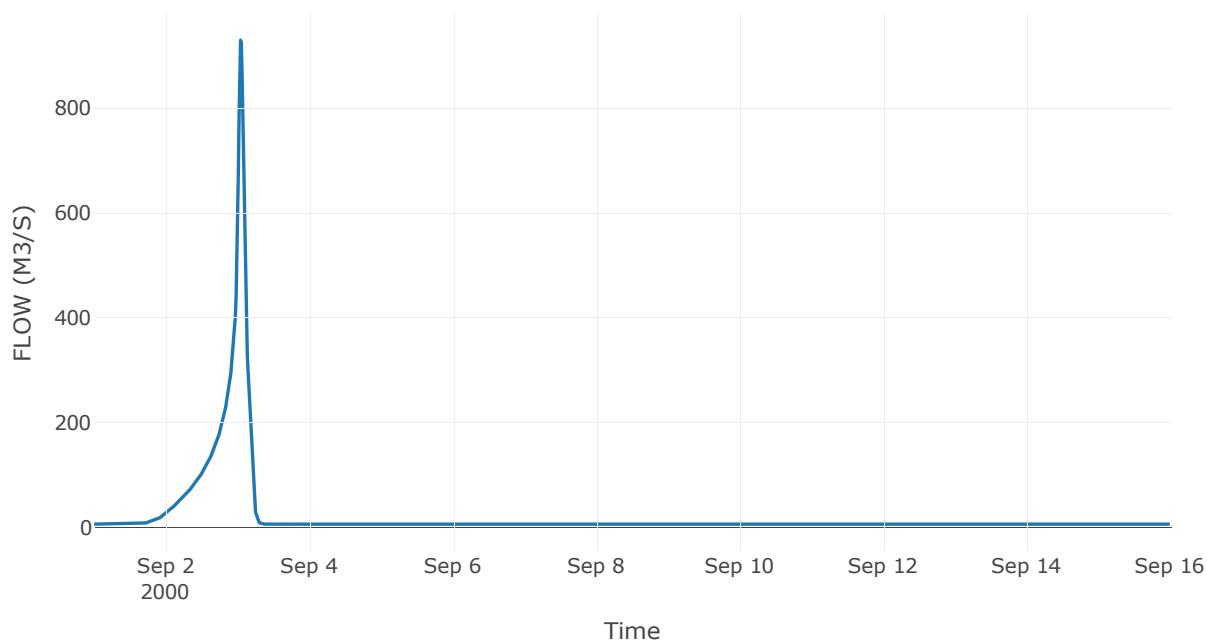
Κατάντη : J1

Μέθοδος Διόδευσης	Muskingum
Αρχική Μεταβλητή	Combined Inflow
Χρόνος Ροής K	1
Συντελεστής βάρους x	0.2
Πλήθος Υποκλάδων	5

Αποτελέσματα: R21

Παροχή Αιχμής (M3/S)	929.42
Χρονική στιγμή αιχμής	03Sep2000, 01:00
Όγκος(MM)	232.77
Παροχή Αιχμής Εισόδου (M3/S)	989.67
Όγκος Εισροής(M3)	2.89E7

Απορροή



Κλάδος: R32

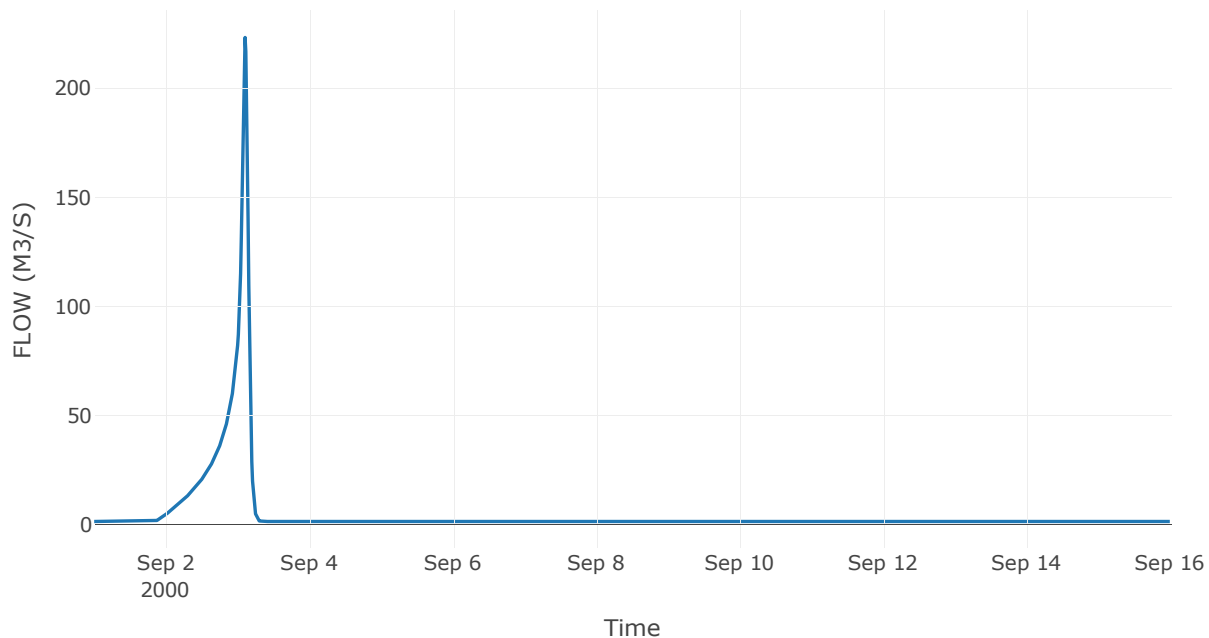
Κατάντη : J2

Μέθοδος Διόδευσης	Muskingum
Αρχική Μεταβλητή	Combined Inflow
Χρόνος Ροής K	2.62
Συντελεστής βάρους x	0.2
Πλήθος Υποκλάδων	13

Αποτελέσματα: R32

Παροχή Αιχμής (M3/S)	223.31
Χρονική στιγμή αιχμής	03Sep2000, 02:30
Όγκος(MM)	198.3
Παροχή Αιχμής Εισόδου (M3/S)	267.76
Όγκος Εισροής(M3)	6.69E6

Απορροή



Κλάδος: R43

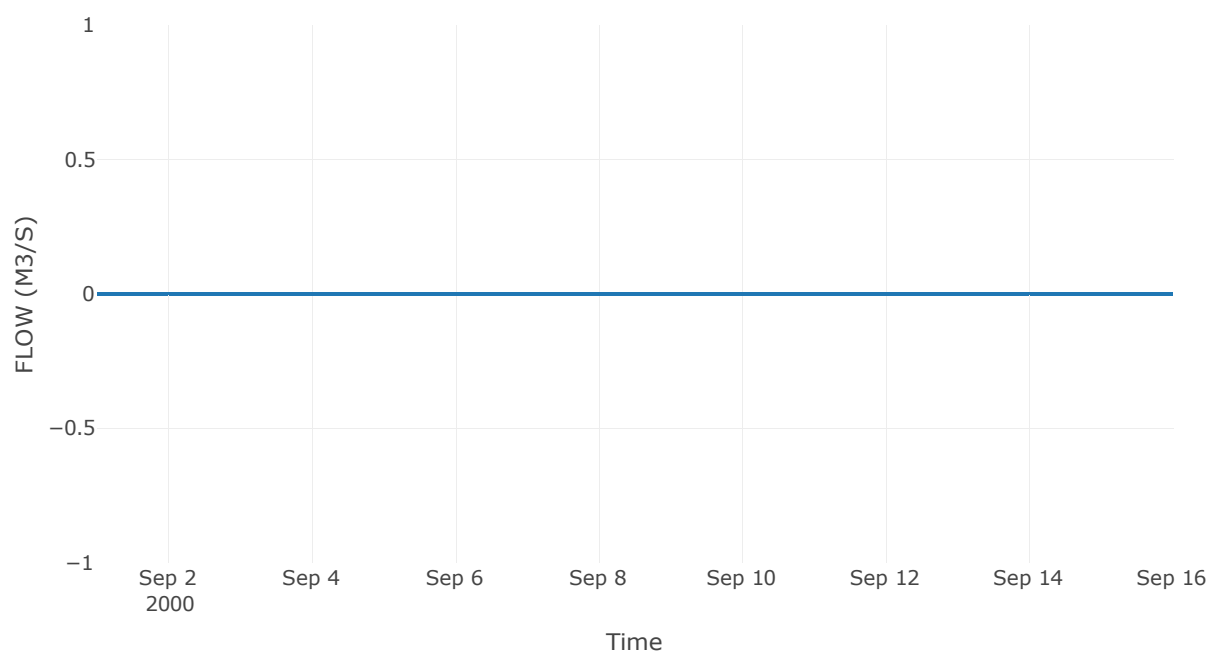
Κατάντη : J3

Μέθοδος Διόδευσης	Muskingum
Αρχική Μεταβλητή	Combined Inflow
Χρόνος Ροής K	3.35
Συντελεστής βάρους x	0.2
Πλήθος Υποκλάδων	16

Αποτελέσματα: R43

Παροχή Αιχμής (M3/S)	0
Χρονική στιγμή αιχμής	31Aug2000, 24:00
Peak Inflow (M3/S)	0
Όγκος Εισροής (M3)	0

Απορροή



Κλάδος: R540

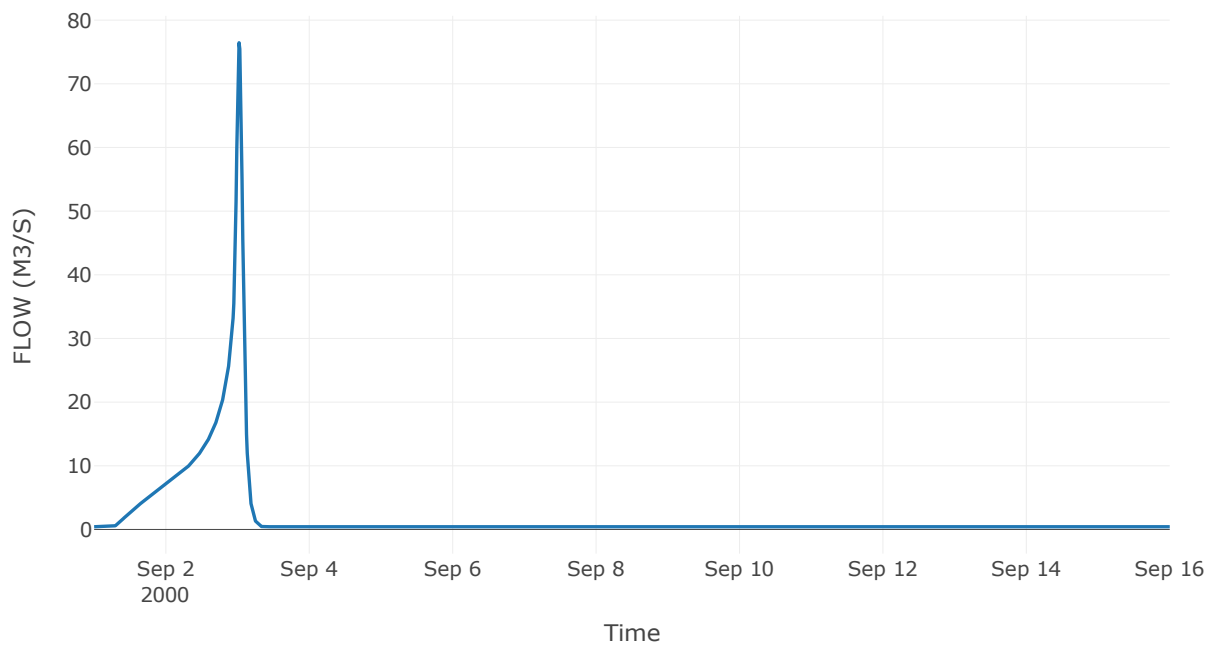
Κατάντη : J40

Μέθοδος Διόδευσης	Χρόνος
Αρχική Μεταβλητή	Combined Inflow
Χρόνος υστέρησης	0

Αποτελέσματα: R540

Παροχή Αιχμής (M3/S)	76.45
Χρονική στιγμή αιχμής	03Sep2000, 00:30
Όγκος(MM)	319.81
Παροχή Αιχμής Εισόδου (M3/S)	76.45
Όγκος Εισροής(M3)	2.7E6

Απορροή



Κλάδος: R640

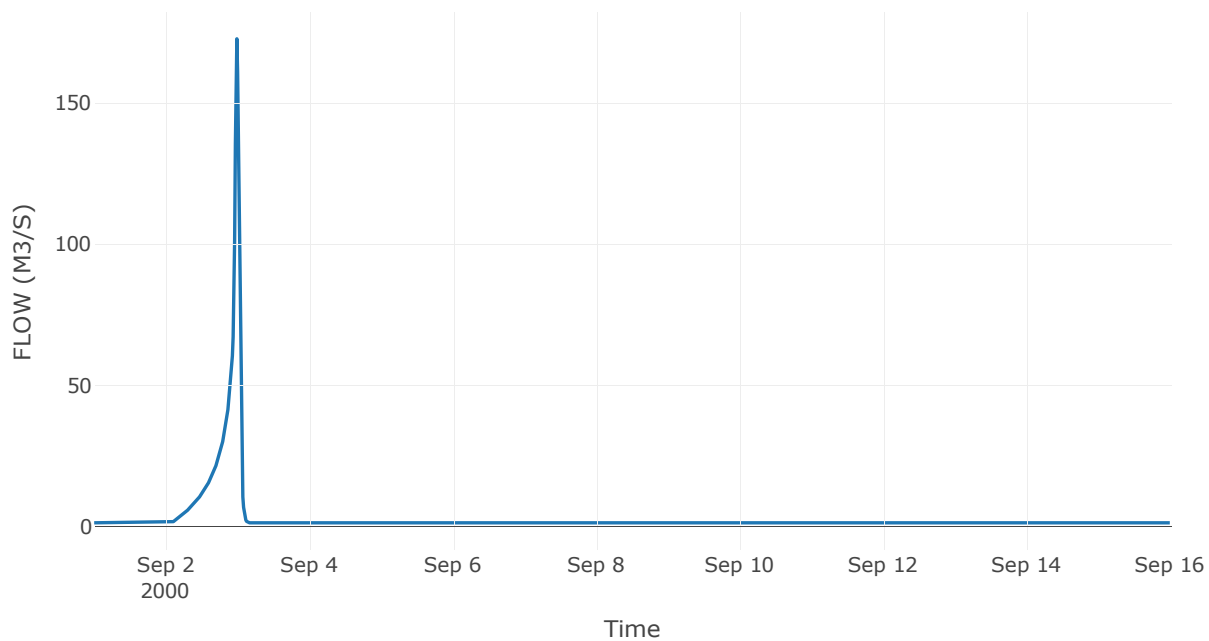
Κατάντη : J40

Μέθοδος Διόδευσης	Χρόνος
Αρχική Μεταβλητή	Combined Inflow
Χρόνος υστέρησης	0

Αποτελέσματα: R640

Παροχή Αιχμής (M3/S)	172.76
Χρονική στιγμή αιχμής	02Sep2000, 23:45
Όγκος(MM)	151.1
Παροχή Αιχμής Εισόδου (M3/S)	172.76
Όγκος Εισροής(M3)	3.97E6

Απορροή



Κλάδος: R740

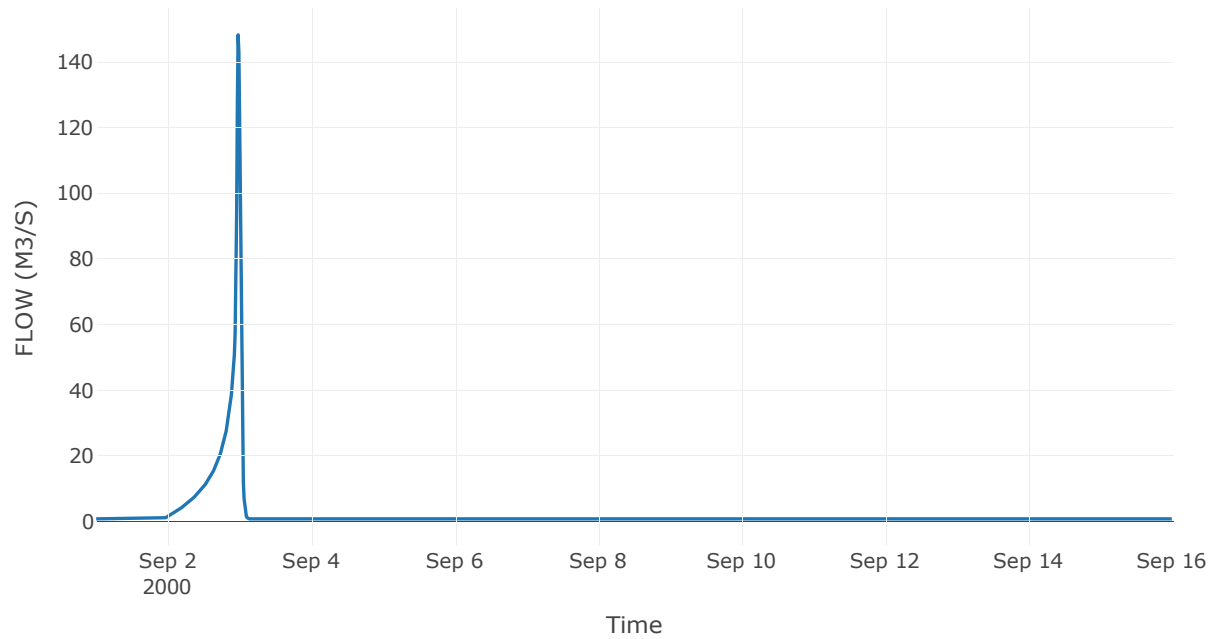
Κατάντη : J40

Μέθοδος Διόδευσης	Χρόνος
Αρχική Μεταβλητή	Combined Inflow
Χρόνος υστέρησης	0

Αποτελέσματα: R740

Παροχή Αιχμής (M3/S)	148.22
Χρονική στιγμή αιχμής	02Sep2000, 23:30
Όγκος(MM)	175
Παροχή Αιχμής Εισόδου (M3/S)	148.22
Όγκος Εισροής(M3)	3.06E6

Απορροή



Κλάδος: R840

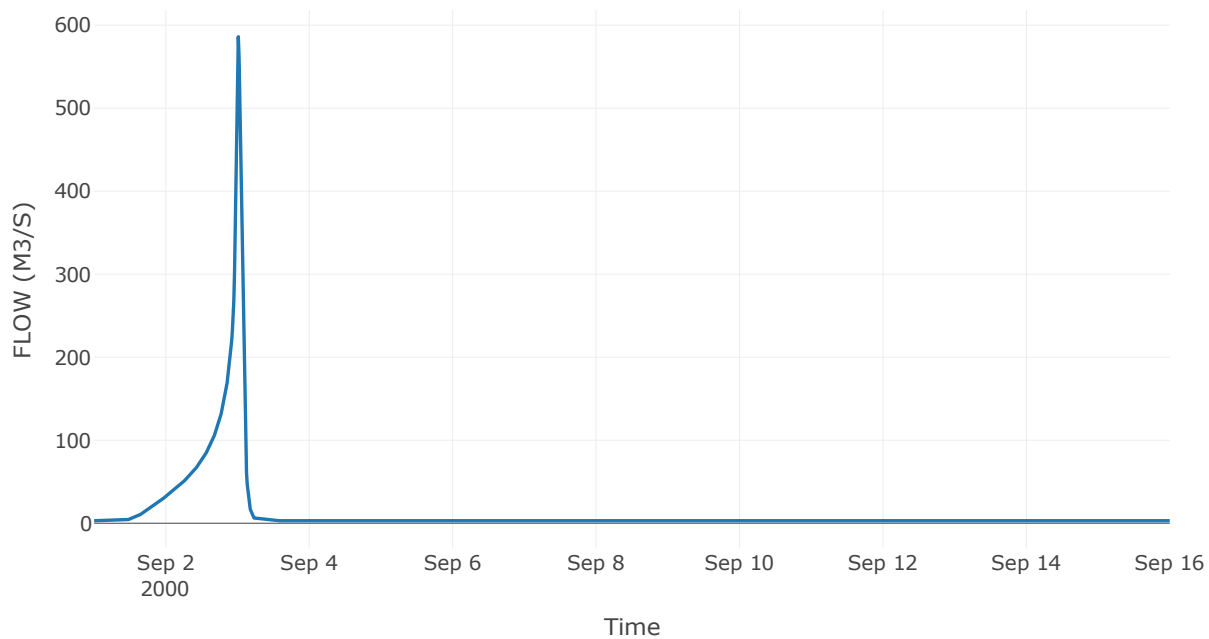
Κατάντη : J40

Μέθοδος Διόδευσης	Χρόνος
Αρχική Μεταβλητή	Combined Inflow
Χρόνος υστέρησης	0

Αποτελέσματα: R840

Παροχή Αιχμής (M3/S)	586.08
Χρονική στιγμή αιχμής	03Sep2000, 00:15
Όγκος(MM)	282.52
Παροχή Αιχμής Εισόδου (M3/S)	586.08
Όγκος Εισροής(M3)	1.7E7

Απορροή



Κλάδος: R1140

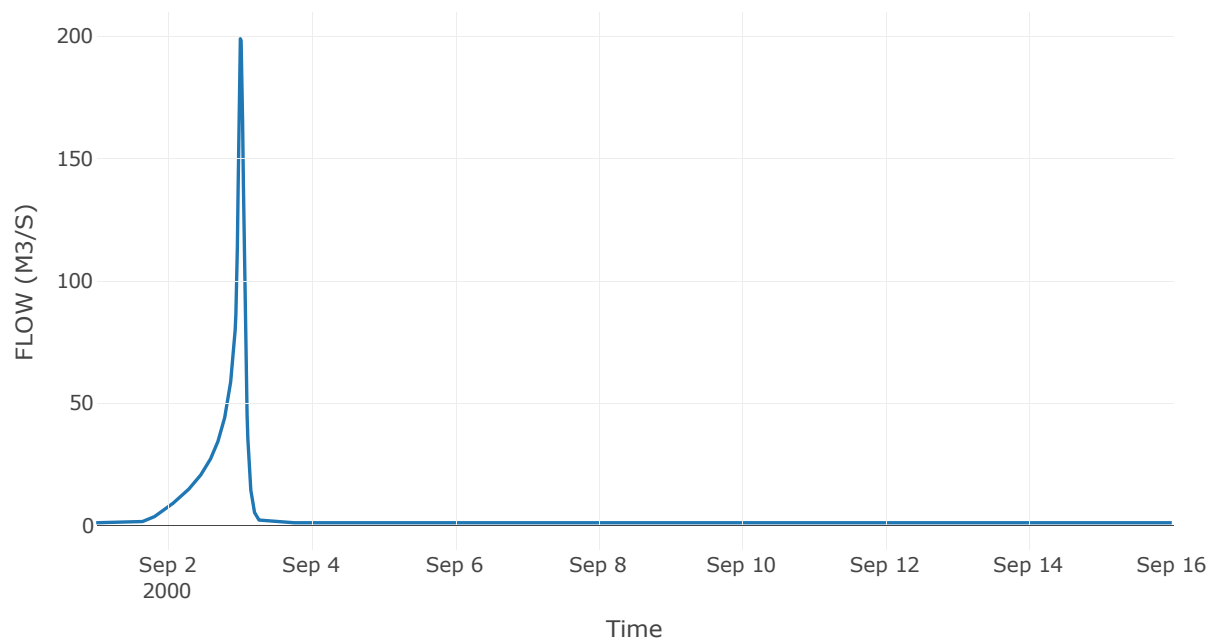
Κατάντη : J40

Μέθοδος Διόδευσης	Χρόνος
Αρχική Μεταβλητή	Combined Inflow
Χρόνος υστέρησης	0

Αποτελέσματα: R1140

Παροχή Αιχμής (M3/S)	198.86
Χρονική στιγμή αιχμής	03Sep2000, 00:15
Όγκος(MM)	244.74
Παροχή Αιχμής Εισόδου (M3/S)	198.86
Όγκος Εισροής(M3)	5.64E6

Απορροή



Κλάδος: R98

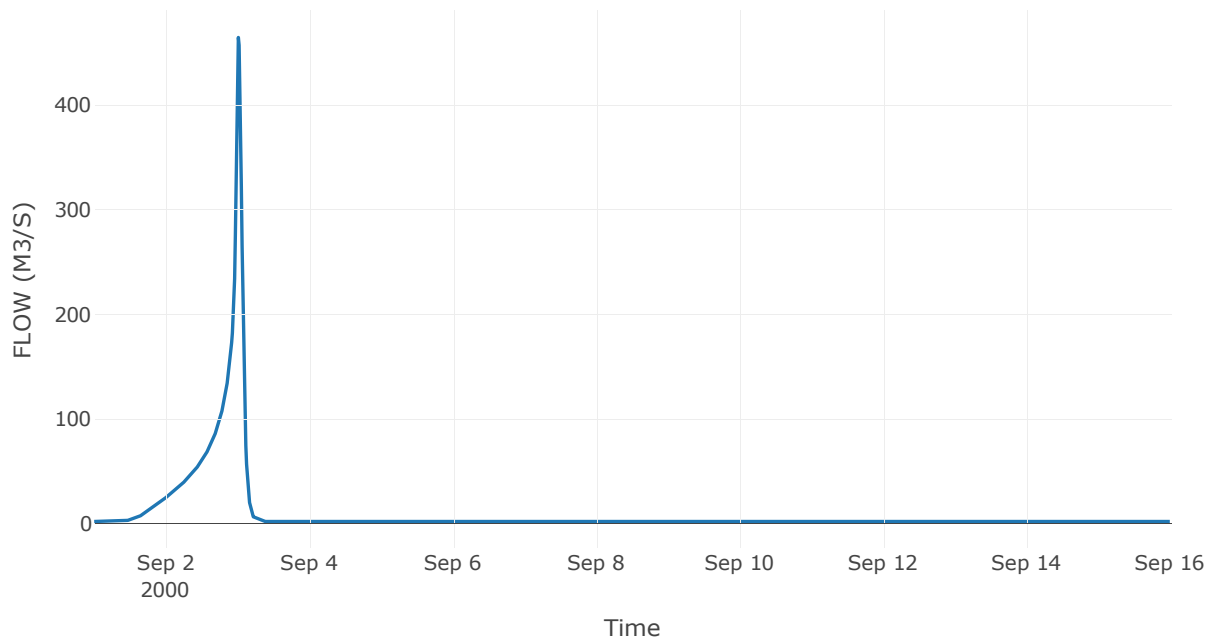
Κατάντη : J8

Μέθοδος Διόδευσης	Muskingum
Αρχική Μεταβλητή	Combined Inflow
Χρόνος Ροής Κ	0.29
Συντελεστής βάρους α	0.2
Πλήθος Υποκλάδων	1

Αποτελέσματα: R98

Παροχή Αιχμής (M3/S)	464.49
Χρονική στιγμή αιχμής	03Sep2000, 00:15
Όγκος(MM)	284.39
Παροχή Αιχμής Εισόδου (M3/S)	475.56
Όγκος Εισροής(M3)	1.37E7

Απορροή



Κλάδος: R109

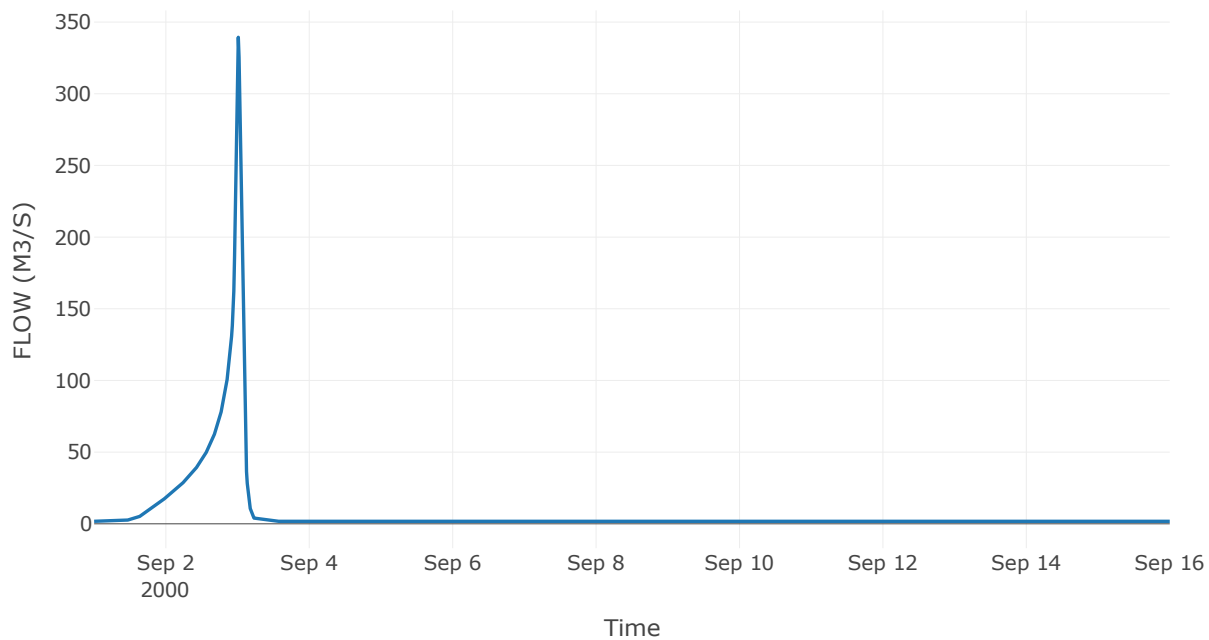
Κατάντη : J9

Μέθοδος Διόδευσης	Muskingum
Αρχική Μεταβλητή	Combined Inflow
Χρόνος Ροής Κ	0.19
Συντελεστής βάρους x	0.2
Πλήθος Υποκλάδων	1

Αποτελέσματα: R109

Παροχή Αιχμής (M3/S)	339.41
Χρονική στιγμή αιχμής	03Sep2000, 00:15
Όγκος(MM)	285.01
Παροχή Αιχμής Εισόδου (M3/S)	342.95
Όγκος Εισροής(M3)	9.99E6

Απορροή



Κλάδος: R1211

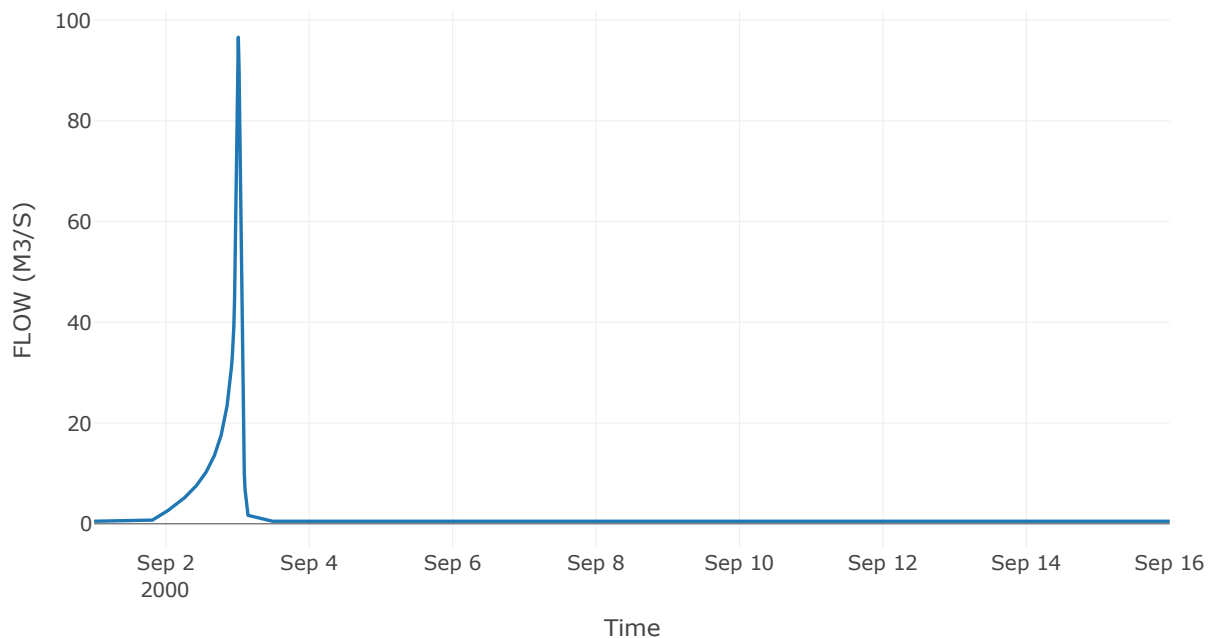
Κατάντη : J11

Μέθοδος Διόδευσης	Muskingum
Αρχική Μεταβλητή	Combined Inflow
Χρόνος Ροής K	0.31
Συντελεστής βάρους x	0.2
Πλήθος Υποκλάδων	1

Αποτελέσματα: R1211

Παροχή Αιχμής (M3/S)	96.59
Χρονική στιγμή αιχμής	03Sep2000, 00:15
Όγκος(MM)	224.95
Παροχή Αιχμής Εισόδου (M3/S)	99.89
Όγκος Εισροής(M3)	2.28E6

Απορροή



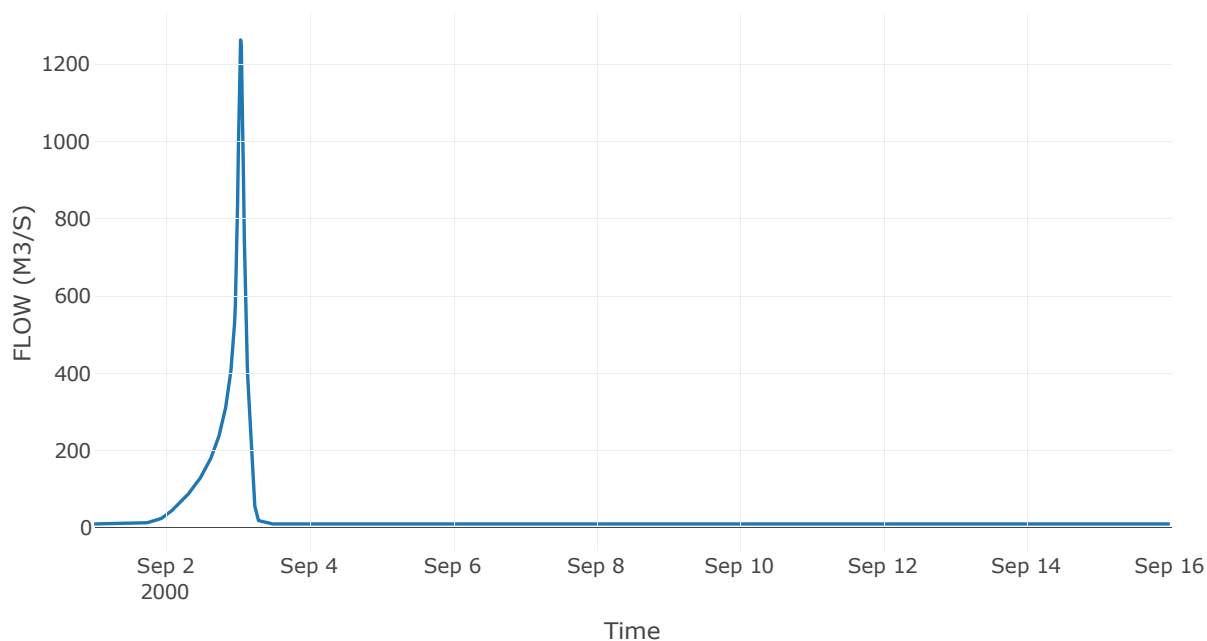
9.3 Δεδομένα και υδρογραφήματα σχεδιασμού Κόμβων υδρογραφικού δικτύου

Κόμβος εξόδου: J1

Αποτέλεσμα
τα: J1

Παροχή αιχμής (M3/S)	1262.82
Χρονική στιγμή αιχμής	03Sep2000, 01:00
Όγκος (MM)	215.22

Απορροή



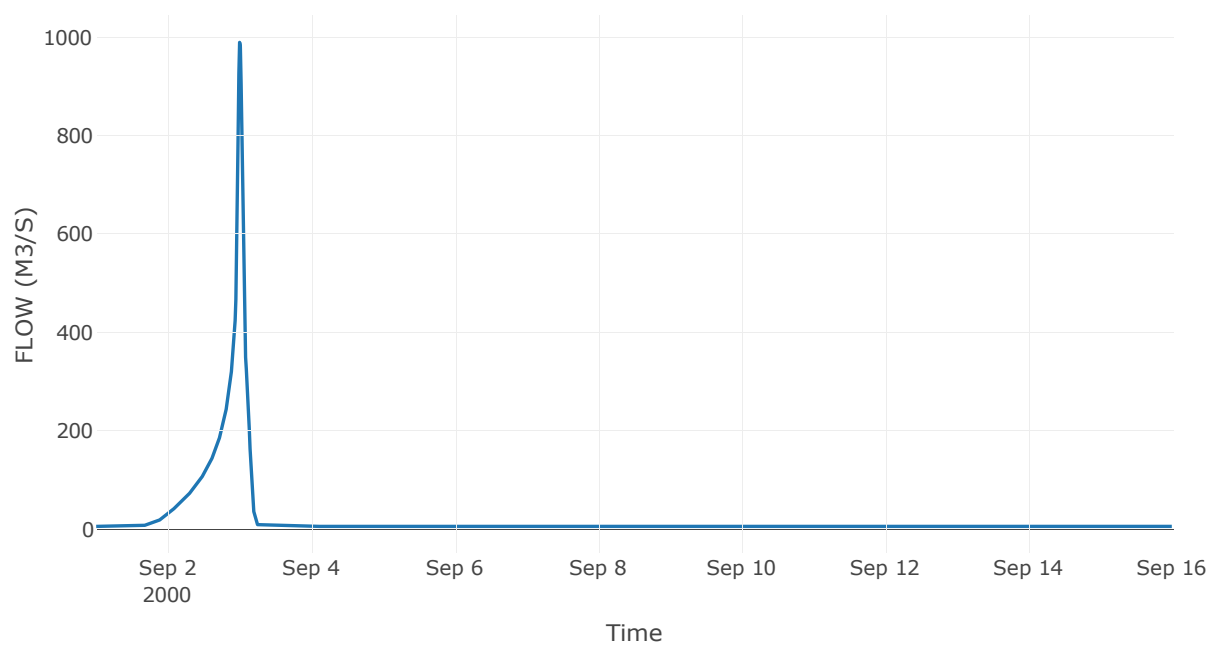
Κόμβος: J2

Κατάντη : R21

Αποτελέσματα: J2

Παροχή Αιχμής (M3/S)	989.67
Χρονική στιγμή αιχμής	02Sep2000, 24:00
Όγκος(MM)	232.77

Απορροή



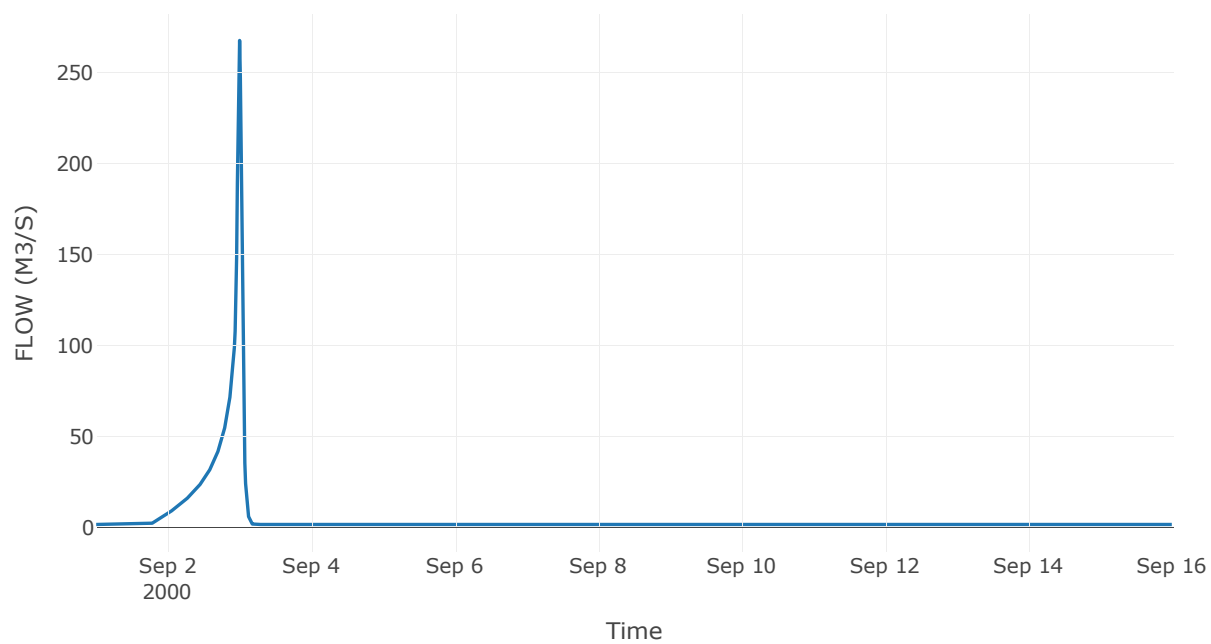
Κόμβος: J3

Κατάντη : R32

Αποτελέσματα: J3

Παροχή Αιχμής (M3/S)	267.76
Χρονική στιγμή αιχμής	02Sep2000, 24:00
Όγκος(MM)	198.3

Απορροή



Κόμβος: J4

Κατάντη : R43

Αποτελέσματα: J4

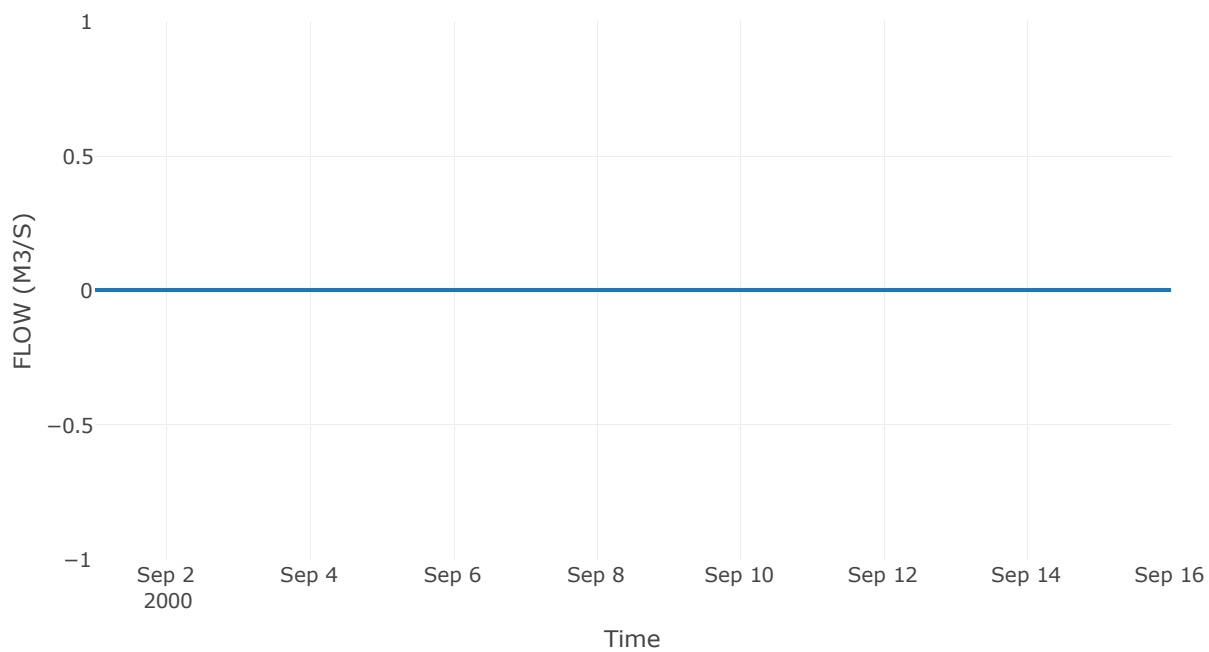
Παροχή Αιχμής (M3/S)

0

Χρονική στιγμή αιχμής

31Aug2000, 24:00

Απορροή

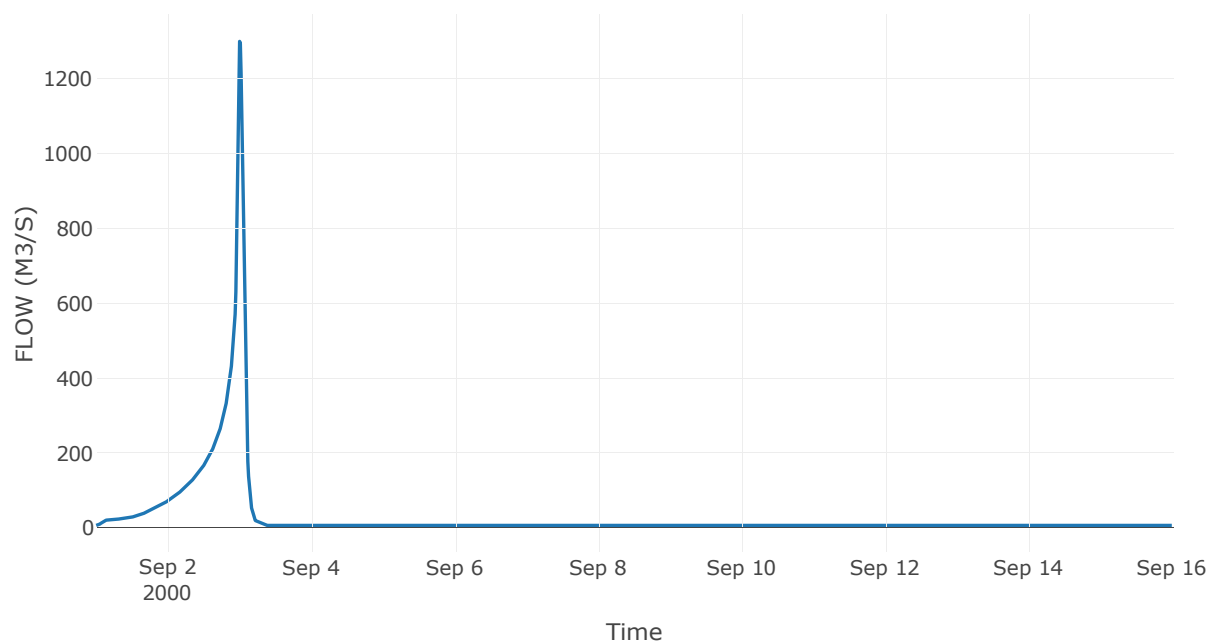


Κόμβος εξόδου: J40

Αποτελέσματ
α: J40

Παροχή αιχμής (M3/S)	1299.76
Χρονική στιγμή αιχμής	02Sep2000, 24:00
Όγκος (MM)	259.8

Απορροή



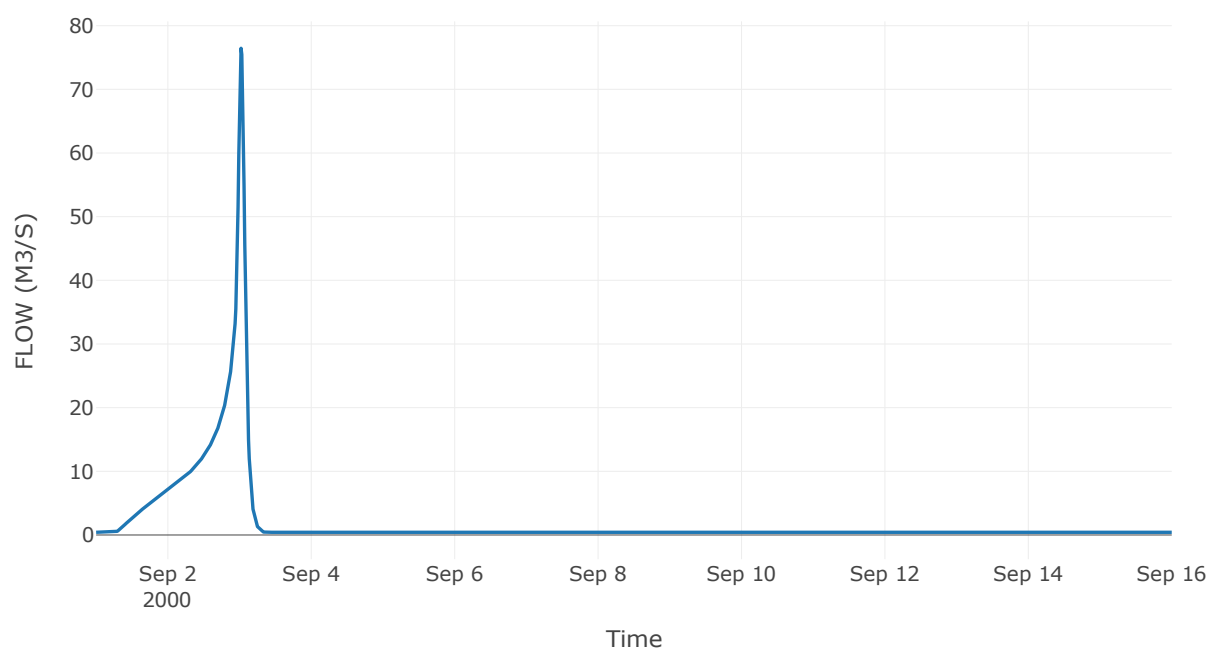
Κόμβος: J5

Κατάντη : R540

Αποτελέσματα: J5

Παροχή Αιχμής (M3/S)	76.45
Χρονική στιγμή αιχμής	03Sep2000, 00:30
Όγκος(MM)	319.81

Απορροή



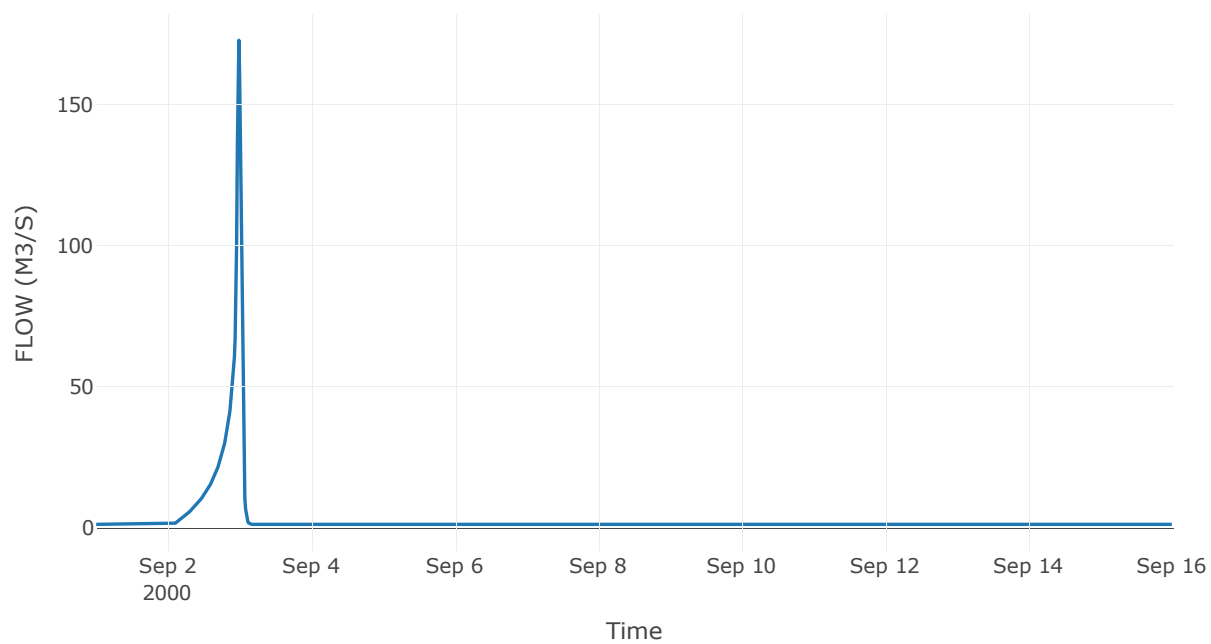
Κόμβος: J6

Κατάντη : R640

Αποτελέσματα: J6

Παροχή Αιχμής (M3/S)	172.76
Χρονική στιγμή αιχμής	02Sep2000, 23:45
Όγκος(MM)	151.1

Απορροή



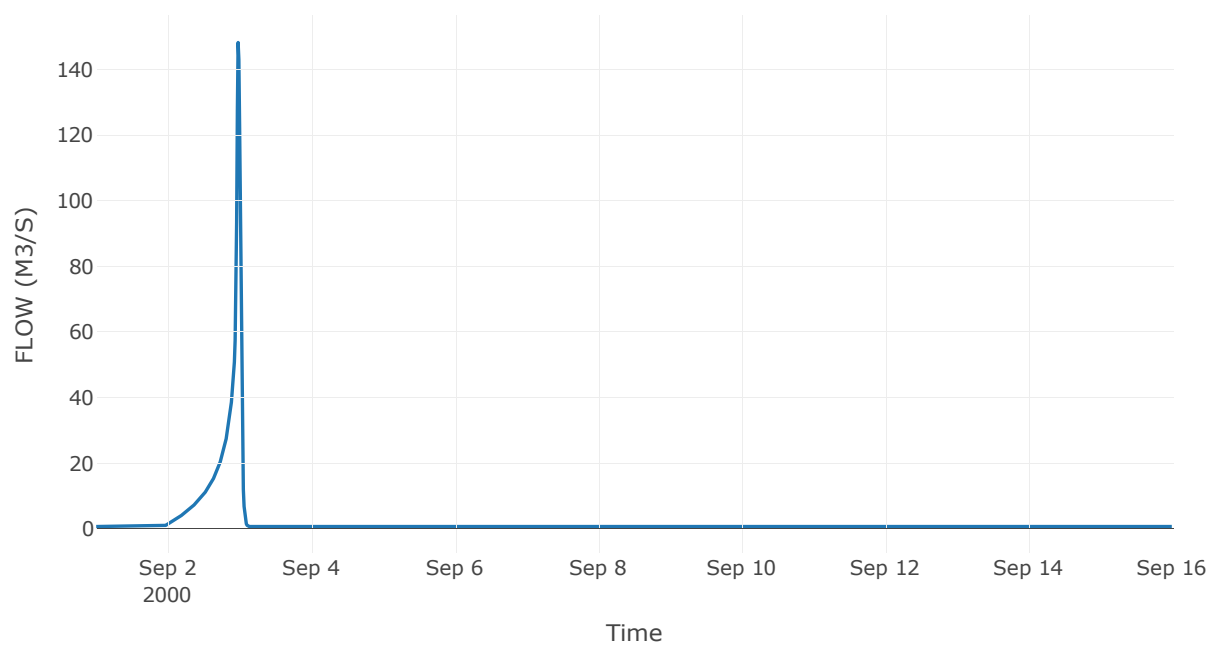
Κόμβος: J7

Κατάντη : R740

Αποτελέσματα: J7

Παροχή Αιχμής (M3/S)	148.22
Χρονική στιγμή αιχμής	02Sep2000, 23:30
Όγκος(MM)	175

Απορροή



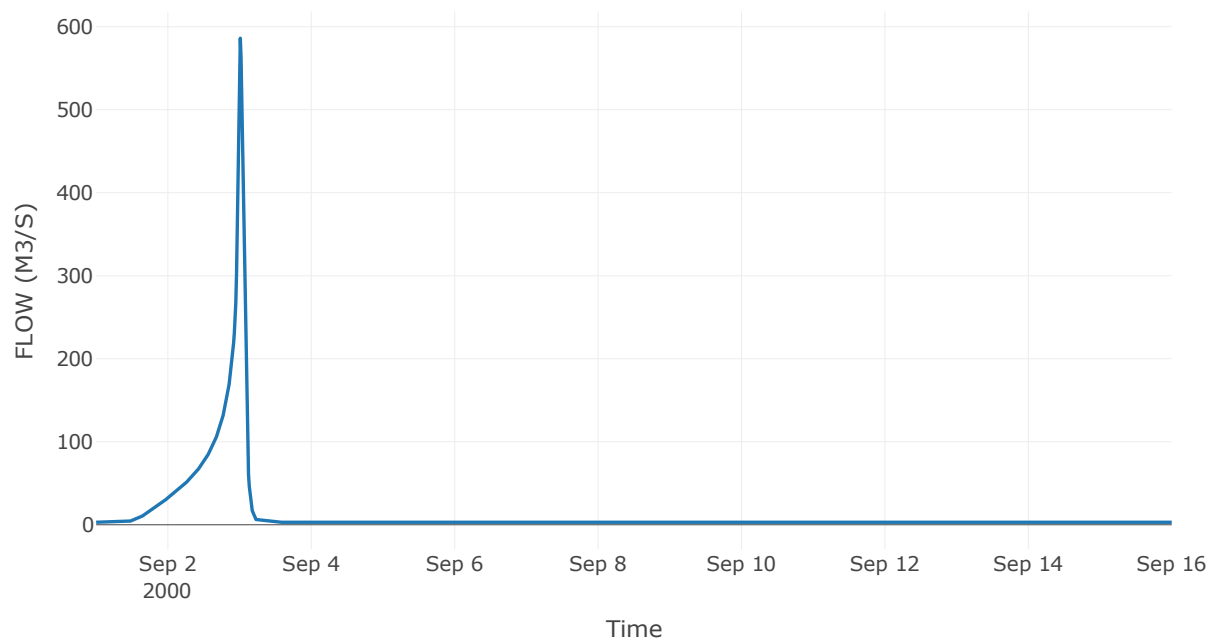
Κόμβος: J8

Κατάντη : R840

Αποτελέσματα: J8

Παροχή Αιχμής (M3/S)	586.08
Χρονική στιγμή αιχμής	03Sep2000, 00:15
Όγκος(MM)	282.52

Απορροή



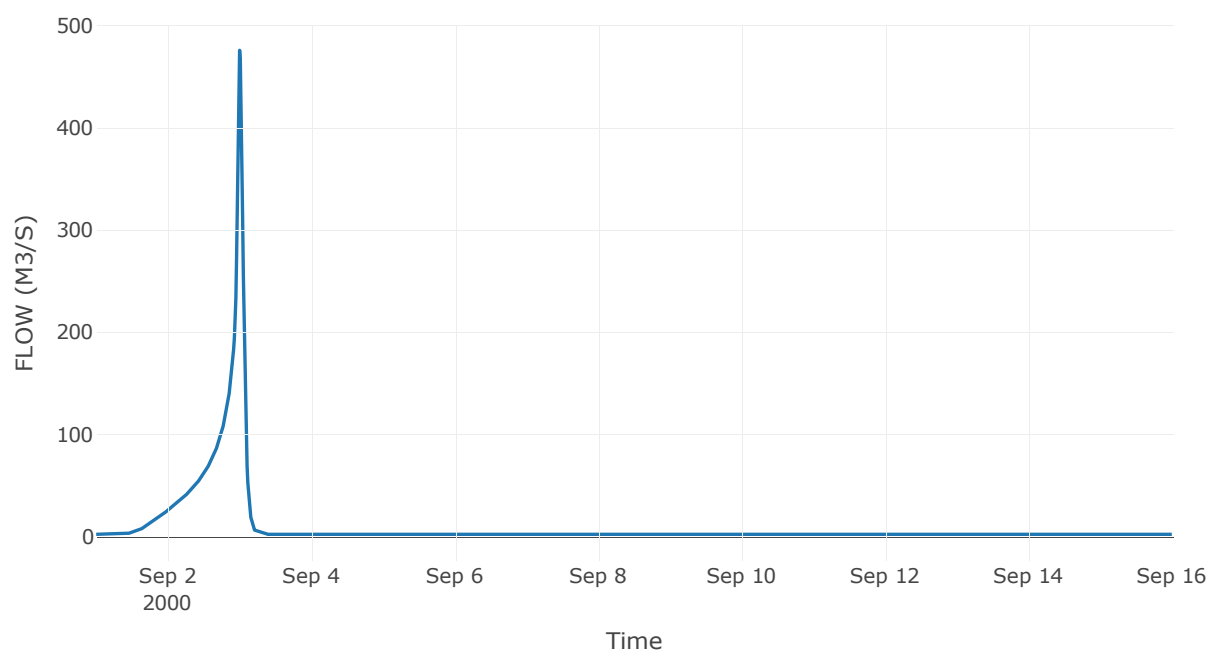
Κόμβος: J9

Κατάντη : R98

Αποτελέσματα: J9

Παροχή Αιχμής (M3/S)	475.56
Χρονική στιγμή αιχμής	02Sep2000, 24:00
Όγκος(MM)	284.39

Απορροή



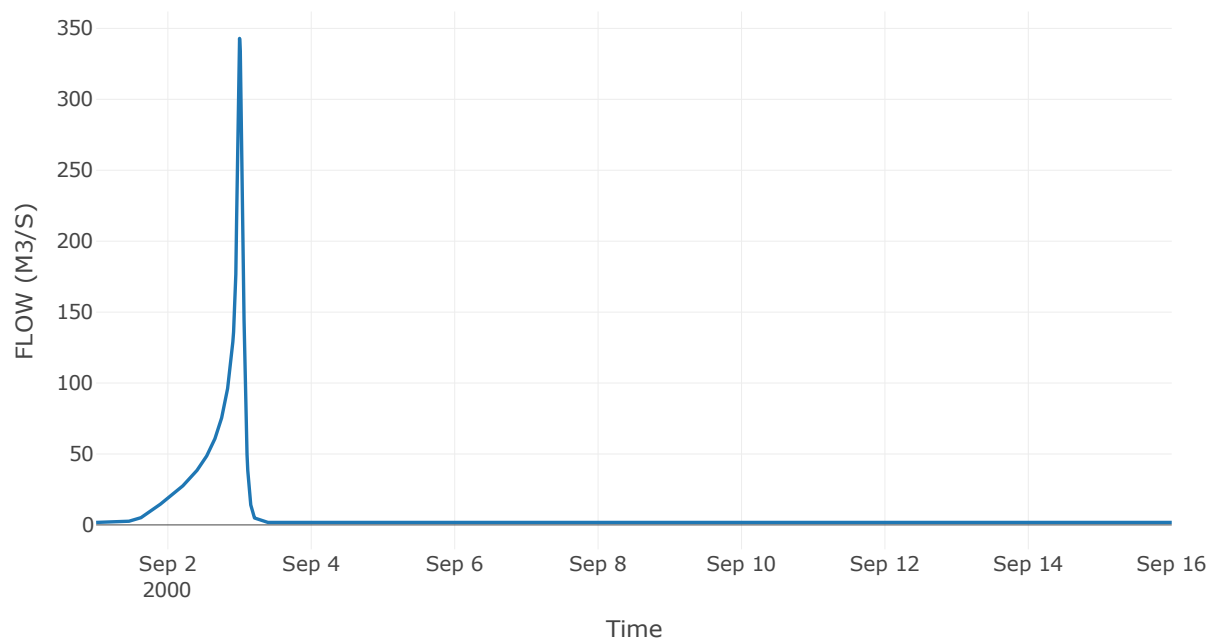
Κόμβος: J10

Κατάντη : R109

Αποτελέσματα: J10

Παροχή Αιχμής (M3/S)	342.95
Χρονική στιγμή αιχμής	02Sep2000, 24:00
Όγκος(MM)	285.01

Απορροή



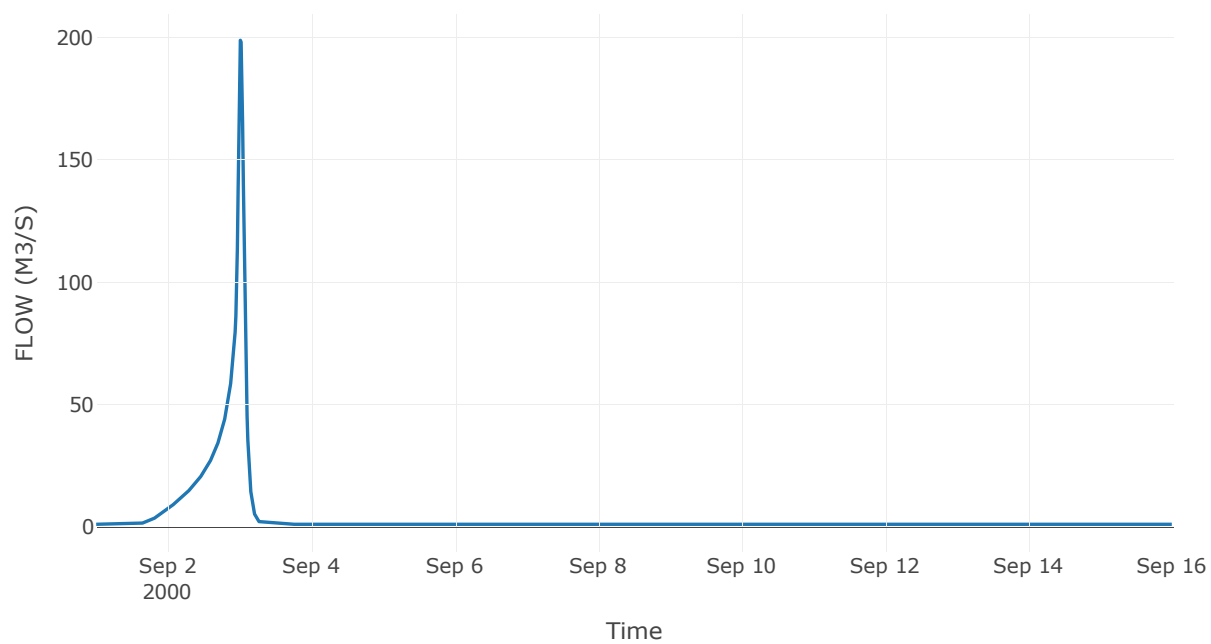
Κόμβος: J11

Κατάντη : R1140

Αποτελέσματα: J11

Παροχή Αιχμής (M3/S)	198.86
Χρονική στιγμή αιχμής	03Sep2000, 00:15
Όγκος(MM)	244.74

Απορροή



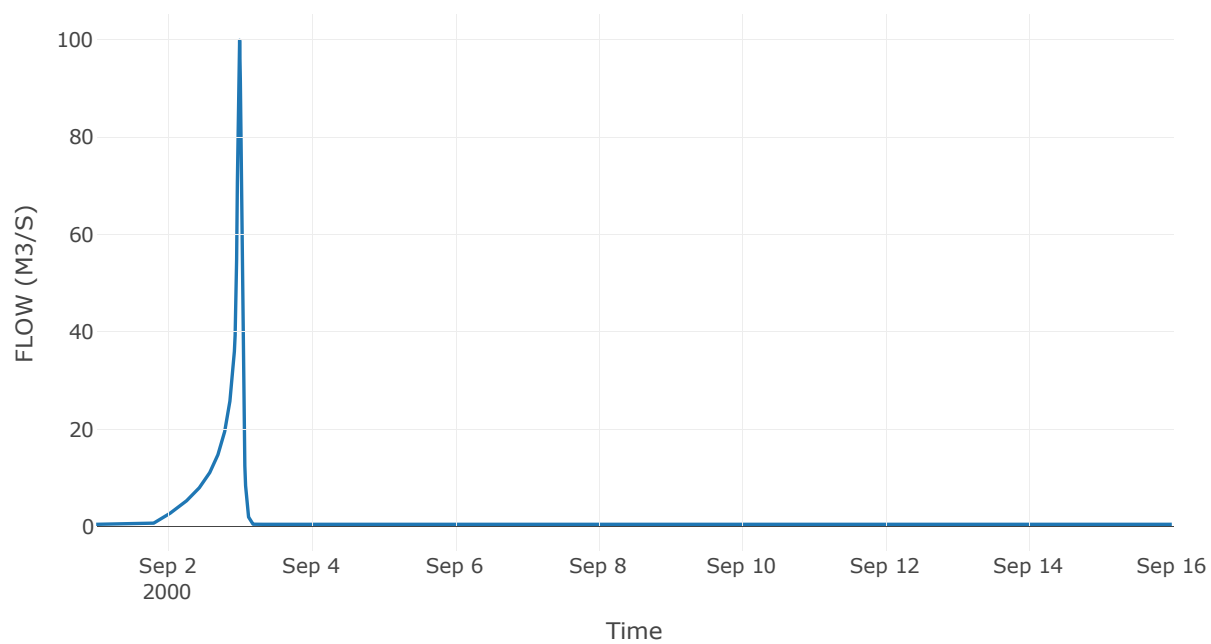
Κόμβος: J12

Κατάντη : R1211

Αποτελέσματα: J12

Παροχή Αιχμής (M3/S)	99.89
Χρονική στιγμή αιχμής	02Sep2000, 24:00
Όγκος(MM)	224.95

Απορροή



10 Δεδομένα εισόδου και αποτελέσματα υδρολογικού σεναρίου $T=1000U$

10.1 Αποτελέσματα, υετογραφήματα και υδρογραφήματα σχεδιασμού υπολεκανών

Υπολεκάνη: EL0514FL002001

Έκταση (KM2) : 61.13

Κατάντη : J1

Μέθοδος Απωλειών: SCS

Ποσοστό αδιαπέρατης επιφάνειας	0
Αριθμός Καμπύλης Απορροής-CN	78.89
Αρχικές Απώλειες	13.59

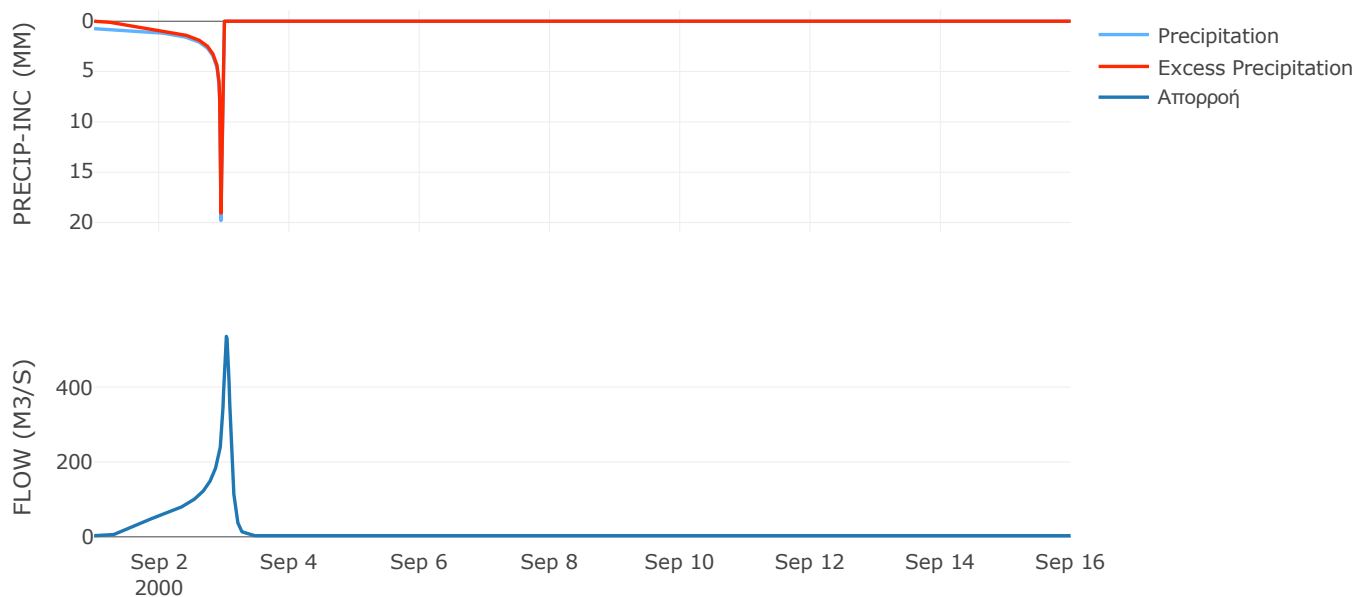
Μέθοδος
Μετασχηματισμού: SCS

Χρόνος Υστέρησης	117.01
------------------	--------

Αποτελέσματα:
EL0514FL002001

Παροχή αιχμής (M3/S)	535.49
Χρονική στιγμή αιχμής	03Sep2000, 00:45
Όγκος (MM)	341.05
Όγκος βροχόπτωσης (M3)	2.12E7
Όγκος απωλειών (M3)	4.28E6
Ενεργός Όγκος (M3)	1.69E7
Όγκος άμεσης απορροής (M3)	1.69E7
Όγκος βασικής απορροής (M3)	3.96E6

Βροχόπτωση και Απορροή



Υπολεκάνη: EL0514FL002002

Έκταση (KM2) : 42.33

Κατάντη : J2

Μέθοδος Απωλειών: SCS

Ποσοστό αδιαπέρατης επιφάνειας	0
Αριθμός Καμπύλης Απορροής-CN	75.03
Αρχικές Απώλειες	16.91

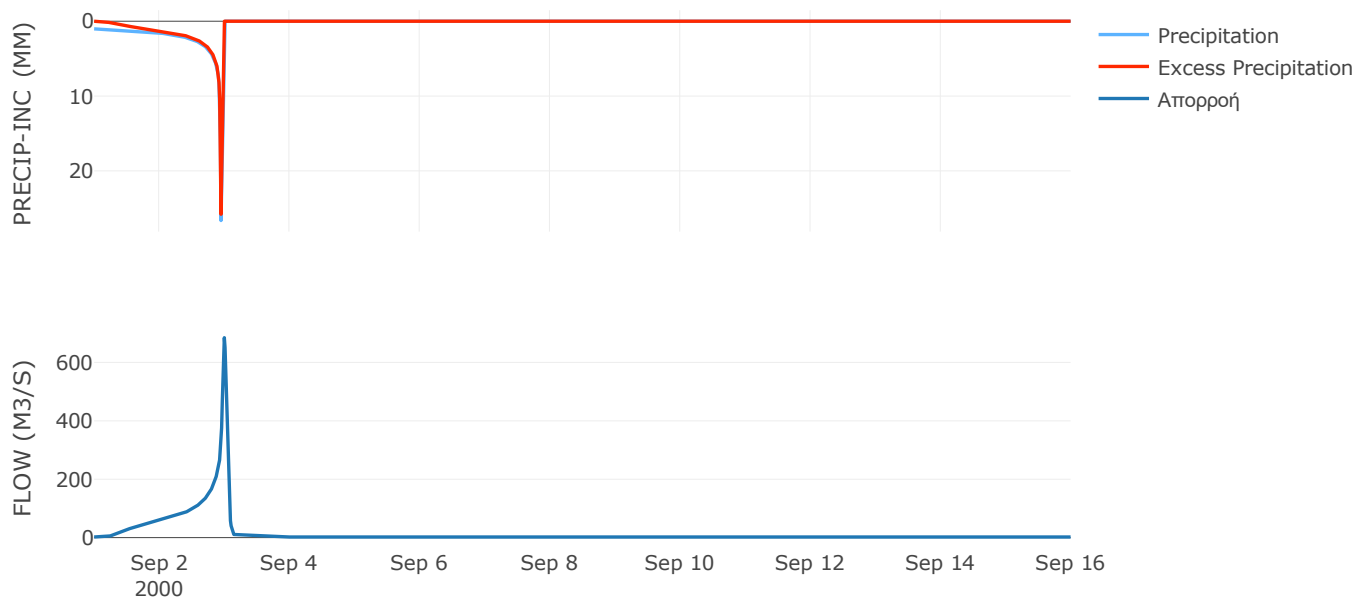
Μέθοδος
Μετασχηματισμού: SCS

Χρόνος Υστέρησης	59.1
------------------	------

Αποτελέσματα:
EL0514FL002002

Παροχή αιχμής (M3/S)	684.76
Χρονική στιγμή αιχμής	02Sep2000, 24:00
Όγκος (MM)	450.14
Όγκος βροχόπτωσης (M3)	2E7
Όγκος απωλειών (M3)	3.73E6
Ενεργός Όγκος (M3)	1.63E7
Όγκος άμεσης απορροής (M3)	1.63E7
Όγκος βασικής απορροής (M3)	2.74E6

Βροχόπτωση και Απορροή



Υπολεκάνη: EL0514FL002003

Έκταση (KM2) : 48.23

Κατάντη : J2

Μέθοδος Απωλειών: SCS

Ποσοστό αδιαπέρατης επιφάνειας	0
Αριθμός Καμπύλης Απορροής-CN	84.45
Αρχικές Απώλειες	9.35

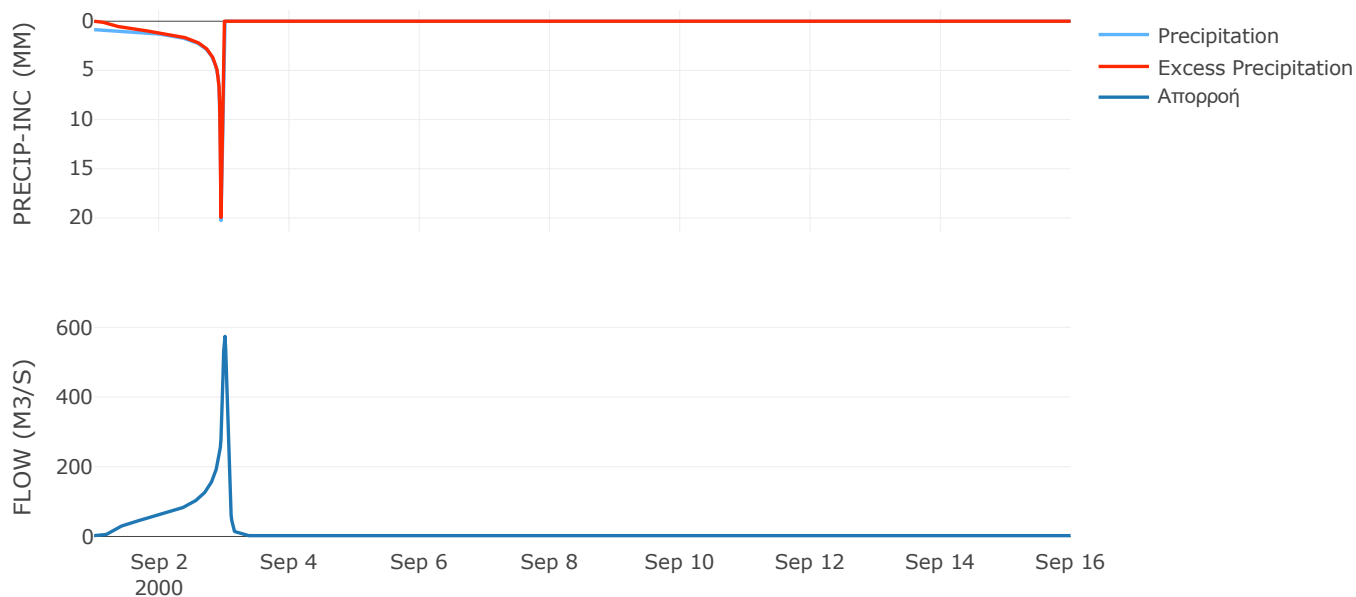
Μέθοδος
Μετασχηματισμού: SCS

Χρόνος Υστέρησης	69.28
------------------	-------

Αποτελέσματα:
EL0514FL002003

Παροχή αιχμής (M3/S)	574.08
Χρονική στιγμή αιχμής	03Sep2000, 00:15
Όγκος (MM)	398.48
Όγκος βροχόπτωσης (M3)	1.86E7
Όγκος απωλειών (M3)	2.46E6
Ενεργός Όγκος (M3)	1.61E7
Όγκος άμεσης απορροής (M3)	1.61E7
Όγκος βασικής απορροής (M3)	3.13E6

Βροχόπτωση και Απορροή



Υπολεκάνη: EL0514FL002004

Έκταση (KM2) : 33.76

Κατάντη : J3

Μέθοδος Απωλειών: SCS

Ποσοστό αδιαπέρατης επιφάνειας	0
Αριθμός Καμπύλης Απορροής-CN	83.18
Αρχικές Απώλειες	10.27

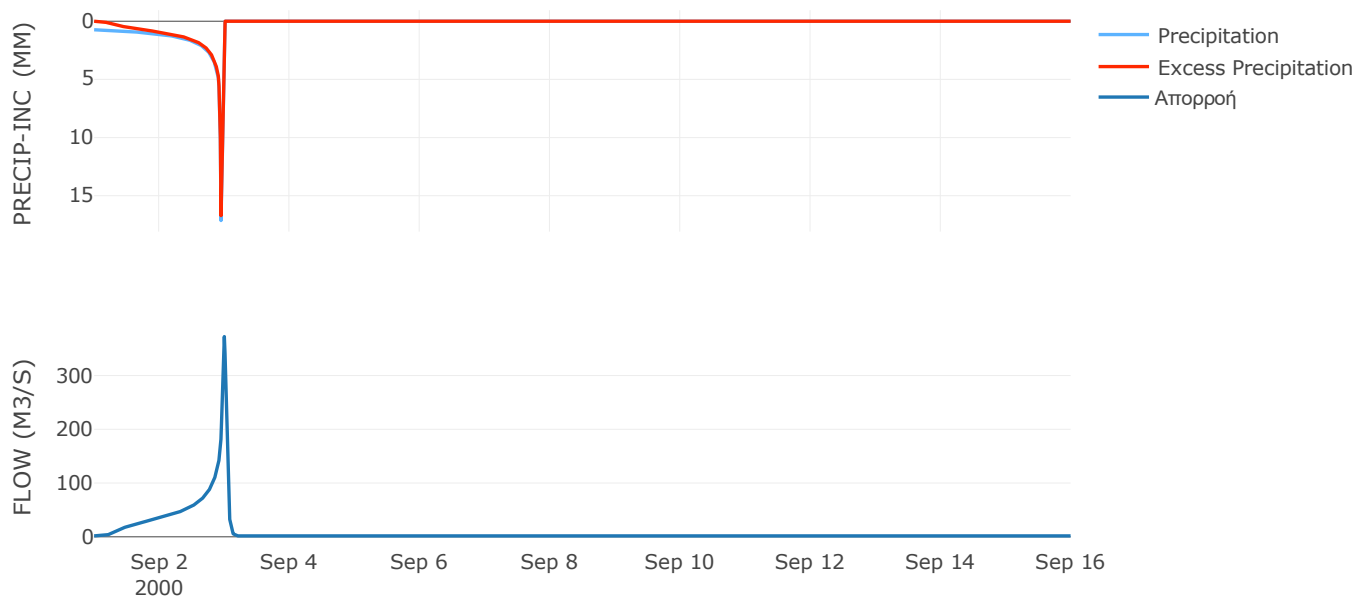
Μέθοδος
Μετασχηματισμού: SCS

Χρόνος Υστέρησης	52.78
------------------	-------

Αποτελέσματα:
EL0514FL002004

Παροχή αιχμής (M3/S)	372.45
Χρονική στιγμή αιχμής	02Sep2000, 24:00
Όγκος (MM)	338.25
Όγκος βροχόπτωσης (M3)	1.11E7
Όγκος απωλειών (M3)	1.84E6
Ενεργός Όγκος (M3)	9.23E6
Όγκος άμεσης απορροής (M3)	9.23E6
Όγκος βασικής απορροής (M3)	2.19E6

Βροχόπτωση και Απορροή



Υπολεκάνη: EL0514FL002005

Έκταση (KM2) : 26.27

Κατάντη : J6

Μέθοδος Απωλειών: SCS

Ποσοστό αδιαπέρατης επιφάνειας	0
Αριθμός Καμπύλης Απορροής-CN	73.66
Αρχικές Απώλειες	18.16

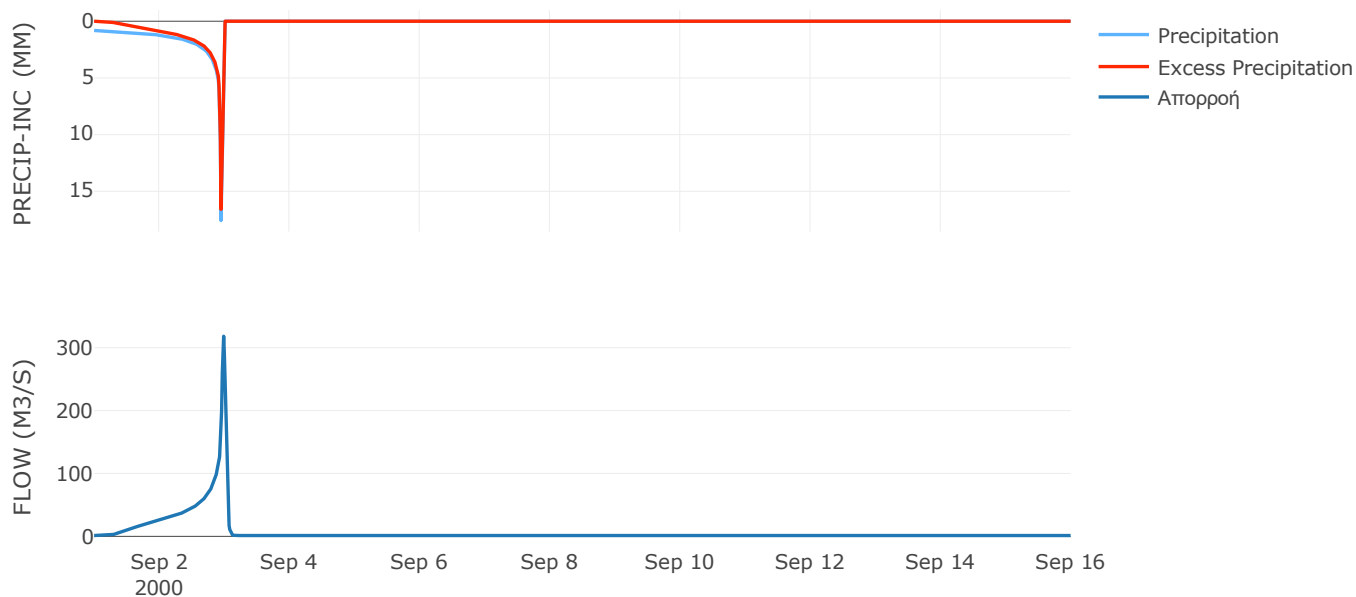
Μέθοδος
Μετασχηματισμού: SCS

Χρόνος Υστέρησης	40.73
------------------	-------

Αποτελέσματα:
EL0514FL002005

Παροχή αιχμής (M3/S)	318.27
Χρονική στιγμή αιχμής	02Sep2000, 23:45
Όγκος (MM)	329.37
Όγκος βροχόπτωσης (M3)	9.3E6
Όγκος απωλειών (M3)	2.35E6
Ενεργός Όγκος (M3)	6.95E6
Όγκος άμεσης απορροής (M3)	6.95E6
Όγκος βασικής απορροής (M3)	1.7E6

Βροχόπτωση και Απορροή



Υπολεκάνη: EL0514FL002006

Έκταση (KM2) : 17.48

Κατάντη : J7

Μέθοδος Απωλειών: SCS

Ποσοστό αδιαπέρατης επιφάνειας	0
Αριθμός Καμπύλης Απορροής-CN	77
Αρχικές Απώλειες	15.17

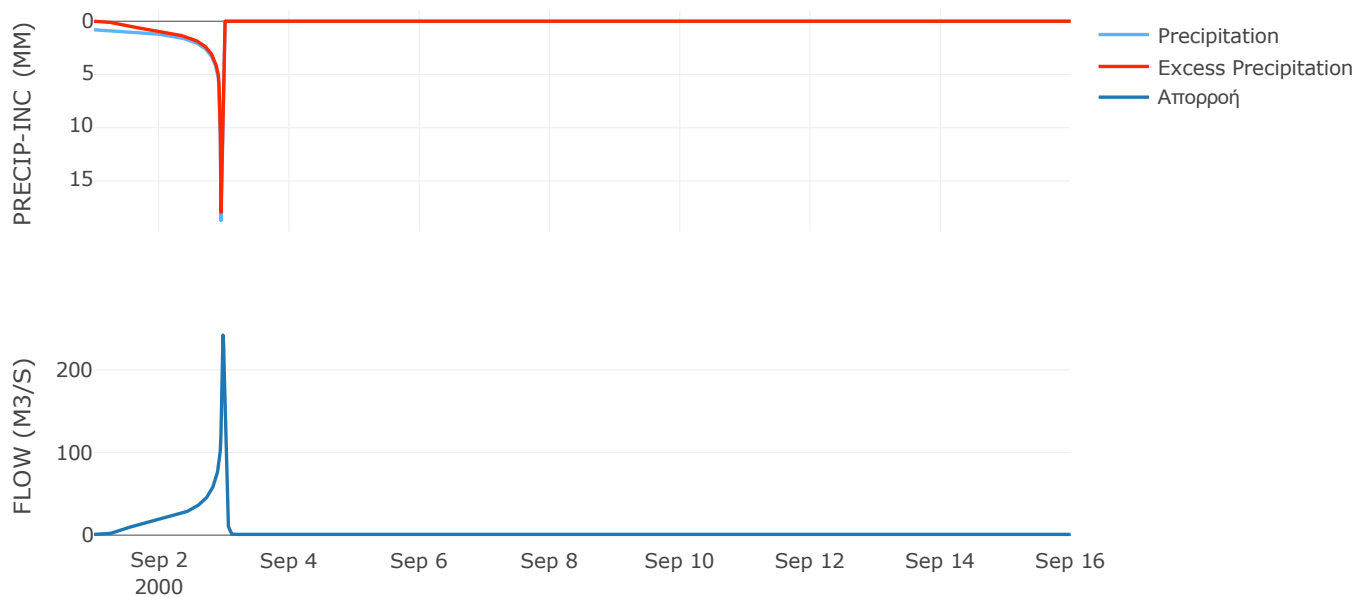
Μέθοδος
Μετασχηματισμού: SCS

Χρόνος Υστέρησης	32.94
------------------	-------

Αποτελέσματα:
EL0514FL002006

Παροχή αιχμής (M3/S)	242.22
Χρονική στιγμή αιχμής	02Sep2000, 23:30
Όγκος (MM)	346.62
Όγκος βροχόπτωσης (M3)	6.28E6
Όγκος απωλειών (M3)	1.35E6
Ενεργός Όγκος (M3)	4.93E6
Όγκος άμεσης απορροής (M3)	4.93E6
Όγκος βασικής απορροής (M3)	1.13E6

Βροχόπτωση και Απορροή



Υπολεκάνη: EL0514FL002007

Έκταση (KM2) : 12.13

Κατάντη : J8

Μέθοδος Απωλειών: SCS

Ποσοστό αδιαπέρατης επιφάνειας	0
Αριθμός Καμπύλης Απορροής-CN	89.57
Αρχικές Απώλειες	5.92

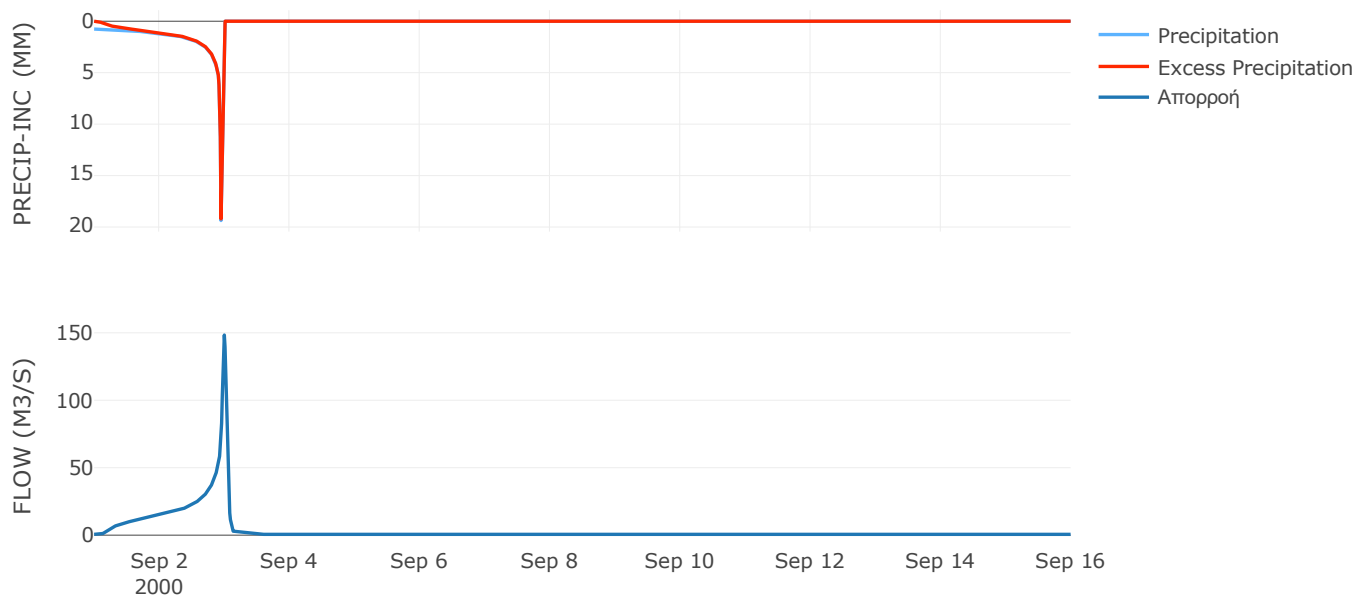
Μέθοδος
Μετασχηματισμού: SCS

Χρόνος Υστέρησης	57.33
------------------	-------

Αποτελέσματα:
EL0514FL002007

Παροχή αιχμής (M3/S)	148.35
Χρονική στιγμή αιχμής	02Sep2000, 24:00
Όγκος (MM)	381.61
Όγκος βροχόπτωσης (M3)	4.24E6
Όγκος απωλειών (M3)	4.02E5
Ενεργός Όγκος (M3)	3.84E6
Όγκος άμεσης απορροής (M3)	3.84E6
Όγκος βασικής απορροής (M3)	7.86E5

Βροχόπτωση και Απορροή



Υπολεκάνη: EL0514FL002008

Έκταση (KM2) : 8.45

Κατάντη : J5

Μέθοδος Απωλειών: SCS

Ποσοστό αδιαπέρατης επιφάνειας	0
Αριθμός Καμπύλης Απορροής-CN	94.89
Αρχικές Απώλειες	2.74

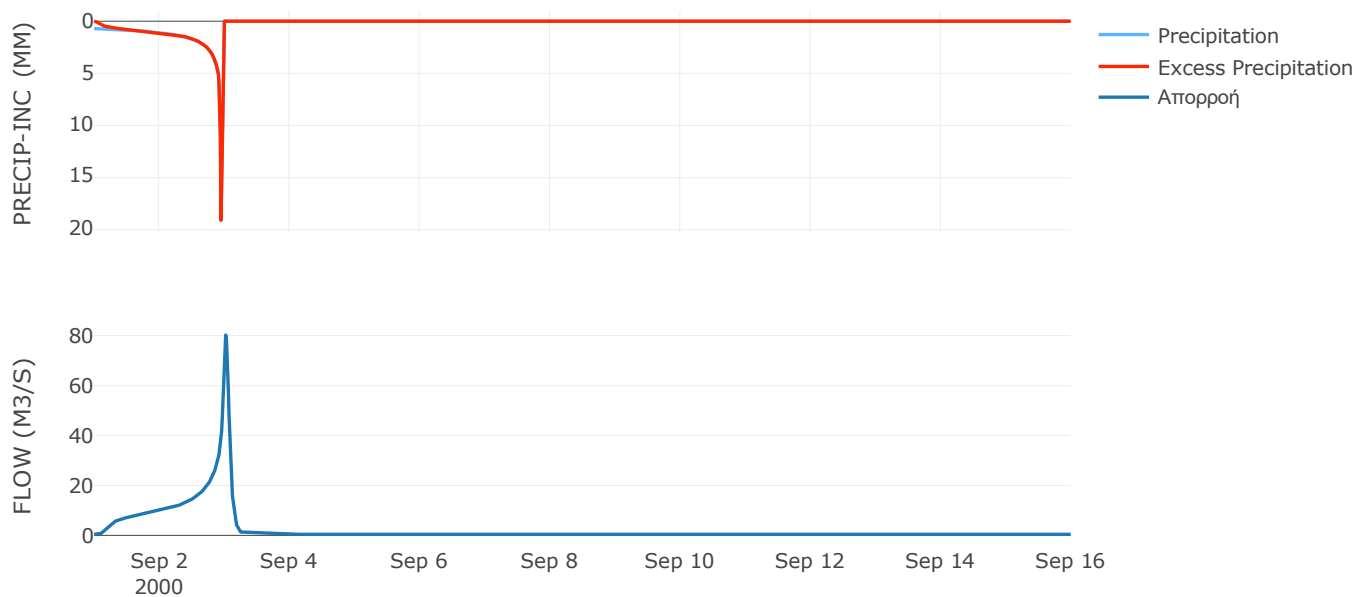
Μέθοδος
Μετασχηματισμού: SCS

Χρόνος Υστέρησης	98.95
------------------	-------

Αποτελέσματα:
EL0514FL002008

Παροχή αιχμής (M3/S)	80.23
Χρονική στιγμή αιχμής	03Sep2000, 00:30
Όγκος (MM)	379.48
Όγκος βροχόπτωσης (M3)	2.79E6
Όγκος απωλειών (M3)	1.34E5
Ενεργός Όγκος (M3)	2.66E6
Όγκος άμεσης απορροής (M3)	2.66E6
Όγκος βασικής απορροής (M3)	5.48E5

Βροχόπτωση και Απορροή



Υπολεκάνη: EL0514FL002009

Έκταση (KM2) : 19.86

Κατάντη : J40

Μέθοδος Απωλειών: SCS

Ποσοστό αδιαπέρατης επιφάνειας	95
Αριθμός Καμπύλης Απορροής-CN	99
Αρχικές Απώλειες	0.51

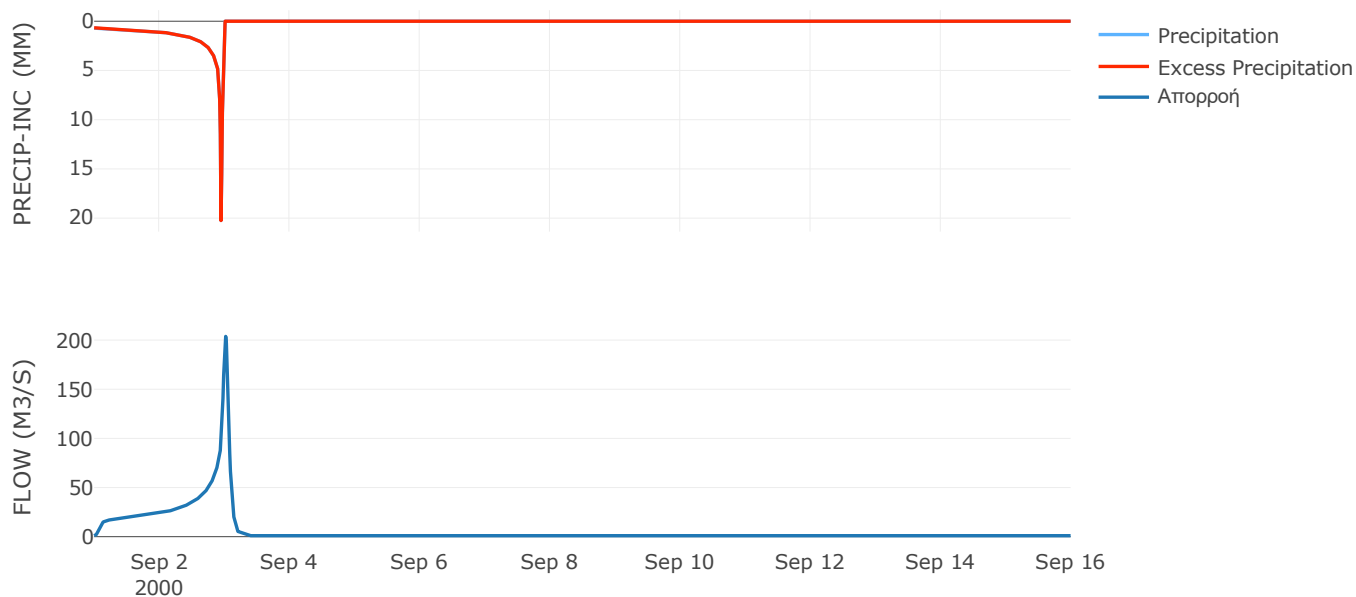
Μέθοδος
Μετασχηματισμού: SCS

Χρόνος Υστέρησης	92.51
------------------	-------

Αποτελέσματα:
EL0514FL002009

Παροχή αιχμής (M3/S)	203.77
Χρονική στιγμή αιχμής	03Sep2000, 00:30
Όγκος (MM)	401.27
Όγκος βροχόπτωσης (M3)	6.69E6
Όγκος απωλειών (M3)	3038.17
Ενεργός Όγκος (M3)	6.68E6
Όγκος άμεσης απορροής (M3)	6.68E6
Όγκος βασικής απορροής (M3)	1.29E6

Βροχόπτωση και Απορροή



Υπολεκάνη: EL0514FL002010

Έκταση (KM2) : 7.22

Κατάντη : J9

Μέθοδος Απωλειών: SCS

Ποσοστό αδιαπέρατης επιφάνειας	0
Αριθμός Καμπύλης Απορροής-CN	89.89
Αρχικές Απώλειες	5.71

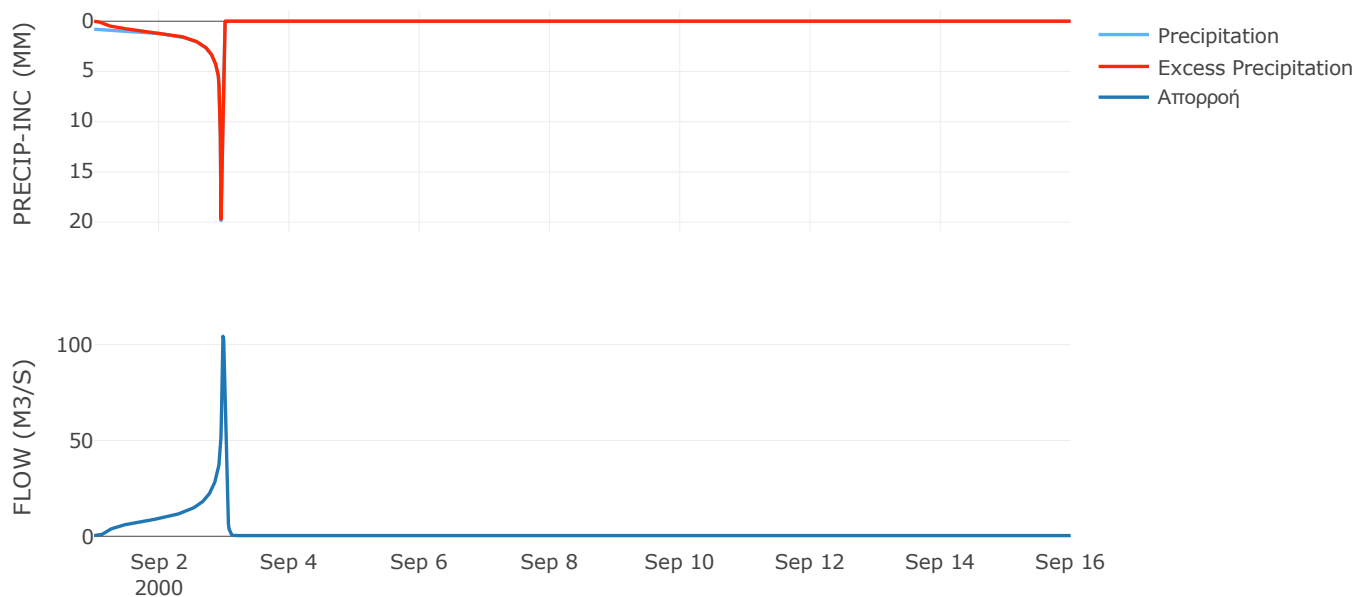
Μέθοδος
Μετασχηματισμού: SCS

Χρόνος Υστέρησης	36.57
------------------	-------

Αποτελέσματα:
EL0514FL002010

Παροχή αιχμής (M3/S)	104.36
Χρονική στιγμή αιχμής	02Sep2000, 23:30
Όγκος (MM)	396.64
Όγκος βροχόπτωσης (M3)	2.63E6
Όγκος απωλειών (M3)	2.32E5
Ενεργός Όγκος (M3)	2.4E6
Όγκος άμεσης απορροής (M3)	2.4E6
Όγκος βασικής απορροής (M3)	4.68E5

Βροχόπτωση και Απορροή



Υπολεκάνη: EL0514FL002011

Έκταση (KM2) : 8.8

Κατάντη : J10

Μέθοδος Απωλειών: SCS

Ποσοστό αδιαπέρατης επιφάνειας	0
Αριθμός Καμπύλης Απορροής-CN	90.57
Αρχικές Απώλειες	5.29

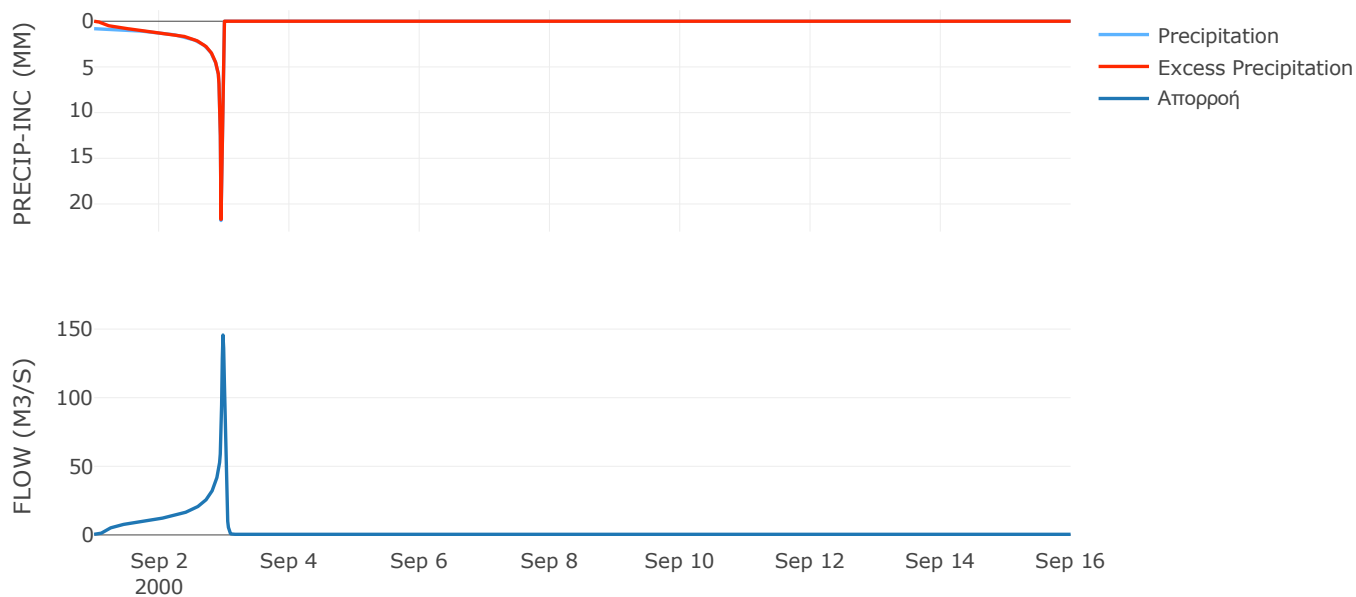
Μέθοδος
Μετασχηματισμού: SCS

Χρόνος Υστέρησης	32.16
------------------	-------

Αποτελέσματα:
EL0514FL002011

Παροχή αιχμής (M3/S)	145.67
Χρονική στιγμή αιχμής	02Sep2000, 23:30
Όγκος (MM)	416.65
Όγκος βροχόπτωσης (M3)	3.36E6
Όγκος απωλειών (M3)	2.64E5
Ενεργός Όγκος (M3)	3.1E6
Όγκος άμεσης απορροής (M3)	3.1E6
Όγκος βασικής απορροής (M3)	5.7E5

Βροχόπτωση και Απορροή



Υπολεκάνη: EL0514FL002012

Έκταση (KM2) : 5.8

Κατάντη : J9

Μέθοδος Απωλειών: SCS

Ποσοστό αδιαπέρατης επιφάνειας	0
Αριθμός Καμπύλης Απορροής-CN	87.26
Αρχικές Απώλειες	7.42

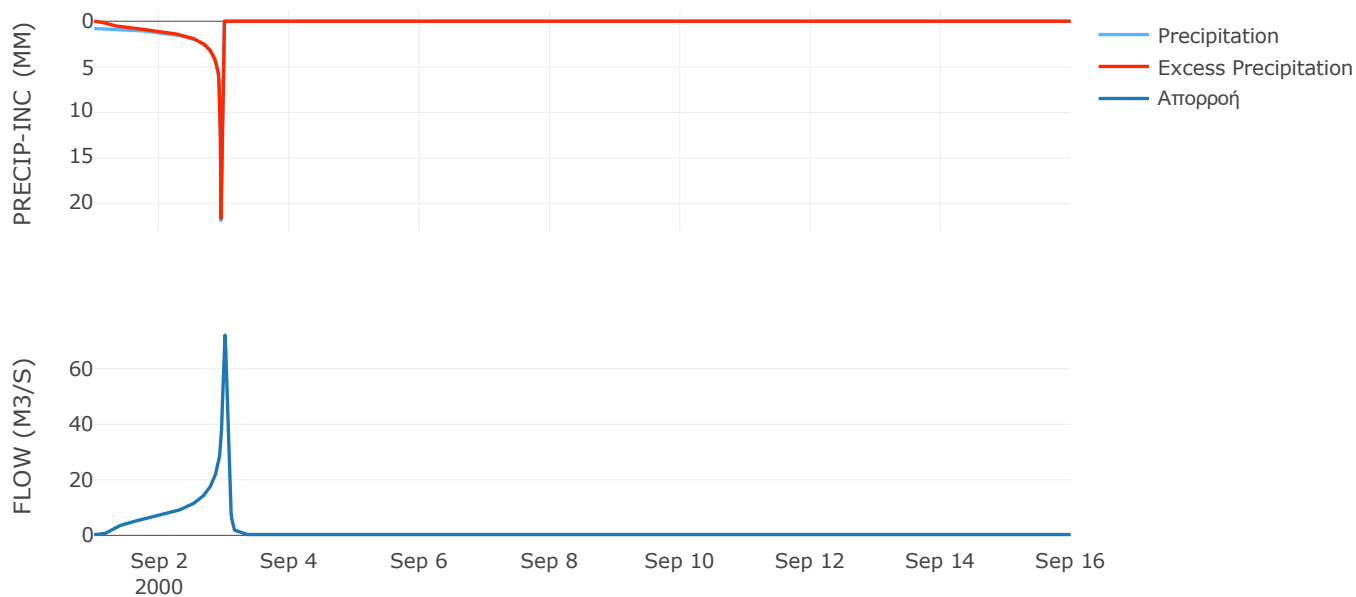
Μέθοδος
Μετασχηματισμού: SCS

Χρόνος Υστέρησης	70.29
------------------	-------

Αποτελέσματα:
EL0514FL002012

Παροχή αιχμής (M3/S)	72.06
Χρονική στιγμή αιχμής	03Sep2000, 00:15
Όγκος (MM)	398.05
Όγκος βροχόπτωσης (M3)	2.17E6
Όγκος απωλειών (M3)	2.38E5
Ενεργός Όγκος (M3)	1.93E6
Όγκος άμεσης απορροής (M3)	1.93E6
Όγκος βασικής απορροής (M3)	3.76E5

Βροχόπτωση και Απορροή



Υπολεκάνη: EL0514FL002013

Έκταση (KM2) : 26.26

Κατάντη : J10

Μέθοδος Απωλειών: SCS

Ποσοστό αδιαπέρατης επιφάνειας	0
Αριθμός Καμπύλης Απορροής-CN	85.32
Αρχικές Απώλειες	8.74

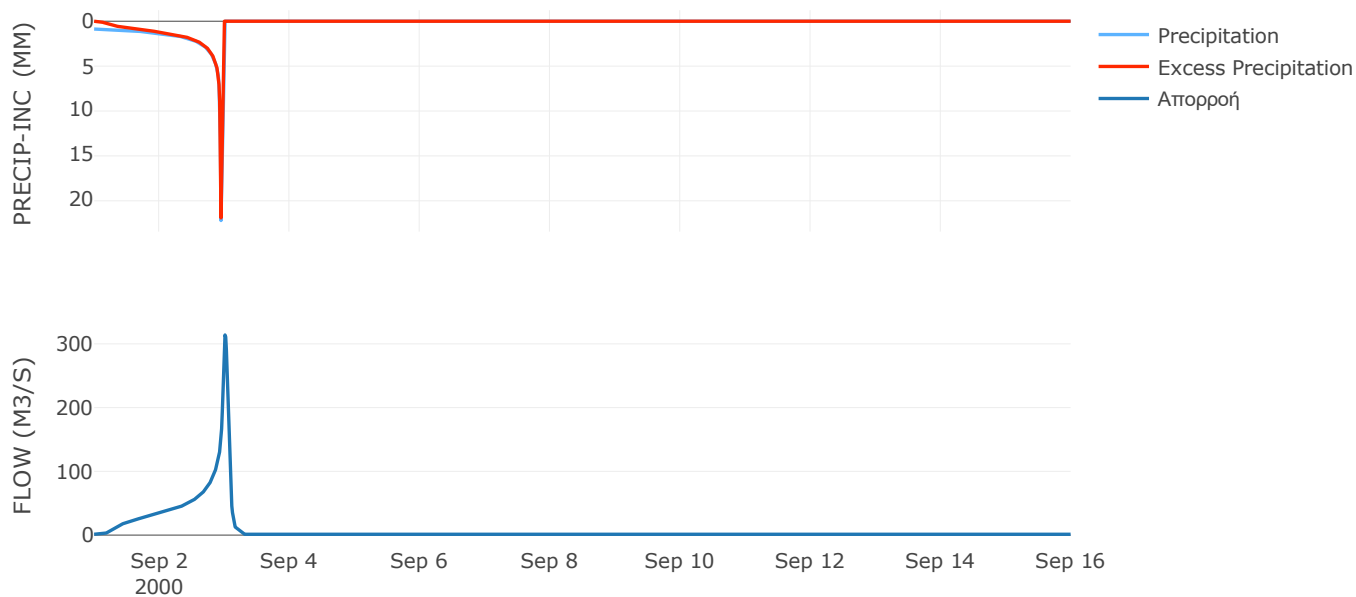
Μέθοδος
Μετασχηματισμού: SCS

Χρόνος Υστέρησης	83.27
------------------	-------

Αποτελέσματα:
EL0514FL002013

Παροχή αιχμής (M3/S)	313.93
Χρονική στιγμή αιχμής	03Sep2000, 00:15
Όγκος (MM)	417.38
Όγκος βροχόπτωσης (M3)	1.05E7
Όγκος απωλειών (M3)	1.26E6
Ενεργός Όγκος (M3)	9.26E6
Όγκος άμεσης απορροής (M3)	9.26E6
Όγκος βασικής απορροής (M3)	1.7E6

Βροχόπτωση και Απορροή



Υπολεκάνη: EL0514FL002014

Έκταση (KM2) : 10.15

Κατάντη : J12

Μέθοδος Απωλειών: SCS

Ποσοστό αδιαπέρατης επιφάνειας	0
Αριθμός Καμπύλης Απορροής-CN	79.96
Αρχικές Απώλειες	12.73

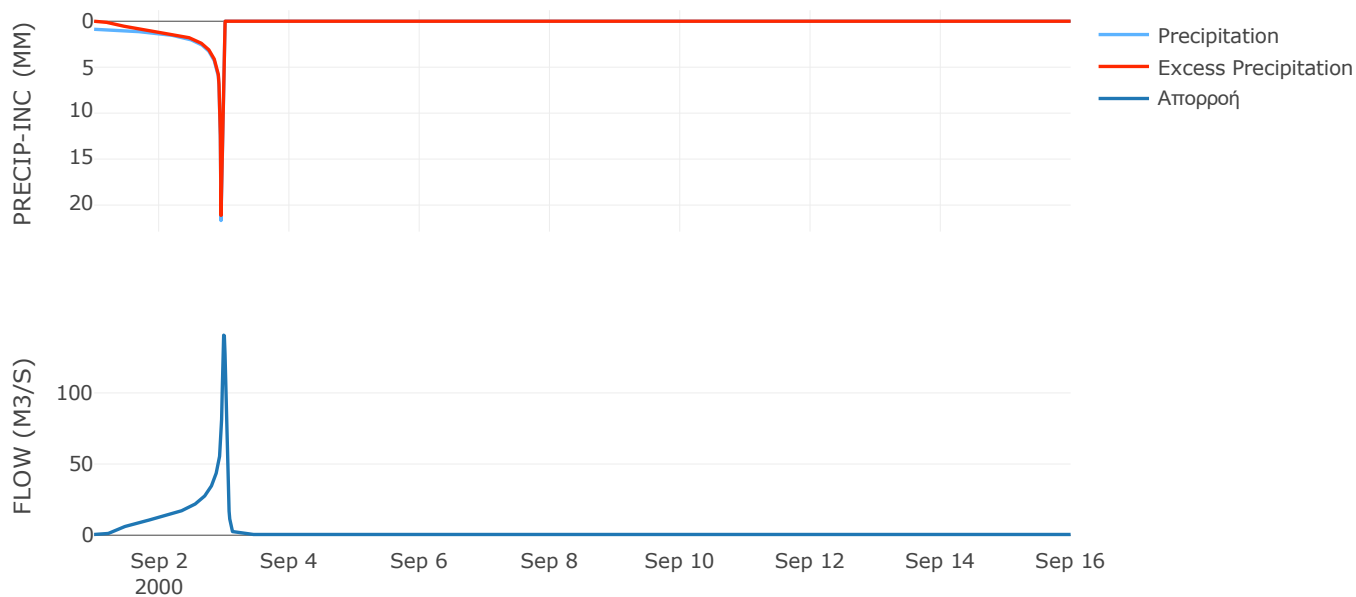
Μέθοδος
Μετασχηματισμού: SCS

Χρόνος Υστέρησης	51.96
------------------	-------

Αποτελέσματα:
EL0514FL002014

Παροχή αιχμής (M3/S)	140.59
Χρονική στιγμή αιχμής	02Sep2000, 23:45
Όγκος (MM)	396.68
Όγκος βροχόπτωσης (M3)	4.05E6
Όγκος απωλειών (M3)	6.84E5
Ενεργός Όγκος (M3)	3.37E6
Όγκος άμεσης απορροής (M3)	3.37E6
Όγκος βασικής απορροής (M3)	6.58E5

Βροχόπτωση και Απορροή



Υπολεκάνη: EL0514FL002015

Έκταση (KM2) : 12.91

Κατάντη : J11

Μέθοδος Απωλειών: SCS

Ποσοστό αδιαπέρατης επιφάνειας	0
Αριθμός Καμπύλης Απορροής-CN	87.26
Αρχικές Απώλειες	7.42

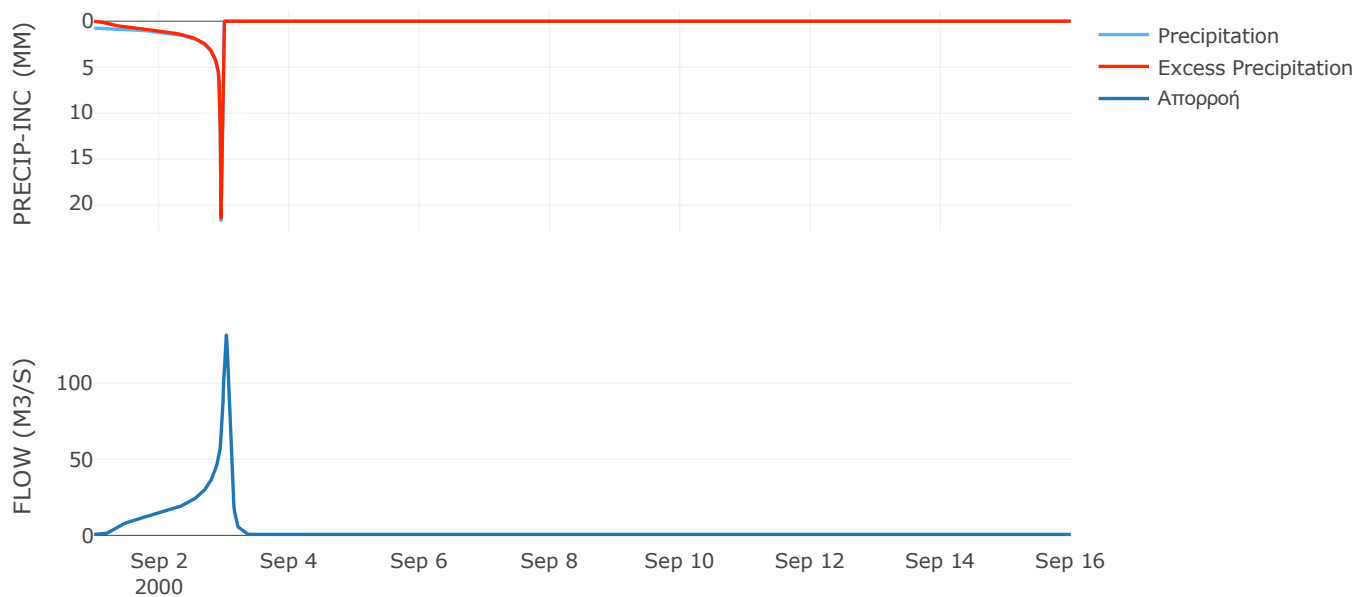
Μέθοδος
Μετασχηματισμού: SCS

Χρόνος Υστέρησης	104.24
------------------	--------

Αποτελέσματα:
EL0514FL002015

Παροχή αιχμής (M3/S)	131.44
Χρονική στιγμή αιχμής	03Sep2000, 00:30
Όγκος (MM)	384.11
Όγκος βροχόπτωσης (M3)	4.65E6
Όγκος απωλειών (M3)	5.29E5
Ενεργός Όγκος (M3)	4.12E6
Όγκος άμεσης απορροής (M3)	4.12E6
Όγκος βασικής απορροής (M3)	8.37E5

Βροχόπτωση και Απορροή



10.2 Δεδομένα και υδρογραφήματα σχεδιασμού Κλάδων υδρογραφικού δικτύου

Κλάδος: R21

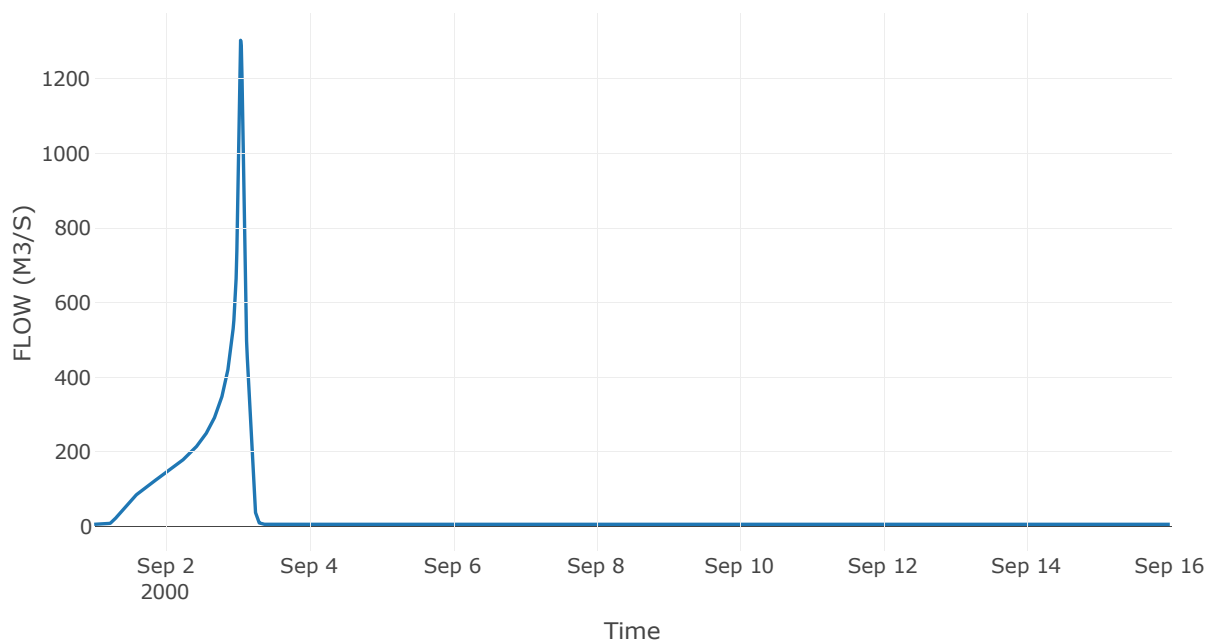
Κατάντη : J1

Μέθοδος Διόδευσης	Muskingum
Αρχική Μεταβλητή	Combined Inflow
Χρόνος Ροής Κ	1
Συντελεστής βάρους α	0.2
Πλήθος Υποκλάδων	5

Αποτελέσματα: R21

Παροχή Αιχμής (M3/S)	1302.74
Χρονική στιγμή αιχμής	03Sep2000, 01:00
Όγκος(MM)	399.71
Παροχή Αιχμής Εισόδου (M3/S)	1385.97
Όγκος Εισροής(M3)	4.97E7

Απορροή



Κλάδος: R32

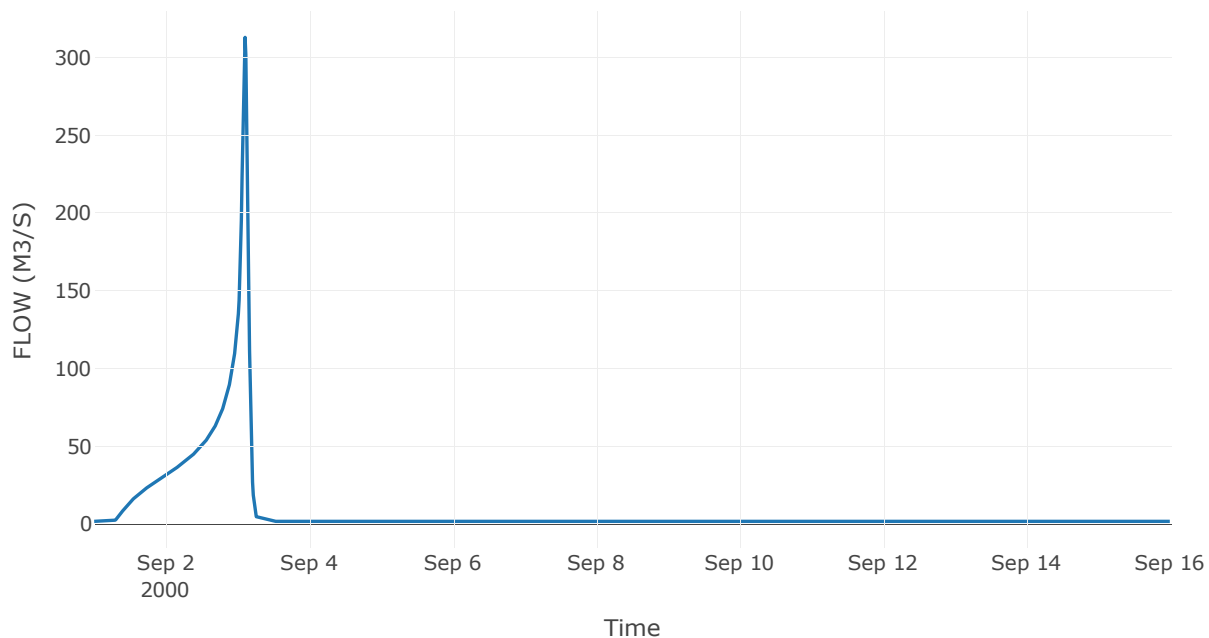
Κατάντη : J2

Μέθοδος Διόδευσης	Muskingum
Αρχική Μεταβλητή	Combined Inflow
Χρόνος Ροής K	2.62
Συντελεστής βάρους x	0.2
Πλήθος Υποκλάδων	13

Αποτελέσματα: R32

Παροχή Αιχμής (M3/S)	312.88
Χρονική στιγμή αιχμής	03Sep2000, 02:30
Όγκος(MM)	338.25
Παροχή Αιχμής Εισόδου (M3/S)	372.45
Όγκος Εισροής(M3)	1.14E7

Απορροή



Κλάδος: R43

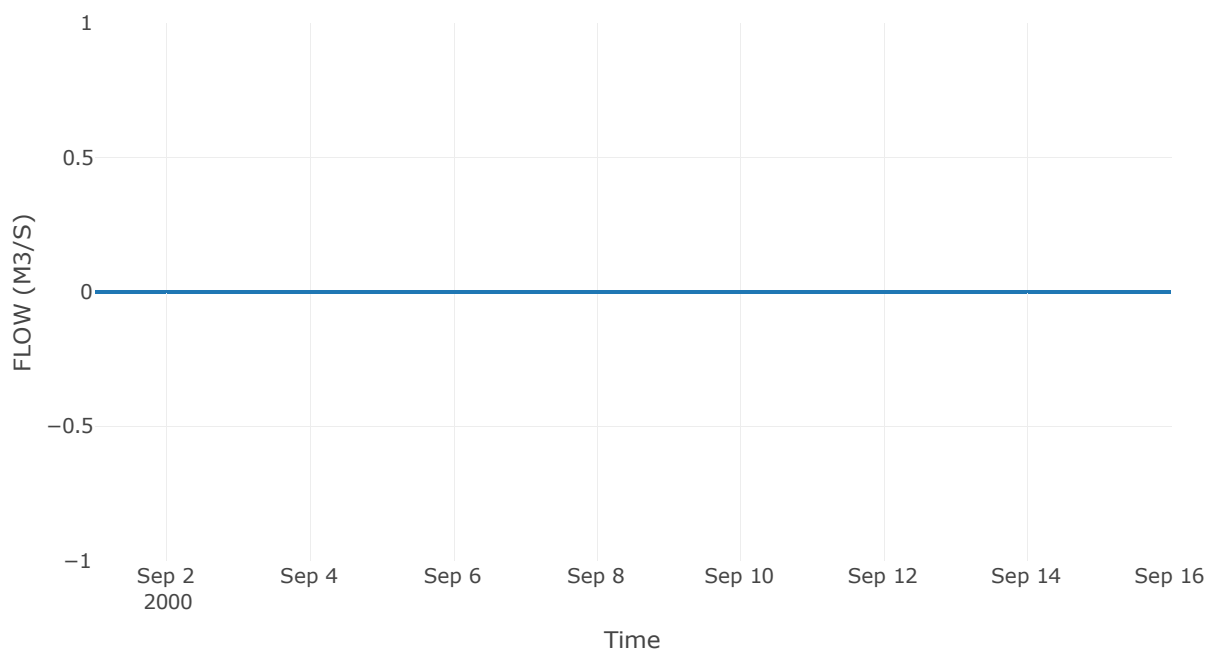
Κατάντη : J3

Μέθοδος Διόδευσης	Muskingum
Αρχική Μεταβλητή	Combined Inflow
Χρόνος Ροής K	3.35
Συντελεστής βάρους x	0.2
Πλήθος Υποκλάδων	16

Αποτελέσματα: R43

Παροχή Αιχμής (M3/S)	0
Χρονική στιγμή αιχμής	31Aug2000, 24:00
Peak Inflow (M3/S)	0
Όγκος Εισροής (M3)	0

Απορροή



Κλάδος: R540

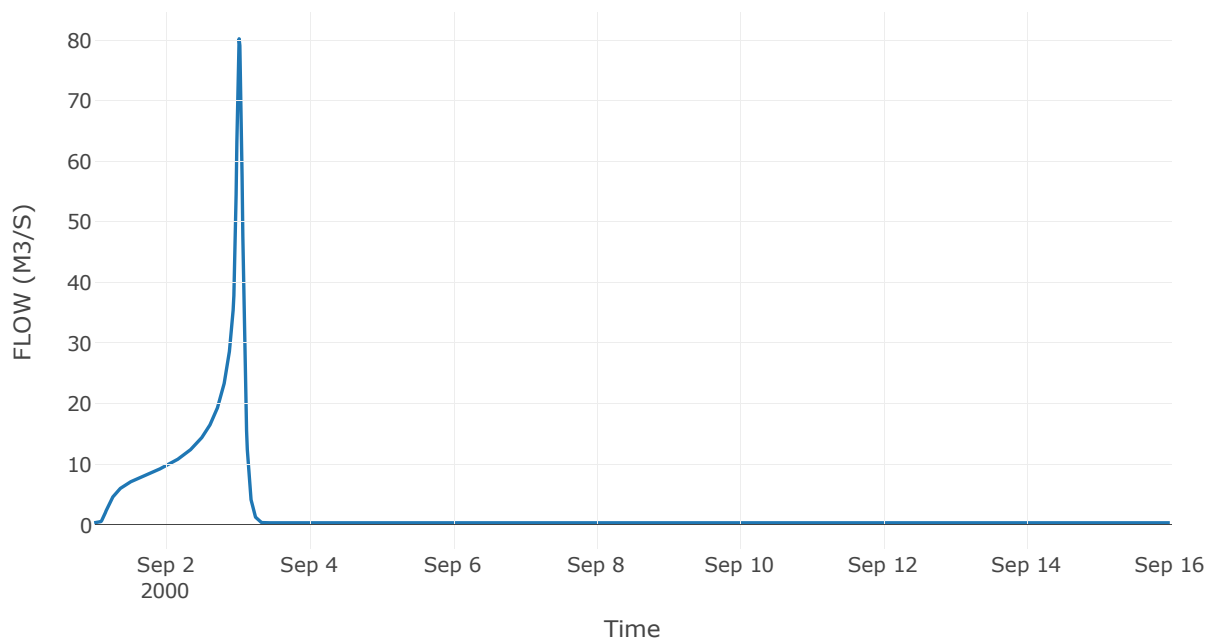
Κατάντη : J40

Μέθοδος Διόδευσης	Χρόνος
Αρχική Μεταβλητή	Combined Inflow
Χρόνος υστέρησης	0

Αποτελέσματα: R540

Παροχή Αιχμής (M3/S)	80.23
Χρονική στιγμή αιχμής	03Sep2000, 00:30
Όγκος(MM)	379.48
Παροχή Αιχμής Εισόδου (M3/S)	80.23
Όγκος Εισροής(M3)	3.21E6

Απορροή



Κλάδος: R640

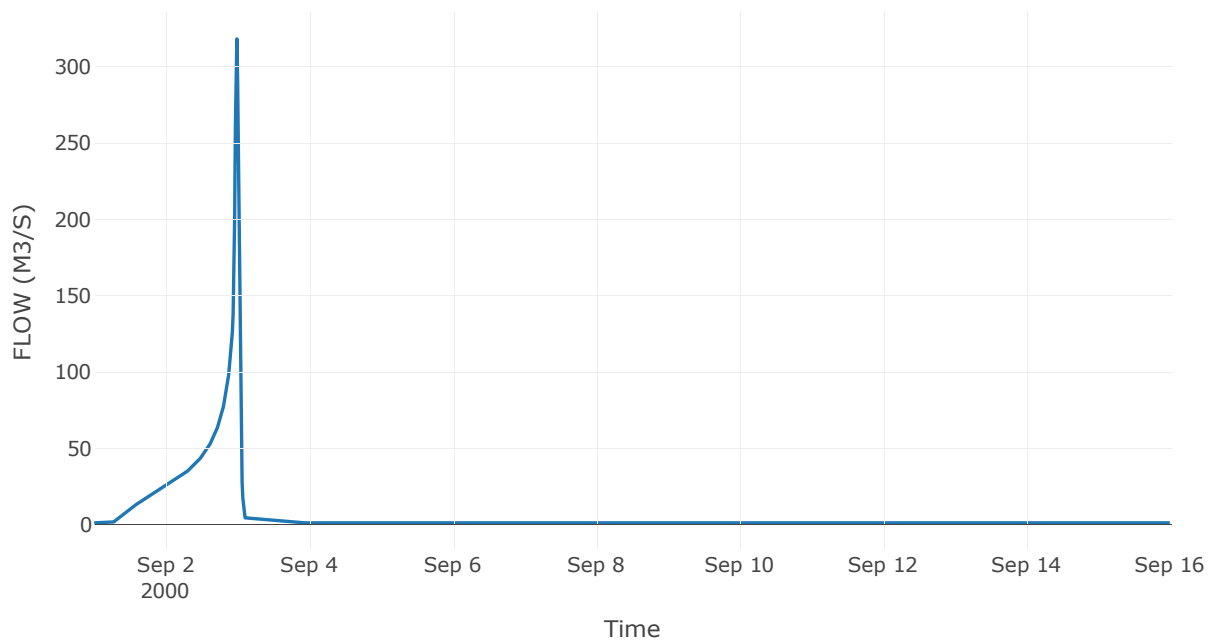
Κατάντη : J40

Μέθοδος Διόδευσης	Χρόνος
Αρχική Μεταβλητή	Combined Inflow
Χρόνος υστέρησης	0

Αποτελέσματα: R640

Παροχή Αιχμής (M3/S)	318.27
Χρονική στιγμή αιχμής	02Sep2000, 23:45
Όγκος(MM)	329.37
Παροχή Αιχμής Εισόδου (M3/S)	318.27
Όγκος Εισροής(M3)	8.65E6

Απορροή



Κλάδος: R740

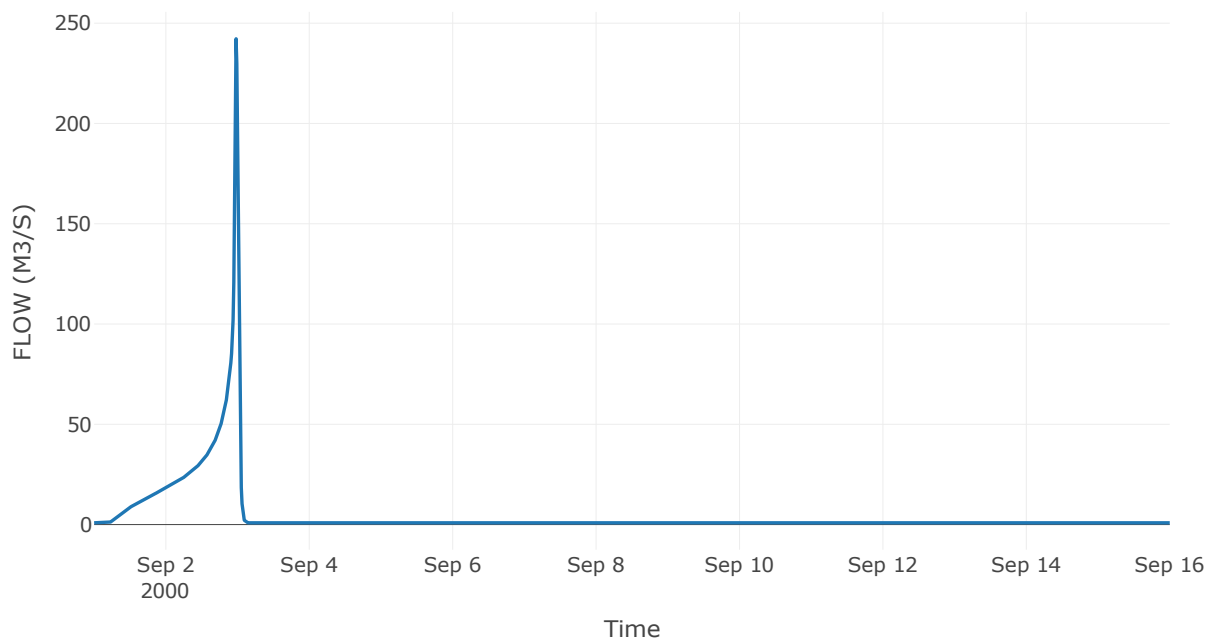
Κατάντη : J40

Μέθοδος Διόδευσης	Χρόνος
Αρχική Μεταβλητή	Combined Inflow
Χρόνος υστέρησης	0

Αποτελέσματα: R740

Παροχή Αιχμής (M3/S)	242.22
Χρονική στιγμή αιχμής	02Sep2000, 23:30
Όγκος(MM)	346.62
Παροχή Αιχμής Εισόδου (M3/S)	242.22
Όγκος Εισροής(M3)	6.06E6

Απορροή



Κλάδος: R840

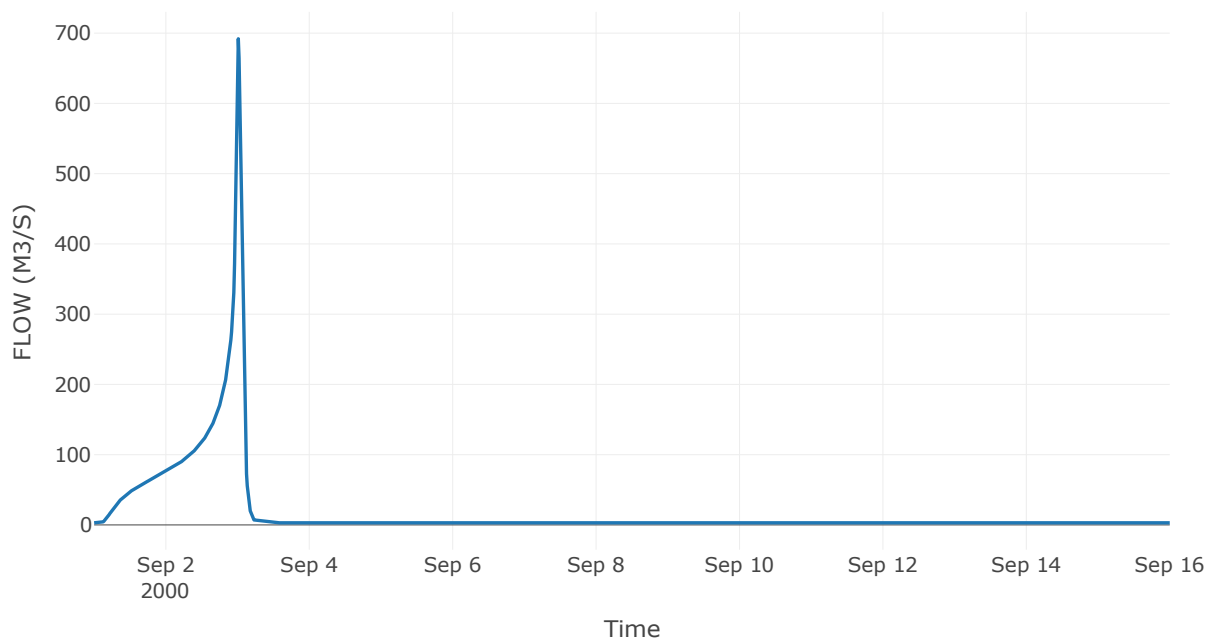
Κατάντη : J40

Μέθοδος Διόδευσης	Χρόνος
Αρχική Μεταβλητή	Combined Inflow
Χρόνος υστέρησης	0

Αποτελέσματα: R840

Παροχή Αιχμής (M3/S)	692.02
Χρονική στιγμή αιχμής	03Sep2000, 00:15
Όγκος(MM)	405.72
Παροχή Αιχμής Εισόδου (M3/S)	692.02
Όγκος Εισροής(M3)	2.44E7

Απορροή



Κλάδος: R1140

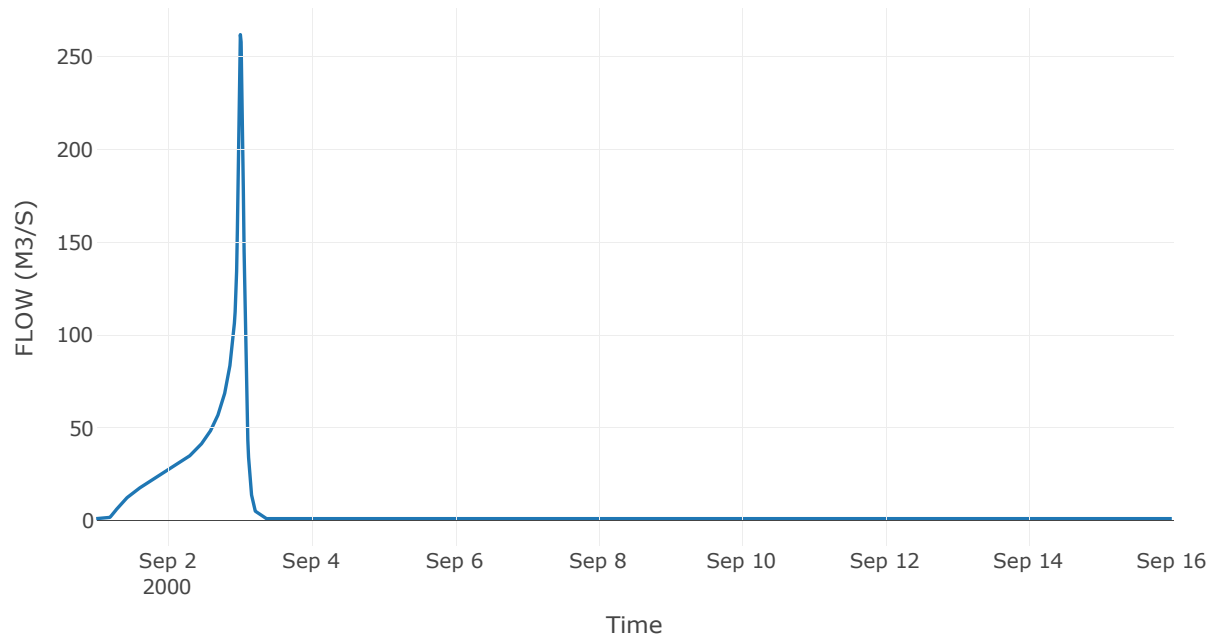
Κατάντη : J40

Μέθοδος Διόδευσης	Χρόνος
Αρχική Μεταβλητή	Combined Inflow
Χρόνος υστέρησης	0

Αποτελέσματα: R1140

Παροχή Αιχμής (M3/S)	261.72
Χρονική στιγμή αιχμής	03Sep2000, 00:15
Όγκος(MM)	389.64
Παροχή Αιχμής Εισόδου (M3/S)	261.72
Όγκος Εισροής(M3)	8.99E6

Απορροή



Κλάδος: R98

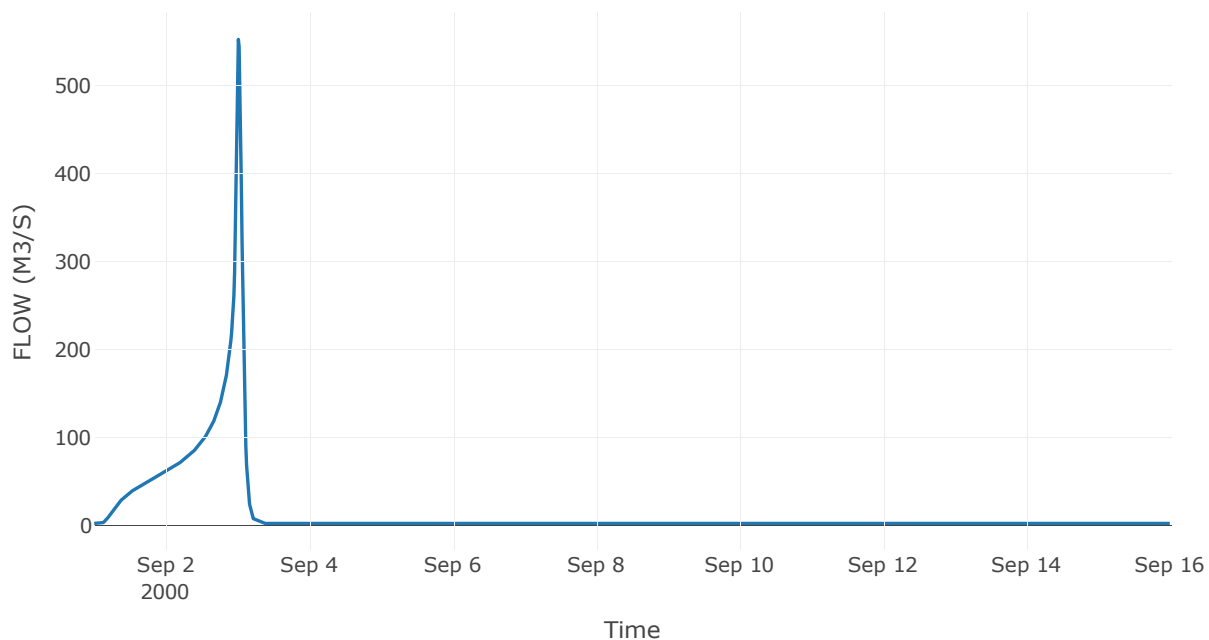
Κατάντη : J8

Μέθοδος Διόδευσης	Muskingum
Αρχική Μεταβλητή	Combined Inflow
Χρόνος Ροής Κ	0.29
Συντελεστής βάρους x	0.2
Πλήθος Υποκλάδων	1

Αποτελέσματα: R98

Παροχή Αιχμής (M3/S)	552.51
Χρονική στιγμή αιχμής	03Sep2000, 00:15
Όγκος(MM)	411.8
Παροχή Αιχμής Εισόδου (M3/S)	565.26
Όγκος Εισροής(M3)	1.98E7

Απορροή



Κλάδος: R109

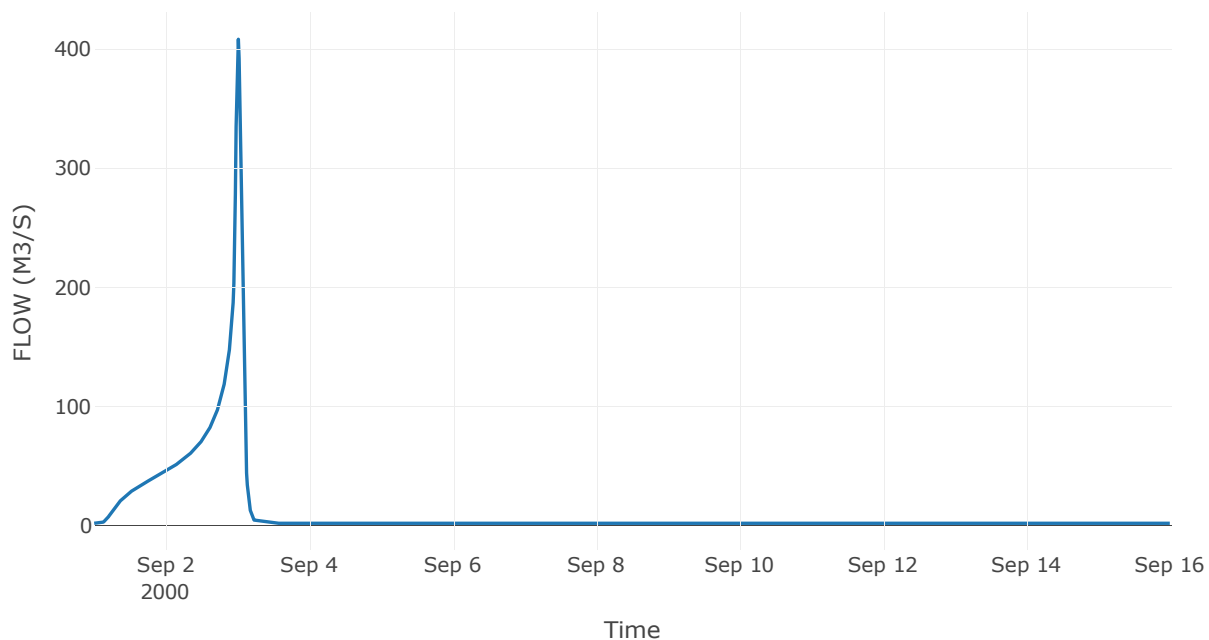
Κατάντη : J9

Μέθοδος Διόδευσης	Muskingum
Αρχική Μεταβλητή	Combined Inflow
Χρόνος Ροής Κ	0.19
Συντελεστής βάρους α	0.2
Πλήθος Υποκλάδων	1

Αποτελέσματα: R109

Παροχή Αιχμής (M3/S)	407.93
Χρονική στιγμή αιχμής	03Sep2000, 00:15
Όγκος(MM)	417.2
Παροχή Αιχμής Εισόδου (M3/S)	412.02
Όγκος Εισροής(M3)	1.46E7

Απορροή



Κλάδος: R1211

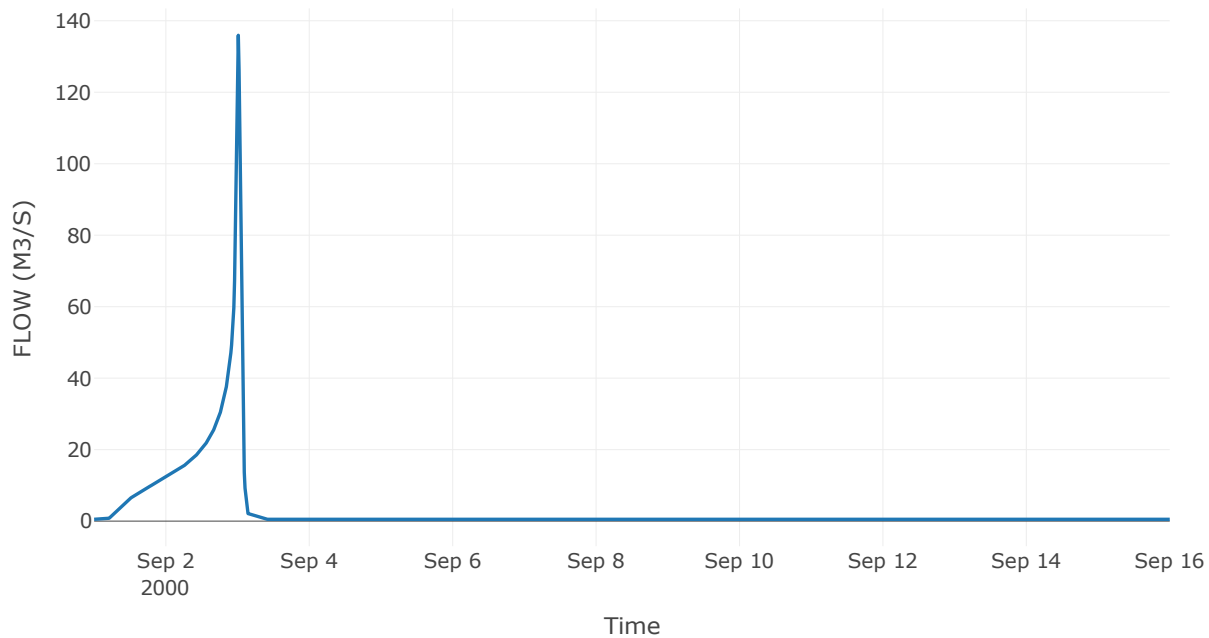
Κατάντη : J11

Μέθοδος Διόδευσης	Muskingum
Αρχική Μεταβλητή	Combined Inflow
Χρόνος Ροής Κ	0.31
Συντελεστής βάρους α	0.2
Πλήθος Υποκλάδων	1

Αποτελέσματα: R1211

Παροχή Αιχμής (M3/S)	135.94
Χρονική στιγμή αιχμής	03Sep2000, 00:15
Όγκος(MM)	396.68
Παροχή Αιχμής Εισόδου (M3/S)	140.59
Όγκος Εισροής(M3)	4.03E6

Απορροή



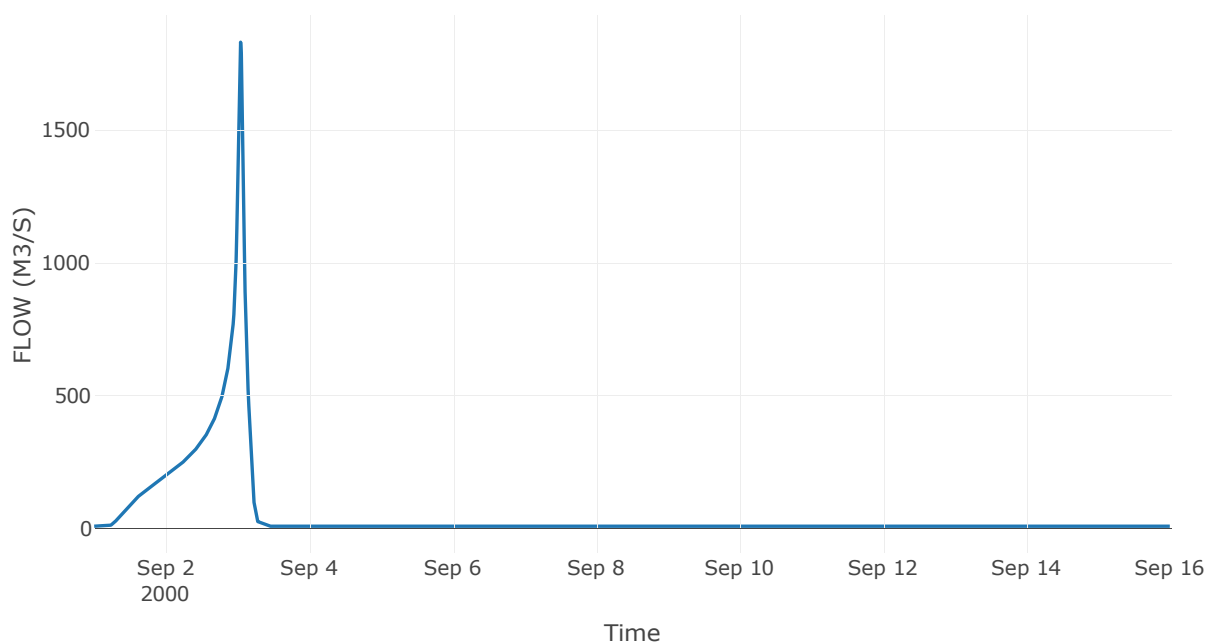
10.3 Δεδομένα και υδρογραφήματα σχεδιασμού Κόμβων υδρογραφικού δικτύου

Κόμβος εξόδου: J1

Αποτέλεσμα
τα: J1

Παροχή αιχμής (M3/S)	1831.95
Χρονική στιγμή αιχμής	03Sep2000, 01:00
Όγκος (MM)	380.38

Απορροή



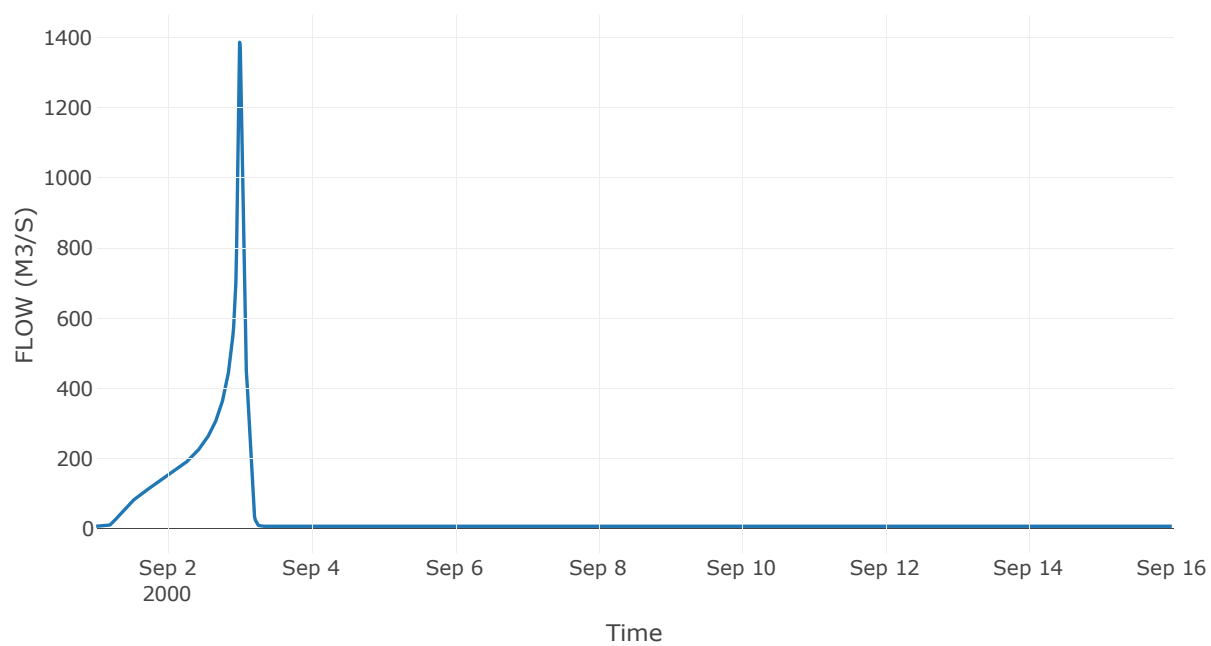
Κόμβος: J2

Κατάντη : R21

Αποτελέσματα: J2

Παροχή Αιχμής (M3/S)	1385.97
Χρονική στιγμή αιχμής	02Sep2000, 24:00
Όγκος(MM)	399.71

Απορροή



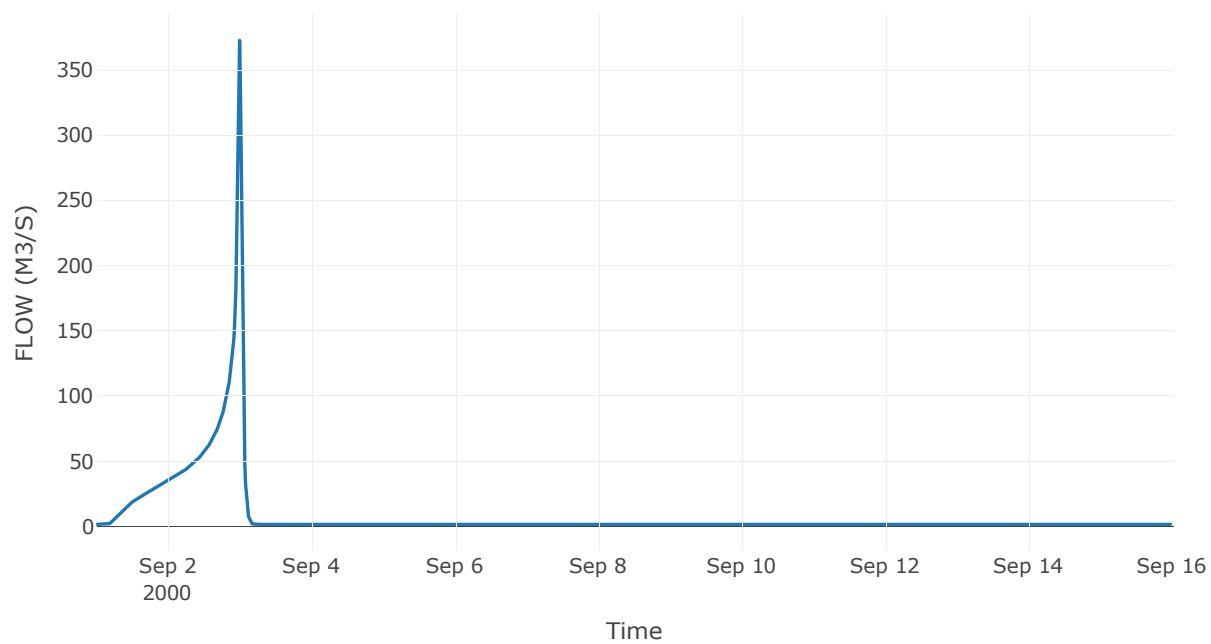
Κόμβος: J3

Κατάντη : R32

Αποτελέσματα: J3

Παροχή Αιχμής (M3/S)	372.45
Χρονική στιγμή αιχμής	02Sep2000, 24:00
Όγκος(MM)	338.25

Απορροή



Κόμβος: J4

Κατάντη : R43

Αποτελέσματα: J4

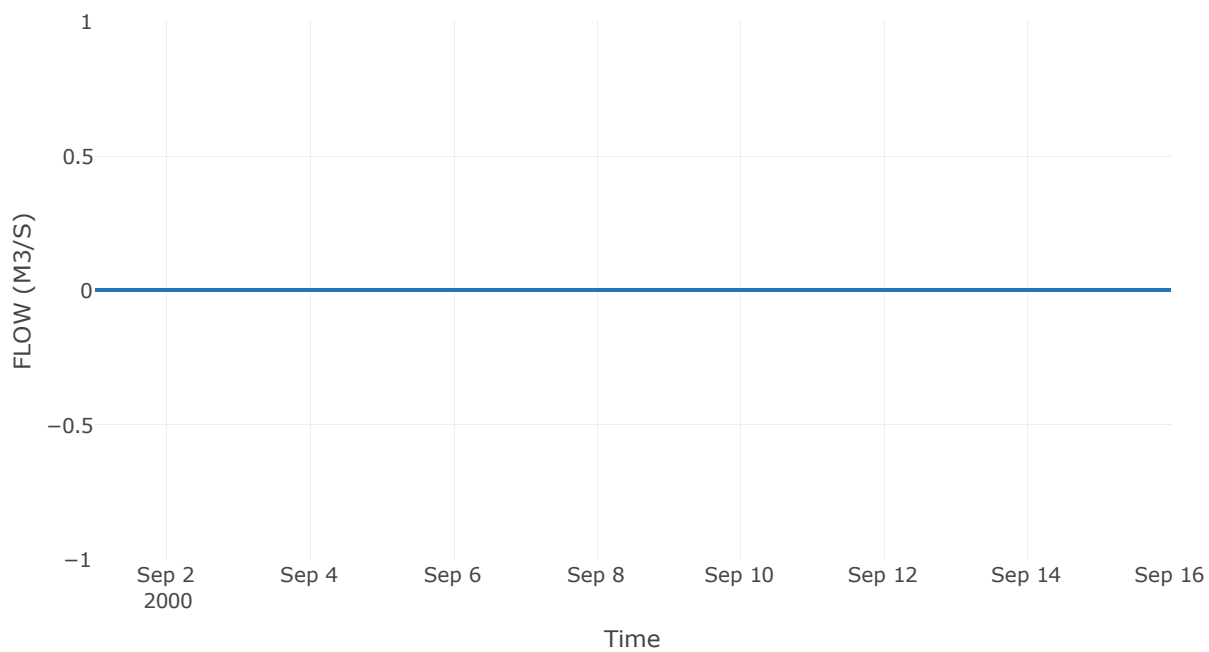
Παροχή Αιχμής (M3/S)

0

Χρονική στιγμή αιχμής

31Aug2000, 24:00

Απορροή

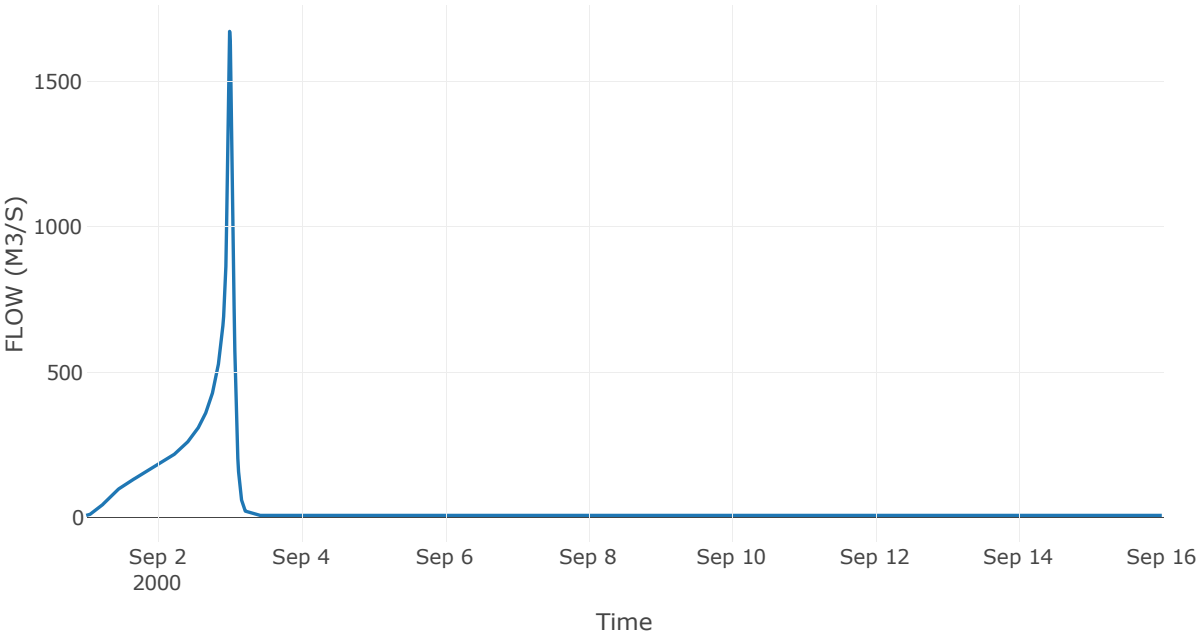


Κόμβος εξόδου: J40

Αποτελέσματ
α: J40

Παροχή αιχμής (M3/S)	1671.95
Χρονική στιγμή αιχμής	02Sep2000, 24:00
Όγκος (MM)	381.77

Απορροή



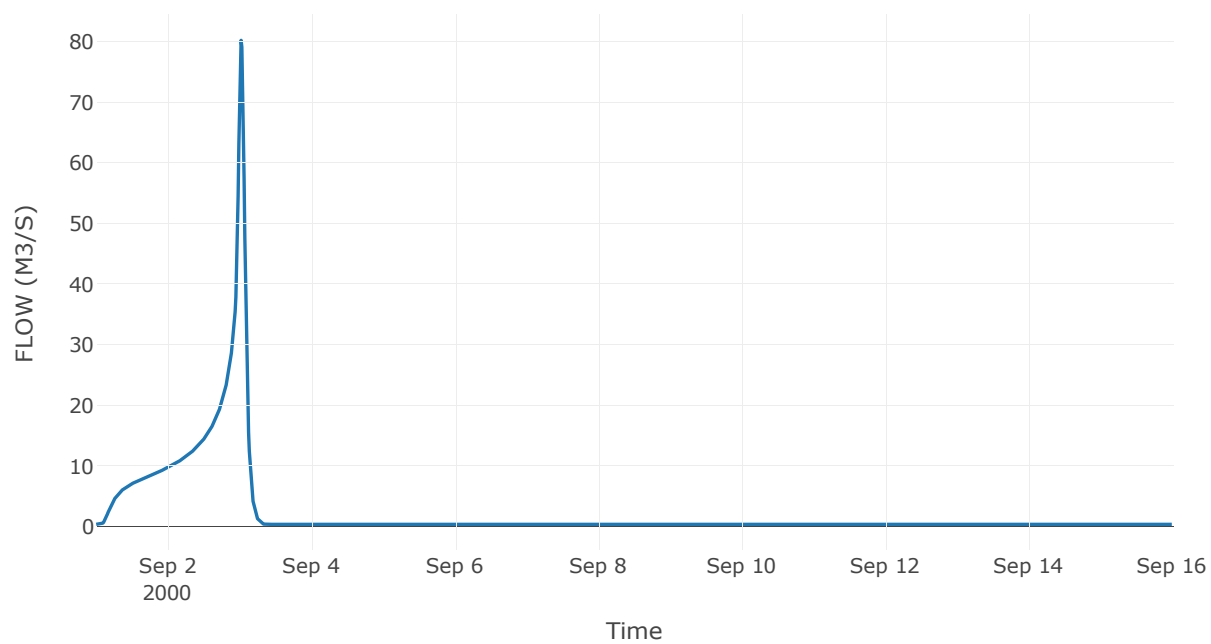
Κόμβος: J5

Κατάντη : R540

Αποτελέσματα: J5

Παροχή Αιχμής (M3/S)	80.23
Χρονική στιγμή αιχμής	03Sep2000, 00:30
Όγκος(MM)	379.48

Απορροή



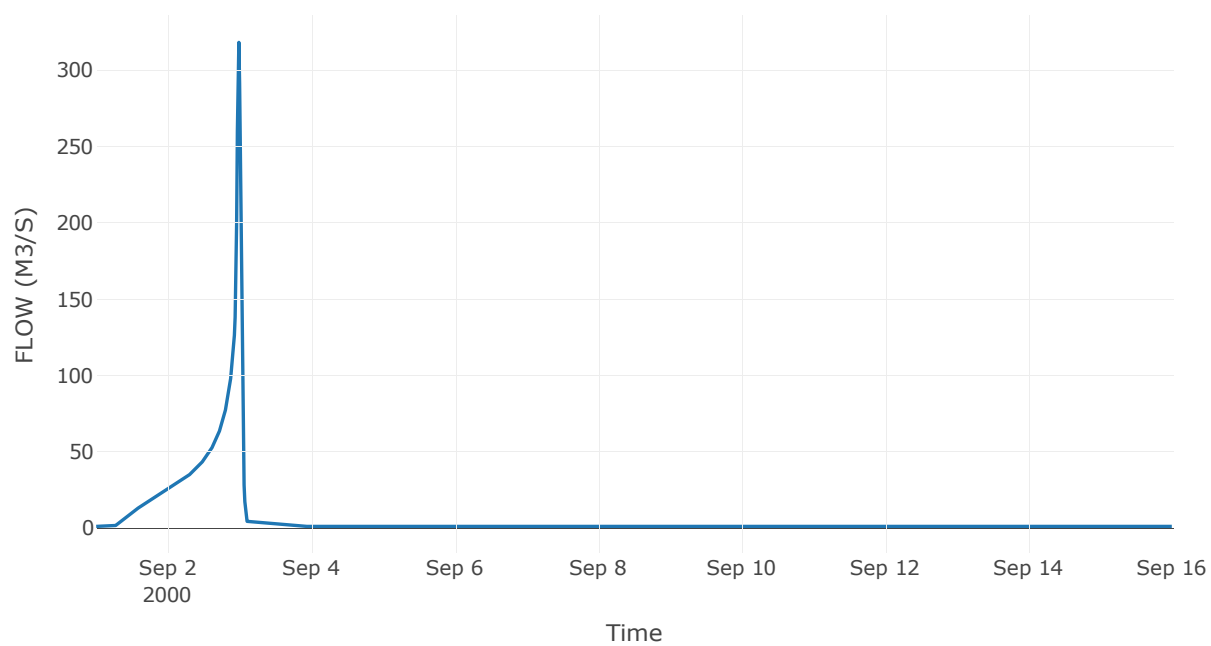
Κόμβος: J6

Κατάντη : R640

Αποτελέσματα: J6

Παροχή Αιχμής (M3/S)	318.27
Χρονική στιγμή αιχμής	02Sep2000, 23:45
Όγκος(MM)	329.37

Απορροή



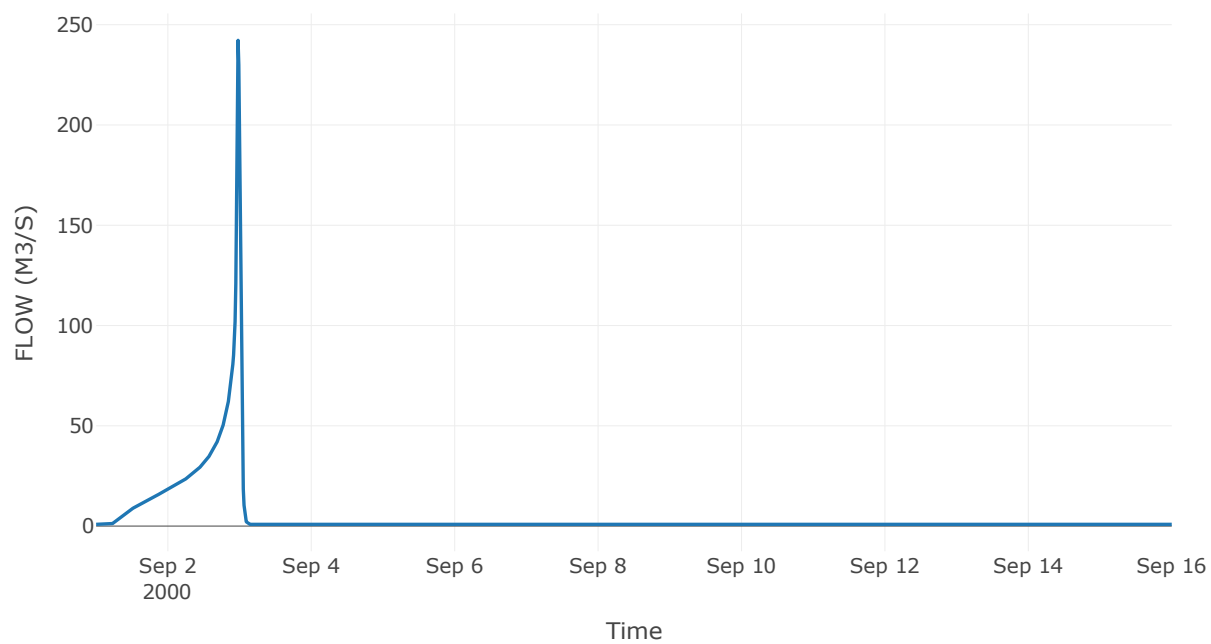
Κόμβος: J7

Κατάντη : R740

Αποτελέσματα: J7

Παροχή Αιχμής (M3/S)	242.22
Χρονική στιγμή αιχμής	02Sep2000, 23:30
Όγκος(MM)	346.62

Απορροή



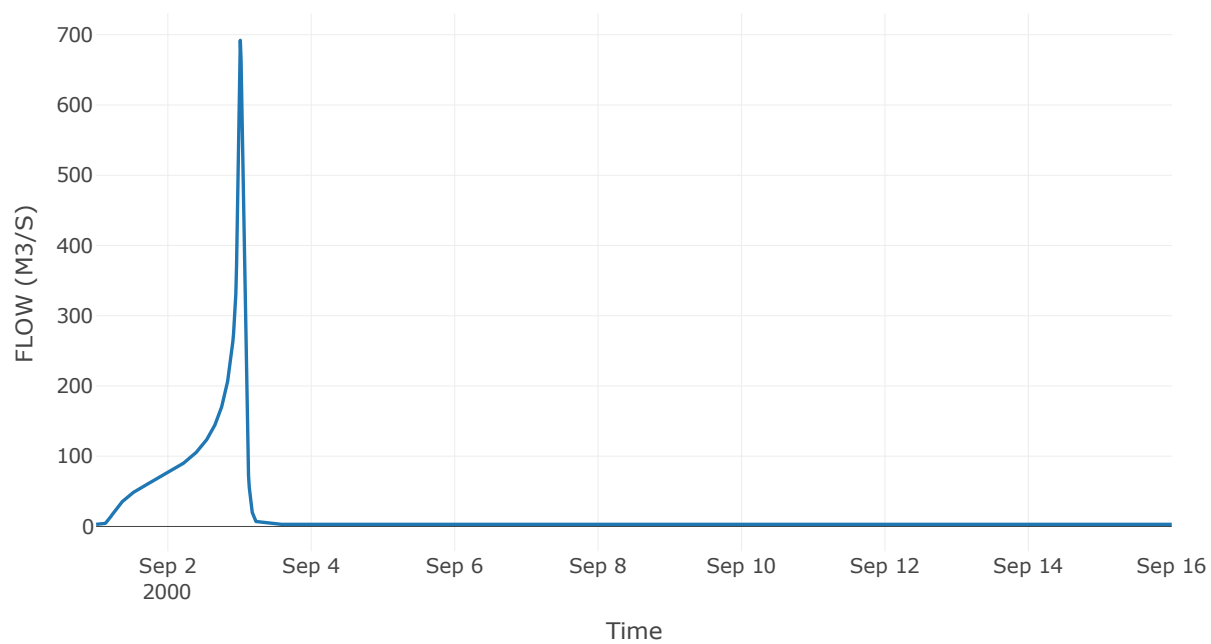
Κόμβος: J8

Κατάντη : R840

Αποτελέσματα: J8

Παροχή Αιχμής (M3/S)	692.02
Χρονική στιγμή αιχμής	03Sep2000, 00:15
Όγκος(MM)	405.72

Απορροή



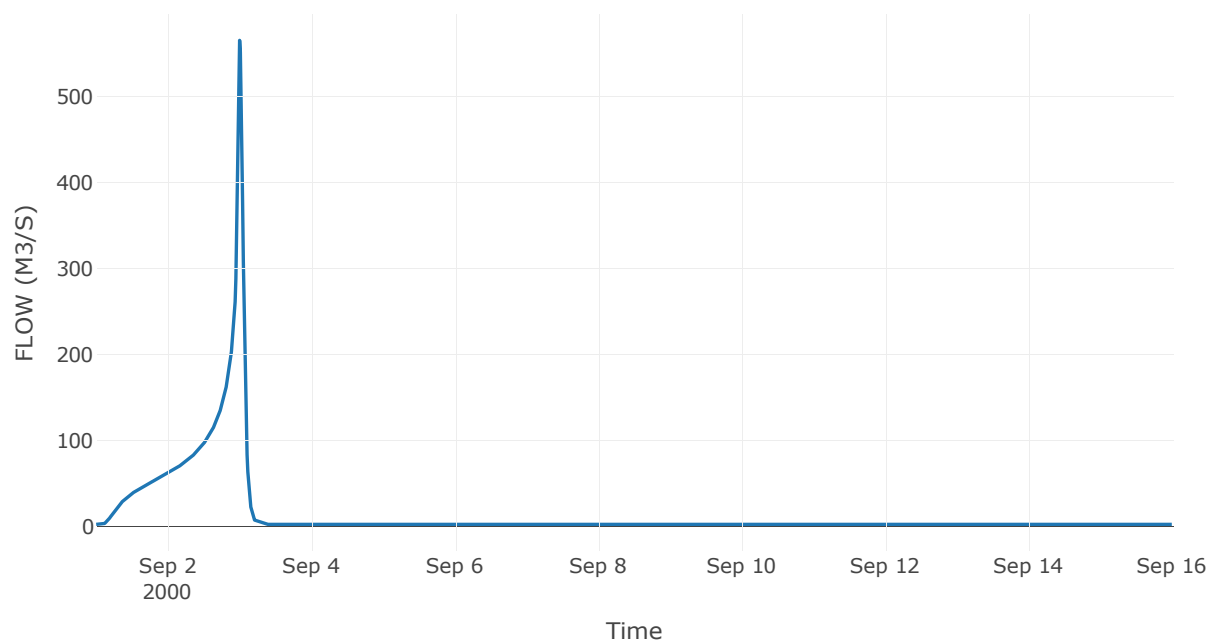
Κόμβος: J9

Κατάντη : R98

Αποτελέσματα: J9

Παροχή Αιχμής (M3/S)	565.26
Χρονική στιγμή αιχμής	02Sep2000, 24:00
Όγκος(MM)	411.8

Απορροή



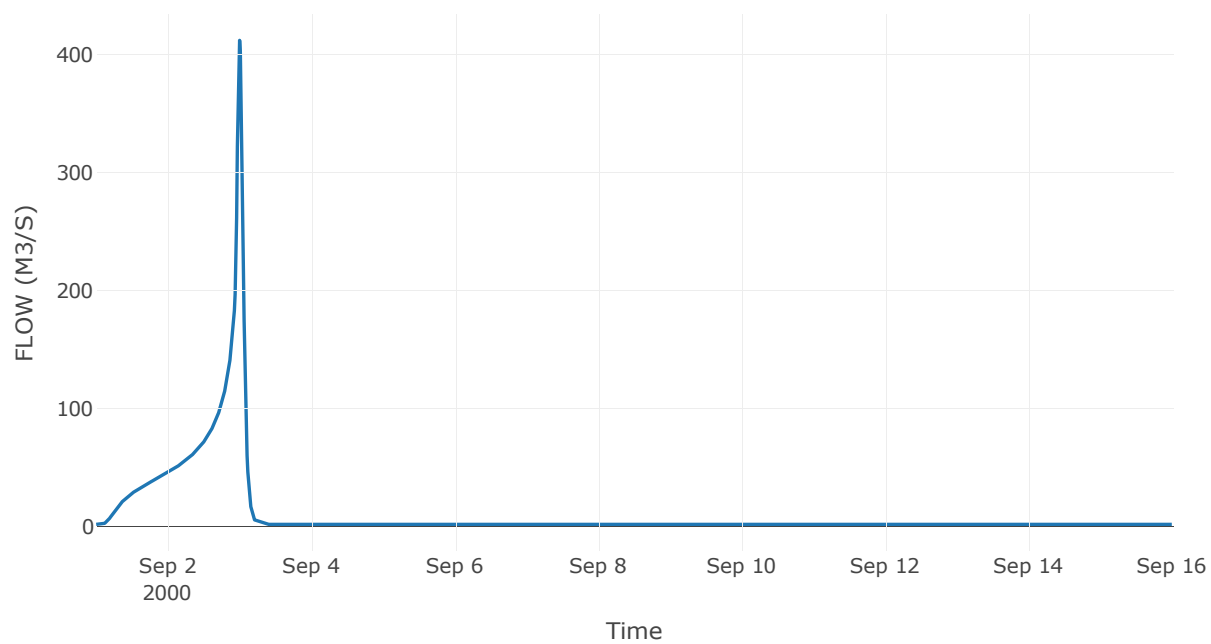
Κόμβος: J10

Κατάντη : R109

Αποτελέσματα: J10

Παροχή Αιχμής (M3/S)	412.02
Χρονική στιγμή αιχμής	02Sep2000, 24:00
Όγκος(MM)	417.2

Απορροή



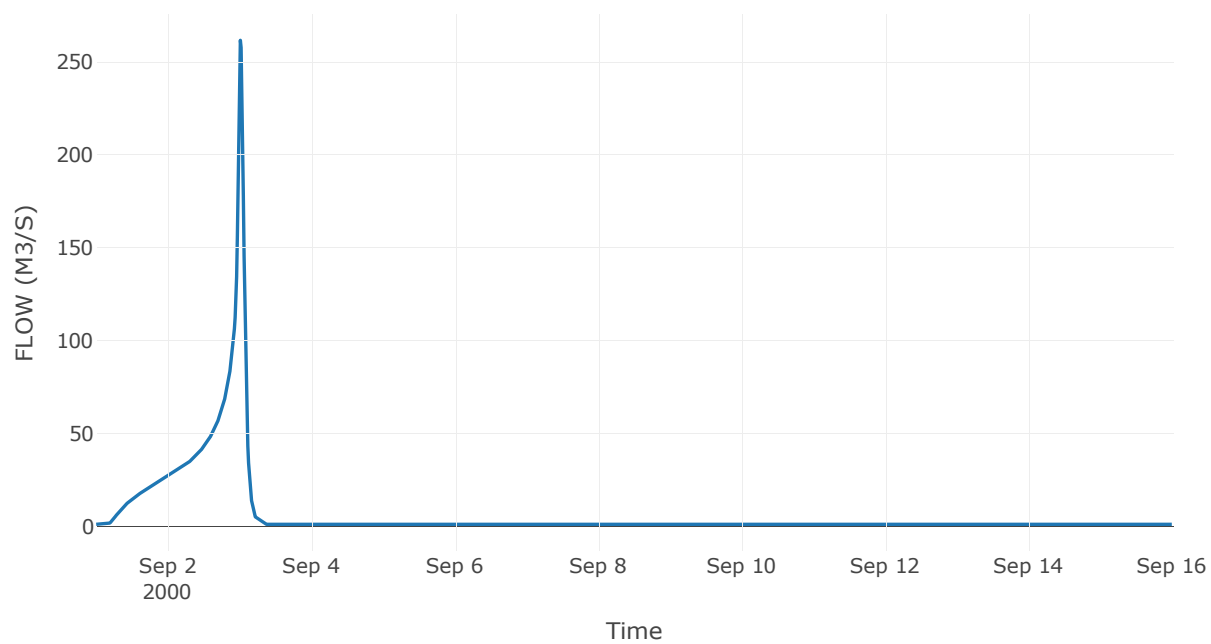
Κόμβος: J11

Κατάντη : R1140

Αποτελέσματα: J11

Παροχή Αιχμής (M3/S)	261.72
Χρονική στιγμή αιχμής	03Sep2000, 00:15
Όγκος(MM)	389.64

Απορροή



Κόμβος: J12

Κατάντη : R1211

Αποτελέσματα: J12

Παροχή Αιχμής (M3/S)	140.59
Χρονική στιγμή αιχμής	02Sep2000, 23:45
Όγκος(MM)	396.68

Απορροή

